



Sirius

~~Sci 185.40~~
~~Sci 185.40~~

Sci 185.40

KF990



Barber's College Library

with the support of

HORACE APPLETON HAVEN,

OF FORTSMOUTH, N. H.

(Class of 1880)

—

1872-1880 - 1880, 1885

Sirius.

—
(1895.)

1000

1000

SIRIUS.

Zeitschrift für populäre Astronomie.

Zeitschrift für alle Freunde und Förderer der Himmelskunde.

Herausgegeben von **WOLFGANG**

herrnregender Fachlehrer und astronomischer Schriftsteller

von

Dr. HERMANN J. KLEIN

in Köln.

• XXVIII. Band oder Neue Folge XXII. Band.

LEIPZIG,
Karl Schönes
1890.

~~Sci 685.40~~

~~3042 76~~

1971, Jan 16 - Dec 23
Keweenaw Island

71
1

Register.

Erde.

- Bessel's Verzicht gegen die Unvollständigkeit der Politik, 15
Die Politik und ihre Schwankungen nach den Beobachtungen auf der Sternwarte des k. k. math.-physikalischen Institutes in Wien 125
Das Erdmagnet in der Umarmungszeit, die Richtung der Erde, 161
Der Foucault'sche Pendelversuch, 166.

Fixsterne.

- Die absolute Verteilung der Sterne in der Milchstrasse, 44
Die Bewegung des Sternsystems, bestimmt aus der Eigenbewegung verschiedener Gruppen von Sternen, 75
Die letzten Verteilungen im Spektrum des neuen Sterns im Februar, 93
Heile Lücken in den Spektren einiger Sterne 104
Die Parallaxe von α Centauren 104
Untersuchungen über die Spektre der hellen Sterne nach spectrographischen Aufnahmen auf dem astrophysikalischen Observatorium zu Potsdam 105—123—125
Photometrische Messungen am Stern-Magnet, 125
Die Bewegung des Sonnensystems durch den Weltraum und die Verteilung der Milchstrasse, 171.

Instrumente.

- Das große Objektiv 21
Das 40zöllige Objektiv des Yerkes-Refraktors 21—25
Ein Refraktor von 18 $\frac{1}{2}$ Zoll Öffnung, 31, Nimmenschieb für die Pariser Weltausstellung 1889, 33
Ein neuer Typus für astronomische Fernrohre, 37
Erforschung der Fernrohrfehler im Lichte der Dispersionstheorie von E. Brück 139

Jupiter.

- Neuere Beobachtungen über die Facellen des Jupiter von W. G. Pickering 4, Der rote Fleck auf dem Jupiter 17, 47
Eingetritts des 2 Jupitermondes, 128

Kometen.

- Die Verlangsamung der Umlaufdauer des Neuesten Kometen 25
Der Komet Swift 1894, 27, 49
Der Zusammenhang des Kometen 1894 I mit dem Neuesten Kometen, 47, 125
Neuer Komet, 195
Der Komet Swift 1895 129
Fähig, über den Ursprung der Kometen 195

Mars.

- Der polare Eismantel des Mars von R. E. Douglas. 4
- Die jahreszeitlichen Veränderungen auf dem Mars. Von F. Lortz. 32
- Die Atmosphäre des Mars. 59
- Mars, nach den Forschungen von Schiaparelli. 126
- Deutung der Abplattung auf dem Äquator des Mars. 174

Meteorit und Sternschnuppen.

- Der Fall des am 1. Dezember 1884 in Schlesien beobachteten hellen Meteorit von Prof. Galle. 61
- Neue Sternschn. 145
- Der Perseiden der Meteor-Lichtwelle 1904. 145.
- Apogon und Gekkon in einem Meteoriten. 196.

Mond.

- Mondschattungen von J. N. Keeler. 1
- Wolken und die Durchmesser des Mondes auf den Mondphotographien nachweisbare Details? 26.
- Die totale Mondfinsternis 1903-März 19. 44.
- Neue Wahrnehmungen von Wolfkrater Linné 50
- Der neue Krater in der Nähe von Oberfel 76.
- Beim Saturn im Innern des Mondlichts, ein Hauch 92.
- Die Frage obige Freudentone 95
- Die totale Mondfinsternis am 11. März 1898. 120
- Die neue Mondphotographie des Italien Sternwags. 142
- Topographische Spezialkarte des Mondes von Fusch. 171.
- Ein Stern Auflebung über Lichtveränderungen in Mars Orbits 182
- Die Mondbeobachtungen auf der Sternwarte des Harvard College. 165-172, 210
- Die Mondfinsternis 1884 Sept. 9. 155.
- Der Mondtopographie. 162.
- Die Klopfers-Mitte. 207

- Die Mondbeschäftigung Herodot 2 bei untergehender Sonne. 186
- Ein neue Beschreibung des Mondfinsternis. 212
- Die neue astronomischen Special Karten. 216.
- Leuchten im Innern des Mond. 278.
- Sonne von Komet. 371
- Die partielle Mondfinsternis am 20. Febr 1904. 381.

Spektroskopie und Sternschn..

- Spektroskopische Untersuchung des Kometenlichts am 20. tätigen Licht-Perseiden, von Johann J. Kersch. 12. JI.
- Der große Comet im Orion. Von V. Lohm. 126
- Die photographische Aufnahme eines Teiles der Rückwand. 154
- Notiz über die Physikalische. 158.
- Photographische Aufnahme des großen Meteoroids durch Wien und Moskau. 205
- Photographische Aufnahme des Sternschnuppen im Herkules durch J. Roberts. 207
- Großer Comet im Orion. 261.

Planetenkonstellationen.

- 10-21, 22-25, 26-29, 30-33, 34-38, 39-42, 43-44, 45-48, 49-51, 52-55, 56-59, 60-63.

Planeten.

- Neue-42. 115-121.
- Neue Untersuchungen über die Spektren der Planeten von Prof. Vogel. 81
- Die mittleren Schattungen der Saturn der vier inneren Planeten. 126
- Bestimmung Linear Planeten. 130
- Spektroskopische Untersuchung über Rotation und Drehbewegung der Planeten. 131.
- Der Hauptstern der Planeten 311-320.

Saturn.

- Harwell und seine Untersuchungen über die Fortbewegung des Saturnringes. Von Prof. Seeliger. 5

Beobachtungen über die Rotation des Saturnringes. 294.

Spektroskopische Bestimmung der Rotationslage von Delta Andromedae. 292

Neue Rotationsbestimmungen des Saturn und seiner Ringe von E. K. Stassell. 285.

Die Masse und Densitätsverteilung der Saturnringe. Von Prof. Deichmüller. 212.

Sonne.

Die angebliche Dichte der Helium-Linie. 16.

Die totale von Sonnenflecken am 21. März 1913. 44.

Die Verteilung von Sonnenflecken im solaren System. Ange. 45.

Die Entstehung der Sonnenflecken durch Filamenten. 21.

Erklärung der Furchenlinien als Wirkungen der Kettelbew. etc. von Prof. A. Schmidt. 21.

Eine ungewöhnlich grosse Sonnenprotuberanz. 108.

Über die Ursache der Sonnenprotuberanzen. 108.

Ein ungewöhnlich grosser Sonnenfleck. 104 105.

Über die Bildung der Sonnenkorona während der totalen Finsternis am 17. April 1912. 180.

Die Spalten des Oberlichtes und der Sonnenkorona. 208.

Zur Veranschaulichung des totalen Sonnenfinsternis gross E. von Oppolzer. 112.

Der U-Teil des Spektrums der Chromosphäre. 204.

Pyritbestrahlung Wassergas während der Sonnenkorona vom 18. April 1912. 202.

Die Hochwasser der Furtz und die Sonnenflecken. 202.

Sonnenwinde.

Die Lowell-Sonnenwinde in Flugstaff. 22.

Die projektierte neue Flugstaffe in Beobachtung. 22.

Die v. Kollersche Sonnenwinde in Wien. 22.

Der Verbot-Observatorium der Universitäts-Chicago am Lake Geneva, Wisconsin. 222.

Verona.

Die Rotationslage der Verona. 26.

Die Frage über die Veronastern. 176.
Die Fläche der Verona. 272.

Veränderliche Sterne.

Der veränderliche Stern δ im Cygnus. 18.

Der periodische Auslösungen im Spektrum von β Lyrae. 23.

Der veränderliche δ Velorum. 117.

Beobachtungen über den Lichtverlauf veränderlicher Sterne von Gross und Lohse. 121.

Der veränderliche Nebel im Thaurus. 112.
Ein neuer Veränderlicher im Wassermann. 204.

Veränderliche.

Literatur. 42, 49, 107, 102.

Die beobachtete Erscheinung des Sonnen-system nach Thomsen. 42.

Astronomische Chronologie. 42.

Eine seltsame Weltbevölkerung. 72.

Ein geistlicher Finanzminister. 113.

Hilfen in neuen Messen. 141.

Ein unheimlicher verbotter Mann der Neptun. 142.

Der Sternes haben, von Richard. 142.

Beobachtungen über das Sonnen-schwebungen und dem Stande der Neptun. 141.

Erklärung Thomsen. 142.

Versuche zur Wiederherstellung der Stern-stande. 202.

Grosser Spitzer. 202.

Venus.

1. Die Nüchternheits Uranus und Venus, geschrieben von J. N. Kragels.

- | | |
|---|---|
| II. Darstellung des Mann, nach F. Lessell. | (Ausstellung am 11. März 1856, von von Dr. S. Eschard). |
| III. Die Betriebsweise der Venus, beobachtet am Jovial. | VIII. Photographie der Milchstrasse bei M. Mann, von E. S. Eschard. |
| IV. Das Ringgebirge Franzosien, gem von J. S. Köpfer. | IX. Die Mondlandschaft Harzschiff, gem von J. S. Köpfer. |
| V. Abbildungen zur Erklärung der Sonnenerscheinungen. | X. Das Verhals-Observatorium der Geometrie Chicago. |
| VI. Das Geländebild, gem. von Dr. N. Laska. | XI. Das Sternbild im Herkules M ₂₀ , nach der Photographie von J. Eschard. |
| VII. Der Mond während der totalen Ver- | XII. Das Lichtbild im Pluto, von J. S. Köpfer. |





SIRIUS

ZEITSCHRIFT FÜR POPULÄRE ASTRONOMIE

Herausgegeben unter Mitwirkung
hervorragender
Fachkenner und wissenschaftlicher Schrift-
steller.

Verlag von Dr. Hermann J. Ehrlich in Göttingen

Band 1898 oder auch Folge Band 1897
2. Jahrgang.



Leipzig 1898.
Carl Schönbösch.

Einige Worte an den Leser.

Das Interesse für die Wissenschaft, das Wissensthum, die Wissenschaft und nicht über das geistige Vermögen, die die „Menschheit der Wissenschaft“ bezeichnet wird, ist seit Jahren in den geistlichen Kreisen weit verbreitet, und die meisten Kräfte sind auf wissenschaftliche Gebiete ihres Wissens Interesse noch mehr wesentlich erweitert und erweitert. Der große Erfolg, den populäre Werke über Astronomie haben, erklärt sich durch den Wunsch akademischer Kreise, Kenntnisse zu erlangen von dem, was in den Wissenschaften erlernt werden ist. Dieser Wunsch und diese Sehnsucht sind in letzterem Grade lebhaft und wachsend, und, wie man nicht mehr werden darf, muss sprechen, vor allem um die zu befähigen, welche überhaupt die Wissenschaft durchsuchen. Im den menschlichen Geist mit großem und reichlichem Maße zu befruchten und dem Tode zu bringen, eine wissenschaftliche Kenntnis von unserer Stellung im Weltall zu gewinnen, diese ganz überwiegend und führt sie mit einem wissenschaftlichen Interesse von. Die Astronomie, die auf ihrer höchsten Stufe der Ausbildung fast ausschließlich an praktische astronomische Zwecke bezieht wird, hat ihre Bedeutung fast ganz, dass sie die höchsten Menschen eine hohe geistige Erleuchtung und viele Vorteile gewährt. Zu viel ist, in nach Richtung und Höhegrad, die Ansprüche der Wissenschaft an diese Wissenschaft gar nicht möglich. Der Mensch ist nicht allein, die höchsten geistigen Wissenschaften über einige Bereiche der Wissenschaft der Physik und der Chemie, die anderen Wissenschaften sind hauptsächlich für die Art und Weise der Entstehung des Weltsystems, so weit das wissenschaftlich ist, was die in dieser Richtung einige Kenntnisse geben zu können erlaubt. Wieder andere haben vornehmlich populäre Beschreibungen der Bewegungsvorgänge der Weltkörper im Auge und die anderen geht über die Kenntnissbereiche anderer wissenschaftlicher Fertigkeiten nicht hinaus. Zahlreiche Schriften werden und werden auf die ganz oberflächliche Kenntnis der Elemente der Wissenschaft, weil sich in ihrer Verbreitung würde Kenntnisse zu mehr oder weniger positiven Ergebnissen unterstützen können, die notwendig für die Astronomie, die nach ihrer Meinung ebenfalls hauptsächlich mit der Physik zu thun hat. Der Astronom hat diese die Mann, der sich in höhere Sphären schwingt und astronomische Beobachtungen sind in ihre Augen in der wissenschaftlichen Tätigkeit gewährt das Gefühl, was gewisse Vorteile in der Literatur. Diese Klasse von Interessenten ist, bei weitem die größte und die die sind auch ihre unerschöpflichen Quellen heranziehen, in denen die Verfasser ihrer Phantasie und ihren Wissen die Regeln erkennen lassen und wohl es möglich auf ihre eigenen Unterhaltungen und ein gewisses Spiel mit mehr oder weniger wissenschaftlichen Terminen abkommen. Die ganze Letzter, welche an dieser Klasse von Freunden der Astronomie geistig, und insbesondere hoch genug die Frage des ersten Fortschritts, das in der Astronomie thätigen Interesse. Die höchste Teil Begeisterung zu den letzten Tempel, wo man die „Wunder der Menschheit“ schaut und verlangen diese an Fortschritt zu sehen. Die Terminen des Naturgenusses, die Begleiter des Tages, die höchsten Höhen des Nordes dürfen keine keine schwierig, die Doppelhülle des Mars wollen die sehen, um auf Grund eigener Anschauungen eine neue Erklärung derselben zu erlangen. Nicht ist die die meisten Fortschritte gewinner und zum Teil auch Interessenten, die die Fortsetzung dieser Kenntnisse, nachdem die diese Stoff durch einen gewissen Bekanntheit gehen lassen. Wie ganz andere haben sie die die Stelle verstanden. Wie wissenschaftlich verbunden ist das, was die sehen von dem, was die astronomisch hier einem die höchsten Begeisterung sehr erheblich ist und es bedarf für das Astronomien sehr eingehender Anschauungsvorgänge, um diese guten Lesern klar zu machen, dass die astronomische Welt von Käse ist, die überhaupt nicht mehr wissen, wie diese eine Sprache Sprache oder die Materie. Immer das im wissenschaftlichen Kreis geistlichen Fortschritt der Wissenschaften gibt es aber noch eine Klasse andere, deren Sehnsucht darauf beruht, sich eine gründlichere Kenntnis der durch Beobachtung erlangten astronomischen Thatsachen zu verschaffen, in die wird nicht die Lust und das Zeug in sich haben, hier und da durch eigene Beobachtung eigene Erfahrung zur Wissenschaft zu helfen. Nicht sehen sie — und mit Recht — von dem höchsten wissenschaftlichen Teile der Astronomie ab, dass diese verlangt, um selber beobachtet und kritisiert zu werden, die wissenschaftlichen Studien, welche den Lebenslauf umfasst, und schließlich können sich darauf ein tiefer Worts erkennen, und zwar dieses sind dazu selbst auch ein Theil der Wirkung der Aufmerksamkeit. Die gesamte Freude der Wissenschaftler (wissenschaftlichen) sagt dessen mit Vielfachen höheren Teil der Astronomie, welche die Klasse „Astronomik“ hier auf der Wissenschaft, dass ganz eine Richtung ist, welche vornehmlich im Vordergrund der astronomischen Interessen steht. Hier ist in der That ein Weg, auf dem die Freude der Wissenschaft über die hohe Bekanntheit herab, welche auf dem Weg auch nach dem Mann einen Kenntnisse, einen Muth und einen individualen Dingen, erlangen und endlich wirken kann. Diese Klasse von Liebhabern der Natur

SIRIUS.

Zeitschrift für populäre Astronomie.

Beitragende für alle Freunde und Förderer der Himmelskunde.

Herausgegeben unter Mitwirkung

hervorragender Fachkenner und astronomischer Schriftsteller

von Dr. HERMANN J. KLEIN in Köln u. Köln.

Verlagsort: 1894/95.

„Wissen und Bekanntheit sind die Freunde und die
Bewehrung der Menschheit.“ — Kommt

in Köln: Heftveränderungen. S. 2 — Neue Heftveränderungen über die Kraft von der Jugend, von
Wilhelm M. Fehring. S. 2 — Der gelbe Scheitelpunkt des Mars. Von W. E. Douglas. S. 2 — Ma-
well's und Wien's Strahlensysteme. Über die Kraft vom der Heuzeit. S. 2 — Heftveränderungen über
den Magnetismus des Mondes. Von W. E. Douglas. S. 2 — Venus. Die magnetische Wirkung
des magnetischen Feldes des oberen Magnetismus. S. 2 — Die genaue Zeit der Nacht auf dem
Planet. S. 2 — Die Temperatur der Venusoberfläche der Erde nach Kowalew. S. 2 — Die wahrschein-
liche Form der Saturn's. S. 2 — Neuer's Verhältnisse gegen die Unerschaffenheit der Planeten. S. 2 —
Die Linsen-Systeme in Plutonium. S. 2 — Zwei grosse Planeten. S. 2 — Die geost-
rische Erklärung der Venus-Erklärung. S. 2 — Die Erklärung von W. E. Douglas. S. 2 — Der einfluss-
reiche, von E. Hart's weiteren Komet. S. 2 — Komet. S. 2 — Heftveränderungen der Jupiter's. S. 2 —
Die magnetischen Systeme. S. 2 — Heftveränderungen über die Kraft vom der Jugend. S. 2 —
Lage und Breite des Jupiter's. S. 2 — Stellung des Jupiter's in Mars. S. 2 —
Plutonium in Venus. S. 2 — Mars. S. 2

Merkelbezeichnungen.

(Namen: Tafel I.)

Befolgen des nördlichen Standes des Merkur am die Zeit des ersten
Viertele während der Sommermonate wickelte sich nach im verkürzten
Sommer hauptsächlich um die Zeit des letzten Viertele, als der Merkur
sehr hoch stand, — er erreichte in diesem Sommer fast die gegenwärtig-
hohe nördliche Deklination, nämlich ungefähr 23 1/2 Grad — dem
Zeichnen von einzelnen Merkurbeständen. Ich möchte sehr aufmerksam
vorzüglich auf die Formationen der Mittelkette, da dieselbe durch
äußere Beschleunigung besonders gut sichtbar war.

Die beigeführte Tafel I ist die Reproduktion einer am 21. Sept.
1894 erhaltenen Zeichnung der Huggsbarger Herren, Kiepitz und
Quantz. Der Luftzustand war an diesem Tage nur mittelmäßig, weshalb
das Fortschreiten (Objektiv) auf 100 mm abgeteilt und nur eine 110-
mm. Luft. Wehl.

ische Öster-Vergrößerung verwendet wurde. Es drühen daher auf der Zeichnung noch einige kleinere Objekte folgen, die des Fernrohr bei voller Öffnung und bestem Luftzustande zeigt.

Das südlichste (oben in der Zeichnung) der drei dargestellten Ringberge ist Caucasus, dessen Durchmesser in der Ost-West-Richtung von Kamm zu Kamm des Wuldes 90 Klm beträgt, das mittlere ist Klaproth und hat 111 Klm Durchmesser, das nördlichste (unten in der Zeichnung) Blauwasser mit 108 Klm Durchmesser. Die Ringberge treten am deutlichsten hervor, wenn man die Tafel um einen gewissen Betrag von oben aufwärts liest.

Der ungefähr 45 Klm. westlich von Blauwasser liegende Krater von 13,4 Klm Durchmesser ist mit diesem Ringberge durch eine sehr regelmäßige gebaute Krater-Rille verbunden, die bei höherem Sonnenstande von hohen Kratergräben umlagert erscheint. Diese Zeichnung bildet die südliche Fortsetzung meiner im 10. Heft des „Strus“ 1884 erschienenen Orion-Zeichnung.

Im Laufe eines Jahres habe ich Darstellungen von folgenden Funtenen erhalten:

- 1) Baum Indem;
- 2) die Gegend zwischen Throphiis, Nidien, Toricelli und Hypatia;
- 3) die Gegend zwischen Toricelli, Cassatius und Maskelyne;
- 4) einen gewissen Teil des Mare Neptun;
- 5) das nördliche Gebiet des Mare Foecunditatis mit Messier;
- 6) Locus Scagorum (nordwestlich von Foecundis);
- 7) Hypatia, mit Klein's Krater, Schneckenberg und dem südlichen Teil des Blauwassers von Toricelli;
- 8) einen Teil der westlichen Flanke des Mare Foecunditatis;
- 9) Thabit und Nit mit dem dazwischen liegenden Torus;
- 10) Faury, Haupt und Fox Mauro;
- 11) die Syphace Montes;
- 12) die von einem westlich liegende Region bis Fra Mauro Hauptland;
- 13) Bessel F., bei aufgehender Sonne;
- 14) Bessel F., bei untergehender Sonne;
- 15) das Ringberge Maginus;
- 16) die Ringberge Ptolemaeus;
- 17) die Ringberge Alphonsus;
- 18) das Terrain zwischen Bessel und Landberg;
- 19) Besselidus;
- 20) die Ringberge Arcturus und Herodotus;
- 21) Clavius;
- 22) Ptolemaeus;
- 23) die Ringberge Blauwasser, Klaproth und Caucasus.

Die Zeichnungen 5, 21 und 22 wurden im „Strus“ reproduziert. Es steht mir leider nur ein sehr ungelichteter Photogrammetral von Mond-photographen zur Verfügung, wodurch meine astronomischen Arbeiten oftmals sehr erschwert wurden.

Prva-Strussens: Gize-Symphonburg, 1884 December 28

F. Sep. Krüger

Neuere Beobachtungen über die Satelliten des Jupiters, von William H. Pickering.

Bekanntlich hat Hr. William H. Pickering bei seinem Aufenthalt in Arequipa merkwürdige Wahrnehmungen in betreff der Gestalt und Beschaffen der Jupitersatelliten gemacht, gegen welche letztere von allen anderen Körpern unseres Sonnensystems sehr verschiedene ermittelt. Diese Wahrnehmungen sind von andern mit geschickten Instrumenten ausgestatteten Beobachtern bis jetzt nicht bestätigt worden, sodass die Wahrnehmungen in Arequipa noch immer als zweifelhaft gelten. Herr Pickering hat nun seine Aufmerksamkeit auf dem temporären Lowell-Observatorium in Flagstaff in Arizona bewirkt, von dort, wo die Luft klarer hier und ruhiger ist, seine früheren Wahrnehmungen wenigstens zu bestätigen. Ihm ist dies in der That gelungen und dank der günstigen Witterung sowie der Kraft der angewendeten Instrumente konnte er in der Zeit vom 2. September bis 6. October sechs, mit Ausnahme von 4 Nächten, einen oder mehrere der Jupitersatelliten täglich oder abgepflückt sehen in der denselben gänzlich den früheren Beobachtungen ungleichartigen Art und Weise. Um sein Urtheil über die scheinbare Gestalt dieser Monde zu sichern, hat Hr. Pickering eine Reihe kleiner elliptischer Scheibchen hergestellt und auf schwarzes Papier gezeichnet, um die Formen der Monde mit diesen Scheibchen zu vergleichen, auch hat er den Einfluss der verschiedenen Vergrößerungen und der Lage der Augen auf die Wahrnehmung der Gestalt der Monde genauer untersucht. Um diejenigen Astronomen, welche über die Zuverlässigkeit der Pickering'schen Beobachtungen noch im Zweifel sein sollten, zu überzeugen, wird letztere zum Beobachtung vom 18. September mit, die uns verschiedene Gründe von Interesse ist. An jenem Tage 18^h 34^m sahen der 18-jährige Herschel-Extraktor, dass die 1. und 3. Jupitermonde, welche nahe beieinander standen, sich als langliche Scheiben darstellten, doch waren die Vergrößerungen bei beiden unterschiedlich zu ersehen. Der 2. und 4. Mond waren auch aus wenig länglich, aber in verschiedenen Richtungen, das Gleiche zeigte der 12-jährige Clark-Reflector. Es wurde zunächst der 12-jährige Clark'sche Reflector auf die Monde gerichtet und ein 100-facher Vergrößerung zeigte er ebenfalls nicht nur die Vergrößerungen des 2. und 4. Mondes, sondern auch beim 4. Teubner konnte die Abweichung von der Kreisform noch erkannt werden. Da die Vergrößerungen nicht alle in der gleichen Richtung lagen, so ist klar, dass sie weder einer Unvollkommenheit der besetzten Instrumente noch einem besonderen atmosphärischen Zustande zuzuschreiben sind, sondern sind sie im ganzen von etwa 6 Procenten konstant worden, so dass also auch keine aussergewöhnliche Aufklärung dafür verantwortlich gemacht werden kann. Diese Beobachtungen liefern aber auch Hr. Pickering's Ansicht auch das weitere Ergebnis, dass die Wahrnehmungen einer Art der Zustand der Luft sehr wichtiger und entscheidender ist als die Größe des besetzten Instrumentes. Mit anderen Worten: Wenn ein Beobachter sehr schätzbares Sternes untersuchen will, so bedarf er eines grossen Teleskops, während er aber die uns näheren Planeten und kleinere Satelliten zu untersuchen, so kann er dazu mit Erfolg auch ein kleines Instrument verwenden, falls

die Luftverhältnisse, unter denen er beobachtet, angewöhnet gut sind. Diese Thesen sind wegen der Natur von Instrumenten, die 7—10 Zoll Durchmesser haben, einseitig, die Jupitermonde auf ihre Gestalten zu untersuchen. Die Frage, ob Instrument und Luft für solche Prüfungen gut genug sind, beantwortet sich nach Hrn. Pickering einfach dadurch, dass man sich überzeugt, ob die Monde bei Anwendung einfacher Vergrößerung scharfe und deutliche Schatten werfen; ist dies der Fall, so wird an geeigneter Stelle die richtige Gestalt der Schatten der drei hellsten Jupitermonde hervortreten. Beim 1. und 3. Mond ist diese Eigenschaft am besten zu erkennen.

Als der 3. Mond am 21. September hinter den dunkeln Rand des Jupiter trat, wurde seine Abplattung zufolge der Reflexion in der Jupiteratmosphäre bei Annäherung an den Rand deutlich erkannt. Details auf der Oberfläche sind von Hrn. Pickering beim 1., 3. und 4. Jupitermonde deutlich gesehen worden, die beiden letzteren zeigten die nämlichen Flecke, die früher in Arzopha beobachtet wurden.¹⁾

Der polare Schneefleck des Mars.

Von S. E. Douglas

Das jüngst erfolgte völlige Verschwinden der Schneekappe des Mars macht die Beobachtungen seiner Lage und Größe während der vorübergehenden Winters von besonderem Interesse. Am 4. Oktober wurde diejenige Seite der Schneekappe, welche auf die Sonne zugewendet war (die nachfolgende Seite) als beträchtlich heller getönt wie die übrige Teile, sodass als einen ähnlichen Anblick bot, wie im vergangenen Juni, alsdann in kleinerem Maasstabe. Am 5. Oktober gegen 12^h sah man eine schwache dunkle Linie, welche die Schneekappe in zwei etwa gleiche Teile trennte, von denen der nachfolgende der grössere war, und am nächsten folgenden Tage sehr hell erschien. Drei Stunden später wurde eine Mischung dieser Größe und Lage angestrichelt. Am 7. Oktober gegen 12^h sah man, dass die Trennungslinie eine südliche Richtung nahm und am 12^h 30^m schien ihre Fortsetzung senkrecht zu dem ihr nächsten Teil des Randes zu stehen. Am 8. Oktober ward ebenfalls Lage und Größe der Schneekappe gemessen, allein die dunkle Spalte nicht gesehen, obgleich sie in glänzender Lage sein musste. Bei dieser Beobachtung erschien die Schneekappe etwa dreimal grösser in der Fläche als am 5. und 12. jenseit Monats. Bei dieser Beobachtung wurde eine schwächere Vergrößerung angewandt (100-fach, statt wie sonst immer 80-fach) und dies mag zum Teil eine scheinbare Vergrößerung durch Irradiation bewirkt haben, allein die genaue Veränderung kann hierauf nicht zurückgeführt werden. Am 12. Oktober war von der Schneekappe keine Spur mehr zu sehen und ebensowenig hat sie bis zum 17. Oktober (dem Datum dieses Berichtes) wieder gesehen worden. Seitdem ist kein Teil der Region, welche die Schneekapelle stuzen, mehr so hell als der unmittelbar dabei an

¹⁾ Astronomy and Astrophysics No. 128, p. 121.

Nordende der Marscheite liegendes Gegenden. Die Messungen ergaben, dass das Centrum der Schneekappe in der Zeit vom 6—12 Oct 47^h vom Südpol des Mars entfernt lag, in 59^h Länge. Am 12 October war die Kahlte von Ost nach West 150 engl. Meilen lang und erstreckte sich von N. nach S. über 115 Meilen in der Breite, die Fläche umfasste 15000 Quadratmeilen. Am 8 October betrug diese Ausdehnung resp. 120 und 100 Meilen und die Flächenausdehnung war 64500 Q.-Meilen, am 5. October waren dieselben Ausdehnungen resp. 107 und 200 Meilen und 77000 Q.-Meilen.

Bis jetzt bekannt, ist bis dahin noch niemals das vollständige Verschwinden einer der beiden Schneemasen des Mars beobachtet worden, sodass es diesem Jahre der erste Fall dieser Art vorliegt. Die kleinste Ausdehnung der Südpolmasse beobachtete Schiaparelli 1879, damals betrug der Durchmesser der Schneekappe 140 engl. Meilen. Dies war 35 Tage nach dem Sommer-equinoctium des Mars und 25 Tage später hatte die nördliche Schneekappe noch nicht 10^h Durchmesser der Nordpol erreicht. Am 17 October dieses Jahres waren dagegen erst 47 Tage nach dem betreffenden Sommer-equinoctium verstrichen, sodass es möglich ist vorzunehmen, ob man das Schmelzen bei dieser Opposition wiedersehen wird, jedenfalls wird er in den nächsten Monaten keine große Ausdehnung erlangen ?

Maxwell's and Hirn's Untersuchungen über die Constitution des Saturnrings.

Herr Prof. H. Seebig hat der k. bayerischen Akademie der Wissenschaften kürzlich eine wichtige Abhandlung vorgelegt¹⁾, der wir die Nachfolgende entnehmen. Es verschiedener Gegenständen hat er bereits darauf aufmerksam gemacht, dass ein Teil der Untersuchungen Maxwell's über den Saturnring keineswegs einwandfrei ist und dass sich gegen die Richtigkeit der von ihm angewandten Methode begründete Zweifel vorbringen lassen. Prof. Seebig kommt nun auf diesen Gegenstand zurück und geht hierbei aber auch auf die von Hirn²⁾ veröffentlichten Untersuchungen, die wenig bekannt zu sein scheinen, ein. Wie schon die ganz verschiedenen Wege, welche beide Forscher gehen, klar zeigen, ist die Hirn'sche Abhandlung ohne Kenntnis der mehr als 20 Jahre früher veröffentlichten Untersuchung von Maxwell entstanden. Es wird dies im Uebrigen noch besonders in einem von Hirn an Maxwell geschickten Brief hervorgehoben, welcher der Abhandlung als Anhang beigegeben ist.

Was die Maxwell'sche Untersuchung betrifft, so beschäftigt sich Herr Prof. Seebig im Wesentlichen nur mit dessen Theorie der Bewegung

¹⁾ Astronomy and Astrophysics No. 100 p. 728

²⁾ Philos. M. S. 4. Ser. Vol. 2. Wiesloch, nachher phys. Klasse Bd. 34. Heft 2 S. 284 u. 4.

³⁾ On the Stability of the motion of Saturn's Ring. An Essay, which obtained the Adams Prize for the year 1850 in the University of Cambridge.

⁴⁾ Mémoire sur les conditions d'équilibre et de la nature probable des anneaux de Saturne, présenté le 20 septembre 1859 à l'Académie des Sciences.

eines festen Ringes. Die Maxwell'sche Arbeit enthält bekanntlich noch sehr viel mehr und darunter sehr interessante Dinge, daselbst nicht allein in wissenschaftlicher, oder auch nur ethischer Hinsicht. Hinsichtlich wissenschaftlichen Gehalts behält sich Prof. Seeliger für eine spätere Gelegenheit vor.

Zunächst knüpft er an die von Laplace in der Mécanique celeste gegebenen Entwicklungen an und schließt dann einige Bemerkungen, die hauptsächlich die Sachlage, wie sie die Annahme einer festen Konstitution der Saturnringe schafft, nicht unberührt zu lassen sein dürfte, als durch die viel komplizierteren aber nicht strengeren Untersuchungen von Maxwell oder die Bemerkungen von Hers.

Prof. Seeliger zeigt nun durch eine nachherstehende Betrachtung, dass die Bewegung des Ringesystems instabil und die Zusammenstöße des Ringes mit dem Saturnkörper unabweislich ist. Schon eine minimale Verschiebung des Schwerpunkt des Ringesystems reicht aus, um ein Aufhellen des Ringes auf den Saturn in kurzer Zeit herbeizuführen.

Der Saturnring könnte nach Ansicht von Laplace aus einer sehr grossen Anzahl unendlich dünner Ringe, welche aber isohomogen sind, bestehen. Der Augenschein lehrt aber, dass der Saturnring, als Ganzes betrachtet, den Eindruck einer im hohen Grade homogenen Massen-Vertheilung in peripherischer Richtung macht und man wird die Bewegung der Schwerpunkte des Saturn gegen das gemeinsame Centrum dieser Ringe jedenfalls nahezu erhalten, wenn man den ganzen Saturnring als eine Kette aber unendlich dünner Scheiben ansieht.

Es ergibt sich dann aber, wie Prof. Seeliger zeigt, dass selbst bei einer so kleinen kleinen Anfangsgeschwindigkeit wie 0.00001 m pro Sekunde schon nach $2\frac{1}{2}$ Tagen der ganze feste Ringwald mit der Oberfläche des Saturnkörpers zusammenstossen wird. In so hohem Grade instabil ist also der Aufhängenstand!

Prof. Seeliger zeigt nun weiter, dass die Maxwell'schen Rechnungen nicht einwandfrei sind, weil sich dieser bei seinem mathematischen Entwickelungen gewisse Vereinfachungen gestattet hat, deren Zulässigkeit nicht erweisen, im Uebrigen sehr bestrittbar ist.

„Darauf wird man wohl,“ sagt Prof. Seeliger, „gehen müssen, dass das Maxwell'sche Resultat, in der vorliegenden Form wenigstens, gleichfalls unbegründet ist. Die nachstehende astronomische Frage scheint mir aber hiervon ganz unabhängig zu sein. Denn es ist über, dass die ästhetischen Verhältnisse beim Saturnring völlig verschieden sind von den Annahmen, auf denen das Maxwell'sche Problem beruht. Der Saturnring ist ein sehr dünner aber breiter Scheibchen und der Augenschein lehrt, dass dasselbe im Grossen und Ganzen in peripherischer Richtung von homogener Dichtigkeit ist. Wenn man sich den Ring nach vorstehendem Willen als bestehend aus sehr vielen, sehr dünnen und sehr isohomogenen Ringen, so werden sich doch diese Ungleichförmigkeiten in der Massenvertheilung der einzelnen Ringe nahezu kompensieren müssen, sodass man sich offenbar weit mehr der Wahrheit nähert, wenn man den ganzen Ring als homogen betrachtet, als wenn man etwas anderes annimmt. Hierdurch ergibt sich aber, wie oben auseinandergesetzt wurde, eine in hohem Grade instabile Bewegung und man wird diese mit viel mehr Recht als der Natur entsprechend ansehen können, als etwa die Konsequenzen des Maxwell'schen Problems.“

Prof. Seeliger geht nun auf die Untersuchungen Hirt's ein. Dieselben liegen in einer ganz anderen Richtung als die Maxwell'sche Arbeit. Während letzterer, erlittene Prof. Seeliger, versuchte, die Druckschaffigkeit der Bewegung des Saturn um das Ringcentrum zu untersuchen, beschäftigt sich Hirt mit den Anspannungen, welche man an die Festigkeit der Ringe zu machen gezwungen sei, falls diese als fest angenommen werden. „Hierbei erblickt Hirt von der Wirkung auszugehen, dass ein nicht bewegter Ring überhaupt einen statischen Zustand einnimmt d. h. dass sich Saturn stets in der Höhe des Ringcentrums befinden könnte. Er stützt sich dabei auf Laplace, der allerdings in der Blausäure selbst seine Untersuchungen über den Zusammenhang mit der Bestimmung schloß: „Je divers amant que semblent le globe de Saturne sont par conséquent des solides irréguliers d'une légèreté égale etc.“ Diese Schlussfolgerung ist aber durch die vorangehende Analyse keineswegs gerechtfertigt, denn Laplace hat nur die Bewegung homogener Ringe untersucht. Deshalb beziehen die auf Laplace's Wirkung sich stützenden Bemerkungen Hirt's der saturnischen Grundfrage nach etwas als wenig beweisend anzusehen werden.“

Prof. Seeliger geht nun zur Hebeville'schen Analyse der Hirt'schen Untersuchung und sagt, dass selbst bei einer sehr geringen Masse des Ringes die selbsttätigen Druck- und Zugkräfte, die den Ring zu zerreißen drohen, außerordentlich groß sind.

Nimmt man z. B. an, dass ungefähr die Masse des heißen Ringes der Masse einer Küküthene Wasserstoff entspricht, so ergiebt sich eine Druckkraft von 5 Millionen Kilogramm. Unter solchen Drucken würde aber jedenfalls ein von so dünnem Stoff bestehender Ring unüberwindlich zerfallen. Wollte man aber die Festigkeit so ganz annehmen, dass diesem Drucke Widerstand geleistet werden könnte, so müsste man noch die Bedingung der heftigsten vulkanischen Sturheit hinzufügen. Denn sonst würden sehr bedeutende Verbiegungen auftreten müssen, von deren Qualität man sich nicht Rechenschaft abgeben kann. Da aber die Beobachtungen dergleichen nicht verrathen, so muss man wohl, will man nicht mit ganz abnormen und unbehaglichen Verhältnissen rechnen, die Hypothese sehr dünner starrer Ringe aufgeben.“

Es möchte indessen noch übrig, den Saturnring als ein oder mehrere sehr dünne Ränder von stofflicher Breite anzusehen und nach diesem Fall wird mathematisch untersucht.

Die angeführten Rechnungen zeigen aber, dass auch dann sehr bedeutende Zugkräfte die Fortstellung des ringförmigen Bandes herbeiführen würden, dessen nur die Fehlsäure der Masse sich entgegenstellt.

Um eine genauere Vorstellung von der Größe dieser Kräfte zu erlangen, erwähnt Prof. Seeliger, dass Buchenholz ein Körper ist, der bei grösster Leichtigkeit die stärksten Drücke aushalten kann. Im vorliegenden Falle würde dann der Druck = 100000000 kg pro qm. Diese Belastung ist aber vierzigmal so gross, als Buchenholz verfahrensgemäss ertragen kann. „Indessen,“ fährt Prof. Seeliger fort, „ist offenbar die Druck stehende Kraft bedeutend kleiner, wenn die Breite des Ringes abnimmt, und man kann sich die Frage verlegen, wie breit die einzelnen Ringe sein müssen, um bei gegebener Festigkeit bestehen zu können. Die Rechnung ist nicht auszuführen, wenn die Ringenfläche versch-

knüpft wird. Für eine Metrie von der Beschaffenheit des Hohlkörpers folgt dann, dass der innere hohle Ring sich ausser aus 2 einzelnen Ringen bestehen könnte. Ganz Ähnliches gilt natürlich auch für den äusseren Ring, sodass also mit der festen Konstitution der Ringe die Folgerung verknüpft ist, dass derselbe aus einer grösseren Zahl schmaler Ringe bestehen müsste. Der Apparatbau und sonstige Beobachtungen, namentlich aus früherer Zeit, widersprechen dem durchaus nicht, und es ist bekannt, dass Laplace etwas ganz Ähnliches als durch die Beobachtungen bestätigt angenommen und darauf seine Rechnungen gegründet hat.

Es interessiert dieses Resultat von Hier noch ist, es bedarf es doch nichts an der Umwälzbarkeit der Annahmen. Der der Rechnung zu Grunde gelegte Zustand ist die im höchsten Grade instabile, wie oben auseinandergesetzt, und demzufolge ist die Untersuchung über die Umwälzbarkeit solcher Ringe notwendig, weil das System nur ganz kurze Zeit bestehen kann. Auch überflüssige Belastungen können stöße an der Saufüge, wenn man nicht das Aussehen der Seiteringe ganz ignorieren will.

Frägt man nun weiter nach der eigentlichen Konstitution der Ringe, nachdem der feste Aggregatzustand ausgeschlossen ist, so drängt sich zunächst die Vermutung auf, dass Gebilde könnten flüssiger oder gasförmiger Natur sein. Um die Mitte dieses Jahrhunderts hatte diese Hypothese an der beiden amerikanischen Gelehrten W. G. Bond und Pöry energische Vertreter gefunden, man würde es aber trotzdem nicht unrichtig in Betracht zu ziehen haben. Lange Zeit und besonders auch jetzt noch hat man die beständeten Experimente von Plouze über ringförmige Stoffe, die in rotierendem Flüssigkeiten auftraten, als einen Beweis für die Möglichkeit solcher kosmischen Gebilde angesehen. Diese Versuche waren natürlich aber nur die Wirkung der Kapillarität und haben mit Gravitationswirkungen gar nichts zu schaffen. Sie können also gar nicht mit den Gleichgewichtszuständen kosmischer Massen zusammen, ganz abgesehen davon, dass sie auch äusserlich den Verhältnissen beim Saturnring nicht entsprechen. Denn hier liegt in der Mitte der Ringe von sehr geringer Masse die bedeutende Saturnmasse, welcher Fall sich bei den genannten Figuren wohl kaum ereignen lässt.

Nachdem Laplace die Theorie der ringförmigen Gleichgewichtszustände in mathematischer Beziehung hatte, ist dieses Problem ausführlich und streng von verschiedenen Seiten behandelt worden. Die Hauptfrage, die aber bei einer Verwertung der erlangten Resultate in der Astronomie von der grössten Wichtigkeit ist, ob nämlich solche Figuren stabil sind und nicht durch unendlich kleine Störungen von einem ausgleichenden Fluss, bei dem gegenseitige Benachteiligung bei sich nicht gefunden, in demselben ist kaum wahrscheinlich, dass die erforderliche Stabilität vorhanden ist. Zu diesem Resultate kommt auch Hier auf einem internationalen Wege, auf welchem ihm hier gezeigt werden soll.

Es werde angenommen, dass zu einer gewissen Zeit der flüssige Ring wirklich besteht, wenn Saturn genau in dessen Centrum sich befindet. Dann wird der Ring mit gleichförmiger Geschwindigkeit wie ein fester Körper um sein Centrum rotieren und die einzelnen Teilchen werden keine Verschiebung gegenseitig erleiden. Wenn nun Saturn sich ausserhalb einer Ursache von dem Ringmittelpunkt ein wenig entfernt,

zu werden die einzelnen Teilchen nicht mehr gleichförmig rotieren können. Dort wo sie dem Saturn näher stehen, werden sie sich schneller, dort wo sie von ihm entfernt sind, werden sie sich langsamer bewegen müssen. Man wird nicht, weil die Anziehung des Ringes auf seine einzelnen Teile gering ist gegenüber der Anziehung des Saturn, ein außerordentlich wichtiger Teil von der Bewegung bilden, wenn man annimmt, dass die einzelnen Teile Kugeln beschreiben, deren Bewegung um Saturn liegt. Ist die Ringmasse als zusammenhängendes Ganz, so werden die einzelnen Teilchen in der Saturnnähe, da sie sich hier schneller bewegen, auseinanderzueilen und in der Saturnferne wird das Entgegengesetzte eintreten. Ist der Ring aus einer zusammenhängenden flüssigen Flüssigkeit gebildet, so werden sich die einzelnen Teilchen im letzten Punkte abheben und der Ring wird hier brechen und zerfallen werden können. Dieses Spiel wiederholt sich bei jedem Umlauf, also alle 20 bis 14 Stunden. Infolge der Reibung zwischen den einzelnen Teilchen wird beim Anheben oder Zusammenrücken der Teilchen Wärme erzeugt werden, was aber in der Saturnferne stattfinden muss, während, wenigstens ist dies bei gasförmiger Konstitution sicher, in der Saturnnähe eine Abkühlung erfolgen wird. Infolge der Wärmeleitung, des Stresses der einzelnen Teilchen gegeneinander etc, werden nun, wie die Thermodynamik zeigt, sich die Wärmeabkühlungen in der Saturnferne auf Höhe und auch in den dazwischen liegenden Punkten nicht ausgleichen, vielmehr bleibt ein Rest übrig, welcher eine Temperaturerhöhung der Ringmasse herbeiführt. Dies kann aber nur auf Kosten der Bewegungsenergie geschehen und es werden sich also die Dimensionen des Ringes nach dem Saturn hin verkleinern. Die Längsseite des Ringes wird sich demzufolge gemäß gleichmäßig von allen Seiten langsam dem Saturn nähern, um sich schließlich mit ihm zu vereinigen.

Auf Grund seiner Untersuchungen kommt Herr von dem Borchstam, dass sich alle Schwirgelingen und Unregelmäßigkeiten haben, wenn man annimmt, der Saturnring bestehe aus einzelnen diskreten Massenstückchen oder er sei, kurz gesagt, von staubförmiger Struktur. Wie sich die mechanischen Verhältnisse in einem solchen Systeme entwickelten, hat Herr nicht weiter untersucht und die kurzen Bemerkungen, die er in dieser Richtung macht, wurden vornehmlich dadurch der Korrektheit bedürftig. Dagegen hat Maxwell diese Probleme in Angriff zu nehmen versucht, aber dass er ihm eben, wie ich glaube, gelungen ist, ist einer eingehenderen Lösung zu gelangen.

Die Erreichungen, welche die staubförmige Saturnring darstellt, habe ich in zwei größeren Arbeiten besprochen und ich glaube dass der letztere Nachweis gelangst zu haben, dass alle Erscheinungen, die zum Teil sehr komplexer Natur sind, nur durch die an Grunde geliegte Annahme erklärt werden können. Bei dem noch nicht gelöst verweilenden Zustande der Dynamik des Saturnringes dürfte auf diesem Wege die historische Kritik gewonnen sein, die man bis jetzt der Maxwell-Herschelschen Annahme geben konnte.

Es ist interessant, dass die Forschung, nachdem der Reife nach alle nur denkbaren Annahmen über die Konstitution des Saturnringes diskutiert und als wahrscheinlich festgestellt wurden sind, wieder jener Anschauung, welche sie eben der ersten aufgestellt worden ist, um dann aber

wie es scheint, völlig der Vergangenheit zu verfallen. Es ist von verschiedenen Seiten bemerkt worden, dass Jacques Cassini (1677—1746) bereits die Maxwell-Hertz'sche Ansicht ausgesprochen hat. Die Wichtigkeit der Angelegenheit wird es wohl rechtfertigen, wenn ihr etwas nachgegeben wird. Bei Gelegenheit der Veröffentlichung seiner Beobachtungen des Saturn, namentlich des Verschwindens des Ringes im Jahre 1857¹⁾ spricht sich Cassini ganz deutlich aus. Pag. 47 sagt er:

„Ces apparences qui n'a point sa pareille dans les corps célestes, a donné lieu de conjecturer que ce pouvait être un amas de métaux qui tournoient dans le plan des anneaux et lévaient leur révolution autour de cette planète, que leur grandeur est si petite qu'on ne peut pas les apercevoir dans les télescopes, mais qu'ils sont en même temps si près l'un de l'autre qu'on ne peut point distinguer les intervalles qui sont entreux, excepté qu'ils paraissent former un corps entier.“

Diese werden Bemerkungen geknüpft über Schwefelkörper, die bei der Darstellung der Beobachtungen aufzuzählen sollen, in dieser Form aber wohl nicht existieren. Der Schluss bildet (pp. 48) die Bemerkung:

„On peut donc supposer avec beaucoup de vraisemblance que l'anneau de Saturne est formé d'une multitude de petites Planètes fort près l'une de l'autre, qui sont comprises dans son Atmosphère, sans être vues par le mouvement qui fait tourner Saturne autour de son centre et que dans cette Atmosphère etc.“

Hieraus nimmt also Cassini an, dass die kleinsten Teilchen, welche den Ring bilden, in der Atmosphäre des Saturn sich befinden und erst dieser durch die Rotation des Saturn bewegsfähig werden. Das ist freilich ein Zusatz, welcher die ganze Aufassung völlig verkehrt, und da Cassini diesem Zusatz für ganz wissenschaftlich hält, sieht er doch auf wesentlich anderem Boden als auf dem der Hypothese von Maxwell und Hirt. Es erscheint demnach doch nicht so überflüssig, dass die Cassinische Ansicht nicht allgemeinen Verbreitung gefunden hat.

Daneben wird nun, wie ich glaube, nicht gegen die historische Gerechtigkeit verstanden, wenn man die Erkenntnis, dass die Enttarnung einer starrförmigen Kondensate haben, an die Namen Maxwell und Hirt knüpft.“

Spektroskopische Untersuchungen der Nebelflecke am 30-stelligen Refraktor der Lick-Sternwarte.

In dem neuen zweibändigen III. Bande der Publikationen der Lick-Sternwarte gibt Professor James K. Keeler, gegenwärtig Direktor des Allegheny-Observatoriums, eine ausführliche Darstellung seiner spektroskopischen Nebelfleck-Beobachtungen am grossen Refraktor auf Mount Hamilton. Diese Beobachtungen sind allerdings schon vor vier Jahren veröffentlicht worden und seit Vollendung der vorliegenden Abhandlung hat das Studium der Nebelflecke durch Anwendung der photo-

¹⁾ Observations nouvelles sur Saturne. Mémoires de mathématique et de physique, tome des mémoires de l'Académie royale des sciences de l'année 1857 pag. 47 ff.

optischen Methoden unerschöpfliche Fortschritte gemacht, besonders auch auf letzterem Wege in dem Spektrum der Nebelstöße zahlreiche neue Linien aufgefunden worden. Kirke und Campbell haben gezeigt, dass fast jede Linie im Spektrum des Orionnebel mit Ausnahme der beiden Haupt-Nebellinien des sichtbaren Spektrums, durch eine hervorragende Absorptionlinie in dem Spektrum der heißen Sterne derselben Konstellation vertreten ist, die D₂-Linie wird im Spektrum des Ringels ebenfalls durch eine Absorptionlinie vertreten, ferner wurde gefunden, dass die Trapezsterne im Orionnebel ein Spektrum mit starken Absorptionen darbieten, aber keine heisse Linien zeigen, das, wie man früher glaubte, des Nebelstos entsprechen und dass daher diese Sterne nicht, wie man noch bis vor kurzem annahm, mit dem Nebel in Verbindung stehen, sondern nur optisch nicht auf ihm projiziert, auf der Gesichtslinie zwischen Nebel und Erde. Abgesehen von diesem neuen Theoremen bietet die Darstellung Kokers ein vollkommenes Bild unserer Kenntnisse der Nebelstöße für die Zeit ihrer Abfassung.

Der Stern, welcher dem Charakter des Nebelstospektrums als bestehend aus 2 heissen Linien erkannt, war Higgins 1854, auch bestimmte er ungefähr näherungsweise die Lage dieser Linien. Die dritte und schwächste fällt zusammen mit der Wasserstofflinie H β . Im folgenden Jahre beobachtete wieder das Spektrum des Orionnebel mit einem Spektroskop von geringer Krümmung und gab eine Skizze, in welcher die Lage der Linien nach Schätzung eingetragen ist. In einer zweiten Abhandlung von Higgins¹⁾ gab er Bericht über neue mit einem kräftigeren Apparat angestellte Beobachtungen. Die Hauptbeobachtung schien ihm mit der doppelten Nickelstoffsäure zusammenzufallen und Higgins schrieb sie in der That letzteren zu. Die zweite Nebelstoslinie konnte mit keiner Linie eines anderen Stoffes identifiziert werden, sie erschien etwas weniger kräftig als die Eisenstofflinie, deren Wellenlänge $\lambda = 4948$ und noch weniger als die Bariumlinie $\lambda = 6034$. Im Jahre 1868 machte Liemann²⁾ einige Messungen der Haupt-Nebelstoffsäure an südlichen Nebelstößen, doch waren die ihm zu Gebote stehenden Hilfsmittel nicht geeignet, genaue Resultate zu liefern. In dem nächsten Jahre wurden auch am Observatorium des Harvard-College Beobachtungen über Nebelstöße angestellt, die Lage der Hauptstöße aber nur im allgemeinen bestimmt.³⁾ Im Jahre 1871 beobachtete Prof. Vogel in Böhlskamp⁴⁾ verschiedene Nebel und bestimmte die Positionen der heissen Linien ihrer Spektren. Die Hauptlinie H β hiernach mit der doppelten Nickelstoffsäure zusammen und ihre Wellenlänge λ wurde zu 6035.3 bestimmt, die der zweiten Linie zu 4940. Vogel entdeckte damals auch die zweite Linie im Spektrum des Ringels in der Leyer. Da Higgins vorjährig 1872,⁵⁾ mit Hilfe eines wiederum gehaltigeren Apparates, die Hauptlinie im Spektrum des Orionnebel mit der doppelten Nickelstoffsäure und fand, dass jene zusammenfiel mit der Mitte der Doppelstöße zusammenfiel. Er war noch immer geneigt, die Linie im Nebel-

¹⁾ Phil. Transact. 1855, p. 542.

²⁾ Proc. Royal Soc. Vol. 24, p. 421.

³⁾ Annals of the Harvard College Obs. Vol. LI part. I.

⁴⁾ Böhlskamp Nach. 1871.

⁵⁾ Proc. Royal Soc. Vol. 20 p. 343.

spektrum dem Stickstoff zugesprochen und schloß das nicht ganzes Zusammenfallen einer Eigenbewegung des Nebels zu, durch die er sich von uns entfernt. Die Wellenlänge desselben ergab sich zu λ 5006, für die zweite Linie wurde als Wellenlänge gefunden: λ 4857 und die Ursprung als ebenfalls angesehen. Eine dritte Linie im Spektrum dieses Nebels sei zusammen mit der Wasserstofflinie H γ .

In einer 1854 der Royal Society vorgelegten Abhandlung teilte Huggins die Ergebnisse weiterer Beobachtungen mit.¹⁾

Die Lage der Hauptnebelleise zwischen den beiden Nebelstofflinien wurde bestätigt, dabei ergab sich weiter, dass eine Stoffeise fast genau auf die schwächer beobachtbare Nebelstofflinie sei, in der sie fern und schwach erschien, so konnte man sich am besten zur Vergleichnahme. Es ergab sich, dass die Hauptnebelleise um ein geringes weniger beobachtbar ist als diese Nebelleise, ihre Wellenlänge daher etwas größer als λ 5004,5. Vergleichungen der Lage dieser Nebelleise mit der Hauptlinie im streu Ansehl von Nebelstellen, zum Zwecke einer stärke Bewegung dieser Nebel in der Gegendstelle zum Erde zu erkennen, führten zu einem negativen Resultat. Es ergab sich, dass keiner der untersuchten Nebel eine grössere Eigenbewegung als 25 engl. Meilen in der Sekunde relativ zur Erde haben.

Im Jahre 1870 machte Prof. Bruchman in Moskau einige Messungen der 3 hellsten Linien in dem Spektrum verschiedener Nebel, doch erlaubten seine Hilfsmittel keine grössere Genauigkeit, er schloß vor, dass in allen Nebeln diese Linien von gleichem Ursprunge seien.²⁾ Messungen der hellsten Linien im Spektrum des Orionnebels wurden 1886 und 87 von Dr. Capitani an Don Schi angestellt,³⁾ die ergaben für die hellste Linie als Wellenlänge λ 5006, für die andere λ 4858, ferner wurde eine schwache Linie an der Stelle von D, (der Helium-Linie des Sonnenspektrums) gesehen. Eine Erklärung des Ursprungs dieser beiden Nebelleisen wurde, mit Huggins einer Vermutung, die hellste daraus mit einer Stickstofflinie aufgefaßt, nicht mehr versucht. Huggins selbst betrachtete die Nebel als glühende Gasmassen, in welchen Wasserstoff und eine oder mehrere unbekannt Substanzen, welche die beiden hellen Linien erzeugen, vorhanden seien. Im Jahre 1887 stellte dagegen Norman Lockyer die Hypothese auf, die Hauptnebelleise sei dem Magnesium zuzuschreiben, welches durch die Zusammenstöße angeregter Schwärme von Metallen, aus denen nach seiner Meinung die Nebelstoffe bestehen, hervorgeht werde. Im Jahre 1889 zeigte indessen Huggins⁴⁾, dass die Hauptnebelleise nicht mit der Magnesiumlinie von Lockyer zusammenfällt, er bestimmte am Orionnebel die Wellenlänge der ersten zu λ 5004,5 und die der zweiten Nebelleise zu λ 4857,5. Nach seiner Ansicht sei das Magnesium überhaupt nicht in dem Nebelstoffe vorhanden. Lockyer bestrebt dieses, doch zeigte Huggins durch seine Messungen⁵⁾ die Richtigkeit seiner Angaben und bestimmte die Wellenlänge der Hauptnebelleise unter Berücksichtigung des Einflusses der Erdbewegung

¹⁾ Proc. Royal Soc. Vol. 30.

²⁾ Annali de Chimica de Mosca, Vol. II, p. 4

³⁾ Sopernica Vol. I, p. 2.

⁴⁾ Proc. Royal Society, Vol. 42.

⁵⁾ Proc. Royal Society, Vol. 46.

zur Zeit seiner Beobachtungen im J. 1868-69, im Resultat, welches Prof. Löring mit demselben Apparate bestätigte.

Die frühesten spektroskopischen Untersuchungen von Nebelflecken auf der Lick-Sternwarte wurden auf Ersuchen von Huggins unternommen, deren Zeit hermit dieser seine letztgenannte Wellenlängenbestimmung veröffentlichte. Diese Beobachtungen auf Mount Hamilton bestätigten die Abweyung von Huggins betreffe den Nichtzusammenhänge der Hauptsehleife mit einer Magnesiumlinie. Es wurden bei dieser Gelegenheit auf der Lick-Sternwarte die beiden Nebel (Gen.-Kat. Nr. 424 und G.-K. 473) untersucht, doch fand sich bei Beem eine so merkliche Differenz in der Position der gemeinsamen Linie, dass es ungespröchlich wurde, dass einer der beiden Nebel eine merkliche Eigenbewegung in der Richtung zur Erde hin besitzen könnte. Im Mittel fand sich die Wellenlänge der Hauptsehleife im J. 1868-69 nach Angströms Skala, von Becquerel, welches jedoch wegen der Eigenbewegung der Nebel sowohl als unsere Sonnensysteme etwas unrichtig ist. Im Winter 1890-91 bestudierte Prof. Keeler die Position dieser Linie nochmals im Spektrum des Orionsehleife und muss gleichzeitig die Lageveränderung der dritten Linie dieses Spektrums durch Vergleich mit indischem Wasserstoff likewise ergab sich eine Entfernung des Orionsehleife in der Richtung der Gesichtsbasis von 187 engl. Meilen in der Sekunde und die normale Position der Hauptsehleife in der Wellenlänge 1 5006.33

Das sind die hauptsächlichsten spektroskopischen Nebeluntersuchungen, welche denjenigen, über die Prof. Keeler in der obigen Abbildung berichtet, vorhergingen. Er beschränkt sich zunächst primär den von ihm benutzten Apparat. Das Sternspektroskop, welches in Verbindung mit dem 26-Zöller angewandt wurde, ist von J. A. Brashear angefertigt und wiegt nahezu 130 Pfund. Das Beobachter'sche Gitter hat eine Oberfläche von $1\frac{1}{2}$ zu $3\frac{1}{2}$, Zoll und 14400 Linien auf den Zoll, die Spektrallinien höherer Ordnung sind darin brillant. In einem besonders Kapitel werden die Untersuchungen über die Instrumental-Fehler angegeben, deren genaue Bestimmung bei so feinen Beobachtungen von großer Wichtigkeit ist. Hiernach beschreibt Prof. Keeler die Art und Weise, in welcher die Beobachtungen angestellt wurden, doch kann dies hier übergangen werden. Durch Beobachtungen am Monde und der Venus, deren relative Bewegungen gegen die Erde genau bekannt sind, ergab sich, dass eine solche Bewegung von 2 engl. Meilen in der Sekunde durch Veränderungen in der Lage der Spektrallinien sich vollkommen scharf in dem benutzten Apparate erkennen lässt.

Geben wir nunmehr zu den Nebelbeobachtungen selbst über.

Zunächst werden die Beobachtungen am Orion-Nebel angegeben, der hell genug ist, um auch schwindende Vergleichungen der dritter' Sehleife mit dem indischen Wasserstoff zu gestatten. Diese Vergleichungen in 11 Beobachtungspunkten zwischen 1890 Oktober 16 und 1891 März 20 ergaben im Mittel eine Eigenbewegung des Orionsehleife von + 11.6 engl. Meilen in der Sekunde mit einem wahrscheinlichen Fehler von 0.8 Meilen. Das Zeichen + bedeutet hier wie immer eine Entfernung des Nebels, — dagegen Annäherung in der Gesichtsbasis zur Erde. Es ist möglich, sagt Prof. Keeler, dass diese Bewegung des Orionsehleife vollständig der Bewegung unseres Sonnensystems unter

schreiben ist, wenigstens widerspricht diese Annahme nicht den anderen Bestimmungen von Prof. Ross über den Ort am Himmel, auf welchen bei der Sonne sich bewegt und der wahrscheinlich Geschwindigkeit der letzteren, welche zwischen 15 und 40 Meilen betragen soll. Nimmt man 26 Meilen als Mittelwert dafür an, so würde die vorbeschriebene Entfernung der Sonne von Orionstebel 1160 sagt Meilen in der Sekunde betragen.

Die normale Position der Hauptsehlinie ergab sich zu $\alpha = 507^{\circ} 55'$ und dieser Wert kann man dazu dienen, durch Vergleichung mit der Lage derselben Linie in andern Nebelstellen, deren Eigenbewegung in der Umrichtung zu erwarten. Verschiedene Regionen des Orionsfelds zeigen stets die gleichen Bewegungen. Die Nebelstellen erscheinen stets vollkommen fern und schwach mit der Linie in der Wasserstofflinie. Das kontinuierliche Spektrum des Nebels war nicht sichtbar, doch erschien es nicht so hell als bei manchen andern Nebeln. Die Linie H_{γ} vermehrte Prof. Ross nochmals im Orionspektrum zu sehen. Die Wellenlänge der zweiten Hauptsehlinie ergab sich zu $\alpha = 4890' 21$.

Der große Nebel in der Andromeda. Das Spektrum erwies sich bei verschiedenen Beobachtungen durchaus als kontinuierlich.

Nebel GK. No. 701 (Rektum. $4^{\circ} 9' 5''$ D. — $15^{\circ} 1'$). Ein großer planetarischer Nebel mit schlecht begrenztem Rand und kleinem Kern. Huggins bemerkte 1894, dass sein Spektrum kontinuierlich sei, doch ist dies offenbar ein Irrtum, denn die gewöhnlichen Nebellinien wurden mit dem kleinen Spektroskop gesehen und die Hauptlinie war hell genug, um an dem Gitterspektroskop gemessen zu werden: $\lambda = 5600\text{m}\mu$.

Nebel GK. 2102 (Rektum. $10^{\circ} 19' 29''$ D. — $18^{\circ} 5'$). Einer der hellsten und schönsten unter den planetarischen Nebeln, von elliptischer Gestalt, $41.4''$ lang, $29.7''$ breit, der Rand heller als die Scheibe. Im Innern sieht man einen hellen runden Ring, welcher die bläuliche Farbe des Nebels praktisch verliert, genau im Zentrum steht ein sichtlich heller Kern. Die Bewegungen der beiden Nebellinien geben deren Wellenlängen im Mittel zu $5607' 15$ und $4369' 66$. Am 3. April 1891 wurde der Versuch gemacht, eine etwaige Rotation dieses Nebels spektroskopisch zu ermitteln, indem ähnlich wie beim Orionstebel die Linsenposition an den gegenüberstehenden Enden des Nebels bestimmt wurde. Der Versuch ergab indessen kein Resultat, ebensowenig gelang dasselbe bei dem innern hellen Ring.

Nebel GK. 2313 (Rektum. $17^{\circ} 5' 25''$ D. + $35^{\circ} 12'$). Ein großer, hellster, am Rande schlecht begrenzter planetarischer Nebel, im Centrum ein kleiner Kern 14. Größe, der mittlere Teil des Nebels ist verhältnismäßig dunkel. Das von Lord Ross gegebene Zeichnung dieses Nebels entspricht nicht ganz dem Aussehen desselben im 26-zähligen Refraktor. Das Spektrum ist das gewöhnliche des gasförmigen Typus, aber die Hauptlinie konnte mit dem grossen Spektroskop nicht gesehen werden.

Nebel GK. 428 (Rektum. $19^{\circ} 3' 38''$ D. + $34^{\circ} 13'$). Ein spindel-förmiger, in der Länge durch eine schmale, vollkommen dunkle Linie getrennter Nebel; an jeder Seite dieser Linie, nahe dem nördlich vorwiegenden Ende und von Nebel umhüllt, steht ein kleiner Stern 16. Größe. Die Zeichnung von Ross gibt das Aussehen des Nebels gut wieder.

Das kontinuierliche Spektrum derselben war Kaiser schwach und kein Detail konnte darin erkannt werden.

Nebel GK. 4344 (Rektasz. $14^{\circ} 32' 23''$ D. + $24^{\circ} 09'$). Der Nebel ist besonders reich bei einem hellen, sternartigen Kern, welcher ein kontinuierliches Spektrum gibt, in welchem einseitig eine helle Linie bei D_2 vermutet wurde. Die Nebellinien sind hell, obgleich weniger reich als beim Oranschnel. Außerhalb des Nebels, aber mit ihm durch ein schwaches Lichtband verbunden, zeigt sich eine behäufte Kondenslinie, deren Spektrum ähnlich demjenigen des Hauptnebels ist. Für die Hauptnebelleinien fand sich im Mittel aus Messungen zu 5 Abenden $\lambda = 5005.98$.

Nebel GK. 4352 (Rektasz. $17^{\circ} 1' 22''$ D. — $12^{\circ} 47'$). Die hellste Linie im Spektrum dieses Nebels ist Kaiser schwach im grossen Spektroskop, die behäufte Messung ergibt $\lambda = 5005.18$.

Nebel GK. 4353 (Rektasz. $17^{\circ} 52' 42''$ D. — $22^{\circ} 17'$). Das Spektrum dieses Nebels ist kontinuierlich, aber kern, denn es zeigt spärlich im Grün und Blau und eine hellere Partie ist in der Mitte. Der hellste Kern im Nebel gibt ein kontinuierliches Spektrum ohne Linien, obgleich dunkle Linien wie in dem Spektrum der L. Klasse wahrscheinlich gesehen werden könnten, wenn sie hier vorhanden wären.

Nebel GK. 4375 (Rektasz. $17^{\circ} 56' 26''$ D. + $56^{\circ} 32'$). Das Aussehen dieses in nördlicher Hinsicht bemerkenswerten Nebels ist von Hellem und sehr reich beschreiben worden¹⁾. Die Hauptlinie liegt höher im Spektrum als bei irgend einem andern untersuchten Nebel, sie fällt fast mit der H β -Linie zusammen, 6 Messungen ergaben dafür $\lambda = 4860.97$, für die zweite Linie ergaben 3 Messungen $\lambda = 4871.98$. Diese Messungen ergeben Einzelunterschied eine starke Verschiebung der Linie gegen das violette Ende. Das Spektrum des Kerns, mit dem kleinen Spektroskop untersucht, zeigte nichts Besonderes. Von der Linie D_2 konnte nichts wahrgenommen werden.

Nebel GK. 4380 (Rektasz. $18^{\circ} 0' 45''$ D. + $6^{\circ} 50'$). Das ist ein sehr heller Nebel und im Sommer 1890 wurde das Teleskop gewöhnlich auf ihn gerichtet, um vor Beginn der Beobachtungen die Adjustierung des Spektroskops zu verifizieren. Die Lage der Hauptnebelleinien seines Spektrums ist daher recht genau ermittelt, im Mittel aus 13 Beobachtungszeiten zu $\lambda = 5005.98$. Beide Nebellinien sind in diesem Spektrum sehr hell, auch die dritte Linie ist bemerkenswert hell, viel heller als obgleich, als im Spektrum des Oranschnels. Doch war im Sommer 1890 ein Versuch, sie mit der H β -Linie des Wasserstoffs zu vergleichen, wegen ihrer Kerns nicht sehr erfolgreich. Am 21. Mai 1890 wurden erfolgreiche Vergleiche dieser dritten Linie mit der Wasserstofflinie H β gemacht. Die Nebelleinien war gegen Violett verschoben und der Betrag der Ausdehnung in der Gewebstasse ergab sich zu 63 engl. Millen in der Sekunde. Am folgenden Abend wurden die Beobachtungen mit Erfolg wiederholt, wobei sich die Eigenbewegung zu — 63 engl. Millen ergab. Diese Beobachtungen liefern das Mittel zu einer unabhängigen Bestimmung der Normalposition der Hauptnebelleinien. Denn da der Nebel sich um 636 engl. Millen der Sonne in jeder Sekunde bewegt, so muss die Hauptnebelleinien dadurch 0.18 gegen Violett verschoben sein.

¹⁾ Monthly Notices R. A. S. vol. 46 (1886) p. 276.

Die normale Position dieser Linie ist also $\lambda = 5000.00$. Die gute Über-
 einstimmung dieses Wertes mit dem aus den Beobachtungen am Orionnebel
 abgeleiteten, ist bemerkenswert, um so mehr, als der neue Nebel sich der
 Sonne nähert, der andere sich von ihr entfernt und beide in ziemlich
 entgegengesetzten Teilen des Himmels sich befinden. Ausser den Linien
 5007, 4504, H γ und H β wurden noch verschiedene andere im Kern
 dieser Nebeln gesehen. Eine Linie bei D war ebenfalls hell und der
 Vergleich mit der Normallinie einer Spitzblende ergab, dass es wahr-
 scheinlich die Linie D₂ war. Die Linie H α war mit grosser Schwärz-
 heit am äussersten untern Ende des Spektrums zu sehen, mehrere
 schwache Linien erschienen bei $\lambda = 5050, 5400$ und 4450 und dunkle
 Linien wurden an zwei oder drei Stellen zwischen der hellsten Linie
 und D₂ bemerkt. Die Hauptlinien waren sehr und scharf im Spektrum
 des Nebels, aber verwaschen und bereits in demjenigen des Kerns. Es
 wurde augenscheinlich von grossem Interesse sein festzustellen, ob die
 hellen Linien D₂, H α und andere weniger auffällige, nur im Kern
 (wo die Substanz, deren sie ihren Ursprung verdanken, zweifellos unter
 höherer Temperatur und höherem Druck stehen) scharfer sind oder nur
 wegen ihrer Schwäche in dem verwaschenen Teile des Nebels nicht ge-
 sehen wurden, doch war es sehr schwer, darüber Gewissheit zu erlangen.
 Die Linien waren sehr kurz, im Kernspektrum mehr kontinuierlich, aber die
 schwachen sicher wesentlich des Kerns nach abnehmlicher als die ge-
 wöhnlichen Nebellinien. Die Wellenlänge der zweiten Hauptbestimm-
 ung bei $\lambda = 4504.93$.

Nebel GK 4447 (Rektas. 19° 47' 30" D + 32° 14'). Die hellste
 Linie im Spektrum dieses Hingebells in der Laya ist zu schwach, um
 sie mit dem grossen Spektroskop zu bestimmen. Mit dem kleinen er-
 schienen die gewöhnlichen drei Nebellinien, dabei die dritte kaum
 schwach. Der Zentralstern war ein 10-Köcher stets leicht zu sehen, aber
 für eine spektroskopische Untersuchung zu schwach. Inzwischen liess eine
 oberflächliche Vorstellung seines Spektrums durch das Teleskop allein
 erhalten werden. Wegen der chromatischen Abweichung liegt nämlich
 der Brennpunkt für die Strahlen, deren Wellenlänge λ 5000 ist, unge-
 fähr $\frac{1}{4}$ ausserhalb des Brennpunktes für die hellsten (gelblich-rotten)
 Strahlen des Spektrums. Deshalb kann ein planetarischer Nebel und
 sein sternartiger Kern nicht gleichzeitig am deutlichsten gesehen werden.
 Dies findet beim Hingebell in der Laya ebenfalls statt und daher kann
 der Zentralstern im Charakter seines Lichts nicht deutlich vom Kern
 eines planetarischen Nebels verschieden sein.

(Schluss folgt.)

Vermischte Nachrichten.

Die angebliche Umkehr der sogen. Helium-Linie. Das Sonnen-
 spektrum enthält eine als D₃ bezeichnete Linie, welche man von irdischen
 Substanzen nach nicht hat erhalten können, und daher einem der Sonne
 eigentümlichen Stoffe (Helium) zuschrieb. Einige Beobachter haben die
 Linie D₃ als doppelt angesehen bezeichnet, d. h. als helle Linie,
 in welcher eine dunkle liegt, die wiederum eine helle, hellere einschliesst.

Dies veranlaßte Herrn A. Bilopolsky, wiewol in den Jahren 1880 und 1881 in Pulkowa gemachte diebstahlige Beobachtungen mittheilen.

Bei Beobachtungen von Probenzenzen bemerkte er mehrere Male, dass die Linie D_2 doppelt erscheint, indem sie eine, nicht in der Mitte, sondern nahe einem Rande liegende, dunkle Linie enthält. Die Vermuthung, dass es sich um einen instrumentellen Fehler handle, musste fallen gelassen werden, da die Erscheinung auch sofort nach Anstreifen der optischen Theile des Apparates. Meist war die dunkle Linie nahe dem roten Rande der hellen Linie, wiewol sich auch an der violetten Seite eine Linie; aber man sah dies weder jeden Tag noch an jeder Probenmenge. Im Genuß beobachtete Bilopolsky 16 diebstahlige Beobachtungen, in denen die dunkle Linie ebenfalls in der Mitte der hellen Linie zu sehen war. Dieser Umstand und die Thatsache, dass wiewol noch eine zweite dunkle Linie am anderen Rande erschien, führten auf den Gedanken, dass es sich nicht um eine Umkehrung der Linie D_2 handle, sondern um eine tellurische Linie, welche der Linie D_2 sehr nahe liegt und in dieser erscheint, wenn die helle D_2 -Linie etwas breiter wird, oder durch Bewegung der sie erzeugenden Substanz nach der einen oder andern Seite verschoben ist. Um zu prüfen, ob wirklich in der Nähe von D_2 eine dunkle Linie existiere, stellte Bilopolsky ein Spektroskop mit einem horizontalen Gitter her und konnte sich überzeugen, dass die Linie D_2 genau in der Mitte zwischen zwei hellen, dunklen Linien liegt, von denen die an der roten Linie gelegene doppelt ist. Ihre irische Natur zeigte sich am 4. November 1881, wo die Luft sehr trocken war, bei einer Temperatur von -4°C , die Luft war ganz verschwunden; Morgen sah man am 6. Nov. bei gemäßigter frischer Luft und einer Temperatur von $+3^{\circ}\text{C}$ die Linien vollkommen gut. Dasselbe war am 8. Nov. der Fall. Es ist begreiflich, dass die doppelte, dunkle Linie an der roten Seite in einem Spektroskop von geringer Dispersion als einzelne, aber stärkere Linie, wie die an der violetten Seite, erscheint, welche letztere nur in sehr guten Bildern zu sehen ist. Die Messungen ergaben für die Doppellinie $\lambda = 587,05 \mu\mu$, für D_2 , $\lambda = 587,06 \mu\mu$ und für die dritte Linie $\lambda = 587,08 \mu\mu$.¹⁾

Der grosse rote Fleck auf dem Jupiter ist nach den jüngsten Beobachtungen von E. E. Barnard in seinen Vorlesern noch immer gut zu erkennen, aber er ist völlig so einem sehr schwachen Nebel gleich. Am 14. Okt. 18⁸² 21^h Pacific Zeit stand er central auf der Jupitersehne, so dass die Ephemeride von March seine Bewegung nach sehr nahe darstellte. Das nachfolgende Ende des Fleckes ist ganz dunkel, auf seiner Fläche erscheinen einige hellere Punkte. Der Strifen des Jupiters südlich von ihm scheint ihn zu besitzen, ja gegenwärtig möchte er denselben sogar verdecken etwas überagen. — Die Oberfläche des Jupiters erscheint in der gegenwärtigen Opposition mit zwei kräftigen, scheinbar Strifen bedeckt, zwischen denen in einer breiten hellen Zone der Äquator dieses Planeten liegt. In dem nördlichen Strifen zeigt sich eine Anzahl kleinerer heller dunkler oder schwarzer Punkte, die in der Äquatorrichtung etwas häufiger erscheinen, ebenso einige absteckende

¹⁾ Memoire de la Societe des astronomes de France. 1886, Vol. XXXI, pag. 89
4. Bureau, Paris, le 18. Nov. 1881.

helle Fleckchen. Diese Beobachtungen wurden am 24. März der Lach-
sterwartung ausgeführt.¹⁾

Die Verkürzung der Umlaufdauer des Encke'schen Kometen,
welche zuerst von Encke erkannt und auf die Einwirkung einer die
Himmelsbewegung erschütternden, der Bewegung des Kometen Widerstand
leistenden Materie zurückgeführt wurde, hat sich in den unmerklich zum
Abnehmen gekommenen Untersuchungen von Beckford bestätigt. Dabei
stellte sich jedoch, was auch schon früher von Anders gefunden wurde,
dass dieser Widerstand nicht so erfolgt, wie in die Encke'sche Annahme
dieser den ganzen Raum um die Sonne erschütternden Materie verlangt,
sondern dass die Hemmung an einer bestimmten Stelle der Bahn des
Kometen stattfindet und auf eine kurze Strecke beschränkt ist. τ Anders
dehnte deshalb an einem Kometencomete des Kometen mit einem der
kleinen Planeten. A. Berberich macht aus demselben bemerkbar, dass der
Encke'sche Komet ungefähr zwei Monate vor seinem Durchgang durch
den Perihel sich der Bahn des Halde'schen Kometen unmerklich nähert.
Man hat diesen Kometen als Komet gegenüber nicht mehr ver-
standen, sondern hat sich in einen Sternschuppenstrom aufgelöst,
dessen Ausdehnung nicht genauer bekannt ist. Mehrere andere Kometen
mit ähnlicher Bahn (z. B. die Kometen 14611, 14631, 1872 VIII) scheinen
darauf hinzuweisen, dass ein ebenfalls ziemlich großer Komet sich in
einzelne kleinere zerlegt habe, die sich später in Meteorströme auf-
lösten, also denselben Prozess durchliefen, wie Komet Hale seit 1861.
„Viellicht“, sagt Berberich, „ist es diese dieser Schwärme, der der Komet
Encke durchläuft. Das Hypothesen müsste in jedem zweiten Umlauf
stattfinden, da der Umlaufzeit des Hale'schen Kometen genau doppelt
so groß ist (5,61 Jahre) als die des Encke'schen (2,80 Jahre). Doch
ist auch die Möglichkeit vorhanden, dass jene Schwärme sich schon nahe
gleichzeitig längs der Halde'schen (oder vieler ihrer Wege) bilden,
aus denen ein wenig abweichende Hahn) verteilt habe, sodass die
Störung bei jedem Umlauf des Encke'schen Kometen entsteht. Würde
in dieser Weise, durch einen Halde'schen, die Annahmen vermehrt,
so wäre es sehr wünschenswert, dass der Komet Encke jährlich sehr
früh, nur im Mai Monate vor seinem Periheldurchgang, aufgesucht und
beobachtet würde. Man könnte dann prüfen, ob wirklich erst zwei
Monate vor dem Perihel jene abnorme Störung eintritt.“

Der veränderliche Stern δ im Cepheus, der innerhalb einer Zeit-
dauer von 5 Tagen $9^{\circ} 47' - 60'$ mit grosser Regelmässigkeit seine Hellig-
keit zwischen 3,7 und 4,5 Graden vermindert, ist von A. Bielowitzky in
Pulkowa spektroskopisch untersucht worden.²⁾ Die Beobachtungen er-
strecken sich über die Zeit vom 3. August bis 11. September 1869. Das
Spektrum gehört zum Typus He der Marspektrien und ist überlich dem-
jenigen von α Boote und seine Linien zeigen innerhalb der Periode des
Lichtwechsels geringe Verschiebungen. Der Stern spectriert daher
während dieser Zeit gleichartig mit einem anderen Stern wie geschlossen

¹⁾ Ann. astron. Nr. 128, S. 735.
²⁾ Ann. astron. pg. 1862.

haben um den gemeinsamen Schwerpunkt, sodass es sich also in einem Falle, ähnlich wie beim Algod, um einen Horrens wegen Doppelstern handelt, der im Fernrohr nicht zu trennen ist. Nach der von J. Lehmann-Filhé's angegebenen Methode *) hat Hr. Kęstowski von seinen Messungen der Lichtvertheilung und des Spektrogrammes, übereingewiesene Beobachtungen dieses Doppelsterns abgelesen. Die Umlaufzeit im mittleren gleich der Periode des Lichtwechsels, die Geschwindigkeit in der Bahn etwa 2½, genau. Malen in der Sekunde, der Radius der Bahn 100000 Meilen und das ganze System selbst sich um mit einer Geschwindigkeit von etwa 2½ Meilen.

Bessel's Verdacht gegen die Unveränderlichkeit der Polhöhe. Hr. Prof. Hagen, S. J., schreibt in den A. N. Nr 2223: Dass Bessel im Jahre 1844 eine Änderung der Polhöhe bis zum Betrage von 0".3 bemerkt, scheint nicht allgemein bekannt zu sein. Zu dieser Ansicht wird man gedrängt, wenn man die bekannte Schrift des Herrn Prof. Köhner aus dem Jahre 1848 liest, sowie die Einleitung Dr. Chandler's zu seiner Karte von Arctika über denselben Gegenstand. In der ungenannten Schrift werden die Ansichten der Herren Nyström, Gull und de Hall über merkwürdige Kapseln gewisser Polkärner und Gotheer Beobachtungen angeführt, und es selber Einleitung sagt Dr. Chandler (1850), eine wirkliche Änderung der Polhöhe sei ihm bei der Diskussion seiner Almasater-Beobachtungen als „eine kleine Schicksaligung“ vorgekommen.

In diesem, sowie in den zahlreichen vorher angeführten Schriften über die Änderung der Polhöhe wäre sicher auf Bessel Bezug genommen worden, wäre seine Ansicht bekannt gewesen. Man findet die betreffende Stelle in einem Heftle A. v. Humboldt's an Gauss vom 7. April 1848 (Ersch. zweites A. v. Humboldt und Gauss, von Dr. K. Bruns, Leipzig 1872, S. 53). Sie lautet:

„No ist denn der arme Bessel nur auch von seiner langen Zeit selbst worden. Es ist mir ihm eine sonderbare Übertragung in das Grab gegangen, von der Sie, mein edler Freund, vielleicht nicht gewusst. Er scheint mir am 1. Juni 1844, also vor seiner Krankheit: „Ich schreibe Ihnen etwas, das noch unvoll ist. Ich habe Verdacht gegen die Unveränderlichkeit der Polhöhe. Meine sehr vielen auseinander stromenden Beobachtungen mit dem neuen Kreise verkleinern die Polhöhe fortwährend, vom Frühjahr 1842 bis jetzt zwar nur um 0".3, aber selbst diese Kleinigkeit scheint mir nicht ein Beobachtungsfehler sein zu können, denn auch meiner jüngsten Beobachtungsart wird dies überfließt, was konstanter Eindruck auf die Mittel der einzelnen Sätze keinen könnte. Ich denke dabei an innere Veränderungen des Erdkörpers, welche Einflüsse auf die Rotation der Schwere erlangen.“

Diese „sonderbare Übertragung“, wie v. Humboldt sie nennt, scheint wirklich mit Bessel in das Grab gegangen zu sein, weshalb es anzunehmen schien, auf dieselbe aufmerksam zu machen. Bemerkenswert dürfte es auch sein, dass weder v. Humboldt noch Gauss den Gedanken Bessel's weiter verfolgt zu haben scheinen, und dass 44 Jahre vergahen sollten, als darüber von neuem gesprochen.

Die Lowell-Sterrenwarte an Flagstaff in Arizona wird in „The Nature“ folgendermaßen geschildert. Dieselbe liegt bei der Stadt Flagstaff unter 112° n. L., 35° n. Br. und in einer Erhöhung von 1200 F. ü. M., im also die höchst gelegene Warte der nördlichen Halbkugel unter dem grössten Sterrenwarte, in Bezug auf die Breite die nördliche ist. Ihren hauptsächlichsten Wert besitzt sie in des meteorologischen Bedingungen, nämlich in dem nennlich trocken und klaren Klima des Territoriums. Ihre Gebäude stehen auf dem höchsten Kufe des Aufganges von Hochstraße, das sich westlich der Stadt erhebt, und mit dem San-Francisco-Gebirge verbunden ist, dessen Rücken etwa 15 Meilen davon entfernt ist und bis 12000 F. ansteigt. Die Gebäude sind hierdurch gegen Norden geschützt. Im Osten und Süden erhebt sich ein sparsam mit Wald bedecktes Hügelland, dessen Rücken als Regelstein für die Extreme des Klimas zu betrachten sind. Die Gebäude bestehen aus einem Haus für das Aequatorial und einem solchen als Wohnung des Beobachters, beide sind in kurzer Entfernung voneinander aufgeführt. Die Kuppel des Aequatorial-Hauses ist nach einem Systeme von Prof. W. H. Pickering aus porcellänen Ziegeln zusammengebaut und zwar aus einem Stücke, auf welchem eine Art Knie von Drahtseil ruht, der ebenfalls wieder mit Segelstache überzogen ist. Obgleich diese Kuppel 34 F. im Durchmesser hat, weigt die ganze bewegliche Halbkugel nur zwei Tonnas, während der Dom des grossen Aequatorials der Harvard-Sterrenwarte, der 4 F. kleiner ist, 14 Tonnas wiegt. Die astronomische Anordnung besteht aus 3 Teleskopen: von 18, 12 und 6 Zoll Öffnung. Erstere ist von Brachear hergestellt und vom grössten Objektiv. Die Fokallänge beträgt 70 F., 4 Zoll hoch, und ist damit eine ungewöhnlich grosse. Dieselbe und das 12-zöllige von Clark's Atelier sind reifigungsartig montirt. Das 18-zöllige wird zu den Klüben und spektroskopischen Zwecken verwendet, das 12-zöllige für photographische. Das 6-zöllige, ebenfalls von Clark, ist ein schönes Objektiv, welches bereits gute Dienste verrichtet und das erste war, welches auf der nördlichen Halbkugel des Gale-Kameras zur Erprobung brachte. Zufällig ist es auch ein sehr genaues Instrument, das bereits verwendet durch die halbe Welt wanderte, bevor es in Arizona aufgestellt wurde. Auch ist es von derselben Art und Weise, als jenes, mit welchem Herschel selbst die ersten Beobachtungen über Doppelsterne machte. Das 18-zöllige wurde von Brachear mit verschiedenen gewissen Vorrichtungen nach den Angaben von Prof. Pickering für photographische und spektroskopische Zwecke ausgestattet. Für astronomische Arbeiten hat derselbe als Ergänzung des Mikrometers Platten mikroskopische Hülfert und dazu photographisch verkleinert, um das Bild ausserdem in dem Teleskop zu vergrössernden Vergleichs mit den Klüben und Dom des Haus, wie zu ähnlichen Zwecken verwendet zu können. — Wir bemerken nur noch, dass Hr. Percival Lowell der Sohn eines Vaters ist, welcher der Gründer des „Lowell Fund“ ist, von welchem die Kosten der „Lowell Institute Lectures“ bestritten werden. Er selbst ist ein Mann der Feder, unter mehreren Verfassern der „Japanese Art and Customs“, und ein sehr wissenschaftlicher Mann. Er selbst entwarf den Plan für die Sterrenwarte und leitete persönlich die Untersuchungen, an denen er zwei Aufgesehen des Harvard College Observatory für die Saison angaberte. (N.)

Zwei große Objektive, zu welchen das Glasfabriksche Laboratorium zu Jena die Glasarbeiten liefert, sollen demnächst hergestellt werden. Einige Mittheilungen darüber hat Hr. F. R. Achenbach bereits auf dem deutschen Maschinenkongreß in Leipzig gemacht. Bekanntlich laugt die Lichtstärke einer Linse für Punktobjekte vom Quadrat des Durchmessers, für Flächenobjekte vom Viertentheil dieses Quadrats zur Brennweite, für Flächenobjekte vom Quotienten, Quadrat des Durchmessers durch Quadrat der Brennweite ab. Beacht man die Konstruktionen dieser Objektive, so nach dem Zwecke, dem es dienen soll, variiert. Es sollen aus zwei grossen Refraktoren hergestellt werden, von denen der eine ein Objektiv von 1 $\frac{1}{2}$ m Durchmesser und 30 m Brennweite, der andere 1 l m Öffnung und nur 8 m Brennweite besitzt. Das Glaswerk wird das Glasfabriksche Laboratorium zu Jena liefern, während Stenheil den Schluß der Objektive übernehmen will. Wie eine noch ungegangene Nachricht besagt und die Zeichnungen in dem kleinen Objektiv (das also doch ein Licht-Refraktor noch um 18 cm überstrahlen wird) vollständig fertigen Objektives würden sich auf 500-600 Mark stellen. Ob es gelingen wird, ein solches Objektiv mit so enorm kurzer Brennweite (Verhältnis beider 1:72) zu machen, das es wirklich gute Bilder giebt, kann sich erst zeigen, da bis jetzt niemand in dieser Beziehung praktische Erfahrungen hat.

Das 40-zöllige Objektiv des Yerkes-Refraktor ist von Professor Barlow in den Werkstätten von Alvan Clark & Söhnen unter Leitung von Clark gefertigt worden. Das besetzte Beobachter erklärt es auf Grund dieser Untersuchungen für höchst vortheilhaft, es werde die Krone aller Objektive bilden, welche Alvan Clark verfertigt hat. Als es an hellem Doppelstern wie α Lyrae und β Delphin versucht wurde, gab es schöne Bilder derselben und bei Einstellung auf Stern γ Grössen wie Vega oder α im Schwanz erschien das Gesichtsfeld rings um diese hell erscheinenden Objekte völlig dunkel.

Ein Refraktor von 15 $\frac{1}{2}$ Zoll Öffnung und 10 $\frac{1}{2}$ Fuss Brennweite ist der Wesleyan-University zu Birmingham in Illinois von Herrn A. C. Behr, einem tüchtigen Beobachter dieser Stadt geschenkt worden. Das Instrument soll hauptsächlich zu photographischen Aufnahmen der Himmelskörper dienen.

Der im November 1854 von E. Swift entdeckte Komet stellt sich, das Beobachtung von C. Schaeffer geglaubt, als der seit 50 Jahren nicht wieder erschienene Komet von der Vice heraus, dessen Umlaufdauer 5 $\frac{1}{2}$ Jahre beträgt. Nähere darüber im nächsten Heft des Sirius.

Mehrere grössere und kleinere

Refraktoren

sind sehr preiswürdig zu verkaufen. Refraktoren wollen sich wegen seltener Mittheilungen zu nicht werden.

Dr. Hermann J. Klein in Köln.

Erhebungen der Jagdwunde. Die folgenden Angaben über die Erhebungen der Jagdwunde sind aus dem Bericht Kommando unterwunden und die entsprechenden Stellen mit Hilfe von Gensamen. Die Tabellen sind der Beobachtung ihrer Abwände vom Jagder nach mit I bis IV beschriftet. Ferner bedeutet:

- Ka K des Verhältnisses einer Treibwunde im Schützen des Jagdes
- Ka K des Ansatz des Treibwunden aus dem Schützen des Jagdes
- Ca C des Verhältnisses des Treibwunden hinter der Jagdwunde
- Ca C des Verhältnisses nicht neben der Jagdwunde
- Ta T des Ansatz des Treibwunden vor der Jagdwunde
- Ta T des Ansatz des Treibwunden aus der Jagdwunde
- St J des Ansatz des Treibwunden-Schützen auf der Jagdwunde
- St K des Ansatz des Treibwunden-Schützen aus der Jagdwunde

Ka sind von folgenden Erhebungen der Jagdwunde gegeben, welche sich erweisen, wenn Jagder im Gewehr über und die Sonne über dem Horizont steht. Um zu vermeiden der Entpunkte dieser Erhebungen der jagdwunde Ort zu finden, hat man nur nötig den Längenschnitt gegen Greenwich (ausgedrückt in Zeit) zu dem angegebenen Zeitpunkt zu addieren, wenn der Ort östlich von Greenwich liegt und davon zu subtrahieren, wenn der Ort westlich von Greenwich liegt.

März 1. I Ka K 10 10 10	März 6. III Ca C 7 10 10	März 11. Ca C 10 10 10
II Ca C 10 10 10	I Ta T 10 10 10	III Ca C 10 10 10
März 2. I Ta T 10 10 10	I Ka K 10 10 10	März 7. I Ta T 10 10 10
II Ka K 10 10 10	II Ta T 10 10 10	I Ka K 10 10 10
III Ca C 10 10 10	III Ca C 10 10 10	II Ta T 10 10 10
März 3. I Ta T 10 10 10	II Ka K 10 10 10	März 8. I Ta T 10 10 10
II Ka K 10 10 10	III Ca C 10 10 10	II Ka K 10 10 10
III Ca C 10 10 10	IV Ca C 10 10 10	III Ca C 10 10 10
März 4. I Ta T 10 10 10	I Ka K 10 10 10	März 9. I Ta T 10 10 10
II Ka K 10 10 10	II Ta T 10 10 10	II Ka K 10 10 10
III Ca C 10 10 10	III Ca C 10 10 10	III Ca C 10 10 10
März 5. I Ta T 10 10 10	IV Ca C 10 10 10	März 10. I Ta T 10 10 10
II Ka K 10 10 10	I Ka K 10 10 10	II Ka K 10 10 10
III Ca C 10 10 10	II Ta T 10 10 10	III Ca C 10 10 10
März 10. I Ta T 10 10 10	III Ca C 10 10 10	März 15. I Ta T 10 10 10
II Ka K 10 10 10	IV Ca C 10 10 10	II Ka K 10 10 10
III Ca C 10 10 10	I Ka K 10 10 10	III Ca C 10 10 10
März 11. I Ta T 10 10 10	II Ka K 10 10 10	März 16. I Ta T 10 10 10
II Ka K 10 10 10	III Ca C 10 10 10	II Ka K 10 10 10
III Ca C 10 10 10	IV Ca C 10 10 10	III Ca C 10 10 10
März 12. I Ta T 10 10 10	I Ka K 10 10 10	März 17. I Ta T 10 10 10
II Ka K 10 10 10	II Ta T 10 10 10	II Ka K 10 10 10
III Ca C 10 10 10	III Ca C 10 10 10	III Ca C 10 10 10
März 13. I Ta T 10 10 10	IV Ca C 10 10 10	März 18. I Ta T 10 10 10
II Ka K 10 10 10	I Ka K 10 10 10	II Ka K 10 10 10
III Ca C 10 10 10	II Ta T 10 10 10	III Ca C 10 10 10
März 14. I Ta T 10 10 10	III Ca C 10 10 10	März 19. I Ta T 10 10 10
II Ka K 10 10 10	IV Ca C 10 10 10	II Ka K 10 10 10
III Ca C 10 10 10	I Ka K 10 10 10	III Ca C 10 10 10

Flutwundererhebung 1893 März 20. — A. Nordsee. März 18. 1893. Mar-
 ker im nördlichen Kreise. März 17. 1893. Jagder in Quadrant mit der Sonne.
 März 16. 1893. Sonne 1893 in der Kreise des Widders. Früh-Abendung März 15.
 1893. Märker im südlichen Kreise. März 14. 1893. Sonne 1893.
 März 13. 1893. Mar-ker in der Sonne. März 12. 1893. Sonne im nördlichen
 Kreise. März 11. 1893. Jagder im nördlichen Kreise.





Staubbedeckungen durch den Mond für Berlin 1893.

Mond	Mond	Orbit	Menge wahrscheinl.		Jahres wahrscheinl.	
			h	h	h	h
März 18	↳ Löwe	10	20	14	10	100
" 20	↳ Skorpion	10	20	10	10	100

Lage und Größe der Scherlinie (nach Bessel)

März 12. : Größe Ann der Ringlinie: 415". Märs Ann 10 10".
 Erhöhungswinkel der Erde über der Ringlinie: 10° 10'.

Stellung der Jupitermonde im März 1885.

I.  I	III.  d r
II.  r d	IV.  d r

Beobachtungen von 18^h für den Anblick im astronomischen Parallelo

Tag	Morgens	Abends
1	4	12
2	4	12
3	4	12
4	4	12
5	4	12
6	4	12
7	4	12
8	4	12
9	4	12
10	4	12
11	4	12
12	4	12
13	4	12
14	4	12
15	4	12
16	4	12
17	4	12
18	4	12
19	4	12
20	4	12
21	4	12
22	4	12
23	4	12
24	4	12
25	4	12
26	4	12
27	4	12
28	4	12
29	4	12
30	4	12
31	4	12

Flussenerhebung im März 1895.

Mittlere Berliner Mätag					Mittlere Berliner Mätag				
Menge- tag	Abfluss des Abts.			Gesamt spezifische Abfluss	Menge- tag	Abfluss des Abts.			Gesamt spezifische Abfluss
	k	m	l			k	m	l	
1894									
März									
1	77	3	1387	-	8	30	44	35	18
2	73	57	1857		20	50	471	27	44
3	82	4	788		23	30	847	28	30
4	70	13	49-20		11	30	8-5	25	20
5	72	38	35-38		18	31	470	22	28
6	72	58	40-23	-	8	42	270	22	28
April									
1	77	3	1387	+ 1	38	30		1	38
2	8-58	33-40		+ 4	52	258		1	52
3	7-18	38-25		- 1	4	175		1	42
4	7-25	42-28		- 2	21	21		1	42
5	7-58	38-11		- 1	58	35-5		1	58
6	7-21	38-11	+ 11	18	21-8			1	51
März									
1	7-04	34-11	+ 22	5	21-2			2	57
2	4-18	23-28		22	28	2-8		4	58
3	4-28	32-11		22	2	28-5		4	58
4	4-55	18-40		25	25	21-2		4	58
5	4-47	32-25		23	28	21-2		4	58
6	4-3	21-25	+ 24	18	7-1			4	58
April									
März 18	4-45	21-25	+ 22	22	22	22		4	58
19	4-45	32-25		22	28	21-2		4	58
20	4-55	18-25	+ 22	28	21-2			4	58
Wassermenge 1895									
März 1	1	33-2	Lower Trestle						
" 13	14	—	Head in Berlin.						
" 20	25	21-2	Trestle						
" 21	25	21-2	Lower Trestle						
" 24	30	—	Head in Berlin.						
" 25	25	21-2	Trestle						

März

Mittlere Berliner Mätag					Mittlere Berliner Mätag							
y	-Abfluss des Abts.	-Abfluss des B.	Gesamt spezifische Abfluss	y	-Abfluss des Abts.	-Abfluss des B.	Gesamt spezifische Abfluss	y	-Abfluss des Abts.	-Abfluss des B.	Gesamt spezifische Abfluss	
												k
1	77	3	1387	71	12	4	2011	27	24	2182	18	57
2	73	57	1857	72	14	7	2026	28	24	2128	28	58
3	82	4	788	73	7	5	1205	29	4	1018	28	58
4	70	13	49-20	74	17	28	21-2	29	17	12-7	28	58
5	72	38	35-38	75	20	38	28-5	30	18	12-7	28	58
6	72	58	40-23	76	21	40	28-5	31	18	12-7	28	58
7	77	3	1387	77	18	25	21-2	32	18	12-7	28	58
8	73	57	1857	78	21	31	21-2	33	18	12-7	28	58
9	82	4	788	79	21	31	21-2	34	18	12-7	28	58
10	70	13	49-20	80	21	31	21-2	35	18	12-7	28	58
11	72	38	35-38	81	21	31	21-2	36	18	12-7	28	58
12	72	58	40-23	82	21	31	21-2	37	18	12-7	28	58
13	77	3	1387	83	21	31	21-2	38	18	12-7	28	58
14	73	57	1857	84	21	31	21-2	39	18	12-7	28	58
15	82	4	788	85	21	31	21-2	40	18	12-7	28	58
16	70	13	49-20	86	21	31	21-2	41	18	12-7	28	58
17	72	38	35-38	87	21	31	21-2	42	18	12-7	28	58

Deutscher Wasserbauverein, Berlin, 1895. Seite 24

Figure



liegt in es von körperlich, es würde sich der „Neger“ wieder. So ist die die
 Abmilderung, die er erhält, beträchtlich und von ihrem Kräfte erlangen nach seinem
 (Daran schmerzhaften) Wunden, die er in seinen verschiedenen Jahrgängen gelitten
 hat. Es ist das überhaupt eine große, über menschliche Grenzen, die der Kräfte
 menschlich Leber und Verdauung Mittel, und der Mannigfaltigkeit des „Niger“ dort wird mit
 Überzeugung darauf hinweisen, dass sein Verhalten, dieses Verhalten der Mensch-
 heitlichkeit des Geistes und Mäßigkeit zu haben, nach die gewisse Anforderungen
 gestellt hat. Man ist mit der häufige Anzeichen worden, das der „Niger“ in den
 letzten 1878 Jahren bei schmerzlichen Freunden der Antropologie, die man als Antropo-
 logen bezeichnet kann, ertragen hat, in den letzten, welchen er zwischen die
 die seine Wissenschaften beizubringen muss enthält, so über die diese gezeigt werden,
 dass er der „Niger“ war, welcher die seine Anweisung gab, dass er zwischen dem der
 Mensch zu verstehen darüber mit ständigen Anzeichen durchzuführen wird, ja, dass
 eine große große Aufgabe von wissenschaftlichen Dingen der Antropologie im Leben
 ist. Freilich ist auch große Aufgabe der die Menschheit, welches vorangehen
 im „Niger“ enthalten ist, nämlich dass die Antropologie, in den letzten Jahren gut
 gewirkt erweisen und nicht immer weitere Kräfte. Der Antropologie ist heute nicht
 mehr vorgegriffene Methode und Fachgebiet im Verhältnis zu dem der physio-
 logischen Aufgaben, was, er man physikalisch, Mathematik, Philosophie und in gewissen
 ihrer Dingen, er man mit einem Worte auch ein ständiger Teilnehmer sein, um den
 Ansprüchen der modernen Wissenschaften zu genügen. Unter dem nach die hier un-
 mittelbar ergriffene Teilung der Arbeit. Die wichtigste mathematische Antropologie, in
 bezugnehmend in diese Dingen als notwendig zu betonen, so kann er gut
 wie man gesehen von jenen anthropologischen Wissenschaften der Forderung, wo die
 Kraft und ihre Leistungen nicht ergriffen werden, und wo Physiker, Zoologen, Botaniker,
 chemische Chemiker und anderer Teil der der physikalischen Kognition und das einen hohen
 Lebensniveau haben dem Fortschritt des Platz haben. Das diese Wissenschaften werden
 immer schärfer, von dem geringeren, dass solche Anweisungen anthropologischen
 besteht im Hinblick an, welchen der Staat gestattet, um so den höchsten Antropo-
 logischen Art, welche durch die Erde auf die Mittel hochsteigeren Privatpersonen im
 Leben sein. Das was an diese Dingen gegeben, gegeben und gegeben wird,
 soll nach demselben Hauptbestand der Arbeit der Erde der „Niger“ haben und zwar in
 allgemeine wissenschaftliche Darstellung, die notwendig vor einem Volkstum, nach dem
 nach Erde vortritt. Freilich ist aber die höchste Vertiefung und Vertiefung der
 die wichtigste und höchste Wissenschaften betonen der großen Menge wird der
 „Niger“ auch besser zu verstehen.

In dem Hauptausgangspunkt Geben, die wir dem Leser bringen, können nicht
 auch die schätzlichen und sehr vielgestaltigen Schriften, Pamphlete, Buch-
 schriften etc. genannt werden.

Es kann im Gegensatz eine Selbstverwirklichung als auch in einer Art be-
 zogen werden und die schmerzlichen Buchschichten, welche dem Herausgeber bereits in
 der Verlagshandlung Arbeit von Abrechnen zuliegen, besteht ist, dass er in einem
 ungewöhnlichen Streben, das Verhalten des geistigen Mensch etwa Zielsetzung zu
 Man, der Antropologie eine Forderung vorführen, und dem richtigen Wege ist.

Die Antropologie enthält in mehreren Hefen von ca. 1%, Druckpreis gegen 100
 mit Abrechnung Beiträge, Buchschichten etc. etc. und kann durch jede Buchhandlung
 oder Postanstalt bezogen werden.

Preis ganzjährig (12 Hefte) 12 Mark.

(Wird nur ganzjährig abgekauft.)

Für eine ganzjährige direkte Zusendung unter Kreuzband an noch 40 Pf.
 bezahlbar.

Für von einwirkende Abrechnungen bestehen wir, dass der Heft I bis XX der
 „Neger Folge“ der „Niger“ noch zu haben sind und, solange der Verlag reicht, sowohl
 direkt von der Verlagsanstalt, als auch durch jede andere Buchhandlung bezogen
 werden können.

Gedruckt in der Buchdruckerei in Düsseldorf unter der Druck 10 Pfund an
 Hefen und nach durch jede Buchhandlung zu beziehen.

In Einzelheften des Verlagsbuchhandlung des Verlagsbuchhandlung des Verlagsbuchhandlung

Leipzig, Januar 1896.

Die Verlagsbuchhandlung von Karl Schöfke.

Verlagsstellen siehe untenstehend!

An die verehrl. Abonnenten des „Sirius“!

Um den Abschluß des „Sirius“ nach die frühere Anleihe der Abonnenten und allgemein beliebten Zeitschrift leicht möglich zu machen, habe ich mich entschlossen, eine Partie Exemplare des I. bis XIV. Bandes (Jahrgang 1873—86) zu bedeutend ermäßigten Preisen hiermit an zu offeriren.

Band I, II, III, IV, V, VI (Jahrgang 1873—76) waren zusammen genommen nur 20 Mark.

—= Einzelne Bände 4 Mark —=

Band VII, VIII, IX, X (Jahrgang 1877—80) waren zusammen genommen nur 20 Mark.

—= Einzelne Bände 4 Mark —=

Band XI, XII, XIII, XIV (Jahrgang 1881—84) waren zusammen genommen nur 20 Mark.

—= Einzelne Bände 4 Mark —=

Band XV/XXIII (1885/86) à 12 Mark.

Einband-Decken dazu kosten pro Band nur 75 Pf.

Noch bemerkt, das nur die vollständige kleine Verast Ausgabe vertrieben, kann, welche ich ebenfalls Interessenten billiger beziehen zu wollen. Auch Verkauf obiger verbleibender Bände wird bei die Ladungpreis wieder in Kraft.

■ Ganz besonders wird auf das Hauptverzeichniß General Register zu Band I—XV der neuen Folge des „Sirius“ hingewiesen, welches für jeden Abschluß der Bände I—XV der N. F. unentgeltlich ist. ■

Jede Best- und Remittanzung nimmt Anfertigung entgegen

Verantwortungsvoll

Leipzig, Januar 1890.

Die Verlagsbuchhandlung.

Karl Schönbach.

Der Leserschnittstelle befindet bei der Best- und Remittanzung von

Expl. Nbr. Neue Folge I, II, III, IV, V, VI. Band zusammen genommen für nur 20 Mark. Einzelne Bände 4 Mark.

Expl. Nbr. Neue Folge VII, VIII, IX, X. Band zusammen genommen für nur 20 Mark. Einzelne Bände 4 Mark.

Expl. Nbr. Neue Folge XI, XII, XIII, XIV. Band (Jahrgang 1881—84) zusammen genommen nur 20 Mark. Einzelne Bände 4 Mark.

Expl. Nbr. Neue Folge XV, XVI, XVII, XVIII, XIX, XX, XXI, XXII, XXIII. Band (Jahrgang 1885) nur 12 Mk. 1885 1886 1887 1888 1889 1890 1891 1892 1893 1894 1895, à 12 Mark.

Expl. Remittanzverzeichniß (Band I, II, III, IV, V, VI, VII, VIII, IX, X, XI, XII, XIII, XIV, XV, XVI, XVII, XVIII, XIX, XX, XXI, XXII, XXIII) à 12 Mk. 75 Pf.

Expl. General Register zu Band I—XV der neuen Folge. 2 Mark.

Im, Haupt und Tag. Neue nach Band.

Das nicht Verbleibende wird in durchgeschickten.

Verantwortungsvoll

SIRIUS

Zeitschrift für populäre Astronomie

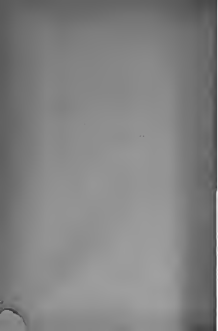
Herausgeber und Mitwirkende
herausgegeben
von
Fachlehrern und astronomischer Schriftstellern
Erläutert von Hermann J. Klein in Leipzig

Band XXVIE mit dem Folge Band XVIII

2. Heft.



Leipzig, 1875.
Karl Schötzle.



SIRIUS.

Zeitschrift für populäre Astronomie.

Zeitschrift für alle Freunde und Förderer der Himmelskunde.

Herausgegeben unter Mitwirkung

hervorragender Fachkünstler und astronomischer Schriftsteller

von Dr. HERMANN J. KLEIN in Köln a. Rhdn.

Verlagsort: SIEBEL.

„Wissen und Können sind die Freunde und die
Hilfskräfte der Menschheit.“

Inhalt: Die wichtigsten neuen Entdeckungen an Neptun. II 27. — Welches sind die Ursachen des Magnetismus und des Magnetismusvermögens stählerner Körper? II 28. — Die jährlichen Sonnenbewegungen auf dem Fixstern Himm. II 32. — Systematische Untersuchungen der Parallelität der stählernen Metallstäbe der Längsversuche (Schöner) II 32. — Eine die Welt ausmachende Anzahl stählerner Metallstäbe gleicher Mäße. II 32. — Das stählernen Sonnenmagnetismus (vgl. Wiss. 22-24). II 32. — Die neue Beobachtung des Mars am 11. 23. — Neueste Entdeckungen über die Weltbevölkerung von Inseln und die verschiedenen Wege II 22. — Neue Planeten des Himm. II 23. — Cometen II 24. — Untersuchungen des Jupitermagnetismus II 24. — Magnetisierungsversuche II 24. — Untersuchungen über die Welt des Himm. 22. 24. — Lage und Form der Weltkörper II 24. — Stellung der Planeten am 11. April 1894 II 24. — Planetenbewegungen im Februar 1894. II 24. — Mars II 24.

Die projektierte neue Sternwarte zu Heidelberg.

Wie bereits früher an dieser Stelle mitgeteilt worden, hatte sich die Kaiserlich-königliche Heiliche Regierung auf Anregung der naturwissenschaftlich-mathematischen Fakultät der Heidelberger Hochschule entschlossen, die Sternwarte von Karlsruhe nach Heidelberg zu verlegen und der Zweck entsprechend auszugestalten. Das hat dabei in gewisser Richtung, dass der Heidelberger Universität der unangenehmste Nebenwirkung, durch die grossen Entdeckungen Bessel und Kirchhoff der Astronomie eine neue Richtung gegeben zu haben und dass es die in der jüngsten Zeit Professor Dr. Max Wolf eine Reihe von ähnlichen Entdeckungen auf dem Gebiete der Astrophysik gelangen sei, die in der ganzen wissenschaftlichen Welt hohe Anerkennung gefunden haben. Demgegenüber forderte die Regierung auf dem letzten Landtage die Summe von 40000 Mark als erste Rate für den Bau der Stern-

berger Sternwarte, deren Gesamtaufwand auf 2,5000 Mark berechnet ist. Das neue Institut soll auf der Höhe des Sauerberges errichtet werden, die erforderliche Anzahl von Beobachtungs- und Arbeitsräumen sowie die Wohnungen der Direktoren umfassen und in eine astronomische und astrophysikalische Abteilung zerfallen. Die Abgeordnetenkammer war zufolge dem Plan durchaus abgeneigt. Dagegen stiftete bereits der Staatrat, an seiner Spitze der unerlässliche Oberbürgermeister Dr. Wislizenus, denselben zu Berlin. Der Staatrat erklärte sich bereit, das in dem Bauhaus errichtete Gebäude möglichst zur Verfügung zu stellen, einen entsprechenden Zufahrtsweg zu erbauen und zu unterhalten sowie auch — was von entscheidender Bedeutung ist — dem Institut das nötige Wasser zu stellen. Diese Liberalität blieb dann auch bei den Landständen nicht ohne Eindruck und ebenso wenig die Mitteilung, dass ein Amerikaner, Miss Katherine Bruce in New-York, für den Fall der Genehmigung des Plans den Betrag von 40000 Mark zur Anschaffung eines astrophysikalischen Instruments für die Sternwarte in hochherrlicher Weise angeboten habe, welche Summe noch inzwischen in Potsdamberg eingekassiert worden ist. Miss Bruce ist jenachst des Kaisers durch Frau hochherrliche Förderung astronomischer Interessen hieselbst bekannt. Das neue Geschenk, welches sie ebenfalls nach Deutschland gemacht hat, setzt ihren edlen Bestrebungen die Krone auf. Die edle Amerikanerin hat damit die Behauptung der ständischen Abgeordneten durchbrochen. Einestweilig haben am 21. Dezember v. J. die Ständevorstände Bielefelds die Verträge des Staatrats genehmigt und damit den Beweis geliefert, dass die Bürgerschaft bereit ist, ihr Ideal Zwecke grossen Opfers zu bringen. Dass nun die Sternwarte auf dem glänzend wasserreichen Gausberge mit Wasser zu versehen, wäre eine Leistung vom Copula gelobt werden, die einem Aufwand von nicht weniger als 110000 Mark erfordert. Selbst Aufbringung dieser Summe sollte 40000 Mark dem Bauvertrags das städtische Wasserwerk einbringen, der Rest von 70000 Mark aber durch die Anleihe eines mit 4 Prozent zu verzinnsenden und in 4 Jahren abzutragenden Kapitals gedeckt werden. Mit dem Bau der Sternwarte soll man im nächsten Frühjahr beginnen wollen. Das es wird sich in Bielefeld nur den grossen Mühen, von denen aus der göttliche Blick der Menschen zum erstenmal in die unerschöpflichen Welträume gedrungen ist mit der Erleuchtung wie die chemische Natur des Weltkörpers zu erfüllen sei, eine neue, wissenschaftlicher Forschung gewidmete Stadt zu erbauen, welche die Erkenntnis des Weltbaus fördern und der allerbühmlichen Imperia-Carla zu ihrem Ruhm gestalten wird.

Welches sind die Dimensionen des kleinsten auf den Mond-photographien sichtbaren Details?

Diese Frage ist in den letzten Jahren wiederholt behandelt worden und zwar hauptsächlich veranlasst durch die publizierten, auf der Lick-Sternwarte angeführten Mondphotographien. Während auf der einen Seite behauptet wird, diese Photographien zeigten, sobald die bildtrag-

Hoch vergrössert würden, so sind Details, das dieselben aus grosser Entfernung (vor allem grosser Höhen) bis heute am Farnstein direkt noch nicht gesehen worden seien, behaupten andererseits erhaltene Mundkissen- und Anatomien die auch gleichzeitig erhaltene Photographien sind, dass auf den vergrösserten Loch Photographien bestenfalls nicht so viel Details gesehen werden können als am 4-, höchstens 6-stufigen Mikroskop direkt dem Auge zeigt. Herr W. Prinz von der Bismarck-Steuerzoll, der selbst die photographische Vergrösserung von Loch Photographien in vorzüglicher Weise ausgeführt hat und offen erklärt, dass das von Einzelnen besetzten besonderen Schwierigkeiten solcher Vergrösserung gar nicht vorhanden, sondern nur schwinden sind, hat die Frage nach dem Durchmesser des kleinsten auf solchen Photographien erhaltene wirklichen Munddetails genau untersucht.)

Er macht zunächst darauf aufmerksam, dass ein Teil der wissenschaftlichen Presse mehr und mehr dem (amerikanischen) Journalismus verfallt, indem sie eine Kontrolle und Kritik, Beschränkungen in redaktioneller Hinsicht, die dem nicht genügend mit der Sache bekannten Leser ihre führen. Die wirklichen, geschriebenen Arbeiten werden dadurch kaum beachtet, es regnet ein gewissermassen im Stillen fort, während der Höhe des Tages von Lokatoren über unzählige Leistungen wiederholt und zuletzt, wie durch Suggestion, selbst die Fortschritte von diesem Lärm argwähnlich werden.

„Der Mund“, sagt Herr Prinz, „ist eine derjenigen Anatomien, welche am meisten von dieser Artwischen der Imagination der Entdecker zu leiden hat. Nach dem Glauben der Menge sind seine Lichtstrahlen in ständiger Bewegung, auf welche die Reflexe, so „Vibrations“ zu machen, so scheint aber, dass die lichtempfindliche Schicht der photographischen Platten einer ähnlichen Einwirkung unterliegt, wenn man von der ungenügenden Menge problematischer Details liest, welche einige auf den heutigen Mundphotographien erkannt haben wollen.“ Um genau festzustellen, bis zu welchem Punkte diese Dokumente mit der Oberfläche des Mundes korrespondieren, hat Herr Prinz die Untersuchung eines Anzahl der in seinem Besitz befindlichen Mundphotographien vorgenommen und sie in folgender Weise verglichen und gemessen.

Die Abzüge auf Papier wurden bei passender Beleuchtung mittelst einer Lupe untersucht, welche gestrichelte, Ausdehnungen von 0,05 mm. Licht zu sehen. Mundphotographien wurden im durchfallenden Licht (Transparenz) gemessen unter dem mit einem Mikrometer versehenen Mikroskope. Herr Prinz hat stets die grösstest möglichen und kleinsten Objekte auf jedem Bilde gemessen, diese sind weiter daraus zu erkennen ob diese auch auf anderen Bildern der verschiedenen Mundgruppen wieder zu finden, da bekanntlich sehr kleine Körner oft bei geringer Vergrösserung des beobachteten verschwinden. Kurz, er hat die Verhältnisse derselben zu Gemessen der Photographie zusammengefasst und die erhaltenen Resultate in einer Tabelle zusammengestellt. Der wahre Munddurchmesser, wurde dabei zu 3-400-000 Metern, der sichtbar zu 21" 8" angenommen, wofür 1 Sekunde Distanz auf dem Bilde einer wahren Länge von 1000 Metern entspricht.

1) *Cosm et Terra* 1894, II. Bd. 15. p. 47 u. f.

Das erste Mondbild der Tabelle ist die Kopie (Kohlenschiefer) eines Abdruckes der am 8. März 1865 von Rathenow zu New-York auf genommenen Mondphotographie. Der Durchmesser des photographischen Objektivs betrug 70 mm, die Vergrößerung des Bildes um 5-fach, sodass die ganze Mondoberfläche 350 mm im Durchmesser lauten würde. Die Dimensionen des kleinen auf dem Bilde erkennbaren Objekts sind etwa 0.25 mm oder 2500 μ Wirklichkeit (1 μ = 1000 Tausendstel). Dieses Bild, sagt mit Recht Herr Friese, zeigt bis zu welchem Grade von Vollkommenheit vor 10 Jahren die photographischen Operationen geübt waren, denn das Original ist zweifellos dem Aktor, den ich vor mir habe, überlassen. Eigen Angewandtheit lang konnte man glauben, dass hinsichtlich der Bilder, welche das größte gegenwärtige Instrument geliefert, keinen Fortschritt über die Vergrößerung hinaus behandelten. Doch verhält es sich anders, denn die neuen Photographien haben vor dem älteren den grossen Vorzug der Tiefe der Töne und ebenso der ursprünglichen Grösse. Hätte man indessen, statt in den bemerkenswerten Resultaten von Rathenow und Warren die in Rom nur einem „italische Photographen“ zu sehen, dieselben sorgfältig studiert und dadurch den Eifer ihrer Verfertiger angepöbelt, so würden diese wohl zu direkter Vergrößerungen übergegangen sein und auf diese Weise Darstellungen geliefert haben, gegen welche wir selbst heute kaum auskommen könnten. Alles was von diesem Bild bis zum Erwerbten der Lick-Photographie des Mondes auf diesem Gebiete geleistet worden ist, erscheint untergeordnet. Die Vergrößerungen im Fernrohr selbst machten ihre Probe erst in der Oblique der Galilei'scher Henry zu Paris und unter Anwendung dieser Methode allein kann man eine bessere Wiedergabe durch optischen Apparate erwarten. In dieser Beziehung erwähnt H. Friese beifällig die von dem Berliner Instrument (Objektiv 75 mm), das kaum für solche Aufnahmen geeignet ist, erhaltenen Oblique.

Eine von Hartmann am 11. August 1868 angefertigte Photographie (Objektiv 100 mm) liefert ein Glaspapier, das nach dem Brennpunktbilde 2 mal vergrössert wurde. Sein Durchmesser beträgt 208 mm und die kleinste darauf erkennbare Kreisler haben 3700 m Durchmesser. Indem diese Platte von H. Friese bis zu 800 mm vergrössert wurde, erhielt er ein Nagel von grosser Schärfe, allein die Grenze der deutlichen Erkennbarkeit konnte nur bis 3000 m Durchmesser der Objekte ausgedehnt werden.

Als das Original-Glaspapier bei starker Vergrößerung eines Mikroskops untersucht wurde, zeigte es sich gestreift, mit kleinen, wellenförmigen Bläschen bedeckt, die keineswegs mit einander verbunden sind, oder sich spalten, sodass das ganze Bild wie von einem Netzwerk überzogen ist, dessen Maschen unregelmässig sind. Dieses Netzwerk ist weit feiner als das kleinste bekannte Detail der Mondoberfläche, so dass es keine reale Existenz haben, d. h. dem Monde nicht angehören kann. Diese Schlussfolgerung drängt sich dem Betrachter auf, wenn man sieht, dass dieses Netzwerk sich auch in die schwarzen Schatten der Krater hinein erstreckt und selbst ausserhalb des Bildes in der gleichen Form sichtbar ist ¹⁾. Die Kopie auf Glas

¹⁾ Diese Theorie ist bereits im Jahre 1868 S. 211 u. f. hervorgehoben und durch die 8. stündliche Sitzung der Kaiserlichen Akademie der Wissenschaften als richtig erwiesen worden.

eines Licht-Negatives wird ganz erhebliche Verstärkung von einer Photographie der Gehirndeckung Henry in Paris, welche diese nach einer Aufnahme am 27. März 1890 herstellte. Das benutzte Instrument hat 200 mm Öffnung, die Vergrößerung ist 18-fach und das Bild auf gewöhnlichem albuminirtem Papier, das klebte auf diesem Bilde klar und deutlich sichtbare Objekte hat einen Durchmesser von etwa 2000 Meter oder 1.2". Der Abstand des Mars Neptunia ist der schönste der ganzen Reihe, die Umstände, welche jene Größe an, welchen gut sitzen, sind so defint, dass es nicht leicht sein wird Abzulesen mehr zu erreichen.

In der That zeigt dies zweite Aufheben, die an dem nämlichen Abende erhalten wurde, nur Details von 2000 Meter Durchmesser deutlich, sodass, an späteren Tagen erhalten nur solche von 3200 Meter. Nach dem Vorhergehenden wird es nicht ohne Interesse sein, genauer ein Originalnegativ der Licht Stereowerte an unterziehen. Ein solches, aufgenommen am 12. Oktober 1891 von Holden und Campbell im Brennpunkt des grossen Refraktors bei einer Exposition von 3 Sekunden, hat einen Durchmesser von 97 mm und das kleinsten deutlich darauf sichtbare Objekt ist etwa 3700 Meter gross. Dies scheint nicht sehr von dem Refraktoren der Postung des Glasquadranten derselben Sternwarte, welches oben erwähnt wurde, verschieden, so Wirklichkeit aber ist das Korn der Platte für die Posture erheblich feiner als jene der Negative, sodass auf letzteren die Details weniger bestimmt erscheinen. Finest sind die helleren Partien des Negative, sind von und durchschlag, mit Graulinsennaherstreut, die oberflächig bei weniger dicht als in den dunklen Teilen auftreten, aber immerhin sichtlich genug sind, um die Bewegungen zu beobachten. Diese Umstände zeigen sich auf der ganzen Platte, selbst innerhalb der Bildes und insbesondere der Bereichsrand der unvollständigen Exponen u. a. m. Diese Unvollkommenheiten verschwinden dagegen teilweise durch Kontakt beim Kopieren des Negative auf einer positiven Platte mit sehr feinem Korn. Diese einfache Operation verlangt bei Mischphotographie strengste Kontrolle, hier haben die Handwerker des Mikrometers Wichtigkeit und die zu kurze oder zu lange Exposition, die Richtung des Lichtes, sowie der Gang der Entwicklung sind verändernd die Ergebnisse gleich zu verändern. Das Korn des weitergenannten Bildes, wenn das Bild benutzt, besteht auf dem Kopie vollständig der gewöhnlichen Dicke. Ist nun das Licht zu intensiv, oder fällt es schwach auf, oder wirkt es zu viel oder zu wenig, so wird in jedem Falle das Positive die Folgen davon empfinden. Sehr kleine Details werden dadurch ausgelöscht, die Klüftung wird zur Strömung auch oder oder selbst unkenntliche Markierungen bei und selbst zufällige Grundströmungen werden sich unangenehm bemerkbar machen. Mit einem Worte: wenn man sorgfältig spartiert, so werden von 4 bis 5 Kopien 1 oder 2 die mikroskopische Vergrößerung mit dem Negative tragen, 1 oder 2 welche die wirklichen Details wiedergeben, ohne das geringste Korn zu verlieren. Auf diese Weise erhält man das schönsten paradoxen Ergebnisse, welches oben angeführt wurde und genau welchem die Kopie demselben er scheint als das Negative selbst. Inzessen zeigt eine Kopie des erwähnten Negative, auf einer gewöhnlichen Platte nur Details bis zu etwa 4000 Meter Durchmesser. Endlich erhalten zwei Vergrößerungen des näm-

leben Negative, eine auf Glas, die andere auf Papier, Schätzungen bis zu über 2000 Meter Durchmesser. Das ist alles was ich von dieser Platte erhalten konnte und welche Schätzung einem wirklich mit den Mitteln hierzu, welche die ausgezeichnete Vergrößerung eines andern amerikanischen Photographen liefert, welches ich der Güte des geschickten Lithographen Herrn J. S. Krieger verdanke.

Der Schluss, zu welchem diese eingehende Prüfung führt, ist, dass der Krater von 250 Meter Durchmesser, die Tausende von gewundenen Rillen, mit einem Wort alle diese kleinsten Objekte, von denen man im letzten Jahre so viel Wesens gemacht hat, sich im Sicht aufheben bei der unparteiischen Prüfung der photographischen Dokumente, was sie auch ebenfalls in Sicht zu bringen vor dem unbefangenen Beobachter, der den Mund zu Feinrohr entsprecht.

Inzwischen schenke die auf der Lick-Stationen 1850 erhaltenen Negative denselben als die von 1858. Die Grenze, bis zu welcher diese kritisch in der Darstellung stehen, ist leicht zu sehen. Man sieht auf dieser Platte (vom 18. August 1858) nicht von den 2500 bis 2700 m im Durchmesser haltenden Hüllungen, wie des kleinen Krater auf dem Walle des Tornelli, oder jenen im Innern der Ringgebirge Janssen, welche man dagegen auf Photographien der Gebrüder Henry (vom 22. März 1855) erkennt. Diese Krater sind übrigens keine Mässa der Sichtbarkeit, denn sie finden sich schon auf der Mondkarte und mein Kollege Hr. Stoyewitz hat die 1850 zu einem $5\frac{1}{2}$ stelligen Refraktor gezeichnet.

Hoffentlich wird mich Niemand in Verdacht haben, die Wichtigkeit der bis jetzt erlangten photographischen Mondaufnahmen vorzuziehen zu wollen, um so nicht als ich nach dieser Aufnahme last täglich zu meiner Freude höre. Mein Zweck war bloß, das wahre Wert derselben so genau als möglich festzustellen, um den im Umlauf gesetzten Übertreibungen ein Ende zu machen. Ich glaube, indem ich die Grenzen der Leistungen für die photographischen Platten der Herren Seiden und Campbell auf 150 und für die der Gebrüder Henry auf 200 Meter festsetze, die etwaige Unsicherheit meiner Schätzungen zu kompensieren. Diese Zahlen also bezeichnen die Durchmesser der kleinsten noch wahrnehmbaren Mondobjekte auf den besten und größten photographischen Gläsern. Nach so grosser Arbeit und Mühsal und wir also wieder bei den Schätzungen des vorerwähnten Admirals Beudry anknüpfen, welcher die Mässa der Sichtbarkeit auf den zu Paris erhaltenen Mondphotographien zu 1 Bogenminute oder 340 bis 350 m schätzte; und ebenso stehen wir in Übereinstimmung mit Prof. Heiden, welcher sagte, dass die Mondkarte von Schmidt sehr kleine Krater enthält, welche auf den Photographien nicht klar zu erkennen sind, welche die relative herkömmliche Mässa der Platten. Factlich wird dadurch noch die Meinung von Barlow bestätigt, der nach einem gewissen Studium seiner Gläser erklärte, dass die alle Objekte enthalten, die man unter günstigen Umständen mit einem Refraktor von 5 bis 6 Zoll Öffnung direkt sehen konnte. Es liegt kein Grund vor, heute nach die über zwei Jahre dem von hervorragenden Astronomen (unter denen sich ja auch

die geschicktesten Photographen befinden, denen wir diese Nachbilder verdanken) geübtesten Ansichten an äußere. Die in der Frage unterhaltenen Diskussionen über den Wert der Mondphotographie haben keinen Zweck, da sie nur von Personen fortgesetzt werden, die Kämpfer nicht als der Kampf selbst und die ihre Wünsche für Wirklichkeiten nehmen.

Die heutige Mondphotographie muss sich also darauf beschränken Objekte der Mondoberfläche darzustellen, welche wenigstens 2000 Meter im Durchmesser haben. Wenn man es versteht, statt dieser Zahl, um Vergleichs halbsche Gegenstände herbeizuschaffen, so kann man daran erinnern, dass jene Photographen beym den Klüften auf Hawaii, Santeris und den neuen Krakatau zeigen würden, während der Krater des Klüfendachens in Afrika schon sehr gute Luftverhältnisse erfordern würde, um dargestellt zu werden. Die Konturen einer Stadt von der Größe Peking würden auf dem Negative der Gehäuser Henry ein Fleckchen bilden nicht größer als der Punkt auf dem *h*, auf einem Brennpunkt-Objekt des Loch-Refraktors würde sie sogar nur ein Drittel dieser Größe zeigen.

Man kann die Frage aufwerfen, ob Photographien ähnlich den im jetzt besprochenen, die höchste Leistung eines so großen Instruments wie der Loch-Refraktor ist, bilden. Ich glaube dieses nicht. Obwohl ich meine Schlussfolgerungen nicht auf ein Studium der Hutherfies-Purben Grundlage stützen kann, habe ich doch Grund zu der Annahme, dass das Colodium, dessen er sich bedient, einen grossen Antheil an den vorzuziehlichen Resultaten hatte, die er erzielt. Die Anwendung von Colodiumplatten beim Loch-Refraktor, in dessen Brennpunkt es nicht an Licht fehlte, würde wahrscheinlich in Bezug auf Schärfe der photographischen Bilder gute Dienste leisten. Die Bemerkungen von Böhm über die Schärfe der optischen im Vergleich zu den photographischen Bildern unterstützen diese Schlussfolgerung. Die Anwendung dunkler Vergrößerungen bei demselben Instrumente würde die oben gegebenen Vergleichungen merklich ändern. Unter dergleichen vollenommen Voraussetzungen würde man dann wahrscheinlich Vertiefungen auf der Mondoberfläche von nur ein paar hundert Meter Durchmesser auf der Platte erhalten, sodass z. B. die Stadt Hruaal als ein kleines, eingebenes Viereck von 1 Millimeter Durchmesser erscheint, welches im Innern steigt Umrissmöglichkeiten von einem paar Zehntel Millimeter Größe zeigen würde, die den Park und möglicherweise die grössten Gebäude repräsentirten.

Schlussatz will ich noch daran erinnern, dass der Beobachter des Mondes am Fernrohr weit mehr sieht, als die Platte zu registriren vermag. Wenn das grosse Instrument von 60 Meter Länge, von dem in einer der letzten Sitzungen der französischen astronomischen Gesellschaft die Rede war, wirklich zur Ausführung gelangt und seine Vorgänger im Verhältnis seiner Größe an Leistungsfähigkeit übertrifft, so steht zu hoffen, dass die Mondphotographie dann neuen Schritt nach vorwärts machen wird; allein nemlich werden die Astronomen den Mond so sehen, als wenn er nur einige Meter von ihnen entfernt wäre.²

So weit die Ausführungen des Herrn Piaz. Jeder mit der Sachlage hinreichend Vertraute kann ihnen im Grossen und Ganzen wohl nur zustimmen. Die Uebersetzungen bezüglich des feinsten Details, welchen

der Mondphotographie noch darstellen sollten und von dem man sogar behauptet hat, dass es direkt auch am grossen Licht-Kontrast nicht einmal gesehen werden könnte, werden auch jetzt hoffentlich nicht mehr hervorgerufen und der tolle Spuk möge begraben sein!

Schon vor ein paar Jahren habe ich auf Grund sorgfältiger Prüfung der Lichtphotographie und zwar sowohl der Original-Negative als positiver Bilder der Meinung ausgesprochen, dass dasselben nicht mehr Detail zeigen als die 2 bis 4 maligen Refrakten. Diese Meinung wird jetzt durch die Untersuchungen von Prinz vollkommen bekräftigt, die als Grund für das feine Kraterdetail 2000 Meter Durchmesser feststellt. Wer selbst Mondbeobachter ist und das Innere Mondkrater anschauen kann, kann keinen Anspruch auf Vollständigkeit setzen, dass ein guter Refrakter von $2\frac{1}{2}$ Zoll Durchmesser Krater von 2000m Durchmesser ohne Schwierigkeit zeigt. Man betrieelte beispielsweise an 20-facher Vergrößerung im Gegenstand zwischen Copernicus und Eratosthenes kurze Zeit nachdem die Lichtgrenze darüber hinweggeschritten ist und man wird schon einer Anzahl grosserer noch zahlreicher kleiner Krater wahrnehmen, von denen ich ein Mädel (für mit einem alten Farnschubenschen Fernrohr von 44" Öffnung beobachtet) behauptet, dass sie höchstens 1000m Durchmesser hätten. Und diese winzigen Objekte zeigen sich in grösster Schärfe und Deutlichkeit, was Ähnliches auf Photographien nie gefunden wird. Von dem Mädel will ich ganz absehen, denn in Bezug auf das was der Kontrast der Photographie so sehr überlegen, dass gar kein Vergleich gezogen werden kann. Die hohe Bedeutung der Mondphotographie besteht nicht darin, dass sie uns Details kennen lehrt, welche über die Grenze der direkten Beobachtung an ousigen Fernrohren hinaus liegen, sondern darin, dass die empfindlicheren Platte alle ihr zugänglichen Details darstellt ohne innerhalb dieser Grenzen etwas auszulassen und dass sie die verwickeltesten Bergformen genau richtig wiedergibt, ebenso die hellen Streifen und Flecke, welches alles beim Zeichnen mit der Hand niemals bewältigt werden kann. Wenn daher der in Amerika geübte photographische Mondatlas (im Gegensatz der Müller'schen Mondkarte von 1 m Durchmesser) zustande kommt, so wird er bei weitem nicht alle Krater oder Krater erheben, welche die genaue Mondkarte von Julius Schmidt zur Herstellung bringt, aber der in ihm dargestellte Detail der Mondoberfläche wird richtiger und naturgetreuer und immer einem wahren Anssehen am Fernrohr entsprechend nicht aber schematisch durch Striche und Linien wiedergegeben sein.

Dr Klein

Die jahreszeitlichen Veränderungen auf dem Planeten Mars.

(Horn Teil II.)

Herr Ferdinand Lowell, der mit so grossem Erfolge während der jüngsten Opposition des Mars die chemische Zusammensetzung studierte, hat seine hauptsächlichsten Wahrnehmungen der Veränderungen, welche jene Oberfläche währenddessen erfährt, in Zeichnungen und Erläuterungen zusammengefasst.)

1) Astronomy and Astrophysics Nr. 296, p 2182.

Zur genaueren Festlegung der Thatsachen erachtet er es mit Recht von höchster Wichtigkeit, dass Skizzen an vergleichende Zeichnungen von glatt und detachirten Formen, an ein und demselben Instrumente und möglichst unter gleichen atmosphärischen Verhältnissen gemacht sind. Denn nur in diesem Falle ist es möglich die Selbstkraft des Beschreibers soweit ausschließen, dass die Abbildungen in der That streng untereinander vergleichbar sind. Gerade beim Messen spielen die Anflutung des Beschreibers, sein Instrument, die Luftverhältnisse und die Fähigkeit der Hand zu zittern, eine wissenschaftlich grosse Rolle. Die Abbildungen, welche Hr. Lovell veröffentlicht und diskutiert, sind allerdings von ihm an ein und demselben Perenniel, bei gleichen Vergrößerungen und gleichen Luftzuständen gemacht, überdies beziehen sie sich auf die Zeitpunkte von einem Monat vor bis zum Monat nach der Äquinox des Mars, sodass die Veränderungen der Oberfläche desselben welche sie zeigen, einen verhältniß jährlichem Uebertritt tragen. Diese Veränderungen sind, wie man sehen wird, wohl bedeutender als man von vorherem vermutet haben würde und durchaus unverkennbar. Was ihre Bedeutung anbelangt, so hat es nicht überflüssig zu bemerken, dass sie in der unabweisbaren Folgerung führen, dass Mars eine sehr lebenthätige Welt bildet, die innerhalb des jährlichen Cycles wachsende und abnehmende Thätigkeit an ihrer Oberfläche zeigt, ferner dass in unsehr hohem Grade dieses jährliche Leben in gewissen bestimmten Eigenschaften sehr von dem abweicht, was wir aus der irdischen Erfahrung kennen.

Die Phänomene der Marsoberfläche bilden offenbar einen Teil einer bestimmten Kette von Veränderungen im laufenden Jahreskreislauf. Diese Veränderungen erscheinen in ihrem allgemeinen Zuge so regelmäßig, dass Herr Lovell bestände war die Bestätigung ihres allgemeinen Verlaufes auch in den Zeichnungen, welche bei früheren Oppositionen erhalten wurden, so finden, „Ich glaube sogar“, sagt er, „dass es möglich sein wird, mit ebenso geringer Annäherung an die Gewissheit des Erfolges wie solche für unsere Wetterprognosen besteht, für den Mars vorzusagen, nicht wie das Wetter auf dem Erde wird, denn es ist zweifelhaft, ob bei dem etwas, was wir vorausbestimmendes Wetter kennen, besteht, sondern das Aussehen irgend eines Theils seiner Oberfläche.“

Die Veränderungen im Aussehen der Marsoberfläche beziehen sich nicht auf das Schmelzen des Schnees seiner Polarzonen, wenn insofern, als dieses Schmelzen das erforderliche Vorpost zu dem ist, was nachkommt, sondern die beziehen sich auf die Oberfläche selbst. Zum Verständnis der letztern ist ein Zurückgreifen auf die Vorgänge an den Polen allerdings erforderlich.

Bei der Erde haben wir, dass das Schmelzen des Schnees in den Frühjahrsmonaten eine Erscheinung ist, welche dem Erwachen der Natur im Frühlinge folgt, also post hoc geschieht, beim Mars aber scheint es, dass die Schmelzenmacher des Erwachen der Natur bedingt, dass es sich nicht erst um ein post hoc handelt. Während die Erde an ihrer Oberfläche Wasser genug besitzt, ist es auf dem Mars mit einem Artikel sehr knapp besetzt und er muss diesen vom Jahresflusse von seinen Polargebietern beziehen. Von dem Schmelzen des Schnees und dem Fortwerden des Wassers behalt Zirkulation scheint alle Phänomene auf

der Marsoberfläche abzublagen. Die Beobachtungen, auf welche diese Schlussfolgerung begründet ist, erstrecken sich über einen Zeitraum von mehr als fünf Monaten, von Anfang Mai bis zum 7. November und beziehen sich auf die Marsregionen zwischen dem 100.º und 130.º Breite. Für die südliche Marsregion begann der Frühling am 7. April 1892, der Sommer am 31. August, während der Herbst am 7. Februar 1893 beginnt wird. Am 31. Mai war es also auf der südlichen Hälfte des Mars ungefähr Ende April, nach unserer Jahreszeit zu rechnen. Die südliche Krone des Mars war damals sehr gross, denn sie hatte einen Durchmesser von 40°, reichte also bis etwa 120.º n. Br., dabei war sie überall in höchstem Masse des Schneeeis. Der Planet Mars hatte seine Ähre der Erde so zugewandt, dass die Krone beginnend gesehen werden konnte. Diese Zeit zeigte sich am Nord- von einem dunklen Bande markiert, das an einigen Stellen breiter als an andern war und mit dem zurückweichenden Eise gleichen Verlauf hielt. Die Breite dieses dunklen Bandes betrug im Juni etwa 120.º nördl. Meridian und es erstreckte von blauer Farbe. In dem Masse als die Jahreszeit fortschritt und die Krone sich an Ausdehnung verminderte, wurde ihr dunkler Gürtel schmaler, mit gewissen Schwankungen, die zufällig von der Wasseraufnahmefähigkeit des Bodens abhängen. Im August war das dunkle Band zu einem schmalen Faden zusammenge schrumpft. Dass es sich bei dem ganzen Vorgange wirklich um Wasser handelt, kann gar keinen Zweifel unterliegen. Denn das bewegt nicht nur die Farbe, sondern der offensichtliche Zusammenhang der Breite des dunklen Bandes mit dem Schmelzen des Schnees und schliesslich vom Verschwinden mit demselben. Das Thaumelien, die unabhängig von einander das Schmelzen auf Schnee- wasser bezeugen. Der Umstand, dass zwar Stellen der dunkeln der ganzen Marsoberfläche war, lässt vermuthen, dass es sich dabei auch um die letzte Wasserfläche auf dem Planeten handelt, während das spätere völlige Verschwinden derselben beweist, dass diese Fläche nicht sehr gross gewesen sein kann. Sollte Thaumelien lassen vermuthen, dass es sich dabei nicht nur um die Hauptwassermaße des Mars handelt, sondern dass immer ihr überhaupt Wassermassenschichten von grösserem Umfang dort nicht vorhanden sind. Diese Folgerung ist gewissermassen der Höhe zu rechnen für alles folgende.

Sobald das Schmelzen des Schnees begonnen hatte, wurden lange Streifen von hellerer Farbe als der Umgebung, mitten auf den dunklern Flächen sichtbar. Ich habe es, sagt Lowell, nicht entstehen oder kommen sehen, aber ich sah sie verschwinden, daher müssen sie zuerst entstanden sein. Ende Mai waren sie bereits verschwunden. Die entsprechenden Stellen lagen zwischen Noctis und Hellas im Mars centrale und von hier durch das Mars Krytharum ins bryche nördl. Nach der südlich angefallenen zeigte sich zwischen Hellas und Arctica. Obgleich diese Streifen sehr deutlich dunkler waren als die übrige Fläche der Seen, doch weicher im Aussehen, war die See selbst dunkler in ihrem dunkelsten Stadium. Das nachfolgende Verhalten dieser Regionen lässt mich diese eigentümliche Charakter noch zweifelhafter.

Das Aussehen der Mars in diesem Stadium der, wenn man es sagen darf, nördlichen Überschwemmung seiner Oberfläche, ist in Figur 1 dargestellt. Sie zeigt auf der Mitte des Meridian von 240.º und die Höhe



erhöht liegt auf 94° ostl. Breite. Das Ansehen ist dasjenige, welches Mars am 1. Juni 1884 darbot. Dass die Lage damals ihr dunkelstes Ansehen hatte, ist wahrscheinlich einseitig dem Umstande zuzuschreiben, dass etwas Wasser vom Pole her bereits seinen Weg durch gefundene Risse und andererseits durch Fruchtlöcher auf jenen unglücklichen Flächen die Vegetation leicht hatte. Auf dem Mars entspricht etwas Datum dem 1. Mai. Die dunklen Flächen blieben von dieser Zeit an durch in ihrem Ansehen unverändert, während der größte Teil der Schneehaut schmolz. Dem aber begann für sie eine Epoche der Veränderung. Ihre hellen Teile wurden zunehmend heller ganz und die dunkeln nahmen an Dunkelheit ab. Eine der bemerkenswerthesten Thatsachen ist, dass in dieser Epoche namentlich war die Grenze der in der stlichen gemäßigten Zone liegenden Kette von Inseln festzustellen. Die hellen und dunklen Flächen gingen allmählig in einander über. Von Gesichtspunkte der Marsbahn aus betrachtet, waren die Landmassen dieser ganzen Region seiner Oberfläche vermischt durch eine Überschwemmung, wenigstens andeuth. Diese wahrscheinlich bestand sich über ganz Gegend in verschiedenen Stellen der Vegetation und zwar in Folge dieser misch- vorerwähnten Überschwemmung mit Wasser. Die Farbe dieser Fläche erschien damals wie Lowell beschrieb sie und zwar unverkennbar deutlich. Später verhielt sie allmählig und ging in Orangefarb über. Die erste deutliche Zeichen eines Wachens der Dinge war die Wiederkehr eines von Hesperia, welches im Juli eintrat. Im August, als Herr Lowell dies sah, war seine Schärfe sehr sehr deutlich. Von Adelaide aber konnte damals noch nichts wahrgenommen werden, erst am 30. Oktober trat sie in Sicht. Um die nämliche Zeit wurden die Grenzen zwischen den Inseln Zosma, Soudania, Arcanus und Strom mehr und mehr dunkel und zwar infolge des Kontrastes mit der Umgebung.

Während alle die Geschichte Hesperia's fort, überwiegt zu bleiben. Von ihrer Unsichtbarkeit im Juni und ihrer Anwesenheit im August kehrte sie im Oktober zu einem mittleren Aussehen zurück. Figur 3 zeigt Hesperia im Juni (Meridian der Mitte 34°, Breite der Mitte 30° ostlich); Figur 4 zeigt das Ansehen im August (Meridian der Mitte 23°, Breite 17° ostl.); Fig. 5 zeigt dasselbe im Oktober der (Meridian der Mitte 23°, Breite 20° ostl.). Die Veränderungen zeigten sich zuerst bei Hesperia selbst, dann folgten sie sich auf die umgebenden Regionen an. Von Juni bis August veränderte Hesperia von einem sehr hellen Blaugetz, in welchem es von seiner Umgebung nicht so unterscheidbar war, seine Farbe in Gelb, während die Umgebung blau blieb, sodass die Hesperia in ein entschiedenem Kontrast zu ihrer Umgebung trat. Später bliesse diese Umgebungen ebenfalls ab und diese Veränderung erzeugte die Mischung als bei Hesperia teilweise verdeckt werden. Ähnliche Veränderungen im Ansehen zeigten auch die übrigen Teile der stlichen gemäßigten Zone des Mars. Während im Juni alle Regionen zwischen den hellen Teilen, Angere II u. a. w. hauptsächlich blaugrün erschienen, waren im Oktober gelb und damals traten diese Inseln zum erstenmale wieder ihre bestimmten, individuellen Gestalten. Noch weiter gegen Süden erschien, das was zuerst Stratos war und dann Wasser wurde, in gelblichen Land umgewandelt. Diese Veränderung nahm ihren Fortgang bis am 13. Oktober die Oberhäute der Schneehäute ganz oder fast

ganz verschwand, von da ab zeigte sich die ganze südliche Polarregion als eine gelbliche Fläche.

Gegen Ende Oktober trat eine beträchtliche und für die Beobachtung traurige Erhellung ein. Was noch von der mehr südlich gelegenen Region der Marsoberfläche übrig geblieben war, wurde vorwiegend abstrahlend in Farbe ab. Dies wurde zuerst im Mars Uranusrum, dann in der Syrtischen See und im November im Mars Erymanum um den Locus sehr bemerkt. Diese Abblässerung schritt ununterbrochen so weit fort, bis Mars, bei schließlichen Luftverhältnissen, fast völlig als gleichmäßig gelbliche Scheibe ohne dunkle Flecke erschien.

Diese Abblässerung der dunklen Flächen ist von einem hohen Grade beachtende, direkt auf ihre Konstitution bezügliche Thatsache. Denn es handelt sich nicht einfach darum, dass Teile der Marsoberfläche ihre Farbe verändert haben, sondern dass auf der ganzen Scheibe des Mars die blaugrünen Flächen weit verschwinden und in demselben Masse die orangefarbenen zunehmen. „Wenn die blaugrünen Flächen“, sagt Lowell, „verschwinden und, wo sie dieses Wasser bekommen? Nörrud wo auf der südlichen Scheibe, das ist sicher! Da sowohl das Wasser abgibt wo hin gekommen sein kann, so heißt nichts übrig als untersuchen, dass die blaugrünen Flächen mit Vegetation bedeckt waren, die welche eine relativ geringe Menge Wasser anziehen, deren direkte An- oder Abwesenheit für uns nicht wahrnehmbar ist, wohl aber ihre indirekte Wirkung in der Vegetation.“

Eine weitere Veränderung, welche auf der Marscheibe sichtbar wurde, geht weiter, wolle das Wasser zuerst gekommen ist. Die bekannten Kanäle sind nämlich dunkler geworden und was noch wichtiger, die zunehmende Dunkelheit ist allmählich von beiden nach Norden fortgeschritten. Die folgenden Beobachtungen Lowell zeigen, dass die Kanäle nicht an allen Orten gleichmäßig sichtbar sind und ferne, dass ihre Unsicherheit mit den Jahreszeiten auf dem Mars zusammenhängt.

Im Juni waren die Kanäle nämlich kaumest schwach, am besten sichtbar waren noch diejenigen in der Region des Locus sibi. Als der Mars nach der Erde näher, wurden die Kanäle natürlich besser sichtbar, allein bis zum Oktober zeigte sich keine wirkliche Verbesserung, ausgenommen diejenigen in der Gegend des Locus sibi. Bis zum September immer dunkel, im Oktober aber begannen an Symptomen von heller werden zu zeigen, ebenso im November, doch war dieses nur wenig merklich. Mittlerweile, als die Region des Mars Tritonum hervorkam, im November, fand Lowell, dass die dortigen Kanäle in Oktober wohl dunkler wurden. Figur 6 stellt das Aussehen im Juni dar (Meridian der Höhe 140°, Breite desselben 34° südlich), Fig. 7 im November (Meridian der Höhe 120°, Breite 30° südlich). Die Kanäle waren nicht nur dunkler geworden im Vergleich zum Mars Uranusrum und Mars Stromum, sondern wirklich dunkler an und für sich. Betrachtet man nun eine Karte des Mars, so sieht man, dass die Gegend des Locus sibi einen Teil der grossen kontinentalen Fläche in der nächsten Nähe des Südpols bildet, während der Strom Tritonum weniger südlich liegt, die Breite spielt also eine Rolle. Ein ähnlicher Parallelschnitt in der Sichtbarkeit der Kanäle lässt sich in den Figuren 1—3 erkennen. „Die Kanäle und die unbenannten Seen“, schliesst Dr. Lowell, „sehen alle hell an

der) ähnlichen Metamorphose mit einem von der Jahreszeit abhängigen Wechsel, welcher auch von ihrer Breite, oder dem Abstände vom Südpole abhängt. Eine Welle von Furchenkulung der Farbe läuft gewöhnlich durch die Mittelgegendes Äquators von Süd nach Nord, der Zeit nach bestimmt durch die von der Jahreszeit abhängige Welle, welche von Pol zu Pol läuft. Gleich im Winter, erreicht die Farbe im Frühlingszeit, vertieft sich im Sommer und erneuert im Herbst. Für jede geographische Gegend tritt dieser Wechsel unter sonst gleichen Verhältnissen früher oder später ein in dem Verhältnisse als deren Gegend vom Pole entfernt liegt. Es erscheint wahrscheinlich, dass dieser Farbewechsel indirekt durch Wasser, direkt aber durch Vegetation, welche das Wasser befeuchtet, hervorgerufen wird. Nur unter dieser Annahme erklären sich alle Wahrnehmungen leicht und angemessen. Die Menschenleben auf dem Mars überdauern konstante mehr gewaltige, sehr Wassermassen von der Erde aus, sind aber auch noch nicht in den Zustand trockener Stellen (wie solche der Mond besitzt) übergegangen, sondern die Dinge nur als wenig tiefen Schmelzer für das Wasser, welches auch auf der Marsoberfläche existiert.“ Bezüglich der Kanäle erwähnt Herr Lowell auf seine früheren Schlüsse, gemäß denen diese Kanäle vorwiegend künstliches Ursprungs sind, angelegt von Menschenwerkern, um den grossen kontinentalen Flächen, welche bei allen jahreszeitlichen Veränderungen konstant trocken, Wasser anzuführen.

Spektroskopische Untersuchungen der Nebelbecke am 36-stelligen Refraktor der Lick-Station.

(Schluss.)

Nebel NGK. 6790 (Rektanz $29^{\circ} 13' 30''$ D. + $1^{\circ} 18'$) Einer der kleinsten, von Prof. Pickering entdeckten planetarischen Nebel. In der D. M. (Sünder Durchmesser) wird er als Stern 14. Grösse aufgeführt. Er ist rund, hell, mit sehr kleinem Kern und dem Aussehen nach eine Verkleinerung des Nebels GK. 4750. Die dritte Linie ist jedoch sehr schwach, ohne Spalt gleiches das Spektrum einer Reihe von drei kleinen Sternen. In diesem Nebel ist die hellste Linie weniger brechenbar als der Rand der Magnesiumbande, eine Wellenlänge von $\lambda = 5007.95$. Mit dem kleinsten Spektroskop wurde nahe bei λ , gelegentlich ein heller Punkt gesehen und zwischen diesem und der Hauptlinie zwei helle Stellen, eine davon nahe bei $\lambda = 5000$.

Nebel GK. 4010 (Rektanz $19^{\circ} 37' 40''$ D. — $14^{\circ} 30'$). Die wirkliche Helligkeit dieses grossen planetarischen Nebels ist gering und die Messungen sind schwierig. Für die Hauptlinie ergab sich $\lambda = 5006.77$.

Nebel GK. 4514 (Rektanz $29^{\circ} 43' 50''$ D. + $50^{\circ} 16'$). Eine grosse, runde, ziemlich helle, ausnehmend strukturierte Scheibe. Der sehr helle Kern zeigt ein kontinuierliches Spektrum. Die Nebellinien sind im grossen Spektroskop sehr matt, für die Hauptlinie fand sich $\lambda = 5006.95$.

Nebel NGK. 6891 (Rektanz $39^{\circ} 3^{\circ} 10''$ D. + $15^{\circ} 24'$). Aus kleiner, sehr schwacher Nebel mit sehr kleinem Kern, auf demselben Familie,

als außerhalb des Nebels steht ein schwacher Stern. Wellenlänge λ der Hauptlinie = 5001.74.

Nebel GK. 4619 (Rekt.az. $20^{\circ} 38' 11''$ D. — $11^{\circ} 48'$). Ein grosser, runder Nebel mit hellem innerem Ring, in nordwestlicher Richtung beträchtlich verflücht, mit sehr kleinem Kern. Die Wellenlänge λ der Hauptlinie, im Mittel aus 5 Messungsergebnissen ist 5001.92.

Nebel NGK. 747 (Rekt.az. $21^{\circ} 2^{\circ} 30''$ D. + $51^{\circ} 40'$). Der hellste Nebel, welcher von Koller untersucht wurde, auch ist sein Spektrum besonders interessant. Der Nebel besitzt eine unregelmässige Form mit zwei verschiedenen Kondensationen, von welchen eine flüchtig und ziemlich gut begrenzt, die andere dagegen schwächer und verwaschener ist. An der nachfolgenden Seite sieht gerade am Rande des Nebels ein kleiner Stern. Das Spektrum zeigt im kleinen Spektroskop die Hauptlinie glänzend, die zweite sehr hell, eine die Wasserstofflinien mit. Als der Spalt des Spektroskops erweitert wurde, zeigte sich die monochromatische Bild der centralen Kondensation in der hellsten Linse, ähnlich wie die Protuberanzen der Sonne in der H α -Linie des Sonnenspektrums erscheinen. Mehrere helle Linsen unterhalb der starken Gruppe im Grün waren sichtbar, jedoch wegen ihrer Schwäche nur im Spektrum der zweiten Kondensation. Eine derselben lag vielleicht in der Position von H γ , eine andere, gut sichtbar, bei $\lambda = 5040$, und zwischen dieser und der hellsten Linie erschienen verschiedene andere, von denen aber nur eine sich genau bei $\lambda = 5050$ festsetzen liess. Der Nebel zeigt auch die Linse bei $\lambda = 4700$ welche im Spektrum des Nebels GK 4664 sichtbar ist. Die Position der hellsten Spektrallinie ergab sich im Wellenlänge aus 4 Beobachtungen $\lambda = 5001.20$, die der zweiten Linse nach einer Messung zu $\lambda = 4952.15$.

Nebel GK. 4664 (Rekt.az. $20^{\circ} 37' 27''$ D. + $41^{\circ} 50'$). Ein ringförmiger Nebel, mit hellem innerem Ring und sehr kleinem Kern, in nordwestlicher Richtung etwas verflücht. Das Spektrum zeigt, ausser der beiden hellsten Nebellinien und den Wasserstofflinien H β und H γ , eine Linse bei $\lambda = 4700$, welche schon Huggins 1864 bei der ersten spektroskopischen Beobachtung sah. Andere Linien konnten nicht gesehen werden. Die Linsen zeigen im Spektroskop beide Kerne an der Stelle, wo der Spalt den inneren Nebel kreuzt. Das Spektrum des Kerns ist kaum merklich, aber das kontinuierliche Spektrum des Nebels selbst ist gross. Als Position der Hauptnebelleise ergab sich aus zwei Beobachtungen $\lambda + 5005.90$.

Die im Vorangehenden angegebenen Messungsergebnisse zeigen, dass die Positionen der Hauptnebelleise, auch wenn man den Einfluss der Erdbewegung eliminirt, in den verschiedenen Nebellinsen verschieden ist. Die Unterschiede, welche die möglichen Beobachtungsfehler weit übersteigen, sind nur auf eine relative Bewegung der Nebel in der Gesichtsbene zur Erde zurückzuführen. Prof. Koller gibt die folgende Tabelle über diese Komponenten der Eigenbewegung der von ihm gemessenen Nebel, wobei das Vorzeichen + eine Entfernung von der Erde, — eine Annäherung an dieselbe bedeutet. Die Geschwindigkeiten sind in englischen Meilen angedrückt und beziehen sich auf die Sekunde

Bewegung des Nebels,	Bewegung in der Gesichtslinie
Wegen	+ 57 ± 60
Q. E. S. 106	— 55 ± 10
" " 1062	+ 37 ± 13
" " 1063	— 102 ± 12
" " 1064	— 100 ± 12
" " 1065	— 102 ± 12
" " 1066	— 55 ± 10
h. d. E. 1067	+ 54 ± 10
Q. E. 1068	— 24 ± 12
" " 1069	— 13 ± 10
h. d. E. 1070	+ 13 ± 12
h. d. E. 1071	+ 10 ± 12
h. d. E. 1072	+ 10 ± 12
h. d. E. 1073	+ 10 ± 12
h. d. E. 1074	+ 10 ± 12
h. d. E. 1075	+ 10 ± 12
h. d. E. 1076	+ 10 ± 12
h. d. E. 1077	+ 10 ± 12
h. d. E. 1078	+ 10 ± 12
h. d. E. 1079	+ 10 ± 12
h. d. E. 1080	+ 10 ± 12
h. d. E. 1081	+ 10 ± 12
h. d. E. 1082	+ 10 ± 12
h. d. E. 1083	+ 10 ± 12
h. d. E. 1084	+ 10 ± 12
h. d. E. 1085	+ 10 ± 12
h. d. E. 1086	+ 10 ± 12
h. d. E. 1087	+ 10 ± 12
h. d. E. 1088	+ 10 ± 12
h. d. E. 1089	+ 10 ± 12
h. d. E. 1090	+ 10 ± 12
h. d. E. 1091	+ 10 ± 12
h. d. E. 1092	+ 10 ± 12
h. d. E. 1093	+ 10 ± 12
h. d. E. 1094	+ 10 ± 12
h. d. E. 1095	+ 10 ± 12
h. d. E. 1096	+ 10 ± 12
h. d. E. 1097	+ 10 ± 12
h. d. E. 1098	+ 10 ± 12
h. d. E. 1099	+ 10 ± 12
h. d. E. 1100	+ 10 ± 12

Dies führt in dieser Tabelle, dass die Ausdehnungsbewegungen überwiegen und dass man sich auch von vorne herein erwarten werden, da die meisten der ausstrahlten Nebel zufällig in denjenigen Teile des Himmels liegen, auf welchen bei uns das Sonnenstrahl bewegt. Im Übrigen zeigen die Bewegungen, dass nicht die Nebel mit Geschwindigkeiten durch den Raum bewegen, welche diejenigen der Fixsterne vergleichbar sind.

Das nächste Problem der zweiten Bechiffelung wurde von Keeler durch Vergleich derselben mit mehreren Nebel-Spektren mit der Linie λ 496,76 des Kopenspektrums unter Berücksichtigung der Eigenbewegung jener Nebel und der Erdbewegung zur Zeit der Beobachtungen ermittelt. Auf diese Weise ergab sich als wahrscheinlichster Wert der Wellenlänge λ derselben $496,62 \pm 0,04$. Das beiden Hauptserien, erstehen stets als vollkommen menschenförmliche Bilder der Spalte, welche zeigen aus dem Anblick von Ringen einer kreisförmigen Bande. In keinem der beobachteten Nebel erschienen die Linien schwächer und feiner als im Orionsnebel. In den Nebeln Q. E. 4290 und Q. E. 4294 sind die Linien am Bande des Nebels scharf aber etwas breiter und verwaschen im Kern und so zeigen sie sich gewöhnlich bei planetarischen Nebeln, was die Meinung bestätigt, dass diese Nebel aus verdichteter gasförmiger Materie bestehen. Huggins hat die Vermutung ausgesprochen, das schmale kontinuierliche Spektrum der Nebelreihe würde, falls es genügend hell wäre, wahrscheinlich als bestehend aus zahlreichen eng bei einander stehenden kalten Linien erkannt werden. Prof. Keeler hat dies nicht für unmöglich, bemerkt aber, dass mit den ihm zu Gebote stehenden Mitteln er kein kontinuierliches Spektrum haben konnte, welches Anzeichen von Aufhebbarkeit erkennen liesse. Eine Vergleichung der Hauptserien mit dem Magnesiumspektrum ergab ferner, dass im schmalen Spektrum der Nebelreihe keinerlei Andeutung der Gegenwart von Magnesium zu finden ist. Aber bedeutend sind auch die Bemerkungen Keelers, den Ursprung der Nebelreihe-Linien, δ & ϵ die Natur des Stoffes, welchen sie umgeben, zu ermitteln, völlig unzulänglich gefunden. Es gibt keinen bekannten einfachen Stoff, welcher in seinem Spektrum eine Linie besitzt, die genau mit einer der beiden Hauptserien im Spektrum der Nebelreihe zusammenfällt, obzwar wenig und diese hellen Linien durch dunkle Absorptionen im Sonnenspektrum vertreten, wenigstens nicht durch solche, welche hinreichend stark sind

um in Schweden photographischer Darstellung des Sonnenspektrums zu erwehnen. Die relative Helligkeit beider Linsen ist innerhalb der Grenzen der Beobachtungsfelder, bei allen Nebelflecken die gleiche, daher man schließen darf, dass es überall die nämliche (zusammengesetzte) Schirmung ist die sie erzeugt, vielleicht die Elmasse von ähnlicher Natur wie des sogenannten Hahnens. Das Spektrum der Nebel mit beiden Linsen zeigt entweder eine hohe Temperatur des Quars, an welches dieses Licht emittirt, oder eine starke elektrische Erregung desselben, und ferner, dass Temperatur und Druck gegen den Kern hin erheblich zunehmen. Sodann fügt Prof. Koeler noch aus seinen Beobachtungen, dass das sichtbare Spektrum des Kerns der planetarischen Nebel in mehreren Fällen eine sehr grosse Ähnlichkeit mit demjenigen der Sterne des sogenannten Wolf-Rayet'schen Typus besitzt, nämlich gerade die beiden Hauptcharaktere im Spektrum dieser Sterne finden und auch noch andere Abweichungen enthalten, deren Wirklichkeit aber zur Zeit noch nicht genau bestimmt werden kann. Die Beobachtungen, welche der Hauptzweck auch in dem Vorstehenden wiedergegeben sind, wurden von Prof. Koeler übernommen als Theil einer hinsichtlich der ausgeführteren Untersuchung, welche jedoch durch seine Überwindung von H. Hamilton zum Abgleich-Observatorium ihren Abschluss fand.

Über die Bahn eines am 4. Dezember 1893 in Schweden beobachteten hellen Meteors.¹⁾

Am 4. Dezember v. J. wurde in Sweden und an vielen anderen Orten Schwedens ein sehr helles Meteor wahrgenommen, welches dadurch ein gewisses besonderes Interesse zu haben scheint, dass die Zeit seiner Erscheinung nicht allzu fern von der Zeit des und des 17. Nov. fallenden Durchganges der Heli-Meteore durch die Erdkugel liegt. Zwar entsprechen die grossen Sternschuppenfälle von 1833 und 1896 damals dieser Epoche sehr genau, indem hier sich bei der zweiten erwarteten Wiederkehr von Jahre 1893, wo gleichfalls viele an dem Heli'schen Kometen gehörige Meteore gesehen wurden sind, eine Verfrühung der Erscheinung um vier Tage vor dem 17. November stattgefunden?²⁾ Nicht unzulässig erscheint es daher (abgesehen von speziellen Vorkommnissen dergleichen), dass auch Meteor nach dem 17. November zu weiteren abgetrennten Theilen dieses Kometen in Beziehung stehen könnten. Es ist diese Vermutung auch schon früher ausgesprochen worden, und es ist namentlich von d'Arrest auf zahlreiche beobachtete Sternschuppen und hellere Meteore in der grossen Denzinger'schen in dieser Güte hingewiesen worden im Band 68 S. 7 der Astr. Nachr., wo man die darauf bezüglichen Citate sehr vollständig gesammelt findet.

Mit Rücksicht hierauf erachte ich daher bald nach dem ersten Bekanntwerden jener Meteorerscheinung durch die hiesigen Zeitungen am

¹⁾ Astr. Nachr. Nr. 2664.

²⁾ Vgl. Meyer & K. 204 und 217.

Eingewand der an einer Bahnberechnung etwa wünschenswerten Angaben an die benannte Sternwarte und arbeitete auf diese Weise Nachrichen von 36 Orten, von denen jedoch nur etwas mehr als die Hälfte an einer vollständigen Verwendung für die erwähnten Fragen geeignet war. Leider blieben auch die Nachrichten fast ausschließlich auf hellem Beobachtet, nur einige Beobachtungen aus Gewässern der Provinz Fuzen und eine Beobachtung aus Brunnenerhebung erhalten. Das Grund hervor bildete wohl vornehmlich eine nach Westen hin allmählich zunehmende Bewölkung des Himmels, vermehrt deren das Meiser des Himmels entweder ganz entzogen oder in Verbindung mit dem starken Nebelwetter, welche gehört wurden, vielfach als eine Gewitterbewölkung betrachtet worden war.

Nur sehr wenige der obigen Beobachtungen gestatteten einigermaßen genaue Höhenmessungen über Anfang, Ende und Lauf des Meteors am Himmel, sodass die Genauigkeit der gewonnenen Resultate erheblich gegen manche frühere derartige Rechnungen zurücksteht, bei denen vorzugsweise eine oder einige schärfere Beobachtungen zu Grunde zu legen möglich war. Gleichwohl ist es nach mehrfachen Versuchen gelungen, wenigstens über die wichtigsten in Betracht kommenden Fragen zu genügenden Aufschlüssen zu gelangen. Eine ausführlichere Darlegung darüber giebt eine Veröffentlichung in den Schriften der Schlesischen Gesellschaft für vaterländische Kultur (Jahrgang 1896) und es möge daher hier nur eine Zusammenstellung der wesentlichen Resultate folgen.

Für die geographische Lage des Endpunktes konnte aus zwei etwas genauer beobachteten Richtungen in Verbindung mit den beobachteten Schalleinwirkungen mit einer Wahrscheinlichkeit bis auf etwa ein oder zwei geographische Meilen die Gegend von Kamenka (jetzweil Glogau) im südwestlichen Schlesien angenommen werden, und aus Hof an verschiedenen Orten gestützten Höhenmessungen eine Erhebung dieses Punktes über der Kugeloberfläche von 2324 geogr. Meilen, demnach ein Höhenpunkt in der Atmosphäre als die meisten zwei berechneten Höhenpunkte von Meteoren ersehen haben.

Es handelte sich sodann um die Ermittlung des Radiationspunktes, wozu verschiedene 18 Orte verwendet wurden, von denen es jedoch nach erfolgter Auflösung der Bedingungsgleichungen raten erschien, drei als zu stark abweichend auszuschließen, wodurch dann die Deklination A und die Declination D des Radiations gefunden wurde:

$$A = 50^{\circ} 3' \quad D = + 67^{\circ} 3' \quad (1)$$

mit einer beträchtlichen Höhenbestimmung der Quadraturzeit der Höhe folgenden Fehler. Nachträglich ersehen sich indes Zweifel über die Brauchbarkeit nach einer dritten gleichfalls etwas stärker abweichenden Beobachtung (bei der das Datum ungenau schien, was sich jedoch nicht beständig), sodass die Erhebung nochmals mit nur 11 Orten durchgeführt wurde, wobei sich

$$A = 100^{\circ} 3' \quad D = + 66^{\circ} 13' \quad (2)$$

ergab und die Quadraturzeit der Fehler sich noch weiter etwas verminderte. Anstatt dieses drei Auflösungen waren hingegen vorher noch zwei andere angefertigt worden, bei denen die Höhe des Endpunktes um eine geographische Meile höher angenommen worden war, eine Annahme, die nachher verworfen wurde, abgesehen der Einfluss auf die Lage

des Radiationspunktes nicht erheblich war. Auch wurde eine Bestimmung dieses Punktes um nur um so, als die beiden vorhergehenden Beobachtungen voraussetzt und hierbei gleichfalls ein von den obigen Zahlen wenig abweichendes Resultat gefunden. Die Lage des Radianten im Himmelsraum ist durch zwei verschiedene Messungen des Sternbildes des Centaureus angeschlossen und hat dem zweiten der oben angeführten Resultate mit einer Unsicherheit von $\pm 4^\circ$. Hiermit ist die eine Frage welche zu der Berechnung des Meteors Anlass gegeben hatte, bereits entschieden, dass dasselbe nämlich nicht so den von dem Hellschönen Kometen verursachten Sternschuppen gehören könnte, dessen Radiant im Sternbild der Andromeda legend um mehr als 40° von dem obigen Punkte entfernt ist.

Nach Ermittlung des Radiationspunktes konnte nun weiter zu der Berechnung der inneren Länge der Bahn in der Atmosphäre, Beobachtungen der Anfangspunkte über der Erdoberfläche nach geographischer Länge, Breite und Höhe übergegangen werden. Ich veranlaßte hierzu die Beobachtungen von zwei Orten, aus denen einige Angaben über die Lage des Anfangspunktes oberhalb des Sternbilders entnommen werden konnten. Es waren dieses die Orte Samseln und Carls, von wo bereits die Herren Hauptmann Fischer und Schriftseveralt Senar Beobachtungen gemacht hatten. Der Ort Samseln hatte ich mit der Bestimmung der Radiation (2), aus 24 Orten, vorhanden, später verband ich denn den Ort Carls mit der Radiationserhebung (2), aus 11 Orten, welche als die etwas genauere zu betrachten ist. Es ergaben sich aus diesen beiden Bestimmungen als innere Länge der Bahn besser

17 45 und 18 10 g. Merks,

als Höhe des Anfangspunktes über Erdoberfläche

27 01 und 28 05 g. Merks

und als geographische Länge λ (von Ferro) und Breite φ

$\lambda = 29^\circ 5'$ und $30^\circ 5'$

$\varphi = 52^\circ 50'$ und $52^\circ 50'$,

sowie als Neigungswinkel des beschriebenen Weges gegen die Erdoberfläche

40° und 40° .

Die Übereinstimmung der beiden Resultate ist demnach eine fast vollständige, jedenfalls. Also genauere, als im allgemeinen erwartet werden konnte. Es fand nämlich das erste Aufbrechen des Meteors über der Gegend von Kils, am 21. Brunsberg, statt.

Nach Feststellung der inneren Bahn des Meteors innerhalb der Höhenmessung seiner Orbits sollte es nun noch nicht unangelegentlich angemessenen Höhen Werte innerhalb ähnlicher Grenzen auch für die Elemente der vor dem Zusammenstoß mit der Erde beschriebenen kometischen Bahn zu erlangen, wenn auch eine Kenntniss der Geschwindigkeit erforderlich war. Hierzu traf es sich günstig, dass sehr zahlreiche Beobachtungen der Dauer der Lichterscheinung, meist nicht allmählich von einander abnehmend, gemacht waren. Aus 27 Bestimmungen an 21 verschiedenen Orten ergab sich im Mittel, nach die stärksten abweichenden Schätzungen mit eingeschlossen, eine Dauer von 4.800 Sekunden. Derselbe Mittelwert schien es um so mehr angezeigt, der weiteren Berechnung zu Grunde zu legen, als ein einzelner Beobachter

(Photograph Schwann in Rawtsch) durch eine besonders sorgfältige Abblättermethode fast vollkommen, also fast genau mit dem Mittelwerte übereinstimmend, gefunden heißt:

Die beiden gesondert geführten Beobachtungen mit dem von Neowoll und dem von Galle zusammengezogen Anfangspunkt habe ich nun auch gesondert weiter geführt zur Bestimmung der kosmischen Bahn und so das Elementensystem doppelt erhalten. Die Geschwindigkeit war zunächst nach Wagners der Annäherung der Erde etwas zu vermindern und so das Radialtempo der Kosmosstrahlen anzunehmen (beide Korrekturen waren in dem vorliegenden Falle gering und bei der sonstigen Unsicherheit überhaupt als unstatthaft zu erachten), worauf nun die erhaltenen Radialtempo die wahren Radialtempo in Länge und Breite ermittelt sind so folgende zwei Elementensysteme gefunden worden:

$T =$ Dec. 29.622	Dec. 29.473. E. Berl
$a = 242^{\circ} 14'$	$242^{\circ} 14'$
$q = 862^{\circ} 50'$	$862^{\circ} 52'$
$i = 68^{\circ} 32'$	$68^{\circ} 12'$
$\log q = 9.8122$	9.7949
$\log a = 9.8008$	9.7735
$a = 5911$	1763

Die dabei ergriffenen absoluten Geschwindigkeiten im Raum waren 1763 und 1.110 g. Meilen in 1 Sekunde.

Die Bahn ist demnach auch bei diesem Meteor wiederum eine unvollkommene Hyperbel und bildet eine neue Bestätigung aller gewisser Bemerkungen von helixen Meteoren seit länger als 50 Jahren, von welche hauptsächlich durch Herrn v. Siam's ausgezeichnete Arbeiten auf diesem Gebiete bekannt geworden sind. Es würde also sehr viel getragene Geschwindigkeit, aber in eine viel größere Zeitdauer der Durchdringung in dem vorliegenden Falle angenommen werden müssen, als die Beobachtungen selbst zulassen, wenn die Bahn auf eine Parabel oder eine Ellipse gebracht werden sollte. Die helixen Meteore (Feuerkugeln) werden daher so lange als Körper (oder vielmehr Schmelze) mit sehr starkem Anfangsgeschwindigkeit getrachtet werden müssen (sagen dieselben im wie dem Wagners oder von dem Sonnenstrahl kommen), als nicht besondere Ursachen aufgefunden werden, welche diese Geschwindigkeiten in der Nähe der Erde zu diesem ungewöhnlichen Masse vergrößern. Über letztere Frage würde eine eingehendere Prüfung voraussichtlich dadurch anfangen werden können, dass es gelingt, die terrestrischen Geschwindigkeiten nach welcher Meteorstrahlen oder Meteore zu ermittelt, welche wie die Perseiden und Leoniden bestimmt zu Kometen gehören und deren wahre Geschwindigkeit im Raum daher unvollständig bekannt ist.

Bruxel 1854 Okt. 11.

J. G. Galle.

Die teilweise Sonnenfinsternis 1855 März 25—26.

Diese Finsternis beginnt auf der Erde überhaupt März 25. 22^h 52.3^m und endet März 26. 0^h 53.7^m. Die größte Verdunkelung in Teilen des Sonnendurchmessers beträgt 0.56. In Berlin ist die Finsternis $\frac{1}{4}$.

anziehbar. Sie wird dagegen in Norwegen, auf den britischen Inseln, an den Nordwestküsten von Frankreich und Spanien, im nördlichen Teile des atlantischen Ozeans, in den nördlichen Küstengebietern Nordamerikas und in dem nagenannten Teile der nördlichen Polarregion zu sehen sein.

Die totale Mondfinsternis 1895 März 10.

Elemente der Finsternis
nach mittlerer Berliner Zeit.

	h	m	s
Opposition in A.R. März	14	25	0,0
Rektascension von Mond und Sonne	11	24	27,40
Der Mondes Dekl. +	3	59	35,0
Der Sonne -	3	50	3,6
Der Mondes sündl. Br. in A.R.	33	7,8	
Der Sonne	3	17,9	
Der Mondes Dekl.	-17	54,3	
Der Sonne	+ 32,8		
Der Mondes Äquatorial Horizontal Parallax	60	55,8	
Der Sonne	8,9		
Halbmesser des Mondes	16	32,2	
„ der Sonne	16	5,6	

	h	m	mittl. Berl. Ze.
Anfang der Finsternis überhaupt März 10	14	47,1	
Anfang der totalen Verfinsternung	15	45,0	
Mitte der Finsternis	16	30,7	
Ende der totalen Verfinsternung	17	33,7	
Ende der Finsternis überhaupt	18	18,2	

Um diese Zeiten liegen auf der Gemäßigten Erdmittelpunkt Mond die Orte der Erde, deren geographische Lage bezüglich ist

Zeit	lat. Länge von Greenwich	lat. sündl. Br.
14 ^h 25 ^m	4 23	„
15 ^h 45 ^m	4 59	„
16 ^h 30 ^m	3 45	„
17 ^h 33 ^m	3 27	„

Positionswinkel des Eintritts vom Nordpunkt gezählt 150°
 „ „ Austritts 201°

Größe der Verfinsternung in Teilen des Monddurchmessers = 1,121.

Die Finsternis wird demnach im süd-nördlichen Asien, in Europa, Alaska, im nördlichen Ozean, in Amerika und in der östlichen Hälfte des grossen Ozeans zu sehen sein. (Berl. Ann. Jahrb.)

Vermischte Nachrichten.

Über Wahrnehmen von Sonnenflecken mit unbewaffnetem Auge schreibt uns Herr Marijtinian-Schul-Director F. Schöber in Lübeck folgendes: Im Februar 1868 waren am 9., 10., 18. und 19. mehrere Beobachtungen möglich. Ich machte am 19. meine Beobachtungen darauf aufmerksam und diese sind von mehreren bestätigt, dass wir den Fleck mit bloßen Augen zu sehen vermochten, was mit weissen nicht gelbten Augen unmöglich war.

Ich möchte nicht verfehlen die Aufmerksamkeit der Schüler bei dieser Gelegenheit auf die in Laland's Sternkunde — Übersetzung aus der zweiten franz. Ausgabe 1776 — aufmerksam zu machen. S. 467 K. 1. 15. Auerbachs gleiche den Merkur in der Höhe gesehen zu haben. Abstragene aber und Kopernik verwieseln es der Möglichkeit, ihn darselbst mit bloßen Augen sehen zu können, und sie hatten völlig Recht. Auch Kepler glaubte, den Merkur mit bloßen Augen in der Sonne wahrzunehmen zu haben, er sah aber hernach bald ein, dass es nur ein Sonnenfleck keine sehr kleiner; es findet sich in der neuesten so grossen Flacke, die gar wohl ohne Fernglas gesehen werden. Quibus verichert, dergleichen mit bloßen Augen gesehen und selbst gewohnt zu haben, und wir werden dieses Beispiel aufhören (S. 441)*

945. . . . So finden sich in den Annales de France Paris 1668 (vie de la Charlemagne p. 62), dass im Jahr 800, XVI. Kai April Merkur in der Sonne als ein kleiner schwarzer Flecken erschienen und in Frankreich nicht Tage lang gesehen worden, dass aber die Wolken verhindert hätten, die Zeit der Erscheinung und Ansehen dasselben zu beobachten. Dazu kam es nichts andere als ein Sonnenfleck zu sein, eben das muss man von dem sagen, was Kepler den 28. Mai 1607 gesehen zu haben glaubte. Schöner erklärt auch vermittelst der Sonnenflecken verschiedene besondere Nachrichten, welche die Geschichtschreiber von der Verfinsternung des Sonnen-Lichtes aufzeichnet haben. — Folgt S. 7. welche Kunde von Jahr 800 und 900 „off kann man diese Flecken mit bloßen Augen — sehen“ 945. Jahr 1611.

Newer Planet 1804 HM. Auf der Sternwarte zu Neuss ist am 18. December 1804 von Herrn Oberleutnant von neuer Planet 18. Größe aufgefunden worden. Derselbe hat vorläufig die Bezeichnung Planet 1804 804 erhalten.

Litteratur.

Strenge Klätter der neuen Wissenschaften. (Verlag von Wilhelm Engelmann in Leipzig.) Von diesem grossen Sammelwerke, welches die Gelehrten und Schriftsteller unserer Zeit, welche überhaupt die Fortschritte der humanen Naturwissenschaft lieben, in billigen und leichtem Besitze haben, und weil dieses Werk immer reichere Abtheilungen neuerer Litteratur bringt, ist die Bearbeitung von Landt und Himmelfahrt (Nr. 54) und Nr. 55) die zwei in neuester Abtheilungen über Kryptogamien von Ledebour (179) und Gussone (180) Beide Werke sind mit Anmerkungen von unten des Herausgebers (J. Wiegand) versehen, so ist ein höchst verdienstliches Unternehmen, nicht wenige Abtheilungen, die dies in die letzte neuerer naturwissenschaftlichen Schriften gelobte Besondere verdienen und, das vornehmliche Publikum in billigen Bekanntheit zu bringen zu machen. Die neue Fortsetzung der Sammlung zeigt in verschiedener Weise, dass die Litteratur in der geisteswissenschaftlichen Kritik der vornehmlichen Richtung steht.

Ergebnisse der Aufnahmen. Die folgenden Angaben über die Beobachtungen der Jupitermonde sind aus dem Neuesten Almanach entnommen und die angegebenen Zeiten mit Hilfe von Bessel's. Die Tabellen sind der Hochachtung Erwehnen Abdruck von Japen nach den I bis IV beschnitten. Fortsetzungen:

- Er D des Verhaltens eines Teiles des Schatten des Jupiter
- Er K des Ansatz des Teiles des Schatten des Jupiter
- Er D des Verhaltens des Teiles des Schatten des Jupiter
- Er D des Verhaltens des Teiles des Schatten des Jupiter
- Er D des Verhaltens des Teiles des Schatten des Jupiter
- Er D des Verhaltens des Teiles des Schatten des Jupiter
- Er D des Verhaltens des Teiles des Schatten des Jupiter
- Er D des Verhaltens des Teiles des Schatten des Jupiter
- Er D des Verhaltens des Teiles des Schatten des Jupiter
- Er D des Verhaltens des Teiles des Schatten des Jupiter

Es sind nur diejenigen Beobachtungen der Jupitermunde aufgenommen, welche sich erweisen, wenn Jupiter im Opposition über und die Sonne nicht dem Horizont steht. Die Genauigkeit der Angaben dieser Beobachtungen ist jedoch andere Ort zu finden, hat man nur nicht den Höhenwinkel genau Greenwich (ausgedrückt im Nord) zu den angegebenen Zeitpunkten zu wissen, wenn der Ort nicht von Greenwich liegt und dann zu berücksichtigen, wenn der Ort westlich von Greenwich liegt.

April 1. II. III. E. IV. 11. April 2. IV. III. I. II. 12. April 3. III. II. E. IV. 13. April 4. I. II. III. IV. 14. April 5. I. II. III. IV. 15. April 6. I. II. III. IV. 16. April 7. I. II. III. IV. 17. April 8. I. II. III. IV. 18. April 9. I. II. III. IV. 19. April 10. I. II. III. IV. 20. April 11. I. II. III. IV. 21. April 12. I. II. III. IV. 22. April 13. I. II. III. IV. 23. April 14. I. II. III. IV. 24. April 15. I. II. III. IV. 25. April 16. I. II. III. IV. 26. April 17. I. II. III. IV. 27. April 18. I. II. III. IV. 28. April 19. I. II. III. IV. 29. April 20. I. II. III. IV. 30. April 21. I. II. III. IV. 31. April 22. I. II. III. IV. 32. April 23. I. II. III. IV. 33. April 24. I. II. III. IV. 34. April 25. I. II. III. IV. 35. April 26. I. II. III. IV. 36. April 27. I. II. III. IV. 37. April 28. I. II. III. IV. 38. April 29. I. II. III. IV. 39. April 30. I. II. III. IV. 40. April 31. I. II. III. IV.

Parallaxenmessungen 1890. April 24. 1^h. Merkur in großer öffentlicher Opposition. April 25. 22^h. Saturn in Opposition mit der Sonne. April 26. 2^h. Venus der Sonne nahe.

Beobachtungen durch den Mond für Berlin 1891.

Zeit	Mond	Orbit	Mond		Sonne	
			h	m	h	m
April 4	1	11	15	100	11	107

Zeit und Ort des Scheitels (nach Bessel)

April 29. Große Ache der Erayllipse: 23° 54', kleine Ache: 22° 11'. Richtungsverhältnis der Erde über der Hauptachse: 17° 30' westl.

Stellung der Jupitermonds im April 1866.



Veränderung um 2^{te} St. des Anblick im astronomischen Fernrohr

Tag	West.		Ost.
1	1	1-2	1
2		1-4	1
3	2	1	2 3
4	4		3 2
5	6	2-1	2
6	8	3-0	1
7	10	4	2
8	12	5-3	3
9	14	6-2	4
10	16	7-1	5
11	18	8-0	6 4 3
12	20	9	5 4
13	22	10	4 3
14	24	11	3 2
15	26	12	2 1
16	28	13	1
17	30	14	2
18		15	3
19	1	16	4
20	3	17	5
21	5	18	6
22	7	19	7
23	9	20	8
24	11	21	9
25	13	22	10
26	15	23	11
27	17	24	12
28	19	25	13
29	21	26	14
30	23	27	15

Flourmarketing in April 1935.

Midweek Berlin Mktg.					Midweek Berlin Mktg.						
Month No.	Flour No. Tons		Inventories No. Tons		Total Midweek No. Tons	Month No.	Flour No. Tons		Inventories No. Tons		Total Midweek No. Tons
	1	2	1	2			1	2	1	2	
1934.											
March.											
April 2	27 30	170 1/2	-	5 56	124 1	27 30	14 12	140 1/2	-	5 42	124 1
10	24 30	166 3/4	0	7 37	127 0	24 30	14 12	138 1/2	19 25	70 1/2	127 0
15	4 30	15 0/0	+ 0 12	10 1/2	124 1	24 30	14 12	138 1/2	-	10 10	124 1
20	2 30	3 0/0	0	56	120 0	20 30	14 12	138 1/2	19 25	70 1/2	120 0
25	1 30	40 0/0	0	0	119 1/2	20 30	14 12	138 1/2	19 25	70 1/2	119 1/2
30	2 30	11 3/4	- 0 12	10 1/2	119 1/2	20 30	14 12	138 1/2	19 25	70 1/2	119 1/2
April.											
1	2 50	10 0/0	+ 0 12	10 1/2	120 0	1 50	14 12	140 1/2	-	5 42	120 0
10	2 14	24 0/0	0	11 1/2	120 0	1 50	14 12	140 1/2	-	5 42	120 0
15	2 00	14 3/4	0	10 1/2	119 1/2	1 50	14 12	140 1/2	-	5 42	119 1/2
20	4 3 0/0	4 1/2	0	10 1/2	119 1/2	1 50	14 12	140 1/2	-	5 42	119 1/2
25	4 20	4 1/2	0	11 1/2	120 0	1 50	14 12	140 1/2	-	5 42	120 0
30	4 20	40 0/0	- 0 12	11 1/2	119 1/2	1 50	14 12	140 1/2	-	5 42	119 1/2
March.											
April 2	4 18	10 0/0	- 0 12	10 1/2	120 0	4 18	10 0/0	10 0/0	0	0	120 0
10	4 10	8 3/4	0	10 1/2	120 0	4 10	10 0/0	10 0/0	0	0	120 0
15	2 42	10 0/0	0	10 1/2	120 0	4 10	10 0/0	10 0/0	0	0	120 0
20	2 00	40 0/0	0	10 1/2	120 0	4 10	10 0/0	10 0/0	0	0	120 0
25	4 10	10 0/0	0	10 1/2	120 0	4 10	10 0/0	10 0/0	0	0	120 0
30	4 21	10 0/0	+ 0 12	10 1/2	120 0	4 10	10 0/0	10 0/0	0	0	120 0
April.											
April 5	4 00	17 0/0	+ 0 12	10 1/2	120 0	4 00	17 0/0	17 0/0	0	0	120 0
10	4 0	10 0/0	0	10 1/2	120 0	4 00	17 0/0	17 0/0	0	0	120 0
15	4 12	10 0/0	+ 0 12	10 1/2	120 0	4 00	17 0/0	17 0/0	0	0	120 0

Midweek Berlin Mktg.					
Month No.	Flour No. Tons		Inventories No. Tons		Total Midweek No. Tons
	1	2	1	2	
1935.					
March.					
April 2	14 12	140 1/2	-	5 42	124 1
10	14 12	138 1/2	19 25	70 1/2	127 0
15	14 12	138 1/2	-	10 10	124 1
April.					
March.					
April 2	15 1	170 1/2	-	11 1/2	124 1
10	15 1	168 1/2	17 4	70 1/2	127 0
15	15 1	168 1/2	-	10 10	124 1
April.					
March.					
April 2	4 00	10 0/0	+ 0 12	10 1/2	120 0
10	4 00	10 0/0	0	10 1/2	120 0
15	4 10	10 0/0	- 0 12	10 1/2	120 0

Wheat flour 1935.

Month No.	No.	No.	No.	
			1	2
April 2	20	11 1/2	Egypt Flour, Most in, British, Volcanic Lowest Flour, Most in, British, Newcastle	
10	10			
15	10			
20	10			
25	10			

Maize.

Midweek Berlin Mktg.				Midweek Berlin Mktg.			
Month No.	No. Tons		Total No. Tons	Month No.	No. Tons		Total No. Tons
	1	2			1	2	
1	5 00	10 0/0	15 0/0	17	10 0/0	10 0/0	20 0/0
2	4 31	11 1/2	15 43/4	18	11 1/2	11 1/2	22 1/2
3	7 20	20 0/0	27 0/0	19	11 1/2	11 1/2	22 1/2
4	6 22	11 0/0	17 22	20	12 0/0	12 0/0	24 0/0
5	7 20	17 1/4	24 3/4	21	10 0/0	10 0/0	20 0/0
6	20 20	20 0/0	40 0/0	22	9 1/2	12 1/2	21 3/4
7	11 10	10 0/0	21 0/0	23	9 0/0	10 0/0	19 0/0
8	10 10	12 1/2	22 1/2	24	9 1/2	10 0/0	19 1/4
9	10 0	11 0/0	21 0/0	25	9 24	10 0/0	19 24
10	10 00	9 1/2	19 1/2	26	9 21	10 0/0	19 21
11	14 40	11 0/0	25 40	27	9 24	10 0/0	19 24
12	10 45	10 0/0	20 45	28	9 24	10 0/0	19 24
13	10 45	10 0/0	20 45	29	9 21	10 0/0	19 21
14	17 42	10 1/2	27 46 1/2	30	9 21	10 0/0	19 21
15	18 00	10 1/2	28 0/0	31	9 24	10 0/0	19 24
16	18 10	10 0/0	28 10	32	9 24	10 0/0	19 24

Source: *Statistical Yearbook of the Reich* (1935) (1936) (1937) (1938) (1939) (1940) (1941) (1942) (1943) (1944) (1945) (1946) (1947) (1948) (1949) (1950) (1951) (1952) (1953) (1954) (1955) (1956) (1957) (1958) (1959) (1960) (1961) (1962) (1963) (1964) (1965) (1966) (1967) (1968) (1969) (1970) (1971) (1972) (1973) (1974) (1975) (1976) (1977) (1978) (1979) (1980) (1981) (1982) (1983) (1984) (1985) (1986) (1987) (1988) (1989) (1990) (1991) (1992) (1993) (1994) (1995) (1996) (1997) (1998) (1999) (2000) (2001) (2002) (2003) (2004) (2005) (2006) (2007) (2008) (2009) (2010) (2011) (2012) (2013) (2014) (2015) (2016) (2017) (2018) (2019) (2020) (2021) (2022) (2023) (2024) (2025) (2026) (2027) (2028) (2029) (2030)



Fig. 1. - Syrtis Major.



Fig. 2. - Syrtis Major.



Fig. 3. - Hesperus.



Fig. 4. - Hesperus.



Fig. 5. - Hesperus.



Fig. 6. - Sinus Titanum.



Fig. 7. - Sinus Titanum.







SIRIUS

VEREIN FÜR POPULÄRE ASTRONOMIE

Beispielen zur Erklärung
astronomischer

Phänomene und astronomischer Schriftstellen.

Herausg. von Hermann J. Kuhn in Köln

Band XXIII oder neue Folge Band XXIII

3. Heft.



Leipzig, 1895.
Karl Schöfler.





SIRIUS

ZEITSCHRIFT FÜR POPULÄRE ASTRONOMIE

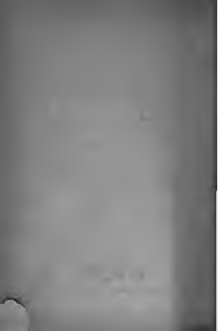
Herausgegeben unter Mitwirkung
kompetenter
Fachmänner und astronomischer Schriftsteller.
Redakteur Dr. Hermann J. Kuhn in Köln.

Band XXVII oder von Folge Band XXII

3. Heft



Verlag v. J. Neumann, Neudamm.
Karl Schellin.



SIRIUS.

Zeitschrift für populäre Astronomie.

Zentralorgan für alle Freunde und Förderer der Himmelskunde.

Herausgegeben unter Mitwirkung

hervorragender Fachmänner und astronomischer Schriftsteller

von Dr. HERMANN J. KLEIN in Köln a. Rhem.

Verleger: SCHÖNE.

„Wissen sagt Schmecken sind die Feinde und die
Bewehrung der Menschheit.“
Linné.

Inhalt: Die Astronomie des Altertums des Vordringens 2 25 — Neue Weltentdeckungen im
Mittellmeer 2 26 — Die Sternkunde des Altert. 2 27 — Die Astronomie des Altert. 2 28
— Die Sternkunde des Altert. 2 29 — Die astronomischen Leistungen der Babylonier von 2100 v. Chr.
— Die astronomische Vermessung des Landes in den Mittelmeer-Ländern 2 30 — Nördliche Entdeckungen. Neue
Planeten 2 31 — Die vier Planeten und ihre Jupiter 2 32 — Die wichtigsten Eigenschaften der Planeten
des 1. Ordnung als dem 1. Ordnung oder Jupiter 2 33 — Astronomische Entdeckungen 2 34 — Die
von Kepler'schen Entdeckungen in Wien 2 35 — Die wichtigsten Objekte des Teleskop-Bauwerks. 2 36 —
Wissenschaften für die Fortschritte der Wissenschaft im Jahre 1895 2 37 — Astronomie 2 38 — Entdeckungen
des Jahres 1895 2 39 — Planetenentdeckungen des 2. 2 40 — Sternentdeckungen durch die Beob-
achtung der Sterne 2 41 — Lage und Größe der Sonne 2 42 — Stellung der Planeten zu
denen der Erde 2 43 — Planetenentdeckung im Jahr 1895 2 44 — Mond 2 45

Die fundamentale Erscheinung des Sonnensystems.

Unter diesem (zweifelhaft bereits wiederholt) Titel ver-
wendete Herr August Tschirnitz ein interessantes Schriftchen, in welchem
er gegen das copernikanische Sonnensystem aufkämpft. Natürlich sind
seine Gründe längst widerlegt, aber er bringt uns oben weiteres mater-
ielles vor. Offensichtlich hat Herr Tschirnitz keine Ahnung davon, dass
die ganze heutige Astronomie und alle Astronomen ohne Ausnahme auf
dem Boden der copernikanischen Lehre von der (relativen) Hebel der
Sonne stehen, denn er gibt höchstes wunderliche Vorstellungen von
Astronomen die mit „solcher Arrangier“ dieses Systems verbunden. Klein,
Herr, Kufnerki, Lehmann-Falks, Dechantler, Köpke, Bickel, Maunder,
Günzger, Arnold und Köpke. „Später“ sagt er hinzu, „bei passender
Gelegenheit, werden wir uns die Freunde der Fixsterne, die mit von einigen
der erwählten copernikanischen Astronomen erhalten haben, verklei-

leben.“ Es ist schade, dass sich Herr Tischner nicht jetzt schon an dieser Veröffentlichung anschließen hat, denn da wäre jedenfalls interessanter und lebhafter als eine verhängende Broschüre. Besonders wenn er auch jene Briefe und Postkarten veröffentlichte, die er von Astronomen erhalten hat, welche nicht in jenem obigen Formate diese aufgeführt sind. Zum Schluss stellt Herr Tischner auf einen besonders eingehenden Mann Kettel eine Frage, die in deutscher Übersetzung was folgt lautet: „Wären hervorragende Astronomen auch nicht vielleicht verpfändet finden, eine regelmäßige Erklärung zu geben, warum und wie die Sonne, während sie sich 30 Erdweiten in der Sekunde fortbewegt, als im Zustande der Ruhe beharrlich betrachtet werden muss?“ Dass jedes Lehrbuch der analytischen Mechanik diese Frage ganz allgemein und nicht bloss auf den speziellen Fall der Sonne angewandt, beantwortet, scheint Herr Tischner nicht zu wissen. Dagegen stellt er einem gewissen Herrn von Tisch solcher Bücher entgegen, welche die heilige Astronomie und deren Vertreter schildern, darunter auch das berühmteste Schriftchen des Baron von Schöffer. Letztere charakterisierte Professor Wolf mit den Worten „ausserordentlich ein verkommenes Theolog“, Tischner führt dies an, fügt aber hinzu, einige Seiten weiter habe Wolf schon gesagt „der erste De Schöpfer“. Ein hiesiger Leser könnte einmischen wollen, Professor Wolf habe seine Charakterisierung widerrufen, in Wahrheit sei aber die Bezeichnung „ada“ nur in hebräischer Sprache zu verstehen, vergleichsweise so wie in dem Hebräischen Laus, welches mit den Worten beginnt: „Anerknechte, oder Ehret“.

Neue Wahrnehmungen am Mondkrater Lind.

Herr L. Brenner in Lompiziano sendte mir einen Abdruck seiner Beobachtungen über den Mondkrater Lind. Einleitend bemerkt er, dass er mit einem vorzüglichen 7-Zöller, hochsteigt von der Höhe, ruhigen Luft seines Beobachtungsortes, auf dem Mond Objekte nachgewiesen habe, die ihm so deutlich erschienen, dass er ihre frühere Nichtwahrnehmbarkeit mit einer vorzüglich eingehenden Veränderung zurückgeführt habe. Diese Ansicht hat Herr Brenner nur gegentheilig auch selber gemauert behalt Publication derselben. Ich habe von letzterem indessen abgesehen, weil die beobachteten Objekte (z. B. Cassini) mir noch darüber zu entscheiden, wie sie nur durch Mikropings Beobachtung bekannt waren. Herr Brenner bemerkt nun selbst, dass seine frühere Behauptung von stetigwachsenden Veränderungen umgewesen und lediglich durch die unverständliche Lesartgeflügheit seines Instrumentes zu erklären seien. Er will letzteres das Instrumente aller übrigen höherigen Mondbeobachter überlegen, mit Ausnahme des 10-zölligen Refraktors des Herrn Krieger in Gern, dessen Leistungen um Lind seinem 7-Zöller nahe können und ihn vielleicht überstreffen würden, wenn Kriegers Refraktor auf Lompiziano stand. Es freut mich sehr, dass Herr Brenner von der Ansicht, dass die von ihm angezeigten Veränderungen auf dem Mond wohl wenig zurückgekommen sei. Am Monde kann man nur durch lange, systematische Beobachtungen etwas erreichen und besonders die

Art und Weise, wie vielfach von englischen Beobachtern über einzelne Wahrnehmungen berichtet wird (namentlich von vielen Werten und beschränkten Schilderungen einzelner Wahrnehmungen), hängt unsere Kenntnis des Mondes nicht vorwärts.

Herr Krüger will nun seine Wahrnehmungen an Linné mit, die sehr interessant sind und im Nachfolgenden wiedergegeben werden:

„Ich fand,“ schreibt er, „am 15. April 1864, als ich während des Anspülens meines Apparatens und seiner Gläser den Mond einstellte, zu meiner Überraschung, dass Linné bereits bei 200-facher Vergrößerung einen deutlichen Krater zeigte, trotzdem für ihn die Sonne schon seit 1 1/2 Tagen aufgehoben war (Mondalter: 70 Tage). Um meiner Sache sicher zu sein, ließ ich am folgenden Abend, also bei noch höher stehender Sonne (Mondalter: 84 Tage), 25 Decimeter aus dem Publikum Linné ansetzen und befragte sie, was sie darauf sähen. Alle antworteten übereinstimmend: „während des ganzen Flusses eines kleinen, hellen Ring mit einem feinen, schwarzen Fleckchen in der Mitte“. Wenn also Linné, der noch nie durch ein Fernrohr gublicht hatte, ein Objekt so deutlich sah, so kann man sich vorstellen, wie leicht sichtbar dasselbe gewesen sein muss. Demnach schätzte ich den Durchmesser des Linné auf die Hälfte des nahen Kraters C der Schmidt'schen Karte und schloss aus dem Umkreise, dass das Innere auch noch am 15. April, also 36 Tage nach Sonnenstagnung mit Schatten erfüllt war, auf einer beträchtlichen Tiefe. Dem Ausbruch hielt ich jedoch, meines kaum wahrnehmbaren Schattenwurfes halber, für sehr unklar.“

Nachdem das Fernrohr erprobt und regelmäßige Beobachtung in das Programm aufgenommen war, stellte ich am 10. Juni um 8 1/2 Linné ein, weil Luft 1 war und sogar 600-fache Vergrößerung sehr gute Bilder gab. Doch bedauerte ich mich an jenem Abende meistens eines orthoskopischen Okulars von 4 1/2-facher Vergrößerung, weil dasselbe noch schlechtere Bilder gab. Unser Journal sagt über diese Beobachtung:

„Linné unvollkommener Krater mit zwar rottem, aber deutlich sichtbarem Wallen“. Der Westwall war an der Westseite groß beschattet, sodass er von dem meisten Wome des umliegenden Flecks stark abstrich. Nach der Innenseite war er ohne Schatten, welcher das Innere vollständig ausfüllte. Der Ostwall erhebt niedrigere in sich, weil sich hier schlechte horizontale Schlieren ereignen als die beträchtliche des Westwalle, und weil auch sein nach Osten geworfener Schatten seltener war. Aber die heutige Beobachtung hat an seiner Luft Haut über das wahre Aussehen des Linné keinen Zweifel.“

(Es ist noch bemerkt, dass der Mond damals 68 Tage alt und die Sonne seit 920 Tagen für Linné aufgehoben war.)

Am 9. Juli, 9—10 1/2, bei Luft 2—3, Vergrößerung 315—400-fach und Lichtgrau bei Cap Ferret (Mondalter: 57 Tage) erhielt ich in das Journal:

„Meine ursprüngliche Auffassung, der Detwall sei niedriger als der Westwall, ist richtig. Anfangs sah ich namentlich Linné offensichtlich in der Form eines gleichmäßigen Hügel, indem der Schatten des West-

¹⁾ Alle Entwürfe nach H. K. Z., also nach dem 20. Hefchen der Zeit von Gessner's.

wallen (dessen Ausmaße ziemlich groß beobachtet war) über den Ostwall hinwegzogen, letzterer wieder verhegen blieb. Bald aber sah ich die Gipfel des Ostwalle wie aus ganzem Jahre Luftströme aus dem Südwesten nachsehen, und nun nahm Lind wieder das Aussehen eines kleinen Kraters an. Mir machte er den Eindruck, als ob der Westwall an seiner Aussensorte entweder durchs Loch oder Verhältnismäßig sehr hoch wäre.

Dadurch würde es sich erklären, wie es kommt, dass Lind bald als Hügel, bald als Krater, bald als Kesseltang, bald als Glöcke geschickert wurde. Bei Sonnenanfang schien er ein Hügel zu sein, wie aber die Sonne höher steigt und der Gipfel des Ostwalle beobachtet wird, erkennt man den Krater. Letzterer ist übrigens so klein (das ganze Objekt hätte im selben Krater A mehr als genügend Platz, weil dessen Durchmesser noch dreimal größer ist), dass seine Veränderung mit Madler's und Lehmann's Seife keiner Frage steht. Als Krater können ihn diese mit ihrem bedeutendsten Instrumenten nicht gesehen haben, wenn er nicht größer war, als er heute ist. Ebenso ist es unmöglich, anzunehmen, dass Madler ihm dann einen Namen gegeben hätte, wo er doch viel bedeutender ist als A und viel schwerer sichtbar als dieser.²

Am folgenden Abend 7½ als die Lichtgrenze im Archimedes vorgeht war, beobachtete ich ebenfalls Lind. Die Luft war 3, ein heftiger Wind machte das Fernrohr beweglich öfters und ab und an stürzte sichende Wellen. Vergrößerung 213. Mondalter: 755 Tage.

Das Journal sagt:

„Tage der vorgestiegenen Umstände sieht ich Lind deutlich als Krater. Wegen der vorgezeichneten Beobachtung schickten auch die Gipfel der Wälle ein glänzendes Ring ab, der von dem wasser Weißen der Flecken stark abstand, während das Innere tieferwärts von Schatten erfüllt erschien. Dabei fiel es mir auf, dass dieses schwarze Innere heute viel größer erschien (wenn schwächerer Vergrößerung) als je zuvor. Heute schätze ich den ganzen Krater auf ein gutes Drittel des ganzen Kraters A. Nach der heutigen Beobachtung sagte ich mich der Anschauung an, dass die Innenseite des Ostwalle schwach abfällt, so dass trotz großer Tiefe des Kraters ein bedeutendes Stück des Innemwalle beleuchtet wird.“

Am 24. Juli (Mondalter: 866 Tage) fand ich Lind schattenlos „oder mit Innenseite vielleicht nur wegen der mäßigmäßigen Luft nicht erkennbar“. Am 22. Juli sah ich Lind nur als wasser Fleck. (Lichtgrenze: Pindoria's Mondalter: 1788 Tage) Ebenso am 23. Juli (Lichtgrenze: Bessel. Mondalter: 2075 Tage) und 10. August (Lichtgrenze: Bessel's. Mondalter: 21 Tage).

Und nach alledem stelle man sich meine Verwirrung vor, als ich am 28. September 17ⁿ. (Mondalter: 2136 Tage) zufällig einen Blick auf Lind warf und dort einen ungewöhnlich hohen Krater vorfand.²

Mit anderen Worten, selbst der kleine Kraterbau/mitten eines hohen Flecken sah ich einen Verhältnismäßig grossen und, wenn langen Schatten nach im Süden, auch hohen Krater vor mir.² Der Durchmesser des Kraters war ungefähr gleich jenem des hohen Kraters C (welcher gerade an der Lichtgrenze stand, während aus der Phase



wach der Krater B hervorsticht), die Länge des Schattens betrug ungefähr das Aundertwelffache des Durchmessers des ganzen Kraters! Die nächste Umgebung war auch nicht weißlich, sondern matt, gleich der weissen Umgebung, welche ich zu erwähnen begann, ob das wirklich Linné sei, was ich vor Augen hatte. Ich holte die Karten von Schmidt, Benze und Lehmann und verglich die ganze Umgebung auf das Genauste mit dem Aufblick im Forster's . . . Es war kein Zweifel mehr: Linné ist ein grosser, hoher Krater wiedererstandener! („Gross“ und „hoch“ natürlich nur im Verhältnisse zu seinem (jetzigen) Aussehen.) Zwischen Sublimis Gullus und Linné C war Linné das grösste und auffallendste Objekt — so auffallend wie B und C, aber viel auffallender und grösser als die vielen andern Krater jener Gegend der heimatlichen Karte! Nachdem er dem nahen Krater C an Grösse gleich kam, muss sein Durchmesser an 7—8 Lin angenommen werden, also so viel als einer Zeit Lehmanns angegeben hat.

Der Dank der Frage k. k. Sternwarte, Herr Professor De Wenzl, dass ich von diesen Beobachtungen Mitteilung machte, weiss, der lange Schatten könnte auch durch eine erhöhte Lage des Linné (auf einer kuppelförmigen Erhebung) hervorgehen sein — welche Ansicht auch durch eine Photographie bestätigt würde — und dies würde ich am besten durch Beobachtung des Verhältnisses bezw. Verlängerens der Schattenslinie herausbringen. Zu diesem Zwecke setzte ich meine Beobachtungen fort.

Am 4. Oktober 67, bei Luft 3, Lichtgrenze bei Caput, Mondalter: 10 Tage, Vergleichung 414, fand ich, dass Linné sehr höheres Aussehen wieder hatte, d. h. er war lange nicht so auffällig wie Krater C und der weisse Fleck am die herum wieder sichtbar. Indes schien mir Linné immerhin grösser als vor einigen Monaten und sein Krater war deutlich sichtbar. Am 4. November 67 (Luft 3, aber bald 2, Vergleichung 306, Lichtgrenze bei Cap. Fandus, Mondalter: 7 Tage) schrieb ich in das Journal: „Linné heute kleiner als A, ungefähr halben Durchmesser von B. Seine Schattenslänge betrug etwa das Aundertwelffache des Durchmessers des ganzen Linné, er war ungefähr genau so lang, wie der Schatten des A und des B. Der hellere, weisse Werraud erschien nicht ganz so breit wie jener von A. Es scheint, dass das Mittelfeld des Linné im Verhältnisse zu dessen Durchmesser auffallend klein ist, so wie es Tocchini auf seiner Zeichnung VI von 1868 darstellt.“

Am 7. November 67² (Luft 3, Vergleichung 434, Lichtgrenze bei des Rippen, Mondalter 1003 Tage) fand ich, dass Linné ein ziemlich grosses schwarzes Aethisches zwischen des weissen Flecks hatte — ein Beweis, dass der Krater sehr tief sein muss.

Am 16. November 67² (Luft 3, Vergleichung 383, Mondalter 1133 Tage) schrieb ich: „Das Innere des Kraters war sehr dunkel als schwarze Scheibe zu sehen, die eine merkliche Umwölbung mitten im weissen Flecke stand. Ihr Durchmesser war ungefähr gerade so gross, wie jener des Innern von D.“

Andern Tags 1077² (Luft 3, Vergleichung 188, Mondalter 51-52 Tage, Lichtgrenze bei Presidentus) schrieb ich: „Das schwarze Innere war nicht zu erkennen, doch hatte ich dafür, dass dies nur auf Beob-

rang der schlechten Luft und meiner heute sehr geschwächten Augen kammt.“

Am 18. November nahm ich mir vor, das Aussehen des Schattens von Linné zu beobachten, daher ließ ich ihn von 10° an bis 184,7 im Auge behalt. Leider hatte ich aber schon vorher mit 5° Mars und Jupiter beobachtet, sodass auch die allgemaine Erhellung meiner Augen verminderte, die Beobachtung bis in die späten Morgenstunden fortzusetzen, wie dies meine Absicht gewesen war. Die Luft war 3 (jein starkem Wind), die Lichtgenossenschaft Anfangs bei Bessel, zuletzt bei A, die Vergrößerungen 160, 190, 312 und 414, das Mondalter Anfangs 27,22, zuletzt 27-24 Tage. Anfangs konnte ich gar nichts von einem Schatten sehen, selbst nicht das Innere, sondern nur den weissen Fleck und in dessen Mitte einen groß glänzenden Berg. Nachdem ich aber bereits zwei Tage vorher die Innere ganz deutlich beobachtet gesehen hatte, so ist es klar, dass an dem heutigen Stillstehen nur die Luft und die Erhellung meiner Augen schuld trugen. Nach Nitternachts sah ich plötzlich besser und was gewahrte ich etwas, was ich für das Innere von Linné hielt: Herr Bessel erblickte einen grossen weissen Fleck, in dem einen Berg, welcher einen runden schwarzen Kern enthält. Die innere Hälfte des Berges sah dunkel aus, doch konnte er nicht heraus bringen, was das sei. Erst am 20° sah er klar, dass dieser dunkle Teil in Wirklichkeit der Schatten des Kreiers Linné war und ungefähr $\frac{1}{2}$ der ganzen Kreierdurchmessers Länge hatte. Der weisse Fleck war nahezu kreisförmig. Er erkannte jetzt erst das kleine Centralgeb. Im ganzen war Linné weit kleiner als das in einer geraden Linie links von ihm stehende 5-Kreier A, B, C, D, E.

„Was soll man nun“, sagt Herr Bessel, „aus diesen Beobachtungen folgern? Dass sich Linné seit Lehmanns Zeit geändert hat? Dass er sich gleich gehöhlet hat?“

Stilles wir zuerst das Ergebnis aller Beobachtungen tabellarisch übersichtlich zusammen, wobei A das Datum der Beobachtung, B den Luftzustand, C die angewandte Vergrößerung, D das Mondalter in Tagen, E die Zahl der Tage nach dem Sonnenstehung für Linné, F jene vor dem Sonnenvergang, G das Aussehen des Linné enthält.

	A	B	C	D	E	F	G
27-4	3	100	76	1.00	—	—	Keinlicher Kraper, helles Durchsehen von Linné 0; schwacher Schatten nach aussen
24-6	3	600	84	2-6	—	—	Helles, ungeländertes Fleck mit weissen
27-6	3	800	9-7	3-21	—	—	Im weissen Fleck ein etwas helles Ringchen mit weissen, tiefem Faltchen in der Mitte
28-6	3	414	8-5	3-20	—	—	Kreier mit deutlich wahrnehmbarem Weissen
3-7	3	312	8-7	3-25	—	—	Oben, die Hälfte des Durchmessers von A
18-7	3	312	7-25	1-23	—	—	Oben; als ganz kleiner des Durchmessers von A
23-7	3	190	5-5	1-22	—	—	Keine ganz schwacher oder nichtsehbar
23-7	3-4	190	5-5	—	1-22	—	Kein weisses Fleck sichtbar
25-7	3	190	5-5	—	1-22	—	Kein
28-7	3	190	5-5	1-20	—	—	Kreier nicht erkennbar

A	B	C	D	E	F	g
20/9.	2-3	28	28-30	—	011	Katholisch großer Krater von 1-2 km Durchmesser mit tiefem Schattensattel. Keine Spur von weissen Fleck.
1/10	2	43	73	042	—	Weisser Fleck wieder sichtbar. Krater vollständig genau, aber keine sieht so zerfetzt wie C.
1/11	2-3	60	7-9	012	—	Leucht kleiner als A, ungefähr halbes Durchm. von H. Schattensattel von um 21/2. der Schattensattel von A und B entsprechend.
7/11	2	44	10-12	012	—	Krater kleiner noch deutlich sichtbar.
14/11	2	55	10-11	—	210	Etwas. Sehr Durchmesser jenseit von D gleich.
27/11	2	22	20-22	—	1-20	Krater kleiner nicht sichtbar.
29/11	2	100	21-22	—	0-41	Schein Krater ganz wie bei. Kleiner Krater gleich, kleiner 2/3 des starken Durchmessers. Leucht von jenseit als die B Krater 2-3. weisser Fleck nicht sichtbar.
		100	21		10	
		44	21-22		012	

Betrachten wir diese Tabelle, so sehen wir, dass Linné öfters noch Sonnenstrahlung und nur scheinbar von Sonnenstrahlung beobachtet wurde. Bis zu 200 Tagen nach Sonnenanfang und 2-3 Tagen vor Sonnenanfang war es noch als Krater zu erkennen immer wenn die Luft schlecht war) und wie Innere schattensatteln, folglich muss er sehr tief sein. Der Durchmesser wurde gewöhnlich auf 2-2 1/2 km geschätzt, am 20. September jedoch auf 1-2 km. Nachdem bei einer anderen Sonnenstands das Innere sehr leicht, sogar eher kesselart form und weit erscheint, so ist es wahrscheinlich, dass dasselbe trichterförmig ist, und zwar muss der zentrale Trichterkanal sehr tief sein. Ob Linné überhaupt ein hoher Krater mit oder anderer Umfänge bei anderen Sonnenstände seinen Schatten so ungewöhnlich lang machen lassen, würden wohl meine weiteren Beobachtungen bald entscheiden. Vorläufig dürfte ich diese Zeiten der Offenbarkeit, damit auch andere Beobachter sich an der Lösung dieser Frage beteiligen können, die in für unsere Kenntnis der physischen Beschaffenheit des Mondes von der höchsten Wichtigkeit ist."

Diese Beobachtungen des Herrn Becker sind sehr interessant und fordern zu weiteren Beobachtungen des Objektes mit starken Ferngläsern auf, um zu entscheiden, wie es sich im einzelnen mit den Veränderungen verhält. Mir scheinen dieselben lediglich optische zu sein. Unter gewissen Bedingungen zeigt sich Linné hinwieder auf kurze Zeit sehr verschieden von einem gewöhnlichen Krater. Ich habe in dieser Beziehung in meinem Buche „Führer am Sternenhimmel" drei Beobachtungen von mir aus den Jahren 1881 und 1884 mitgeteilt, die ich hier dem Wertlose nach mitteilen will:

Am 13. Mai 1881, als die Lichtgrenze am Ostrande des Mars beobachtet lag, sah ich Linné als kleine warzenförmige Kothügel, von einem kreisförmigen, mattleuchten Lichtfleck umgeben. Der Hügel war so klein, dass er beinahe im Innern des sehr schattensatteln kleinen Kraters A weissen von Linné Fleck stand. Ein sehr kleiner Schatten

des Hügels war sichtbar, und nach langem Zusehen glaubte ich schliesslich zu wissen, dass Sefick neben dem Hügel noch sehr kleinere Hügel sich befinden, wodurch in gewissen Momenten der Eindruck einer solchen Kratervertiefung mit Hofbuchten entsteht. Eine solche scheint mir aber in Wirklichkeit nicht vorzuliegen. Ob der eigentliche Hügel Linné eines Krater trägt, konnte ich am jenem Abend nicht ausmachen.

3. Februar 1881. Phase Sefick von Hygiene aus westlich von Cassini. Linné erscheint als kleiner, ziemlich gut begrenzter Lichtfleck ohne Spur von Schatten. In den besten Momenten merkte ich aber doch ganz bestimmt zu erkennen, dass es ein glockenförmiger Hügel ist und dass oben eine solche Kantenkantung, von einem Walle umgeben, sich befindet.

11. September 1884. Sehr morgens Lichtgipse aus westlich von dem Krater A im Mars-Spectroskop und über den Westwall von Julius-Caesar. Linné bot einen sehr interessanten Anblick der Westlich von ihm stachen sich an der Lichtgrenze und dieser parallel 5 kleine Krater wie Köpfe mit schattigen Kraterhöhlen und Schatten, die in der Lichtgrenze gehen. Linné machte den Eindruck eines wenigstens schattenlosen Hügels, so klein, dass er in der Kraterhöhle des Kraterchens F hätte Platz gefunden. Dieses Hügelchen stand auf einer kalten, merkwürdig offenen, sandigen Fläche, die besonders gegen SW im gleichfalls wie voraussetzungsweise und der keine bestimmte Grenze abgegrenzt war. So blieb das ganz unverständlich, bis wegen des zunehmenden Tageslichts die Beobachtungen geschlossen wurden, doch war die Lichtgrenze damals noch nicht bei dem Krater A gekommen.“

Hieraus scheint es sich, dass die von Herrn Heuser wahrgenommene Gestalt des Linné schon 1881—84 im wörtlichen vorhanden war.

Dr. Klein.

Die Rotationspole der Venus.

Unabhängig gehört der Planet Venus zu denjenigen Himmelskörpern, welche der gemässen Voraussetzung über Oberflächens sehr grosse Scherichtigkeiten darbieten. Wegen ihrer grossen Nähe bei der Sonne kann an nach Sonnenuntergang nur in geringer Höhe über dem Horizont gesehen werden, also in einer Lage, in welcher die Dichte der Luft sehr hoch ist, selten gute Bilder zu stellen gelangen lässt. Auch ist sichtbar die starke Heiligkeit der Venus sehr hinderlich. Gewöhnlich beobachtet man diesen Planeten deshalb am hellen Tage in grösseren Höhen über dem Horizont, weil besonders die Verminderung der Dichtigkeit der Planetenatmosphäre günstig für die Wahrnehmung ist. Indessen sind auch dann wirklich gute Bilder der Venus sehr selten und man braucht sich deshalb nicht zu wundern, dass über etwaige Flecke auf der Venusoberfläche seit 200 Jahren eine hitzige noch heute noch nicht ganz eine Abarbeitung gekommene Diskussion entstanden ist. Domenico Cassini sah solche Flecke in Bologna im Jahr 1664 und 67, und sein Sohn Jacob Cassini setzte Janssen eine Umdrehungsdauer der Venus von 22 1/2 Stunden ab. Eine 67 Jahre später sah Francesco Bernaldi Flecke auf der Venusoberfläche und schloss daraus auf eine Umdrehungsdauer von 2 1/2 Tagen.

In dem letzten Jahre hat Schiaparelli wahrscheinlich gemerkt, dass die wirkliche Knotenpunkt-Länge der Venus mit ihrer Umlaufdauer um die Sonne zusammenfällt. U. Flammarion stellt nun einige Beobachtungen auf¹⁾, die von ihm und anderen auf der Pirkelsteinwarte an Jersey in dem letzten acht Jahren über das Aussehen der Venus gemacht worden sind. Aus denselben ergibt sich, dass es zwei einander gegenüberstehenden Flecken (Poles) der Venusfläche heißt Flecke, d. h. Flecke waren Polarflecke zu sehen waren und dass dies selbst dann der Fall war, wenn Venus als zentrale Scheibe erschien. Diese Polarflecke drüben nach Flammarion auf Salzwassersammlungen an den Polen, und unter dieser Voraussetzung, meinte der Beobachter, sei es unmöglich, dass sich Venus, wie Schiaparelli angibt, in der stärksten Zeit zuerst um ihre Axe dreht, in welcher sie um die Sonne läuft. „Denn“, sagt er, „wenn Venus der Sonne stets die gleiche Seite zukehrt, so muss die zentrale Kante auf ihrer von der Sonne abgewendeten Seite und auf der Mitte der nach der Sonne hingewendeten Seite ein Temperatur Maximum besitzen. Der gesamte Umfang der beleuchteten Seite aber befindet sich dann unter der gleichen klimatischen Verhältnisse und von Eiswasser kann keine Rede sein.“ Aus seinen Beobachtungen schließt Flammarion daher, dass Venus sich zu kürzerer Zeit als Schiaparelli meint um ihre Axe dreht und dass diese nur wenig gegen die Ebene der Bahn geneigt sein kann, weil sonst ein beide Polarflecke ungleich gesehen würden. Auch meint er, dass diese Flecke eine Rotation besitzen, welche nur wenig von 24 Stunden verschieden ist.

Die Wahrnehmung heller Flecke an den Hornern der scheitelförmigen Venus ist übrigens schon lange vor Flammarion gemacht worden und darüber sagte Herschel. Schon vor zehn Jahren habe ich dieselben gelegentlich wahrgenommen, ich werde darauf aufmerksam durch den ersten Entdecker dieser Flecke, welcher Gruthuisen ist. Zuerst im September 1833 sah er solche helle Flecke am Südpole, später auch gleichzeitig am Nordpole. Die von ihm gemachten Wahrnehmungen hat er in Zeichnungen wiedergegeben, von denen ich die am meisten charakteristischen in meiner „Abbildung zur Durchmusterung des Himmels“, Seite 96 wiedergeben habe. Gruthuisen machte sich anfangs selbst den Einwurf, dass der innere Rand der Venus ebenfalls sehr hell glänzt und dass die hellen Polarflecke wohl nur diesem Umstande sehr ähnlich, das auch die in den Polen fortsetzt. In diesem Sinne sieht sich der Zweifel dadurch, dass, so oft die Venus auf stand und das Kauffmann von der Dinnmoring gef. geführt war, die Polarflecke beiderseits erschienen und dass auch bei geringerer Höhe des Himmels über dem Horizont das Nordlicht hell wie das der Helligkeit der Polarflecke nicht versichte, dass fernor die hellen Polarflecke nicht selten begrenzt erschienen und endlich, dass das Nordlicht am Äquator die größte Helligkeit hatte, gegen die Pole hin aber abnahm. Herr und Müller fanden 1836 am 4. April helle Hörner, besonders das südliche heller als das übrige Teil der Venusichel, ebenso bemerkten sie am 6. Mai, dass das Südhorn merklich heller sei. Man kann diese Wahrnehmungen als Bestätigung dergleichen von Gruthuisen betrachten.

¹⁾ Compt rend 1868 T. CLIX p. 402

Gezeichnet bei orientiert, als große oder kleine Fleckchen die Polarflecke der Venus besser erkennen lassen, indem er den Finstern mit Fraunhofer'schen Achromaten von 3. 27 $\frac{1}{2}$ und 1 $\frac{1}{2}$ Fues Brennweite beobachtet. Es zeigte sich, dass das kleinste Instrument die hellen Flecke am deutlichsten darstellte. Dies führt auf die Vermutung, dass aus diesem Grunde frühere, mit grossen, lichtstarken Teleskopen angestellte Untersuchungen die Flecke unentdeckt liessen. „Man sieht daher,“ bemerkt der Beobachter, „nicht immer auf eine glückliche Nummer, wenn man jedesmal täglich Instrumente und Vergrösserungen anwendet, als wollte man in den Planeten die Einwohner herauspuffen sehen.“

Die von Flammarion entworfenen Beobachtungen beziehen sich auf die Jahre 1883 bis 1894 und wurden zu einem Agenserial von 240 mm Öffnung bei 300 bis 400facher Vergrösserung angestellt. Die erhaltenen Zeichnungen sind auf Tafel III wiedergegeben. Die fünf ersten Zeichnungen sind von Flammarion, die sechste von Schmidt, die letzten folgenden von Quénouet, die zweite und letzte von Guéin und die beiden letzten letzten von Lohmeyer. Diese Zeichnungen zeigen im allgemeinen eine gute Übereinstimmung mit den früheren von Struthmann, auch darin, dass immer der Polarfleck leicht dunkle Flecke oder Streifen zu sehen sind. Die Zeiten, auf welche sich die Darstellungen beziehen, sind:

1. 1883, Juni 11. Die beiden hellen Flecke waren auch in einem 400fachen Fernrohr sichtbar.

2. 1887, Juni 17. Die obere Kalotte erschien merklich grösser.

3. 1891, September 14. Die Höner der Nibel überragen etwas den Polfleck. Wie immer sah man lange der Lichtrande einen Halbschatten.

4. 1892, April 20. Der nördliche Polarfleck ragt etwas über die Lichtgrenze hinaus.

5. 1892, Mai 26. Beide Polarflecke sind sichtbar und die Höner der Nibel erschienen sehr spät.

6. 1892, Juni 7. Das nördliche Horn erscheint sehr weiss und dick, das nördliche weiss und scharf.

7. 1892, August 26. Der nördliche Kalotte ist gut sichtbar, das nördliche Horn scharf.

8. 1892, Juni 15. Der Finstern erinnert in seinem Aussehen etwas an den Mars; der nördliche Polarfleck ist rund, der nördliche Pol vierkantig.

9. 1893, August 2. Der nördliche Polarfleck ist gut sichtbar. Auf der Scheibe dunkle Flecke.

10. 1893, August 22. Beide Polarflecke sind sichtbar, besonders der nördliche. Länge des Randes zeigen sich helle Stellen, auf der Scheibe dunkle Flecke.

11. 1894, Juli 27. Der nördliche Schattensaum analog der des Mars.

12. 1894, August 1. Beide Polarflecke sind sichtbar, der obere ist ausgebleicht und vornehmlicher als der untere. Auf der Scheibe sind dunkle Flecke zu sehen.

K.

Die Atmosphäre des Mars.

Wie früher an diesem Orte mitgeteilt worden, ist Herr Campbell vom Lick-Observatorium auf Grund seiner Untersuchungen des Marspektrums ein sehr vollkommenes Mittelbild zu dem Ergebnisse gekommen, dass die Schlitze Nörner's Spektroskopier über das Verdunstens von Wasserdampf in der Marsatmosphäre wenig sind, indem solche Linien mit dem besten heutigen Hilfsmittel im eigentlichen Spektrum des Mars durchaus nicht aufzufinden sind. Herr Janssen, Direktor des Observatoriums zu Meudon, ist diesen Schlussfolgerungen entgegengetreten¹⁾. Er weist darauf hin, dass das Licht, welches von der Planeten zu uns kommt, nur einen kurzen Weg durch deren Atmosphäre und dabei gerade in den am wenigsten dichten Schichten zurückgelegt hat. Vor allem hätten jene Lichtstrahlen die Atmosphäre der Planeten, von denen sie kommen, nicht in schräger Richtung durchlaufen, wie es für uns bei Auf- und Untergang der Sonne der Fall ist, wo die Sonnenstrahlen die untersten dichtesten Schichten unserer Luft in enormen Längen durchlaufen müssen und wodurch dann gerade die Absorptionwirkung der wasserstoffhaltigen Luft zur Geltung kommt. Wenn nun, sagt Janssen, zur Fortbildung der tellurischen (Wasserdampf) Linien unsere Luft zur Beobachtung der Sonne im Meridian möglich wäre, so sei es kaum wahrscheinlich, dass wir von der Existenz dieser Linien noch etwas wüßten. Derselbe ist es wahr, dass der berühmte Herrschel, welcher 1831 die dunklen Bänder, mit denen das Sonnenspektrum beim Auf- und Untergang der Sonne behaftet erscheint, entdeckte, damals darauf auf eine normale Wirkung der Gase unserer Atmosphäre schließen konnte, weil diese Bänder, verschwinden in dem Maße als die Sonne höher über den Horizont stand. Janssen, der diese Bänder seit 1867 beobachtete, konnte sehr mächtige Spektroskope anwenden und besonders Vorsichtsmaßregeln treffen, um im Spektrum der im Meridian stehenden Sonne einige der feinsten Linien, aus denen die Marsstrahlen bestehen, wahrzunehmen. Er fügt hinzu, dass während des Winters in unsere Klimate alle telegraphischen Leitungsgruppen des Wasserdampfes der Atmosphäre im Sonnenspektrum verschwinden, sobald die Sonne nur eine geringe Höhe über dem Horizont erreicht hat. Hieraus folgt, dass wenn man oben vom Mars aus das Licht welches in normaler Richtung von der Erde reflektiert wird, spektroskopisch untersuchen würde, es sehr schwierig sein dürfte, solche Wasserdampflinien zu erkennen, und wenn es sich um das aus dem bläulichen Leuchtglas, von der Oberfläche unserer Erdenwolken reflektierte Licht handelt, Wasserdampflinien überhaupt nicht gefunden werden könnten. Wenn man nun in Betracht zieht, dass die Atmosphäre des Mars weniger dicht und ungeachtet ist als die unserer, dass er zugleich durchsichtiger und freier von Wasserdampf ist, so würde man begreifen, welche Schwierigkeit es habe, diesen Wasserdampf spektroskopisch nachzuweisen. Inzwischen hält Janssen die Schlüsse, zu denen er bezüglich des Marspektrums durch seine Beobachtungen auf dem Mars 1867 gekommen ist, durchaus aufrecht.

¹⁾ Bulletin de la Société astronomique de France 1866, Janvier p. 30 u. R.

War die Abhandlung Campbell im II. Heft des vorigen Jahrgangs des „*Stirn*“ aufmerksam gelesen hat, wird nicht anzunehmen, der Behauptung bezweifeln, dass die Ausführungen Janssen nur auf einem Missverständnisse derselben beruhen. In der That hat Campbell darüber nicht behauptet, in der Annahme des Mars sei kein Wasserdampf vorhanden, sondern nur, dass die Luft mit unserem heutigen Sauerstoffgehalt nicht nachgewiesen werden. Der Beweis für diese Behauptung hat er durch Mischung seiner Beobachtungen auch vollständig erreicht. Die Ausführungen Janssen bestätigen diese Schlüsse mehr, als derselbe die Schwirgeln, die mit den Wahrnehmungen entgegenstehen, spezieller erwähnt, ja sogar behauptet, dass vom Mars aus die Wasserdampfbrennen unserer Erdatmosphäre kaum oder gar nicht gesehen werden könnten, während bei uns mehr Wasserdampf vorhanden ist als wahrscheinlich auf dem Mars. Das steht in vollkommenem Widerspruch mit den Angaben Campbell's. Wenn aber Hermann Janssen erklärt, bei seinen früheren Schlüssen bezüglich der Wasserdampfbrennen des Marsquadranten verfahren zu müssen, so wird niemand, der die wirkliche Sachlage kennt, das beipflichten. Denn als Janssen vor 25 Jahren auf dem Mars beobachtete, war die genaue Kenntnis der heliographischen Linsen im Luftspektrum, welche wir heute besitzen, noch nicht vorhanden, Janssen damalige Hilfsmittel sind nicht mit denjenigen Campbell's zu vergleichen, und endlich hat Janssen die Beobachtungen, auf die er seine Schlüsse stützt, im vor heutigen Sinne niemals veröffentlicht. Auch in seiner neuesten Publikation stellt er sie erst in Aussicht.

Der Komet Swift (1894).

Schon gleich nach Entdeckung dieses schwachen Kometen wurde von kompetenter Seite die Vermutung ausgesprochen, derselbe sei wahr scheinlich identisch mit dem seit etwa einem halben Jahrhundert nicht mehr wiedergesehenen Kometen de Vico, welcher 14. Jahrz. Entdeckung heisst. Die Rechnungen von L. Schulke, welche sich auf drei Beobachtungen des neuen Kometen im Monat November 1894 stützen, haben jene Vermutung ziemlich bestätigt¹⁾. Der nach diesem neuen Entdecker de Vico benannte Komet wurde am 12. August 1894 auf der Sternwarte in Rom entdeckt und erschien im darauf folgenden September als Stern 6. Grades des kleinen Aqns. Im Februar zeigte er dann Kopf und schwachen Schwanz. Bald nachher zeigte Brissow und Levertier, dass dieser Komet eine Umlaufzeit von rund 14. Jahren heisst. Der Bericht sagt auch konnte er bei seiner nächsten Wiederkehr von der Erde aus nicht gesehen werden, dagegen musste er im August 1896 wieder sichtbar werden. Indessen sind damals alle Versuche, den Kometen aufzufinden, vergeblich gewesen, nur Goldschmidt in Paris glaubte nahe dem Orte wo der Komet stehen musste, einen schwachen Nebel zu sehen. Levertier hat die Bahn dieses Kometen bis zum Jahr 1908 rückwärts berechnet

¹⁾ *Astr. Nachr.* p. 5561.

und gezeigt, welche Veränderungen die Infolge der Anziehung des Jupiter erlitt. Hinsichtlich der Länge des Perihels angenommen, die Länge des entgegengesetzten Apsides sich dagegen vermindert, und dies zeigt sich auch wieder bei der diesmaligen Beobachtung. Das de Viere-Komete meinte 1885 dem Jupiter wieder sehr nahe kommen, und wie Herr Schellbach nachweist, so dass in der That bei dem Both'schen Kometen der Fall gewesen, wodurch seine Umlaufzeit etwas vergrößert wurde.

Die vorerwähnte Auffindung des seit 50 Jahren verlorenen de Viere'schen Kometen ist, wie Herr Schellbach bemerkt, eine sehr merkwürdige Thatsache. Sie wirft ein helles Licht auf die mysteriösen Verhältnisse, nach denen so manche Kometen von kurzer Umlaufdauer sich nach einseitiger Beobachtung dem Auge der Astronomen scheinbar für immer entzogen haben, wie das Häufig noch beim Brook'schen Kometen der Fall war. Der de Viere'sche Komet war 1814 recht hell und mehrere Tage lang sogar für das bloße Auge sichtbar. Seine Bahn war genau bekannt, man hat später nachher den Ort am Himmel, wo er gesucht werden musste, angegeben. Nichtsdestoweniger hat es, obgleich besonders 1855 die Sternwarten-Verhältnisse sehr günstig sein müssten und öftig nach ihm gesucht wurde, nicht mehr aufgefunden werden. Seine Helligkeit im Jahre 1844 muss daher aussergewöhnlich gross gewesen sein, ähnlich wie die des Kometen Holmes 1892. Es ist daher nicht unzulässig, dass das schwache abstrahlende Objekt, welches Galle-schmidt 1865 nahe dem vormaligen berechneten Ort des Kometen sah, in der That dieser Komet war und dass demselben plötzlich Lichtabstrahlungen wurde und dadurch des Augen der Forscher sich entzog. Nicht der plötzliche aber kurz daraufes Helligkeitszunahme, welche die Kometen Rich, Pons, Brooks 1890 I, Brooks 1899 V und besonders der Komet Holmes gezeigt haben, kann man daraus schließen, dass ebenfalls ein Kometen, die sehr Lichtabstrahlend, für einige Tage hell und dadurch sichtbar werden, um darauf wieder zu verschwinden. So können z. B. die Scheffelsche, welche Beckingham und Talmage, sowie andere Beobachter im November 1882 bei ihren Nachforschungen nach dem Both'schen Kometen gesehen haben, wirklich Fragmente dieses Kometen gewesen sein, die nur kurze Zeit sichtbar waren. Man wird daher gut thun, bei der nächsten Rückkehr des Brook'schen Kometen wiederholt mit mächtigen Instrumenten die unmittelbare Umgebung des Ortes, wo sich der Komet zeigen sollte, sehr sorgfältig zu durchsuchen, obgleich die Nachforschung auf die weitere Umgebung auszudehnen, wodurch ein entsprechendes weniger ergiebig sein wird.

Unter den Kometen von kurzer Umlaufdauer ist der Komet de Flu der Meiste bekannt, denn wie Leverrier nachgewiesen, ist er identisch mit dem Kometen, der im Jahre 1678 gesehen worden. Infolge seiner verhältnissmässig grossen Periheldistanz ist er weniger als die Kometen Rich, und Brooks der zerstörenden Wirkung der Sonnenstrahlen ausgesetzt. Seine Periheldistanz ist seit 1865 merklich grösser geworden und wird 1897 noch mehr zunehmen, in welchem Jahr der Komet dem Jupiter noch näher als 1885 kommen wird. Deshalb dürfte es schwer haben, den Kometen bei seiner nächsten Wiederkehr aufzufinden. Es ist daher von grösster Wichtigkeit, bei seiner gegenwärtigen Sichtbarkeit

des Kometen so lang als nur möglich mit dem stärksten Instrumente zu verfolgen, um möglichst genaue Daten über Bewegung der grossen Strahlen, die er 1891 erleiden wird, zu erhalten.

Die periodischen Änderungen des Spektrums von β Lyrae ¹⁾.

Als Pechling im Jahre 1891 das Spektrum des bekannten Veränderlichen β Lyrae nach photographischen Aufnahmen studierte und Änderungen in der Ausdehnung der dunklen und hellen Linien des Spektrums gefunden, die mit der Periode des Lichtwechsels in Beziehung stehen, theilte er Herrn Lockyer mit, in Kensington dieses höchst interessante Objekt gleichfalls spektrophotographisch zu untersuchen. Diese Arbeit wurde bereits im Juli 1891 mit einem sehr feinen Apparate begonnen und dann mit einem stärkeren fortgesetzt. Ueberdies sind Resultate über das photographische Spektrum von β Lyrae veröffentlicht von Helbigolky, Sedgwick und Vogel, und Lockyer sieht sich veranlaßt, einen kurzen vorläufigen Abriss der bisher erzielten Resultate zu geben, obwohl die Resultate der 54 Photographien, die er erhalten, noch nicht beendet sind und an einem vollständigen Stoffe des Problems mehr Photographien erforderlich sind. Er beschränkt sich in seiner Mitteilung auf die Darstellung der Änderungen des Spektrums nach den aufgenommenen Photographien in Kensington und behält sich vor, in einer späteren Abhandlung ausführlicher auf das Gegenstand und die Ansichten anderer Forscher einzugehen.

Die Resultate der vorläufigen Untersuchung seiner Photographien theilt Lockyer in folgende Sätze zusammen:

1. Das Spektrum zu Anfang in demselben Abstände von Hauptmaximum, was man hierbei meistens von kleineren Veränderlichen theilt, welche durch Unterschiede in den atmosphärischen Verhältnissen und sonst in der Beschaffenheit der Negative verändert werden. Während der Periode eines Lichtwechsels des Sterns, welche etwa 12 Tage und 12 Stunden dauert, ändert man stets in gleichem Abstände von Maximum das gleiche Spektrum.

2. Die Änderungen, die sich auf den Photographien zeigen, sind zweierlei Art: a) Periodische Veränderungen in den relativen Intensitäten der Linien, b) Periodische Verdoppelungen einiger dunkler Linien, c) Periodische Änderungen in der Lage der hellen Linien in Bezug auf die dunklen.

3. Wir haben es hier mit zwei Körpern zu thun, welche Spektre mit dunklen Linien geben. Auf einer Seite, auf welcher 12 Photographien, jezt ungefähr für einen Tag der Lichtwechsel-Periode, zusammengebracht sind, sieht man, dass kein rot und kein blau dem zweiten Maximum eines dunklen Linien verdoppelt sind. Das beweist das Vorhandensein von zwei Lichtquellen, welche Spektre mit dunklen Linien geben und sich relativ zu einander in der Richtung der Gesichtslinie bewegen. Wenn die relative Bewegung in der Gesichtsrichtung Null

¹⁾ Proceedings of the Royal Society, 1894, Vol. LXI, Nr. 321, p. 323.

ist, so hat keine der dunklen Linien Doppelt. Dieses tritt nur die Zeit der beiden Minima ein.

4. Die größte relative Geschwindigkeit der beiden der dunklen Linien gehörenden Komponenten in der Quersichtlinie beträgt etwa 150 englische Meilen (jeweils 250 km) in der Sekunde. Der größte Abstand der dunklen Linien tritt noch am die Zeit des zweiten Maximums, und die meisten Geschwindigkeiten, die aus der Verschiebung von drei Liniengruppen auf der Photographie vom 24. August 1893 bestimmt wurden, betragen für die Linie H γ 65 Meilen, für H δ 154 Meilen und für die Linie λ = 4923 etwa 150 Meilen.

5. Eine der Stern-Komponenten mit dunklen Linien zeigt große Ähnlichkeit mit dem Sterne Rigil, die andere mit Bellatrix. Die Spektren der beiden Komponenten wurden nicht getrennt, da nur die gemeinsamen Linien doppelt erscheinen, und hierzu gehören die Wasserstofflinien, hingegen sind die Linien, welche nur einer von den Komponenten angehören, stets einfach und behalten die ganze Periode hindurch dasselbe Lage gegen die Wasserstofflinien. Aus einer Zahl ist eine Photographie von β Lyrae zur Zeit des zweiten Maximums dargestellt, darüber die Photographien der Spektren von Rigil und Bellatrix. Der zusammengesetzte Charakter des dunklen Linienspektrums von β Lyrae zu dieser Zeit zeigt sich nun darin, dass eine Gruppe von Linien sehr nahe demjenigen entspricht, welche im Spektrum von Rigil vorkommen, und zwar nahe dem von dem ganzen Spektrum herkommend, so sieht ein Spektrum, das dem von Bellatrix sehr ähnlich ist. Auf der Photographie ist dieses Spektrum nach der brechbareren Seite verschoben. Es soll hier nicht behauptet werden, dass die Spektren der beiden Komponenten, welche dunkle Linien geben, identisch sind mit denen von Rigil und Bellatrix, vielmehr sind diese als gut bekannte Sterne, denen jene am meisten ähnlich sind. Diese Ähnlichkeit deutet darauf hin, dass wir es nicht mit Sternen von unbekanntem Typus zu thun haben. Die beiden Komponenten können daher bzw. als R und B bezeichnet werden.

6. Wenn die beiden Sterne in der Richtung der Quersichtlinie stehen, so treten partielle Verfinstaltungen ein, das ist der Fall in der Nähe der Minima der Lichtkurve. Die Unterschiede in den Intensitäten der dunklen Linien von R und B in der Nähe der beiden Minima zeigen, dass in der Nähe des Hauptmaximums B teilweise verfinstert ist durch R, und im sekundären Minimum B vollständig verfinstert durch R. Wenn man von den hellen Linien absieht, so gleicht im Hauptmaximum das Spektrum von β Lyrae dem von Bellatrix, also liegt in diesem Falle die Komponente B zwischen uns und der Komponente R. Da aber die Verfinstörung keine totale ist, so sieht man auch Linien von R, aber sie sind bedeutend im Intensität schwächer. Im sekundären Minimum ist das Verhältnis umgekehrt. Wären die Verfinstörungen total, so würden die Änderungen des Spektrums noch auffälliger sein.

7. Ausser den dunklen Linien sind mehrere hellere vorhanden, welche ihre Lage gegen die dunklen Linien. Die Photographien zeigen helle Linien bei den Wellenlängen 4862 (H β), 4716, 4751, 4890, 4949 (H γ), 5104 (H δ), 4935 und 4887 (H ϵ), andere schwächere erscheinen nur auf den besten Photographien. Die Linie bei 4716 ist die wohl bekannteste Linie der Sonnenspektroskopie und die Linie bei 4935 und 4716 ge-

blies in den hellsten Linien, die während der totalen Sonnenfinsternis am 18. April 1903 mit der prismatischen Kammer photographirt worden. Die von Prof. Pickering beschriebene Vertheilung der hellen Linien wird im wesentlichen durch die Kensington-Photographien bestätigt. In den meisten Photographien der ersten Tage zwischen dem Haupt- und dem sekundären Minimum sahen die hellen Linien an der weniger brechbaren Seite der dunklen; beim sekundären Minimum wurden die hellsten, hellsten Linien von den dunklen beiseite und zwischen dem sekundären und dem Hauptminimum sind die hellen Linien brechbarer als die dunklen. Bei der Untersuchung der Bewegungen der hellen Linien muss man jedoch die lokal erkennbare Thatsache berücksichtigen, dass es zwei Gruppen von dunklen Linien gibt. Betrachtet man von die Verschiebungen der hellen Linien in Bezug zu den dunklen der Komponente E, so findet man, dass die stets in derselben Richtung erfolgen, wie die der Komponente B in Bezug auf E. Also in der ersten Hälfte der Periode sind die hellen Linien ebenso wie die dunklen der Komponente E weniger brechbar als die Komponente E, während sie in der zweiten Hälfte brechbarer sind. In Beziehung zu den Linien der Komponente E haben die hellen Linien keine konstante Lage.

8 Die hellen Linien sind am hellsten kurz nach dem sekundären Minimum. Würde die Helligkeit der Linien in Wirklichkeit konstant bleiben, so würden sie in den beiden Minima etwa im hellsten er scheinen, weil dann das kontinuierliche Spektrum schwächer ist, und von diesem Grunde scheinen sie im Hauptmaximum heller erscheinen als im sekundären. Die unabhängigen Helligkeits-Schwankungen von vier Personen stimmen jedoch darin überein, dass auch, wenn man den Änderungen des kontinuierlichen Spektrums Rechnung trägt, ein Maximum der Helligkeit der hellen Linien etwa einen halben Tag nach dem sekundären Minimum auftritt. Die scheinbare Zunahme der Helligkeit in der Nähe des Hauptminimums hingegen scheint nur heranzufließen von der Abnahme der Helligkeit des kontinuierlichen Spektrums.

Die scheinbare Vertheilung der Sterne in der Milchstrasse.

Herr G. Kenton, dem wir bekanntlich eine vortreffliche Karte der Milchstrasse verdanken, hat es unternommen, die Vertheilung der Sterne in einem Theil der Milchstrasse zu untersuchen. In der Absicht, eine strengere Messung der hellen Sterne an den scharfen Stellen der Milchstrasse zu ermöglichen, da es nicht möglich, einen grossen Teil der Milchstrasse in dieser Beziehung zu untersuchen, so wählte er einige Regionen derselben im Standbild des Schilf. Diese Regionen sind folgende:

Rektascension				Declination		A
von	zu	von	zu	von	zu	
19° 30'	20°	19° 0'	0	19°	+ 30'	A
19°	20'	19° 0'	0	+ 2	+ 5	B
19° 0'	0	19° 40'	0	0	+ 3	C
19° 0'	0	19° 30'	0	+ 2	+ 5	D

1) Vgl. Seite p. 103.

In den Regionen A und B ist die Milchstrasse weniger hell als in C und D und überhaupt ist sie am schlichsten in der Region A, am hellsten in der Region D.

Um von einer strengen Beziehung der Sterne zu dem Aussehen der Milchstrasse in diesen Regionen zu ermitteln, wurden folgende Arbeiten über die Sternverteilung in Betracht genommen. Zunächst die Durchmusterung des Himmels von Argelander, welche die Sterne 1 bis 9,5 Grades enthält. Dasselbe sind auch halbes Gradesklassen und Quadranten des Himmels aufgeführt. Dann die Sternkatalogen bis etwa 11. Grades von Collatz, welche auch Triangula von 10° Rektaszension und 10° Deklination gegeben sind. Dasselbe wurden zu zwei und zwei in Deklination kombiniert. Endlich haben einige Sternkatalogen erganzendes Material. Erstes gibt über das Verhalten der Helligkeit der verschiedenen Sternklassen in den oben beschriebenen Regionen A bis D und das Aussehen der Milchstrasse folgende Tabelle:

Sterngröße	Rechte		Summe mehr im Nordk C + D	Breite		Summe mehr im Süd A
	C + D	A + B		B	A	
1 bis 2,5 Sterne	9	9	+ 1	4	4	0
2,5 - 3,0 Durchmusterung	17	20	+ 3	10	10	+ 1
3,0 - 3,5 "	14	28	- 9	11	17	+ 6
3,5 - 4,0 "	22	36	- 14	16	20	- 4
4,0 - 4,5 "	44	30	+ 14	22	22	- 1
4,5 - 5,0 "	158	171	+ 13	119	79	+ 40
5,0 - 5,5 "	1000	750	+ 250	200	400	+ 200
5,5 - 6,0 (Polaris)	4170	2000	+ 2170	5000	1100	+ 1070
Helligkeit	hell	schwach	+	sehr hell	sehr schwach	+

Man sieht aus dieser Zusammenh. dass der Einfluss der Milchstrasse sich erst in den Sternen von der 5. Größe ab bemerkbar zu machen beginnt und zwar immer deutlicher, je schwächer die Sterne sind. Dieses Ergebnis, auf welches Herr Kautz Nachdruck legt, ist übrigens schon vor vielen Jahren von H. Wolf im Zirkel gefunden worden, als dieser die Verteilung der 3377 Sterne 1. bis 7,5 Grades des Baily'schen Sternkatalogs der British Association, welcher beide Hemisphären umfasst, untersuchte. Wolf fand damals: 1. dass der südliche Himmel weit sternreicher ist als der nördliche; 2. dass die beiden nördlich und südlich dem Äquator zunächst liegenden Zonen trotz ihrer größeren Fläche ebenbürtig sternärmer sind als die ihnen folgenden; 3. dass die Milchstrasse auch in dieser Sternzusammensetzung noch nicht deutlich überwiegt, wenigstens als allerdings im ganzen genommen, die reicheren Partien des Sternhimmels durchzieht.

Herr Kautz hat noch für eine Zone der Milchstrasse im Schwanz, welche eine der hellsten Plätze und welche eine der dunkelsten Stellen derselben enthält, die Helligkeit der Sterne der Bessel'schen Durchmusterung gemessen und gefunden, dass die Sterne 9 bis 9,5 Grades bereits in Bezug auf ihre Zahl eine Beziehung zu der Helligkeit der Milchstrasse andeuten. Diese Beziehung tritt in den Sternvermögen und den Zählungen der Sterne auf einigen photographischen Aufnahmen von Professor Max Wolf immer deutlicher hervor, je lichtschwächer die

Sterne sind. Auf diese Ansicht legt Herr Keston bedeutendes Gewicht. Indessen bedarf man, um an dieser Ansicht zu glauben, keiner unmittelbaren Vergleichen und Rechnungen. Denn da die Milchstrasse unvollkommen ist und nur aus sehr schwachen Sternen besteht, von denen die meisten sogar jenseits der Leuchtweite großer Teleskope liegen, so ist von selbst klar, dass das Übergewicht der Sterne in dem Stoffen, welcher die Milchstrasse durchzieht, um so deutlicher hervorkommen muss, je lichtschwächer die Sterne aus der Ferne sind! Das ist die unmittelbare Thatsache, es fragt sich nur, wie sie zu erklären ist. Wenn, der zuerst angeführte Untersuchungen nach dieser Richtung ange stellt hat, kam er dem Resultat, dass die Erweiterung der Sternhäufung oder Kondensation und der Anstieg der Milchstrasse identische Erscheinungen sind und dass die wahren mittleren Distanzen der Sterne von einander in dem Masse kleiner sind, als die Sterne der Ebene der Milchstrasse näher stehen. Man kann diesen Ergebnissen insofern aus bestimmen, als es sich um die mittleren scheinbaren Distanzen der Sterne von einander handelt, da ja die wahren Entfernungen uns nicht bekannt sind. Herr Keston kommt zu dem weiteren Ergebnisse, dass die Hypothese einer relativ gleichförmigen Verteilung der Sterne und Sternhaufen in der Ebene der Milchstrasse mit den von ihm angeführten und oben mitgetheilten Vergleichen nicht zu vereinigen ist. Denn in diesem Falle müsste man annehmen, dass die Sterne und Materie der Sternhäufungen sich nach allen Richtungen gleichmäßig verteilt darstellen, keineswegs aber in bestimmten Richtungen dichter sein. Auch müsste man annehmen, dass die große Mehrzahl der Milchstrassensterne nicht viel weiter von uns entfernt sei als die Sterne 9. und 10. Grades. Das Entgegenstehen der größten Häufigkeit der Sterne 7. bis 10. Grades mit dem höchsten Prozentsatz der Milchstrasse und deren relative Seltenheit an den Stellen, wo die Milchstrasse schwach ist, beweist eine wirkliche Beziehung dieser Sterne zur Milchstrasse selbst. „Die Komplexität der Milchstrasse und der Umstand, dass die erwähnte Beziehung unmöglich zu erkennen ist heißen Regionen schließen wird, vollständig die Annahme, dass wir in allen diesen Fällen nur auf ungleichmäßig Sternhaufen getroffen seien, die uns zufällig näher stehen, aber nicht einer sehr ungedehnten Zone angehören.“ Herr Keston hält die Hypothese eines Sternringes, der von dem centralen Teil des grossen Milchstrassensystems relativ entfernt ist, nicht für vereinbar mit der Thatsache, dass an mehreren Stellen Sterne heller als 9. Grades an der Milchstrasse zu beobachten gelangen. Ebensowenig zu erweisen, dass alle Teile dieses hypothetischen Ringes, dessen sehr grosse Umlaufgeschwindigkeit klar eine Betrachter der Zeichnungen oder Photographien der Milchstrasse ergeben, von uns aus in überall gleicher Entfernung bestanden. Es erscheint vielmehr nicht unmöglich, dass spätere Untersuchungen das Vorhandensein einer oder mehrerer Spiralen erweisen würden.

Vermischte Nachrichten.

Neue Planeten. Ein neuer, kleiner Planet, 12. Größe, der die Bezeichnung Planet 1894 BS erhalten hat, ist auf der Sternwarte zu

Klass am 28. December photographisch aufgefunden worden. Interessant ist die Entdeckung eines anderen kleinen Planeten durch J. Roberts. Derselbe photographirte mittels eines Stähligen Spiegelteleskops einen Nebelfleck am 9. April vorigen Jahres. Das Photo, welche 3 Stunden 1 Minuten lang exponirt wurde, zeigt außer zahlreichen schwachen Sternchen auch den feinen Streif, welcher die Bahn eines unbekanntes Planeten während der dreitägigen Exposition darstellt. Dieser bis dahin unbekanntes Planet ist bis jetzt auf keiner andern Photographie identifizirt worden. Er hat die Bezeichnung Planet 1890 B6 (Roberts, April 9) erhalten.

Der rote Fleck auf dem Jupiter. Herr Keller schreibt uns: „Im Atlas, Nr 1 u. 2 wird genaue Nachrichten von der Lich-Störung auf dem Jupiter mitgeteilt, dass der rote Fleck auf Jupiter wieder sichtbar sei.“

Gestern Abend, Januar 28, 6 $\frac{1}{2}$ Uhr, blühte sich nach langer Zeit der Himmel einmal wieder völlig auf und stellte ich meine Fernrohr auf Jupiter an. Die Luft war so gut wie ich sie selten gefunden habe und erregte ich den roten Fleck sofort. Er ist aber nicht mehr rot, sondern, so viel ich unterscheiden konnte, schwarz gelblich, mit etwas verunreinigten Umfängen. Besonders nach Süden hin. Der Mittelstreifen war sehr hell, der breite Nord- und Südstreifen dunkel und rötlich. Im Südosten sah ich drei dunkle Punkte, von denen der Südliche am besten sichtbar war. Diesen Punkten gegenüber hatte der Streifen Ausbuchtungen nach dem Äquator hin und auch nach Norden.

Ich beobachtete an 180facher Vergrößerung und sah an dieser Vergrößerung die Details sehr, stärkere Vergrößerung konnte ich trotz wiederholter Versuche nicht anwenden, da dass die Bilder weniger scharf waren.

Dass ich diese Details mit einem kleinen Refraktor unterscheidet, ist nicht ein Beweis für die Vorzüglichkeit desselben und wäre es interessant, zu erfahren, ob die gleichen Beobachtungen mit anderen ähnlichen Instrumenten gemacht werden sind.“

Der mögliche Zusammenhang des Kometen 1894 I (Dunhuag) mit dem Brocchi'schen Kometen. Herr J. E. Hind macht darauf aufmerksam, dass eine grosse Ähnlichkeit der Bahn des verschwandenen Brocchi'schen Kometen 1840 III und des Dunhuag'schen Kometen 1894 I stattfindet. Hind findet, dass im April 1881 beide Kometen einander hin auf eine Distanz von 9138 Erdhalbmessern nahe gekommen sein müssen. Herr Professor E. Lamy bemerkt dazu:

„Die Bemerkung des Herrn Hind verdient eine erste Beachtung und kann möglicherweise zu sehr interessanten Resultaten führen. Die Bahnkurve lässt zweifeln statt und beide Weltkörper haben sich zu Anfang 1881 in der Nähe der Durchschnittpunkte ihrer Bahnkreise befunden. Ich finde nach Rücksicht der Störkräfte Elemente des Kometen 1894 I auf das mittl. Äq. von 1881Q aus diesen und den von

*) Ann. Naut. p. 371.

*) Elmda.

nir in Foli. VII der blaugrünen Sternkarte gegebenen definierten Elementen des Brauer'schen Komets die folgenden Daten. Der Scheitelpunkt der Bahnkurve liegt in 294°47' Länge und 1°57' nördlicher Breite. Beim Passiren dieser Linie sind die Bahndaten der beiden Körper:

	Deming	Brauer
Wahre Anomalie	154°22'	208° 7'
Komete. Anomalie	158 51	147 50
Radialvektor	5.240	5.075.

Die grösste Annäherung der beiden trifft in der Deming'schen Bahn am 21. rückwärts, in der Brauer'schen etwa 4' vorwärts gelegenen Punkt und die Entfernung dieser Punkte beträgt nur 0,012 mal Erdhalbmessener. Kurz vor Deming passierte der Nebelpunkt 1881 März 13,86, Brauer 1861 Foli. 6,95. Eine Verkümmernng des von Schaeffler gefundenen Wertes der mittl. tägl. Bewegung um 28" würde den Deming'schen Kometen gleichzeitig mit dem Brauer'schen in der Perihelien-Linie. Der Betrag von 28" erscheint nicht überaus gering, da die Verhältnisse von des Herrn Schaeffler und Hind veröffentlichten Elemente bedeutend mehr von einander abweichen. Ich werde versucht die Vermuth machen, ob sich die Hypothese bestätigen lässt, dass die beiden Weltkörper zu der angegebenen Zeit an denselben Punkte des Raumes bei einander oder physisch miteinander verbunden waren."

Astronomische Chronologie. Die Anwendung der Astronomie auf die Ermittlungsgänge aller historischen Daten ist schon alt und ihr Nutzen wird von Archäologen und Geschichtsforschern mit Recht hochgeschätzt. Zahlreiche astronomische Hilfstabellen liess sich dem Historiker aa, um die Lösung der für die Chronologie vielfältigen astronomischen Aufgaben zu gestalten. Indem es sich selbst gewichtige Historiker oft genug nicht in der Lage, diese Hilfsmittel benutzen zu können, weil es in ihrem Fache 1881, der ja leicht verständlicher Weise den Gebrauch jeder Tabelle erklärt. Eine solche Fühler hat angelehnt Herr Professor Dr. Walter F. Willmann in einem kleinen Werke schreibt, das unter dem Titel „Astronomische Chronologie“ ein Hilfsmittel für Historiker, Archäologen und Astronomen“ bei E. G. Teubner in Leipzig erschienen ist. Dieses Werkchen gibt in allgemein verständlicher Sprache die dankbar vollständigste Anleitung zur Benutzung aller erwähnten Tabellen, die praktisch in Betracht kommen. Anmerkungen sind alle vorkommenden Aufgaben an bestimmten Beispielen gelehrt, so dass auch über dem Aufsatze keinerlei Unklarheit bleiben kann. Gewiss wird von allen Interessirten dieser Art die des Herrn Professor Willmann mit grösster Freude begrüsst werden.

Die v. Koffler'sche Sternkarte in Wien, welche unter der Direktion des Herrn Dr. L. de Hall steht, ist eine der am vollständigsten ausgeführten Privatsternkarten Europas. Sie besteht ausser dem gewöhnlichen Instrumenten (Meridiankreis, Solihorizont u. s. w.) noch eines photographischen Refraktors und eines Solihorizont. Über die Beobachtungen an dieser Sternkarte ist der 3. Band der Publications erschienen. In demselben finden sich die vom Director ausgeführten

Zusammenstellungen zwischen $0^{\circ}50'$ und $10^{\circ}40'$ nördlicher Deklination, sowie eine Filzschirmstapel für diesen Deklinationsestrafus, dann das Detail über die Auswertung des Sternhelfers G. K. Nr. 1108 von Dr. S. Oppenkeim. Die Beobachtungen dazu wurden mit dem photographischen Refraktor ausgeführt. Sie erstrecken sich nicht bloß auf die Sterne dieses Sternhelfers, sondern umfassen einen Raum von 60 Bogensekunden im Quadrat und reichen bis zu Sternm 11. Größe. Die zweite Abteilung des Bandes enthält mehrere wissenschaftliche Abhandlungen.

Das 40zählige Objektiv des Teleskop-Refraktors ist nach Mitteilung der Firma Alvan Clark & Sons nunmehr vollendet. Entgegenwärtig anderen Behauptungen ist zu bemerken, dass das Polieren dieser grossen Linsen nicht mit Maschinenkraft, sondern mit der Hand geschieht.

Hiemalskap für die Pariser Weltausstellung im Jahre 1900. Das Versprechen nach hat Herr Hochschüler, der Gründer der Sternwarte bei Bonn, die Summe von 1 Millionen Francs zur Konstruktion eines Teleskops bestimmt, welches alle Bedingungen an Grösse und Kraft übersteift und auf der Pariser Weltausstellung im Jahre 1900 ausgestellt werden soll.

Litteratur.

Handbuch der Theorie der linearen Differentialgleichungen. Von Professor Ludwig Schlesinger. I. Band. Leipzig 1895. Druck- und Verlag von B. G. Teubner.

Die moderne Theorie der linearen Differentialgleichungen in ihrer Entwicklung ist noch nicht 30 Jahre alt, hat aber bereits zahlreiche Untersuchungen genährt, welche zu einem stattlichen Lehrbuche zusammenzufassen, der Zweck des obigen Werkes ist. Der vorliegende Band beschäftigt sich mit den Untersuchungen zur Ausbildung von Methoden für Integration einer vorgelegten linearen Differentialgleichung in dem gewöhnlichen Sinne. In der Einleitung wird das Problem in seiner historischen Entwicklung vorgeführt, es wird in ansehnlicher Weise die Bedeutung der Arbeiten des genialen Cauchy vorgeführt, dann die Entwicklung der Fachwissenschaft in Deutschland bis 1860 und schliesslich die Begründung der modernen Theorie der linearen Differentialgleichungen durch Fuchs. Auf die einzelnen Abschnitte und Kapitel der uns folgenden Darstellung der Theorie um einzeln kaum hier nicht eingegangen werden, es muss genügen, hervorzuheben, dass das obige Werk ein vollständiges, auf die Quelle zurückgehendes Handbuch der in Rede stehenden Theorie bildet, ein Buch von dauernder Bedeutung

Beobachtungen der Jupiterwelt. Die folgenden Angaben über die Beobachtungen der Jupiterwelt sind aus dem National Almanac entnommen und die angegebenen Zeiten mitilärer von Greenwich. Die Trabanten sind der Reihenfolge ihrer Abstände vom Jupiter nach mit I bis IV bezeichnet. Ferner bedeutet:

- Eu D das Vorderende, oder Trabanten im Schatten des Jupiter.
- Eu B das Aendern des Trabanten von dem Schatten des Jupiter.
- Co D das Vorderende des Trabanten hinter den Jupiterhimmel.
- Co K das Winkermomenten enthält neben der Jupitersehne.
- Tr J den Kontakt des Trabanten mit der Jupitersehne.
- Tr E den Austritt des Trabanten aus der Jupitersehne.
- St J den Kontakt des Trabanten mit dem Jupitermeridian.
- St K den Austritt des Trabanten aus dem Jupitermeridian.

Es sind nur diejenigen Beobachtungen der Jupiterwelt aufgeführt, welche sich erheben, wenn Jupiter an Greenwich über und die Sonne unter dem Horizont steht. Die umkehrte die Zeitpunkte dieser Beobachtungen für jedes andere Ort zu finden, hat man nur Sorge der Längensdifferenz gegen Greenwich (ausgedrückt in Zeit) zu den angegebenen Zeitpunkten zu addieren, wenn der Ort westlich von Greenwich liegt, und abziehen zu subtrahieren, wenn der Ort westlich von Greenwich liegt.

Mai 1. I Sa K 2^h 50^m II Co D 10^h 10^m Mai 2. II Sa K 10^h 50^m Mai 3.
 III Tr E 10^h 5^m 10^m III Sa I 10^h 10^m Mai 4. I Co D 10^h 10^m Mai 5. I Tr E 10^h
 10^m I Sa K 10^h 10^m II Co D 10^h 10^m Mai 6. II Sa I 10^h 10^m II Tr E 10^h
 10^m III Sa K 10^h 10^m Mai 7. IV Co K 10^h 10^m Sa I Co D 10^h 10^m Mai 8.
 I Tr I 10^h 10^m I Sa I 10^h 10^m I Tr E 10^h 10^m Mai 9. III Co K 10^h 10^m Sa I
 Sa K 10^h 10^m Mai 10. II Tr E 10^h 10^m II Sa I 10^h 10^m Mai 11. IV Tr I 10^h
 10^m I Tr I 10^h 10^m Mai 12. I Sa K 10^h 10^m Mai 13. II Co K 10^h 10^m Sa I
 Mai 14. I Co D 10^h 10^m Mai 15. I Tr E 10^h 10^m I Sa K 10^h 10^m Mai 16. II Co
 D 10^h 10^m

Vom Juni 12. bis August 5. sind die Jupiterwelt wegen zu grosser Nähe des Jupiter bei der Sonne unsichtbar.

Winkelmomente 1881. Mai 4. 10^h Merkur in seiner Konjunktion mit der Sonne. Mai 5. 10^h Merkur im unteren Oppositionspunkt. Mai 6. 10^h Uranus in Opposition mit der Sonne. Mai 8. 10^h Merkur in der Konjunktion. Mai 12. 10^h Merkur in grösster westl. heliocentrischer Breite. Mai 16. 10^h Venus in grösster westl. heliocentrischer Breite. Mai 20. 10^h Mars in grösster westl. heliocentrischer Breite.





Beobachtungen durch den Mond für Berlin 1881.

Mond	Merk.	Winkel	Merkur scheinb. Lat.		Jupiter scheinb. Lat.	
			h	m	h	m
Mai 1.	γ Krebs	63	7	24	8	24
" 4.	γ Löwe	74	7	24	10	24
" 8.	α Skorpion	78	11	24	12	24

Lage und Breite der Beobachtungen (nach Breite)

Mai 10. Grosser Aether der Ringelplaner 4210^h, kleiner Aether 18 20^h
 Erhöhungswinkel der Erde über der Ringelplaner 12^h 30^m westl.

Stellung der Jupitermarte im Mai 1896.

I. 	III. 
II. 	IV. 

Beobachten von β für das Licht in verschiedenen Parallelen

Tag	Westl.				Ostl.
1		21	○		4
2			○	3 21	4
3		22	○		3 4
4		23	○	2	3
5	24	24	○	1	
6	25	25	○	1 2	
7	26	26	○		
8	27	27	○		
9	28	28	○	1 2 3	
10	29	29	○		2
11	30	30	○	1	3
12		1	○		2
13		2	○	1 2	
14		3	○		
15	31	4	○		4
16	1	5	○	1 2 3	4
17	2	6	○		3
18	3	7	○	1 2	4
19	4	8	○		3
20	5	9	○	1 2	4
21	6	10	○		3
22	7	11	○		
23	8	12	○	1	3 4
24	9	13	○		
25	10	14	○	1 2	4
26	11	15	○		3
27	12	16	○	1 2	4
28	13	17	○		3
29	14	18	○	1 2	4
30	15	19	○		3
31	16	20	○	1	4

Passenbeilage im Mai 1935.

Münchener Verkehrsmittel					Münchener Verkehrsmittel				
Kategorie	Schubwagen		Schubwagen		Kategorie	Schubwagen		Schubwagen	
	Stück	Wert	Stück	Wert		Stück	Wert	Stück	Wert
1935					1935				
M a r z					M a r z				
Ma	2	50	27	42	25	50	27	42	25
Ma	2	24	1	1	2	24	1	1	2
Ma	2	17	20	30	2	17	20	30	2
Ma	2	20	21	30	2	20	21	30	2
Ma	2	25	23	30	2	25	23	30	2
Ma	2	2	28	31	2	2	28	31	2
T e s t					T e s t				
Ma	2	2	28	31	2	2	28	31	2
Ma	2	2	28	31	2	2	28	31	2
Ma	2	2	28	31	2	2	28	31	2
Ma	2	2	28	31	2	2	28	31	2
Ma	2	2	28	31	2	2	28	31	2
M a r z					M a r z				
Ma	2	2	28	31	2	2	28	31	2
Ma	2	2	28	31	2	2	28	31	2
Ma	2	2	28	31	2	2	28	31	2
Ma	2	2	28	31	2	2	28	31	2
Ma	2	2	28	31	2	2	28	31	2
M a r z					M a r z				
Ma	2	2	28	31	2	2	28	31	2
Ma	2	2	28	31	2	2	28	31	2
Ma	2	2	28	31	2	2	28	31	2
Ma	2	2	28	31	2	2	28	31	2
Ma	2	2	28	31	2	2	28	31	2
M a r z					M a r z				
Ma	2	2	28	31	2	2	28	31	2
Ma	2	2	28	31	2	2	28	31	2
Ma	2	2	28	31	2	2	28	31	2
Ma	2	2	28	31	2	2	28	31	2
Ma	2	2	28	31	2	2	28	31	2

M a r z

Münchener Verkehrsmittel					Münchener Verkehrsmittel				
Kategorie	Schubwagen		Schubwagen		Kategorie	Schubwagen		Schubwagen	
	Stück	Wert	Stück	Wert		Stück	Wert	Stück	Wert
1	2	28	28	31	1	28	28	31	1
2	2	28	28	31	2	28	28	31	2
3	2	28	28	31	3	28	28	31	3
4	2	28	28	31	4	28	28	31	4
5	2	28	28	31	5	28	28	31	5
6	2	28	28	31	6	28	28	31	6
7	2	28	28	31	7	28	28	31	7
8	2	28	28	31	8	28	28	31	8
9	2	28	28	31	9	28	28	31	9
10	2	28	28	31	10	28	28	31	10
11	2	28	28	31	11	28	28	31	11
12	2	28	28	31	12	28	28	31	12
13	2	28	28	31	13	28	28	31	13
14	2	28	28	31	14	28	28	31	14
15	2	28	28	31	15	28	28	31	15
16	2	28	28	31	16	28	28	31	16
17	2	28	28	31	17	28	28	31	17
18	2	28	28	31	18	28	28	31	18
19	2	28	28	31	19	28	28	31	19
20	2	28	28	31	20	28	28	31	20
21	2	28	28	31	21	28	28	31	21
22	2	28	28	31	22	28	28	31	22
23	2	28	28	31	23	28	28	31	23
24	2	28	28	31	24	28	28	31	24
25	2	28	28	31	25	28	28	31	25
26	2	28	28	31	26	28	28	31	26
27	2	28	28	31	27	28	28	31	27
28	2	28	28	31	28	28	28	31	28
29	2	28	28	31	29	28	28	31	29
30	2	28	28	31	30	28	28	31	30
31	2	28	28	31	31	28	28	31	31

Verkehrsmittelverwaltung München (Verkehrsmittelverwaltung München)



1^a



2^a



3^a



4^a



3^b



5^a



6^a



1^b



1^c



2^b

$\frac{1}{2} \frac{d^2}{dt^2}$
 $\frac{1}{2} \frac{d^2}{dt^2} \left(\frac{1}{2} \frac{d^2}{dt^2} \right)$
 $\frac{1}{2} \frac{d^2}{dt^2}$
 $\frac{1}{2} \frac{d^2}{dt^2}$
 $\frac{1}{2} \frac{d^2}{dt^2}$
 $\frac{1}{2} \frac{d^2}{dt^2}$
 $\frac{1}{2} \frac{d^2}{dt^2}$
 $\frac{1}{2} \frac{d^2}{dt^2}$
 $\frac{1}{2} \frac{d^2}{dt^2}$
 $\frac{1}{2} \frac{d^2}{dt^2}$
 $\frac{1}{2} \frac{d^2}{dt^2}$
 $\frac{1}{2} \frac{d^2}{dt^2}$
 $\frac{1}{2} \frac{d^2}{dt^2}$
 $\frac{1}{2} \frac{d^2}{dt^2}$
 $\frac{1}{2} \frac{d^2}{dt^2}$
 $\frac{1}{2} \frac{d^2}{dt^2}$
 $\frac{1}{2} \frac{d^2}{dt^2}$



1



2



3



4



5



6



7



8



9



10



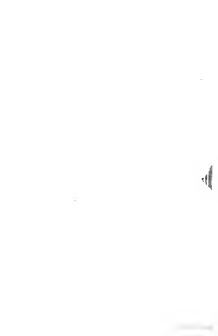
11



12

Die Rotationsperiode der Venus,

bestimmt von Schiaparelli







SIRIUS

Zeitschrift für populäre Astronomie

Herausgeber unter Leitung
von
Prof. Dr. Hermann J. Klotz in Köln

Band XXVIII oder von Folge Band XXII

4. Heft.



Leipzig 1898.
Karl Schönte.



SIRIUS.

Zeitschrift für populäre Astronomie.

Leitungsorgan für alle Freunde und Förderer der Himmelskunde.

Herausgegeben unter Mitwirkung

hervorragender Fachkollegen und astronomischer Schriftsteller

von Dr. **HERMANN L. KLEIN** in Köln a. Rh.,

Agipvertrieb **INSTITUT**

„*Wissen und Bildung sind die Freunde und die
Hauptstütze der Menschheit.*“

Inhalt: Das seltsame neue Weltverhältnis. S. 21. — Die Bedeutung der Sonnenflecken durch
Irene Fehrmann. S. 24. — Die Bewegung der Himmelskörper, Teil zwei von der Epochenfolge veränder-
ter Gruppen von Sternen. S. 27. — Der neue Komet auf dem Mars in der Nähe von Chlois. S. 31.
— Die neuen Veränderungen im System des neuen Sterns im Plejaden. 7. 34. — Warum können
verfügen Sie die Sterne der Plejaden. S. 37. — Veränderte Sternsysteme: Neue Sterne im System
der Plejaden. S. 38. — Die Veränderungen Plejaden. S. 39. — Die neue Veränderungen im
n. Plejaden. S. 41. — Aesthetik. S. 42. — Entwicklung der Plejaden. S. 43. — Plejaden-
systeme. S. 44. — Beobachtungen durch die Plejaden. S. 45. — Lage und
Bewegung der Plejaden. S. 46. — Teilung der Plejaden in Plejaden. S. 47. — Plejaden-
bewegung im Plejaden. S. 48. — Plejaden. S. 49.

Eine seltsame neue Weltverhältnis.

Es gibt Schriften, denen man schon vom Titel ablesen kann, dass
ihre Verfasser keinen guten Nutzen für Geistesprodukt unter die Decke
zu stecken. Eine solche Schrift: „Schriftsteller auf eine neue Welt-
verhältnis in Bezug auf die Beleuchtung, Erwärmung und Beweise-
halten der Himmelskörper“ von Wilhelm Zepler* liegt uns vor-
Wort hier darauf kein eingegangen wird, so geschieht dies aus dem
Grunde, weil auf dem Titel der Schrift Zepler zu lesen ist: „Heraus-
gegeben (1914) erweiterte Auflage mit einer Reihe vortrefflich wissenschaftlicher
Zusammensetzungen.“ Eine Schrift, die überhaupt ihren Anspruch in die Welt
hinzubringen und anerkannte Anerkennung zu verdienen, verliert
schon, dass man von ihr weiß!

Mit der Nervosität, welche allem nur die vollkommenste Unkenntnis
verleiht, wendet sich Dr. Zepler gegen die Ergebnisse der Spektral-

analyse, und es ist wirklich möglich, wie er u. a. deren Trägheit zu beweisen zu können glaubt. „Man kann,“ sagt er, „einen Strahlbogen mittels eines Spectalkolles in Brand setzen; er kann auch entstanden werden durch ein Brennglas, durch die Konzentration der Sonnenstrahlen, ferner durch Effluviol; er kann sich selbst erlösend u. s. w., die Ursache zu sein verschieden, die Wirkung dahingegen eine und dieselbe. Der Strahlbogen hat ganz dasselbe Aussehen, ob er durch Strahlkolle, Brennglas, Hitz- oder Selbstentzündung hervorgerufen worden ist. Er würde deshalb ein Trageglas sein, wenn man einen Strahlbogen nicht auf ein über wähltes behaupten wollte, er sei durch ein bestimmtes Spectalkolle hervorgerufen worden, weil es durch ein Spectalkolle entstandener Strahlbogen nicht Aussehen hat. Und es ähnlich laßt mit dem spektroskopischen Folgenspectra. Weil man hier auf Erden in unserer bekannten Fernrohrsphäre z. B. Natrium durch die bekannte schwarze Linie charakterisirt sieht, so ist darum noch keineswegs mit Gewisheit zu behaupten, das, was auch im Sonnenspectrum diese schwarze Linie wahrzunehmen wird, die Ursache demselben: in der Sonne kreisendes Natrium sein müsse etc. etc. Die Ursache kann eine ganz andere sein, da es der Ursachen, wie oben erwähnt, mehrere geben kann, die immerhin nur eine Wirkung erzielen, und dem Auge dasselbe Bild präsentieren. Solange die Wissenschaft demnach bei dem Optimum verharret, das das Spectroskop ein absolut unfehlbares Effluviol ist, wenn auch das Gewissen der „wenige Hand“ Spectra verflucht, und dann aber auch nicht angenommen werden, dass der „Mann“ ein der Erde ähnlicher Planet sei, da das Spectroskop auch im Marslicht „kreisende Stoffe“ aufweist, und dann alle Theorien über Schweb, Komete etc. etc. in Mitleid gezogen. Das Spectroskop hat somit das von ihm Verheißene noch nicht voll erfüllt, und ist die Theorie darüber revidirungsbedürftig.“

Mit solchen geschwätzigen kindlichen Argumentationen glaubt Herr Zerkel über die astronomischen Ergebnisse der Spectralanalyse den Still stehen zu können. Auch mit der mechanischen Theorie der Sonnenwärme ist er rasch fertig. „Wäre die Sonne,“ so meint er, „ein wärmegleichender mechanischer Wärmespeicher, so müßte die Wärme an allen Orten gleicher Erwärmung wirken, nicht aber könnte auf ihr weniger Feind herrschen. Die Theorie ist deshalb der Logik widersprechend und revidirungsbedürftig.“ Statt dass Herr Zerkel seine eignen Ansichten auf ihre Revidirungsbedürftigkeit prüft, geht er ohne Weiteres dazu über, eine elektromagnetische Hypothese der Gesamtverhewerung auf der Sonne und der Erde aufzustellen. Mit welcher Leichtigkeit er hindurch allen erklärt, ist wirklich verblüffend. Er sagt u. a.: „Nehmen wir an, dass die Sonne als grösserer und gewaltiger Körper positiv auf die kleine, sich ihr negativ verhaltende Erde wirkt, so würde der daraus entstehende elektrische Strom in der Erdsphäre sich in Wärme umsetzen, während derselbe Strom sich vor der Sonne in der vor ihr (ausgelagert wie vor unserer Erde) befindlichen verdünnten Luft oder Äther in Licht umwandeln würde.“

Dieser tolle Nihilist wird wenige Zeilen später schon als ungenauere Wahrheit behandelt; und daraus u. a. auch die grössere Wärme der Sonne in folgender Weise erklärt. „Nicht darum, weil die Sonnenstrahlen, während der Voripal der Sonne angestrahlet ist, eine höhere

Sohn zu durchfallen haben, denn, weil die Strahlen mehr senkrecht die Erde treffen, ist es im „Sommer“ wärmer, als im „Winter“, oder, weil bei nennenswerther Konstellation die Welt grösseres, resp. auf dem einzelnen Breitengraden die mehr verdichtete Quantität Magnetismus zur Umströmung in quantitative Wärme gelangt.“

Doch genug von dem schwebelosen Schelldahm. Sein Verfasser steht auf N. 18 folgenden Ausspruch Laplace an: „Das, was wir wissen, ist unbedeutend, dagegen was wir nicht wissen, ungeheuer viel.“ Hätte Hr. Zacher diese Satz wohl erwogen und auf sich selbst richtig angewandt, so würde er grade die Unwissenlichkeit mit seiner Schrift verneht haben.

Die Entdeckung der Sonnenflecke durch Johann Fabricius.

In einer interessanten Schrift „Der Magister Johann Fabricius und die Sonnenflecke“, ist es Dr. G. Herbold gelungen, das Datum der ersten Entdeckung der Sonnenflecke festzustellen. Dasselbe ist die Prioritätsfrage richtig entschieden und zwar zu Gunsten von Fabricius. Dr. Herbold würdigt die Verhältnisse mit folgenden Worten: „Angeregt durch die Triumphe, welche Galiläi durch die Benutzung des Fernrohres an astronomischen Beobachtungen errungen hatte, begab sich Johann Fabricius auch anemals die neue Hilfsmittel anzuwenden mit der bestimmten Absicht und in der sicheren Erwartung, gleichfalls etwas Neues zu entdecken. Da ihm der Mond nach noch der Jupiter häufiglich erforscht zu sein schien, so wählte er auch einem andern Beobachtungsobjekt und wählte die Sonne, welche nach den Andeutungen seines Vaters gewisse Unbestimmtheiten und Rauhigkeiten an dem Himmel zeigen sollte. Als er diese mit dem Fernrohr aufmerksam betrachtete, zeigte sich ihm plötzlich ein schwärzlichart, an der einen Seite etwas verwaschener Fleck von ziemlich beträchtlicher Größe. Anfangs glaubte er sich durch vorübergehende Wolken getäuscht; nachdem er aber die Beobachtung durch Fernrohr verschiedener Orten wohl öfters wiederholt hatte, überzeigte er sich, dass der Fleck durch Wolken nicht verwascht wurde. Mit dramatischer Ausdrucksweise wird dann geschildert, wie er, noch immer eine dümmelnde Furchung strebend, seinen Vater, den berühmten Astronomen, bei welchem er sich nach seiner Rückkehr aus Holland aufhielt, beschrieb, wie dieser die Beobachtung als richtig erkannte, wie die ungewöhnliche Beschreibung ein Ansehen, trotz der unphysischen Erregung der Augen, die Beobachtung bis zum Mittag fortzusetzen; mit heftigen Zweifel verheißt er die Nacht, ob nach am folgenden Tage der Fleck sich wieder zeigen werde; mit Ausbruch des Tages erhielt er sich von seinem Lager, kaum seine Erwartung heilbringend — da beim ersten Blick ersehnt jeder Fleck von neuem; die Unwesen sich nicht mit ihnen an dem ungewöhnlichen Schauspiel, eines Zweifels erlöseten, da der Fleck ohne fortgesetzt ersehnt. Inzwischen lag ihm Augen empfindlich öffnete, und sie stießen auf ein Mittel, dem Unbekannte abzuhelfen, mit ungewöhnlichem Auge den Fleck weiter zu beobachten. Sie grübeln schließlich an dem Hilfsmittel, in einem veränderten Zimmer durch eine

sagt Öffnung des Sonnenbild auf einem Regen-Papier aufzufangen, und zumeist beginnt eine systematische Beobachtung des neuen Phänomens. Der größere Fleck bewegt sich in südlicher Richtung von Ost nach West, nach Flecken zwischen am Rande der Sonne auf; die Flecken ziehen an der Sonnenperipherie vorbei, verschwinden am westlichen Rande der Sonne. Nach circa zehn zumeist langen Tagen beginnt der kleinere Fleck sich wieder am westlichen Rand der Sonne zu zeigen, ihm folgen die kleineren. Johann Fabricius erkennt, dass jene bestimmte Umdrehung der Sonnenoberfläche stattfindet, jedoch glaubt ihm diese eine Umdrehung nicht, und erst nachdem er sich durch länger fortgesetzte Beobachtungen von der Richtigkeit der Thatsache überzeugt hat, wagt er sein Urteil zu formulieren: die Sonnenoberfläche bewegen sich nicht um die Sonne, sondern kehren um Sonnenkörper selbst (*quodlibet in corpora secula haurit*). Die Folgerung, die daraus zu ziehen ist, wagt er jedoch nur vornehmlich vorschlagen, die Rotation der Sonne um ihre Achse, welche Giordano Bruno behauptet, und kürzlich Kepler in seinen Commentaren über die Bewegungen des Mars strenglich verurtheilt habe.*

Wann wurden die Sonnenflecken von Johann Fabricius entdeckt? Das *Memorie de Manteo de Sole* charakterisirt ganz keine Auskunft über den Zeitpunkt der ersten Beobachtung; der Briefwechsel zwischen David Fabricius und Kepler war seit dem Jahre 1600 abgebrochen; das Prognosticon auf das Jahr 1610, welches dem Tod Johannes meldete und vielleicht eine Achtung enthält, ist verschollen, das Calendarium enthält keine Notiz, wie bereits Otho Schneider bemerkt — so sah man sich bisher auf Vermuthungen beschränkt, in denen die unbestimmten Angaben der *Harmonia* circa gewissen Anhaltspunkt zu bieten schienen. Dieser, der zuerst die Frage ventilirte, kommt nach Erwägung aller Umstände zu dem Schlusse: „Nur (der beiden Fabricius) Nachrichten wegen fallen in die Sommermonate des Jahres 1609“, nach Hrn. B. Wolf geschah die Beobachtung später „und zwar wahrscheinlich im ersten December-Monate 1610“; H. A. von Deussen endlich sprach sich vor einigen Monaten seines Ansicht dahin aus: „Dieser (Johann Fabricius) beobachtete, wie mit ziemlicher Sicherheit aus seinen im Jahr 1611 erschienenen Brieflein: *Harmonia de maculis in sole observatis*, zu ersehen ist, schon im December 1610 drei Sonnenflecken mit dem erst kürzlich entdeckten Verzeich.“

Durch das Wiederfinden des Prognosticon astronomicon auf das Jahr 1610 sind wir in der Lage, die Frage zumeist definitiv zu erledigen: Die Sonnenflecken sind von Johann Fabricius am 9. März 1611 (S. 84) entdeckt. In dem Prognosticon schreibt David Fabricius (Blatt IV recto): „Ja mag ich auch nicht aus diesen alten Manteo mit Apparatus etwas weithing thun / sondernich hab von jeytz yet in der Sonne mancher oder dreyer kleider gegenich gesehen und mangemeyn / wie kann jelden nicht von vor Jahren sein. M. Johannes Fabricius Medicus studiosus im Jar 1611 den 17. Jühre sagt yet. Durch die hochlöbliche Thul an alderlein ist observirt worden / haben auch wir erfahrung yet. Das in Idibus, nach Thustatim können in 4. hat lassen ersehen. Es hat aber herc Speculation heruch Apelles Aristoteles heruch erachtet / und geschick geblöffen, daß die Luft mit jelden corpus-

causa hinc inde effluit) by / weil fast täglich unter der Sonne solche maculae zu sehen seyn, also ferus hinc inde non cessat motus. Das es eigentlich by / was by welchem ein solches von SOLIS effluat / ist überflüssig zu erklären."

Am Zeit der Publication der Narratio besaheut David Fabricius den Anfang des Jahres 1611, wie sich in der Lage, den Sonnenpunkt genau zu präcisiren: Joh. Fabricii de maculae in Sole observatae Narratio sei zur Beobachtung des Jahres 1611 erschienen."

Es ist nun höchst merkwürdig, dass die Entdeckung des Fabricius gar kein Aufsehen erregte. Dafür giebt Dr. Hertold eine eingehende Erklärung. Er sagt: „Das Hebeln von Johann Fabricius wurde noch, die Ursache zu weiterer Kränze Verbreitung gefunden hatte, von einem gelehrlichen Rivale überflügelt. Der Jesuit Christoph Scheiner, welcher auf dem Hof seiner Oberen auch Vater dem Namen Apollini laicus post tubalem verweilte, hatte an Martin Weller einen tüchtigen Buchbinder gefunden, der nicht nur den Druck der Bücher besorgte, sondern auch für die weiteste Verbreitung derselben Sorge trug. Und, o des Missgeschicks! Ein zweiter Erndt, tüchtiger als Apollini, erschien sichtlich auf dem Kampffplatze, Galilei, dessen Sidereus nuncius ihm vorher der ständesten Welt die mit dem neuen Instrument entdeckten Wunder des Sternenhimmels enthält hatte. Wer konnte gegenüber ausschauen, nach dem neuen Mittel, Flecken in der Sonne! im Harn? Füllen wir nun die Schriften der Rivale, und stellen wir der Narratio von Johann Fabricius die Briefe Scheiners und Galileis gegenüber, so wird es uns sofort verständlich, dass die Schülerarbeit von Johann Fabricius welches bei Seite geschoben, und die geachteten Arbeiten der Rivale mit Eifer gelesen wurden."

Und Erweit: „In dem erwähnten Prioritätsstreit, welcher sich ebenfalls zwischen Galilei und Scheiner ereignete, musste doch, so sollte man erwarten, der Name Johann Fabricius an erster Stelle genannt werden! Aber auch hier stehen wir vergebens, und erkennen zu spät, wenn wir die wenig zugewandte Lektüre der Sternschreiber beendet haben, dass es sich hier nicht um eine objektive Untersuchung des Thätensendes handelt, sondern um eine durch subjektive Behauptungen, Winkelzüge und Verwickelungen gestützte Galileismachung des eigenen Ich. Das Vorbehaupten der Narratio, welche Johann Fabricius in erster Linie publizirte, bildet den wichtigsten Punkt in dem zurückgeklommenen Streit. Dass dieses Vorbehaupten ein unethisches war und gegen besseres Wissen geschah, erhellt das Unrecht, welches wir bei dem klärenden Gerichte empfinden; eine noch so schmeichelnde Schilderung vermag nicht an dem Überwäger Behaupten empfindlich zu machen, und der ungenossene Ehrentitel Galileis, stürzliche Entschuldigungen für sich zu beanspruchen, wird uns stets als Fleck auf uralten Ehrenwänden erscheinen. Wenn wir sich anschauen wollen, dass Scheiner und Galilei sich zunächst nicht verpflichtet glaubten, nach dem Namen von Johann Fabricius zu fragen, so musste, nach der hier ebenfalls ausgesprochenen Behauptung, welche von einem Fachgenosse ihnen aus der Leber zu entspringen drohte, bei einem stürzlichen Kampfe ihr erster Schritt darin bestehen, das Anrecht dieses Ruhmes zu prüfen, und entweder die von Kepler auf Simon Marius zu Gunsten von Johann Fabricius reklamierten Ansprüche zu widerlegen,

oder das Prioritätsrecht des Einzelnen anerkanntem. Beide geben es aber vor, den Namen von Johann Fabricius einfach zu verwenden und sich selbst den Lorbeerkrans aufzusetzen.

Kopierscheinungen, für Johann Fabricius die Priorität zu wehren, blieben vergeblich; mit dem Jahre 1613, in welchem die Ephemerides novae aethiops, verschwindet der Name vollständig. Wiedererhebt, genau hundert Jahre später, wieder aufzucht, abermals mit Kopiers Namen verknüpft, in dem Teile von Kepler's ungelungenem Buchwechsel, welcher von Haenschel 1718 publiziert wurde. Das Verdienst jedoch, die „Narratio de macula in sole observata“ aus dem Stamme der 1613 (1610) herangezogen und nach gelassen, sowie den Vorherrscher, Johann Fabricius, in seine Rechte als Entdecker der Sonnenflecken wieder eingesetzt zu haben, gebührt ausschließlich Christianus Wolff.*

Die Bewegung des Sonnensystems, bestimmt aus den Eigenbewegungen verschiedener Gruppen von Sternen.

Herr Prof. H. G. van de Sande-Bakhuyzen hat eine neue Berechnung des Punktes am Himmel, gegen welchen die Bewegung der Sonne gerichtet ist, angeführt.¹⁾ Die Sterne, deren Eigenbewegung er bereits bestimmte, sind diejenigen des Arveris-Strahlensystem Katalogs und als Berechnungsmethode diente die früher von Airy angegebene. Es wurden nämlich zwei Gruppen von Sternen gesammelt betrachtet, die bezüglich ihrer Eigenbewegungen wahrscheinlich die größten Unterschiede zeigen werden, nämlich einerseits Sterne innerhalb der Milchstrasse und anderseits solche, die in der Milchstrasse stehen.

Zur ersten Gruppe wählte diejenigen Sterne gewählt, welche von dem Pole der Milchstrasse (in 192° Rektaszension und 32° n. Deklination) weniger als 60° entfernt stehen. Das Anzahl dieser Sterne in dem oben bestimmten Katalog ist 576. Die in Rede stehende Region des Himmels gemessen wurde in 20 Tropen von je 10° in Deklination und 10° in der Richtung der Parallelen geteilt und für jedes Tropen der mittlere Wert der Eigenbewegungen in Rektaszension und Deklination der darin stehenden Sterne berechnet. Auf diese Weise wurden 23 Normalbestimmungen erhalten, welche die Grundlage der eigentlichen Rechnung bilden. Aus ihnen ergab sich als wahrscheinlichster Wert für die Lage des Punktes am Himmel, gegen den die Sonnenbewegung gerichtet ist.

Rektaszension 264° 22' mittl. Fehler. 7" 60" 1)
 n. Deklination 37° 2' " " 4" 60" 1)

Für die sekundäre (Winkel) Bewegung φ der Sonne in 100 Jahren, gesehen aus der mittleren Entfernung eines Sternes δ Grades, fand sich $\varphi = 0.0007$ wahrsch. Fehler 0.0007

Als Name, die in der Milchstrasse stehen, wurden diejenigen des obigen Kataloges ausgewählt, welche in dem beschriebenen Bereichern von der Milchstrasse ausgeschlossen werden. Sie wählten dazu in zwei

1) Bulletin Astronomique, T. XX, 1898, Mars p. 21

Unterkategorie gehören, nämlich in solche, welche eine größere Eigenbewegung als $0.005''$ sind und solche, deren Eigenbewegung weniger als $0.005''$ beträgt. Die erste Gruppe von (24 Sternen) ergibt für den Punkt der Sonnenbewegung:

$$\begin{aligned} \text{Rektascension } 219^{\circ} 52' \text{ mittl. Fehler: } & 2'' 35' & 2) \\ \text{„ Declination } & 33^{\circ} 25' & 2'' 14' \end{aligned}$$

Beobachtete Eigenbewegung q der Sonne in 100 Jahren, gemessen aus der mittleren Kathetung der Sterne dieser Gruppe: $0.0009''$ mittl. Fehler $\pm 0.0007''$.

Die andere Abteilung, aus (430) Sternen bestehend, deren Eigenbewegung geringer als $0.005''$ ist, liefert folgende Werte für den Punkt der Sonnenbewegung:

$$\begin{aligned} \text{Rektascension } 219^{\circ} 52' \text{ mittl. Fehler: } & 2'' 31' & 3) \\ \text{„ Declination } & 33^{\circ} 46' & 2'' 56' \\ q = & 1.9605'' & 0.0007'' \end{aligned}$$

1. Stern bei Irthar des Oct am Himmel, gegen welchen sich die Sonne hin bewegt, aus den Eigenbewegungen ähnlicher Sterne des Bradley'schen Katalogs abgeleitet und folgende Resultate erhalten:

$$\begin{aligned} \text{Rektascension } 219^{\circ} 32' \text{ mittl. Fehler. } & 4'' 10' \\ \text{„ Declination } & 32^{\circ} 19' & 1'' 32' \\ q & 4.864'' & 0.264'' \end{aligned}$$

Mit diesem Resultate stimmen am besten die oben unter 1) und 2) angegebenen Resultate, Infolgedessen heißt Prof. van de Sande-Bakhuysen, dass das stärker abweichende Resultat aus den Sternen mit sehr schwacher Eigenbewegung hervorgehe darauf zurückzuführen sei, dass Eins etwa einem besonders System angehört, sondern dass vielmehr alle in Betracht gezogenen Sterne des Bradley'schen Katalogs, aus dem Eigenbewegungen abgeleitet, wahrscheinlich einem und demselben System angehören.

Der neue Krater auf dem Monde in der Nähe von Chladni.

Prof. W. Frize von der Zürcher Sternwarte macht in Nr. 2270 der Astr. Nachrichten Mitteilung über seine Untersuchung des von Herrn Prof. Weizack auf einer Lithplatte entdeckten bis dahin unbekanntes Kraters, in der Nähe des Mondkraters Chladni.

Hr. Weizack hatte seine Entdeckung in Nr. 3065 der Astr. Nachrichten angekündigt. Sie basierte auf einer Lithphotographie, die am 25 August 1876 aufgenommen worden war. Der schwarze Krater lag nach H. Weizack 4½ Kilometer im Durchmesser und liegt südöstlich von Chladni. Nach der Prüfung des Herrn Frize ist dieser Krater nicht als ein Fehler oder eine Unvollständigkeit in der photographischen Platte und diesem finden sich auf dieser noch einige ähnliche Fehler. In Nr. 2269 der Astr. Nachrichten wird gesagt, dieser neue Krater zeigte sich auch auf einer am 1 September 1873 in Melbourne aufgenommenen Mondphotographie, in den Annalen der Prager Sternwarte lautet es dagegen, er sei nicht darauf. Nach Holden und Campbell soll dieser Krater auf

von Diapentiden von Kutterford (aus dem Jahre 1870) so sehen man, Wenzsch sah ihn auf einem derselben. In Wirklichkeit existiert der Krater gar nicht und die Wahrnehmungen desselben auf den Photographen beruhen auf Einbildung. Hr. Pries hat die in Paris am 28. März 1880 und am 28. Mai 1880 aufgenommenen Mundphotographien, welche diejenigen der Licht-Stereoscops ähnlich übertrafen, genau nach dem Wenzschschen Krater untersucht. Die letztgenannte Photographie, welche bei ähnlicher Libration und Beleuchtung wie die oben erwähnte Lichtplatte aufgenommen wurde, enthält Objekte, die um die Hälfte kleiner sind als der angebliche Krater bei Olindal. Dasselbe magte also auf der Pariser Platte sichtbar sein, um so mehr, als diese ein runder, helles Objekt von 2 Meilen Durchmesser südwestlich vom Wenzschschen sogenannten Krater deutlich zeigt, welches auf der Lichtplatte gar nicht ist. Aber von dem behaupteten Krater zeigt sich auch keine Spur. Letzterer ist daher kein Mondkrater, sondern ein Platten-Krater, und ein Geseam der nördlichen Eiten, welche auf den Lichtphotographien zu sehen, aber auf dem Monde nicht vorhanden sind.

Die letzten Veränderungen im Spektrum des neuen Sterns im Fuhrmann.

W. W. Campbell macht interessante Mittheilungen über Veränderungen, welche Huggs das Spektrum der Nova im Fuhrmann eröffnet hat. Die Intensitäten der beiden letzten hervorragend hellen Linien dieses Spektrums haben kürzlich sehr erheblich abgenommen. Es sind dies die beiden Linien, deren Wellenlänge $\lambda = 4380$ und $\lambda = 5790$, besondere die erstere Linie war am 28. November 1894 auf etwa $\frac{1}{3}$ der Helligkeit von August und September 1892 reduziert. Sie ist nunmehr so fern, dass sie nur mit Mühe gemessen werden kann, und bei der andern Linie ist dies vielleicht nicht mehr möglich. Auch in dem im September 1892 photographirten Spektrum war die Linie $\lambda 4380$ die hellste von allen und ungefähr 8 mal so hell als die Linie $H\gamma$, auf einer Photographie vom 28. November 1894 ist sie dagegen schwächer als $H\gamma$. Von besonderem Interesse ist, dass die Linien $\lambda 4380$ und $\lambda 5790$ die einzigen sind, welche eine Veränderung erlitten haben. Die ersten Messungen des Spektrums im August 1892 zeigten unverweifelnd, dass dasselbe ein Nebelspektrum war. Zuerst schienen die beiden genannten Linien in dem Nebelspektrum zu fehlen, dagegen lieferten photographische Aufnahmen den Beweis, dass die Linien $\lambda 4380$ im Spektrum von β wohl bekanntes Nebeln allerdings vorhanden ist und sorgfältige Okularbeobachtungen zeigten dass auch die Linie $\lambda 5790$ in β Nebelspektrum. Diese Linien waren augenfällig im Spektrum der Nova, aber sehr schwach in das Spektrum der Nebelsterns; heute sind sie auch im Spektrum der Nova relativ schwach geworden! Die Spektra Huggs bekannter Nebelsterns zeigen ähnliche Anordnungen. Die Linien $\lambda 4380$ und $\lambda 5790$ existieren nicht nur

1) Astrophysical Journal No. 1, p. 41.

in verschiedenen Reihen an Intensität verschieden, sondern bei einigen Nebeln fehlen sie völlig. Das Spektrum der Nova im Fuhrmann ist nicht nur ein Nebelenspektrum, sondern es nähert sich sogar dem Durchschlößtypus des Nebelnebeln überhaupt. Hr. Campbell hat die beiden Hauptabsorptions im Spektrum der Nova im Bezug auf ihre Wellenlängen im September und November 1894 genau bestimmt. Es sind sich:

1894 Sept. 7. $\lambda = 42687$, $\lambda = 43054$

Nov. 28 $\lambda = 42588$, $\lambda = 43058$

Durch Vergleichung mit dem Normalpositionen dieser beiden Linien ergab sich daraus als Eigenbewegung der Nova pro Sekunde:

Sept. 7: — 27 km, Nov. 28: — 18½ km.

Die Beobachtungen am Harvard-College Observatorium haben gezeigt, dass sowohl die Nova Aurigae als die Nova Normae zur Zeit der Entdeckung wesentlich identische Spektre von hellen und dunklen Linien besitzen. Beide nähmen allmählich an Helligkeit ab und die Absorption näherte sich immer mehr demjenigen des typischen Nebelnebelenspektrums. Der neue Stern im Schwanz vom Jahre 1893 zeigte ein ähnliches Verhalten: von einem hellen Stern mit einem Spektrum von hellen und dunklen Linien, nahm er allmählich ab, bis er ein schwaches Objekt wurde, in welchem nur noch eine helle Linie vorhanden war, letztere ungewisslich die Nebelnebelneben $\lambda 4310$ oder die helle Linie $\lambda 4000$ und $\lambda 4050$ vermehrt. Beobachtungen haben also von den 3 neuen Sternen, welche sich Entladung der Spektrallinien aufzeichnet sind, die derselbe spektroskopische Charakter gezeigt. Dies ist eine bemerkenswerte Thatsache, deren volle Bedeutung wir zur Zeit noch nicht aussprechen können. Das Resultat dagegen, an welchem Hr. Campbell, ist klar, nämlich, dass die spektrale Theorie, welche mehrere Spektroskopiker zur Erklärung der Vorgänge bei der Nova im Fuhrmann aufgestellt haben, unzulänglich einer allgemeinen ähnlichen neuen Stern beherrschenden Theorie weichen müssen.

Neuere Untersuchungen über die Spektre der Planeten.

Es sind jetzt 26 Jahre verlossen, seit Herr Geh. Rat Vogel, damals Vorgesetzter der Privatsternwarte Beihung, in einer Preisschrift den damaligen Zustand unserer Kenntnisse der Planetenspektre darstellte. Jetzt hat derselbe nun in einer der Kgl. Preuss. Akademie der Wissenschaften vorgelegten Abhandlung sowohl seine eigenen auf dem Potsdamer Observatorium ausgeführten Arbeiten über Planetenspektre, als auch die Ergebnisse seiner Prüfung der von Oberleutnant Huggins'chen Spektrogramme, sowie die jüngsten seit 1874 von anderen Seiten veröffentlichten Beobachtungen zusammengefasst und damit eine vollständige Ergänzung seiner älteren Arbeit geliefert. Diese neuere Untersuchung Vogel's läßt vornehmlich die jüngere Zeit die Grundlage für alle weiteren Darstellungen und Spektralanalysen und Gedankt ist es angezeigt, den Inhalt dieser hochwichtigen Abhandlung im wesentlichen hier wiederzugeben.

Dank den vorzüglichen Instrumenten, die ihm auf der Privatsternwarte des Hrn. von Bessel auf Reichenow zur Verfügung standen,

und waren die schwebenden Objekte sehr empfindlichen Auge bereits Prof Vogel in den Spektren der sämtlichen größeren Planeten schon vor 1874 in viel Detail untersuchen und durch Messung festlegen, dass von der Existenz keine Beobachtungen zu erwarten standen, die auf die erhaltene Resultate wesentlich ungestört einwirkendes verschoben. Thatsächlich gelang auch weder die grossen Instrumente der Neuen, noch die so wichtig in der Gebiet der Strahlspektalanalyse stehende Anwendung der Photographie in Bezug auf die Planetenspektren mehr als Bestätigungen der früheren Beobachtungen bringen können.

Es mag das immerhin auf den ersten Blick anfallend erscheinen, es ist aber in der Natur der Sache begründet, und Prof Vogel bezieht die darauf bezüglichen Verhältnisse stets eingehender.

„Die meisten der größeren Planeten,“ sagt er, „stellen sich im Brennpunkt eines Fernrohrs als Scheiben von beträchtlichem Durchmesser dar, an denen der Spalt des Spektroskops nur einen schmalen Streifen anscheinend. Bei gleichem Verhältnis zwischen Objektöffnung und Brennweite bleibt bei verschiedenen grossen Fernrohren die Intensität der Flächenelemente und damit die Helligkeit des Spektrums mehr dieselbe. Die ist im grösseren Fernrohr sogar etwas geringer, da wegen des stärkeren Objektivglases die Absorption etwas stärker ist. Der Vorteil, den ein grösseres Fernrohr im vorstehenden Falle bietet, ist hauptsächlich darin zu suchen, dass das Spektrum besser (schärfer) erscheint, was zur Erkennung von Detail günstiger ist. Auch ist es ohne des Füllens, in dem man bei kleinen Instrumenten eine Zylinderlinse anwenden muss, um die zur Erkennung der Linien nötige Breite des Spektrums zu erhalten, das grössere Fernrohr ein Lichtstärke überlegen, aber die in dem Masse wie bei Beobachtung punktförmiger Objekte (Fixsterne), wo die Lichtstärken der Brennpunktschärfer verschiedener Instrumente nahezu proportional dem Quadrat der Öffnung sind. Das Geringe an Lichtstärke scheint nun bei einem grösseren Fernrohr noch dadurch gegeben zu sein, dass man Spektroskopie von grösseren Dimensionen anwenden und den Spalt weiter öffnen kann, als bei einem kleineren, gleiche Konstruktion bei beiden Apparaten vorausgesetzt, ohne die sonstige Kraft des Spektroskops im Vergleich zu dem kleineren Instrumente zu verringern. Dieser Vorteil wird aber zum Teil dadurch wieder aufgehoben, dass die Lichtstrahlen beim Durchgang durch grössere Glasmassen einen erheblichen Verlust durch Absorption erleiden. In diesem Bezug nach Zahlenangaben allerdings nur machen lassen, wenn man die korrespondirende Instrumente und in Bezug auf Absorption bekannte Glasarten ins Auge fasst. Durch das grössere Brennpunktschärfer im grösseren Instrumente ist schliesslich die Möglichkeit einer eingehenderen Untersuchung des Spektrums verschiedener Teile der Planetenoberfläche gegeben; aber damit dürfen auch stürkliche Vorzüge, welche die Anwendung eines Fernrohrs grösserer Dimension für die Untersuchung des Planetenspektrums gegenüber einem mittelgrösseren Fernrohr bietet, aufgeführt sein.

Es ist zwar in neuerer Zeit gelungen, die photographische Platte für fast alle Teile des sichtbaren Spektrums empfindlich zu machen, jedoch ist die Empfindlichkeit keine gleichmässige, und auch gegenwärtig ist von der Anwendung der Photographie zur Fixierung des

weniger leuchtenden Theile des Spektrums nicht viel zu erwarten, in diesem Theile aber liegen gerade die für die Planetenspektren charakteristischen Absorptionenbänder. Es unterliegt jedoch keinem Zweifel, dass, wenn weitere Verbesserungen des photographischen Verfahrens in dieser Hinsicht gelangen sollten, es möglich werden wird, die charakteristischen Absorptionenbänder der Planetenspektren ihrer Lage nach scharfer zu bestimmen, als bisher mit Hilfe direkter Beobachtungen möglich war, insofern würde aber die bisher erreichte Genauigkeit genügen, über den Ursprung der Bänder, namentlich der im Spektrum des Uranus, Aufschluss zu erhalten, wenn es nur gelänge, auf experimentellem Wege ein ähnliches Absorptionenspektrum zu erzeugen. Obgleich in dem hochbaren Theile der Planetenspektren keine Absorptionenbänder zu erwarten sind, ist doch eine Bestätigung dieser Vermutung durch spektrographische Aufnahmen nicht ohne Interesse. Bei dem Uranuspektrum erhalten derartige Aufnahmen sogar noch eine höhere Bedeutung dadurch, dass durch sie auf das Existenzsein der früher behauptung, die Lockyer vor einigen Jahren aufgestellt hat, des Uranuspektrums mit nicht als ein Absorption-, sondern als ein Emissionenspektrum anzusehen, zurückzuführen wird.*

Das beiden in Folgendem besprochenen Spektroskopente sind in Verbindung mit dem 11-fachen photographischen Refraktar zur Anwendung gekommen, das verbesserte Spektroskopier seit 1862. Von dem belgischen Physiker Franz Sappeu wurde dieses Spektroskopbalken mit dem Spektrographen mit sehr starker Zerstreuung vor, des Prof Vogel zur Untersuchung der Eigenbewegung der Sterne in Verbindung mit dem 11-fachen Refraktar des Observatoriums benutzt habe. Ein ganz ähnlicher Apparat mit nur einem einfachen Prisma, der ebenfalls ein 11-faches Refraktar ausgebracht werden konnte, dessen Zerstreuung aber erheblich größer war, als die der zuerst erwähnten Instrumente, hat einzeln zur Aufnahme der Spektre von Mars und Jupiter gedient.

Die Aufnahmen im Jahre 1872 sind meist von Hrn. Prof. Frost, im späteren von Hrn. Dr. Wilson gemacht worden. Zu den Annahmen, die sämtlich von Prof Vogel ausgeführt worden sind, wurde ein früher beschriebenes Mikroskop benutzt. Bei einigen in der Discussion gemachten Aufnahmen ist das Spektrum des Himmelsgrundes zu beiden Seiten der Planetenspektren sichtbar, und es lässt sich eine direkte Vergleichung der Linien beider Spektre versuchen. Bei anderen Aufnahmen ist beiderseitig vom Planetenspektrum das Spektrum eines in der Nähe befindlichen hellen Sternes mit aufgenommen worden, und noch hier ist eine direkte Vergleichung der Linien möglich, wenn der Stern der zweiten Spektroskopklasse angehört. Kom mindestens konnten bei Sternes der ersten Spektroskopklasse die Wasserstofflinien identifiziert und dadurch Anhaltspunkte für weitere Messungen erhalten werden. Die meisten Aufnahmen sind aber eine Vergleichenspektren, da die nicht leicht zu verlassenden Linien H und K und die Wasserstoffgruppe G gesicherte Markierungen bieten, um durch Messung die weiteren Linien bestimmt zu können.

Eine Beschreibung des Apparats, dessen sich Huggins zur Herstellung der Planetenspektre bedient hat, ist in der neuesten Abhandlung „Photographie Spectre of Stars“ zu finden.

Die Ausdehnung der Spektren ist beträchtlich geringer als die der mit dem Potsdamer photographischen Refraktor hergestellten.

Was von der classischen Planeten anbelangt, so gibt Prof. Vogel die Ergebnisse seiner Messungen der Wellenlängen der einzelnen Linien. Beim Merkur konnten 28 Linien identifiziert werden und es ergab sich eine vollkommenere Uebereinstimmung derselben mit dem Spektrum des heißen Wasserstoffes. Bestätigt der Versuch fand sich, dass zwischen den Wellenlängen λ 460 $\mu\mu$ und λ 405 $\mu\mu$ über 100 Linien im Venuspektrum mit Linien des Sonnenspektrums identisch sind, und dass in Bezug auf die Intensität der Linien eine vollständige Uebereinstimmung beider Spektren besteht.

Von Huggins lag vom Jahre 1859 eine Aufnahme vom Venuspektrum gleichzeitig mit dem Spektrum des heißen Wasserstoffes vor. Ein Vergleichung beider Spektren ergab eine vollständige Uebereinstimmung der Linien des Tageslichtspektrums mit den Linien im Planetenspektrum, so konnten über 80 Linien in beiden Spektren erkannt werden, und es hat sich nicht die geringste Anomalie im Planetenspektrum gezeigt. Das photographische Spektrum erstreckte sich von λ 680 $\mu\mu$ bis λ 5.0 $\mu\mu$.

Das Spektrum des Mars ist zu Potsdam 1852 und 1856 an drei Abenden photographisch aufgenommen worden. An einer Aufnahme vom 21. Juli 1856 (20 Minuten Exposition) konnten zwischen F und E 75 Linien mit Linien des Sonnenspektrums identifiziert werden, und es war keine Abweichung vom Sonnenspektrum auf dieser Strecke des Spektrums zu constatieren.

Huggins hat ebenfalls im November 1864 einige Aufnahmen des Marspektrums angefertigt, die sich weit über Violet hinaus erstrecken und ebenfalls beträchtliche Aehnlichkeiten vom Sonnenspektrum erkennen lassen. Am früheren Zeit lag es von ihm keine Aufnahmen vor.

„Zur Ergänzung meiner Mittheilungen über die Huggins'schen Beobachtungen von dem Jahre 1861“, sagt Hr. Oth. Ray Vogel, „habe ich noch anzuführen, dass Huggins seine auf Grund früherer Beobachtungen ausgesprochene Vermuthung, die Liniengruppen im Blau und Violet seien Ursache des Purpurschattens der roten Farbe des Mars, zurückgenommen hat.“ Die photographischen Aufnahmen haben noch den Zweifel, den die Beobachtungen von Huggins erweckten hatten, ob jene von ihm im beobachteten Theile des Marspektrums wahrgenommenen Linien besonders, der Marsatmosphäre eigenthümliche Linien oder Fraunhofer'sche Linien seien, völlig, und zwar entschieden die zu Gunsten der letzteren Ansichten.“

„Auch Hr. Nagler hat im Jahre 1871 Beobachtungen über den nördlichen Theil des Marspektrums angestellt, hauptsächlich, um Spurenatmosphärischer Absorption aufzusuchen und irgend welche Temperaturheiten des Spektrums verschiedener Theile der Marsoberfläche anzudeuten zu machen.“ Das Spektrum des Mars ist zu dem Zwecke mit dem Mondspektrum zu Zeiten verglichen worden, wo beide Gestirne nebeneinander gleiche Höhe über dem Horizont hatten. Zur Zeit der Beobachtung

1) Monthly Not. Vol. XXVII, p. 124.
2) Monthly Not. Vol. XXXVIII, p. 34.

bei der Mars jedoch keine günstige Stellung gebietet, die Höhe über dem Horizont ist erst 30° bei 50° gewesen, und die Trennung der von unserer Atmosphäre hervorgebrachten Absorptionen von den Linien vielfachen Ursprungs im Marspektrum bei Schwerglätzen. Die Beobachtungen haben jedoch ergeben, dass einige dieser Linien im Marspektrum klarer und deutlicher erschienen als im Marspektrum. Ferner wurden folgende kleine Verschiebungen des Spektrums der Oberfläche, die sich als Unterschiede in der relativen Intensität gewisser Regionen des Spektrums zeigen, erkannt.¹

„Meine früheren Beobachtungen,“ fährt Verill weiter fort, „weisen im Übereinstimmung mit den Beobachtungen von Huggins ergeben, dass das Vorhandensein einer Atmosphäre des Mars, von welcher Zusammensetzung sie die sei, sich aus dem Auftreten gewisser Liniengruppen in der Nähe der D-Linien und der G-Linie, der tellurischen Liniengruppen ω und δ , nachweisen lässt. Während Huggins bei sehr günstigen Stande des Planeten seine Beobachtungen anstellen konnte, war das Gegenstück bei meinen Beobachtungen der Fall; der Planet erhob sich nur wenig mehr als 30° über dem Horizont, und in dieser Höhe machen sich die Absorptionen unserer Atmosphäre schon recht bemerkbar. Nur durch die sorgfältigste Beachtung dieses Umstandes und durch speziell zu dem Zwecke angestellte Beobachtungen an Fraunhofer und am Mond konnte ich Sicherheit darüber gewinnen, dass das Marspektrum eine Verstärkung der ersten tellurischen Liniengruppen zeigt.“

„Herr Campbell hat am im Jahre 1894 unter sehr günstigen atmosphärischen Verhältnissen und bei sehr grosser Höhe des Planeten über dem Horizont Beobachtungen über das Marspektrum angestellt und ist zu dem Resultat gekommen, dass die Existenz einer Atmosphäre des Mars sich nicht mit Hilfe des Spektroskop nachweisen lässt, indem es ihm nicht möglich gewesen sei, einen Unterschied zwischen Mars- und Marspektrum, wenn beide Gestirne in gleicher Höhe gewesen wären, aufzufinden.“ Die mit dem mächtigen Hilfsmittel des Lick-Observatoriums von diesem sibirischen Beobachter ausgeführten Untersuchungen verdienen gewisse Beachtung; sie sind aber meines Dafürhaltens doch nur den hier angeführten früheren Beobachtungen gegenüber zu stellen, denn die Vorteile des grossen Instrumentes sind in dem vorliegenden Falle, wie ich schon anfangs erwähnt habe, nicht so erheblich, dass durch sie die Beobachtungen an kleineren Instrumenten ganz zurückgedrängt werden.²

„Angeregt durch die Untersuchungen Campbells, habe ich bei der letztjährigen Marsopposition meine Beobachtungen wiederholt, wider aber wegen Unruhm der Witterung nur einmal, am 15. November 1894, Beobachtungen über die fraglichen Absorptionen im Marspektrum anstellen können und zwar mit dem Spektroskop IV, wofür sich an direkten Oberflächenbeobachtungen sich verwenden lässt, in Verbindung mit dem üblichen photographischen Refraktor, der in Bezug auf Lichtstärke zufolge des Verhältnisses Öffnung zu Brennweite = 1:30 die Planetenbeobachtungen des Lickrefraktor erheblich übertrifft. Der Luft-

¹ Publications of the Astr. Society of the Pacific. Vol. VI 1894 p. 108. — Sirius 1895, Heft I.

metall war als ausserordentlich glänziger. Der Flamm stand 60° über dem Horizont, der Mond 20° . Es wurde beobachtet:

Gruppe F viele deutlich im Marspektrum, schwach im Mondspektrum
" schwach im Marspektrum, schwach so eben im Mondspektrum,
" I 3345m } auffälligste I Marspektrum, etwas gut sichtbar im Mondspektrum.
" I 3332m }

Bei schwacher Zerstrahlung fällt im Spektrum unserer Atmosphäre eine schwache helle Stelle, etwas leuchtbarer als D, auf, die bei dem Eindruck einer kalten Luftpumpe, oder hervorgebracht wird durch einen Waagen an dem inneren Atmosphärentheile, die in der Nähe der D-Linie auftreten. Dieser Streifen war im Marspektrum sehr gut, im Mondspektrum aber kaum zu sehen. Somit kann ich in dieser Beziehung nur eine Bestätigung meiner früheren Wahrnehmungen anführen. Am 12. December 1854, ebenfalls bei vorzüglich guter Luft, haben die HH. Schaler und Wilson mit demselben Instrumente die Beobachtungen wiederholt, und auch sie gewissen die Ueberzeugung, dass der tellurische Streifen im Marspektrum deutlich hervortritt als im Spektrum des etwas mehr erhellenden Mondes.¹

Aus der Abhandlung des Hrn. Campbell geht hervor, mit welcher Umsicht seine Beobachtungen angestellt wurden sind, er betont mit Recht, wie wichtig es sei, das Mondspektrum in derselben Weise anzustellen zu lassen wie das Marspektrum. Ich bemerke höflich, dass auch ich alle erdähnlichen Vorrichtungenangabe bei meinen früheren Beobachtungen angewandt habe, dass ich nicht nur das Mondspektrum und die Spektre von Sternen der ersten Spektralklasse, in welchen ich die tellurischen Linien beobachten wollte, nöthigen auf gleiche Weise mit dem Marsenspektrum gemacht habe, sondern beim Mond auch möglichen gleiches Lichtstärke mit dem Marspektrum hervorzuführen versuchte. Nur in einem Punkte stimme ich nicht mit Hrn. Campbell überein, nämlich darin, dass die Beschreibung unserer Kenntnisse über das Spektrum unserer eigenen Atmosphäre durch die Untersuchung Thollens im vorliegenden Falle von Bedeutung sei. Schon vor 20 Jahren waren die Absorptionen unserer Atmosphäre sehr genau bekannt und jedenfalls ausreichend für den vorliegenden Fall, wo es zunächst nicht darauf ankam, die verschiedenen Bländer in Linien aufzulösen und einzelne schwache Linienysteme zu erkennen, vielmehr darauf, aus dem Totaldruck, des die Atmosphärenänder machen, Schlüsse zu ziehen. Ich glaube nun, in dem Besonderen, bezüglich ins Detail zu geben, hat Hr. Campbell bei seinen Untersuchungen immer noch zu starke Zerstrahlungen angewandt, und es ist ihm daher Detail anderer Art, auf welches es ganz besonders bei der Entscheidung der Frage, ob ein Unterschied zwischen Mars- und Mondspektrum existiere, willkommen, entgegen. Hr. Campbell legt noch besonderes Gewicht auf die Beobachtung, dass am Rande des Mars die Absorptionen im Spektrum nicht stärker hervortreten seien. Auch mir ist es weder früher noch jetzt gelungen, einen Rückschluss der Existenz dieser Linien mit Bestimmtheit konstatiren zu können; ich halte dies aber für sehr wahrscheinlich, da der Übergang aus ganz allmählicher ist und schliesslich doch nur am inneren Rande des Flammes merkliche Unterschiede zu erwarten waren, und auch in einem so schwachen Streifen, dass sich keine Detail nicht mehr erkennen lässt.

Von Hrn. Huggins erhielt ich folgende Nachrichten über seine im Jahre 1864 im Verein mit Hrn. Huggins angestellten Beobachtungen über die Absorptionenbänder im Marspektrum. November 9, 10 und 15 haben Hr. und Hrn. Huggins das Spektrum des Mars mit dem des Mondes verglichen und December 10, 15 und 20 Beobachtungen des Marspektrums angestellt, als der Planet nahe am Meridian stand. Bei den Vergleichungen mit dem Mondspektrum wurde darauf geachtet, die in Bezug auf Intensität und Breite zu verschiedenen Spektren unter möglichst gleichen Verhältnissen zu beobachten.

An den drei genannten Beobachtungstagen war die Intensität der atmosphärischen Bänder in der Nähe der D-Linien, auf welche das Augenmerk hauptsächlich gerichtet wurde, im Marspektrum sehr erheblichen Änderungen unterworfen; doch schätzten die Beobachter unabhängig und stets übereinstimmend die Liniengruppen, auf welche die Schätzungen hauptsächlich basirt waren — ein schwaches Band bei λ 583,5 μ und ein breiteres bei λ 591,5 μ —, im Marspektrum immer stärker, dergleichen machten bei oft wiederholten Beobachtungen die breite atmosphärische Gruppe, welche die D-Linien umschließt — λ 583,7 μ bis λ 593,5 μ —, deutlicher im Marspektrum, abgleich der Mond zur Zeit eine geringere Höhe hatte.

Die Beobachter wollen ein definitives Urtheil darüber, ob es im Marspektrum Absorptionenbänder gibt, die nicht solchen unserer Atmosphäre entsprechen, stattdessen noch anzunehmen, glauben aber schon jetzt mittheilen zu können, dass sie nur geringen Zweifel hegen an der Existenz eines von D aus mehr nach Hina zu gelegenen Absorptionenbandes, welches, nach der breiteren Seite zu Intensität abnehmend, sich von λ 586,5 μ bis λ 594,5 μ erstreckt und hierher nicht als tellurische Liniengruppe bekannt ist. In in dieser Gegend des Sonnenspektrums befindlichen Linien haben die Entstehung wohl etwas erschwert, aber aus Uebersetzung durch denselben leicht ausgeschlossen. Die Deutlichkeit dieses Bandes ist Fortschreiten unterworfen, die nach der Ansicht der Beobachter mittheilbar von dem Zustande der Atmosphäre des Planeten abhängen.

Ich glaube, dass noch weitere Beobachtungen nach von anderer Seite abgewartet werden müssen, um die Frage eines definitiven Abschlusses zu bringen, möchte jedoch nicht zweifeln können, dass eine Marsatmosphäre nach auch bei den photometrischen Beobachtungen von Hrn. Prof. Müller¹⁾ deutlich zu erkennen gegeben hat, entgegen der früheren Ansicht, die auf einigen Beobachtungen Zöllners basirte, dass die Atmosphäre des Mars ganz unmerklich über sein müsse, indem sich Mars, in verschiedenen Phasen beobachtet, ähnlich wie unser Mond verhalte. Die Müller'schen Beobachtungen zeigen, dass Mars in seinem photometrischen Verhalten ein Zwischenglied zwischen Merkur und Mond einnimmt und Jupiter und Venus andererseits bildet, und dass seine Atmosphäre in Bezug auf Dichtigkeit wohl im Mittel mit der unserer Erde zu vergleichen ist. Hiernach wäre es wohl kaum zu erwarten, dass sich spektroskopisch gar keine Anzeichen einer Gasfülle erkennen lassen würden.*

1) Pöfl der Astron. Obs. Bd. IX, p. 330

Das Spektrum des Jupiter wurde am Potsdam am 23. Oktober 1891 photographirt. Es erstreckt sich von $\lambda 487,4\mu$ bis $\lambda 380,4\mu$; in demselben sind nur 15 Fraunhofer'sche Linien mit Sicherheit wahrzunehmen, da der Spalt ziemlich weit geöffnet war. Bestimmte Abweichungen vom Sonnenspektrum sind zu erkennen. Eine Aufnahme vom 24. Oktober desselben Jahres mit Spektrograph II ist vorzüglich gelungen. Das Spektrum ist von F bis H zu verfolgen. Es ist von F bis $\lambda 445\mu$ sehr schwach, und nur wenige Linien sind in diesem Teile des Spektrums sichtbar; ähnlich verhält es sich mit dem violetten Ende, welches von $\lambda 400,4\mu$ bis H reicht hinauf. Der übrige Teil des Spektrums ist aber sehr reichhaltig; es besaßen über 100 Linien des Jupiter-Spektrums mit Linien des Sonnenspektrums identifizirt werden.

Während bei den oben erwähnten Aufnahmen der Spalt des Spektrographes parallel zur Richtung der täglichen Bewegung stand, demnach auch nahezu parallel der Richtung der Streifen, ist bei vier Aufnahmen vom 1. November 1891, die mit dem Apparat IV aufgenommen worden sind, der Spalt senkrecht zur Richtung des Strahlens gestellt worden, um strenge Vergleichsbedingungen zu der hieswärtig des Spektrums der auffällig sei gefärbten Äquatorialstreifen im Vergleich zu dem heligen Teile der Scheibe aufzufinden. Von den vorzüglich gelungenen Aufnahmen sagt die eine, bei 3^o Exposition hergestellt, etwa 70 Linien, die mit dem Sonnenspektrum übereinstimmen, die drei anderen Platten (zwei mit je 3^o, eine mit 4^o Exposition) lassen 68 Linien in dem Spektrum erkennen. Die beiden Äquatorialstreifen unterscheiden sich sehr deutlich; sie erscheinen im Spectre als helle Streifen, welche der Länge nach das Spektrum durchziehen. Die Helligkeit dieser Streifen nimmt deutlich nach Norden hin zu; in der Gegend zwischen F und G ist dagegen der Contrast zwischen dem Spektrum der Äquatorialstreifen und dem Spektrum der schiefstehenden Teile der Planetenscheibe nur gering. Irgend eine andere Verschiedenheit, als die der stärkeren allgemeinen Absorption im Spektrum der Äquatorialstreifen nicht zu erkennen.

Von Huggins liegen zwei Spektrogramme des Jupiter aus dem Jahre 1838 mit dem Spektrum des Himmelsgrundes an beiden Seiten des Planetenspektrums vor; erinnernd erstreckt sich auf der einen Aufnahme nur wenig über K ins Ultraviolett hinein, während das Planetenspektrum bis $\lambda 445\mu$ noch reichlich ist und sich bis $\lambda 320\mu$ verfolgen lässt. Dem schwachen Vergleichspektrum gestattet nur einen Vergleich der Hauptlinien des Planetenspektrums mit dem Sonnenspektrum; der Vergleich nach dem Aline ergab die vollste Übereinstimmung von 57 Linien des einen mit Fraunhofer'schen Linien.

Die zweite Aufnahme ist weniger gut, es sind nur 16 bis 20 Linien mit Bestimmtheit zu erkennen, die mit Linien des Himmelsgrundes vollkommen übereinstimmen.²

„Eine merkwürdige Beobachtung über das Jupiterspektrum“, führt Prof. Vogel fort, liegt von Henry Draper vor. Am 23. September 1878 hatte Draper ein Spektrum des Jupiter bei zur Richtung der Äquatorialstreifen senkrechter Stellung des Spaltes aufgenommen, und es zeigte sich, dass im schmalen Band des Spektrums nahe der Mitte dasselbe durchging. Die Helligkeit dieses Bandes war ungleich, es war von b bis

Über H hinaus sehr viel heller (im Negativ) als das Spektrum der umliegenden Teile der Planetenscheibe, wurde von h nach dem Rot zu immer weniger hell und war in der Gegend zwischen G und F sogar dunkler als die Umgebung. Der Abbildung nach war die Summe der Helligkeit bei h sehr schön und die Dunkelheit bei F am grössten. Dagegen hält zunächst das Streifen, der das Spektrum durchsetzt, für von der Äquatorialstrahlung des Jupiter herrührend und kommt zu dem Schluss, dass eine beschriebene Materie vorhanden sein müsse, welche Licht in der Äquatorialzone des Jupiter sendet. Die Temperatur desselben sei nicht unendlich, um Strahlen höherer Beschbarkeit zu emittieren, wohl aber werde sie hinlänglich geringerer Brechbarkeit aus, die der Abkühlung, welche die Sonnenstrahlung in der Äquatorialgegend des Jupiter erfährt, im wärmeren brechbareren Teile des Spektrums entgegengewirkt. Erst später auf das eigentümliche Spektrum aufmerksam geworden, hat Dwyer nachträglich ermittelt, dass zur Zeit der Aufnahme der damals vorhandene vielbesprochene rote Fleck auf der nördlichen Hemisphäre des Jupiter auf der Mitte der Scheibe gewesen ist, nach diesem schließt er aus das eigentümliche Spektrum an.

Es liegt aus dem am 28. September 1879 auf der Sternwarte des Kgl. von den HH. R. Copeland und J. G. Lohm angestellte Beobachtung vor, die zu einer Zeit ausgeführt ist, wo ebenfalls der rote Fleck auf der Mitte der Jupiterscheibe war. Auch diese Beobachter haben dem Spalt senkrecht zur Richtung der Strahlen gestellt, um das Spektrum der letzteren zu untersuchen. Sie fanden dasselbe genau seinem früheren Beobachtungen über die Strahlen entsprechend, so sagte sich als dunkler Band von Eisenlinien hat bei $\lambda 405,00$, um dunkelsten in der Nähe von F. Als die Beobachter, nachdem sie inzwischen das Spektrum der hellesten beobachtet hatten, wieder verschiedene Teile der Jupiterscheibe untersuchten, fanden sie, dass der rote Fleck auf der nördlichen Halbkugel, der sich gerade auf der Mitte der Scheibe befand, eine störende Verdunkelung des Spektrums hervorbrachte, wie die Äquatorialstrahlung.

Diese Beobachtung lässt sich am nicht gut in Einklang bringen mit dem, was die Doppler'sche Physik zeigt. Es kann unmöglich das Spektrum des Flecks zwischen G und F heller sein als die Umgebung (im Negativ dunkler), wenn im sichtbaren Teile des Spektrums der Einfluss des Flecks am stärksten ist, dass derselbe vom „ausseren Rot“ so dunkler als die Umgebung ist. Man könnte daher nur annehmen, dass thatsächlich am folgenden Tag eine ganz besondere Erupzion aus dem Innern der Planeten ausgebrochen habe und der Fleck bei direkter Betrachtung nicht dunkler, wie gewöhnlich, sondern heller als die übrigen Teile der Scheibe gewesen sei. Dagegen spricht aber eine in Potsdam von Hrn. Dr. G. Lohm angefertigte Beobachtung, nach welcher der Fleck am 11. September 1879 wohl sehr intensiv rot gefärbt, aber sonst nicht abweichend von andern Tagen erschienen ist.

Es bleibt daher wohl nur die Annahme, in der man sich sehr beim Anblick der Abbildung bestärkt wird, übrig, dass ein Fehler in der photographischen Schicht die Ursache der eigentümlichen Brechbarkeit gewesen sei.

Über das Spektrum des roten Flecks, der in dem Jahre

1880) bis 1883 ein sehr auffallendes, das allseitige Interesse erregendes Objekt war, habe ich wiederholt Beobachtungen angestellt, jedoch nur die geringsten Abweichungen vom Spektrum der Äquatorialstreifen des Jupiter finden können.

Über die Satelliten des Jupiter, deren Spektren ich früher untersucht habe, ist aus neuerer Zeit nur eine Beobachtung von Copeland und Leber in Dem Licht zu erwähnen. Die Beobachter konnten in dem kontinuierlichen Spektrum keine Linien erkennen. Die Bemerkung, dass sich im Spektrum des dritten Mondes bei starker Verhärterung des Spektrens mit Nylindolinsäure ein dunkler Längsstreifen gebildet habe, als ob der Mond einem Äquatorialstreifen hätte, will ich nur der Vollständigkeit wegen hier anführen. Wenn dieser der Wahrnehmung nicht bräunigen war, da bei Anwendung einer Zylindolinsäure ein etwa vorhandener Äquatorialstreifen überhaupt nicht sichtbar werden kann. Ähnliche Erscheinungen, wie die beobachtete, kommen auch bei stark verhorbtenen Finsternisspektren vor.

Ich habe auf Grund meiner früheren Beobachtungen die Vermutung ausgesprochen, dass in den Spektren der Monde das He das Jupiterspektrum so charakteristische Linien im Rot vorhanden wären, was ich zu sprechen würde, dass die Monde mit ähnlichen Atmosphären umgeben seien, wie der Hauptkörper. Daber scheinen aber von anderer Seite Beobachtungen hinsichtlich nicht gemacht worden zu sein, die doch mit gewissen Instrumenten mit Aussicht auf Erfolg angestellt werden können.

Photogramme von den Satelliten sind in Potsdam angefertigt worden. Hr. Witzig hat am 25. und 26. November 1891 spektrographische Aufnahmen von III. Satelliten gemacht. Die Expositionszeiten betragen 20" und 60". Auf der ersten Aufnahme rührt das Spektrum von 1.487 μ bis 1.503 μ , es ist sehr kräftig, in der Gegend bei G sogar etwas überexponiert und zeigt 40 Fraunhofer'sche Linien. Die zweite Aufnahme hat 44 Linien erkennen. Am 18. Januar angefertigte Aufnahmen der Satelliten I, II und IV tragen gleichfalls einige Fraunhofer'sche Linien."

Von Saccaro folgt nur ein in Potsdam angefertigtes Spektrogramm vom 17. März 1892 von „Der 1^o Expansion ist ein kräftiges Spektrum vorhanden, welches sich von F bis H ζ erstreckt, und in dem etwa 30 Fraunhofer'sche Linien sichtbar sind. Der Spalt ist etwas weit gewesen, und in Folge dessen fließen die feinen Linien in Gruppen zusammen. Linienname schmale Streifen im Spektrum bei H γ und bei G sind auch an einem anderen Stellen des Spektrens erweisen anlässlich hell und warben auf den ersten Blick den Eindruck von hellen Linien; am am 5. März 1893 bei derselben Spaltstellung aufgenommenes Mondspektrum zeigt aber ganz dieselbe Erscheinung, Abweichungen vom Sonnenspektrum sind nicht zu bemerken.

Von Huggins sind zwei Aufnahmen aus dem Jahre 1887 vorhanden. Die eine vom 21. März, Expositionszeit 1", ist dadurch merkwürdig, dass das Spektrum auffallend weit im Ultraviolet — bis 1.315 μ — zu verfolgen ist. Der Spalt ist weit gewesen, und deshalb sind nur 12 Linien mit Sicherheit zu erkennen. Eine weniger gute Aufnahme vom 18. März, etwa 30" Expositionszeit, zeigt nur die Linien H γ , O, H, K. und zwei

Liniengruppen im Ultraviolett. Aus dem Jahre 1889 liegen von Mr. und Mrs. Huggins sechs Aufnahmen vor, die noch besonderes Interesse dadurch haben, dass der Opert an gestellt worden war, dass neben dem Spektrum der Saturnskugel auch das Spektrum der Krone der Saturne erkennbar. Nicht der geringe Unterschied im zwischen dem Planetenspektrum und dem Spektrum der Ringstücke, die besonders auf drei Planeten deutlich getrennt erschienen, zu erkennen.

Von diesen sechs Aufnahmen sind drei wenig detailliert, und nur die Hauptlinien sind im Planetenspektrum, sowie in dem gleichzeitig mit wechselndem Spektrum des hellen Himmelsgrundes zu erkennen. Eine dritte Aufnahme, eines Vergleichenspektrum, zeigt im Ultraviolett zwischen H und λ 344,99 μ Linien. Das Spektrum lässt sich noch bis λ 320,99 verfolgen; im Ganzen sind in demselben über 20 Fraunhofer'sche Linien zu erkennen. Bei H γ und vor H zeigen sich dunkle Streifen im Negative, die von zwei hellen Linien herabstrahlend aussehen, ähnlich wie auf dem Prodaners Spektrogramm. Auf der fünften Aufnahme sehen diese dunklen Linien, der Spalt im Spectroscop enger gewesen, das Spektrum erstreckt sich nur wenig ins Ultraviolett. Im Ganzen sind 20 Linien im Planetenspektrum sichtbar; die Übereinstimmung mit dem Saturnspektrum ist vollkommen.¹⁾

Hr. Lockyer hat in einer Note vom 17. Februar 1892²⁾ darauf aufmerksam gemacht, dass es bei der mehr und mehr sich heftigenden Hypothese, die Ringe Saturns seien aus unendlich kleinen Körperchen zusammengesetzt, von Interesse wäre, das Spektrum der Ringe zu untersuchen. Falls ähnlich Zusammensetzung dieser kleinen Körperchen unter Quer- und Lichtstrahlung stattfinden, könnte möglicherweise dadurch das Spektrum modifiziert werden. Er wurde durch die Ansicht der Physikerin der Saturn von des Gehelben Harty, auf welchen die Ringe sich viel heller als die Planetenscheibe erscheinen, als das bei direkten Beobachtungen der Fall ist, zu dieser Vermutung geführt.

Aus den Huggins'schen Aufnahmen geht mit Bestimmtheit hervor, dass ein Unterschied zwischen dem Spektrum des Planeten und dem der Ringe in dem beobachtbaren Teile des Spektrums nicht stattfindet, und auch für den sichtbaren Teil des Spektrums ist dies durch Hrn. Keeler nachgewiesen worden, der, durch die Note Lockyers veranlasst, das Spektrum des Saturns und seiner Ringe auf dem Lick-Observatorium untersucht hat.

Bei der Untersuchung des Spektrums der Ringe konnte Keeler keine früheren Beobachtungen, die wegen der Kleinheit des Beobachtungsfeldes vom Saturn im Rothkammer Reflektor große Schwierigkeit haben, beibringen, indem er fand, dass im Spektrum der Ringe das für das Spektrum des Saturns so charakteristische Absorptionsband λ 618,99 fehlt.

Die gesamte Helligkeit der Ringe im Vergleich zum Planeten überhaupt und insbesondere für die chemisch wirksamsten Strahlen erklärt sich aus dem Mangel einer Atmosphäre der Ringe, während die Atmosphäre des Planeten selbst ausserordentlich stark ist, ganz sagen wir.

Uranus. „Nach einigen vergeblichen Versuchen gelang es am 23. April 1892 Hrn. Frost, mit Apparat III bei einer Expansion von

1) Ann. d. Phys. 57. 1891.

1° 30° eine gute Aufnahme des Uranenspektrums zu erhalten. Das Spektrum hat seine größte Intensität zwischen F und G, da wegen des hohen Standes des Planeten die violetten und ultravioletten Teile sehr geschwächt wurden. Es lässt sich noch bis in der Linie H verfolgen, K ist nicht mehr mit Sicherheit zu erkennen.

Von Hr. und Mr. Huggins ist eine wohlgelegene Aufnahme (3^{te} Exposition) des Uranenspektrums vom 2. Juni 1869 vorhanden, auf welcher das Spektrum des Planeten weiter ins Ultraviolett zu verfolgen ist, als auf dem Potsdamer Photographum. Das Maximum der Intensität des Spektrums liegt bei dieser Aufnahme bei G. Zu beiden Seiten des Spektrums befindet sich ein sehr schönes detaillirtes Tageslichtspektrum, welches erst am nächsten Morgen, bei Anwendung eines schieflieh eingelegten Spalts, aufgenommen wurde. Es lässt daher zwar keinen direkten Vergleich mit dem Planetenspektrum zu, bietet aber doch sehr erwünschte Anhaltspunkte.

Das beiden in Potsdam und in London gefertigten Aufnahmen, die sich in vorstelliger Weise ergänzen, liefert das Beweise, dass weder Absorptionshänder noch beide Linien in dem kräftigeren Teile des Uranenspektrums auftreten, wohl aber zahlreiche Fraunhofer'sche Linien, und dass somit die Behauptung Lockyers, das Uranenspektrum sei als ein Emissionenspektrum anzusehen, gänzlich unzulässig ist.²

„Die sorgfältigste Untersuchung über den sichtbaren Theil des Uranenspektrums, die Hr. Keeler mit dem 38-zölligen Refraktor der Lick-Station gemacht hat, ist in vollkommenem Einklang mit diesem Ergebnis. Er erwähnt ausdrücklich, dass die Helligkeit grösser stellen des Spektrums in Gelb und Grün bei Anwendung schwacher Dispersion den Eindruck des Selbstleuchtens gemacht habe, als er das Uranenspektrum zum erstenmale beobachtete; fortgesetzte Untersuchungen mit verschiedenen Spektroskopien hätten ihn aber überzeugt, dass dieser erste Eindruck illusorisch und nur durch den Contrast der hellen Stellen des kontinuierlichen Spektrums an den dunklen Absorptionen entstanden hervorgeht.“

Es ist Hr. Keeler gelungen, selbst die kontinuierlichen Spektren der beiden inneren Satelliten des Urans zu sehen.³

Vermischte Nachrichten.

Notiz Schein im Innern des Mondgebirges Heke. Uswelt der gewaltigen Kugeloberfläche Poindloons, in nördlicher Richtung, befindet sich eine Kraterformation von 21/2 Meilen Durchmesser, deren Rand so seiner ganzen Mondkarte des Namen Heke, Nomen aber in seinem Werke der Beschreibung Uswelt bezeugt hat. Am 24. Februar 1874, als ich bei ruhiger und klarer Luft einige Mondformationen beobachtete, Hess ich gegen 10° die der Lichtgrenze anliegenden Partien der beobachteten Mondfläche durch das Gesichtsfeld meines Refraktors gehen. Dabei Hess mir, als ich den Aufbau der Wille des Poindloons etwas eingehender studiren wollte, die stark hervorstechende braune (kupferfarbene) Färbung der zu dieser Zeit noch genug beobachteten Innenseite

des Kraters Becke in die Augen. Eine eingehende Untersuchung der umliegenden Kraterbildungen in Bezug auf ihre Farben-Schancen ergab, dass auch das Innere des am Nordwall von Poodana gelegenen Hauptkraters M (Nördlich zwischen E und a) eine deutliche rötliche Färbung zeigt, die aber bei einer stichförmigen Beobachtung dieses Objektes der Wahrnehmung hätte entgehen können. Die übrigen Kraterformationen, die in erheblicher Anzahl in geringerer und beträchtlicher Entfernung von Becke beobachtet wurden, stigten als gewöhnliches Aussehen. Der Luchypass des absteigenden Nordes lag am Ostwall des Kraters Krater A und am Westrand des Atlas. J. N. Kruger

Das Klappbergs Frauentor. Auf Tafel IV ist eine Darstellung dieser merkwürdigen Mondlandschaft gegeben, wie sie H. J. N. Kruger 1883 Oktober 28 12^h in 175-facher Vergrößerung seinen grossen Refraktor gezeichnet hat. Vergleicht man diese Darstellung mit der jüngeren, welche Mädler und Jol. Schmidt von demselben Mondspiegel gaben, so scheint man sofort den sehr viel grösseren Detailreichtum der vorliegenden Zeichnung. Mädlers Darstellung, die er im Dezember 1860 am Dorpat Refraktor erhielt, ist glänzlich mangelhaft, ich kann zum Teil gar nicht verstehen, was der herrliche Zeichnergraph in seiner Zeichnung ausdrücken wollte. Sehr viel besser ist Schmidts Darstellung, doch hat auch die vor einige Abtheilung mit der Abbildung von Kruger. K.

Die totale Mondfinsternis vom 11. März. Die Beobachtung desselben war von dem Witterungsverhältnisse ausserordentlich begünstigt und hat während des ganzen Verlaufes in den einzelnen Phasen ihrer Erscheinung sehr interessante, typische Momente. Klar und voll schien der Mond während durch dünne, wolkenartig zeltiges Gewölke; um 1 Uhr konnten wir nach unserer Uhr mit einem schwach vergrössernden Feldstecher den ersten Eintritt in den dunkeln Kernschatten der Erde erkennen, der sich dann allmählich in dunkelbraunfarbener Tönung mit schwacher, kreisförmiger Bewegung langsam von links nach rechts über die volle Mondscheibe ausbreitete; schon vor halb vier Uhr war die Unterseite der letzteren auf das „rote Viertel“ reduziert. Um 3 Uhr 51,5 Min. sollte die Totalität beginnen, d. h. der letzte Sonnenstrahl von der Oberfläche verschwunden sein; doch konnten wir um vier Uhr noch, wie uns übrigens von einem andern scharf beobachtenden Kollegen ebenfalls bestätigt wird, am nördlichen Mondrand eine gelblich-klare, etwas hellere Tafel erkennen, während der übrige, namentlich untere Teil des verfinsterten Trabantens in schwarzer, prächtig schön-sonnenfarbener Glorie stand. In dieser unteren Partie gewahrte man einen dunkelsten Kernschatten, der im Verlauf der Totalitätsphase sich allmählich gegen den nördlichen Rand verschob. Die astronomische Erscheinung gewährte insbesondere nach 4 Uhr einen malerisch schönen, imponierenden Eindruck, der noch vielfach gehoben wurde durch die Thatsache, dass verfinsterte Scheibe mit ihrem glänzenden Nördlichen der Konstellationen „Jaguar“ und „Löwe“. Der Mond blieb während der ganzen Totalität mit scharfen Konturen recht gut sichtbar; kurz vor halb sechs Uhr hätte ein oben hellfarbiges Rand der erste aufgehobene Sonnenstrahl wieder hervortreten und bald haben die höherliegenden Partien des hellen Randes, die langsam aus dem Schatten traten, wieder den gold-gelben

Lichtes an. Zwischenzeitlich der Schatten nach rechts zurück und am halb sieben war der Mondhelfer vom Erdhatten wieder vollende abgetret, wozu das Folgende in seiner instrumentellen Phase zu Ende war.

Struck.

D. H.

Solten nachher und ist durch alle Buchhandlungen zu beziehen:

Im Reiche des Lichtes.

Sonnen, Zodiakallichte, Kometen, Himmerringlicht-Pyramiden

nach den ältesten ägyptischen Quellen.

Von

Hermann Gruson.

Sechste gänzlich umgearbeitete Auflage.

Mit 17 Figuren und 1 Tafel zum Teil in farbiger Ausführung.

Preis geb. 5 Mk., geb. 6 Mk.

Die zweite gänzlich umgearbeitete Auflage des vorliegenden Werkes war eben erschienen, als der berühmte Verfasser von Tod krank wurde. Infolge des Sturz und Aufstiegs der Historikwissenschaft übernahm wiewohl die Verlagshandlung das Werk der Öffentlichkeit, als das Vermächtnis eines Mannes, der mit dem Geiste seines Zeitgenossen Gruson vertrat, und Gruson vertritt hat, und dies in noch im hohen Alter verglichen war, und Orund seiner in praktischer Thätigkeit gemachten Beobachtungen der ägyptischen Wissenschaft, des Theores über Licht und Wärme, sowie und wertvolle Leistungen zu geben.

Behrere größere und kleinere

Refraktoren

sind sehr preiswürdig zu verkaufen. Bekantesten wollen sich wegen näherer Mittheilungen an mich wenden.

Dr. Hermann J. Klein in Köln.

Beobachtungen der Jupitermonde. Die folgenden Angaben über die Ercheinungen der Jupitermonde sind aus dem Nachtr. Almanach entnommen, und die angegebenen Zeiten mittheilt von Greenwich. Die Zeichen sind der Reihenfolge ihrer Abstände vom Jupiter nach III bis IV bezeichnet. Ferner bedeutet:

- Er II des Vordermondes dieser Trabanten im Schatten des Jupiter.
- Er III des Ansatz des Trabanten zur dem Schatten des Jupiter.
- Er IV des Vordermondes des Trabanten hinter der Jupitersehne.
- Er V des Vordermondes mittig neben der Jupitersehne.
- Tr I des Eintritt des Trabanten vor die Jupitersehne.
- Tr II des Ansatz des Trabanten zur der Jupitersehne.
- Tr III des Eintritt des Trabanten hinter die Jupitersehne.
- Tr IV des Ansatz des Trabanten hinter die Jupitersehne.

Es sind nur diejenigen Beobachtungen der Jupitermonde angegeben, welche sich ereignen, wenn Jupiter zu Greenwich über und die Sonne unter dem Horizont steht. Die vollständigen die Reihenfolge dieser Ercheinungen für jeden andern Ort zu finden, hat man nur nötig den Längensmeridian gegen Greenwich (ausgedrückt in Zeit)

zu den angegebenen Zeitpunkten zu vollziehen, wenn der Ort östlich von Greenwich liegt und lassen es außer Acht lassen, wenn der Ort westlich von Greenwich liegt.

Juni 8. 10 Uhr 10^m 44^s Juni 9. 11 Uhr 10^m 42^s. 10 10^m 39^s Juni 8. 11 Uhr 10^m 36^s. 10 10^m 34^s 42^s Juni 10. 11 Uhr 10^m 32^s Juni 11. 11 Uhr 10^m 29^s.

Vom Juni 12. bis August 8. wird die Jupiterperiode wegen so großer Nähe des Jupiter bei der Sonne unsichtbar.

Planetensichtbarkeiten 1896. Juni 4. 10^m Merkur in größter Hell. Kleinstes δ 44' Juni 5. 9^m Neptun in Konjunktion mit der Sonne. Juni 20. 10^m Merkur in obersteigendem Knoten. Juni 21. 10^m Venus tritt in die Zeichen des Krebses zurück. Juni 22. 10^m Merkur in Opposition.





Hornbedeckungen durch den Mond für Berlin 1896

Mond	Horn	Höhe	Hornbedeckung	
			Zeit	Größe
Juni 6	1. Neptun	22	11 47 ^m	12 20 ^m
	2. Löwe	18	8 18 ^m	9 40 ^m

Lage und Größe der Saturnringe (nach Dawes)

Juni 20. Große Achse der Ellipse: 40"11". Kleine Achse 11"20"
 Richtungswinkel der Erde über die Saturnringe: 12° 30' ostl.

Stellung der Jupitermonde im Juni 1896.

I.		III.	
II.		IV.	

stellungen von δ für den Äolich im astronomischen Fernrohr

Tag	Westl.	Östl.
1		1
2		2
3		3
4	1	4
5	2	5
6	3	6
7	4	7
8	5	8
9	6	9
10	7	10
11	8	11
12	9	12
13	10	13
14	11	14
15	12	15
16	13	16
17	14	17
18	15	18
19	16	19
20	17	20
21	18	21
22	19	22
23	20	23
24	21	24
25	22	25
26	23	26
27	24	27
28	25	28
29	26	29
30	27	30

Flaunderschlag im Juni 1886.

Mittlere Barometer-Messung.					Mittlere Barometer-Messung.				
Wochen- tag	Mittlerer Barometer- stand		Mittlerer Barometer- schwankung		Wochen- tag	Mittlerer Barometer- stand		Mittlerer Barometer- schwankung	
	h.	m.	+	-		h.	m.	+	-
1886									
M a r z .									
Jan. 6	6 50	54 00	+ 04	57	10 05	0 00	- 0 04	0 03	0 07
10	6 52	54 00	00	24	10 05	0 00	- 0 05	0 03	0 06
14	7 1	53 00	00	0 17	10 07	0 00	- 0 05	0 03	0 06
18	7 3	47 10	00	40	10 08	0 00	- 0 05	0 03	0 06
22	6 54	47 20	1 30	20 1	10 08	0 00	- 0 05	0 03	0 06
26	6 53	47 00	- 1 10	44	10 08	0 00	- 0 05	0 03	0 06
A p r i l .									
Jan. 2	7 00	50 00	+ 03	0 40	0 1	0 00	- 0 04	0 03	0 07
6	6 59	50 00	00	0 50	0 00	0 00	- 0 04	0 03	0 07
10	6 49	51 00	00	20	0 00	0 00	- 0 04	0 03	0 07
14	6 48	50 00	00	47	0 00	0 00	- 0 04	0 03	0 07
18	6 50	49 00	0 10	0 44	0 00	0 00	- 0 04	0 03	0 07
22	6 50	48 00	+ 01	0 33	0 00	0 00	- 0 04	0 03	0 07
M a i .									
Jan. 6	7 04	50 00	+ 02	0 52	1	0 00	- 0 04	0 03	0 07
10	6 58	50 00	00	0 00	0 00	0 00	- 0 04	0 03	0 07
14	6 59	49 00	00	47	0 00	0 00	- 0 04	0 03	0 07
18	6 54	50 00	00	1 00	0 00	0 00	- 0 04	0 03	0 07
22	6 47	50 00	0 10	0 00	0 00	0 00	- 0 04	0 03	0 07
26	6 48	49 00	+ 01	0 00	0 00	0 00	- 0 04	0 03	0 07
J u n i .									
Jan. 7	6 46	49 04	+ 03	0 43	1	0 00	- 0 04	0 03	0 07
11	6 55	49 00	00	0 00	1	0 00	- 0 04	0 03	0 07
15	7 3	48 00	+ 03	44	0 00	0 00	- 0 04	0 03	0 07

Mittlere Barometer-Messung.					Mittlere Barometer-Messung.				
Wochen- tag	Mittlerer Barometer- stand		Mittlerer Barometer- schwankung		Wochen- tag	Mittlerer Barometer- stand		Mittlerer Barometer- schwankung	
	h.	m.	+	-		h.	m.	+	-
1886									
M a r z .									
Jan. 7	6 54	50 00	+ 01	10	0 00	0 00	- 0 04	0 03	0 07
11	6 50	49 00	0 10	0 00	0 00	0 00	- 0 04	0 03	0 07
15	6 4	48 00	- 0 01	0 00	0 00	0 00	- 0 04	0 03	0 07
A p r i l .									
Jan. 7	6 54	50 00	+ 01	10	0 00	0 00	- 0 04	0 03	0 07
11	6 50	49 00	0 10	0 00	0 00	0 00	- 0 04	0 03	0 07
15	6 4	48 00	- 0 01	0 00	0 00	0 00	- 0 04	0 03	0 07

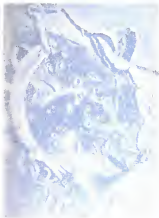
Mittlere Barometer-Messung.					Mittlere Barometer-Messung.				
Wochen- tag	Mittlerer Barometer- stand		Mittlerer Barometer- schwankung		Wochen- tag	Mittlerer Barometer- stand		Mittlerer Barometer- schwankung	
	h.	m.	+	-		h.	m.	+	-
1886									
M a r z .									
Jan. 7	6 54	50 00	+ 01	10	0 00	0 00	- 0 04	0 03	0 07
11	6 50	49 00	0 10	0 00	0 00	0 00	- 0 04	0 03	0 07
15	6 4	48 00	- 0 01	0 00	0 00	0 00	- 0 04	0 03	0 07

Mittlere Barometer-Messung.					Mittlere Barometer-Messung.				
Wochen- tag	Mittlerer Barometer- stand		Mittlerer Barometer- schwankung		Wochen- tag	Mittlerer Barometer- stand		Mittlerer Barometer- schwankung	
	h.	m.	+	-		h.	m.	+	-
1886									
M a r z .									
Jan. 7	6 54	50 00	+ 01	10	0 00	0 00	- 0 04	0 03	0 07
11	6 50	49 00	0 10	0 00	0 00	0 00	- 0 04	0 03	0 07
15	6 4	48 00	- 0 01	0 00	0 00	0 00	- 0 04	0 03	0 07

Wind.

Mittlere Barometer-Messung.					Mittlere Barometer-Messung.				
Wochen- tag	Mittlerer Barometer- stand		Mittlerer Barometer- schwankung		Wochen- tag	Mittlerer Barometer- stand		Mittlerer Barometer- schwankung	
	h.	m.	+	-		h.	m.	+	-
1886									
M a r z .									
Jan. 7	6 54	50 00	+ 01	10	0 00	0 00	- 0 04	0 03	0 07
11	6 50	49 00	0 10	0 00	0 00	0 00	- 0 04	0 03	0 07
15	6 4	48 00	- 0 01	0 00	0 00	0 00	- 0 04	0 03	0 07

Mittlere Barometer-Messung.					Mittlere Barometer-Messung.				
Wochen- tag	Mittlerer Barometer- stand		Mittlerer Barometer- schwankung		Wochen- tag	Mittlerer Barometer- stand		Mittlerer Barometer- schwankung	
	h.	m.	+	-		h.	m.	+	-
1886									
M a r z .									
Jan. 7	6 54	50 00	+ 01	10	0 00	0 00	- 0 04	0 03	0 07
11	6 50	49 00	0 10	0 00	0 00	0 00	- 0 04	0 03	0 07
15	6 4	48 00	- 0 01	0 00	0 00	0 00	- 0 04	0 03	0 07



Las Biscayas, Fr. 1516.

1516. 1516. 1516.

... (faint text) ...

... (faint text) ...

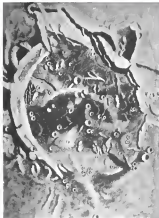
... (faint text) ...

... (faint text) ...

... (faint text) ...

... (faint text) ...

Brenn-Jahrg. 1895. 4



Das Hinggsbirge Fracasterius

gestaltet von J. N. Krieger.



In die verehrl. Abonnenten des „Saisus“

Von dem Herausgeber des „Saisus“ werden die einzelnen Hefen der ersten Jahrgänge des Saisus (Saisus) in der folgenden Weise abgesetzt: Die ersten 10 Hefen des Saisus (Saisus) sind abgesetzt zu dem Preis von 1 Mark 50 Pf. (einschl. Porto) und die übrigen 10 Hefen des Saisus (Saisus) zu dem Preis von 1 Mark 50 Pf. (einschl. Porto).

Band I, II, III, IV, V, VI (Jahrgang 1871) zu dem Preis von 1 Mark 50 Pf. (einschl. Porto) nur 20 Mark.

===== Einzelne Bände 4 Mark =====

Band VII, VIII, IX, X (Jahrgang 1872) zu dem Preis von 1 Mark 50 Pf. (einschl. Porto) nur 20 Mark.

===== Einzelne Bände 5 Mark =====

Band XI, XII, XIII, XIV (Jahrgang 1873—74) zu dem Preis von 1 Mark 50 Pf. (einschl. Porto) nur 20 Mark.

===== Einzelne Bände 5 Mark =====

Band XV, XVI, XVII, XVIII (Jahrgang 1875—76) zu dem Preis von 1 Mark 50 Pf. (einschl. Porto) nur 20 Mark.

===== Einzelne Bände 5 Mark =====

Band XIX, XX (1877—78) zu 12 Mark

Einzelne Bände dazu kosten pro Band nur 15 Pf.

Es ist zu bemerken, dass nur die vollständigen Bände abgesetzt werden können, dass sich vereinzelt herausnehmen lediglich nach dem zu machenden Verkaufswert nachfolgender Bände (1877) der alle. Lieferungen werden zu 10 Pf.

Der Herausgeber wird auf das jenseitige Bestehen der ersten Jahrgänge des Saisus (Saisus) I—XV des neuen Folge des „Saisus“ aufmerksam, welches für jeden Jahrgang der Bände I—XV der S. P. ausschließlich ist.

Die Bände sind durch den Herausgeber abgesetzt.

Leipzig, Januar 1880.

Verlagshandlung
Georg Neumann,

Der Herausgeber des „Saisus“ (Saisus) I—XV (einschl. Porto) nur 20 Mark.

Expl. Hefen. Neue Folge. Band I, II, III, IV, V, VI (Jahrgang 1871) zu dem Preis von 1 Mark 50 Pf. (einschl. Porto) nur 20 Mark. Einzelne Bände 4 Mark.

Expl. Hefen. Neue Folge. Band VII, VIII, IX, X (Jahrgang 1872) zu dem Preis von 1 Mark 50 Pf. (einschl. Porto) nur 20 Mark. Einzelne Bände 5 Mark.

Expl. Hefen. Neue Folge. Band XI, XII, XIII, XIV (Jahrgang 1873—74) zu dem Preis von 1 Mark 50 Pf. (einschl. Porto) nur 20 Mark. Einzelne Bände 5 Mark.

Expl. Hefen. Neue Folge. Band XV, XVI, XVII, XVIII (Jahrgang 1875—76) zu dem Preis von 1 Mark 50 Pf. (einschl. Porto) nur 20 Mark. Einzelne Bände 5 Mark.

Expl. Hefen. Neue Folge. Band XIX, XX (Jahrgang 1877—78) zu 12 Mark.

Expl. Einzelne Bände zu dem Preis von 1—XXII 5 Bände 15 Pf.

Expl. Gesamtregister zu Band I—XX der neuen Folge. 5 Mark.

Ort, Straus und Tug.

Januar und Band.

Das nicht gewünschte bitte zu durchstreichen.



SIRIUS

Zeitschrift für populäre Astronomie

Redigirt von
Lehrer
Technischer und astronomischer Schulstellen,
Herrn Dr. Hermann J. Klein in Köln.

Band XXIII mit vier Folgen Band XXIII
5. Heft.



Leipzig 1885.
Karl Schönes.



SIRIUS.

Zeitschrift für populäre Astronomie.

Zentralorgan für alle Freunde und Förderer der Himmelskunde.

Herausgegeben unter Mitwirkung

hervorragender Fachmänner und astronomischer Schriftsteller

von Dr. HERMANN J. KLEIN in Köln a. Rh.,

Neue Folge.

„Wissen und Erheben sind die Frucht und die
Bewehrung der Menschheit.“
Kant

Inhalt: Erklärung der Sonnenprotuberanzen als Wirkungen der Refraktion in einer hochverdichteten Atmosphäre der Sonne. Von A. Schmidt in Stuttgart. 5 sp. — Eine experimentell geometrisch-optische Prüfung. 5 sp. — Über die Ursache des Querschnitts des Sonnenlichts. Von J. Schmidt. 5 sp. — Die neuen Hauptmerkmale der Sonne. Von A. Schmidt. 5 sp. — Die üblichen Übertragungen der Sonne auf die Sonne. Von A. Schmidt. 5 sp. — Verschiedene Nachbildungen der Sonnenlichter. Von J. Schmidt. 5 sp. — Über neue neue Methoden. 5 sp. — Die optischen Eigenschaften der Sonne. 5 sp. — Planetenabstände etc. 5 sp. — Beobachtungen über die Mond in Höhe etc. 5 sp. — Lage und Größe der Sonnenflecken. 5 sp. — Planetenbewegung im Jahr etc. 5 sp. — Mond. 5 sp.

Erklärung der Sonnenprotuberanzen als Wirkungen der Refraktion in einer hochverdichteten Atmosphäre der Sonne.

Von A. Schmidt in Stuttgart

(Hierzu Tafel V)

Der Verfasser hat am Schlusse einer im Oktober 1891 erschienenen kleinen Schrift *) über die Strahlenbrechung auf der Sonne als Ergebnis seiner geometrisch-optischen Untersuchung folgende 3 Thesen aufgestellt: 1. Die Sonne ist ein ungeladener Himmelskörper, es giebt insbesondere keine Grenzfläche zwischen einem Sonnenkörper und einer Sonnen-

*) Die Strahlenbrechung auf der Sonne am geometrisch-optischen Weg. Von Dr. A. Schmidt, Stuttgart 1891.

atmosphäre. II Der Grad der Sonnenwärme ist das Produkt regelmäßiger Strahlenbrechung in einer Atmosphäre, deren Dichte im sichtbaren Strahlungsbereich weit geringer ist, als die Dichte der Luft an der Erdoberfläche. III Die Sonnenflecke und die Protuberanzen sind Produkte unregelmäßiger Strahlenbrechung. Das Licht der letzteren stammt aus einem Gebiete der Sonne, welches weiter dem Ost der sichtbaren Grenze liegt.

Die gegen diese Theorie erhobenen Bedenken, welche dem Verfasser teils in privater Mitteilung¹⁾, teils öffentlich geäußert wurden, betreffen zwei Punkte. Das eine Bedenken richtet sich gegen die Vorstellung einer der sichtbaren Höhe der Chromosphäre darüber nicht entsprechenden, sehr viel mächtigeren und sehr dichteren Atmosphärenschicht, in welcher die weisse Sonnenlicht dergleichen Absorption erfährt, welche die Fraunhofer'schen Linien erzeugt. Diesem Bedenken gegenüber kann hervorgehoben werden, 1) dass nach dem Kirchhoff'schen Gesetze die Absorption einer Wärmestrahlung auch so mächtigste und dichteste Gasstricht sogar voll wäre, wenn zwischen Lichtquelle und Absorptionsschicht keine Temperaturdifferenz bestände, 2) dass die physikalischen Bedingungen der Konzeion und Absorption des Lichtes durch Gase, je nachdem nach die Gase im Zustande chemischen Gleichgewichts oder molekularer Umänderung befinden, noch nicht richtig festgestellt sind.²⁾

Das zweite Bedenken richtet sich gegen die Vorstellung, dass die Protuberanzen Wirkungen gestörter Strahlenbrechung seien. Hier liegt eine Lücke in der Verfasser's kühneren Theorie, so fehlt der bestimmte Nachweis dafür, dass die Protuberanzen es, wie sie sind, in ihrer Hauptform, sich als Folgen unregelmäßiger Lichtbrechungen ergeben. Ihr Licht, ihr Verhältnissen mit der Chromosphäre, ihre Gestalt, ihre selbständige Bewegung, die sich dem Spektroskop als wohl erkannten Grenzwellenlängen erkennen lassen, erheben volle Ansprüche glühender Gase aus dem Sonnenkörper auszusenden, so erscheint unabweislich, dass in den erwähnten hochvertheilten Gasen der Sonnenkorona so mächtige Wirkungen der Strahlenbrechung zustande kommen, und wenn das der Fall wäre, so erscheint es viel wahrscheinlicher, dass das Licht der Protuberanzen den Charakter des gewöhnlichen Sonnenlichtes, sowie mit Absorptionen, besitzen würde, als den Charakter des Lichtes glühender Gase mit hellem Lichtspektrum. Und doch ergeben mancher verschiedenen Gebilde der Wahrscheinlichkeit für die Auffassung der Protuberanzen als Refraktionswirkungen: ihr Licht unterscheidet sich nicht von demjenigen der koronaren Lichtung des Sonnenrandes, der Chromosphäre. Von selbst hat wie diese zeigen ein Thermometer mit der Chromosphäre die Lagen des Wasserstoffs und des Heliums, in selteneren Fällen zeigen die aufsteigenden Protuberanzen auch die Linien der Leichtmetalle und derjenigen Schwermetalle, welche wir ganz entsprechend wohl in den

¹⁾ Ein besonderes Dankes würdig ist die ständige Mithilfe meiner Verehrten, welche Herr Geheimrat A. Mayer in Aachen mir zukommen liess. Diese Mittheilungen, sowie die durch dieselben herbeigeführten Anzeigen, welche ich Herr Prof. G. Wagner in Aachen verdanke, behüten für mich die Aufmerksamkeit an geschätzter Arbeit.

²⁾ Vgl. z. B. Werner Siemens in *Wied. Ann.* 18 5. 111 u. 516. 1874 und Fraunhofer, *Wied. Ann.* 20 2. 420 u. 516. 1875.

letzten Chromosphärenschichten auftreten. Nur in sehr seltenen Fällen zeigen sich sichtbar als aufsteigende wolkenförmige Begleit-Spuren des gewöhnlichen Sonnenlichts. Die ganze Art dieser Überinstimmung spricht nicht für einen kausalen Zusammenhang des Sonnenworts und aufsteigender Gase, sondern für eine Zusammenhang der Protuberanzen mit der Längsbewegung der Sonne, für die wichtigste Beziehung zu den höchsten Schichten der Chromosphäre, für einen Unterschied regelmäßigen und unregelmäßigen Auftretens mit und denselben Phänomenen.

Ein zweites Moment bildet das Missverhältnis zwischen den Geschwindigkeiten aufsteigender Protuberanzen nach teleskopischer Beobachtung und den Geschwindigkeiten aufsteigender Gase nach spektroskopischer Beobachtung. Etwas Geschwindigkeiten betragen häufig 100 bis 200 km pro Sekunde, in einzelnen Fällen aber auch 400, 500, ja bis zu 800 km², letztere betragen nach Schaller¹⁾ im Maximum nur 30 bis 40 km. Dieses Missverhältnis wird dadurch nicht gelöst, dass Fälle von höchst grosser Geschwindigkeit der Gase, wie die teleskopisch gemessenen Protuberanzgeschwindigkeiten, doch auch spektroskopisch (in Richtung des Visirstrahles) gemessen werden, denn in solchen Fällen handelt es sich nicht um aufsteigende, sondern in einem anderen Fall um eine sehr schnell abwärts gerichtete Geschwindigkeit von gegen 800 km² (beobachtet innerhalb des Sonnenrandes), im anderen²⁾ um eine untermittelt das Randes beobachtete horizontale Geschwindigkeit von 400 km. Horizontale und abwärts gerichtete Geschwindigkeiten von mehr als 800 km (diese Zahl entspricht dem Potenziatwert am Orte des beobachteten Sonnenrandes) müssen häufig an der Sonnenoberfläche auftreten in Folge der Reibungsträger kosmischer Massen, die bei rascher Verdampfung noch höhere Beträge erzielen können, während für ebenso gross aufsteigende Geschwindigkeiten, für welche die spektroskopischen Messungen keine Anhaltspunkte liefern, die mechanische Ursache schwer zu erheben wäre. Es ist daher sehr wahrscheinlich, dass die sehr grossen Beträge der Geschwindigkeit aufsteigender Protuberanzen keinen realen Stoffbewegungen entsprechen. Dazu kommt der weitere Umstand, dass diese Bewegungen entgegen dem Verhalten gewöhnlicher Körper manchmal Stillstände und Wiederbeginne, häufig auch oben gezielte bedeutende Beschleunigungen zeigen.

Ein weiteres der optischen Erkennung der Protuberanzen günstiges Moment bietet uns von H. W. Pickering³⁾ am 29. August 1893 gemachte Beobachtung. Eine in Bezug auf deren Teile nach Vor und nach der Teilheit der Protuberanz glänzend sichtbare, im kontinuierlichen Spektrum fehlende Protuberanz, in Bezug auf deren Teile nur genau während der Teilheit der Verankerung sichtbar, zeigte die zur violetten Linie H. und K. und die Spur einer ultravioletten Linie. Hier scheint eine Wirkung der Dispersion als Begleiterscheinung starker Refraktion vorzuliegen. Die folgenden geometrisch optischen Untersuchungen wurden

¹⁾ Schaller, die Sonne, Braunschweig 1893, S. 484.

²⁾ Schaller, die Spektroskopie der Sonne, Leipzig 1890, S. 100.

³⁾ Journal of the Franklin Institute, Vol. LXV (3) S. 427-429, Beobachtung von Young am 21. Sept. 1826, nicht von Lockyer, vgl. Bulletin S. 249, Fig. 10 u. 11.

⁴⁾ Beobachtung von Mayr am 25. Juni 1891, Comptes rendus 102, S. 310-312.

⁵⁾ Annals of Mass. Coll. Observ., Vol. XVIII, No. 1, S. 59 u. 100.

die von Prokating gezeigte Vermutung wahrscheinlich nachzuweisen lassen, dass wirklich sehr hohe Protuberanzen, die nur die stärkere brechbarsten Linsen des Spektrums enthalten, sich der Okularbeobachtung entziehen, aber von Hilfe photographischer Aufnahmen entdeckt werden dürfen.

Auch die in Nr. 1218 der A. N. von Finzi gegebene Schilderung innerhalb des Sonnenrandes beobachteter ununterbrochener Erscheinungen, welche ganz an die Beobachtung Young's vom 21. September 1876 innerhalb des Sonnenrandes erinnern, macht den Eindruck, als ob eine kosmische Gewölke von sehr großer horizontaler Geschwindigkeit in der Sonnenatmosphäre einen von gewöhnlichen Refraktionserscheinungen begleiteten Aufruch erzeugt hätte. Die Wiederkehr desselben Phänomens an entgegengesetzten Sonnenrands mit entgegengesetzter Richtung der horizontalen Geschwindigkeit (nicht vom Beobachter weg, dann gegen den Beobachter gerichtet) führt zur Annahme eines die Sonne umgebenden Meteorstromes, von welchem einzelne Bruchstücke der Sonne zum Opfer fallen und vergehen. Auch Trausdat und Deslandres¹⁾ finden das Ihre zu beobachten. Mit gleichzeitige Auftreten von Protuberanzen an entgegengesetzten Stellen des Sonnenrandes auffallend, ohne eine Erklärung zu geben. Offensiv handelt es sich in diesen Fällen immer um einen von unten her erzeugten Aufruch in der Sonnenatmosphäre.

Die folgenden Ausführungen machen sich zur Aufgabe an, zu zeigen, dass bei der Annahme einer genügend dünnen gasförmigen Beschichtung der Korona und bei der Annahme von Störungen der regelmäßigen Lagerung der Koronagase die Bildung roter Protuberanzen (mit Entweichen spektraler Chromosphären) durch Deflexionen als notwendig, diejenige weißer Protuberanzen als unzweifelhaft charakteristisch erscheint, dass insbesondere aus der Annahme einer sehr geringen optischen Dichte der Koronagase Erscheinungen sich folgern lassen, wie sie durch die Geschwindigkeit und Grenz nach aufsteigender Protuberanzen verwickelt sind.

1. Satz über Schlieren.

In nicht homogen stetig veränderlichen isotropen Mitteln erkennen wir die Wechsel des Brechungsvermögens, des Schlieren, an den Verzerrungen, Verschärfungen, Teilungen, Verästelungen, Verflechtungen, welche die Bilder von Gegenständen zeigen, deren Licht durch solche Mittel zu unserem Auge kommt. Als geometrisch einfachste Form einer Schlieren können wir die Dichteschwäche betrachten, welche zwischen zwei übereinander geschichteten Flüssigkeiten von verschiedenen Brechungsvermögen sich bildet. In der eingangs erwähnten Schrift hat der Verfasser solche Geometrie als parallel verlaufende Mittel betrachtet. In allen ein und derselben Ebene parallelen Richtungen ist das Brechungsvermögen konstant, wir nennen solche Schlieren im Folgenden ebene Schlieren aus Unterscheid von sphärischen Schlieren, innerhalb deren das Brechungsvermögen entlang konzentrischer Kugelflächen konstant, von Punkten des Abstands von denselben Mittel-

¹⁾ Bulletin astron. Ann. 1894, Tom. XI, S. 307—308

punkte ist. Die Atmosphäre der kugelförmigen Himmelskörper im frühen Gleichgewichtszustand gedacht, betrachten wir als sphärische Schichten im Weltraum.

Berechnen wir den reziproken Wert des veränderlichen Brechungscoeffizienten, d. h. das von Punkt zu Punkt eines Mittels veränderliche Lichtgeschwindigkeit gemessen im Einheits der Geschwindigkeit im freien Äther, mit v , die Richtung der stärksten Verkürzungskrümmung dieser Brechungsfunktion mit α , die abgeleitete Brechungsfunktion δv , d. h. das Gefälle von v in der Richtung α mit v' , den Winkel, welchen ein Lichtstrahl mit der Richtung α einschließt, durch ρ , den Krümmungsradius des Strahls durch ρ , so lautet das Grundgesetz der Refraktion:

$$v' = v (\rho' \sin \varphi)$$

Für den Beweis dieses Satzes verweist der Verfasser auf einen inbaldigen Artikel.

b. Innerhalb einer ebenen Schicht mit konstantem Gefälle v' beschneidet jeder Strahl einen Kreisbogen kleiner als ein Halbkreis und zwar so, dass die Krümmungsmittelpunkte aller möglichen Strahlen in α und derselben zur Richtung α senkrechten Ebene liegen, dergestalt dass, für welche $v=0$ wäre, wenn die Schicht ins Unendliche sich ausdehnte. Die Ebenen aller Kreisstrahlen stehen auf dieser Nullebene senkrecht.

c. Die Strahlensetzung in der Richtung α ist null, in der dazu senkrechten Richtung für jeden Punkt der Schicht ein Maximum.

d. Der Fortschritt eines Strahls (Fig. 2) entspricht der Kräfte- und Antriebsfläche einer Schicht und so dem in der Schicht beschriebenen Bogen tangential und zwar besteht bei ebenen Schichten zwischen den Grenzwerten φ_1 und φ_2 innerwärts und α_1 und α_2 anderwärts die Beziehung:

$$\sin \varphi_1 \cdot \cos \varphi_2 = \alpha_1 \cdot \alpha_2 \quad (\text{Stromgesetz})$$

e. Die Gesamtstrahlungsänderung ω eines Strahls beim Durchgang durch eine ebene Schicht ist im Falle $\alpha_1 < \alpha_2$ eine negative Funktion des Kräfteertrages φ_{12} , indem deren Wert $\omega = \varphi_2 - \varphi_1$ mit φ_1 so lange wächst, bis $\varphi_2 = 90^\circ$ und $\sin \varphi_1 = \alpha_1/\alpha_2$ wird. Im Angesichts, wo φ_2 dessen Betrag übersteigt, verknüpft sich ω , um wiederum mit wachsendem φ_1 abzunehmen, wobei $\omega = 180^\circ - \varphi_2$ bleibt und der gebräuchlich Strahl zunehmend weniger tief in die Schicht eindringend mit der Kräftefläche wieder ansteigt. Wir unterstellen daher eine Ebene mit einer grossen Refraktion.

f. Schichten, deren Lage gegen das Beobachter sich verändern, können ihre Wahrnehmbarkeit sehr zu steigern, sehr in unangeneher Weise zu mindern. Die Zahl der in einem Mittel vorhandenen Schichten ist im allgemeinen grösser, als die Zahl der zu gleicher Zeit wahrnehmbaren Schichten.

g. Im Fall der kleinen Refraktion hat ω für Licht verschiedener Wellenlänge verschiedene Werte, es findet Dispersion statt, bei der grossen Refraktion erhält ω für alle Farben gleiche Werte.

h. Wenn ω für eine Farbe mittlerer Wellenlänge seinen grössten Betrag (bei $\varphi_2 = 90^\circ$) erreicht, so spaltet sich der gebräuchlichste Strahl in einen bläulichen, von demselben nur der stärker brechbaren die grosse Refraktion erleidet (Fig. 1).

l. Der grösste Betrag α ist bestimmt durch die Gleichung $\cos \frac{1}{2} \alpha = \sin \rho_1 = n_1/n_2$, also um so kleiner, je kleiner die Differenz $n_2 - n_1$, oder je kleiner bei gegebenem Dichte einer ebenen Schicht der Wert n' ihres Gefälle ist (bei konstantem Gefälle ist die Schichtendicke gleich dem Quotienten $(n_2 - n_1)/\rho$).

k. In sehr verdichteten Gasen ist der grösste Brefraktion nur bei Einfallswinkeln ρ_1 möglich, welche sehr nahe bei 90° liegen, es ist dann viel häufiger von der unzeitigen Dispersion (k) begrenzt, als in dichteren Gasen.

l. Für andere als ebene Schichten kann der unter i bestimmte Grenzfall von α bedeutend überschritten werden, so sind z. B. sphärische und zylindrische Schichten denkbar, innerhalb denen ein Strahl mehr als einmal in Kreisen, Spiralen, Schraubenlinien umläuft, ist a der Radiusvektor eines Punktes einer sphärischen Schicht bezogen auf deren Mittelpunkt, so stellt die Gleichung $a = r \cos \alpha$ (s. Art. 2) die Bedingung dar, dass ein im betreffenden Punkt vom Radiusvektor senkrechter Strahl im Kreise a sich selbst zurückkehrt ($\alpha = \pi$). In dem Grenzfallungsgang Wurzelschritten, so tritt, wie dies die Grundgleichung meiner früheren Abhandlung ausprägt, die Randreflexion ein, die Grenzbedingung selbst entspricht der „kritischen“ Sphäre des Sonnenlichts.

m. Bei sphärischen Schichten mit nach unten wachsenden Werten von r sind zwei Fälle der grossen Refraktion zu unterscheiden: a) $\rho < n$ und b) $\rho > n$ im Scheitel des Strahls (Figur 2). Im Falle a tritt der Strahl auf der konkaven Seite ein und aus. Diese Schicht ist in ihrer Wirkung durch eine ebene oder ein Polyeder ebener Schichten ersetzbar. Im Falle b tritt der Strahl auf der konvexen Seite ein und aus, es ist, entgegen der Bedingung (a), $n_1 > n_2$, und daher dieser Fall grosser Refraktion nicht durch eine solche in ebenen Schichten ersetzbar.

n. Im Falle b findet keine unzeitige Dispersion statt, dagegen eine um so stärkere weisse Dispersion, je mehr ρ dem Werte n sich nähert, weil die verschiedenen beschriebenen Teile des Strahls um so ungleichere Wege in der Schicht zurücklegen.

2. Die Refraktion in der Grenzschichtatmosphäre in Folge gestörter Schichtenlagerung.

Im Mittel und im normalen Zustande des Gleichgewichts können zweifellos in dem die Sonne umgebenden Raume, soweit derselbe auf den oberen Rand der Atmosphäre folgt und das Gebiet der Protuberanzen bildet, die Werte von r nicht merklich von der Einheit abweichen. Wahrscheinlich *) werden die Abweichungen, von der Einheit merklich kleiner sein als bei der Luft an der Erdoberfläche, also kleiner als die Zahl 0,0005, und in dem höchsten Regionen der Protuberanzen wird es sich auch von diesem Betrage nur um ganz kleine Bruchteile handeln können. Die folgende Untersuchung erhebt keinen Eintrag, wenn wir von dem durch das kleine Brechungsvermögen hervorgehenden ordentlichen Refraktion um Teil ganz absehen. Auch der normale Wert des Gefalles r' kann nur ausserordentlich klein sein. Nach Satz k, wenn wir r an-

*) Nach der Schrift des Verfassers E. M. und Knapp „Die Schichtatmosphäre“ (Jena 1876, S. 10).

während gleich l setzen, ist $r' = 1/2$ der Halbmessung des Krümmungskreis, der ist nach den früheren Ausführungen des Verfassers die Bedingung einer „kritischen Schicht“, in welcher Ausfällung stattfindet. Da nun in Kilometer $z > 70000$ so ist $r' < 0,0000145$. Das heißt: pro Kilometer Ausfällung an die Sonne kann innerhalb der Krümmung der Welt von r und dementsprechend auch der Übergangskoeffizient μ auf irdischer Höhe nur ein Betrag ankommen, welche kleiner als der angegebenen Betrag von r' sind, sonst würde eine Ausfällung in der Krümmung stattfinden. Aber eben diese Kleinheit des Betrages, welchen r' irdischer Höhe erreicht, macht es höchst wahrscheinlich, dass derselbe unvorordentlichereine in Folge irgend welcher Gleichgewichtsträgung erreicht und überschritten werde. Die unvollständigen Beträge von μ , welche die irdische Strahlenbrechung in der Sonnenkrümmung erzeugt können dann zu den höchsten Beträgen anwachsen, wenn sich weit ausgedehnte sphärische Schichten bilden (vergl. Satz I), bei welchen r den angegebenen kleinen Betrag erreicht oder überschreitet. Solche Schichten können, wie die Vergleichung obiger Zahlenwerte zeigt, in die Dicke (von z) noch eine Mächtigkeit von Kilometern erhalten, auch wenn die Gasdichte auf den hundertsten Teil dergleichen unserer Luft beträgt. Theoretisch genügt aber jede Dicke einer sphärischen Schicht, um bei gewissen Werten von r' beliebig große Werte von μ zu erzeugen. Wir können daher nicht zweifeln, dass weit ausgedehnte mehr oder weniger horizontale, aber sphärisch gekrümmte Gasdichten, welche sich gegen die früher genannten Schichten geringerer Dichte durch eine Übergangsschicht von unvorordentlichem Gefälle r' abgrenzen, Anlass zur Bildung von mächtigen Protuberanzen geben müssen, um so höherer Protuberanzen, je mehr die Übergangsschicht gegen den Horizont geneigt ist und je je größerer Höhe sie ansteigt. Jede, auch die geringste Atmosphärendichte in der Krümmung hat die Bildung von Protuberanzen zur Folge, wenn die Krümmung in der Lagerung der Schichten Gefälle r' von oben abgenommenen Beträge erzeugt. Der große Betrag von μ bei z , der den erforderlichen Wert r' so unvorordentlich klein macht, die großen Gleichgewichtsträgungen, von denen wir Sagen sind, machen die teilweise Erreichung dieser kleinen Werte auch in den höchsten Regionen so unvorordentlich wahrscheinlich.

Vergleichen wir indische Verhältnisse: An der Krümmung ist der Wert von r' normalerweise etwa der 4. bis 7. Teil des entsprechenden Wertes des Erdradius, der Zahl 0,000133. Aber bei den Krümmungen der Luftausfällung wird der ganze Betrag dieser Zahl bald erheblich überschritten, bald werden dessen große negative Werte von r' erzeugt.

Wenn so die Bildung von Protuberanzen durch die Wirkung unvorordentlich hoher Refraktoren in der Krümmung im allgemeinen sehr wahrscheinlich, mehr bei der Chromosphäre notwendig ist, so ist die Wahrscheinlichkeit für die Bildung weißer Protuberanzen sehr gering. Um dies zu zeigen, bedienen wir uns der Zerlegung der schwererkrümmten sphärischen Schichten in Folge der ebenen Schichten. Vorausgesetzt ist, dass starke Krümmungen, erheblichen Werte von r' , größere Werte der Abweichung von der horizontalen Schichtenrichtung der Natur der

*) Fall von Fig. 7, der Schritt des Verfälschers. S. H.

Sache nach von kleiner lokaler Ausdehnung sind. Aber Schichten kleiner Ausdehnung können für unsere Untersuchung nicht in Betracht, eine kleine Wirkung kompensieren sich (so weit nicht für die Erklärung der Chromosphäre, nach § 30 oben der Schluß des Verfahrens, ein nicht kompensierter Rest dieser Wirkungen in Betracht kommt). Nur Schichten grossen räumlicher Ausdehnung können erhebliche Störungen der normalen Refraktion hervorbringen. Die Lagerung weit ausgebreiteter Schichten wird keine in grossen Abweichungen aus der horizontalen Richtung und von dem normalen Krümmungsradius ρ nehmen. Dies vorausgesetzt erweitert wir uns (Fig. 3) in einem Punkt P des oberen Chromosphärenrandes. Die weisse Scheibe der Sonne erscheint uns dort aus grösster Nähe unter einem scheinbaren Radius, wenn von $r = 10'$, von $r = 31,2'$ Höhe wir als scheinbare Höhe der Chromosphäre, von der Erde aus gesehen, den Betrag $h = 10'$ annehmen. Denn es bezeichnet sich r aus der Gleichung als $r = 10' \cdot (16', 10'')^2$, (wobei die relative Refraktion in der Korona nicht berücksichtigt ist). Das Chromosphäre erscheint von P aus unter einem Winkel $h = 3,2'$, weil dann $h + r = 20'$ ist. Eine in der Umgebung dieses Punktes befindliche obere Schicht, welche dem fernem Auge eines Erdbeobachters eine weisse Protuberanz zeigen sollte, müsste aus dem Rande der weissen Scheibe kommende Licht um einen Winkel $\omega = 3,2'$ ablenken. Nach Satz 1 erfordert das einen Betrag $n_1/n_2 < \cos \omega = 1$, also $< 0,9974$. Da aber sicher n_1 nicht grösser als n_2 sein kann, so müsste $n_1 < 0,9974$ sein, es müsste in der Umgebung von P der Wert n , bzw. dessen reziproker Wert n um mehr als $0,0026$ von Eins abweichen, ein Betrag, der auch für ausserordentliche Lagerungsverhältnisse allgemein hoch erscheint, der ferner grösser ist, als der Wert von $n - 1$ an der Erdoberfläche. In diese unten Schwierigkeit kommt eine zweite. Soll die Schicht bei P die „grosse“ Refraktion des Strahls erzeugen, so muss die um $\frac{1}{2} = 4,1'$ gegen den Normalen des Punktes geneigt sein, ein Betrag, der sich schwer mit der Befragung grosser räumlicher Ausdehnung vereinigen lässt, weil in der Sonnenatmosphäre das durch die Schwere bedingte Bestreben zu horizontaler Schichtlagerung ein mächtiges Moment bildet. Das ist mit dem Klammern von den Werten von $1 - n$ und von n' in zunehmender Höhe an Bedeutung verliert. Wir dürfen, wie auch im Weiteren zeigen wird, wohl annehmen, dass diese doppelte Schwierigkeit nicht nur die Bildung weisser Protuberanzen verhindert, sondern überhaupt nur die Bildung von Protuberanzen gestattet, welche die Farbe der obersten Schichten der Chromosphäre, die Wasserstoff- und Heliumlinien aufweisen.

Man kann fernerhin gegen die behauptete Ausdehnung des Krümmungsradius, dass eine weisse Protuberanz mit dem scheinbaren Orte P auch durch eine Schicht erzeugt werden könnte, deren Mitt. in diesem Punkte Q zwischen P und dem Auge des Beobachters, in einem höheren Orthe der Korona wäre. Der scheinbare Ablenkungswinkel ω würde dort einen kleineren Betrag haben, dafür wäre aber auch der scheinbare Wert von r dem kleiner und besonders die notwendige Schichtdichtung der Schicht gegen den Horizont eine grössere. Wenn wir also auch nicht genau berechnen können, dass die Schwierigkeiten für die Bildung der Protuberanzen P durch die Schicht in Q im Ganzen grösser seien oder gleich den

Schwierigkeiten für die Schlieren in P selbst, so begreifen wir doch, dass auch für diese Art der Bildung der Protuberanz P erhebliche Schwierigkeiten vorliegen, falls die Licht der weissen Schlieren aus Erde wandern soll.

Man könnte nun jedoch durch denselben Reizmechanismus auch die Unwahrscheinlichkeit roter Protuberanzen im gewissen Vermale begg. Vorlegen wir stüchlich den Punkt P um schätzbar 10⁶ Sekunden weiter vom Sonnenrande weg nach P', so scheint nun die Bildung einer roten Protuberanz in P eine Ablenkung des vom Rande der Chromosphäre kommenden Strahls um mehr 2,2^o zu erfordern. Allein vom Punkte P aus betrachtet ist die Sonne nicht klein von der Chromosphäre gesehen, sondern dort gesehen in einer Höhe $h = 3,6^{\circ}$, wofürs ungefähr von 20 den jüngsten Protuberanzen, welche in geringerer als 3,2^o Breite einer Chromosphäre umgeben. Nicht direkt vom Rande der Chromosphäre, sondern indirekt von einer dieser Protuberanzen erhält die Schlieren in P ihr Licht. Je die niedrigeren Protuberanzen umgeben die nicht höheres, verbleibt in Stärke, die wir nicht geringer als eine Sekunde oder noch kleiner anzunehmen wissen. Es haben wir das Resultat, dass rote Protuberanzen von beliebiger Höhe möglich sind durch die Wirkung von Objektivern dieser Schlieren, d. h. durch optisch gekrümmte Schlieren von der Art des Falls a, Satz m. Und da wir an die Bildung solcher Schlieren nicht gezweifelt dürfen, so müssen wir die Bildung roter Protuberanzen durch Reflexionen für notwendig halten, während diejenige Wasser höchst unwahrscheinlich erscheint.

Wir verstehen zugleich, warum die Protuberanzen so oft mit der Chromosphäre verschmelzen sind. Die Schlieren niedrigerer Stufe, welche ihr Licht an derjenigen höherer Stufe wandet, wird wegen der Gleichsamkeit der Krümmungswinkel φ und der Ablenkungen α der Strahlen (so klein dieser auch sein mag), häufig auch Licht an weissen Lage senden. Thus sie an sich, so eruchtet die obere Protuberanz von der Chromosphäre abgelenkt. Da die oberen Teile aus den unteren entstehen, so ist dadurch die schiefliche aufsteigende Bewegung bedingt und selbst ändert aus, die schiefliche grünen Geschwindigkeit nach Satz f zu erklären.

3. Die metallischen Protuberanzen.

Es ist nicht wahrscheinlich, dass die doppelte Art von Protuberanzen, die langem optischen Gittern entsprechen, die sich aufeinander anderen Seite, auch einer doppelten Art der Entstehung entsprechen. Während die meisten nur das Licht der höchsten Schichten der Chromosphäre zeigen, entstehen die letzteren ebenfalls mit den Wasserstofflinien nach der jungen der Leuchtstoffe, weshalb die von Schwannstellen, je in einzelnen Fällen, wie in dem von Pickering beobachteten, zeigen sie gut ein kontinuierliches Spektrum oder geben sie das Bild weisser Bomben, welche in ihnen in die Höhe steigen. Wenn die untere Art unserer hochgenen Erklärung entspricht, dürfte für die zweite Art auch eine andere Erklärungsmöglichkeit bestehen.

Schlieren mit grossen Strahlen r' sind der Natur der Sache nach im Zustande fortwährender Ruhe nicht möglich, sie müssen die durchgehenden nachlässiger sich fortbewegenden Wellen sein. Unter den unendlich beweglichen Gestalten fortwährender Wellen mit Winkel, welche die Sturm-

Bewegung der Sonne verstanden mag, und welche wohl alle die Bewegung besitzen, ihre Spannung nach oben, nach der Seite des kleinsten Widerstandes zu verhalten, dürfte eine Form von typischen Wellen sein, welche ebenso eine typische Form von Protuberanzen erzeugen kann, die aus dem Gewirr von Gestalten sich heraus erkennen lässt. Figur 4 entspricht der Fiktion, dass in einiger Tiefe des Sonnenhalses ein bewegtes Material rasch in Verfassung übergeführt werde. Die umgebenden Gasmassen werden auseinander getrieben. Zuerst mit wachsender, denn mit einiger Zeit sich gleich bleibender Gewalt des inneren Antriebs wird eine allseitig fortschreitende Verdichtungszone gebildet, die sich bald in grosser Höhe erhebt, ohne dass die gebildeten Gase selbst so hoch emporkommen. Entsprechend einer geringeren spezifischen Dichtigkeit der oberen Schichten schneidet die Welle nach oben zunehmend steiler fort. Die jüngeren Strahlen der Fortpflanzung, die gegen die dichtere Masse nach unten gerichtet sind, erheben eine Art starrer Reflexion γ in sich selbst und der ganze Betrag der Energie verhält sich nach oben, gegen wo die vielleicht kugelförmige, vielleicht mehr ellipsoide Welle, mit im Schnitt starkem Gefälle von σ , sich vorwärtsbewegen ausbreitet. Erst mit dem Nachlassen der Ausbildung im Herde folgt auf den vorschreitenden stellen Wellenberg ein langsam abfallendes Thal. Die vorkritische Höhe der Welle geht Anstoss zu einer Reflexion, wie wir sie unten in, als Fall β (Fig. 2) angeschlossen haben, einer Refraktion, deren Betrag mit dem Wachsen der Welle jenseit der Abnahme ihres Orbits sich sogar vermindern kann, weil mehr und mehr die stärkere Krümmung der Welle sich der schwächeren der Strahlen anschliesst, die Wühlängen der Strahlen innerhalb der Schären wachsen. Die zwei charakteristischen Kerne der Fig. 4 bezeichnen die Begrenzung der als Solifera wirkenden Wellenform, die sich als wachsende Zone über den oberen Chromosphärenrand OC erhebt. Zur Unterscheidung der drei Kerne Krümmungen, 1) der normalen des Strahls A' , so, wie es im Gegensatz zum Chromosphärenrand verhalten würde eine die Gegenwart der Schären, und der normalen Krümmung der Strahlen A und B , soweit diese ausserhalb des Schären verlaufen, 2) der verstärkten Krümmung, welche die Schären des Strahlen A und B erfüllt, 3) der Krümmung des Chromosphärenrandes, und zur Unter- scheidung des Hälles dieses Randes OC von dem etwas tiefer liegenden Orte OC dieses Randes, werden diese Krümmungen und die Höhe der Solifera stark übertrieben. Das auf der Seitenprojektion anzuverfende Protuberanzform P gehört zu den niedrigsten Formen aufsteigender Protuberanzen.

Durch folgende Überlegungen kommt die vorstehende Skizze zustande: Ein Beobachter aus grosser Entfernung würde seine Scherstrahlen nach dem Rande der Sonne, ohne die Gegenwart der Schären, während die Strahlen A und B an der Sonne vorbei in den Himmelsraum verlaufen, nur Strahl A' würde gerade bis zum Rande der Chromosphäre vordringen. In Folge der Gegenwart der Schären werden auch Strahlen wie A und B der Chromosphäre erreichen können. A sei etwa der höchste, für welchen das noch möglich ist, wie haben dann eine Protuberanz von einer Höhe gleich dem Abstände der Strahlen A und A' .

5) Vgl. die Progressivität des Stuttgarter Beobachtungs 1878, S. 8. Seite 2.

Der tiefere Strahl B macht in der Schliere vielleicht einen größeren Weg und dringt dann, weil er ebenfalls ursprünglich dem Sonnenrande näher ist, tiefer in die Chromosphäre ein, als A, verläuft aber, wenn er an der unter dem wärmsten Teil der Schliere verläuft, ist trotz seiner größeren Nähe am Rande sehr Weg in der Schliere so kurz, seine Reflexion so klein, er erreicht die Chromosphäre nicht, die Protuberanz in der Chromosphäre abgeleitet. Aber die Flamme macht daher wenig, dass die etwas höhere Strahl als A' vom Tangential zum Rande werden, viel tiefer e dringt durch die, wenn auch schwache, Wirkung der Schliere wieder gestreut wird. Wir wollen den jetzigen Fall weiter verfolgen, wo die Protuberanz zwischen A und A' keine Unterbrechung erleidet.

Statt also der in der Ebene des Hauptstrahls der Schliere verlaufenden Strahlen untersuchen wir jetzt auch das Verhalten von Strahlen nicht nur links von diesem Hauptstrahl, unsere Figur kann aus demselben als Bild eines zur Strahlrichtung senkrechten Hauptstrahls dienen. Die Chancen für die Strahlen, die Chromosphäre absteigend zu erreichen, hängen von 4 Umständen ab: 1) von der Länge des Wegs durch die Schliere, 2) von der ursprünglichen Nähe des Strahls zum Sonnenrande, 3) von der Größe des Winkels zwischen Strahl und Richtung des stärksten Gefälles der Schliere (Satz 4), 4) von der Größe dieses Gefälles. Chance 1) ist am gleichgültigsten um Umfang des innern concentrischen Kreises, besonders im oberen Schicht a desselben, 2) ist in der Nähe des Chromosphärenrandes, 3) im mittleren Hauptstrahl und zunehmend von unten nach oben, 4) offen zwischen dem concentrischen Kreise und besonders im Mittelstrahl nahe über S. Diesen Chancen entsprechend zeigt sich die Protuberanz mehrere Stufen, rechts und links abnehmend von zwei der weitestenden Höhen, die Grenze auf einem etwas schrägen Bahn nach aufsteigend. Der Lenz wird sich leicht weiter ausmalen, wie er dem weiteren Aufsteigen der Welle die Gestalt noch ändern wird, wie mit wachsender Ungunst der Chance 2) der Strahl über der Bahn sich abkühlt, der Flamme seinen Hint verliert, nur noch die Basis des Stammes und der Höhen sich einige Zeit erhalten unter Vergrößerung des horizontalen Abstandes.

Auf einem Umstand aber bei der Wirkung dieser Art Schliere ist besonders zu achten, der Verfasser verleiht Herrn Dr. O. Wiener, ihn lässt aufzuarbeiten gemacht zu haben: Eine größte refraktive Wirkung haben diese Schliere wohl nicht, wenn wir uns, wie in Fig 5 gesehen, rechts vorlegen, wobei sich aus dem Bild der Protuberanz prüfen, andere, entsprechend dem Unterschied in der Lage der Punkte P und Q in Fig. 5, in dem Raum desselben jenen Orten in höhere Gebiete der Krone. Der zur Protuberanzbildung notwendige Betrag von μ wird ebenfalls kleiner, die Wirksamkeit der Schliere wegen ihres in der Höhe ein größeres Krümmungsradius, ihrer größeren Ausdehnung an der Basis eine vielleicht trotz ihres verminderten Gefälles erhöht. Dabei haben sich die Chancen 1, 2 und 4 gezeigt, dass die Abbrechung der Durchmesser sowohl, als die Entstehung ununterbrochener werden, die Flamme des Flamm mehr in die über wachsenden Zunge übergeht. Die niedrigere Plafond entspricht mehr der Lage der Schliere in der Nähe von P (Fig. 5), die Krümmung mit wichtiger Erhebung mehr der Lage Q der Schliere, wenn auf der aus zugekehrten Seite der Sonne

ausströmenden Kugelwelle, welche mit über den Rand hervortritt, wenn sie in größere Höhe aufsteigen ist.

Selbstverständlich sind auch für diese optischen Schichten von der Art μ (Satz 2) die roten Protuberanzen wahrscheinlicher, als die violetten, um so mehr, je mehr das Profil an deren horizontalen Scheitel über dasjenige an den geneigten Seiten überwiegt, aber die violetten Protuberanzen erscheinen nur bei demselben Beobachtungsabstand unerkennbar, weil sie weit ausgeprägtere genaue Abweichungen von der horizontalen Richtung darbieten. Die Theorien zeigen, dass die Möglichkeit violetten Protuberanzlichtes bei diesem Beobachtungsabstand die seltensten Ausnahmen vorkommt ganz auf die Gegend von Punkt 5 Fig. 4 beschränkt, der zweiten der Bild einer aufsteigenden violetten Bombe gewährt. Im allgemeinen strahlen auch die aufsteigenden Protuberanzen in chromosphärischem Licht, nämlich aber so schwach, dass die metallischen Linien der äußeren Schichten zeigt, während die ruhenden Protuberanzen nur die Linien der äußeren Schichten aufweisen.

Die Geschwindigkeit der aufsteigenden Protuberanzen ist demnach nur in ausserordentlichen Fällen nachweisbar erklärbar. Die häufigere Wiederkehr von Geschwindigkeiten zwischen 100 bis 200 Kilometern deutet darauf hin, dass von so hohem Betrage die Wellengeschwindigkeit in dem kosmischen Äther werde. Dieser Wellengeschwindigkeit würde eine malakalische Bewegung von gegen 300 Kilometern Geschwindigkeit entsprechen. Darauf in Harmonie ist die ungeheure Erhohung der Roten, welche weit über die höchste Protuberanzhöhe hinausragt, mit einer metallischen Geschwindigkeit von 412 Kilometern würde ihre Kurvenform in dem Weltraum bedenten. Für die häufig beobachtete Zunahme der Geschwindigkeit nach oben geht es 2 Ursachen. Die wahrscheinlichste Ursache der spezifischen Beschleunigung ist der Einfluss von der Sonne und die mit der Annäherung an den Sonnenrand wachsende optische Verkleinerung der Höhe der Atmosphärenschichten, eine Wirkung der normalen Refraktion. Unerschöpflicher ist in dieser optischen Verkleinerung können auch die Wechsel von Verengungen und Beschleunigungen aufsteigender Protuberanzen erklären.

4. Die Chromosphäre.

Die Chromosphäre trägt das Merkmal der unzeitigen Dispersion (Satz 4) in ihrer roten Färbung. Von einer zeitigen Dispersion sind (vergl. meine Schrift S. 20 und 21) am Rande der violetten Schicht keine merklichen Anzeichen zu erwarten, dagegen müssen dort die Wellenlängen der unzeitigen Dispersion um so häufiger auftreten. Das Licht des Sonnenrandes der ganzen Chromosphäre, so schwach, dass unter Ablenkung durch die kleine Refraktion mit streuendem Winkel $\varphi_1 = 90^\circ$ über den Rand ausstritt. Das ganze Refraktionsvermögen in diesem Gebiet eine Strahlablenkung nach dem Innern der Sonne, nicht nach außen zu, wenn ein Auge Blut einer mathematischen Kugelwelle vom Radius r , wenn wir uns eine hohe Schicht denken, in welcher unter offener Winkelmessung unregelmäßig wechselnd und lokal begrenzt die Wellenlängen der Randöffnung auftreten (Satz 4). An jedem dieser Teilstrahlen treten neue unzeitige Dispersionen auf. Die weit ausgeprägtesten Schichten dieser kollektiven Schicht sind von horizontal gelagert und vertheilert

Jede Ausbildung höherer Protuberanten im oberen Schicht wohl sehr häufig, aber immer nur in sehr beschränkter lokaler Ausdehnung, treten die geringsten Schichten auf. Ihre refraktiven Wirkungen komprimieren sich bis auf einen Grad, der eine allgemeine Refraktionsveränderung solcher Strahlen erzeugt, welche der horizontalen Richtung nahe sind. In Folge davon tritt ein Teil derjenigen Strahlen, welche unter der kritischen Spitze ihre Kohärenz nach unten verlieren sollten, nach unten und strömt andererseits der Rand der wirren behaarte eine kleine Depression unter einer normalen Höhe, wodurch ein tieferer Schichten des äußeren Schicht enthält werden. Die Protuberanten über der Chromosphäre sind nur eine Fortsetzung der Schichtenbildung in denselben, mit dem Unterschiede, dass vom Chromosphärenrande an die Abmahlung grosser Schichten aus der horizontalen Lagerung erleichtert wird, wohl im Zusammenhang mit einer Verminderung der optischen Dichtigkeit, mit dem Übergang aus der Wasserstoffatmosphäre in die ausserhalb liegenden Gasen. Es ist innerhalb der Chromosphäre eine Bildung kleiner Protuberanten nahezu möglich, die genau gegen eine vertikale Schicht zeigt einen aufsteigenden Übergang vom Licht der metallisch leuchtenden Schichten zur Wasserstoffschicht. Die schwarzen Ausbuchtungen des Sonnenrandes sind ein Hauch kleiner Protuberanten einer Art, während die aufsteigenden weissen Bomben im Korona dergestalt aus von weissen Protuberanten zweiter Art sind, welche die grosse Verdichtung der Korona ausmachen.

Es erklärt sich auch die Chromosphäre als Erzeugnis ausserordentlich hoher Refraktoren. Bei ungenügender Contactfähigkeit der Lagerung der Sonnenmasse würde sie auf einen inneren schmalen Strahl von Wasserstofflicht beschränkt sein, dergestalt Schichten entsprechend, welche von unserem Auge aus Sonnenrande gesehen in spiralförmigen Bahnen und nach unten wieder verlaufen würden.

Eine ungewöhnlich grosse Sonneprotuberanz.

Am 24. Dezember 1874 beobachtete P. J. Faye in Kopenhagen eine Protuberanz von ganz ungewöhnlicher Grösse. Er fand $9^{\circ} 15'$ gegenüber Zeit am westlichen Sonnenrande zwischen 20° und 30° südlicher Breite ohne sehr hellen aber sonst nicht besonders bemerkenswerten Protuberanz von $220''$ Höhe. Nachdem der Beobachter den ganzen Umfang der Sonnenscheibe durchgemessen hatte, kehrte er an jener Stelle zurück und fand $12^{\circ} 15'$ die Protuberanz $310''$ hoch, im Zustande rascher Entwicklung. Er bestimmte aus durch wiederholte Messungen die zunehmende Höhe bis $12^{\circ} 15'$ als das Geschilde sich wieder auflöste begann. Von $12^{\circ} 15'$ bis $10^{\circ} 17'$ war die Protuberanz in einem Zustande von verhältnissmässiger Höhe. Sie stieg während dieser Zeit mit einer Geschwindigkeit von etwa 16 Kilometer in der Sekunde an. Von $10^{\circ} 15'$ bis $10^{\circ} 35'$ wuchs sie plötzlich mit der grossen Geschwindigkeit von 121 Kilometer pro Sekunde, worauf ihre Geschwindigkeit sogar noch mehr zunahm, bis das Ganze in $10^{\circ} 50'$ $31''$ die ungeheure Höhe von $11^{\circ} 17'$ oder $1/3$ des Sonnenhalbmessers erreichte. Der rascher folgende Auflösung geschah ebenso rasch wie die Entwicklung, aber

weniger gleichförmig. Um 11^h 30^m hatte die Protuberanz nur noch 1,7^h Höhe und 15^h 5^m sah man an ihrem Oboe blasse noch eine schwache Färbung, um 1^h war dort nichts mehr wahrzunehmen. Sehr bemerkenswert ist, dass die Protuberanz ebenfalls lange in einem Zustande verhältnissmässiger Ruhe verharrte, dass aber plötzlich und heftig ausserhalb und endlich bei ihrer Auflösung 188g im ausseren Niveau der Chromosphäre verschwand. Die Struktur dieser Protuberanz war die nämliche wie jene der beiden grossen Protuberanzen vom 19 und 20 September 1895. Sie bestand in der Hauptmasse aus hellen Rändern oder Streifen, welche gewissermassen in ein Bündel zusammengefasst waren, das in der Verlängerung des Sonnenstrahes lag. Die kleinen Fäden waren hier und da so schwachen, langlichen Fragmenten zusammengeheftet, welche sehr hell in der Mitte aber dünn an den Rändern erschienen. Dieses Aussehen wurde vielleicht durch die rasche Bewegung in der Gesichtslinie verursacht. Verschiebungen des Bildes hinwärtig gegen Ost und hinwärtig gegen West, trugen dem Beobachter, dass die Bewegung in der Gesichtslinie vorherrschender ebenso schnell war als diejenige des Empfindens. Die Auflösung der Protuberanz geschah von oben nach unten fortwährend, indem die oberen Teile schmelzten und verschwand. Die Linie von der Wellenlänge 4677, welche gewöhnlich bei solchen Eruptionen sichtbar ist, war dieses Mal nicht zu sehen. Es war also kein leuchtendes Gebilde auf der Sonnenoberfläche vorhanden, welches in Beziehung zu dieser Protuberanz gebracht werden kann.¹⁾

Über die Ursache der Granulation der Sonnenoberfläche *)

Von J. Schaller

Über die Dichtigkeit der Gase an der Sonnenoberfläche, d. h. in den obersten Schichten der Photosphäre, geben die Ansichten der Astronomen weit auseinander; im allgemeinen scheint man diese Dichtigkeit als eine sehr geringe anzunehmen. Bereits vor einigen Jahren habe ich darauf aufmerksam gemacht (Speker, d. Gest. p. 209), dass man zu Zerkunft Sonnenflecken nur unter Berücksichtigung des Umrandes aufstellen sollte, dass die Dichtigkeit der Gase an der Oberfläche der Sonne von dort unvorstellbar geringen Grade sei. Bei den meisten der bisherigen Sonnentheorien ist diese unethische Annahme nicht genügend beachtet, so dass die Vorstellungen auf der Sonnenoberfläche, die wir zu beobachten Gelegenheit haben, als gewaltige und gewaltige Umwälzungen erscheinen, die Vorstellung, die unter der Annahme sehr geringer Dichtigkeiten vollkommen erschwebet.

Die Gründe für die Annahme sehr geringer Dichtigkeiten brauchen wir hier nicht näher auseinander zu setzen, es genügt der Hinweis auf die geringe Breite der Spektrallinien und auf die Thatsache, dass die Kernten, welche sehr nahe der Sonnenoberfläche vorüber gehen, keine nachweisbare Störung ihrer Bahn durch Widerstandskräfte erfahren haben.

*) Astronomical Journal L. Nr. 3. p. 211.

*) Astr. Nachr. Nr. 2775.

Dass von hoher Temperatur und sehr starker Verdünnung behaften sich in nahe Meeres Zugende, und auf dieselben können daher die Gesetze der mechanischen Wärmelehre im vollen Umfange angewandt werden, Herr Egan v. Oppolzer hat dieses günstigen Umstand benutzt und in seiner sehr beachtenswerthen Schrift: Über die Ursache der Sonnenflecken, Sitzungsber. d. Wien. Akad. 1868, in genau entsprechender Weise, wie dies in der neuen Meteorologie geschieht, eine streng mathematisch ergebende Fleckentheorie entwickelt. Selbst wenn man nicht mit allen Schlussfolgerungen dieser Theorie einverstanden sein sollte, würde doch Herr v. Oppolzer das Verdienst gebühren, weitestens den Weg gezeigt zu haben, auf welchem nachfolgende Darlegungen der Erscheinungen in der Sonnenatmosphäre zum Ziele führen werden.

Ich glaube, man noch einen Schritt weiter gehen zu können durch Anwendung der für die Meteorologie von so fruchtbringender Heiligkeit gewordenen Helmholtz'schen Untersuchungen über Wolkenbildungen in unserer Atmosphäre auf der Sonne.

Nach der Helmholtz'schen Theorie entstehen beim Ueberschneidungsflusse zweier Luftschichten von verschiedener Temperatur, also verschiedener Dichtigkeit, Luftwirbel in der gleichen Weise, wie beim Hinfließen von Luft über Wasser. Ist die untere Schicht mit Wasserdampf nahe gesättigt, so findet in den Wolkenbergen durch Druckveränderung Kondensation statt. Die Wolkenberge zeigen sich unter diesem Umstande als Wolken, die Täler als keine Zwischenräume, es entstehen also die mehr oder weniger regelmäßigen Reihen der Cirruswolken. Erhöhen die Anstöße zur Wolkenbildung zu zwei verschiedenen Richtungen, so durchkreuzen sich die Wolkenberge, und es tritt dann die als Schichtwolken bekannte Figur auf. Helmholtz hat gezeigt, dass unter der Annahme der Temperatur von 0° und 10° für die beiden Schichten bereits bei der geringen Windgeschwindigkeit von 10 m in der Richtung Wellen von nahe einem Kilometer Länge entstehen können und bei starken Luftbewegungen Wellen bis zu 50 Kilometer Länge, die sich kaum nicht mehr als solche durch den Anblick erkennen, sondern als zusammengehörige Ebenen in die Erhebung treten.

Die genaue Ähnlichkeit im Ansehen der Photosphäre mit einem ruhigen Cirrusgerüst ist schon lange bekannt, und die Vorbedingungen für die Anwendung der Helmholtz'schen Theorie auf die Sonnenatmosphäre sind wirklich vorhanden. Die Krümmung verschiedener Schichten von verschiedener Temperatur, Zustand der Übersättigung mit kondensationsfähigem Gase (in der Photosphäre), verschiedene Strömungen in den verschiedenen Schichten. Ich bemerke drumach die kleine Kürze der Photosphäre als die durch Kondensation sehr weitgestreckte Komplexion sichtbar gewordenen Wellenberge sich durchkreuzender Wellenberge.

Das vermerkte Kondensations in den Wolkenbergen bedingt noch eine Abnahme des spezifischen Gewichtes und damit ein Fortoben dieser Berge, sich noch höher zu erheben, als aus der Theorie allein folgt.

Ein abschließiger Hinweis gegen die Zuthätigkeit der oben kurz angedeuteten Erklärung der Sonnenrotation könnte zu H. nur dann gegeben werden, wenn die Länge der Wellen aus der Sonnenoberfläche,

also der mittlere Abstand der einzelnen Körner von einander zu un-
 gleichen Werten der Temperaturdifferenzen oder der Geschwindigkeiten
 führen sollte. Eine genaue Nachsage ist nicht durchführbar, da der
 Spielraum in der Wahl der Konstanten auf der Seite des zu grosser
 ist. Dagegen kann man leicht erkennen, dass zufolge der hohen
 Temperatur für das Halbbalken sehr r ein sehr günstiger Wert wahrschein-
 lich wird, und damit Walfahnen von der verlangten Grösse — 1"
 bis 2" = 1000 Kilometer — auch ohne überaus hohe Windgeschwindigkeit
 leicht realisieren.

Genau der Umstand, dass die Grenzlinie ziemlich gleichförmig
 über die ganze Oberfläche verläuft ist, und dass besonders hoch im Ver-
 hältnis zur mittleren Grösse der Körner auffallende Gebirge derselben
 verkehrt, etwa in der Art, wie in unserer Atmosphäre das Verhältnis
 zwischen Cirrus- und Nagenwolke besteht, lässt die oben angelegte
 Erklärung der Grenzlinie wahrscheinlichere erscheinen als die bisherigen
 Erklärungsmethoden.

Ich möchte an dieser Stelle auf weitere Folgerungen aus meiner
 Annahme nicht eingehen und nur etwa derselben hier andeuten, dass
 nämlich hienach die Photosphäre als eine verhältnissmässig sehr dünne
 Schicht aufzufassen ist, etwa von der Ordnung der in ihr vorhandenen
 Moleküle, d. h. also von einer Dicke von nur wenigen Billionen
 Theilen, und dass ferner die Strömungsgeschwindigkeiten der hier in Frage kom-
 menden Schichten in den verschiedenen heliographischen Breiten nicht
 allen sehr verschieden zu differenzieren seien. Hierüber würde eine
 genauere Untersuchung der mittleren Grösse der Grenzlinie in den ver-
 schiedenen Breiten interessante Aufschlüsse geben können.

Die neuen Handphotographien der Pariser Sternwarte.

Esse wichtigen Fortschritt auf dem Gebiete der Heliographie
 bewirken die neuen Photographien, welche auf der Pariser Sternwarte
 von dem Herrn Lœwy und Foucault erhalten worden sind. Als Instrument
 diente das grosse Apertural Objectif, dessen Anordnung bekanntlich von
 Herrn Lœwy erdacht wurde. Die Öffnung des Objectivs beträgt
 50 Centimeter, also 20 pariser Zoll, und der Durchmesser des Himmels-
 abbildes ist 10 Centimeter. Zwei Objectifs, über welche von Herrn
 Direktor Follé der Belgischen Akademie der Wissenschaften berichtet
 wurde, zeichnen sich durch überaus scharfe und deutliche des
 Details aus. Mittels der Lupe erkennt man auf ihnen z. B. das Kollim-
 system nahe beim Krater Tröscheler in seiner rechten Verzweigung.
 Solche Gegenstände setzen, wie Hr. Follé hervorhebt, *) nicht nur eine gewisse
 Geschwindigkeit seitens der Operationen an der photographischen Kamera,
 sondern auch sehr grosse instrumentelle Fertigkeit voraus. Diese haben die
 Herrn Paul und Prosper Henry von der Pariser Sternwarte in außer-
 ordentlicher Weise zu erreichen gewusst, denn ausgeschlossen der doppelten
 Reflexion an dem Hauptspiegel sind die Bilder von grosser Schärfe, bei

*) Bull. de Liège, revue de Belgique XXIX. No. 3. 1895.

einer Expositionsdauer von nicht über 1 Sekunde. Herr Professor W. Prinz hat von einigen Teilen der Originalplatte vergrößerte photographische Reproduktionen angefertigt und gibt dazu folgende Erläuterungen:

„Die beiden vom 18. Februar und 18. April 1904 datierten Uchida haben einen Durchmesser von 171 und 132 Millimetern. Ich habe die mittels direkter Projektion etwas über 11fach vergrößert, so dass die ganze Mondoberfläche unter denselben Verhältnissen 2 Meter groß erscheinen würde (also genau so gross wie die bekannte Mondkarte). Bei dieser Vergrößerung, die ausreichte, um das Klüftungswelt deutbare Relief der Mondoberfläche erkennen zu lassen, wird das Korn der Platte wenig sichtbar. Die mikroskopischen Messungen des Mikrometerschriebes der Platte ergaben im Durchschnitt des Millimeters (μ) für die französischen Platten Durchmesser von 13 bis 3 μ . Für die amerikanischen Durchmesser von 3 bis 5 μ . Hellen nimmt an, das Korn seiner Platten habe 0,0001 Meter = 1 μ , was gut mit dem Durchschnitt unserer Messungen übereinstimmt. Löffler hat er aber die Angabe der grossen Durchmesser vergessen. Der japanische Astronom sagt (Jik. Observ. III pag. 16) nach, das Korn der Platten korrespondiere an Größe einem Objekt auf der Mondoberfläche von 0,08 engl. Meilen = 129 Meter, was ebenfalls mit meinen Messungen übereinstimmt. Die lichtempfindliche Schicht der amerikanischen Platten zeigt überdies auch Ausbuchtungen von Körnern, die 40 μ erreichen. Man hat hiernach für die Fokaldistanz des Lochplatten von 137 Millimeter Durchmesser folgende Größen auf der Mondoberfläche:

$$\begin{aligned} 1 \mu &= 75 \text{ Meter,} \\ 3 \mu &= 225 \text{ „} \\ 40 \mu &= 1000 \text{ „} \end{aligned}$$

Es giebt also Körner und Flecken auf gewissen Platten grösser als die von Herrn Wetack gedruckten Objekte. Sollte die des III. Bandes der Loch-Obj. sagt er selbst, die Silber haben 5 μ Breite. Das Ferner Negative hat 171 Millimeter Durchmesser, das giebt für die ganze Mondoberfläche in der obigen Vergrößerung 1000 Millimeter. Demnach ist 1 Millimeter etwa gleich 1000 Meter auf dem Monde und es ist leicht zu sehen, dass die Vergrößerung keine Exalter von dieser Grösse noch unvorteilhaft sagt.

Auf die Flecken der Platten und die schliesslich Details vorrückend, welche die positiven Kopien zeigen und die man als voll angegeben hat. Die Uchida des Herren Loewy und Frensch, abgesehen sie an Feinheit alles Vorherige übertraffen, zeigen von diesem Details nicht. Es ist hervor zu bemerken, dass man auf sammtlichen Platten Inanfertigkeitserwerb der Silber findet, ebensowohl wie in der hellen Partie und in dem schwarzen Schatten. Folglich muss der Frage, welcher diese Osmontitionen die wirkliche Objekte der Mondoberfläche angeht, auch schliessen, dass die Photographie in dem schwarzen Schatten der Mondoberfläche Objekte darstellt, obwohl solche der direkten Wahrnehmung entgehen.“

Die mir vorliegende Vergrößerung des Ferner Negative durch Herrn Professor Prinz habe ich mit grossem Interesse geprüft und begreife vollkommen die Leidenschaft, welche dem Original gespendet werden. Man kann in der That kaum etwas Schöneres und Flächreicher

sich vorstellen, als dieses große Mondbild mit einem, im Vergleich zu den Vergrößerungen anderer Negative, relativ scharfen Konturen. Von den Konturen, von Strahlen und dem Mond's wirklich gesehenen Rillen und sonst unbekanntem Details weiche die Lack-Photographieen ungelobt abigen sollen, sagt die vorstehende Vergrößerung der Pariser Ghelais selbstständig nichts.¹ Was sie im wirklich klar erkennbaren und kostbaren Details bietet, liegt durchaus innerhalb der von Herrn Professor Prinz angegebenen Grenzen. Wer diese Luge nur Hand rührt und damit die vergrößernde Wirkung der Original darstellt, wird allerdings innerhalb der Grenzen des Gewisses mit einiger Phantasie vielerlei Geirungen hüten können, sofern es genügt die geringste Bestimmung, um sich zu überlegen, dass es sich hier nicht um Realität handelt. Auch Gerichter kann man aus dem Wirrwarr der Originalien mit der Luge heranziehen und diese Thatenbe erweist sich selbst im Lichtensetze Herstellung eines wunderbaren Naturbeobachters, durch dessen nicht gar dichtes Gewebe, welches noch dazu aus ungleichem Fäden bestand, die weissen Wood durchdringen und wodurch eine unzählbare Menge der schlammigen und drückeren Gerichter sich zeigte. Es kommt eben nur auf die Einbildungskraft an, mit der man ein Gewir von Punkten und Fäden zu einem bestimmten Bestimmt und doch nur ganz zufällige Gruppierungen zeigen, nach einer wenn kleinen Kräfte auf gut Glück über eine ebene Fläche gestreut werden. Herr Professor Schöler macht bei seiner Bearbeitung des Originalen im Hirkolo: damit aufmerksam, dass so diesem im unendlicher Bestimmung durch Anwandern des kleiner, seiner Stellen schöner der Eindruck von Rastlos entsteht, die Natur wirklich als solche beschrieben hat. Er weist auf ein ähnliches Experiment hin, welches beweist, dass bei zufälliger Anordnung von kleinen geraden kleinen Gruppierungen entstehen können.² Gerade daselbst gilt von der Grundlinien der photographischen Platten.

Professor George E. Hale weist auch ebenfalls die Meinung, dass auf den Photographien der Licht-Sonnenwerte Mondkanten von weniger als 0.004 Zoll Durchmesser wiedergegeben seien, zurück. Er glaubt, sagt er, dass diejenigen Helmiographen, welche Prof. Wenzel's Entdeckungen dieser Art unmerklich gefolgt haben, die nämlichen helmiographischen hüten werden annehmen, dass die Licht-Negative Kontur und Rillen zeigen, die von absolut Dimensionen vergleichbar sind der Größe des Korns der Platten. Der ganze Licht-Erfahrung im bei voller Öffnung kann in einem, eines Doppelsens von 0.1" Durchmesser völlig zu trennen, selbst bei hater Licht und stärkster Vergrößerung. Es ist übrigens zu bemerken, dass die Mondphotographien der Licht-Sonnenwerte konvergieren mit der vollen Öffnung der photographischen Linse, welche etwa 13 Zoll beträgt, erhalten werden, jedoch zeigt sich, dass die schärferen Bilder sich zeigen, wenn die Öffnung des grossen Objektivs auf 8 englische Zoll verkleinert wurde. Die Photographien entsprechen also demjenigen, welche ein vollkommenes photographisches Objektiv von 8 Zoll Öffnung und 48 Fuss Brennweite gibt.

¹) Vergr. Sonn. 1880, Sonn. 18.

²) Astron. Journal 1 No. 3, p. 181

Der Vergleich der mir vorliegenden Vergroßerung mit der Schmidt'schen Mondkarte, ist sehr interessant. Der vergrößerte Teil des Original-Negatives umfasst die Mondpartien der südlichen Hälfte des Mondes, besonders die Teile von Cassini bis Walker, welche bei der Aufnahme eines geeigneten Beobachters hätten, um klar und plastisch hervorzutreten.

Wer den Mond selbst kennt, kann nicht im Zweifel sein, dass wir in dieser Aufnahme und zwar auf dem Material der Schmidt'schen Mondkarte vergrößerter Reproduktion ein astronomisches Material von außerordentlich hohem Werte besitzen. Neben an überflüssiger Vergleich mit der Schmidt'schen Mondkarte lehrt, in wie ungleich besserer Weise die Photographie den schattigen Zusammenhang der verschiedenen Bergformen der südlichen Mondfläche klar legt als die Karte; andererseits aber liefert die Photographie erst den richtigen Baustab zur Beurteilung der ragenen Seiten, welche in der Mondkarte von Schmidt andergelegt im Licht nur aus von dem grossen Detail, von dem Eingeborgten mit ihren verdrängten, nacheinander geschoben, verdrückt oder sonst ungenügendes Willen und Gelingenformen in den kleinen und kleinsten Mondformationen über und vergleicht die Karte mit der vergrösserten Photographie, so findet sich folgendes: Das kleinere Detail von Kratern, welches die Photographie enthält, ist, soweit es sich um deutlich erkennbare Formen handelt, in der Schmidt'schen Mondkarte vollständig dargestellt, doch finden sich manche Krater hier in abweichender Grösse oder Ansehenfähigkeit wiedergegeben, die aus nach der Photographie zu ändern ist. Dagegen zeigt die vergrösserte Photographie auch in den Partien nahe der Längengrenze von den ebenso zahlreichen sehr kleinen Kratern der Schmidt'schen Karte nur selten Andeutungen. Die Karte ist in dieser Beziehung in sehr viel reichhaltiger als die Photographie, dass im Vergleich beider überhaupt nicht richtig ist. Um diese Tatsache zu erweisen, bedarf es gar keine sprachliche astronomisches Kenntnisse, die kostet sich von selbst der für Jeden, der eine Karte zu lesen und sie mit einer photographischen Vergrößerung zu vergleichen versteht. Wenn man nun anderwärts aus eigenen Beobachtungen und Vergleichungen mit der Schmidt'schen Karte, dass diese letztere auch bezüglich des kleineren Details an Kratern und dergl. (der sogenannten „Masse der Sichtbarkeit“) einen sehr hohen Grad von Zuverlässigkeit besitzt, so ergibt sich unzweifelhaft, dass die besten heutigen Mondphotographen in Bezug auf Menge des kleineren Details mit Sicherheit erkennbaren Details, der Schmidt'schen Mondkarte ganz erheblich nachstehen. Es ist notwendig, dies immer wieder von neuem zu wiederholen, da von Einzelnen, die offenbar nicht genügend mit den Tatsachen bekannt sind, behauptet wird, die Mondphotographien überträfe an Detailreichtum die beste Mondkarte. Dies ist in Wirklichkeit aber so wenig der Fall, dass auch bezüglich der verlässlichen neuen Mondphotographien der Pariser Sternwarte noch immer diese Behauptung bestehen bleibt: die zuverlässigste Refraktor zeigt im allgemeinen am Monde mehr Details als die beste vergrösserte Mondphotographie.

Dr. K. L. v. S.

Die säkularen Schwankungen der Bahnen der vier inneren Planeten.¹⁾

Bekanntlich ist die wirkliche Bewegung des Perihel der Merkur grösser als die unter Berücksichtigung der Wirkung aller bekannten Planeten berechnete. Leverrier hat dieses nicht bemerkt und der Wirkung einer noch unbekanntem Gruppe von Planeten zwischen der Sonne und der Merkurbahn zugeschrieben. Eine solche Gruppe muss aber auch Auförungen der anderen Elemente, und zwar nicht allein des Merkurs, sondern auch der Venus und selbst der Erde herbeiführen. Prof. Newcomb hat daher die Theorie der vier der Sonne nächsten Planeten vom Gegenstand einer eingehenden Studie gemacht und ist zu den nachstehenden Ergebnissen gelangt.

Seine Untersuchung lagte in 100 Merkurbeobachtungen der Sonne, von Merkur, Venus, Mars und alle guten Beobachtungen der Durchgänge von Merkur und Venus vor der Sonnenscheibe zu Grunde, sowie die nachstehendes Messen der Planeten, von denen die Messen von Merkur, Venus und Jupiter aus den durch diese Planeten hergeleiteten periodischen Störungen abgeleitet sind, die Messen der Erde aus der Sonnenparallaxe $8.8''$ (dem Mittel aus den besten Bestimmungen) und die Merkmassen aus den Halbjährlichen Beobachtungen der Maximumhöhe. Prof. Newcomb nahm die

Masse des Merkur = $\frac{1}{1083300}$ die der Venus = $\frac{1}{421770}$ die Erd-

masse = $\frac{1}{332940}$ die Masse des Mars = $\frac{1}{3168300}$ die Jupitermasse

= $\frac{1}{1047.26}$. Diese Werte und die bekannten Massen der übrigen Planeten

gehen theoretisch die Schwankungen der Bahn Elemente, welche mit den beobachteten verglichen wurden. Hierbei zeigte sich Unvollständigkeit, von denen drei besonders durch ihre Größe auffielen, nämlich die Perihelbewegungen des Merkur und Mars und die Bewegungen des Knotens der Venus, auch die Bewegungen des Knotens und der Exzentrizität des Merkur waren von dem theoretisch berechneten Werte um Größen ab, die bedeutender waren als die wahrscheinlichsten Fehler.

Wenn diese Abweichungen reell sind, könnten sie zwei Gründe haben. 1) Könnte man zur Erklärung der Perihelbewegungen des Merkur und Mars annehmen, dass die Newton'sche Gravitationsgesetz nicht genau richtig ist, dass die Anziehung der Sonne nicht abnimmt, wie das 200000000 te Potenz der Entfernung, eine Annahme, die Bessel & Hall, wie es scheint zuerst, ausgesprochen. 2) Könnte man diese Abweichungen bisher noch unbekanntem Massen im Planetensystem zuschreiben.

Auf den ersten Fall könnte es scheinen, dass die zweite Hypothese wahrscheinlicher sei. Sie scheint a priori nämlich wahrscheinlicher, dass sie verhängt keine Veränderung eines allgemeinen angenommenen Naturgesetzes und erfüllt alle unsere den Abweichungen der Perihelbewegungen auch noch die anderen, während, wenn man die erste Hypothese

¹⁾ Compt. rend. 1884, T. CXXX, p. 154.

nehmen, war die Parabel sich ändern würde. Aber wo soll man jene Masse herbringen? Ein der Sonne näher Ring von Planetoiden müsste zur Ekliptik eine Neigung von 6° haben, um gleichzeitig die beobachteten Bewegungen der Parabel des Merkur und des Knotens der Venus herzubringen. Wäre dieser Ring der Sonne nahe, dann müsste seine

Masse $\frac{1}{11000}$ der Sonnenmasse betragen, und er würde dann sowohl

aus wirklicher Ekliptik der Gestalt der Sonne hervorbringen, als auch aus reiner Lichtmenge reflektieren, was bisher nicht beobachtet ist. Eine solche Masse würde auch, wenn sie sich in der Nähe der Ebene der Ekliptik bewegte, eine noch größere Abweichung der Bewegung des Venus-Knotens verursachen, als sie beobachtet. Endlich zeigte sich, dass man den Ring zwischen die Bahnen von Venus und Merkur verlegen muss, wenn man gleichzeitig die Aufzehrung der Elemente dieser beiden Planeten erklären will, und die ursprünglichen Elemente dieses Ringes wären folgende Werte haben: Halber Abstand = $0,66$, Excentricität = $0,04$; Länge des Perihels = 10° ; Länge des Knotens = 30° , Neigung

gegen die Ekliptik = $3,5^{\circ}$ Masse = $\frac{1}{20000000}$. Obwohl diese Hypothese die Abweichungen unter den astronomischen Fehler berücksichtigt, betrachtet ich sie mehr als eine Kuriosität, wie als eine Realität. Es scheint mir nämlich unmöglich, dass eine solche Gruppe der Körperchen zusammen sein könnte.

Betrachtet wir uns die andere Hypothese! Sucht man diejenigen Werte der Planeten Massen, welche, abgesehen von den Parabeln, die beobachteten säkularen Schwankungen hervorbringen würden, so findet man das bemerkenswerte Resultat, dass die richtige Masse, die um Bedeudendes geändert werden müsste, die der Erde ist. Diese Änderung verlangt eine beträchtliche Veränderung der Sonnenparallaxe. Nämlich man muss für diese Konstante den Wert $8,77''$ und für die Massen von Venus und Merkur bere-

chnen $\frac{1}{20000000}$ und $\frac{1}{50000000}$ so können alle säkularen Schwankungen ebenfalls gut durch die Hypothese von Hall dargestellt werden, und mit dem Werte $8,77''$ für die Sonnenparallaxe ist keine weitere Änderung in den Massen der anderen Planeten notwendig. Obgleich ich will eufertig bin, diese Hypothese als gut begründet zu betrachten, scheint es mir, dass man sie als provisorische anzunehmen kann.¹⁾

Vermischte Nachrichten.

Der veränderliche Stern 3416 S Telescopii, am südlichen Himmel, bildet nach Prof. Hübner von Doppelsternen, in welchem ein schwach leuchtender Hauptstern von einem hellen aber kleineren Begleiter umharrt wird. Der Hauptstern ist hienach 8,25, der Begleiter 6. GröÙe Wenn der Veränderliche im kleinsten Lichte erscheint, so sendet er nur

¹⁾ Astronomische Nachrichten. 1880. Nr. 7.

der Haupters Licht zu und dies dauert länger als 6 Stunden, im Maximum kommt uns dagegen das Licht beider Komponenten zu und dies verschwindet als Sonne 785 Grasen. Prof. Roberts drückt sein Bedauern darüber aus, dass auf der südlichen Erdhalbkugel sich kein Spektroskop befindet, welches kräftig genug ist, das Veränderten in den verschiedenen Phasen zu beobachten und die Bewegungen der beiden Komponenten genauer zu verfolgen. Ein 24 zölliges photographisches Teleskop wird nächsten die Kapsternwärts geschickt, wofür Hr. Keeler macht ein Recht darauf anzuweisen, dass selbst ein solches Instrument schwerlich im Stande sein dürfte, die Lichtverschiebungen im Spektrum eines Sterns 5. bis 6. Größe zu zeigen.]

Über einen neuen Meteoriten bringt „The American Journal of Science“ im Januar-Heft von 1876 nachfolgende Mittheilungen von Henry A. Ward: Derselbe wurde im Jahre 1852 von einem Hrn. John Jeffer aus Kymet auf einem Felde seiner Farm, etwa 6 Meilen südwestlich von der Stadt Plymouth in Marshall County, Indiana, gefunden. Schon im Jahre 1872 fand der Gemeinderath auf demselben Felde eine andere grössere Masse desselben Eisens, und selbige hatte abgegräbt 4 F. in der Länge bei 2 F. ihres höchsten Durchmesser und lief in ein schmales Stück von 5—8 Zoll im dem oberen Ende aus. Sie lag da bis zwei Jahre nahe der Oberfläche des Bodens, als sie das Pflügen des Ackers erzwang, sie unter und den Besitzer zwang, sie tiefer in die Erde zu versenken, wo Hr. Ward von ihr hörte und eine Analyse des Eisens veranlassen. Selbige wurde von J. M. Durmon im Reynolds's Laboratorium der Universität von Rochester analysirt und ergab an Eisen 88,00, an Nickel 3,25, an Kobalt 0,60, an Kupfer 0,24, an Phosphor 1,25, an Graphit 0,11, an Schwefel 0,17 $\frac{1}{10}$. Das Eisen selbst ist durch Oxydation tief angegriffen, so aber, dass es, frei von Schuppen, stängeln weissen von sehr sprödeartigen Kruste gibt. Die charakteristischen Zeichen der Meteoriten sind aus diesem Grunde nicht nur schwach vertreten, obgleich sie ganz deutlich sichtbar sind. Auf abgewinkeltem stählernen Kanten die bekannten Widmannstätten'schen Figuren seltene verästelter Salpetersäure dargestellt wurden. Ebenso fand man einige kleine Körner von Troilit.

Ein spektakulärer Strassenastronom. Die unglücklichsten Astronomen, welche auf dem Platzen mancher Grossstädte ihr Volk stups anstellen und gegen Erlegung einer geringen Summe einen zufälligen Blick ins Weltall gestatten, können sich überall lebhaften Zuspruchs erfreuen. Auch in London sind dergleichen „Astronomen“ nicht selten, von denen besonders einer durch ein ausserordentlich sehr gutes, den Mond und den Mars in sehr klärender Vergrößerung und mit wunderbaren Einzelheiten aufgelöseter Ferne sehr interessante ansetzt. Dies ging das Werk ganz gut, im eines Tages ein Astronom der Sternwarte zu Greenwich zufällig noch einmal bei seinem „Kollagen“ besuchte, d. h. statt die durch das besagte Kollagen that und darin den Mond in einer ganz merkwürdigen Verfassung erblickte. Das Kontarfen des Mondes, das er im Tubus sah, war, wie er bald darauf feststellte, eine Zeichnung auf einer

1. Astrophys. Journ. 1876. 2. Bd. 3. p. 104.

Neuen Glasplatte, die durch eine geschicht im Fernrohr angebrachte Lampe beleuchtet wurde. Viele Hunderte haben mit grossem Interesse dem fälschen Mond ins Antlitz gesehen und seine Eigenschaften bewundert, ohne dem Scheinbild zu merken. Der Beobachter hatte noch eine ganze Menge Platten bei sich, mit welchen er der jeweiligen Konstellation der Gestirne Nachsicht trug.

Diese Erfindung erinnert an ein Verfahren Wilhelm Herschels, um dem König Georg unter allen Umständen, d. h. auch bei bedecktem Himmel den Saturn zu zeigen. Herschel schritt eine parabolische Darstellung des Saturns aus einer achsenabköhigen Platte heraus, beklebte sie mit Colopaper und stellte dieses künstliche Saturn, durch eine Lampe von hinten erleuchtet, in so grosser Entfernung von seinem 20-füssigen Teleskop auf, dass das Ganze im Fernrohr täuschend dem wirklichen Saturn ähnlich sah. Der König war davon sehr befricdigt und der Sache selbst nach war es äusserstlich ja ganz dasselbe, ob der König den wirklichen oder das künstlich präparierten Saturn zu sehen bekam.

Neue Planeten. Von kleinen Planeten wurden neu aufgefunden:
 1845 III Planet Wolf 16 März 12.5 Grössen.
 1845 IV „ Charis 15. März 11 Grösse.

Planetensichtbarkeiten 1846. Juli 1. 10^h Merkur in unterer Konjunktion mit der Sonne. Juli 1. 10^h Venus in Erdferne. Juli 4. 10^h Mars in Opposition. Juli 20. 10^h Jupiter in Konjunktion mit der Sonne. Juli 19. 10^h Uranus in grösster Hell-
 deutigkeit 10^h 30'. Juli 15. 10^h Neptun in grösster hell. südwestlicher Breite. Juli 27. 10^h Venus im südwestlichsten Stande. Juli 27. 10^h Merkur in grösster west. Elongation 10^h 1'. Juli 30. 10^h Saturn in Quadratur mit der Sonne.

Wetterbedingungen durch den Mond für Berlin 1846

Monat	Name	Grösse	grösste relative Feucht.		grösste relative Feucht.	
			h	m	h	m
Juli 5	2 Hauptmond	49	36	74	39	75.1
— 17	17 „	41	30	67.0	31	67.0
— 18	20 „	48	31	74.1	31	67.7
— 27	9 „	20	31	66.2	31	64.6
— 27	17 „	40	38	73	38	66.9
— 29	15 „	35	37	65.4	34	64.0

Zeit und Ort der Sonnenfinsternisse (nach Gauss)

Juli 26. Sonnen Anseh der Kruppeligen: 10:30^h, kleine Anseh 10:30^h.
 Erhöhtungszeit der Erde über der Hauptzone 10^h 37^m 10^s.

Jupiter und seine Monde sind während des Monats August 1846 wegen grosser Nähe bei der Sonne unsichtbar.

Flanzbestellung im Juli 1886.

Nördlicher Berliner Markt.					Südlicher Berliner Markt.				
Wochen- tag.	Kornpreis für 1000.		Kornpreis für 1000.		Weizen für 1000.	Kornpreis für 1000.	Kornpreis für 1000.		Korn- preis für 1000.
	h.	ss.	h.	ss.			h.	ss.	
Malz.									
Juli	31	4 30	30 40	+10	31	30 7	30 7	30 7	30 7
30	4 30	30 40	10 40	20 40	31	30 7	30 7	30 7	30 7
29	4 30	30 40	10 40	20 40	30	30 7	30 7	30 7	30 7
28	4 30	30 40	10 40	20 40	29	30 7	30 7	30 7	30 7
27	4 30	30 40	10 40	20 40	28	30 7	30 7	30 7	30 7
Gerste.									
Juli	31	4 10	18 40	+10	31	18 40	18 40	18 40	18 40
30	4 10	18 40	18 40	18 40	30	18 40	18 40	18 40	18 40
29	4 10	18 40	18 40	18 40	29	18 40	18 40	18 40	18 40
28	4 10	18 40	18 40	18 40	28	18 40	18 40	18 40	18 40
27	4 10	18 40	18 40	18 40	27	18 40	18 40	18 40	18 40
Hafer.									
Juli	31	3 20	20 20	+10	31	20 20	20 20	20 20	20 20
30	3 20	20 20	20 20	20 20	30	20 20	20 20	20 20	20 20
29	3 20	20 20	20 20	20 20	29	20 20	20 20	20 20	20 20
28	3 20	20 20	20 20	20 20	28	20 20	20 20	20 20	20 20
27	3 20	20 20	20 20	20 20	27	20 20	20 20	20 20	20 20
Wassergasse 1886.									
Juli	31	30	20 4	Fehlend.					
30	30	20	20	Mehl in Berlin					
29	30	20	20	Lettin Markt					
28	30	20	20	Fehlend					
27	30	20	20	Mehl in Erlangen					
26	30	20	20	Lettin Markt					

Wohl.

Nördlicher Berliner Markt.				Südlicher Berliner Markt.			
Wochen- tag.	Weizen, A.R.		Mehl in Berlin.	Wochen- tag.	Weizen, A.R.		Mehl in Berlin.
	h.	ss.			h.	ss.	
31	12 30	10 70	30 3 14	31	12 30	10 70	30 3 14
30	12 30	10 70	30 3 14	30	12 30	10 70	30 3 14
29	12 30	10 70	30 3 14	29	12 30	10 70	30 3 14
28	12 30	10 70	30 3 14	28	12 30	10 70	30 3 14
27	12 30	10 70	30 3 14	27	12 30	10 70	30 3 14
26	12 30	10 70	30 3 14	26	12 30	10 70	30 3 14
25	12 30	10 70	30 3 14	25	12 30	10 70	30 3 14
24	12 30	10 70	30 3 14	24	12 30	10 70	30 3 14
23	12 30	10 70	30 3 14	23	12 30	10 70	30 3 14
22	12 30	10 70	30 3 14	22	12 30	10 70	30 3 14
21	12 30	10 70	30 3 14	21	12 30	10 70	30 3 14
20	12 30	10 70	30 3 14	20	12 30	10 70	30 3 14
19	12 30	10 70	30 3 14	19	12 30	10 70	30 3 14
18	12 30	10 70	30 3 14	18	12 30	10 70	30 3 14
17	12 30	10 70	30 3 14	17	12 30	10 70	30 3 14
16	12 30	10 70	30 3 14	16	12 30	10 70	30 3 14
15	12 30	10 70	30 3 14	15	12 30	10 70	30 3 14
14	12 30	10 70	30 3 14	14	12 30	10 70	30 3 14
13	12 30	10 70	30 3 14	13	12 30	10 70	30 3 14
12	12 30	10 70	30 3 14	12	12 30	10 70	30 3 14
11	12 30	10 70	30 3 14	11	12 30	10 70	30 3 14
10	12 30	10 70	30 3 14	10	12 30	10 70	30 3 14
9	12 30	10 70	30 3 14	9	12 30	10 70	30 3 14
8	12 30	10 70	30 3 14	8	12 30	10 70	30 3 14
7	12 30	10 70	30 3 14	7	12 30	10 70	30 3 14
6	12 30	10 70	30 3 14	6	12 30	10 70	30 3 14
5	12 30	10 70	30 3 14	5	12 30	10 70	30 3 14
4	12 30	10 70	30 3 14	4	12 30	10 70	30 3 14
3	12 30	10 70	30 3 14	3	12 30	10 70	30 3 14
2	12 30	10 70	30 3 14	2	12 30	10 70	30 3 14
1	12 30	10 70	30 3 14	1	12 30	10 70	30 3 14

Geldkurs: 100 Reichsmark = 100 Reichsmark.

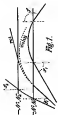


Fig. 1.

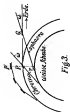


Fig. 2.

THE UNIVERSITY OF CHICAGO

1950

1950

THE UNIVERSITY OF CHICAGO
1950

THE UNIVERSITY OF CHICAGO
1950

THE UNIVERSITY OF CHICAGO
1950

An die verehrl. Abonnenten des „Sirius“!

Um den Abschluß des „Sirius“ nach die früheren Jahrgänge des Jahrganges mit möglichst billiger Bezahlung leicht zugänglich zu machen, habe ich nach dem Muster des Paris Exemplars des I. bis XIV. Bandes (Jahrgang 1870—1889) ein bequemes und elegantes Preisverzeichniß zu offizieren:

Band I, II, III, IV, V, VI (Jahrgang 1870—74) wenn zusammen genommen
nur 80 Mark.

===== Einzelne Bände 4 Mark =====

Band VII, VIII, IX, X (Jahrgang 1875—80) wenn zusammen genommen
nur 80 Mark.

===== Einzelne Bände 8 Mark =====

Band XI, XII, XIII, XIV (Jahrgang 1881—84) wenn zusammen genommen
nur 80 Mark.

===== Einzelne Bände 8 Mark =====

Band XV, XVI, XVII, XVIII (Jahrgang 1887—91) wenn zusammen genommen
nur 80 Mark.

===== Einzelne Bände 8 Mark =====

Band XIX/XXII (1891—95) à 12 Mark.

Einbanddecken dazu kosten pro Band nur 75 Pfg.

Sehr beachtet, daß nur ein wirklich vollständiges kleines Exemplar abgefordert werden kann, falls ich verschiedene Exemplare billiger bezahlen zu wollen. Nach Verkauf eines vollständigen Bandes tritt der alte Jahrgang wieder in Kraft.

Es ist besonders wohl auf das Haupt-entwerfer-Genossenschafts-Mitglied zu achten, das in XV der neuen Folge des „Sirius“ beigetreten, welches für jeden Abnehmer in Bände I—XIV der X F. verantwortlich ist.

Jede Best. und Zusendung wird Aufträge entgegen

Leipzig, Januar 1896.

Verantwortlich
Die Verlagsbuchhandlung
Karl Neffler.

Das Preisverzeichnis besteht bei der Best. und Zusendung mit

- Expl. Stefan. Neue Folge Band I, II, III, IV, V, VI (Jahrgang 1870—74) wenn zusammen genommen nur 80 Mark. Einzelne Bände 4 Mark.
Expl. Stefan. Neue Folge Band VII, VIII, IX, X (Jahrgang 1875—80) wenn zusammen genommen nur 80 Mark. Einzelne Bände 8 Mark.
Expl. Stefan. Neue Folge Band XI, XII, XIII, XIV (Jahrgang 1881—84) wenn zusammen genommen nur 80 Mark. Einzelne Bände 8 Mark.
Expl. Stefan. Neue Folge Band XV, XVI, XVII, XVIII (Jahrgang 1887—91) wenn zusammen genommen nur 80 Mark. Einzelne Bände 8 Mark.
Expl. Stefan. Neue Folge Band XIX, XXII (Jahrgang 1891—95) à 12 Mark.
Expl. Einbanddecken zu jedem Band I—XXII à Decke 75 Pfg.
Expl. General-Besteller zu Band I—XIV der neuen Folge. 4 Mark

Off. Stefan und Tag.

Stefan und Tag.



SIRIUS

MONATLICHES VERPUBLIZTES ASTRONOMISCHES ZEITSCHRIFT

Herausgegeben unter Mitwirkung
von

Technikern und astronomischen Schriftstellern.

Begründet von Hermann J. Muller in Köln.

Band XVIII die von 1897 bis 1900

6. Heft



Leipzig 1900
Carl Schönes.



SIRIUS.



Zeitschrift für populäre Astronomie.

Zeitschriften für alle Freunde und Förderer der Himmelskunde.

Herausgegeben unter Mitwirkung

hervorragender Fachmänner und astronomischer Schriftsteller

von **Dr. HERMANN J. KLEIN** in Köln a. Rh.

Preis 4 Mark.

Verlag von Vieweg und Co. in Braunschweig.

Inhalts-Verzeichnisse Specialkarten des Mondes: S. 102 — Der Planet Mars: S. 103 — Die neue Beobachtung von Lichtschwärmungen am Mars: S. 105 — Die Beobachtung des Marses am 1. October mit dem Perseiden-Brennen: — S. 107 — Über die Welt im Jahre: S. 108 — Ein neuer Typus der unvollständigen Perseiden: S. 109 — Venus der Herbstzeit: Das Perseiden der Mars-Beobachtung: S. 110 — Hülfe zu dem Mars: S. 111 — Die unvollständigen Perseiden des Jahres: S. 112 — Mars: S. 113 — Beobachtung des Perseiden: S. 114 — Planeten-Beobachtung: S. 115 — Lage und Größe der Venus: S. 116 — Früher Ansehenspunkt in August: S. 117 — Planetenlage in August: S. 118 — Mars: S. 119.

Topographische Spezialkarten des Mondes.

Als Ergebnis eingehender Beobachtungen des Mondes an einem geübten Refraktor hat Herr Ph. Fauth in Landstuhl (Pfalz) eine Sammlung von 50 topographischen Spezialkarten des Mondes in Lichtdruck mit erläuterndem Text herausgegeben. Diese Karten stellen eine sehr wertvolle Arbeit dar, und die Bemühungen des Verf. sind um so höher anzuschätzen, als er nur unter beschränkter ungelohnter Verhältnisse tätig sein konnte.

Über die Grundlagen, auf denen die Zeichnungen sich stützen, spricht sich Herr Fauth nicht an. Bekanntlich erfordert die Darstellung der Mondoberfläche wegen der verschiedenen Libration die Reduktion auf eine mittlere Lage und bedingt infolgedessen mehrfach ungenauere Messungen und Rechnungen. Lehmann und Müller haben dies aufgezeigt, Jal. Schmidt hat sich bezüglich des Gruppens einer grossen Anzahl beliebig an Lehmann gehalten. Ebenso leidet die Gruppe

der Fauch'schen Spezialkarte offenbar auf Schmidt, doch ist der Maßstab dazwischen ein größerer.

Blatt I stellt die Wellenlinie Fendebens dar und gibt ausserdem eine bessere Darstellung als Schmidt. Die von Krieger entdeckten Rillen im nördlichen Teile fehlen. Eine Vergleichung mit der Wienerischen Topographie der Lick-Photographie des Vojvodina zeigt, dass auf dieser letzteren selbst leichte Objekte, wie z. B. der Doppelkrater neben dem grossen Krater h fehlen! Dass unter solchen Umständen dem schätzlichen feinen Detail der vorgenannten Photographen keine Beachtung anzusprechen ist, dürfte hieraus wohl kaum im Abrede zu stellen sein.

Die Darstellung der Umgebung von Gumbert auf Tafel I betrifft ein Gebiet, auf welches ich wegen der markwürdigen kleinen schwarzen Krater vor Jahren die Aufmerksamkeit der Schotographen zu lenken beabsichtigt war. Der sehr kleine Krater c, nördlich von Gumbert U, ist der von mir mit a bezeichnete schwarze Krater und einer von Schmidt's ständlichen dunklen Punkten. Diese Gegend verdient die sorgfältigste Untersuchung wegen der Veränderungen im Aussehen der kleinen dunklen Flecke, die mit dem grossen und anderem Krater in Verbindung stehen. In der Darstellung der Umgebung von Anandim (Tafel II) entspricht der Lauf der beiden Rillen zwischen Dnyssin und Ritter genau meiner Zeichnung vom 20. Januar 1881, die Darstellung bei Schmidt ist dagegen nicht ganz zutreffend, da bei Dnyssin völlig leer.

Messier(Tafel III) Des Helling-Beich zu Messier A habe ich trotz vielfältiger Beobachtungen nie gesehen, phenomenon finde ich aber bei irgend einem anderen Beobachter, zuerst in der Darstellung von Krieger vom 20. Februar 1881 (Series 1884 Tafel 7). Es wäre daher wünschenswert, die Zeit der Beobachtung zu kennen, ob Herr Fauch diesen Helling sah. Zwischen Messier und A findet sich eine diamantförmige Verbindung, diese fällt bei Fauch, auch bei des älteren Beobachters, die ist aber unabweislich vorhanden.

Tarantula (Tafel V) Eine sehr gute Darstellung mit unbeschreiblichem Detail, doch fehlt an meiner Vorzeichnung die starke Rille, welche dem Ostwall durchzieht.

Die beiden Brücken (Tafel IX) sind nicht dargestellt. Wenn der Centralkegel des Sechsen im Centrum wirklich einen kleinen Krater besitzt, den die Karte zeigt, so gehören zu dessen Wahrnehmung sicher ausserst vorteilhafte Umstände.

Die Umgebung des Hygieus ist auf der nämlichen Tafel auch dargestellt und recht gut. An Detail habe ich in meinen Zeichnungen dieser Gegend mehr, doch allerdings auch im Verlaufe von 20 Jahren der Beobachtung. Mit dem Krater als Teilen der Rille, wie solche Schmidt darstellt, und Fauch wiederholt, kann ich mich nicht befremden. Es sind dort kein Krater, sondern lokale Erweiterungen des Brückenförmigen Fauch zeichnet, wie Schmidt, im Innern des Kraters Hygieus zwei parallele Linsen, es wäre wünschenswert, wenn im Text angegeben worden, wie und besonders wann er diese gesehen hat.

Bart (Tafel XI). Veranlassung zur Zeichnung dieser Gegend gab dem Verf. seine Angabe nach die von Prof. Wink gemachtene Entdeckung eines Kraters südlich von Bart auf einer Mondphotographie. Dessen Krater hat Fauch aufgemerkt, und jedoch statt seiner eines Hippel-

gruppe. Seine Bemerkung, dass die Rille fast bis gegen West eine Vertiefung nach Süden hin nicht besitzt, ist irrig. In den wenigen Jahren, die seine Beobachtungen bis jetzt andauern, ist die von Klose nicht zu Genuge gekannt. Müller hat diese Fortsetzung am 28. September 1841 entdeckt und ich habe sie wieder gesehen.

Stadion (Tafel XIII) ist in recht guter Darstellung gegeben, ebenso Ransden (Tafel XV), doch hat Herr Paeth nicht gesehen, dass die Rillen des Wall des Knorns durchblenden, er lässt sie ausser dem Fasse des Wallen stehen.

Querschnitt (Tafel XVI) Diese Nordlandschaft ist von Müller, Tolson, Schmidt und mir in Spitzelkarten dargestellt worden. Die Schwerepunkt einer solchen Darstellung erhält größtentheils aus den Abweichungen, welche diese Karten untereinander zeigen. Paeth's Karte ist nicht ganz wess ihr Verf. aber behauptet, meine Spitzelkarte sei eine auf die Umwallung nur sehr unbedeutend Rücksicht und dessen Fehler habe man in seiner Karte vermieden, so möchte ich nur bemerken, dass ich gerade auf das Detail der Umwallung sehr geachtet habe. Die Beschreiber des Mondes mögen selbst vergleichen.

Antaresch und Herodot (Tafel XX). Auch eine gute Darstellung dieser interessanten Landschaft. Hergleich der grossen Rillen ist mir auffällig, dass Paeth dasselbe bis M nachgeben lässt und die Fortsetzung als schwächliche Rille zeichnet, genau wie Schmidt. Ich habe mich gewundert, dass Schmidt dies so in seiner grossen Mondkarte darstellte.

Die Karten des Herrn Paeth bilden eine wertvolle Bereicherung seiner heutzutage'schen Literatur und sind Jedem, der sich ernstlich mit der Beschreibung des Mondes beschäftigt, dringend als Grundlagen zu weiteren Entwürfen zu empfehlen.

Im Anhang zu dem Texte giebt Herr Paeth eine Verteidigung gegen die Angriffe des Direktors der Sternwarte zu Prag, Herrn Prof. Dr. L. Wenzel. Herr Paeth hat offenbar die Ansicht, dass die letzte Art der Verteidigung der Angriff sei. Er giebt an, dass Prof. Wenzel ein vorzüglicher Zeichner ist, doch an derselbe wegen der Ansetzung der Frage Sternwarte nur aus Not nicht aus innerem Bedürfniss unter die Holographen gegangen. Seine Mundzeichnungen schickten sich durch Plaus und Lächerlichkeit sehr aus, aber in der Klarheit des Massstabes erheben sich sofort des Nicht Parkmann auf dem Gebiete der Holographie. „Es ist unmöglich“, bemerkt Herr Paeth, „so solches Massenstückchen Detail von Hebung einzuziehen, infolge dessen sind er auch bei aller Schärfe, kleiner Nichtigkeit, so arm, dass man wohl fragen muss, ob das nicht Späteres sein, zum „Zurverrück“ zugehört.“ Der Wert der „Zeichnungen“ Wenzel's nach vergrösserten Lichtphotographien stellt Paeth bezüglich der Ansetzung seiner Rillen ebenfalls in Abrede. Er sagt: „Haupte und viel mehr Stunden wurden oder wurden vielleicht (von Prof. Wenzel) an diese Arbeit verwendet, da die guten photographische Vergrösserungsapparate in wenigen Sekunden verlichtet! Dabei wieder ganz neue Gebilde entdeckte: Rillen, von denen niemand vorher nur eine kleine Ahnung hatte. Dinge, wie sie sich noch kein Holograph hat trüben lassen. Und diese „Rillen“, die merklichste Berg und Thal, Ebene und Hügelwand, helle und dunkle

Tafel in wirem Sinne darzustellen, sollen auf dem Monde tatsächlich vorhanden sein? Folgt man nun auf die Grenzlinie verzichten, dieselben „optisch verflücht“ zu sehen, allem was dies über die glühenden Jack?) Wäre es einem Schenographen von Fach und Verstand zu empfehlen, diese Dinge für etwas Anderes, als innerhalb des Mondes befindliches zu halten? Hätte er nicht vielmehr einmal wirkliche Höhenmessungen: Transitverhar, Barer, Hypothen, Barometer, Instrumente zu versuchen versucht, um zu finden, ob auch hier die Photographie mit so großem Nutzen angriff? Doch genug, es ist über dies Thema schon soviel überflüssig geschrieben worden und wenn die praktische Erfahrung in Okularbeobachtungen in geringem Maße abgibt, das ist hier auch nicht anzurufen. Das aber was allidem folgt, wie wenig Dr. Weisack berechtigt ist, von sich als Autorität sehen zu machen, wird jedem vorurtheilfreien Mandelbeobachter unübersehbar sein. Gibt er sich doch seit neuerer Zeit selbst mit photographischen Vergrößerungen von Negativen ab? Ob wohl auch viele Zuschauerungen ausgeführt werden? Ob wohl auf den starken Vergrößerungen ebenfalls die „Höhen“ erschienen? Zum mindesten müßte die vollständig gelungenen und im Besonderen gelungensten Vergrößerungen, welche Herr Prof. Pfaun im Besitz hergestellt hat, und die mir in vielen Exemplaren vorliegen, auch keine Spur des uncharakteristischen. Auch anderwärts erhalten Vergrößerungen zeigen genau denselben Charakter, wenn sie von Franz Negativen stammen. Es ist mir eine Grenzbeziehung, namentlich von der handiger Seite (Sines 1884, S. 371) öffentlich verstanden zu sehen, was ich schon früher in privater Korrespondenz — auch in dem oben angegebenen Briefe an Prof. Weisack — als Argument gegen die Nützlichkeit vergrößerter Negativbilder im Feld geführt habe. Versuche von Prof. Pfaun im Kleinen, namentlich der Gebrüder Henry im Grossen, keine Falsch-Aufnahmen, sondern direkte Vergrößerungen innerhalb des Okulars zu nehmen, sind nicht bloss möglich, sie haben dargethan, dass die Resultate die vom Lück-Charakterismus vom den dortigen Kantenreflexionen in jeder Beziehung übertrifft. Die optische Feinheit des Bildes übertrifft eben die Feinheit des Plattenfilms um ein Bedeutendes. Es hat immerhin etwas lange gedauert, bis man sich gegen die Zuschauerungen aussprechen konnte.

Weiterhin erwähnt Herr Fauch, Herr Prof. Weisack habe bei einer Deklination des Mondes von -20° nach einer feinen Maßstabs gewacht. Einen solchen Stand des Mondes würde allerdings nur die in Mondarter umgebenen richtig verfahrenen Beobachter zur Untersuchung wählen, wenn dem Frage Beobachter kam es darauf an, die betreffende Mondgegend einmal bei Morgenbeobachtung mit seiner Zuschauerung zu vergleichen und so sehen er ohne viel Wahl und Qual die erste Gelegenheit beim besten Willen. In der That gelang es ihm ja auch, sich bei „geringer Luftklarheit“, namentlich sicher von der Richtung jenseits Brachen im Lichte von Theil optisch zu überzeugen“, wozu die Mandelbeobachter ähnlichen können, dass selbst unter vorerwähnt unglücklichen Verhältnissen in einem besonders günstigen Falle doch vielleicht noch brauchbare Wahrnehmungen gelangen können.

Dr. Klein.

Der Planet Mars.

Prof. V. Schiaparelli hat nach der letztjährigen Opposition des Nam den gegenwärtigen Standpunkt der astronomischen Forschung über diesen Planeten in einer größeren Abhandlung dargelegt¹⁾, der wir das Folgende entnehmen.

1. Die Polarkalotten. Schon von den frühesten Beobachtern des Mars sehen viele am Rande der Scheibe des Planeten zwei hellweiße Flecken von runder Form und wechselnder Größe. Während die dunklen Flecke auf der Marsoberfläche in Folge der Rotation dieses Planeten ihre Lage nach ändern, bleiben, wie man fand, jene weißen Flecke fast bewegungslos an ihrem Orte, wesshalb man schloß, daß sie an den Polen des Mars oder wenigstens in sehr grosser Nähe derselben sich befinden. Daher auch der Name Polarkalotte. Nicht ohne Grund vermehrte man, dass diese Flecke von Schnee- oder Eismasse gebildet werden, ähnlich dergleichen der Polargegenden der Erde. Es ist am klar, dass, wenn die weißen Polarkalotte des Mars Schnee und Eis sind, sie denselben an Größe anschauen müssen mit dem Hemisphären des borealen und arktischen während des Winters ihrer Hemisphären. Diese Thatsache ist nun in überraschender Weise beobachtet worden. In der zweiten Hälfte des Jahres 1893 war die südliche Polarkalotte voll sichtbar, während dieser Zeit, und besonders in den Monaten Juli und August, war ihre rasche Abnahme von Woche zu Woche sehr deutlich, selbst Solchen, die mit gewöhnlichen Fernrohren beobachteten. Dieser Schnee (wenn wir ihn so nennen dürfen), der anfangs bis zur Breite von 70° reichte und eine Kalotte von über 3000 km im Durchmesser bildete, nahm fortwährend ab, so dass zwei oder drei Monate später wenig mehr als eine Fläche von höchstens 300 km von demselben übrig war, und später, in den letzten Tagen von 1893, war noch weniger zu sehen. In diesem Monate hatte die Südhalbkugel des Mars ihren Sommer, denn das Sonnenmaximum derselben fiel auf den 13. October. Entsprechend müsste die Schneemasse, welche den Nordpol umgibt, zugenommen haben; aber solches war nicht nachzuweisen, da dieser Pol auf der Halbkugel des Mars lag, welche von der Erde abgewandt war. Die Schmelzen des nördlichen Schnees ist vollendet in den Jahren 1894, 1894 und 1895 beobachtet worden.

Der südliche Schnee zeigt die Eigentümlichkeit, dass das Zentrum seiner unregelmäßig runden Gestalt nicht genau mit dem Pole zusammenfällt, sondern an einem Punkte liegt, der von dem Pole etwa 100 km in der Richtung nach dem Mars Erythraeum entfernt ist. Hieraus schliessen wir, dass, wenn die Schneekalotte auf ihre kleinste Ausdehnung verengt ist, der Südpol des Mars unbedeckt ist. Der südliche Schnee liegt in der Mitte eines grossen, dunklen Fleckes, der mit seinem Vorwärtigen ausser als Mittel der ganzen Oberfläche des Mars erscheint, und, wie man annehmen, seinen Hauptzweck darstellt. Deshalb kann man sagen, dass die Analogie mit unserem arktischen und antarktischen Schnee eine vollständige ist, namentlich mit dem arktischen.

¹⁾ *Astronomy and Astrophysics* 1894. 664.

Das Ganze der nördlichen Schneekette des Mars hat ihr Zentrum ziemlich genau an demselben Pol. Sie liegt in einem Gebiet von gelber Farbe, die wir gewohnt sind als den Küstengebiet des Planeten aufzufassen. Daraus entspringt eine eigenthümliche Erscheinung, die kein Analoges auf der Erde hat. Beim Schmelzen des Schnees, der sich zum Teil während der kalten Nacht von unten Monaten und darüber angehäuft, verdrift sich die Masse gelblich, flüssige Masse rings um den Umfang des Schneerings und vermindert eine breite Zone des umgebenden Landes in ein temperirtes Meer, indem sie alle tieferen Gebiete anfüllt. So entsteht eine ungeheure Überschwemmung, welche stünge Beobachter zur Annahme der Existenz eines kälteren Ozeans geführt, der aber wirklich an dieser Stelle nicht existirt, wenigstens nicht als permanentes Meer. Wir sehen dazu (die letzte Gelegenheit hierzu hat sich 1894) den weissen Schneefleck umgeben von einer dunklen Zone, welche seinem Umfange bei diesem fortwährenden Verkleinerung folgt. Der innere Teil dieser Zone bewegt sich aus in gleiche Linie, welche die ganze umgebende Region einnehmen und vertheilende Kapuze zu sein scheinen, durch welche die flüssige Masse an ihrer natürlichen Stelle zurückzuführen mag. So entstehen in diesen Gegenden sehr ausgebreitete Seen, z. B. die auf den Karten mit dem Namen des Lema Hyperborea bezeichnet, die benachbarte, innere Meer, Mare Archifium, sind kleinerer und dunkler. Und es muss als sehr wahrscheinlich hervorgehoben werden, dass die Abflüsse des geschmolzenen Schnees die Ursache ist, welche vorzugsweise den hydrographischen Zustand des Planeten und die Änderungen bestimmt, welche periodisch in seinem Innern beobachtet werden. Einem Ähnliches würde man auf der Erde sehen, wenn einer ihrer Pole plötzlich in die Mitte von Asien und Afrika rückt. Wie die Sachen jetzt liegen, können wir ein Miniaturbild dieser Verhältnisse in den Überschwemmungen sehen, welche an manchen Stellen beim Schmelzen des Alpen schnees beobachtet werden.

Anderer weisse Flecke von verhältnissmässig gleichem Charakter und weniger regelmäßiger Ausdehnung bilden sich in der nördlichen Hemisphäre auf den Breiten nahe dem Pole, und auch auf der entgegengesetzten Halbkugel erscheinen zeitweise weisse Gebiete, welche den Nordpol umgeben und bis 60° und 30° der Breite reichen. Sie sind vielleicht vorübergehender Schnee, ähnlich dem, welcher in unseren Breiten beobachtet wird. Aber auch in der kalten Zone des Mars werden einige mehr oder weniger andauernde sehr kleine, weisse Flecke gesehen. Vielleicht ist es gestattet, diese durch ein Gebirge zu erklären, das ausgebreitete Krater trägt. Die Existenz eines solchen Gebirges ist wirklich von manchen unserer Beobachtern auf Grund anderer Thatsachen angenommen worden.

3. Meteorologie des Mars. Der Polar Schnee des Mars bewahrt charakteristisch, dass dieser Planet, wie die Erde, von einer Atmosphäre umgeben ist, die in Stunde ist, Dampf von einer Stelle zu einer anderen zu transportiren. Jener Schnee ist faktisch der Niederschlag von Dampf, der durch die Kälte kondensirt und mit derselben sublimirte fertiggeführt wird. Wie kann er fertiggestellt werden, wenn nicht durch atmosphärische Bewegung? Die Existenz einer mit Dampf beladenen Atmo-

später ist auch durch spekroskopische Beobachtungen bestätigt worden, vermuthet durch die von Vogel, noch wärmer durch Linnemanns eine Zusammensetzung haben muss, die sich wenig von der unserer Äthens unterscheiden, und welche vor allem sehr reich an Wasserdampf ist. Dies ist eine Thatsache von höchster Wichtigkeit, weil wir daraus mit grosser Wahrscheinlichkeit schliessen können, dass die Meere des Mars und von Polstrichen von Wasser und nicht von sonst andern Flüssigkeiten herrühren. Wenn dieser Schluss über Zweifel gestellt ist, kann ein anderer von nicht geringerer Bedeutung aus ihm abgeleitet werden, nämlich dass die Temperatur des Mars, trotz der grösseren Entfernung dieses Planeten von der Sonne, von derselben Ordnung ist, wie die Temperatur der Erde. Denn wenn, wie von einigen Forschern angenommen worden, die Temperatur des Mars im Durchschnitt sehr niedrig (50° bis 60° unter Null) wäre, so wäre es unmöglich, dass der Wasserdampf einen wichtigen Bestandteil der Atmosphäre dieses Planeten bilde, noch könnte das Wasser einen bedeutenden Faktor bei seinen physikalischen Änderungen bilden; vielmehr müsste es der Kohlendioxid Gasa machen, oder einer andern Flüssigkeit, deren Gefrierpunkt viel niedriger ist.

Die Elemente der Meteorologie des Mars scheinen somit eine Aehnlichkeit mit denen der Erde zu besitzen. Aber, wie zu erwarten, fehlt es nicht an Ursachen für Unähnlichkeiten; und aus Verhältnissen von sehr kleiner Tragweite bringt die Natur eine unendliche Mannigfaltigkeit der Phänomene hervor. Von grösstem Einflusse muss die verschiedene Ausdehnung der Meere und der Kontinente auf Mars und auf der Erde sein. Wir haben bereits die Thatsache der ununterbrochenen, periodischen Flut hervorgehoben, welche bei jedem Umlauf des Mars die nördlichen Polargebiete beim Schmelzen des Schnees überströmen. Ferner kommt noch hinzu, dass diese Überschwemmung auf eine grosse Entfernung übertragen wird mittels eines Netzwerkes von Kanälen, die vielleicht den Hauptkanälen eines (wenn nicht des einzigen) fließenden wässren Wasser (und mit ihm organischen Leben) über die trockene Oberfläche des Planeten verbreitet wird. Denn auf dem Mars regnet es nur selten, oder es regnet vielleicht sogar überhaupt nicht.

Die Atmosphäre des Mars ist fast beständig klar und so durchsichtig, dass man zu jeder beliebigen Zeit die Umrise der Meere und Kontinente und selbst die kleinsten Gestaltungen erkennen kann. Freilich fehlen nicht Dämpfe von einem gewissen Grade der Undurchsichtigkeit, aber sie hindern dem Studium der Topographie des Planeten nur wenig. Hier und da sehen wir von Zeit zu Zeit einige kleine Flecke entstehen, welche ihren Ort und ihre Gestalt ändern und selbst auch über eine sehr weite Fläche erstrecken. Die frequentesten mit Vorliebe einige Gabeln, wie die Inseln des Mars Australis, und auf den Kontinenten die Gegenden, die auf der Karte mit dem Namen Elysium und Tempe bezeichnet wurden. Ihre Helligkeit scheint gewöhnlich ab und verschwindet zur Mitternacht des Ortes und wird mit sehr unregelmässigen Zwischenen stärker am Morgen und Abend. Es ist möglich, dass sie Schichten von Wolken sind, die nach die oberen Theile der indischen Wolken, dass sie es von der Sonne beleuchtet werden, wenn zerstreuen. Aber verschiedene Beobachtungen führen uns

an dem Glauben, dass wir es eher mit einem dünnen Schichtblies, als mit Wolken zu thun haben, welche Strömung und Regen bringen. In der That kann es sich nur um eine trügerische Kondensation von Dampf in Form von Thau und Reif handeln.

Dementsprechend muss, soweit man aus den beobachteten Thatsachen schließen kann, das Klima des Mars dem eines hohen Tages auf hohen Berge der Erde gleichen. Am Tage sehr starke Sonnenstrahlung, kann gemildert durch Dunst und Dampf, in der Nacht sehr hohe Ausstrahlung von dem Boden nach dem Himmelsraum und daher eine sehr ausgesprochene Abkühlung, folglich ein extremes Klima und grosse Temperaturänderungen von Tage zur Nacht und von einer Jahreszeit zur andern. Wie auf der Erde in Höhen von 5000 bis 6000 m der Dampf der Atmosphäre nur in fester Form kondensiert wird und jene metallischen Massen schwebende Krystalle erzeugt, welche wie Cirruswolken aussehen, so wird es in der Atmosphäre des Mars schon sehr früh (oder selbst ganz unmittelbar) sein, Wolkenmassenbildungen zu finden, welche im Grunde sind, Regen von irgend welcher Bedeutung heranzubringen. Die Temperaturerwärmung von einer Jahreszeit zur andern muss beträchtlich vergrössert werden durch ihre lange Dauer, und so können wir das starke Fröhen und beträchtliche das Schneen vermeiden, das sich abwechselnd an den Polen erzeugt bei jedem vollständigen Umlauf des Planeten um die Sonne.

5. Topographische Erhebungen. Mars zeigt in seiner Topographie keine Ähnlichkeit mit unserer Erde. Im Centralen seiner Oberfläche bedeckt das grosse Mars Australia, welches mit vielen Inseln besetzt ist; die Kontinente aber sind durch Meerengen und durch verschiedenegestaltige Verzweigungen zerschnitten. Zu dem allgemeinen Wasserzirkeln gehört eine ganze Reihe von kleinen isolirten Meeren, von denen das N. Hadriacum und das N. Tyrrhenum mit dem durch weite Mündungen kommunizieren, während das M. Camerinum, das N. Siccum und das Saba Lacus nur durch enge Kanäle mit ihm verbunden sind. In den vier ersten macht sich eine parallele Anordnung bemerkbar, die allerdings keine zufällige ist, wie auch die entsprechende Lage der Halbinseln von Asien, Hispania und Atlantia nicht ohne Grund ist. Die Farbe der Marsmeere ist gewöhnlich braun mit grün gemischt, aber sie ist nicht immer von gleicher Intensität an allen Orten, noch ist sie dieselbe an denselben Stelle an allen Zeiten. Von absolutem Schwarz kann es abhängen bis zu hellem Grün oder zu einer Aschfarbe. Eine solche Verschiedenheit der Farben kann ihren Ursprung in verschiedenen Ursachen haben, und so ist auch nicht ohne Analogie auf der Erde, wo die Meere der warmen Zone gewöhnlich viel dunkler sind, als die dem Pole näheren. Das Wasser der Ostsee z. B. hat eine hell, schlammige Farbe, welche im Mittelmeerischen Meere meist beobachtet wird. Und es sieht aus in den Meeren des Mars die Farbe dunkler werden, wenn die Menge sich ihrem Kern nähert und der Sommer dazwischen zu herrschen beginnt.

Alle übrigen Teile des Planeten bis zum Nordpol wurden von der Masse der Kontinente bedeckt, in denen, außer wenigen Gebieten von relativ geringer Ausdehnung, eine enge Föhrung vorherrscht, welche meistens ein dunkles Rot erzeugt und in anderen Fällen zu gelb und

wenn abfließen. Der Mangelhaftigkeit dieser Färbung ist zum Theil meteorologische Ursachen, zum Theil mag sie abhängen von der verschiedenen Beschaffenheit des Bodens; aber über diese wahre Ursache ist es noch nicht möglich, eine gut begründete Hypothese aufzustellen. Einige haben diese Färbung der Atmosphäre des Mars zugeschrieben, durch welche die Oberfläche des Planeten gefärbt erscheinen kann, wie bestimmte Objekte roth werden, wenn man sie durch ein rothes Glas sieht. Aber viele Thatsachen stehen dieser Idee entgegen, unter anderem die, dass der Polarstrahl nicht in reinstem Weiss erscheint, obwohl die von ihm ausgehenden Lichtstrahlen zweimal die Marsatmosphäre durchsetzen. Wir müssen daher schliessen, dass die Oberfläche des Mars rot und gelb erscheint, weil sie wirklich so gefärbt ist.

Neben diesem dunklen und hellen Ozeanen, die wir als Meere und Kontinente beschrieben haben, und über deren Natur gegenwärtig kaum ein Zweifel herrschen kann, existieren mehrere andere, theillich von geringerer Ausdehnung von ungleichlicher Beschaffenheit. Sie erscheinen zuweilen gelb wie die Kontinente und zuweilen braun (selbst schwarz in manchen Fällen) und nehmen das Aussehen von Meeren an, während in anderen Fällen ihre Farbe eine Zwischeneinstellung hat und uns in Zweifel darüber lässt, zu welcher Klasse von Gebirgen sie zu zählen seien. So gehören alle in Mars Ausgelen und Mars Krystallen zerstreuten Inseln zu dieser Kategorie, ferner auch die Insel Ithimus, genannt Uranoborus Regio und Pyrrhus Regio, sowie in der Nähe des Mars Aridulum die Gebirge, welche mit den Namen Galles und Neptis bezeichnet sind. Die natürliche Annahme und die, zu der wir durch Analogie geführt werden dürfen, ist, dass diese Regionen ungleiche Stadien bilden, in denen die verschiedene Theile des Wassers die Verschiedenheit der Farben hervorbringt.

Nicht ohne Grund also haben wir bisher den dunklen Flächen des Mars die Rolle der Meere zugeschrieben und die der Kontinente den hellen Flächen, welche nahezu zwei Drittel des ganzen Planeten einnehmen, und wir werden später andere Gründe finden, welche diese Art des Schliessens bekräftigen. Die Kontinente bilden in der nördlichen Hemisphäre eine nahezu kontinuierliche Masse, die stumps wichtige Ausbuchtung bildet der grosse See, genannt Mars Aridulum, dessen Ausdehnung je nach der Zeit variiren kann, und der in irgend einer Weise mit den Überschwemmungen in Verbindung steht, welche, wie gesagt, von dem Schmelzen des den Nordpol umgebenden Schnees hervorgerufen werden. Zu dem System des Mars Aridulum gehört ebenfalls der temperirte See, genannt Lacus Hyperboreus, und der Lacus Nifarnus. Dieser letztere ist gewöhnlich von dem Mars Aridulum getrennt durch eine Landzunge oder einen regellosen Deamm, dessen Zusammenhang zur Eiszeit für eine kurze Zeit durchbrochen gesehen werden ist. Andere kleine, dunkle Flecke werden hier und da gefunden in dem kontinentalen Gebiet. Wir können sie als Seen betrachten, aber sie sind wahrscheinlich keine permanenten Seen, sondern in Aussehen und Größe veränderlich je nach der Jahreszeiten im nun völligen Verwickeln neuer heftigster Verhältnisse. Inzwischen Lacus, Lacus Lacus, Tritium Cherevis und Propeus sind die häufigsten und konstantesten. Es gibt auch Eisener, wie Lacus Martis und Fens Jovencus, welche im

ihrem Durchmesser 100 bis 150 m im Durchmesser nicht übersteigen und zu den schwerigsten Objekten auf dem Planeten gehören.

4. Die Kanäle. Das ganze weite Gebiet der Kontinente ist alleghalten auf dem Planeten von einem Netzwerk zahlreicher Linien oder feiner Ströme von mehr oder weniger ausgeprägter dunkler Farbe durchzogen, deren Aussehen sehr veränderlich ist. Sie durchziehen den Planeten auf langen Strecken in regelmäßigen Linien, durchkreuzen nicht dem gewöhnlichen Lauf anderer Ströme gleichend. Einige der kürzesten erstrecken nicht 500 km, andere hingegen erstrecken sich über viele Tausende Kilometer und nehmen ein Viertel oder umweilen sogar ein Drittel vom Umfange des Planeten ein. Mehrere von ihnen sind sehr leicht zu sehen, besonders die mit dem Namen *Silycyria* bezeichnete. Andere hingegen sind ausserst schwer zu sehen und gleichen den feinsten Spinnwebfäden, welche über die Kugel des Planeten sind. Sie erstrecken sich nach grossen Schwankungen ihrer Breite, welche 200 und sogar 500 km beim *Silycyria* erreichen kann, während andere kaum 50 km breit sind.

Diese Linien oder Ströme sind die berühmten Kanäle des Mars, von denen so viel gesprochen wurde. Soweit wir bisher zu beobachten im Stande waren, sind sie wirklich feste Formationen des Planeten. Der *Silycyria* ist an seiner Stelle fast seit 100 Jahren gesehen worden und einige der anderen mindestens 50 Jahre lang. Ihre Länge und Anordnung sind konstant und ändern sich nur unwesentlich unter Umständen. Jeder von ihnen beginnt und endet stets zwischen denselben Regionen. Aber die Aussehen sind der Grad ihrer Solidität ändern sich bedeutend bei allen von einer Opposition des Mars zur anderen und sogar von einer Woche zur andern, und diese Änderungen finden nicht gleichzeitig und nach denselben Gesetzen für alle statt, sondern scheinen willkürlich anzufangen und wenigstens nach Umständen, die für uns nicht einfach genug sind, um sie zu erklären. Oft wird einer oder mehrere unendlich, oder selbst ganz unendlich, während andere beträchtlich zunehmen so dass sie selbst in Formeln von unangenehm grossen deutlich werden.

Jeder Kanal besteht an einem Hauptpunkte entweder in die Meer, oder in einen See, oder in einen anderen Kanal, oder in einen Schnittpunkt mehrerer anderer Kanäle. Kommt von einem bei man in der Mitte des Kontinents aufwärts sehen, eine Thatsache von höchster Wichtigkeit. Die Kanäle können sich unter allen möglichen Winkeln schwenken, aber mit Vorliebe laufen sie in den kleinen Flecken zusammen, dessen wir den Namen von dem gegeben haben. So z. B. sieht man 7 im *Lacus Florentinus* convergieren, 8 im *Terrae Olearia*, 6 im *Lacus Ligea* und 5 im *Canutus Lacus*.

Das normale Aussehen eines Kanals ist das eines sehr dünnen gleichförmigen, schwarzen oder wenigstens dunkelfarbigen Strömens, in welchem die Regelmässigkeit seines allgemeinen Verlaufs kleine Schwankungen seiner Breite und kleine Ausbuchtungen an seinen beiden Seiten nicht ausschliesst. Oft kommt es vor, dass eine solche dunkle, im Meer sich öffnende Linie trompetenförmig erweitert ist und eine ungeheure Nacht bildet, ähnlich den Nachten gewisser indischer Ströme. Der Hauptstrahl des Mars, der *Aurora Borealis*, der *Aurora Borealis* und die beiden Hörner des *Saturnus Strömens* sind im Gegensatz zu den Mündungen eines oder mehrerer

Kanäle, die in das Meer Erythraeum oder in das Meer Australis münden. Das größte Beispiel eines solchen Ganges ist die Syrta Major, gebildet durch die weite Mündung der Triosyrta. Dieser Golf ist nicht weniger als 1800 km breit und erreicht nahezu dieselbe Ausdehnung in der Längsrichtung. Seine Fläche ist etwas kleiner als die der Bucht von Bengalen. In diesem Falle sehen wir deutlich die gleiche Fläche des Meeres ohne scheinbare Unterbrechung sich in die des Kanals fortsetzen. Inwiefern die als Meere betrachteten Flächen wirklich eine Stange Anhebung sind, können wir nicht zweifeln, dass die Kanäle, welche die Kontinente durchkreuzen, stehende Fortsetzungen derselben bilden.

Überrascht wird die Tatsache, dass die im Kanale herrschenden Längen wirklich große Fortsetzungen oder Depressionen in der Oberfläche des Planeten sind, bestimmt für den Durchgang der fließenden Masse und ein wahres hydrographisches System bildend, hervorgehen durch die Erscheinungen, welche während des Schmelzens des arktischen Schnees beobachtet werden. Wir haben bereits erwähnt, dass der weisse Polar-Eis, zur Zeit des Schmelzens ungeheuer schnell von einer dunklen Zone, die eine Art kugelförmigen Meeres bildet. Zu dieser Zeit werden die Kanäle des umgebenden Gebietes schwächer und weiter und wachsen so sehr an, dass sie zu einer Zeit die ganze gelbe Lagune zwischen dem Lande des Schnees und dem Parallel von 80° streck liegende in zahlreichere breite von geringer Ausdehnung umwandeln. Dieser Zustand tritt erst ein, wenn der Schnee, auf seine kleinste Ausdehnung reduziert, zu schmelzen anfängt. Dann wird die Breite der Kanäle geringer, die kugelförmige Meer verschwindet, und die gelbe Lagune kehrt wieder in ihre frühere Ausdehnung zurück. Die verschiedenen Phasen dieser gewaltigen Erscheinungen erneuern sich bei jeder Wiederkehr der Jahreszeiten, und man war erstaunt, sie in ihren Einzelheiten während der Oppositionen von 1882, 1884 und 1886 sehr leicht zu beobachten, als der Planet seinen Nordpol der Erde nahebrachte. Die natürlichste und einfachste Erklärung ist, wie erwähnt, die einer grossen, durch die Schmelzen des Schnees erzeugten Überschwemmung — sie ist ganz folgerichtig und wird gestützt durch die Analogie mit indischen Erscheinungen. Wir schließen daher, dass die Kanäle in der That, und nicht bloss dem Namen nach, solche sind. Das von ihnen gebildete Netzwerk war wahrscheinlich ursprünglich bedingt durch den geologischen Zustand des Planeten und wurde im Laufe der Jahrhunderte langsam ausgeprägt. Man braucht nicht anzunehmen, dass die Kanäle das Werk vorzüglicher Vesen sind, und tritt den fast geometrischen Aussehen ihrer grossen Systeme sind wir jetzt zu dem Schluss geneigt, dass die hervorgerichtet wurden durch die Entwicklung des Planeten, gerade so wie wir mit der Erde den nördlichen Kanal haben und den Kanal von Newambogue.

3. Die Verdoppelung der Kanäle. Die Voraussetzungste Erscheinung, welche die Mankanale darthun, ist ihre Verdoppelung, die rasigstweide, einmündet scheint in dem Meeres, welche der grossen nördlichen Überschwemmung vorausgehen oder ihr folgen, etwa in der Zeit der Äquinoxien. In Folge eines schnellen Vorrückens, der sehr-bald höchsten wenige Tage nicht sogar rückwärts nur wenige Stunden dauert und dessen Eigenschaften mit Sicherheit zu bestimmen noch nicht möglich gewesen, selbst ein gegabener Kanal sein Aussehen, und

man findet ihn nach seiner ganzen Länge angewandelt in zwei Linsen oder gleichzeitige Strahlen, welche mit der geometrischen Genauigkeit neuer Mikroskopsektionen aneinander parallel verlaufen. Die beiden Linsen folgen sehr nahe der Richtung des ursprünglichen Kanals und enden dort, wo dieser aufhört. Eine von ihnen erhebt sich gegen die frühere Linse überlagert, während die andere neu ist, aber in diesem Falle verliert die ursprüngliche Linse die kleinen Unebenheiten und Einkommungen, welche sie ursprünglich besaßen. Es kommt aber auch vor, dass beide Linsen an den entgegengesetzten Seiten des früheren Kanals sich befinden und auf ganz neuen Gebirg liegen. Der Abstand zwischen beiden Linsen ist in den verschiedenen Verdüppelungen verschieden und schwankt zwischen 60 km und mehr bis zur kleinsten Distanz, in welcher zwei Linsen an grossen Fortschritten noch getrennt entstehen können, nämlich weniger als 50 km. Die Breite der Strahlen variiert kaum von der Grösze der Sichtbarkeit, die wir auf 30 km angesehen können, bis zu mehr als 100 km schwanken. Die Farbe der beiden Linsen variiert zwischen schwarz und hellrot, welches keine Unterschiede werden kann von dem allgemeinen gelben Hintergrund der Konzentrationen. Der Name Anaxosch ist meist gelb, aber in vielen Fällen erscheint er weisslich. Die Verdüppelung ist nicht notwendig nur auf die Kanäle beschränkt, sondern erstreckt sich in den Seen ausserhalb. Oft sieht man einen von einem zu zwei Linsen, beide dunkel, manchmal parallele Linien angewandelt und von einer gelben Linse durchquert. In diesen Fällen ist die Verdüppelung natürlich kaum und überschneidet nicht die Grenzen des ursprünglichen Sees.

Die Verdüppelung sagt sich nicht an allen Kanälen zur selben Zeit, sondern, wenn die Jahreszeit gekommen ist, beginnt sie sich an Stellen hier und da zu heften, unregelmässiger Weise, oder wenigstens in nicht erkennbarer Ordnung. An vielen Kanälen (wie bei Selwyn) sieht die Verdüppelung gleich, oder 1-1 kaum sichtbar. Nachdem sie einige Monate bestanden, verliessen die Kanäle allmählich und verschwinden bis zu einer späteren für ihre Bildung gleich günstigen Jahreszeit. So kommt es vor, dass in gewissen anderen Jahreszeiten (besonders in der Mitte des stählernen Holztages des Monats) wenige gesehen werden oder selbst gar keine. In verschiedenen Operationen kann die Verdüppelung des alten Kanals verschiedene Anzeichen zeigen bezüglich der Höhe, Intensität und Ausdehnung der beiden Strahlen, in einigen Fällen kann auch die Richtung der Linsen variieren, indem sie, wenn auch in sehr geringer Weise, aber doch um eine kleine Grösze von dem Kanal abweicht, mit dem sie direkt verknüpft sind. Aus dieser wichtigen Thatsache ergibt sich unmittelbar, dass die Verdüppelungen keine festen Eindrücke auf der Oberfläche des Meeres sein können, wie die Kanäle selbst.

Die Beobachtung der Verdüppelung ist höchst schwierig und kann nur einem Auge gelingen, das wohl geübt in solcher Arbeit und unterstützt wird von einem Fortschritt von sorgfältiger Konstruktion und von grosser Kraft. Dies erklärt, warum sie nicht vor dem Jahre 1882 gesehen wurden. In den zehn Jahren, die seit jener Zeit verlossen, ist sie auf \approx bis 10 Observatorien gesehen und beschrieben worden. Nichtsdestoweniger lagern noch Einige, dass diese Erscheinungen still sind,

und beachtlichen der Täuschung (jeder teilte den Betrug) diejenigen, welche versichern, dass sie denselbe beobachtet haben.

Eine Erklärung der Verdoppelungen ist nach Prof. Schiaparelli nur sehr noch nicht zu geben und manche bis jetzt aufgestellte Hypothesen würden nicht zu Tage gefördert werden, wenn ihre Urheber die doppelte Anzahl selbst am Fernrohr gesehen hätten. Schiaparelli schenkte gleich, dass er lieber sein dürfte, die Verdoppelung zu denken unter Selbsttäuschung von Köpfen der organischen Natur, doch sei für uns das Feld gleich wahrscheinlicher Voraussetzungen so groß, dass alle Deutungen willkürlich bleiben müssten. Aber was von der Zukunft zu hoffen sei, wäre dies, dass mit der Zeit die Unbestimmtheit des Problems sich verringere, so dass sich herausstellen werde, wenigstens was die Verdoppelungen nicht sein könnten. Man müsse diese auf das vertrauen, was Galileo „die Lichtemittirtheit der Natur“ genannt hat, dank welcher erweisen aus einer unerschöpflichen Quelle des Lichtstrahl eine Untersuchung erhielt, die jetzt unserer Spekulationen unzugänglich erschien und von welcher wir ein schönes Beispiel in der Himmelsmechanik haben.

Eine ältere Beobachtung über Lichterscheinungen im Mars Crater.

In Schotters Heft: Fragmenten Bd. I. § 326—327 wird über eine von Eysenhard, einem Schüler des bekannten Lambert, am 26. Juli 1774, 12 Uhr im Mars Crater wahrgenommene merkwürdige Lichterscheinung berichtet, die wohl einzig in ihrer Art dastehen dürfte. Da die benutzten, nicht astronomischen Fernrohre von 4, 7 und 12 Foss Länge offenbar von geringer Leistungsfähigkeit waren und der ganze Vorgang selbst den planetarischen Schötter als unerklärlich erschien, ist diese Beobachtung ausschließlich von späteren Selbsteignungen als unzuverlässig seiner Art gelassen worden, wenigstens wird sie bei Mädler, Neison und in Klein's „Führer“ nicht erwähnt. Dennoch mag ein kurzer Besprechung unterworfen werden. Der Beobachter sah damals, als die Lichtgrenze des abnehmenden Mondes fast genau durch die Mitte des Mars Crater und des Cleomedes ging, im westeren J. Ebene, ungenau helle Flecken, von denen sich nach Tab. XXXV. Fig. 5, zwei an der Lichtgrenze selbst, die beiden anderen aber im dunklen Teile des Mondes befanden. Wie Schötter nun glaubhaft nachweist, waren die ersten beiden die bekannten Ringelsteine Picard und Picard A (oder Petros bei Neison), die letzteren aber fallen mit keinem Gegenstande zusammen, der sich in derartigen Entfernung von der Lichtgrenze noch als beinahe hell wahrnehmen ließe. Doch lässt eine genauere Prüfung der erwähnten Fig. 5, vermuten, dass die Zeichnung richtig ist, nicht vollkommen, dass der Fleck a nahe dem Ost des Prom. Agarum, und der kleine Ringelstein b (nicht C) trifft. Nachtrich kann von einer Sichtbarkeit der letztgenannten beiden Objekte unter gewöhnlichen Verhältnissen zur Beobachtung nicht kein Rede sein. Aber was wohl merkwürdig ist, zeigte das Gebiet der Schüttenhöhe, welches durch das Meer ging, eine wellenförmige Bewegung, indem es sich bald vom Mittelpunkt des Mondes

erfahren, bald ihm wieder überhörte, wie Schütter nach Lombard's Briefen berichtet. Diese Bewegung wurde während voller 3 Stunden mit 3 verschiedenen Instrumenten beobachtet und zeigte sich nur an dieser Stelle, nicht auch an dem Teil der Lichtgrenze, welcher durch das Meer Fortgesetzt ging. Sie konnte mithin keine bloße Folge von Wellungen der Kristallosphäre oder Foklere des Fernrohres sein, was letzteres überhaupt wohl ausgeschlossen scheint bei der Eigenartigkeit des Vorganges. Der Beobachter selbst verglich sie mit einem unbeherrschenden Flutwau, was Schütter mit Recht wegen der Entfernung der Punkte a und c von der Lichtgrenze zurückweist. Da dasselbe nämlich nach seiner Rechnung wenigstens 16 geogr. Meilen betrug und die Bewegung des Mediums dieses Raum in Jackson's 5 bis 6 Minuten zurücklegte, so müsste die Geschwindigkeit in der Sekunde über 1200 Fuss betragen haben, so dass an ein Flutwau im technischen Sinne nicht zu denken ist. Schütter selbst denkt an einen periodischen Vorgang, ohne doch diese Erklärung wirklich verteidigen zu wollen, da auch nach neuerer gegenwärtiger Vorstellungen über die Ausdehnung und den Charakter derartiger Erscheinungen behauptet sein würde.

Will man die Darstellung Eschenhoff's überhaupt als gleichwichtig ansehen, und das haben sowohl Lombard als Schütter gethan, — auch ist der Beweis darüber abgemacht von dem Nachwendigen, was er enthält, ganz ungenügend und verständig ängstlich, — so handelt es sich von diesem, eine Erklärung dafür zu finden, wie eine unbeherrschte Vermöhrung der Lichtgrenze zwischen Fivard und Pizol erzwungen, dem Pizol, Agarum und Etwart C andernwärts bei gleichzeitiger Stöcheranweisung der ca. 16 Meilen von der Lichtgrenze abliegenden letzteren beiden Objekte wenigstens denkbar wäre. Erregt man die Götze des in Betracht kommenden Gebietes, über 100 Quadrastadien, die Schaelligkeit der Bewegung und des gleichzeitige Erschalten zeigen an sich dunkler Objekte, so kann wohl nur ein eruptiver Vorgang überhaupt zur Lösung herangezogen werden. Derselbe müsste sich auf den Vorbruchspizel Pt. Ag-Etwart C abspielen haben, dergest, dass der Lichtschein nicht im stände gewesen wäre, den Westrand des Meer-Ozeans zu treffen, der ja sonst gleichfalls hätte beobachtet erscheinen müssen. Eine hierfür geeignete Stelle würde der Ostfuß von Albano Δ , vielleicht auch noch der von Albano α abzugeben haben. Diese Kruppen müsste etwas weiter genöthige Dampfmassen ausgeworfen haben, mit einer Geschwindigkeit von reichlich 1200 Fuss in der Sekunde, die sich zunächst in der Vertiefung, dann aber in der Hochmontain bewegt hätten und zwar hätte die oberste Dampfstricht eine solche Höhe erreichen müssen, dass sie auch vor den Sonnenstrahlen getroffen werden konnte. Die Bewegung dieser Dampfstrahlen müsste nach Osten gerichtet gewesen sein und die Kruppen alle 10 bis 12 Minuten sich wiederholen. In der That müsste dann sichtbar die Lichtgrenze, die sich auf der Oberfläche der Dampfstriche klar abzeichnen würde, mit deren Bewegung nach Osten sich gleichfalls sichtbar von a c nach b d entfernen und bei dem Wieder aufsteigen der Walle der nachfolgenden Kruppen, falls diese latter die Linsen bei a des höchsten Lebensausgangspunkt über a c erreichte, nach ac sichtbar zurückkehren. Dass der weitere Weg dieser Dampfmassen im untersten Theil des Meeres nicht sichtbar war, lässt sich durch

dieser alkoholische Zersetzung erklären, die allerdings die Gefäße genau der Mars hätte unerschöpflich erweitern lassen sollten, was aber bei der üblichen Dehnung der besetzten Instrumente nicht wahrnehmbar war. Denn der Erhitzungspunkt nicht mehr als heller Lichtpunkt erkannt wurde, was einmal wegen seiner Kleinheit möglich, wahrscheinlich aber, weil er in der Vogelperspektive gesehen, durch die sich auch in den Erhitzungsintervallen die ganz darüber verwehende Dampf- und wohl auch Lichtwellen verdeckt wurde.

Kreuzer sieht unsere Kenntnis der auf dem Monde vorhandenen und wirksamen Kräfte Wasser sprechender würde in diesem Lösungsversuche nicht angemessen werden, im Gegentheil muss es, vom Standpunkte derjenigen Theorie aus betrachtet, dass die früheren Wassermassen im Mondraum gebildet seien, durchaus möglich erscheinen, dass sie bei einer heftigen Kollision durch Dissoziation wieder gelöst werden können. Eine für uns erkennbare topographische Wirkung herrschte eine derartige, fast oder ganz in der Ebene belegene Explosion am Pole eines Erdbahnges Himmels nicht hervorzuheben. Was man noch über diese Ansicht denken mag, so lange man die vorstehende Beobachtung nicht anders als Selbsttäuschung oder gar Betrug verurtheilen will, — wann kein entgegenstehender Grund vorliegt, dass über eine demselb. absonderliche, zweifelhaftige Beobachtung Macht sich wohl selbst ein Anfänger nicht, geschweige denn ein erfahrener Beobachter — ist es Pflicht, nach einer Erläuterung zu suchen und mag vorstehender Versuch als solche dienen, bis eine bessere gefunden wird.

Dr. Hartung.

Der Zusammenhang des Kometen 1891 I (Bennig) mit dem Brunschen Kometen.

Die Thatsache, dass der Brunsche Komet 1879 und 1890 nicht wieder gesehen worden ist, trotzdem im letzten Jahre die Selbstbeobachtungen sehr günstige eine mussten, zusammen mit der Bemerkung von Hund über diesen Kometen, bei Herrn Dr. E. Lamp in Kiel zu gewissen Untersuchungen verwendet¹⁾, die zu einem befriedigenden Ergebnisse führten. Gestützt auf die Beobachtungen des Brunschen Kometen in Köln hat er seine Beobachtungen des letzten berechnet und mit diesen auch die Störungen abgeleitet. Es ergab sich so, dass die Bahn des Brunschen Kometen ungefähr die des Brunschen Kometen in $24^{\circ} 30'$ östlicher Länge und $- 17^{\circ} 40'$ Breite in einem Winkel von $24^{\circ} 30'$ schneidet. Der Brunsche Komet passierte diese Knotenlinie 1891 Januar 16,5101 in einer Entfernung von der Sonne, welche 0,10216 Halbmesser der Erdbahn betrug. Der Brunsche passierte die gleiche Linie 1891 Januar 21,5022 in einer Entfernung von der Sonne gleich 0,11100 Halbmessern. Der Unterschied der Entfernung ist ziemlich unbedeutend, der Zeitunterschied beträgt dagegen noch immer 7,4 Tage. Indessen ist es von Wichtigkeit, dass die beidg. Bahnen aus den Beobachtungen von 1891 ohne jede Rücksicht auf die Er-

¹⁾ Ann. Natur. Nr. 1875.

zusammenkunft 1880 abgeleitete Bahnlemente des Deming'schen Kometen, doch bei Vergleichung mit der Bahn des andern Kometen diese immer hin nur geringe Unterschiede zeigen.

Eine kleine Verbesserung der Annäherung beider Kometen ergibt sich noch, wenn man nicht den Durchgang durch die Knotenlinie, sondern durch die Bahnhöhepunkte (die Punkte der kleinsten Distanz beider Bahnen) betrachtet. Diese liegen für die Deming'sche Bahn in $284^{\circ} 50' 12.7$ heliozentrischer Länge — $1^{\circ} 52' 14.0$ Breite, für die Brown'schen in $= 284^{\circ} 20' 32.3$ heliozentrische Länge — $1^{\circ} 42' 52.1$ Breite, d. h. für Brown ganz dicht an der Scheitellinie der Bahn, für Deming um einige Bogensekunden davon entfernt. Die Bahnrektionen in diesen Punkten sind $\log r = 0.314760$, $\log r = 0.311664$ und die Entfernung beider Punkte von einander ist 0.000617 Erdhalbmessener, natürlich etwas größer als die Differenz dieser beiden Bahnrektionen. Der Durchgang des Kometen passiert seinen Nöthepunkt $187^{\circ} 1$ Jan. 17 1881, der Nöthepunkt des andern 1881 Jan. 23 1880, der Unterschied der Zeiten beträgt hier also nur noch 4.2648 Tage.

Die hier abgeleitete Bahnkurve ist besonders klein im Verhältnis zu den Dimensionen, welche die Bahn des Brown'schen Kometen regelmäßig nach dem Perihel annimmt.

Nach den Beobachtungen von Julius Schmidt im Jahre 1868 drehte sich die Nebelhülle des Kopfes des Brown'schen Kometen aus, als der selbe sich von der Erde entfernte. Im Mai jenes Jahres betrug ihr Halbmesser 18 85 Erdradien. Legt man diese Größe zum Grunde, so findet man, dass die oben angegebene kleinste Entfernung der Bahnen beider Kometen nur etwa das fünfte der Durchmesser des Kometenkopfes (der sogenannten Koma) ausmacht.

Man kann es überhast, bemerkt Hr. Dr. Lang, die sehr wahrscheinlich ist, dass, wenn allerdings erst die Wirkkräfte des Deming'schen Kometen volle Gewissheit bringen wird, dass die beiden Kometen Ende Januar 1881 gleichzeitig sich sehr nahe an denselben Punkte der Welt reiser befinden haben, und man kann sich wohl leicht zu der Ansicht gelüßelt fühlen, dass beide Weltkörper bis zu jenem Zeitpunkt nur einen Kometen bildeten, der durch irgend einem Vorgang auseinander gerissen wurde. Sollte letzteres auch bei der detaillirten Beschreibung als noch wahrscheinlicher anstehen, so würde man sogar unter gewissen Umständen im Stande sein, auch das andere Stück des Stüßens Brown'schen Kometen auf seinem neuen Wege zu verfolgen.

Über den Nebel im Orion.

Von Dr. V. Leske in Finn.

Wenn man die große Zahl der Abbildungen des Orion-Nebels überlegt, so fällt einem sofort ihre Nichtübereinstimmung mit der Wirklichkeit auf. Am besten entspricht noch die von Roberti gewonnene Photographie dem tatsächlichen Stande. Der Anblick bei größerer Vergrößerung giebt nämlich deutlich die Zeichnung von Bond wieder. Aber die Temperleche Zeichnung selbst nur durch die grade gestrichen

Sache, ganz unvollständig zu sein, auch scheint das Verhältniß der Helligkeiten nicht gut aufgefaßt zu sein.

Ich habe es nun in einigen sehr belichteten Nachten vermocht, den Orionstern zu zeichnen, wozur ich zunächst einige photographische Aufnahmen mit einem 5-zölligen Portraitobjektiv, mit demselben, mit welchem Prof. Wolf seine ersten Planetenaufnahmen gemacht hat. Die Objektivbeobachtungen wurden mit unserem 8-Zöller von $2\frac{1}{2}$ Meter Brennweite, einem sehr schiefstarken Fernrohr gemacht und aus der photographischen Aufnahme ergänzt. Besonders schwächere Partien erlaube ich der Beobachter Photographie, um eben ein möglichst vollständiges Bild zu liefern. Das Resultat dieser Beobachtungen ist die beiliegende Tafel VI, welche keine andere Erklärung wohl bedarf. Nur eines möchte ich hervorheben. Der Orionstern wird gewöhnlich so gezeichnet, als ob ein gleichmäßiger Übergang von den hellsten zu den dunkelsten Partien stattfände. Dieses ist aber nicht der Fall, ich sehe gleichsam viele hellere in einander geschlossene Licht-Ästere. Auf der von mir aufgenommenen Photographie sieht man aber noch etwas anderes viel deutlicher, als auf jener von Robert. Der helle Teil des Nebels bildet mit einem Teil eines grossen Ringes, der den ganzen Nebel umgibt. Ein zweiter viel schwächerer Ring geht ebenfalls vom Centrum aus und hat bei gleicher Grösse mit dem ersten seinen Mittelpunkt in der Höhe des Sterns 136. Engerumschrieben wurden nur die wichtigsten Sterne, um das Bild des Nebels nicht zu sehr in den Hintergrund zu drängen. Die auf der Tafel abgebildete Figur ist nur als ein Vorschuss zu betrachten, denn ich gedachte den Nebel besser zu verfolgen und insbesondere recht rein Detailaufnahmen zu machen. Wenn es Umstände erlauben, werde ich im nächsten Winter nach Wien und Bonn reisen, um meine Studien an den grossen Instrumenten zu vervollständigen.

Ein neuer Typus für terrestrische Fernrohre.

Stellt man sich Fernrohre als Objekte mit einer Konkavlinse auf denselben optischen Axe derselbig zusammen, dann beide einen gemeinsamen Brennpunkt haben und die Entfernung der Linse gleich der Öffnung ihrer Brennweiten ist, so hat man im allgemeinen den Typus des heliostatischen oder Galiläischen Fernrohres. Bei dieser Zusammenstellung verhalten sich, streng genommen, das rechte Bild im Vorderhaken. Der Beobachter muss deshalb die Konkavlinse um ein kleines Stück verrücken, damit das Bild in seine deutliche Sehweite tritt. Die Verstellung hat in dem Sinne zu geschahen, dass die Entfernung der Linse verkleinert wird. Bewegt man dagegen die Konkavlinse so, dass die Entfernung der Linse vergrößert wird, so erscheint jetzt ein reelles Bild, welches sich von dem durch die Objektiv allein erzeugten Bilde nur durch seine Grösse und grössere Entfernung unterscheidet. Je kleiner im letzteren Falle die Verstellung der Konkavlinse ist, um so besser erscheint das reelle Bild, und so rührt es Grössen kontinuierlich ab, wenn man die Konkavlinse gegen den Brennpunkt des Objektivs hinbewegt. Steht die Konkavlinse im Brennpunkt des Objektivs,

es wirkt sie gewisshoch sehr vergrößernd, wird sie auch über diesen hinausbewegt, so entsteht ein virtuelles, verkleinertes Bild.

Die Eigenschaft einer Konkavlinse, in Verbindung mit einem Objekt in gewissen Stellungen vergrößernde reelle Bilder zu erzeugen, hat namentlich in den letzten Jahren das Interesse der Fachgenossen wach gemacht. Die Erfindungen, diese Vergrößerung für die optischen Instrumente nutzbar zu machen, bewegen sich heute in zwei Richtungen.

Erstens hat man diese Zusammenstellung mit Erfolg für die Photographie benutzt, wenn es sich darum handelte, von sehr entfernten Gegenständen möglichst große Bilder zu erzeugen. In diesem Falle wählte man die Linsekonstruktion „telephotographisches Objektiv“.

Es ist wohl die Anwendung dieser Linsezusammensetzung bei den Versuchen, die Brennweite eines Fernrohrobjektives möglichst zu verkleinern, ohne dabei die Vergrößerung und Öffnung zu verlieren. Diese Versuche sind noch nicht völlig abgeschlossen, werden vielmehr in den verschiedensten optischen Werkstätten fortgesetzt. Die Schwirgler-Konzepte haben bei diesen Versuchen darin, dass sich die Fehler der sphärischen und chromatischen Abweichungen nicht mit derselben Vollkommenheit vermeiden lassen, wie bei dem einfachen korrigierten Doppelobjektiv. Dieses letztere zeigt sich namentlich in dem Fällen überlegen, in welchen die äusseren Strahlen und Herdort der Bilderherbe verlegt wird.

Bei allen diesen Versuchen über die vergrößernde Kraft der Konkavlinse hat diese Eigenschaft der kontinuierlichen Vergrößerungsänderung infolge Veränderung der Linse bisher von niemand erkannt und gewürdigt worden. Besonders treten diese Vorteile bei Mikroskopen und sonstigen Instrumenten hervor, bei denen man wegen der praktischen Handhabung nicht gut einen Okularwechsel vorsehen kann, wie Theodorlythner, Köhnenmacher und alle Fernrohre aus Handgehackt für Feld und Marine. Vor allen Dingen gewährt aber diese Eigenschaft der Konkavlinse die Möglichkeit einer Fernrohrkonstruktion, welche bis jetzt noch nie eingeführt ist und den gewöhnlichen Typen gegenüber sehr vorteilhaft, neue Vorteile bietet. Man kann nämlich einen Bewegungsmechanismus der Linse gegen einander konstruieren, welcher dem Beobachter erlaubt, eine kontinuierliche, beständig sehr empfindliche Vergrößerung zu erzielen, ohne dass er genötigt ist, das Instrument vom Auge abzurücken. Stellen wir uns nun, um ein praktisches Beispiel anzuführen, ein Fernrohr dieser neuen Konstruktion vor, das eine vierfache zweungfache Vergrößerung besitzt. Bei der geringsten Vergrößerung — Vierfach — kann der Beobachter ein grösseres Terrain überblicken und ist in der Lage, irgend einen willkürlichen Punkt dieses Terrains, ohne das es aus dem Auge zu verlieren, ins zur stärksten — zwanzigfachen Vergrößerung heranzuziehen. Sehr in die Augen springend wirkt dieser Vorgang auch beim Gebrauch dieser Fernrohre in der Nacht, wenn es sich darum handelt, sehr fern kleine Lichtpunkte zu beobachten. Mit einem Handrohr, welches zwanzigfach vergrössert, würde es selbst dem geschicktesten Beobachter nicht leicht gelingen, den Lichtpunkt schnell zu finden; mit einem schwach vergrößernden Fernrohr würde er zwar den Punkt finden, aber infolge der geringen Vergrößerung hoher Details unterscheiden können. Mit dem Fernrohr der neuen Konstruktion

ist es jedoch eine leichte Aufgabe, das NH in jeder gewünschten Vergrößerung, von dem schwächsten ausgehend, in das Gesichtsfeld zu bringen.

Die von Herrn Alfred Conrad Bauer in Berlin erfundenen und durch Patent Nr. 78261 in Deutschland, sowie in den anderen Kulturländern geschützten Fernrohre sind in der Werkstatt von Carl Bausch & Lomb in Jena in starker Modellier hergestellt. Das hierbei auftretende optische und mechanische Schwierigkeiten sind ausserordentlich überwunden, und zwar in einer verhältnismässig einfachen Weise, sodass einer Massenherstellung nichts mehr im Wege steht. Es werden deshalb einige die Wirkungsweise des neuen Instrumente betreffende Seiten von weiteren Interesse sein. Das Charakteristische derselben ist die variable Vergrößerung, welche sich innerhalb sehr weiten Grades ohne Okularwechsel vollzieht. Was die mechanische Anordnung betrifft, so sind bis jetzt wesentlich zwei Typen ausgearbeitet. Man stellt sich die Doppelfernrohre von 10 cm Länge und 2½ cm Objektivöffnung vor. Dasselbe wird durch einen sogenannten Behälter von der Länge von 20 cm umgeben und liefert jetzt eine vierfache Vergrößerung bei einem sehr kleinen Gesichtsfeld von 30°, welches auch bei der stärksten Vergrößerung erhalten bleibt. Durch eine Stellenschraube wird die Einstellung für verschiedene Augen geregelt. Jedem man einen zweiten Anstrich anzubringen, so dessen Mittelführung die Vergrößerungsgrade einreguliert ist, kann man jetzt eine beliebige Vergrößerung bis zu einer fünfzehnfachen einstellen. Der Okularstellung erfolgt wieder durch die oben angegebene Stellenschraube. Es ist gelungen, die optischen und chromatischen Aberrationen bei jeder Stellung des optischen Systems praktisch vollständig zu vermeiden. Die sorgfältigsten Vergleiche mit anderen Fernrohren von denselben oder ähnlichen Dimensionen haben ergeben, dass die Fernrohre nach System Bauer auch im Licht allen bekannten terrestrischen Fernrothypen überlegen sind. Die zweite Form ist wesentlich als solches Fernrohr in verschiedenen Grössen von 7 cm bis zu 3 Zoll Objektivöffnung angefertigt. Das Okular ist zur Augenstellung in einer kleinen Schraube beweglich. Jedem man auch ständiger scharfer Einstellung des Fernrohrs diesen Behälter dreht, vergrössert sich das Bild äusserordentlich vor dem Auge des Beobachters, wobei das Bild beständig scharf eingestellt bleibt. Das hierzu notwendige Verhältnissmässige eine praktische Anordnung gegeben zu haben, ist nicht zum kleinsten Theil ein Verdienst des Herrn Th. Ludwig von der Firma C. Bausch & Lomb in Jena. Es ist auf diese Weise erreicht, mit verhältnismässig geringen Mitteln einen ausserordentlich überraschenden optischen Effekt hervorzubringen.¹⁾

1) Fortschritt der Naturwiss. 1890. Bd. 3, S. 55.

Vermischte Nachrichten.

Der Fortschritt der Meteor-Astronomie 1864. (Einen Bericht *) des Herrn Deming hierüber entnehmen wir Folgendes:

Zur Zeit der Ekliptike der Quadranten Meteore, Anfangs Januar herrschte in England starker Frost und nur wenige Meteore und Beobachter wurden und zwar von Prof. Herschel zu Slough, von Herrn Carter zu Bridgewater und von Hrn. Deming zu Bristol. Am 2 7^{ten} fand Carter die Quadranten auf kurzer Zeit sichtbar, auf die Stunde berechnet etwa 40 bis 50 Meteore. Er bestimmte den Radiationspunkt zu 216° Rektasc. und 52° nördl. Deklination und fand einen bemerkbaren Radianten im Herkules (240° Rektasc. und + 40° Dekl.). Ein Meteor 2. Größe von letzterem Radianten wurde gleichzeitig zu Slough und Bridgewater gesehen. Die Berechnung ergab, dass es zu 15 engl. Meilen Höhe erschien und in 50 Meilen Höhe zerfiel, seine Geschwindigkeit betrug etwa 21 engl. Meilen in der Sekunde.

Die Beobachtung der April-Meteore wurde durch den hellen Mondschein sehr behindert und lieferte keine besonderen Ergebnisse.

Am 1. in den Morgenstunden des 1., 2., 4., 6., 7. und 10. stellte Prof. Herschel Beobachtungen an 10^{ten} der Abende, des von Letztstem Topazium 1860 entdeckten Schwarm der Aquariden wieder an. Es wurde in der That 11 Meteore zu die Karten eingetragen, doch fehlten 2. Neben beobachtet bestimmter Radiationspunkte.

Am 2ten Meteore. Peter Dent gab eines anzuwachen Bericht über die Sternschuppenbeobachtungen zu 24 Stunden in Italien während der Nächte des 11.—12. August. An den verschiedenen Tagen wurden gezählt 1800, 2000, 2400 und 2000 Meteore. An der höchsten Meteorengasse zu 4500 Faden Höhe sah man eine seltene Entwicklung der Perseiden am 11. August gegen 3 Uhr früh. Die Zahl der Meteore war so gross, dass es nicht genau festgestellt werden konnte. Der Hauptstrahl lag nach den Beobachtungen auf der Vulkan- Sternwarte in 45° Rektasc. und 54° nördl. Dekl., daneben fanden sich schwache Radianten in den Sternbildern Cassiopeja, Drache und Schwan.

Zu Utrecht beobachtete die Herren Syland und Felt 10 Meteore am 10 August von 19° 22' bis 19° 12', also in 50 Minuten. Von diesen kamen 17 aus dem Feuer, entstehend aus Feuerkugeln in 47° Rektasc. und 54,5° n. Dekl., sowie 28° Rektasc. und 51° n. Dekl. Am 18 August zählten dieselben Beobachter 19° 30' bis 19° im Ganzen 59 Meteore, darunter 15 Perseiden. In England war das Wetter während des August im allgemeinen für Meteorbeobachtungen ungünstig.

Die Leoniden Leoniden wegen Mondfinstern am November nicht beobachtet werden. Dagegen sah ein Beobachter zu Montreal in der Schweiz am Morgen des 18. Dezember zahlreiche Meteore am Nordost-Himmel, die wahrscheinlich dem Schwarme der Gemindiden angehörten.

Feuerkugeln. Am 28. Januar 1864 wurde eine datierende Feuerkugel, die über die Kräfte von uns beobachtet. Ihre Höhe beim Aufbrechen war 30, beim Verschwinden 11 engl. Meilen die Geschwindigkeit

*) Monthly Notices Royal Astr. Soc. 1864. Februar Vol. 15, No. 4, p. 284.

Zeit 9 engl. Meilen in der Sekunde. Sie kam aus einem Radfanten der in 60° Nördl. und 56° n. Dekl. lag. Februar 8. U^o 15^o wurde ein glänzendes Meteor bei vollem Sonnenschein gesehen. Nach dem Untersuchungs von Dr. A. Rambaut von der Sternwarte in Brüssel erschien das Meteor 17 engl. Meilen hoch über der Insel Teneriffe und verschwand in 15—20 Meilen Höhe über einem Punkte nahe bei Leeds. Dieser Feuerball kam aus einem im Herkules gelegenen Radfanten.

Februar 21. 7^o 18^o wurde ein helles Meteor an Bristol, Dundee und andern Orten gesehen, es verschwand in 30 Meilen Höhe.

April 26. 7^o 30^o in der heftigen Dämmerung erschien ein großer Feuerball in Frankreich; aus 30 Meilen Höhe senkte er sich bis in 17 Meilen herab, nahe bei Avignon. Seine Geschwindigkeit betrug 30 Meilen in der Sekunde.

Am 25. August. 10^o 50^o wurde ein sehr schönes Meteor an verschiedenen Orten im stilleschen England gesehen. Es erschien 30 Meilen hoch über einem Punkte des Flusses Marvey und senkte 30 Meilen hoch über Watlin. Im Hinterlassenen 4 Meilen langen leuchtenden Strahlen, der in seiner Damm merkwürdige Veränderungen zeigte. Das Meteor kam aus dem Sternbilde des Capitan.

Helium in einem Mineral. Der Stoff, welcher die Linie D₃ des Sonnenspektrums gibt, ist bekanntlich bisher auf der Erde nicht aufgefunden und deshalb „Helium“ genannt worden. In der „Nature“ vom 28. März teilt von Herr Ramsay mit, dass er bei seinen Versuchsungen, eine Verbindung des Argon aufzufinden, auf das seltsame Mineral Cleveit aufmerksam gemacht worden sei, das, mit schwacher Schwefelsäure erwärmt, 2 Fran. Stickstoff gebe. Da Cleveit ein Nitratmineral ist, dachte er, der Stickstoff könnte vielleicht Argon sein und mit dem Uman eine Verbindung bilden. Herr Ramsay schreibt uns weiter: „Das Gas verlor, von elektrischen Funken durchstrahlt, mit Sauerstoff in Gegenwart von Natrium nur eine Spur von Stickstoff, der wahrscheinlich beim Extrahieren hineingeraten war; der Rest besteht aus einem Gemisch von Argon und Helium! Das seltsame, gelbe Leuz, dessen Wellenlänge Herr Crookes im 187.81 bestimmt hat, ist identisch mit der Helium Linie. Ich nenne das Gas und werde in Ratten seine Eigenschaften nachweisen.“

Ein neptunisches zweiter Mund des Neptun. Hr. Schillerle teilt mit, dass er in der Nacht des 28. September 1882 bei ganz ungewöhnlich klarem, ruhiger Luft, am Südpol der Licksternwarte etwas an der Gestalt der Schärferheit für dieses Instrument stehendes kleines Stern nahe beim Neptun gesehen habe. Derselbe konnte 1^o 50^o Nord durch beobachtet werden und zeigte während dessen eine am 2^o grössere Änderung im Positionswinkel gegen den Neptun als nach der parabolischen Bewegung des letzteren der Fall sein konnte. Herr Schillerle hat indessen bei keiner anderen Gelegenheit dieses schwachen Stern wieder gesehen, sodass die Natur desselben vor der Hand noch zweifelhaft bleiben muss.

Wessere grössere und kleinere

Refraktoren

sind sehr preiswürdig zu verkaufen. Bekanntere wollen sich wegen
seltener Metallarten an mich wenden.

Dr. Hermann J. Klein in Köln.

Verbindungen der Teleskope. Die folgenden Angaben über die Verbindungen der Teleskope sind aus dem *Handb. d. Astronomie* entnommen und die angegebenen Zeiten mit Rücksicht auf Greenwich. Die Teleskope sind der Reihenfolge ihrem Abstände vom Jupiter nach mit I bis IV bezeichnet. Folger bedeutet

- Te I die Verbindungen eines Teleskops im Schatten des Jupiter,
- Te II den Ansatz des Teleskops aus dem Schatten des Jupiter,
- Te III die Verbindungen des Teleskops hinter der Jupitersehne,
- Te IV die Verbindungen unmittelbar neben der Jupitersehne,
- Tr I den Ansatz des Teleskops vor die Jupitersehne,
- Tr II den Ansatz des Teleskops aus der Jupitersehne,
- Tr III den Ansatz des Teleskops hinter der Jupitersehne,
- Tr IV den Ansatz des Teleskops neben der Jupitersehne.

Es sind nur diejenigen Anschlüsse der Jupitersehne angegeben, welche sich ereignen, wenn Jupiter im Oppositionspunkt und die Sonne gegen den Meridian steht. Um scheinbar die Zeitpunkte dieser Erscheinungen mit jedem andern Ort zu finden, hat man nur nötig, den Längengradschied gegen Greenwich entsprechend in Zeit zu dem angegebenen Zeitpunkt zu addiren, wenn der Ort westlich von Greenwich liegt, und davon zu subtrahiren, wenn der Ort östlich von Greenwich liegt.

August 19. II Cr S 12° 30'. August 18. I Sa S 12° 30'. I Tr I 12° 30'.
 August 24. I Cr S 12° 45'. IV Tr S 12° 45'. August 18. III Cr S 12° 45'.
 August 18. II Cr S 12° 50' 30". August 21. I Sa D 12° 50' 30". August 22.
 I Sa K 12° 50". I Tr S 12° 50". August 24. II Tr I 12° 45'. II Sa K 12° 50'.
 II Tr S 12° 50'. I Sa D 12° 50' 30". August 28. I Sa I 12° 45'. I Tr I 12°
 50'. I Sa K 12° 45'. I Tr S 12° 50'. August 26. I Sa S 12° 50'. August 22.
 IV Tr K 12° 50'. III Cr S 12° 50' 30".

Fluchtgeschwindigkeiten 1880. August 1. 9^h Merkur im schiefen Stande. August 2. 12^h Merkur in der Beobachtung. August 3. 9^h Venus in Quadratur mit der Sonne. August 11. 9^h Venus in größtem Glanz. August 15. 10^h Merkur in größter und hellster Ausdehnung. August 17. 9^h Merkur in größter Ausdehnung mit der der Sonne. August 21. Mondfinsternis. August 26. 20^h Venus in der Beobachtung.

Starglocken durch den Mond für Berlin 1880.
Sind im August nicht mehr.

Tag und Nacht im September (nach Bonn.)
Aug. 24. Erste Nacht der Gleichheit, 12^h 12^m. Letzte Nacht 12^h 57^m.
Erhebungswinkel der Erde über der Ekliptike 11° 12' 30".

Stellung der Jupitermonde im August 1902.



Stellungen von IO, III, IV des Jupiter im astronomischen Fortschritt

Tag	West	Jup.	Ost
1		○	
2		○	
3		○	
4		○	
5		○	
6		○	
7		○	
8		○	
9		○	
10		○	
11		○	
12		○	
13		○	
14		○	
15		○	
16		○	
17		○	
18		○	
19		○	
20		○	
21		○	
22		○	
23		○	
24		○	
25		○	
26		○	
27		○	
28		○	
29		○	
30		○	
31		○	

Plantenlebung im August 1895.

Wälder bei Kottbus					Mittelw. bei Kottbus							
Konting. N.	Anzahl pro Acre.			Anzahl pro Acre.	Anzahl pro Acre.	N.	Anzahl pro Acre.			Anzahl pro Acre.		
	A.	B.	C.				A.	B.	C.			
1895.	März.						September.					
Aug. 6	4	3	2100	+23	27	18	13	2000	—	—	—	—
14	1	3	2045	—	21	18	13	2000	—	—	—	—
17	4	2	2100	+18	20	20	20	2000	—	—	—	—
20	10	10	2000	—	12	12	12	12	12	12	12	12
22	20	10	2000	—	10	20	10	20	10	20	10	20
23	11	10	2000	+1	14	12	12	12	—	—	—	—
Yasow.												
Aug. 6	11	10	2100	—	10	10	2000	—	—	—	—	—
14	11	10	2100	—	10	10	2000	—	—	—	—	—
15	11	10	2100	—	10	10	2000	—	—	—	—	—
16	12	1	2000	—	10	10	2000	—	—	—	—	—
18	12	4	2000	—	10	10	2000	—	—	—	—	—
20	12	1	2000	—	10	10	2000	—	—	—	—	—
Mere.												
Aug. 7	10	21	2100	+10	21	21	2100	—	—	—	—	—
15	10	20	2100	—	10	10	2100	—	—	—	—	—
16	10	21	2100	—	10	10	2100	—	—	—	—	—
18	10	21	2100	—	10	10	2100	—	—	—	—	—
22	12	1	2100	—	10	10	2100	—	—	—	—	—
24	10	20	2100	+4	10	10	2100	—	—	—	—	—
Kottbus.												
Aug. 17	7	10	2100	+10	10	10	2100	—	—	—	—	—
18	7	10	2100	—	10	10	2100	—	—	—	—	—
20	8	1	2100	+3	10	10	2100	—	—	—	—	—

Wälder bei Kottbus

N.		Anzahl pro Acre.	
Aug.	Sept.	Aug.	Sept.
10	15	2100	2100
15	15	2100	2100
18	15	2100	2100
22	15	2100	2100
24	15	2100	2100

T. 10000
 T. 10000
 T. 10000
 T. 10000

Mittelw.

Wälder bei Kottbus				Wälder bei Kottbus			
N.	Anzahl		Mittelw.	N.	Anzahl		Mittelw.
	A.	B.			A.	B.	
1	17	20	2100	17	20	2100	
2	15	20	2100	15	20	2100	
3	18	21	2100	18	21	2100	
4	16	21	2100	16	21	2100	
5	20	20	2100	20	20	2100	
6	22	20	2100	22	20	2100	
7	20	20	2100	20	20	2100	
8	25	25	2100	25	25	2100	
9	18	20	2100	18	20	2100	
10	21	21	2100	21	21	2100	
11	20	21	2100	20	21	2100	
12	18	21	2100	18	21	2100	
13	20	21	2100	20	21	2100	
14	21	21	2100	21	21	2100	
15	21	21	2100	21	21	2100	
16	21	21	2100	21	21	2100	
17	21	21	2100	21	21	2100	
18	21	21	2100	21	21	2100	
19	21	21	2100	21	21	2100	
20	21	21	2100	21	21	2100	
21	21	21	2100	21	21	2100	
22	21	21	2100	21	21	2100	
23	21	21	2100	21	21	2100	
24	21	21	2100	21	21	2100	
25	21	21	2100	21	21	2100	
26	21	21	2100	21	21	2100	
27	21	21	2100	21	21	2100	
28	21	21	2100	21	21	2100	
29	21	21	2100	21	21	2100	
30	21	21	2100	21	21	2100	

Aus dem Bericht über die Pflanzenlebung im Jahre 1895.





An die verehrl. Abonnenten des „Sirius“!

Um den Abonnenten des „Sirius“ nach die früheren Jahrgänge der Zeitschrift von allgemein beliebtem Interesse leicht zugänglich zu machen, habe ich nach Nachdruck der Paris Exemplare im I bis XIV Bande (Jahrgang 1874—1886) zu bedeutend niedrigeren Preisen herab zu offeriren.

Band I, II, III, IV, V, VI (Jahrgang 1874—76) wenn zusammen genommen nur 20 Mark.

Einzelne Bände 4 Mark

Band VII, VIII, IX, X (Jahrgang 1877—80) wenn zusammen genommen nur 20 Mark.

Einzelne Bände 5 Mark

Band XI, XII, XIII, XIV (Jahrgang 1881—84) wenn zusammen genommen nur 20 Mark.

Einzelne Bände 5 Mark

Band XV, XVI, XVII, XVIII (Jahrgang 1885—88) wenn zusammen genommen nur 20 Mark.

Einzelne Bände 5 Mark

Band XIX/XXII (1891—93) à 10 Mark.

Einband-Deckel dazu kosten pro Band nur 75 Pfg.

Nach bemerkt, dass aus die verhältnismäßig kleinen Format abgedruckt werden kann, soda es vortheilhaft Lesensweise beiläufig brauchen zu wollen. Nach Verkauf obiger verfügbaren Bände tritt der alte Katalog wieder in Kraft.

Diese besondere wird auf die Frage vortheilhafter General-Expediter zu Band I—XV der neuen Folge des „Sirius“ beantwortet, welche der jedes Abtheilung der Bände I—XV der N. F. unentgeltlich ist.

Jede Brief- und Kaufsendung nimmt Aufträge entgegen.

Leipzig, Januar 1899

Verantwortlicher
Die Verlagsbuchhandlung
Karl Schönbach.

Der Correspondent bestellt bei der Buch- und Kunsthandlung von

- Exp. Stefan. Neue Folge: Band I, II, III, IV, V, VI (Jahrgang 1874—76) wenn zusammen genommen für nur 20 Mark. Einzelne Bände 4 Mark.
- Exp. Stefan. Neue Folge: Band VII, VIII, IX, X (Jahrgang 1877—80) wenn zusammen genommen nur 20 Mark. Einzelne Bände 5 Mark.
- Exp. Stefan. Neue Folge: Band XI, XII, XIII, XIV (Jahrgang 1881—84) wenn zusammen genommen nur 20 Mark. Einzelne Bände 5 Mark.
- Exp. Stefan. Neue Folge: Band XV, XVI, XVII, XVIII (Jahrgang 1885—88) wenn zusammen genommen nur 20 Mark. Einzelne Bände 5 Mark.
- Exp. Stefan. Neue Folge: Band XIX—XXII (Jahrgang 1891—93) à 10 Mark.
- Exp. Einband-Deckel zu Sirius: Band I—XXII à Danks 75 Pfg.
- Exp. General-Expediter zu Band I—XV der neuen Folge. 5 Mark.

Ort, Straß und Tag

Name und Stand

Esra nicht Gewinn ohne Hilfe zu durchzubringen.



SIRIUS

Zeitschrift für populäre Astronomie

Beitrag zur Verbreitung
des astronomischen
Wissens und wissenschaftlicher Schriftsteller.

Herausgeber Dr. Hermann J. Klein in Wien

Band XVII oder von Jahr Band XIII

7. Heft.



Verlag von
Karl Schöberl.



SIRIUS.

Zeitschrift für populäre Astronomie.

Zeitschriften für alle Freunde und Förderer der Himmelskunde.

Herangezogen unter Mithilfe

bestenmöglicher Fachmänner und astronomischer Schriftsteller

von Dr. HERMANN J. KLEIN in Köln a. Rh.

Preis 1.80 Mk.

*„Wissen und Erhalten sind die Pflicht und die
Bestimmung der Menschheit.“*

Inhalt: Die Messfehlerungen auf der Sternwarte des Harvard College in Cambridge N. A. 1. 10. — Beobachtungen bei der großen Merkurtransit am 11. März 1891. 1. 12. — Untersuchungen zu den Veränderlichkeiten von verschiedenen Sternen. 1. 13. — Die totale Merkurtransit des Jahres 1903. 1. 14. — Die Berechnung der Veränderlichkeiten im Lichte der Ringen Saturns. 1. 15. — Photographische Untersuchungen des Sternhaufens in der Cygnus-Gebirge. 1. 16. — Die Veränderlichkeiten von Veränderlichen. 1. 17. — Beobachtung über Sonnen- und Mondfinsternisse. 1. 18. — Beobachtungen der Jupiterringe. 1. 19. — Planetenablenkungen. 1. 20. — Beobachtungen durch den Ring der Erde. 1. 21. — Lage und Größe der Sonne. 1. 22. — Stellung des Jupitermonds im September 1891. 1. 23. — Beobachtung im September 1891. 1. 24. — Mond 1. 25.

Die Mondbeobachtungen auf der Sternwarte des Harvard-College in Cambridge N. A.

Die astronomische Tätigkeit des unter Leitung von Prof. Edward C. Pickering stehenden gemein. Observatoriums des Harvard-College in Cambridge ist in dem letzten Jahre noch der Neuchâterforschung zugewandt gewesen und zwar sowohl in Cambridge selbst als auf dem Höhenobservatorium zu Arequipa in Peru. Die Okular-Beobachtungen und photographischen Aufnahmen geschahen vorzugsweise durch Hrn. William H. Fisher und ist darüber jetzt ein ausführliches, von Abhandlungen und Lithographien begleiteter Bericht erschienen¹⁾ in einer Zeitschrift wie der „Sirius“, welche besonders die den Mond betreffenden Untersuchungen in den Kreis ihrer Besprechung zieht, wenn derselbe der obigen

¹⁾ Annals of the Observatory of the Harvard College. Vol. XXII. Part I. Cambridge 1891.

Arbeiten gütigstend gedacht werden, um so mehr als es sich um Dinge handelt, die selbst dem Selbsteingestehen von Fach vom guten Teil aus sein dürfen. Meines eigenen Ansichens und Wahrnehmungen wurde ich überall beflügelt.

Das Hauptobjekt der vorliegenden Untersuchung ist die Diskussion der Frage nach dem Verbindungswege von Wasser auf dem Monde an der Hand der jüngsten, an Arago'schen ausgeführten Beobachtungen. Professor William Pickering bemerkt zunächst, dass von dem oft gebrauchten Belegungen; auf dem Monde existiere keine Dämmerung und die Schatten seien demnach schwarz, indem keinerlei Licht in denselben herrscheit werde, die letztere Annahme ist nicht richtig. In Arago'schen war, wenn der erleuchtete Teil des Mondes betrachtend schielte war, so dass das Auge nicht dadurch geblendet wurde, dass etwas Helllicht innerhalb der schwarzen Schatten auf dem Monde vorhanden. Diese Helligkeit war sogar hinreichend, um durchsichtige Details innerhalb der Krater, besonders Bergzüge mit Zentralbergen zu zeigen, lange bevor sie vom ersten Strahl des Sonnenlichtes erreicht wurden. Bei einem Krater ist die Beobachtung deutlicher als bei anderen. So war 1861 März 31 das Innere des Stercoris mit einem Zentralberge, obgleich es noch im Schatten des Wulles lag, deutlich zu erkennen, während das Innere des Neptuni, in dem nämlichen Abstände von der Lichtgrenze völlig schwarz erschien. Die nämliche Wahrnehmung war bei der vulkanischen Lemnos gemacht worden. Die Beobachtung wird von Prof. Pickering natürlich nicht einer Mondatmosphäre zugeordnet, sondern dem Lichtreflex der benachbarten, von der Sonne bereits erhelltesten Bergzüge. Übrigens ist diese Wahrnehmung nicht am Beobacht bei einem ähnlichen am 5. April 1862 beim Krater Bonaparte gemacht und ebenfalls correct. Grathmann sah am 14. Oktober 1861 bei abwechselndem Wende in dem beschriebenen Teile des Innern von Arcturich etwas noch schwächeren Punkt. Wachengehülte wohl noch der selbsten Wahrnehmung, die ich am 5. November 1862 am Krater Birt (Theus R) machte. Die Lichtgrenze des nachweislichen Mondes lag zwischen Staffus und Kopernikus und über Ptoleus, die angewandte Vergrößerung war die 30-fache eines 6-zähligen Refraktors. Das Innere von Birt war fast vollständig von tief schwarzen Schatten erfüllt, der Gestirn war dagegen nach innen einen grossen Hellkehlstein und in diesem Innern sah ich mit vollkommener Deutlichkeit den schwarzen Schatten der grossen von Norden kommenden Höhe, konnte jedoch von der südlichen Fortsetzung der letzteren, über den Schatten hinaus nichts wahrnehmen.

Was die von Schroeter an den Strichen der sehr schwarzen Mondstichel wahrgenommene Dämmerung anbelangt, so hat Pickering ebenfalls etwas davon wahrgenommen, weil die — wie er bemerkt — von dem kräftigen Erdlichte im Monde überdeckt wird. Dagegen behauptet er, dass wenn der Mond unterhalb 90° von der Sonne entfernt steht, der Dämmerungsraum dort immer gesehen werden könne als schwarzer Schatten in der Verleppung der Hüner, indem dort der dunkle Mondrand umgebenen heller sei als in den andern nur vom helllicht beschienenen Tellen. Der Dämmerungsraum erstreckte sich in einer Ausdehnung von 60°, unter welcher über sich starken Vergrößerungen (jetzt 100-fach)

durch sehen. Diese Wahrnehmung soll nach Fickering eine Dichtigkeit der Mondsicht anzeigen, vergleichbar der Dichte unserer Erdatmosphäre in 40 engl. Meilen Höhe. Ich habe bei meinen vielfältigen Mondbeobachtungen nie eine solche Spur von diesem Dünneffekt bemerkt, so das Mondhörnchen wahrzunehmen vermocht. Photographien des Jupiter, die an Arctura gerade nach Bedeckung dieses Planeten durch den Mond aufgenommen wurden, zeigen ungeschwächt eine leichte Abplattung der Planetenoberfläche, so wie solche in Folge der Strahlenbrechung durch eine Mondatmosphäre entstehen würde. Diese Abplattung zeigt, dass die Mondatmosphäre 0,6" nicht übersteigt und das entspricht demjenigen Dichte, welche die Erdatmosphäre in 40 engl. Mi. Höhe besitzt, ein Resultat, welches von dem oben angegebenen nicht sehr abweicht. Ein sehr interessantes Ergebnis der Beobachtung der Bedeckung des Jupiter durch den Mond war die Photographie eines dunklen Bandes, welches den Planeten nahezu umkreist in einem Streifen durchsichtiger, des Mondrande umgründend und 1" über denselben ansetzend. Dieses Band ward gleichzeitig durch Uebersichtsbildung wahrgenommen. Die Erscheinung ist früher auch von andern wahrgenommen worden, wird aber gewöhnlich durch Konturstrahlung auf das Auge erklärt, eine Deutung, die nurmehr zufolge der photographischen Aufnahme zerfällt. Die Erklärung ist freilich, wie die Erklärung bei mir, nicht so einfach, da die Erscheinung nicht lediglich infolge einer Erdatmosphäre entsteht. Denn letztere könnte bei der oben angegebenen geringen Dichte das Phänomen nur hervorbringen, wenn sie ausserordentlich viel un durchsichtiger wäre als unsere Erdatmosphäre und dass mittels der dunklen Strahlen noch höher als 1" von, da die Dichte der Mondatmosphäre nur in 31 engl. Meilen Höhe, oder 18" über dem obersten Mondrande um die Hälfte geringer ist. Endlich sei das dunkle Band auch nur gefunden worden, wenn der Planet vom hellen Mondrande geschützt wurde, aber weder Kamern noch Auge kann dasselbe wahrnehmen, wenn Jupiter an dem dunklen Mondrande stand. Die einzige Erklärung findet H. Fickering in der Annahme, dass ein sehr kleiner Raum sich einige Meilen hoch über dem von der Sonne erleuchteten Theil des Mondes erhebt. Wenn dieser Raum zum Theil aus Wasserstoff besteht, so würde derselbe natürlich in der Nachstelle des Mondes wirksam der Hitze kondensiert sein und auf der Oberfläche liegen. Eine ähnliche Erklärung ist gelegentlich der Jupiterbedeckung durch den Mond am 7. August 1869 von Hrn. Steyvers in Holland gegeben worden, nachdem dieser Astronom die gleiche Erscheinung gesehen hatte. Ich habe damals das Ganze für eine Art von Irreführung erklärt, hervorgerufen durch, dass wenn ein Fernrohr für den glühend hellen Mondrand sehr eingestellt ist, so dies dann nicht für die blasse Jupiterscheibe ist und umgekehrt. Man kann diese Erscheinung auch experimentell leicht darstellen.!) Da nun die Herstellung des photographischen Fernrohres doch auch mit dem Auge möglich und das Bild auf der Platte das Original genau reproduziert, so sehr ich nicht ein, weshalb es bei Betrachtung durch das Auge diesem nicht auch so erscheinen sollte, wie das Objekt bei direkter Beobachtung

!) Vgl. Bulletin 1869. S. 205.

wach sagt. Die Sache lies sich übrigens durch das von mir im Jahre 1869 S. 230 beschriebene Experiment mit nachfolgender photographischer Aufnahme leicht entscheiden. Hr. Fickering bemerkt, dass der gewöhnliche Etwurf, den man seiner Deutung der in Höhe stehenden Erweichung machen könnte, sich auf die Annahme von Wasserdampf bezieht, welcher unter Einwirkung der Sonnenstrahlen von der Mondoberfläche aufsteigt. Es handelt sich aber um die Frage, ob Wasser auf dem Monde vorhanden war und wenn dies der Fall, ob sich nach Anbruch seiner gegenwärtigen Existenz durchsetzt verhalten. Die jüngsten Beobachtungen in Arizopa haben besonders Bezug auf diese beiden Punkte.

Die sogenannten Mars's schenkt Hr. Fickering hauptsächlich die ausgetrockneten Betten ehemaliger Meeresarme zu sein, wie haben nach seiner Meinung irgend einem wesentlich andern Abbleit dargeboten als heute. Auch scheint er dem nicht wahrscheinlich, dass der Mond jemals normalisches oder vegetabilisches Leben durch unsern Erde beherbergt hat, seine Oberfläche sei vielmehr seit den frühesten Zeiten eine verhältnismäßig trockene und unfruchtbare Wüste gewesen. Zu diesen Schlüssen gelangt er teils durch theoretische Betrachtungen, teils durch seine Beobachtungen. Aus verschiedenen Gründen ist es anzunehmend, dass der Mond jemals eine sehr dichte Atmosphäre besessen habe, dass wann er sie schließlich veräußerlicht habe, so konnte er sie nicht behalten, daraus aber folgt weiter, dass ungeachtet grossen feilen Wasserflächen an seiner Oberfläche sich erhalten konnten in Folge der ununterbrochenen Verdampfung bei gewöhnlichen Temperaturen. Yersphaus hat sich nach Hr. Fickering in den Massen des Mondes nach den Wirkungen vermehrter Wassermassen umgeben. Ansetzungen davon bei unbewohnten Vergroesserungen, zeigten sich bei starken Vergroesserungen weit ähnlicher den Wirkungen der Hitze und des Schmelzflusses. Nichtsdestoweniger glaubt Hr. Fickering doch, dass versteinertes Wasser, wenn auch in relativ geringen Mengen auf dem Monde vorhanden war und selbst, dass es heute noch nicht völlig von dort verschwinden ist. Um die letzten Anzeichen verhältnismässig geringen Wassermassen auf dem Monde nachzuweisen, glaubt Hr. Fickering auch an die Pötlung des feinen Oberflächenschluffs halten zu müssen und hat unter diesem Gesichtspunkte die präparierte Hölle untersucht. Bekanntlich zeigen sich diese als tief Hölle im Nordpolen, die in ihren Erhöhungen ähnlich dem Zuge der Bodenschichtungen, dem Lande eines Mars oder Kastors folgen. Hiermit strahlen nach mehreren Kreise längs dem Zuge einer Hölle angedeutet, Gewöhnlich treten solche Hölle in den Mars und im Innern von dunklen Kreisen auf und scheinen durch Konstruktion oder Anziehung des Bodens entstanden zu sein. Das bemerkenswerthe Beispiel dieser Art ist die grosse Hygieen-Hölle, während das Thal der Alpen kaum so das Hölle gemacht werden kann, doch erstreckt sich Hölle vom Innern eines von Prof. Fickering entdeckte höchst feine Hölle. Es gibt aber eine ganz andere Klasse von Hölle, welche wegen ihrer kleinen Abweichung mit anderen Wasserkörpern nach Prof. Fickering Meinung wohl als Flusshölle bezeichnet werden dürfen. Diese Klassen Hölle sind gewissermaßen und selbst an dem einen Ende, breiter dagegen an anderem und endigen hier stets in kreisförmigen Kreisen.

Dabei ist der Lauf meist geschwefelt, aber die Abweichung von schmalen Flüssen ist zu bemerken, dass die Mündung meist höher liegt als der Ursprung oder Anfang der Rille. Beacht man sich daher die Rille als durch die Wirkung von Wasser entstanden, so muss man annehmen, dass der See in dem Fluss, nicht umgeben der Fluss in dem See (oder Krater) sein. Überraschend wäre nur, dass die Ausflussöffnung nicht so sehr breit ist, allem man muss bedenken, dass Rillen von schmalen Ursprung nicht gesehen werden können, sondern nur der letztere und dass auch wahrscheinlich nicht alle zu gleicher Zeit Wasser führen. Da die gewöhnliche vulkanische Thätigkeit auf dem Grunde stattgefunden hat, so ist es nicht Überraschend, wenn eine beträchtliche Wassermenge aus dem Innern in Gestalt von Spritzquellen oder Geräuschen ausgeworfen werden wird. Als Beleg für ein solches Fließloch führt Hr. Pickering eine Rille an, welche südlich von dem Berge *2* in dem Appennin betrachtet und in der Ebene rings des Mt. Hiclay sich gegen Norden erstreckt und nach einigen Krümmungen an einem Hügel endet, nachdem sie vorher von Osten eine andere gekrümmte Rille aufgenommen hat. Ihre Länge beträgt 60 engl. Meilen, ihre Breite am Ausgangspunkte etwa 200 Fuss, später wird sie viel schmaler, wahrscheinlich unter 100 Fuss. Herr Pickering schreibt am 1893, Februar 3. und 25. und März 5. und 27. Schmidt hat diese Thäler der Rille gezeichnet und in seine grosse Karte eingetragen, wie ist sie seit langem bekannt. Schon 1878 Mai 10 sah ich von den Höhen des Appennin mehrere rillenförmige Thäler gegen den Palas Petrus hinabsteigen, die mit den Betten anderer Gebirgsflüsse oder den unteren schichten in den Alpen verglich. Eine Thäler ungewöhnliche Formation, welche Pickering an den Fließlöchern sieht, ist die große Rille des Herodot. Er hat ihren Lauf ziemlich vollständig, auch giebt er eine photographische Aufnahme der ganzen Landschaft, doch hat diese Aufnahme entsetzlichen kleinen Wert. Bei jeder Luftpforte erkennt man, sagt Pickering, dass dieses Fließloch ursprünglich aus dem Krater Herodot hervorkam, dass aber seit Anbruch später durch eine Eruption von dunklen Material geschlossen wurde. Nach meinen Beobachtungen besteht doch noch eine solche Verbindung der Rille mit dem Innern des Herodot, aber sie ist selten deutlich zu sehen, weil sie entweder durch den Schutt des fertigen Plateaus verdeckt wird, oder infolge der in Zeiten hoher vulkanischer Thätigkeit Füllung des ganzen Plateaus fast unmerklich wird.

Was die kleinen „Fließlöcher“ anbelangt, so findet Pickering, dass dieselben eine ausgesprochenen Tonalität zeigen, so Gruppen anzuordnen, so z. B. 5 nahe beisammen in den Hartings Mountains und 7 andere betr. lich davon. Im ganzen sieht er 30 leichter gehöige Formationen, darunter die ungewöhnliche eine im südlichen Teile der westen Fläche des Petrus. Einige schöne ähnliche Erhebungen entdeckte Prof. Welch in seiner Beschreibung der Luftphtographien des Petrus, allein Pickering hat dieselben in Argentin nicht am Feuerberg sehen können, was Niemand überraschen wird, der die Beschaffenheit dieser Thälerflüsse, wie sie sich heute geklärt hat, kennt.

Prof. Pickering geht folgenden Verzeichnisses dar von den erwähnten Fließlöchern.

4) Große Fließlöcher:

1. Schräger Thal (im Nordost-Rile).
2. Ostlich von Hedlag β (Breite + 20°, Länge + 5°). Besteht aus einem Refraktor von 6—8 Zoll Öffnung unter günstigen Umständen leicht zu sehen.
3. Farnas (Br. — 24° L. + 60°).
4. Mittelgroße Flinscharten.
4. Kletter (Br. — 7°, Länge + 52°). Am innersten westlichen Rande des Meeres. Kommt aus einem kleinen Krater halbwegs zwischen dem Zenitum und dem östlichen der Fläche, läuft nordwärts und verschwindet nahe dem Nordrand.
5. Verdüben (Br. — 16°, L. + 41°), als Rille bei Neison, kurz, gut definiert. (Es ist offenbar die von Krüger entdeckte Rille gemeint, welche in meinem Buche „Führer am Sternschnuppen“ S. 428 abgebildet und mit α bezeichnet ist, die andere von Krüger entdeckte Rille γ hat Fickering nicht gesehen.)
6. Roserath (Br. + 10°, L. + 10°). Kommt aus einem Krater östlich von Roserath, läuft nordwärts und teilt das B. fast in zwei Hälften. Diese Flinscharte selbst wird halbiert durch eine sehr kleine Rille der gewöhnlichen Art, aber schmäler als die Flinscharte, die in östwestlicher Richtung streift. (Diese beiden Rillen sind schon vor 70 Jahren von Geoffroy entdeckt worden, der auch eine Verbindung derselben mit der Arcturaerille erkannt hat.)
7. Westlich von Pluto (Br. + 20°, L. — 4°).
8. Südlich von Gassendi (Br. — 14°, L. — 30°). Ein mittelgroßes Flinschart.
9. Südlich von Gassendi (Br. — 16°, L. — 30°), als andere, das vorhergehende schneidend. Wenn es früher zwei Flüsse waren, so ist klar, dass sie nicht zur nämlichen Zeit fließen konnten. Der letztere ist der kleinere, etwa $\frac{1}{2}$ im breiteren Teile. (Die Durchzeichnung der beiden Rillen zeigt die Unwahrscheinlichkeit, dass es sich um verflochtene Flinscharten handelt.)
- 10—14. Berlinger Ma. (Br. — 26°, L. — 45°) Nordöstliche Richtung, jeder aus einem kleinen Kraterchen kommend, und sehr schwer sichtbar außer nahe an der Lichtgrenze.
- 15—17. Südlich der Berlinger Ma. (Br. + 25°, L. — 45°). Im Charakter der nachstehenden ähnlich.
18. Südlich von der Hygieuerille (Br. + 25°, L. — 51°), schmal und fast geradlinig, von einem Kraterchen, fast in Berührung mit dem Hauptthale.
19. Ostlich von Hans Iridum (Br. + 48°, L. — 45°), die Furchen nur schwach. Südlich leicht sichtbar, von einem gut definierten Krater, zuerst südlich, dann östlich, zuletzt nach Nordost verlaufend.
20. Weniger leicht zu sehen Flinscharten.
- 20—22. Westlich von Arago. (Br. + 3°, L. + 10°) In $\frac{1}{2}$ des Weges von Arago zu Maskelyne findet sich eine Anzahl sehr feiner Flinscharten, doch war die Beobachtungsmacht gewissermaßen Unzureichung nicht günstig.
23. Nordwestlich von Menchen (Br. + 17°, L. + 18°). Ein sehr feines Flinschart, in Mars Streifen. Es nimmt seinen Ursprung in $\frac{1}{2}$ des Weges von Menchen zu Tequet, läuft erst südlich, dann westlich

gegen Tagesst. anschließend breitet über Nacht und daher wegen Schmalheit des inneren Schattens schwer zu sehen. Dieser Umstand erklärt wohl auch, weshalb bei jetzt nicht mehr Flusshetten auf dem Monde entdeckt werden sind. Solches muss besonders der Fall sein, wenn die Tiefen der Flusshetten auf dem Monde demjenigen der irdischen Flüsse vergleichbar ist, was wegen der geringen Schwere auf dem Monde wohl der Fall sein könnte.

24. Flats (Br. + 49°, L. — 10°). Begrenzt nicht weit von dem östlichen Ende des Flats und nicht weit östwärts des nächsten Wall Straß. Kurz und tief.

25—27. Westlich von Balthasar (Br. — 37°, L. — 55°). Drei sehr kleine Flusshetten, ziemlich lang und eine davon gegabelt.

d) Zweifelhafte Flusshetten

Die Schwierigkeit dieser Objekte ist so gross, dass man nicht entscheiden kann, ob es sich um Rillen oder Flusshetten handelt, an ihrer Existenz ist dagegen nicht zu zweifeln.

28. Petrus (Br. — 24°, L. + 50°). Schon unter dem grossen Flusshetten aufgeführt, es ist ziemlich gerade und deshalb nachträglich einiger Zweifel über seinen Charakter entstanden.

29. Nordöstlich von Münster (Br. + 1°, L. + 45°). Vielleicht eine Rille von ν nach δ gerichtet und sehr kurz. Im Mars Facunditatis. [Wahrscheinlich die von Krüger entdeckte Rille.]

30. 31. Atlas (Br. + 40°, L. + 45°). Zwei sehr kleine Flusshetten, in östlicher Richtung, nicht zu verwechseln mit den verhältnissmässig tiefen Rillen in ihrer unmittelbaren Nachbarschaft.

32. Rillchen von Perseus (Br. + 22°, L. + 50°), im Mars Serritatis, gegabelt und gegen S. sich erstreckend. (Der Flats ist offenbar irrig und soll vielleicht + 39° sein.)

33. Gefäss von Basal (Br. + 24°, L. + 12°), etwa 50 engl. Meilen nordöstlich von Salpêtre Sulis, im Mars Serritatis.

34. Alphons (Br. — 16°, L. — 47°), ganz östlich vom Zentralberge am nordwärts laufend. Sie scheint mehrere Arme zu haben, vielleicht ist aber dort nur die Abzug einer tiefen Schlucht. Wahrscheinlich keine gewöhnliche Rille, vielleicht entstehen auch noch andere Flusshetten in dieser Wellbahn. Zwischen der oben genannten Rille am dem Ostwall, östlich von dem berühmten dreieckigen Flats, habe ich am 19. November 1880 nach J. Heras's Hilfe, einander parallele Rillchen gefunden, einer davon erstreckt dort noch eine längere Rille und eine andere, die in den dreieckigen Flats geht.]

35. Bartram (Br. — 17°, L. — 51°). Das Kraterchen liegt nahe am inneren westlichen Wallende und das kleine Flusshett liegt nordwärts. Es ist sehr klein.

Die Längen und Breiten in dem vorstehenden Verzeichnisse sind von H. Pickering direkt aus Neison's Mondkarte entlehnt. Der Beobachter macht einige Bemerkungen über die Verteilung der β von ihm aufgeführten sogenannten Flusshetten über die Mondoberfläche. Er hebt z. B. hervor, dass $\frac{1}{2}$ derselben sich auf die westlichen Hemisphären finden, was ganz überraschen kann, da hier die meisten ebenen Flächen sind, wo man überhaupt Rillen am ehesten zu finden erwarten darf. Die Anzahl von 25 ist übrigens viel zu gering, um aus deren Verteilung

weitere Schritte zu thun. Prof. Pickering gibt an, dass diese sogenannten Flaubetten im allgemeinen viel zu klein sind, um zu entscheiden ob sie Wasser enthalten, und selbst wenn man auf indirektem Wege die Anwesenheit von Feuchtigkeit auf dem Monde feststellen könnte, so lässt sich doch nicht entscheiden, ob dieselbe aus jenen Flaubetten stammt. Uebrigens will ich noch erwähnen, dass schon Gröthmann von Flaubetten auf dem Monde spricht und u. B. die Röhre bei Her für einen Steppentaus erklärt.

Dr. Klein.

(Fortsetzung folgt.)

Beobachtungen bei der totalen Mondfinsternis am 11. März 1893.

Von Prof. Dr. E. Brückner in Wiesbaden.

Die Beobachtungen waren hier von ziemlich klarer Witterung bezeugt; nur geringe, gegen das Ende der Beobachtung wegen starker Wolken vor die Mondscheibe. Ich benutzte einen Merz'schen 2 1/2 Zollers und ganz 30-fache Vergrößerung. Die heftigsten Farbenwirkungen (Teil VII) sind nach dem am Focusthe erhaltener besten Beobachtungen gezeichnet; ich habe mich bemüht, die gezeichneten Farbenzeichnungen mit ungehobelter Treue wiederzugeben.

1. 5^h 47^m (M. E. Z.) 4 Minuten vor Eintritt der Totalität. Das Mare Crisium ragt in das noch unerschaltene Teil der Scheibe hinaus. Der nordwestliche Theil ist rötlich grau, der Ost-Rand kaum sichtbar (Fig. 1.)

2. 5^h 51^m. Unmittelbar vor Beginn der Totalität. Der noch von den direkten Sonnenstrahlen getroffene kleine Teil der Mondscheibe schimmert etwas bläulich. Mare Crisium aber auch sichtbar, seine vertheilte Umgebung vollständig bläulich-grau. Der südliche Teil der Scheibe zeigt eine rötliche Tönung; Ost-Rand nicht sichtbar. (Fig. 2.)

3. 5^h 57^m. Nach Eintritt der Totalität West-Rand bläulich. Der übrige Teil matt rötlich grau, der Ost-Rand tritt dunkler hervor. (Fig. 3.)

4. 5^h 59^m. Die Scheibe wird gleichmäßig rötlich grau gefärbt. Die Details verschwinden, auch das Mare Crisium ist kaum mehr sichtbar.

5. 5^h 59^m. Ganze Scheibe von gleicher Intensität und Farbe, grau-rot. In der Mitte der Kernschatten der Erde etwas dunkler. Auch mit freiem Auge gesehen erscheint der Mond gleichmäßig dunkel-rötlich gefärbt als runde Scheibe. 5^h 59^m Beobachtung eines Sternes am Nord-Ost-Rand, sehr scharf. (Fig. 4.)

6. 5^h 59^m. Der Nord-Ost-Rand umsetzt einen etwas hellere Ton an.

7. 5^h 59^m. Am Ost-Rand kommt das Ring-förmige Grimaldi als dunkler elliptischer Fleck zum Vorschein. Die Umgebung desselben nimmt eine gesehene bläuliche Farbe an. Der Süd-West-Rand wird dunkler. (Fig. 5.)

8. 5^h 59^m. Aufbrechen der ersten Sonnenstrahlen südlich von Grimaldi. Der noch verdeckte Teil ist dunkel bläulich gefärbt, der Rest der Scheibe rötlich-grau. Der Süd-West-Rand wird unklar. (Fig. 6.)

Am Morgen schützender Gewölk ersehnte die weitere Beobachtung.

Untersuchungen über den Lichtwechsel von veränderlichen Sternen.

Von O. Gruet und W. Lötsch.

Die nachstehende Zusammenstellung enthält die an 8-stelligen Rechner des astronomischen Instituts der k. k. technischen Universität in Prag angestellten Beobachtungen und Untersuchungen von veränderlichen Sternen. Die Beobachtungen umfassen die Zeit von Mai 1893 bis März 1894, ausgenommen die beiden Sterne γ und γ Cygni, deren Beobachtung mit einem Objektiv im Jahre 1892 angeführt wurde. Die angewandte Methode war jene von Argander. Die meisten Beobachtungen sind doppelt und zwar von uns beiden zu gleicher Zeit und völlig unabhängig an demselben Instrument angeführt worden. Wir lassen nur die Resultate folgen.

1. 845 K. Oeti.

Wurde nur einmal in der Zeit von Februar 4—22 beobachtet. Der Stern stand zuletzt auf am Horizont.

Max. 1894 Februar 20. Gr. 6,5

2. 1874 W. Tauck.

Wurde 18mal in der Zeit von 1893 Oktober 23 bis 1894 April 3 beobachtet und ergab ein gut definiertes Maximum.

1894 Febr. 20. Gr. 5,9

Die Lichtkurve steigt vor dem Maximum ziemlich rasch, die Lichtabnahme erfolgt viel langsamer. Die Farbe ist rot.

3. 3403 K. Loevicz.

Dieser Stern wurde von 1893 Mai 13 bis zu seinem Verschwinden 1893 Juli 4, im ganzen 5mal beobachtet. Es ergab sich

Max. 1894 Juli 1. Gr. 5,5,

etwasall auch einige Tage später, wegen des hohen Standes. Der Stern wurde zuletzt in der hellen Dämmerung beobachtet. Dem Hauptmaximum geht ein kleines Nebenmaximum voraus und zwar

von Juli 4 bis Juli 14. Gr. 6,5.

4. 4946 K. Capron Venetianorum.

Wurde an 30 Tagen in der Zeit von 1893 Juni 18 bis November 23 verfolgt. Es ergab sich ein

Max. 1893 Oktober 6. Gr. 6,1,

woraus die Periode von 336 Tagen in guter Übereinstimmung mit Deuts (Astr. Journ. Nr. 294) folgt. Auch hier tritt analog wie bei K. Loevicz ein sekundäres Maximum.

von 1893 September 4 bis September 30, Gr. 6,5

ist, und zwar vor dem absoluten Maximum.

5. 5194 V. Bostia.

Die an 15 Tagen angestellten Beobachtungen von 1893 September 15 bis 1893 Dezember 2 ergaben ein

Max. 1893 Oktober 20

Dieses ist gut definiert. Die Lichtkurve ist diesem stumpfen Winkel

† *Annuaire des Sciences. Pages Bell International* I. 1895. p. 115

sehr unbedeutend. Die Periode von 256 Tagen nach Dandl ist demnach geblieben.

8. 5438 Y Libras.

Wurde 12mal von 1858 Juni 23 bis August 28, zu welcher Zeit der Stern für unseren Horizont sichtbar wurde, beobachtet. Aus den Beobachtungen folgt ein gutes

Max. 1858 Juli 8, Gr. 9.7,

so dass sich eine Periode von 304 Tagen, gegenüber der von Chandler (Astr. Journ. Nr. 300) aus 4 Maximen abgeleiteten von 307 Tagen, ergibt.

Parkhurst (Astr. Journ. Nr. 308) gibt das Maximum an 1853 August 8 an, jedoch mit der Bemerkung „gewiss unrichtig“.

Die verbleibenden Elemente lauten nun:

1851 Juni 28 2400000 + 334 E.

7. 5477 R Serpente.

Aus 13 Beobachtungen von 1854 September 16 bis November 13, ergab sich ein nicht besonders gut definiertes Maximum

1853 Oktober 24, Gr. 7.0.

Die angewandten Vergleichsterne

$h = DM + 15^{\circ} 27' 22''$ (8.5)

$r = DM + 15^{\circ} 28' 22''$ (7.5)

ergaben grosse Differenzen. Doch stimmt unser Maximum mit Parkhurst (Astr. Journ. Nr. 308)

1853 Oktober 5, Gr. 7.0

gut überein. Wir gedanken die Beobachtungen fortzusetzen und dann Gewissheit über die Vergleichsterne zu erhalten.

6. 5528 X Herkules

Wurde 11mal von 1853 September 10 bis 1854 Januar 11 beobachtet.

Max. 1853 Ende September, Gr. 6.8,

Min. 1853 „ November, Gr. 6.6,

beide wenig ausgeprägt.

5. 5499 U Herkules.

Wurde von 1853 Juli 5 bis Oktober 9 10mal beobachtet. Es ergab sich weder ein Maximum noch ein Minimum. Ein Maximum scheint

Aug. 28, Gr. 5.2

angezeigt zu sein.

10. 5526 W Herkules.

An 26 Tagen von 1853 Juli 7 bis 1854 Februar 8 beobachtet, ergab ein

Max. 1854 Januar 2, Gr. 7.6.

Der Stern Roberts von Anfang Juli bis Anfang December 1853 seine Helligkeit wenig, stieg innerhalb 30 Tagen um eine volle Gradenklasse und begann sodann ebenso schnell zu sinken.

11. 5584 V Herkules.

Unsere Beobachtungen von 1853 Juli 2 bis August 15 ergaben keine Lichtveränderung, was nach Chandler erkannt ist. Der Stern ist also aus dem Verzeichnisse der Veränderlichen zu streichen.

12. 6888 K. Öphiuchi.

Wurde 40mal von 1885 Juni 17 bis Dezember 20 beobachtet. Es ergab sich ein Max. 1885 September 20, Gr. 6.8.

Auch bei diesem Stern ist ein sekundäres flaches Maximum von Anfang August bis Anfang September, Gr. 7.4, sehr deutlich ausgeprägt.

(Chandler hat hier einen falschen Aufwagspunkt)

1885 April 15 entsprechend der Zahl 2410002

statt 1885 Juni 9

weg aus dem Astr. Nachr. Nr. 3710 berechnete.

Auch die von Ubbelohde angeführte Periode von 104 Tagen entspricht wenig den nun bekannten Daten:

Max. 1886 Juni 9, Gr. 6.8,

1885 März 25, Gr. 6.6 (Astr. Nachr. 3786),

welche eine Differenz von 287 Tagen geben.

Unsere Beobachtung liegt sich gut einer Periode von 100 Tagen, so dass sie auf weiteres zu schauen wäre:

statt 1885 April 15, 2410002 + 354 K.

1885 Juni 9, 2410002 + 200 K.

Bei den Beobachtungen wurden auch die Sterne

$\delta = DM + 9^{\circ} 37' 31''$ (7.3)

$\epsilon = DM + 9^{\circ} 37' 20''$ (7.2)

beobachtet, für welche von H. Vergleichungen

4345,

bei der StarkegröÙe 0.2 Gr. folgt. Die Größenangaben der Durchmusterung scheinen hier weniger zureichend zu sein.

13. 6738 E. Aquilae.

Bemer in der meisten Zeit fast ganz vernachlässigte Stern wurde während von 1890 Juni 18 bis 1891 Dezember 20 verfolgt. Es gelangen 42 Helligkeitsbestimmungen, die zu einem

Max. 1891 August 5, Gr. 6.7

führen:

Gegenüber den früheren Beobachtungen, nach welchen die Maxima dieses Sterns sehr wenig „ständig“ sein sollen (vergl. Astr. N. 87), liegen sich unsere Beobachtungen ziemlich gut einer gewissen Kurve.

Die Nebenmaxima sind sehr deutlich dargestellt und zwar erstreckt sich dasselbe von 18 Juli bis 30 Juli 1891. Nach dem Maximum fällt die

Lichtkurve und bleibt vom 20 September bis Ende December 1891 konstant (Gr. 9.7).

14. 6884 F. Aquilae.

Aus 19 Beobachtungen von 1891 August 20 bis Dezember 20 konnte nur ein schlecht definiertes Maximum

1891 Nov. 4, Gr. 7.6 (± 6 Tage)

abgelesen werden.

15. 6885 K. Aquilae.

Aus 30 Beobachtungen von 1891 Juli 1 bis November 9 folgt ein sehr gut definiertes Max.

1891 August 10, Gr. 6.6.

Vor dem Maximum steigt die Kurve allmählich rasch und regulär

ukung, an im gleichen Jahre bei nur 70 Gr. zu fallen. Dann folgt ein reichthiges sekundäres Maximum (Gr. 71), worauf die Kurve abfällt, um auf tieferer Seite konstant zu bleiben (Gr. 67). Die ferneren Beobachtungen deuten auf ein Minimum Anfangs Dezember 1883.

16. 6845 T Sagittae.

Wurde nur fünfmal von Lidske beobachtet.

1883 Sept. 25, Gr. 65

Oct. 17, Gr. 67

Oct. 28, Gr. 68

In Verbindung mit Yendell's Beobachtungen (Astr. Journ. No. 309) ergibt sich

Max. Sept. 15, Gr. 63

Der Stern ist also sicher variabel.

17. 7150 γ Cygni.

Wurde von Grass von August 1862 21 bis Oktober 11 (Novi) mit Hilfe eines Spiegelteleskops beobachtet. Die Beobachtung ergab ein gutes Maximum: 1862 September 18, Gr. 49.

Die Kurve fällt nach dem Maximum ziemlich rasch.

Die Beobachtungen des Jahres 1883 (von zwei beidgen) mit Hilfe eines astronomischen Spiegelteleskops ausgeführt, erstreckten sich von 1883 September 16 bis Dezember 17 und lassen ein Maximum zwischen 16. Oktober und 17. November erkennen. Leider war das Wetter zur diese Zeit so schlecht, dass keine Beobachtung gelang. Nach Pickering (vergl. Ann. Natch. Nr. 2262) war das Maximum am 16. November, Gr. 48.

18. 7152 ε Cygni.

Wurde nur fünfmal beobachtet von 1863 Oktober 5 bis 1865 Dec. 6. Das Maximum war augenscheinlich schon vorher.

19. 7201 R Delphini.

Von diesem Sterne erhielten wir 25 Beobachtungen in der Zeit von 1823 August 5 bis 1824 Januar 21. Es ergab sich ein sehr gut definiertes Maximum: 1823 Oktober 4, Gr. 54

in vollster Übereinstimmung mit Yendell (Astr. Journ. 211) und Pickering (ebenda). Die Kurve steigt kurz vor dem Maximum etwas schneller. Zwei Monate vor dem Maximum ist der Stern fast konstant 74 Gr. Die von Chandler gegebene Periode 1860 stimmt gut.

20. 7226 γ Cygni.

γ Cygni wurde von 1790 Dezember 2 bis 1824 Februar 21 im ganzen 14mal beobachtet. Ein Maximum schien von 30. Dezember bis 9. Januar Gr. 91 angedeutet. Doch stimmen die Beobachtungen nicht besonders gut.

Wahrscheinlich ist die erste Abnahme der Luftströmigkeit der Maxima.

21. 7444 γ Delphini.

Wurde 18mal von 1820 September 9 bis 1824 Januar 11 beobachtet und ergab ein Maximum:

1820 September 25, Gr. 88.

Die Kurve steigt plötzlich vor dem Maximum, und sinkt nach dem

Maxima longum ab. Die von Chandler angeführte Periode von 297 Tagen stimmt mit gut anderem Resultate

22. 7429 T. Cygal.

Wurde von Gauss von 1802 August 11 bis 1803 October 11 im ganzen 10mal beobachtet und ergab ein sehr scharf definiertes Maximum 1802 August 24, Gr. 81.

Die Kurve steigt und sinkt vor uns, nach dem Maximum ziemlich rasch.

Verteil nun bekannt, wurde nur ein einziges Maximum und zwar von Schmidt (Ann. Natur. St. 81)

1802 Mai 24

beobachtet. Wird, laut der Bemerkung Schmidts, „Periode 1 Jahr“ aus abhängiger Periode in Grunde richtig, so ergibt sich genauer eine Periode von 292 Tagen. Die Beobachtung stimmt mit einem Optimum.

23. 7750 RV Cygal.

Dieser Stern wurde von 1800 September 23 bis 1804 Februar 22 10mal beobachtet und ist wahrscheinlich vom Typus β Lyrae.

Unsere Beobachtungen geben zwei deutliche Maxima, die durch zwei Maxima mit einem Scheitelpunkte in der Mitte getrennt sind.

Es war nach graphischer Ausgleichung

1 Max.:	September 20	Gr. 765
1 Sek. Min.:	Oktober 12	Gr. 775
2 Max.:	November 5,	Gr. 760
1 Hauptmin.:	November 24.	Gr. 815
3 Max.:	Dezember 5.	Gr. 765
2 Sek. Min.:	Dezember 25	Gr. 770
4 Max.:	Januar 20	Gr. 760
2 Hauptmin.:	Januar 30.	Gr. 815

Die Periode umfasst also etwa 75 Tage.

24. 8022 S. Lacertes.

Wurde von 1800 Oktober 5 bis 1804 Februar 22 10mal beobachtet und ergab ein sehr gut definiertes Maximum.

1804 Januar 25, Gr. 78.

Es ist bemerkt, so viel uns bekannt, die erste Beobachtung beobachtete Maximum.

Nachtrag. Nachdem diese Übersicht niedergeschrieben worden war, erschien die Nummer 214 des Astronomical Journals. Dasselbe finden sich zwei Beobachtungen von Parkhurst und zwar von R. G. 8.

Max. 1806 Februar 26,

die zu guter Überelastimmung mit uns, ferner von S. Lacertes

Max. 1804 Januar 24

Endlich ist dort der Charakter von RV Cygal, wenn auch nicht erwähnt, so doch so dargestellt, dass unsere Überlegung des Charakters von β Lyrae noch mehr bekräftigt wird.

Die totale Mondfinsternis 1895 September 3,
 teilweise sichtbar in Berlin.

Elemente der Finsternis
 nach mittlerer Berliner Zeit.

Spezifisch in AR Sept. 3	h	m	s
☾ und ☉AR	22	34	28,17

☾	Dekl	-7	26	54,0
	+7	17	2,1
	mittl. Bew. in AR	26	17,3	
	2	15,6	
 Dekl.	+19	44,0	
	-	56,3	
Aquatorial-Horizontale Parallaxe	33	58,4		
.		8,8		
Halbmesser	14	43,3		
.	15	52,1		

Anfang der Finsternis überhaupt Sept. 3	h	m	
Anfang der totalen Verfinstörung	16	51,4	mittl. Berl. Zi.
Mitte der Finsternis	17	59,3
Ende der totalen Verfinstörung	18	50,6
Ende der Finsternis überhaupt	19	41,3
.	20	47,9

Um diese Zeiten liegen auf der Gesichtsbahn Eintrittspunkt-Mond
 im Orte der Erde, deren geographische Lage bezüglich ist:

☾	☉	☾	☉	☾	☉	☾	☉
292	5	361	10	329	15	297	20
297	55
270	34
268	15
242	9

Positionswinkel des Eintritts vom Nordpunkt gezählt 64°
 Austritt 210°

Grösse der Verfinstörung in Teilen des Mondschattens = 1,668.

Die Finsternis wird demnach in der westlichen Hälfte Europas und
 Afrika, im südlichen Ocean, in Amerika und im grossen Osten zu
 sehen sein.

In Berlin geht der Mond bereits 31° nach dem Beginn der Finsternis
 unter.
 (Berliner Jahrbuch)

Die Berechnung der Fernrohrobjektive im Lichte der Beugungstheorie.

Ergänzend eine Untersuchung des Klingsberger Heliometer-Objektive auf moderner Grundlage.

Von Carl Strackl, k. k. Opt. Gymnasiallehrer, Wienburg a. S.

Vor mir liegt eine Abhandlung von Dr. Rudolf Strackel im Jahr „Theorie der Beugungsvorgängen bei der Bildung begrenzter symmetrischer nicht sphärischer Wellen“, welche die Jahr vor meinem Werke erschien, und die ich leider nicht mehr berücksichtigen konnte. Wenn der Verfasser ebenfalls sein Thema in viel allgemeinerer Weise anfaßt als ich, indem er beliebige Abweichungen der Wellenfläche von der Kugelform zuläßt — allerdings unter Beschränkung auf axiale Symmetrie — so gelangt er andererseits doch nicht zu einfacheren theoretischen Formeln; noch hat er die verprobene numerische Berechnung meines Wissens bis jetzt nicht geliebt. Auch Bruns hat ein Gleiches nicht gethan, und auch von mir ist dasselbe vielleicht nicht zu erwarten.

Es laßt sich nur hier die Gelegenheit nicht über darüber auslassen. Etwas laßt ich es nicht für notwendig, die Intensität der Beugungserleuchtung genauer als bei Handtzeil der vollen Wirkung zu behandeln — im Gegensatz zu vielen Autoren; — denn nach den Untersuchungen des physikalischen Reichsanstalt kann das Auge höchstens noch Unterschiede wahrnehmen, welche 3—4 Prozente des vollen Lichts betragen, und nach der Methode dieser Wellenlehre richtet sich hauptsächlich die Genauigkeit der Berechnung im Brennpunkt. Für Anfang so bietet die Berechnung der Intensitätsausdrücke, wenn man eine Übersicht über die ganze Erleuchtung haben will, auch noch manchen recht einfachen Formeln immer noch große Schwierigkeiten dar. Zum Schluß möchte ich daher, dass die, für die astronomische Messung, sowie die praktische Optik unangehörigen Verhältnisse bereits aus einfachen Spezialformeln meiner Formeln erkannt werden können — wenigstens zum Teil. Aus diesen Gründen werde ich zunächst davon absehen, meinem Werke einen zweiten Teil folgen zu lassen, insofern als es mir in meiner jetzigen Stellung unmöglich ist, umfangreichere Arbeiten dieser Art zu machen.

Die Erwähnung Strackels am Schluß zu meinem eigentlichen Thema über Strackel sagt pag. 9: „Man kann der Meinung sein, dass man bei einem auch dispersiven Grundstrahl nicht vollständig korrigierten System unter Umständen eine Störpörung des Aufmerksamkeitsvermögens haben kann.“

Der allgemeinen Ansicht nach betrifft die Vollkommenheit eines Objectives darin, dass die Wellenfläche nach dem Austritt aus demselben die Form einer zum Brennpunkt konzentrischen Kugel hat. In Wirklichkeit mag man sich dies fast nie erreichen, vielmehr sind Wellenflächen von sehr hohem, mindestens vom 10. Grade. Ebenen wälen daher der Kugelfläche gegenüber unzulänglich, wenn auch axial-symmetrische Verformungen auf, und ihre Normalen gehen wie durcheinander, anstatt im Brennpunkt zusammenzutreffen. Die übliche Korrektur durch

Berechnung bestand nun darin, dass die Optik für gewisse Brennweiten möglichst genau im Brennpunkt veringert, allem so ist weder mathematisch bewiesen, noch überhaupt richtig, dass dass die so weitest gehende Wellenfläche eine Kugelfläche wird. Denn kann wäre einem allgemeinen Überzeugen nach notwendig, ebensoviel Zonen zu berücksichtigen als verfügbare Konstruktionsleistungen vorhanden sind, und nach dem bedürfte es noch eines Beweises, dass die alle diese Zonen umschreibende unendlich durchdringende Wellenfläche wirklich die Kugelform hat.

Ist dieses aber nicht der Fall, dann tritt die schwerwiegende Frage auf, ob es Anbahnung dessen, dass die Lichtwege von der Wellenfläche bis zum Brennpunkt ebensoviel verschiedene Ausfälle, möglicherweise um unmeasurbare Bruchteile einer Wellenlänge, die stichliche Berechnung wirklich den richtigen Weg für eine möglichst gute Korrektur anzeigt? Unzweifelhaft wird die Wichtigkeit dieser Untersuchung durch die Thatsache, dass mehrere Personen bis jetzt kein einziges Messergebnis auf dem Weg der Berechnung vollendet werden ist (von der amerikanischen gilt dies, was mir gütig mitgeteilt wurde ganz sicher), vielmehr polarisieren die Optik so lange an ihrem Objektivum heraus, bis — ohne dass Ihnen dies recht zum Bewusstsein kam — die Wellenfläche genau der Bestimmung des gelehrten Heides das möglichst beste Fern bekam. Es handelt sich also darum, die Berechnung solcher Berechnungen nachzuweisen, oder abzuerkennen.

Gleichzeitig wünsche ich den Beweis zu liefern, dass die in meinem Werke vorgenommene Hauptleitung auf Wellenflächen von Ellipsoidform mehr als eine theoretische Berechnung hat. Werke für einen Blick auf die beigegebene Tabelle auf der vorletzten Seite haben wir die einer Wellenlänge entsprechenden Längenschwankungen; dieselben sind in erster Annäherung dem Quadrat der Sechsfache proportional, und nach der zweiten Annäherung steigt hiervon nicht merklich ab. Die letzte Zeile gibt die in Wirklichkeit stattfindende — von Strahlung nach den optischen Konstanten berechneten — Abweichungen an, welche, wie man sieht von den obigen merklich differieren (es wurde keinen angenommen, dass die Ellipsoide für Axen- und Hauptstrahlen für beide Fälle übereinstimmen). Um nun die Bedeutung dieser Unterschiede klar zu machen, können wir behaupten, dass die Längenschwankung in erster Annäherung gegeben ist durch die Formel $s = \frac{n^2 r^2}{2p}$; nennen wir s die Abstände der Wellenfläche von einer axialen Tangentialebene und l die Lichtwege von der Wellenfläche bis zum axialen Ellipsoid, dann ist in erster Annäherung für zwei verschiedene Wellenflächen $l_2 - l_1 = s_2 - s_1 = \frac{n^2}{4} \left(\frac{l_2^2}{p} - \frac{l_1^2}{p} \right)$; wenn demnach nach der

genausten Unterschied in der Längenschwankung $\frac{\delta l}{l}$ bis $\frac{\delta s}{s}$ beträgt, so beläuft sich der Unterschied der Lichtwege oder der erzielten verschiedenen Vergrößerungen der wirklichen Wellenfläche gegenüber der erwarteten Ellipsoidfläche klein auf unmerkliche Bruchteile der Wellenlänge für die Distanz, indem schon die Gesamtungsvergrößerung eine Differenz der Lichtwege ergibt, welche klein den zweigigsten

Teil der gesamten Wellenlänge beträgt. Unter λ ist zu verstehen

$$\lambda = \frac{2}{\gamma} \frac{h}{\lambda} \left(\frac{r}{\rho} \right)^2; \quad r \text{ Öffnungshalbmesser, } \rho = \text{Beugweite.}$$

Ergibt demnach — wie wir gleich sehen werden — selbst die Genauigkeit des Köpfgestirter Heliummerchichtes einen Unterschied in der Lichtintensität, welcher photometrisch mehrmals gemessen werden kann, weil er unter die Beobachtungsfehler fällt, so ist das Vergehen in meinen Werken um so mehr gerechtfertigt, indem ich die allgemeine Wellenlänge durch ein Paraboloid 4. Grades ersetzte, denn wie wir sehen, versuchte sogar Fraunhofer die spherische Abweichung in den entsprechenden Grenzen zu beheben, umsonst! Unschwer, und die selbst dann, wenn es sich nicht um Objektiv von mäßiger Größe handelt, sondern um die Berechnung von Mikroskopobjektiven. Dessen selbst die man genau Objektiv würde bei proportionalem Fehler von $\frac{1}{4}$ Unterschied der Lichtwege ergeben.

Wir müssen in Anlehnung an Vorstehendes die Frage der sogenannten Einstellungsbeine berühren. Wie ich nachgewiesen habe, ist die Lichtintensität auf der Axe in der Mitte der spherischen Abweichungslage ein Maximum, dieses haben wir als Ort der genauesten Einstellung anzusehen. Wie wir aus der vorletzten Zeile unserer Tabelle erkennen,

mm 3000	λ	$q = 1$	$q = \frac{1}{2}$	$q = \frac{1}{3}$	$q = \frac{1}{4}$	$q = \frac{1}{5}$	q	$\Delta = \frac{h}{\lambda}$	
1,984	8	0,25	0,25	0,25	0,25	0,25	8	0,25	
0,644	4	0,25	0,25	0,25	0,25	0,25	4	0,25	
0,224	2	0,25	0,25	0,25	0,25	0,25	2	0,25	
0,164	1	0,25	0,25	0,25	0,25	0,25	1	0,25	
Köpfgestirter Heliummerchicht								4	0,25
$\frac{1}{2} \text{ mm}$	0,211	0,2514	0,2514	0,2520	0,2525	0,2534			
mm			r	$\frac{1}{2} r$	$\frac{1}{3} r$	$\frac{1}{4} r$			
r in mm Bildpunkt		0,120	0,604	0,201					
r in mm Wellenlänge		0,120	0,604	0,201					

und die Unterschiede beim Köpfgestirter Heliummerchicht der ganzen Abweichung entlang noch mehr wahrzunehmen, so dass eine Einstellungsfehler von mindestens dem Betrag $\pm 0,01$ mm vorzukommen können. Wie wir hieraus ersehen, sind alle die kopfgestirten früheren Untersuchungen über diese Objekte — weil sie die Beugungstheorie nicht in Betracht, schiefweg hinlänglich. (Zum besseren Verständnis erwähne ich auch, dass $q = 0$ den Bildpunkt der Axenstrahlen, $q = \frac{1}{2}$ den Ort der Einstellungsbeine, $q = \frac{1}{3}$ den Ort der ersten Einseitstrahl, $q = 1$ den Bildpunkt der Randstrahlen bedeutet, um auch andere Fälle vorzuführen, habe ich für Unterschiede der wirklichen Wellenlänge von der

Kugelfläche, welche am Rand gemessen Sie über 1 Wellenlänge hinausgehen, die hauptsächlichsten strahlen Lichtstrahlenstrahlen nach einem Formeln berechnen.)

Am obenstehenden Krümmung geht wohl aus Gutzke hervor, dass die bisherige Berechnungsweise der Objektivs besonders Burchstimmung hat und zum Ziel führt, als die praktischen Optiker die Abweichungen in solchen Grenzen haben können, dass die Unterschiede der Lichtwege ohne Einfluss bleiben. In jedem speziellen Falle wäre die genaueste Berechnung nach dem vorgeführten Beispiel auf Grund der von mir entwickelten Formeln zu machen, insbesondere bei Himmelsobjektiven kann man sich durch lange Bräunung helfen.

Es erübrigt jedoch, sich eine andere Frage zu stellen, ob nämlich die praktischen Optiker im Stande sind, die Form der Gläser ebenso genau herzustellen, als es der geforderten Korrekturen durch Berechnung entspricht. Auch dieses vermag ich an der Hand der Nachberechnung des gesamten Objektivs zu bestätigen. Um nämlich die sphärische Abweichung für sämtliche Zonen bemerklich zu machen, genügt eine kleine Formeländerung des Flutglases. Der geringere Krümmung am Rand zwischen der vorderen Fläche und der konvergierenden Linse beträgt hierbei $0,0005 \text{ mm} = 0,5 \mu$, eine Größe, welche sich mittels des Probeglasses ebenfalls genau ablesen lässt. Für das gesamte Objektiv ist beiläufig gesetzt $r = 10,3 \text{ mm}$, $p = 2567,2 \text{ mm}$.

Der Vollständigkeit wegen habe ich noch für verschiedene Strahlen von Astigmatismus die Lichtstrahlen im Symmetriepunkt zwischen den beiden Brennpunkten berechnet. Hierbei bedeutet $Q = n \left(\frac{r}{p} \right)^2$, wobei der Abstand der beiden Brennpunkte ist. Dieser wird beispielsweise für das von mir berechnete Himmelsobjektiv (das von der Symmetrie absteht und von astigmatischer optischer Lichtstrahl führt) bei der Gegenstand von Brennpunkt = $0,474 \text{ mm}$ entsprechend $Q = 1/10$, die Wichtigkeit solcher Berechnungen u. B. für die Verhältnisse des menschlichen Auges oder eines Mikroskopobjektivs besuche ich nicht erst zu betonen; ich denke hierbei auch an die neuen Verfahren der Himmelsphotographie.

Was früher für merkwürdige Ansichten über scheinbare Dinge herrschten, erinnere ich mich gerne an einer früheren Auflage von Littrow: „Wieder das Himmelsobjektiv“ gelassen zu haben; es muss hier von dem diatrischen Verfahren, dass ein eine gewisse Krümmung zeigen, weil die Strahlen sich im Brennpunkt unter einem größeren Winkel vereinigen. Jeder Kenner der Beugungstheorie muss aber, dass — mit nur nicht ungewöhnliche Mittel verwendet — die Bildschärfe durchaus nicht vom Öffnungswinkel, sondern lediglich vom linearen Durchmesser der Öffnung abhängt.

Durch obige Untersuchung glaube ich der praktischen Optik die beruhigende Versicherung erbringt zu haben, dass der bisher eingeschlagene Weg nach Comenius beibehalten werden kann; denn aus meiner Tabelle geht, glaube ich, zur Geltung hervor, dass auf dem Wege sphärischer Abweichung eine größere Bildschärfe nicht erreicht werden kann, und dass notwendig wäre, dass die Lichtstrahlen an irgend einer Stelle für

Aus des vollen Betrag 1 Hektarigen würde, während sie dagegen mehr oder minder unter diesem Betrage steht. Zugleich glaube ich gesagt zu haben, wie man sich durch Beobachtung geben kann, inwiefern ge-
verwendete Felderreste auf die Höhequalität, die Genauigkeit der Er-
stellung u. s. w. einwirken. Oben steht dagegen auch die Frage, ob
nicht — insbesondere bei Höhenmessungen — Verbiegungen des Lichtes
oder Ungenauigkeiten der Fassung Werkzeugen von erheblichem Betrage
herbeiführen können. Dies scheint mir jedoch mehr eine Sache der
Praxis, als der Theorie zu sein.

Vermischte Nachrichten.

Zur Messtopographie. Hr. Dr. Darling schreibt aus folgendes
über mehrere von ihm angelegte Beobachtungen
„März 20, 7—9^h. 5 stündiger Refraktör, Vorgt. 350 und 500. Luft
nach kurz vorhergehendem Regen 1.

Die Höhe δ , östlich von Cascky, erscheint in normaler Länge. Sie
beginnt nicht, wie Kasny Tab. I scheint, bei α Turmst, sondern eine
 beträchtliche Strecke östlicher in der Mitte des gelassenen Höhenrückens
als Finnenstock, macht α gegenüber einem Hügel, geht in zunehmender
Breite an Cascky vorbei und tritt etwa an der Stelle, wo Kasny die
Unterbrechung bemerkt, nach Einstellung eines Seitenwinkels von 50°
in ein breites, aber offenbar wenig tiefes Thal über, das sich kaum dem
langen, auf α hinaus γ aufweisenden Höhenrückens bemerkt. Die Stelle von
der Einstellung des Seitenwinkels an ist fast gleich der von Cascky
selbst. Eine Unterbrechung γ an bestimmt nicht zu sehen, sondern das
Ganze erscheint durchaus in einem Zuge. Die Schwärze des Schattens
war außerordentlich auffallend. Der in diesem „Führer“ erwähnte, öst-
lich von Cascky nach SO abgehende Arm ist schwach und grün, nicht
schwarz, aber auch wohl, wenn nur die Zeichnung dort nicht bekannt
gewesen wäre, übersehen worden.

März 31, 6^h₁₀—7^h₁₀. Instrument und Vorgt. wie oben, Luft eben-
falls nach Regen 1. Die Höhe ist noch sichtbar, aber sehr dünn und viel
kürzer geworden. Das Stück bis α Tur, ist ganz unkenntlich, ebenso das
höchste Thal bei γ Jansen, doch ist auch keine von einer Unterbrechung
keine Spur, die Gänge erscheint durchaus fortwährend. Aber der Charakter
eines Thales hat es auch in dem Stück östlich von δ völlig verloren,
höchstens erscheint dort die Gegend östlich von der Höhe schwach nach
Osten ansteigend. Sollte das vielleicht daher kommen, dass die Höhe
an dem Westende des Thales in demselben wegstürzt und der West-
rand eingesenken ist? ²

Der Abfall des Meeresspiegelstrahls nach dem Berontale erscheint
auffällig kräftig und doch wieder nicht in sehr auffälliger Farbe. Während
ich ihn sonst in ähnlicher Lage vor Lichtgängen stets wenigstens mit
schwächerlichen Schraffierungen sah, hatte er diesmal eine eigentümlich
stumpfe, rein dunkelgrüne Färbung und Hess auf beiden Seiten jedes
Detail vermissen. Der schon von Schüller gesehene Hügel, welcher
gekennzeichnete Höhlung an der Westgrenze des Meeresspiegelstrahls erscheint

plastisch deutlich, aber überall so nahe an der Lichtgrenze über jeden Schatten und ebenfalls in der eigentümlichen Färbung des vorher erwähnten Abhangs. Diese Farbe ist, wie eine möglichst sorgfältige Untersuchung zeigt, ganz abgesehen von der Lichtgrenze oder im nächsten Teile sichtbar. Die Nebelränder erscheinen in gewöhnlicher Deutlichkeit, am Südende ein abgegrenzter Fleck, aber die Verbindungslinie mit dem umschriebenen Teile des Hauptandes lässt keine Spur eines besonderen Übergangsflechtes erkennen, sondern hat dieselbe Farbe wie der übrige vom Erdlicht erhellte Teil."

Ein außerordentlich großer Fleck erschien am 24. April d. J. am Ostende der Sonne. Ihm voraus ging eine Gruppe kleiner Flecken und ein kleiner folgte nach. Am 24. zeigte sich, dass am Südende des röhrenförmigen Kernes ein kleiner Strichlein durch eine Lichtbrücke abgetrennt war. Tags darauf wurde die kleine vorausgehende Gruppe nicht mehr bemerkt. Der Kern des Fleckens war besonders sehr merklich, als von seinem Ostende vier freie Lichtarme in die Umarmungen, von denen je zwei sich treffen und so zwei runde Strichlein vom Kerne ausstrahlen. Mittels eines Kreuztischrechenes vermochte ich die Position des Fleckens und fand für den Mittelpunkt des Kernes April 26 1895 $7^{\circ} 30'$ der heliographischen Breite, $+ 13^{\circ} 1_2'$ und die Länge (das heißt von wieviel der Fleck dem aufsteigenden Kerne des Sonn-äquators überschritten hatte) $+ 123^{\circ} 1_2'$. Für den West-Querdurchmesser des Fleckens fand sich der Wert von $56^{\circ} 1_2'$, was bei der damaligen Lage die normale Ausdehnung von 45 000 km ergibt.

Trotz dieses spärlichen Status konnte ich den Fleck nicht mit meinem Auge wahrnehmen, während ich im vorigen Jahre wiederholt Sonnenflecken nur unter Benutzung eines Heliostats gesehen habe.

Am 2. Mai war der Fleck am Westende verschwunden

In etwa gleicher Länge mit dem beschriebenen Flecken, aber südlicher Breite befand sich eine Gruppe kleiner Flecken, was deshalb bemerkenswert ist, weil ich die Tatsache, dass es einen Flecken in der einen Hemisphäre gab ein „Pendant“ auf der anderen Seite, sehr häufig beobachtet habe.

Freuen, Mai 1895.

Hans Oerter.

Beobachtung helier Linien in den Spektren einiger Sterne von G. Gress und W. Laska. Die nachstehenden Beobachtungen sind im HEBER des k. k. astronomischen Instituts in Prag, unter Zuhilfenahme dieser von Topfer in Potsdam gefertigten Okularspektroskops, angestellt worden.

1) γ Cassiopeia (13)

1894 Jan. 2. — Das Spektrum ist kontinuierlich, keine helie Linie zu erkennen. Helix und durchsichtig (k.).

Jan. 25. — Hier amorphes hell, andere Linien nicht ablesbar. Ausmergewinkel helier (k. u. l.).

*) Ausß. des Solenost. Prag. Publ. international I 1895, p. 163.

Febr. 8. — Ha schwachend hell (S u. L.) H β eben zu erkennen, das Spektrum scheint aus drei scharf begrenzten Teilen zu bestehen (L.).

2) *S. Lacerta* (IIIa)

1894 Mai 6. — Nahe dem Maximum. H β hell, Ha viellicht auch (S.), D $_2$ hell! (L.) Sehr durchsichtige Luft.

Mai 8. — Ha hell, H β und H γ nicht sichtbar, H δ gut sichtbar. (S.)

Mai 23. — H β hell (S.), nicht (L.)

Juni 1. — Ha nicht hell zu sehen, (S u. L.)

3) *S. Aquilae* (IIIa)

1894 Juni 24. — Ha, H β H γ hell (S. u. L.) auch D $_2$ (S. u. L.)

Juni 30. — Ha, H β , H γ hell (L.) Ha und H β hell (S.).

Juli 2. — Ha sehr hell, ob H β , H γ und D $_2$ auch hell, ist nicht sicher zu entscheiden (L.). Ha und D $_2$ hell (S.).

Juli 3. — H β nur kurz hell gesehen (L.), dafür ist D $_2$ entschieden hell (S. u. L.)

Juli 4. — Keine helleren Linien (S. u. L.)

4) *S. Cygni* (IIIa?)

1894 Juni 28. — D $_2$ vielleicht hell (L.). Typus scheint nicht IIIa, sondern Ha sein.

5) *V. Bootis* (IIIa)

1894 Juni 30. — H β schwachend hell (S. u. L.) schwach sichtbar auch Ha hell zu sein (L.). Das Spektrum ist wunderbar ausgebildet.

Juli 5. — Vielleicht Ha hell, mit Sicherheit nicht zu entscheiden. (L.)

Außer diesen wurden noch einige Veränderliche, deren Maximalhelligkeit im Bereiche unserer optischen Mittel lag, auf helle Linsen untersucht, jedoch ohne Erfolg.

Es sind dies folgende Sterne:

6) *T. Cassiope* 1894 Mai 8. — IIIa? — Keine Farbe tritt stark hervor.

7) *U. Herculis* 1894 Juni 30. und Juli 5. — IIIa?

8) *g. Herculis* 1894 Juli 6. — IIIa? — Frachtvolles Spektrum. Stern gelb.

9) *X. Herculis* 1894 Juli 5. — IIIa? — Schreckliches Spektrum.

10) *V. Aquilae* 1894 Juli 6. — IIIa — H δ gut sichtbar, rote Farbe tritt hervor.

11) *S. Lyrae* 1894 Juli 6. — IIIa? — Frachtvolles Spektrum. Auch am 28. Juli keine helleren Linien gesehen.

12) *R. Sauci* 1894 Juli 6. — IIIa — Stern gelb, das Spektrum nicht ausgeprägt, doch leicht zu beobachten.

13) *R. Delphini* 1894 Juli 23. — IIIa.

Erhebungen zur Luftreinheit. Die Schlußfolgerungen über die Verhältnisse des Jaspisgebirgs sind aus dem Nachfolgenden ersichtlicher, und die angegebenen Zahlen resultieren von Giesewick. Die Tabellen sind der Reichsanzeige über die Arbeiten vom Jaspis nach 1908 II S. 17 beizufügen. Ferner bedient:

- Fr D der Versuchswind der Triebwerke im Schacht des Jaspis.
- Fr R des Antriebs der Triebwerke aus dem Schacht des Jaspis.
- Co D der Versuchswind der Triebwerke hinter der Jaspismaschine.
- Co K des Versuchswindes vor der Jaspismaschine.
- Tr J des Mittels der Triebwerke vor die Jaspismaschine.
- Tr E des Antriebs der Triebwerke aus der Jaspismaschine.
- St J des Antriebs der Triebwerke hinter die Jaspismaschine.
- St K des Antriebs der Triebwerke hinter die Jaspismaschine.

Es sind zur Beurteilung Erhebungen der Jaspiswerke angeführt, welche sich ergeben, wenn Jaspis zu Giesewick über und die Sonne über dem Horizont steht. Die Angaben sind die Resultate dieser Erhebungen für jeden andern Ort zu finden, ist man nur bereit, den Längenschied gegen Giesewick (ausgedrückt in Km) zu den angegebenen Zeitpunkten zu addieren, wenn der Ort westlich von Giesewick liegt und abzu- zu ziehen, wenn der Ort östlich von Giesewick liegt.

September 4. 10 Tr K 10° 30', 11 St. J 10° 00', 11 Tr J 10° 27', Sep-
tember 5. 1 St. J 10° 30', 1 Tr J 10° 30', September 6. 11 Co K 10° 00',
1 Co K 10° 10', September 7. 1 Tr E 10° 27', September 8. 11 Co D 10° 00',
11 September 11. 11 St. E 10° 00', 10 Tr J 10° 27', 11 St. J 10° 27', Sep-
tember 12. 1 Co D 10° 00', 11 Co K 10° 00', September 14. 1 Tr J 10° 27',
1 St. K 10° 30', 1 Tr E 10° 30', September 15. 11 St. J 10° 00', September 16.
1 Co D 10° 10', 1 Co D 10° 00', 10 September 18. 1 St. J 10° 00', 1 Tr J
10° 30', 1 St. K 10° 30', 1 St. E 10° 30', September 19. 11 Co K 10° 00', 11 Co K
10° 00', 1 Co K 10° 00', 1 Tr J 10° 27', September 20. 11 St. J 10° 00', 1 Co K
10° 30', 1 Tr J 10° 30', 11 Co K 10° 30', September 21. 1 St. K 10° 30',
1 Tr K 10° 30'.

Wasserstandsänderungen: 1890, September 1. 10^h. Merkur und Mond in Konjunktion
mit Merkur I rückwärtig. September 2. Mondkonjunktion. September 5. 10^h. Merkur
in nachrückender Konj. September 16. 14^h. Venus in Quadratur vor der
Sonne. September 21. 19^h. Venus in größter still rückwärtiger Breite. Sep-
tember 24. Sonnenkonjunktion. September 25. 10^h. Merkur in der Sonnenferne.
September 28. 10^h. Venus in weiterer Konjunktion mit der Sonne. September 31.
10^h. Sonne tritt in die Breite der Waage. Herbstanfang.





Wasserstandsänderungen durch den Mond für Darfles 1892

Zeit	Name	Höhe	Mittel- wässer Höhe		Mittel- wässer Tiefe	
			h.	m.	h.	m.
Sept. 1	Wappenstein	10	11	44	25	47
— 10	J. Ruckholz	10	5	54	12	52
— 20	J. Wassermann	49	11	47	28	50

Licht und Größe der Mondspitze (nach Bartsch)

Sept 17. Höhe Achse der Mondspitze 30 14^h. Höhe Achse 11 30^h.
Erleuchtungswinkel der Erde über der Mondspitze 10° 27' westl.

Stellung der Jupitermonde im September 1903.

I. $\frac{d}{h}$ 	III. $\frac{d}{h}$ $\frac{r}{h}$ 
II. $\frac{d}{h}$ 	IV. $\frac{d}{h}$ $\frac{r}{h}$ 

Bezeichnungen von links für den Anfänger im astronomischen Formeln.

Tag	Westl.		Ostl.
1		○	1 2
2	4	○	3
3	4	○	7 10
4	4	○	
5	4 5 7	○	
6	4 5	○	1 2
7	4 5 7	○	3
8	7	○	1 2
9	1	○	3
10		○	1 2 3 4
11	1	○	4
12	5 7	○	1
13	1	○	2 3 4
14	2 10	○	7 8
15	7	○	1 2 3 4
16	7 11	○	1 2
17	10	○	1 2 3
18	4 5 7	○	1 2
19	4 5 7	○	7
20	4 5 7	○	1 2
21	4 5 7	○	3
22	4	○	1
23	4 5 7 1	○	1
24	4	○	1 2
25	1	○	3 4
26	1	○	1 2
27	1	○	3
28	1	○	1 2 3 4
29	1	○	1 2 3 4
30	1	○	1 2 3 4
31	1	○	1 2

Flottenstellung im September 1895.

Mittlere Verkehrsmittel					Mittlere Seereserve				
Monat	Schiffe		Mittel	Mittel	Monat	Schiffe		Mittel	Mittel
	1894	1895				1894	1895		
März									
Sept. 9	11 55	7 54	+ 0 59	3470	0 58	18 25	10 78	- 10 47	10 48
10	12 22	10 50	- 1 42	3512	1 1	18 25	10 78	- 10 47	10 51
15	12 49	10 50	- 1 19	3512	1 13	18 25	10 78	- 10 47	10 54
20	13 15	10 50	- 1 07	3517	1 18	18 25	10 78	- 10 47	10 57
25	13 42	10 50	- 1 09	3525	1 23	18 25	10 78	- 10 47	10 60
30	14 09	10 50	- 1 19	3533	1 28	18 25	10 78	- 10 47	10 63
April									
Sept. 6	11 58	10 54	- 0 16	3574	0 1	18 25	10 78	- 10 47	10 66
11	12 25	10 54	- 1 11	3616	0 4	18 25	10 78	- 10 47	10 69
16	12 52	10 54	- 1 18	3658	0 7	18 25	10 78	- 10 47	10 72
21	13 19	10 54	- 1 25	3700	0 10	18 25	10 78	- 10 47	10 75
26	13 46	10 54	- 1 32	3742	0 13	18 25	10 78	- 10 47	10 78
31	14 13	10 54	- 1 39	3784	0 16	18 25	10 78	- 10 47	10 81
Mai									
Sept. 13	11 40	10 51	+ 0 1	3826	0 43	18 25	10 78	- 10 47	10 84
18	12 07	10 51	- 1 48	3868	0 86	18 25	10 78	- 10 47	10 87
23	12 34	10 51	- 1 43	3910	1 29	18 25	10 78	- 10 47	10 90
28	13 01	10 51	- 1 38	3952	1 72	18 25	10 78	- 10 47	10 93
31	13 28	10 51	- 1 37	3994	1 15	18 25	10 78	- 10 47	10 96
Juni									
Sept. 4	1 12	10 52	+ 0 16	4036	11 0	18 25	10 78	- 10 47	11 03
9	1 39	10 52	- 1 13	4078	11 43	18 25	10 78	- 10 47	11 46
14	2 06	10 52	- 1 09	4120	12 26	18 25	10 78	- 10 47	12 29
19	2 33	10 52	- 1 05	4162	13 09	18 25	10 78	- 10 47	13 12

Wochenplan 1895			
Monat	1	2	3
Sept. 9	11	—	Moat in Krißbau.
15	17	40 5	Foßbau.
22	24	40 5	Leitung Vortel.
29	30	—	Moat in Krißbau.
6	13	40 5	Leitung Vortel.
13	20	—	Moat in Krißbau.
20	27	40 5	Leitung Vortel.
27	34	—	Moat in Krißbau.

Moat.

Mittlere Verkehrsmittel				Mittlere Seereserve			
T	Schiffe		Moat in Verkehr	T	Schiffe		Moat in Verkehr
	1894	1895			1894	1895	
1	10 47	7 28	- 3 19	77	10 52	10 51	+ 0 01
2	10 55	6 57	- 3 58	78	10 55	10 50	+ 0 05
3	10 57	7 50	- 3 07	79	10 58	10 50	+ 0 08
4	10 59	8 53	- 2 04	80	10 59	10 50	+ 0 09
5	11 01	9 56	- 1 05	81	11 01	10 50	+ 0 11
6	11 03	10 59	- 0 04	82	11 03	10 50	+ 0 13
7	11 05	11 02	- 0 03	83	11 05	10 50	+ 0 15
8	11 07	11 05	- 0 02	84	11 07	10 50	+ 0 17
9	11 09	11 08	- 0 01	85	11 09	10 50	+ 0 19
10	11 11	11 11	- 0 00	86	11 11	10 50	+ 0 21
11	11 13	11 14	- 0 01	87	11 13	10 50	+ 0 23
12	11 15	11 15	- 0 00	88	11 15	10 50	+ 0 25
13	11 17	11 16	- 0 01	89	11 17	10 50	+ 0 27
14	11 19	11 17	- 0 02	90	11 19	10 50	+ 0 29
15	11 21	11 20	- 0 01	91	11 21	10 50	+ 0 31
16	11 23	11 23	- 0 00	92	11 23	10 50	+ 0 33
17	11 25	11 25	- 0 00	93	11 25	10 50	+ 0 35
18	11 27	11 28	- 0 01	94	11 27	10 50	+ 0 37
19	11 29	11 29	- 0 00	95	11 29	10 50	+ 0 39
20	11 31	11 30	- 0 01	96	11 31	10 50	+ 0 41
21	11 33	11 33	- 0 00	97	11 33	10 50	+ 0 43
22	11 35	11 35	- 0 00	98	11 35	10 50	+ 0 45
23	11 37	11 37	- 0 00	99	11 37	10 50	+ 0 47
24	11 39	11 39	- 0 00	100	11 39	10 50	+ 0 49

Tabelle 1. Flottenstellung im September 1895.

Sonnen Tafel 1893. III.



Der Mond während der totalen Verfinsternung am 11. März 1895.

Gezeichnet von Dr. E. Benschard





Na die verehr. Abonnenten des „Salus“!

Um den Nachdruck des „Salus“ auch die folgenden Jahrgänge des Jahrganges und abzugeben hat sich entschieden. Nicht zugängliche Jahrgänge, habe ich auch nicht mehr. Die Preise für jeden der I bis VII. Band (Jahrgänge 1871-1876) an Abonnenten mangelt es nicht an Geld!

Band I, II, III, IV, V, VI (Jahrgänge 1871-1876) wenn zusammen genommen nur 20 Mark.

===== Einzelne Bände 4 Mark. =====

Band VII, VIII, IX, X (Jahrgänge 1877-1881) wenn zusammen genommen nur 20 Mark.

===== Einzelne Bände 4 Mark. =====

Band XI, XII, XIII, XIV (Jahrgänge 1882-1886) wenn zusammen genommen nur 20 Mark.

===== Einzelne Bände 4 Mark. =====

Band XV, XVI, XVII, XVIII (Jahrgänge 1887-1891) wenn zusammen genommen nur 20 Mark.

===== Einzelne Bände 4 Mark. =====

Band XIX, XXIII (1891-1896) à 12 Mark.

Einband-Drucke dazu kosten pro Band nur 75 Pf.

Auch ist noch zu bemerken, dass mit der vollständigen Klavis-Tonart abgeben werden kann, kein, ich verleihe die Instrumente halbjährlich, auch zu verkaufen. Auch Verkauf dieser vollständigen Band I bis VII Jahrgänge werden zu Kauf.

Diese Ausgaben sind auf die Jahre angeordnet. Gesamt-Nummer zu Band I-XX der neuen Folge des „Salus“ insgesamt, welche bei jeder Abnahme der Bände I-XX I bis X F. einschließlich ist.

Ich habe mich & in der Hoffnung eines halbes Jahres.

Leipzig, Januar 1895

Hochachtungsvoll
**Die Verlagsbuchhandlung
Carl Neubauer.**

Der Lesersachen enthält bei der Buch- und Musikverlagung von

Exp. Bände. Neue Folge. Band I, II, III, IV, V, VI (Jahrgänge 1871-1876) wenn zusammen genommen nur 20 Mark. Einzelne Bände 4 Mark.

Exp. Bände. Neue Folge. Band VII, VIII, IX, X (Jahrgänge 1877-1881) wenn zusammen genommen nur 20 Mark. Einzelne Bände 4 Mark.

Exp. Bände. Neue Folge. Band XI, XII, XIII, XIV (Jahrgänge 1882-1886) wenn zusammen genommen nur 20 Mark. Einzelne Bände 4 Mark.

Exp. Bände. Neue Folge. Band XV, XVI, XVII, XVIII (Jahrgänge 1887-1891) wenn zusammen genommen nur 20 Mark. Einzelne Bände 4 Mark.

Exp. Bände. Neue Folge. Band XIX-XXIII (Jahrgänge 1891-1896) à 12 Mark.

Exp. Klavisdrucke zu jedem Band I-XXIII à 75 Pf.

Exp. Gesamt-Drucke zu Band I-XX der neuen Folge à 2 Mark.

Der Druck und Text

Neue und alte



SIRIUS

Zeitschrift für populäre Astronomie

Herausgeber unter Mitwirkung
berühmtester
deutscher und ausländischer Schriftsteller,
Herausgeber Dr. Hermann F. Schuster in Köln
Band XVIII oder auch Folge Band VIII

8. Heft.



Leipzig 1886
Karl Schönes.



SIRIUS.

Zeitschrift für populäre Astronomie.

Zeitschriften für alle Freunde und Förderer der Einzelstudie.

Herzogenblaus unter Mitwirkung

hervorragender Fachmänner und astronomischer Schriftsteller

von **Dr. HERMANN J. KLEIN** in Köln a. Rh.

Ausgangspunkt 1904/5.

*„Wissen und Erlesen sind die Freunde und die
Herrscher der Menschheit.“* **Kleist.**

Inhalt des Heftes vom 5. 10. — Ein Wechseljahrplan auf der Veranlassung der Harvard-College in Cambridge (V. d. R.) (Fortsetzung) S. 292 — Das Welterdbeilicht (E. M.) — Die Funktion von 2. Ordnung (E. M.) — Ferngraphische Aufnahmen eines Teils der Milchstraße (E. M.) — Feuerlicht-Aufnahmen, das große Fernrohr (E. M.) — Strahlendes Heutzug des Beobachters während der ersten Zonenüberfahrt am 21. April 1905 (E. M.) — Beobachtungen an einem der Pleiaden-sterne während der ersten Zonenüberfahrt (E. M.) — Eine neue Pleiaden-Gruppe (E. M.) — Beobachtungen der Pleiaden-Gruppe (E. M.) — Pleiadenbeobachtungen aus S. 292 — Beobachtungen durch die Mund der Sonne (E. M.) — Lage und Größe der Sonnenflecken (E. M.) — Stellung der Jupitermonde im Oktober des 5. 1905 — Planetenbewegung im Oktober 1905 (E. M.) — Mond (E. M.)

Den Sternen näher.

Hr. K. E. Barnard hat sich über die Anordnungen bezüglich der Benutzung noch größerer Teleskope, als bisher konstruiert wurden, in einer interessanten Mitteilung ausgesprochen.

In einer Unterhaltung, bemerkt er, welche ich im April 1905 mit Alvan G. Clark, dem Konstrukteur der Spiegelteleskope und ständigen Überlebenden des Hauses Alvan Clark u. Sons hatte, erklärte mir dieses Detail, als Objektiv von 5 (engl.) Fuß oder 152 Zentimeter Durchmesser auszuführen, sobald er das im Aufbau befindliche Objektiv von 40 Zoll Durchmesser vollendet haben würde. Damals war von dem letzten Linsen des letzteren das eine vollständig fertig und lag auf einer Pack, nur beiläufig am Schutze mit gewöhnlicher Packpapierwand, vor einem Fenster, das sich in gleicher Höhe mit dem Boden davor befand. Ein Kind, das von der Straße her einen Stein durch das Fenster geworfen hätte, würde damit gleichzeitig die kostbare Objektivlinse zertrümmert haben. Aber Clark, gegen den ich solche Befürchtung aussprach, wurde davon nicht besonders beunruhigt, sondern sagte einfach:

das Objekt sei für die Summe von 60000 Dollars versichert. Vielleicht hätte er auch nicht Versehen zu der Jagd von Combridge, als ich-Schlamm wäre nur gewesen, dass, wenn die Linse beschädigt würde, die Vollendung des grossen Reflektors von 3 oder 4 Jahre hinausgeschoben werden wäre. Eine gewisse sehrbare Sorglosigkeit gehört mir an scheint immer zum Geschäfte, auch wenn letztere in der Herstellung von Einzelobjekten besteht.

Hr. Bernard wußt die Frage auf nach der möglichen Grenze in der Größe der Teleskope. Für die meisten genügend unterrichteten Personen, sagt er, hat sich die Frage in zwei andere auf:

1. Kann man die heute erreichten Dimensionen unserer Objektiven noch erheblich überschreiten?

Unsere Objektiv sagen ja und glauben bis zu 6 oder 7 Fuss Durchmesser gehen zu können.

2. Können die Schwierigkeiten der Montierung dieser grossen Linsen überwunden werden? Oder mit andere Worten: Wird es möglich sein Linsen von 6 oder 8 Fuss Durchmesser an Stellen von 100 Fuss Länge zu befestigen, so dass diese Stellen heutzutage nach allen Punkten des Himmels gerichtet werden können, ohne dass irgend eine Verlangung der Hüter undenklich werden? Diese Frage hat gelegentlich der Montierung des 40-Zollers Hr. Mount Hamilton auf, aber Warren und Ivessey haben sie in befriedigender Weise praktisch beantwortet, so werden auch ohne Zweifel die Lösung für den 40-Zoller finden. Indessen ihre Beschicklichkeit hat doch noch eine Grenze, die ich übrigens nicht feststellen möchte, dagegen stellt sich unsere grosse Teleskope eine Schwierigkeit anderer Art entgegen, gegen die wir nichts vermögen. Die Atmosphäre selbst, welche an unserer Existenz so notwendig ist, wird der grösste Feind der nützlichen Instrumente der Zukunft sein, wie sie dies schon für die heutigen Instrumente ist. Der ideale Zustand für die Beobachtung an einem grossen Teleskop würde völlig ausserhalb der Atmosphäre sein, sofern eine solche Aufstellung ist auf der Erde nicht zu finden und würde sie dann, so müsste eine neue Art Beobachter dazu gefunden werden, die sich dort aufstellen könnten. Wir müssen daher unsere Atmosphäre verlassen wie sie ist und den ungeliebten Vorwand zu geben suchen. Es sind Leute, welche die Wälder der Atmosphäre, über die wir Beobachter sein zu müssen zu beklagen haben, sogleich wie bei meter Bewölkung wohl das Licht hätten unversehrt zu sein. Die grössten Schwirbelungen setzen sich malacker, wenn die Atmosphäre besonders durchdringt ist. Eine solche Winternacht mit kaltem, funkelnem Sterne ist das Schlimmste, was man sich für die Beobachtung vorstellen kann, denn niemand wird die Hüter seinen Augenblick ruhig. Wir befinden uns am Boden eines die ganze Erde bedeckenden Ozeans und müssen durch diese ganze Luftmasse hindurch die Gestirne betrachten, wobei wir uns glücklich schätzen müssen, wenn diese Luft, während wir beobachten, einen Augenblick ruhig ist. Unwillig ist sie in der That stündlich ruhig, aber die meiste Zeit in beständiger Bewegung, bewirkt und diese Bewegungen so heftig, dass solche derselben die Hüter der Himmelskörper in einem grossen Fernrohr völlig verweicht werden.

Indessen ist die Luft von Zeit zu Zeit ruhig und wenn man alsdann solche eines mäßigen Instrumente durch Fixation erkennen, so sieht man denselben in herrlichem Glanz. Während aber solches Nicht-erkennen man ohne Schwierigkeit alles, was das Fernrohr überhaupt darzustellen vermag. Die letzten Details einer Pflanzenoberfläche, die kleinsten Fixsterne und die schwächsten Satelliten erscheinen mit einer Deutlichkeit, welche die schönsten Beobachtungen gestattet. Wenn solche Luftverhältnisse noch öfter vorhanden, so wäre die Arbeit des Beobachters konstant angenehmer und fruchtbarer. Leider sind aber derartige Luftverhältnisse selten und um so seltener je höher sich das Fernrohr ist, dessen man sich bedient. Sind zufällig die Bilder in einem grossen Teleskop gut, so können sie nicht lange so, höchstens einige Stunden, vorant zu an Schönheit verlieren, so dass fern Details verschwinden und schwache Satelliten vollkommen verschwinden.

Der Beobachter, welcher über Instrumente von verschiedener Größe verfügt, versteht sehr genau die Zustände der Atmosphäre. In gewissen Nächten bedient er sich (auf Mount Hamilton) eines 6-Zollers, da ein 12-Zoller nur mittelmäßige Bilder geben würde und die Benutzung eines 30-Zollers ganz überflüssig wäre. Im kleinsten Instrumente ist die Schärfe der Bilder dann nur vermindert, in einem solchen von doppelter Öffnung also vierfacher Lichtstärke ist die Definition schon viel weniger gut, so mäßigenfalls möglich, das eine 6-mal stärkere Vergrößerung gestattet würde, nicht so deutlich keine Bilder mehr. In gewissen Nächten sieht man bestimmte Details am 12-Zoller sehr scharf, während die am 30-Zoller kaum schwach und verwaschen erscheinen. Unerwartetes Umständen ist dagegen der 30-Zoller dem 12-Zoller bezüglich seiner Leistungsfähigkeit überlegen. Gehen wir nun zu einem 40-Zoller über, so würde in diesem die Ursache der Luft noch zugünstlicher sein als im 30-Zoller und wenn wir annehmen, dass ein noch besseres Instrument konstruirt werden könnte, so würde die Ursache der Luft in demselben Verhältnisse vergrößert, so dass der Beobachter den Himmel lange Zeit hindurch, vielleicht ein ganzes Jahr lang, überwachen müsste, ehe er einen Abend finde, an dem er arbeiten könnte. Während der meisten Zeit würden die Bilder so unklar sein, dass die wirkliche Leistungsfähigkeit des Instruments unter derjenigen eines 30-Zollers hinstünde. Allein, wenn zufällig ein heller Abend sich einstellt, welche Wunder wird man nicht mit einem solchen Objektiv entdecken!

In dem Maße als man die Kraft unserer Fernrohre vergrößert, vermindert sich die Zahl der Stunden, während denen man sie nutzbringend verwenden kann. Nehmen wir an, dass der Gradkreis der Optiken und Mechanik keine Grenze gesetzt ist, so würden wir schließlich dazu kommen, Fernrohre von solcher Kraft zu konstruiren, dass wir sie niemals gebrauchen können. Eine wahrhaft riesige Schwächigung!

Inzwischen glaube ich, dass man die Kraft der Instrumente noch vermindern wird und grossen Nutzen aus ihnen ziehen kann, wenn man sie auf geeigneten Berggipfeln aufstellt. Es gibt indessen eine Grenze der optischen Leistungsfähigkeit und diese bildet unsere Atmosphäre.

Die Beobachtungen auf der Sternwarte des Harvard-College in Cambridge N. A.

(Fortsetzung statt Schluss.)

Prof. William Pickering verkehrte sich zunächst über die kleinen dunklen Flecke, welche sich vielfach auf der Nordoberfläche zeigen, besonders auch in einem Ringgebirge. Er erwähnt zunächst die beiden Ringgebirge Hilly und Mantova. Nach Sonnenanalogie erscheint das Innere des Hilly gleichmäßig dunkel und glatt, während der benachbarte Mantova gleichmäßig hell und sehr reich darstellt. Am Abend des 18. September 1894 wurde eine Zeichnung des Mantova gefertigt, welche auf der rechten Fläche einen sehr schwarzen und unregelmäßigen Fleck zeigte, dessen Nodus keine Erwähnung fand. Am 25. September wurde abermals das Innere gezeichnet, der Fleck zeigte einige Veränderungen in dem Umriss, sonst aber war es wie früher. Am Abende des 28. Januar 1895 wurde eine dritte Zeichnung erhalten. Die Sonnenstrahlen trafen gerade das Innere des Kraters und liefen die Details mit grosser Schärfe hervor, der schwarze Fleck wurde jedoch nicht gefunden. Am nächsten Abende war er dagegen sehr schwach sichtbar und es wurde wieder eine sorgfältige Zeichnung desselben angefertigt. Von da ab wand in jeder klaren Nacht während der Session unserer Lecturen die Foresteria sorgfältig studiert. Ueberleb des Wetter in mehr als der Hälfte der Nächte wollos war, so ergab sich doch, dass die Veränderungen in der Gestalt des Flecks nur gering sind, dass er dagegen mehrere Tage hindurch stufenweise dunkler wird, dass einige Tage mehr dunkel bleibt und dann wieder allmählich abnimmt, bis er vor Sonnenanalogie verschwindet. Fernere Untersuchungen ergaben noch, dass dieser Fleck während mehrerer aufeinander folgender Sessionen nach einigen Veränderungen seiner Gestalt unterliegt, dass solchen jedoch auch, immer der Fall ist. Dies war der erste „veränderliche“ Fleck, den Hr. Pickering auffand, später entdeckte er noch mehrere andere und stellte endlich einen Katalog von 28 Nummern zusammen, von denen jede einen oder mehrere dieser Flecke enthält. Am interessantesten sind nach Hr. Pickering die Flecke im Alphonso und Atha. Die ersten erschienenen ersten Beobachtungen zufolge am dunkelsten nach dem Vollmonde, wenn keine weissen Schatten vorhanden sind, dagegen werden sie bei niedriger Sonne unsichtbar, wenn die weissen Schatten am dunkelsten erscheinen. „Daher“, sagt H. Pickering, „ist es evident, dass hier eine wirkliche Veränderung der Natur der reflektierenden Oberfläche stattfindet. Wir können kein Gestirn, welches stufenweise dunkler wird unter dem Einfluss der Sonnenstrahlen und später, wenn die Sonnenhitze abnimmt, wieder heller erscheint.“ Er weist, man könne nur Erklärung nur an Wasser denken, doch könnten die Flecke nicht etwa Teiche sein. Das könnte schon aus dem Grunde nicht der Fall sein, weil einer der Alphonso-Flecke während einer gewissen Zeit die Abhängigkeit eines kleinen Hügelns an der Mitte des Kraterwulles bedeckte, von einer freien Wasseroberfläche könnte also keine Rede sein, abgesehen von dem Auftreten eines etwa gebrochenen Bodens. Die Hypothese einer Vegetation bedarf gründlicherer Unterlagen,

Pflanzen können ohne Fruchtbarkeit gleich bestehen, doch beschränkt diese andererseits nicht im Geringsten von Tieren oder Pflanzen anzufliegen.

Eine sorgfältige Untersuchung von 3 der augenfälligsten variablen Flecke im Alphonse hat Prof. Fickering überzeugt, dass mit Ausnahme des grünen, jeder derselben genau in seinem Centrum einen kleinen Krater hat. Der grüne Fleck besitzt zwei größere und fünf kleine Krater. Alle kleinen Flecke sind am ihre Krater völlig symmetrisch geordnet und dies findet sich auch in andern Teilen des Mondes, kann also nicht zufällig sein. Die nächste wichtige Thatsache ist nach Herrn Fickering, dass dieser dunkle Fleck von der Mondphase (also von der Lage der Lichtgrenze) unabhängig und. Deswegen nahe dem Westrande erscheint ihre grösste Dunkelheit just vor dem Vollmonde, diejenigen in den andern Teilen der Mondoberfläche just nach Vollmond, diejenigen endlich nahe dem Ostende sind am dunkelsten um die Zeit des letzten Viertels. Fickering hat gefunden, dass die Flecke im Atlas, Alphonse und Haasius, stets am dunkelsten sind insofern weniger als 4 Stunden, nachdem die Sonne ihren Meridian passiert hat, aber nie früher. Diese Thatsache, sagt er, ist deshalb wichtig, weil sie zeigt, dass die Dunkelheit von der relativen Stellung der Sonne gegen den Fleck abhängt und unabhängig ist von der Position des Beobachters.

Die zweite wichtige Thatsache bezüglich der Flecke ist deren veränderliche Art. Es gibt hellgrüne, dunkelgrüne und schwarze Flecke, d. h. ihre Farbe entspricht diesen Farben im Maximum der Dunkelheit. Die hellgrünen Flecke erscheinen dem dunkelsten Theil bereits 3 oder 5 Tage nachdem sie vom Sonnenlicht getroffen wurden. Hiermit stimmen sie allmählich ab, wie dies z. B. mit einem Theil des grossen Fleckes im Alphonse der Fall ist; nicht aber behalten sie ihre Färbung 7 bis 10 Tage lang und werden erst kurz vor Sonnenuntergang schwächer. Das dunkelgrüne Farben erscheinen im höheren Breiten (z. B. im Ringgebirge Atlas) zuerst am 3. Tag nach Sonnenanfgang und brauchen hiernächst noch 3 Tage mehr, um abzudunkeln und sich abzuschleichen. Nach diesem beginnen sie abzublanchen. Die schwarzen Flecke erscheinen noch später — im Atlas am 6. Tage — und bleichen noch früher ab, nämlich am 12. Tage. In niedrigeren Breiten (im Alphonse und Haasius) erscheinen die dunkeln Flecke früher und verschwinden später. Aber selbst die Flecke in einem demselben Krater erscheinen nicht immer zur nämlichen Zeit und haben nicht immer dieselbe Dauer. So im Alphonse, wo der Fleck a) bis zum 2. Tage nach Sonnenanfgang einer der dunkelsten ist. Vom 9. bis 12. Tage und die Flecke a, b, c gleich, später werden b und c dunkler als a. Andererseits scheint ein hellgrüner Fleck f kontinuierlich dunkler zu werden ein Sonnenanfgang bis fast zu Sonnenuntergang. Ein anderer dunkelgrüner Fleck d, verhält sich noch andern. Bei seiner ersten Sichtbarkeit ist er viel schwächer als der benachbarte Fleck e, dann nimmt er zu an Dunkelheit, bis am 7. Tage unentschieden bleibt, welcher von beiden der dunklere ist. Am 9. Tage hat er dagegen schon wieder abgenommen und ist viel schwächer geworden. Hiñterwärts hat d, auch abgenommen

*) Es ist der dreieckige Fleck am inneren Abhange des Ostendes. E.

und sich dabei ausgebreitet, so dass am 13. Tage 4, und 5, kaum noch zu trösten sind und als grosser, blasser Fleck anzusehen.

Bowditch und die Flecke selbst angucken, so im Jahre 1800, aber andere zeigen sehr verschiedene Grössen u. B. Alphonsus u. besonders dann, wenn sie ihre Urten ändern. Häufig werden sie von kleinen Hilfen begrenzt, u. B. im Alphonsus und Atlas, doch zeigen diese Hilfen keine Ähnlichkeit mit Finsternissen, obgleich solche in den beiden genannten Kreisen nach gelandet wurden. Mit Rücksicht auf die geringe Dichtigkeit der Mondatmosphäre scheint es unangeführt, dass irgend ein Finsterniss auf dem Monde gegenwärtig nach Wasser enthalten könnte.

Die Verteilung der Flecke ist völlig unregelmässig, die meisten liegen gegen das Nord im Norden, zum Teil wegen der vorzüglichen Lage zur Gesichtslinie, dagegen finden sich keine in der Nähe der Pole. Der südlichste bekannte veränderliche Fleck ist Endymion in 67° u. Br. nahe dem westlichen Rande; der südlichste ist Ponticoulant u. in 69° u. Br. und ebenfalls nahe dem westlichen Rande. Der nördlichste Fleck nahe dem westlichen Rande ist Selenit in 47° u. Br., der nördlichste Fleck am östlichen Rande Selenit in 1° u. Br. Veränderliche dunkle Flecke sind in allen Maren gefunden worden mit Ausnahme des Oceanus Procellarum. Sie liegen meist gegen die Ränder der Maren hin, im Mare Trapeziforme und Mare Nectaris aber über die ganze innere Fläche verstreut. Die Maren selbst sind in Dunkelheit verschieden, so ist das Mare Piccolomini nach dem ersten Viertel heller als das Mare Cratium, dann dunkel so nach 10 und bleibt dunkler als letzteres bis nach dem Vollmonde. Wenn der Sonnenantrieb nicht, so wird es wieder heller als das M. Cratium, bis es verschwindet. Mare Nectaris und M. Vaporum verhalten sich in Hinsicht Wines im Vergleich mit dem M. Serotianis. Wenn das mit veränderlichen Flecken bedeckten Regionen selbst dunkel sind, so ist es oft sehr schwer, deren Veränderlichkeit zu erkennen. Dies ist z. B. der Fall mit der inneren Fläche des Atlas, welche vor Jahren einer Veränderlichkeit der Färbung vollständig erlitten. Kein anderer Name einer Veränderlichkeit ist bis jetzt bei Hill, Zappes oder Oliger erkannt worden, welche stark ausgefüllte dunkle Formationen sind und obgleich unbedeutend in ihrer Nähe veränderliche Flecke enthalten. Die veränderlichen Flecke bedecken innerhalb der Kontouren gewöhnlich nicht die ganze Fläche, sondern sind meist längs des Randes derselben verstreut, ebenso auf dem niedrigen Abhänge innerhalb des Walles, dagegen werden sie niemals auf den Gipfeln der Umfassung und nur selten, wenn überhaupt, auf den höchsten Abhängen derselben angetroffen. Fast immer sind die Flecke farblos. Die einzige farbige Färbung, welche Beobachtung erlaubte, war beim Endymion, dessen letztere, wenn es zuerst vom Sonnenlicht getroffen wird, eine ausgesprochen gelbe Farbe zeigt, je nachdem der gelbe Fleck auf der ganzen Mondoberfläche ist. Gleichwohl ist viel weniger ausgesprochen gelb und Fucinus zeigt hauptsächlich nur Spuren einer solchen Färbung. Die gelbe Farbe des Endymion scheint insofern einen Anfang von Urten zu enthalten, doch war dies nicht klar zu erkennen. Am besten konnte die Färbung an starker Vergrößerung bemerkt. Die innere Fläche des Endymion ist eine weisse Ebene, aber von zahl-

lassen Rollen durchbrochen. Die dort vorkommenden Flecke nehmen die Form langlicher Streifen an, ebenso wie im Orinoid.

Prof. Fickering bedauert, dass seine Aufmerksamkeit auf die verschiedenen Flecke erst 2 Monate vor seiner Abreise von Arequipa gerichtet wurde und dass innerhalb dieser Zeit manche Beobachtungsmomente durch das schlechte Wetter der Regenzeit verloren ging. Nach einer Rückreise nach Cambridge erwies sich dort die Luft für gewisse Untersuchungen zu schlecht, selbst die gutsten Fliesstetten, mit Ausnahme vom höchsten Teil (die Mitte des Berdöl) waren in Cambridge schwierige Objekte und die Venus Hillen und kleinen Krater, die zu Arequipa jede Nacht auf dem ersten Blick zu sehen waren, konnten in Cambridge nicht wahrgenommen werden.

Während der letzten Monate war seine besondere Aufmerksamkeit dem den Kratern Eusebio, Atlas und Alphonso zugewandt und wurden die angestellten Beobachtungen mitgeteilt, ebenso mehrere Skizzen. Endlich gibt Fickering noch einen Katalog der von ihm entdeckten verschiedenen Flecke. Derselbe Katalog folgt hier in einem das Wesentlichste wiedergibenden Auszuge.

1. W. Humboldt (Br. — 27°, Längs + 64°). Enthält 3 dunkle Flecke und ein anderer liegt nördlich vom Krater. Sie sind um die Zeit des ersten Quartals die dunkelsten grossen Flecke auf dem Monde, viel dunkler als die im Penitus und Eudymus. In dem grössten Fleck sieht sich ein kugelförmiger Anhang.

2. Orin (Br. — 49°, L. + 77°).

3. Ponceanata (Br. — 50°, L. + 47°)

4. B (Br. — 31°, L. + 67°). Ein Krater ohne Namen, von Nelen mit B bezeichnet. Er liegt nahe der Mitte des weissen Bergesites.

5. Mare Crisium (Br. + 12°, L. + 61°). Mehrere grosse dunkle Flächen im SW dieses Mare.

6. Petavius (Br. — 27°, L. + 62°). Der ganze nordöstliche Teil der inneren Fläche ist dunkel mit Ausnahme einiger heller Stellen, die nur grosse Hülln überragen. Der äusseren nördliche Teil ist ungewöhnlich dunkler als der übrige und liegt drüber manche unentworfene die beiden Fliesstetten.

7. Nevanus a (Br. + 60°, L. + 62°). Ein sehr markierter dunkler Fleck, nördlich, östlich und südlich von einem kleinen Krater.

8. Eudymus (Br. + 37°, L. + 52°). Die innere Fläche ist von zahlreichen Rollen durchbrochen und enthält kleine Hügel und Krater.

9. Mare Ponceanata (Br. — 0°, L. + 50°). Dasselbe Mare ist mehr oder weniger mit dem Material bedeckt, welches die verschiedenen Flecke hervorruft.

10. Ptolema (Br. + 50°, L. + 47°). Enthält zahlreiche Rollen, eine grosse grosse Region und verschiedene schwarze Flecke wie Atlas a, aber kleiner. Bei unzureichendem telegraphischen Mitteln und guten atmosphärischen Zuständen, bestehend aus besonders überreifer Krater.

11. Colonus (Br. — 14°, L. + 54°). Eine grosse Fläche in der Nähe ist wahrscheinlich veränderlich.

12. Atlas (Br. + 48°, L. + 62°).

13. Herkules (Br + 47°, L + 38°). Enthält einen grossen Fleck von verschiedener Schattierung.

14. Mars Nepertis (Br — 15°, L + 34). Diese Fläche ist bedeckt mit veränderlichen Flecken.

15. Mars Trapeziformis (Br + 10°, L + 30°). Das dunkelste der grossen Mars, enthält einige helle Flecke und ist ausserdem bedeckt mit dem Material, welches die veränderlichen Flecke hervorruft.

16. Mars Sereulata (Br + 30°, L + 30°). Ein grosser, dunkler Fleck am westlichen Ende des Mars, welcher mit demjenigen im Trapeziformis zusammenhängt.

17. Julius Caesar (Br + 10°, L + 15°). Ein sehr dunkler Fleck in der nordöstl. Ecke, umgeben im S und W von einem hellen. Beide Flecke sind schief begrenzt und stellen etwa $\frac{1}{2}$ der innern Fläche

18. Romulus (Br + 30°, L + 11°). Eine sehr dunkle Fläche von einer Flacheit und einer Höhe durchzogen.

19. Zwischen Hygieus und Agrippa (Breite + 6°, L + 6°). Ein wohl definierter dunkler Fleck.

20. Mars Vaporum (Br + 11°, L + 6°). Mehrere auscheinend verschiedene Flecke.

21. Mars Iulianus (Br + 36°, L + 7°). Der westliche Rand in der Region, welcher das Mt Hooding-Flussbett umgibt, ist Veränderungen der Helligkeit unterworfen.

22. Eusebius (Br + 0°, L + 6°). Der Fleck liegt gerade Ostlich von dem Krater.

23. Alphonsus (Br — 15°, L — 3°).

24. Schroter (Br + 6°, L — 7°). Gerade südlich von diesem Krater findet sich eine Anzahl kleiner Flecke, von denen einige sehr dunkel sind.

25. Ping (Br + 51°, L — 6°).

26. Studnik (Br + 11°, L — 47°). Diese Region ist dicht mit Kratern besetzt und erscheint im Vollmond sehr dunkel.

27. Garbat K (Br + 0°, L — 16°). Ein grosser, sehr dunkler, doppelter Fleck.

28. Mars Nubium (Br — 15°, L — 15°). Der südliche Teil enthält einige Flecken, welche wahrscheinlich veränderlich sind.

29. Gauss's (Br — 18°, L — 25°). Ein unregelmäßiger Krater. Der grüne Fleck bildet sich im südlichen Teile desselben. Ein kleiner Fleck von ungleichem Interesse liegt im nördlichen Teil der innern Fläche von Gauss's A.

30. Mars Hamanns (Br — 38°, L — 45°). Der ganze nördliche Rand scheint mit veränderlichen Flecken besetzt. Einige Flecke liegen in der Richtung auf Tycho zu und mögen auch veränderlich sein.

31. Drehtel (Br — 50°, L — 48°). In Intervall die Mitte haltend, zwischen den zwei Endpunkten des Scherband. Drehtel c ist noch dunkler als Drehtel d.

32. Hevelius (Br — 11°, L — 51°).

33. Zepus (Br — 26°, L — 51°). Das Innere ist dunkel. Verschiedene kleinere Flecke in der Nähe mögen veränderlich sein.

34. Schickard (Br — 44°, L — 50°). An beiden Enden der innern

Fläche bilden sich dunkle Flecke, der stöckliche mit verschiedenen der dunklen.

35. Vesta 4 (Br. — 33°, L. — 57°). Ein sehr auffälliger Doppelstern liess sich zu einem einzigen vereinigt. Der Fleck liegt genau südlich von 2, als interessantes Objekt.

36. Crater (Br. — 13°, L. — 68°). Das Innere ist etwas bauchschichtig. Zwischen ihm und Hotes liegen zwei kleine, dunkle Begleiter, welche wahrscheinlich veränderlich sind.

37. Getzaldt (Br. — 8°, L. — 68°).

38. Suetich (Br. — 7°, L. — 37°). Interessant wegen der Schönheit, mit welcher die sehr dunkle Färbung gegen Sonnenstrahlung verschwindet.

Hinsichtlich der Flecke im Hercules, Alpheus und Atlas werden detaillierte Mittheilungen der Beobachtungen gegeben. Es ist sehr zu bedauern, dass Hr. Prof. W. Fickering von den früheren Beobachtungen der von ihm sogenannten veränderlichen Flecke keine Ahnung hat, er wüsst wohl, dass schon Grötholzen diesen Flecken seine Aufmerksamkeit zugewandt und ich seit Jahren sowohl in der „Wachenschrift für Astronomie“ als im „Stirn“ Beobachtungen darüber veröffentlicht habe. Besonders Alpheus und im diesem vor allem der dreieckige Fleck ist seit länger als 15 Jahren von mir ununterbrochen verfolgt worden. Auch habe ich von diesem Fleck auf Grund meiner Beobachtungen eine Spezialkarte entworfen, die in verschiedenen wissenschaftlichen Zeitschriften¹⁾, selbst auch in meinem Buche „Führt am Sternhimmel“ reproduziert ist. Diese Karte ist das Ergebnis zahlreicher Beobachtungen. Sie enthält manche sehr schwierige Detail und es war mir ebenfalls erfreulich, dass einige Jahre nach ihrem ersten Erscheinen H. Nielsen am grossen Kopenhagener Refraktor ihre völlige Übereinstimmung mit dem Moede konstatairen konnte.²⁾ Hr. Prof. Fickering geht ohne eine Erklärung dieses (und aller übrigen) Flecke im Alpheus aus, ich bin aber mit dem besten Willen nicht im Stande die charakteristische Form des dreieckigen Fleckes durch wiederzuerkennen. Auch was er von kleinen Knoten in diesem Fleck sagt ist mir zum Theil unverständlich. Hr. Prof. Fickering hat in Arquipa offenbar nicht die gelegenheit gefunden, die wirkliche Configuration der Beobachter in der unmittelbaren Umgebung des Fleckes unter geeigneten Beobachtungsverhältnissen zu sehen. Es würde dem sonst bei der Kraft eines grossen Refraktors und der reinen Klarheit der Luft in Arquipa nicht entgegen sein, dass im Mittelpunkt des dreieckigen Fleckes ein kleiner Kisterkugel nicht ohne Unterbrechung auf dem schwachen Hücker eines mächtigen Ringwalde, dessen innere Fläche tiefer als die äussere Umgebung liegt. Die stöckliche Spitze des dreieckigen Fleckes liegt mehrhalb dieses Ringwalde, die beiden anderen Itzen oberhalb desselben. Ich habe alles hierin gehörig in meinem eben genannten Werke auseinandergesetzt und verweise hier darauf. Die höchst interessante Wahrnehmung, die mich 1878 zur unbedeutenden Beobachtung dieses Fleckes veranlasste, ist im Stirn 1880 S. 260 ausführlich mitgeteilt, auch ist dort die Detail meiner Beobachtungen, so weit sie etwas Besonderes

¹⁾ Im Stirn 1862, Heft 2

²⁾ Wachenschrift f. Astronomie, 1886, S. 541.

ergaben, bis zum 5. Oktober 1881 mitteltägig. Diese weißen Wahrnehmungen will ich nach meinem Beobachtungsprotokoll hierin anführen.

1881 Oktober 10. Lichtgrenze betflich von Thule. Im Westen der Alphenessfläche zeigt sich, noch zusammenhängend mit der Solstation des Walle, ein matter, schmutzig graugrüner Fleck, der Umräumung nach der Grenze nach, wie der Solstation eines Beispiel. Später als die Wallstation kürzer waren, lag er völlig frei und klar matt. [Es ist der von H. Pickering nach bezeichnete Fleck]. Am Orte des dreieckigen Flecks ist von diesem nichts zu sehen, wohl aber eine Reihe von zahlreichen Hügeln, teilweise in Reihen geordnet. Auch sonst sind im Alpheness keine Flecks zu sehen, aber dessen ganze betfliche Hälfte erscheint etwas dunkler als die westliche. Die verschiedenen Beobachtungen gegen geschoben zwischen δ^1 und δ^2 , um δ^2 sah ich, dass der dreieckige Fleck allmählig sichtbar zu werden und zwar zuerst an dem innern (nördlichen) Abhänge eines Hügel (nämlich eines Stückes des oben erwähnten schmalen und niedrigen Bergwalle).

1881 Nov. 8. $1\frac{1}{2}$ — $5\frac{1}{2}$ A. Lichtgrenze über Laugen und etwas betflich von Cap Agassiz. Der dreieckige Fleck hat sich weiter 2 Spitzen, betflich von Zentralberg zeigt ein sehr matter Fleck (Pickering's α). Der Fleck am SW-Wall sieht sich am den Wall heraus nach Norden.

1881 Nov. 26. 6^h . Lichtgrenze zwischen des Bränterens. Im Innern des dreieckigen Flecks blinkt ein heller Punkt. Nach 2 andere Flecke (Pickering's b und c) sind da. Der dreieckige ist ein dunkelgrün mit breiter Basis. Der Fleck a ist matt und klein. Eine kleine Rille erstreckt sich halbwegs gegen b . Nach δ^2 sah ich mehrere Rillen erstreckt sich von dem dreieckigen Fleck.

1881 Dec. 2. Lichtgrenze betflich von Cassiopea und zwischen Ajntarck und Hæmedet. Der Fleck a (der dreieckige) ist ein dunkelgrün und vorwärts am grünen. Er ist ein gleichschenkliges Dreieck, dessen eine Spitze auf dem hellsten Zentralberg des Alpheness zeigt. Im Innern ein helles Fleckchen steht und ein weiteres vorwärts. Der Fleck b (γ auf Nilsson's Tabl. III) ist nicht sehr dunkel und in 2 geteilt (Pickering's c und d , γ). Der Fleck im SW. (Pickering's b) ist grösser und dunkler. Ein vierter Fleck sehr klein und schwach matt liegt südwestlich von a und südlich von dem Zentralberg A (es ist Pickering's α).

1881 Dec. 6. 1^h und einige Stunden nach Vollmond. Im Alpheness sind 3 Flecke sichtbar, a ist der dunkelste und überhaupt einer der dunkelsten auf dem Monde. Er ist dreieckig dreieckig, vollständig mit einem hellen Fleckchen im Zentrum. Gegen Osten steht er über oder zwei dunkle Spitzen klammern sich in den Wall des Alpheness. Der Fleck im SW. hat γ (Nilsson) liegt wieder auf dem innern Teil des Walle und sieht sich ziemlich lang gegen b kommen, wie ich ihn schon früher sah, doch ist er in zwei zerfallen. Der Fleck im Süden (Pickering's b) im der schwächste und weißlich. Ein vierter sehr matter Fleck (Pickering's α) ist sparsam südlich von Zentralberg zu sehen, in einem schwachen Fortschritt würde er sicher nicht wahrgenommen werden.

1881 Dec. 12. Lichtgrenze über dem Ostwall des Alpheness. Die Westseite liegt schief nach im Nacht. Der Zentralberg zeigt eine langen schmalen Solstation, dessen Spitze am Ostwall exponiert. Sol-

den Ort des 3-eckigen Fleckes erstreckt sich nach mit hellem Schimmer weißer Vertiefung, von einem Wall umfasst, und auf dem in N ein Bergkuppen steht. Südwestlich von dieser Vertiefung zeigen sich zahlreiche niedrige Hügelzüge, die sich zum Teil quer durchschneiden und hierin untereinander Verbindungen bilden. Westlich davon sieht sich eine Hagelbe, thalartige Vertiefung mit Schlenzschritten von S nach N. Später, gegen W erstrecken die beiden von Neuem grünen Hügel.

1881 Dec. 31. Lichtgrenze am Kap Laplace und am Ostwall des Campans. Der 3-eckige Fleck ist der dunklere, im Centrum hat er ein helles Fleckchen und im S. und W. am Rande zwei dunkle Stellen. Inzwischen sieht er sich sehr schnell langs dem SÜ.-Rande des Walles hin, im S. linksseitig anhängend. Der Fleck b ist rund und im Centrum etwas dunkler, ein schwacher dunkler Strich zieht sich gegenwärtig gegen den W.-Wall. (Dieser Strich hat nach Pichering).

1882 Januar 27. S. — N. Lichtgrenze auf dem am der langen Wand, zuletzt ist Entschiedenheit ganz verloren. Der Fleck a ist aufsteigend noch recht schwach und trägt nur eine Anziehung an seine dreieckige Gestalt. Später wird er dunkler und in glänzigen Momenten scheint sich dass der zentrale helle Punkt jenseit Bergkuppen ist, welchen auf der Nordseite des kleinen Hagelzuges im Innern liegt. Dieses Hagelwäldchen sieht man deutlich, ebenso die Hügel, die seinen Hügel durchkreuzt. Der dunkle Fleck liegt über dem Nordwall des Ringes und ist im Innern, teils schiefling ummauert vor demselben. Der Fleck b ist hellförmig, die Spitze nach Nord gehalten und schwach. Der Fleck im S. ist im schwachen. Zwischen beiden eine Hügel. Eine starke Hügel (die stärkste von allen) zieht westlich vom Zentralberge bis dicht an den inneren Fuss des Nordabhanges des Alpinzuges. Diese Hügel sieht sich nicht so wie ich im nächsten bei Prof. Pichering.

1882 Januar 28. S. Lichtgrenze über Copernicus und über den kleinen Hügel. Alpinzuges hat seine 3 Flecken wie gewöhnlich, in einem der helle Punkt nur vermindert. Der nordwestliche Fleck (b) auf der neuen Terrasse besteht teilweise aus wahren Schatten. Im unteren Teile (b) ist runder, matt und etwas gelber als gewöhnlich.

1882 Januar 31. S. Fleck a ist am grössten und recht dunkel, in der Mitte, etwas gegen N. hin hat er das helle Fleckchen. Fleck b ist etwas kleiner, zuletzt rund und etwas weniger dunkel, dass folgt Fleck c. Endlich ist c als kleinster und matterer Fleck sichtbar.

1882 Febr. 1. S. Die Flecken im A gehören an den dunkelsten Punkten auf dem Beob. a ist weiß dunkler als Plate, er erscheint ebenfalls gross und schiefling langs dem inneren Wallabhanges verlagert. Der Fleck b ist matter und rund, der Fleck im NW. ist in zwei Teile zerfallen (wahrscheinlich ϵ und $\delta_1 + \delta_2$ Pichering), f ist der kleinste und matter, aber doch nicht so sehr.

1882 März 22. S. — N. Der lange Wand bei Thelit liegt in der Lichtgrenze. Alpinzuges erstreckt heute bis zum Kap. Der kleine Bergkuppen beim Fleck a am Ostwall ist gegenwärtig scharf. Auf unserer Nordseite steht der Hügel (der Zentralberg des dreieckigen Fleckes mit A in unserer Karte). Ihm gegenüber springt aus dem Hagelwäldchen eine Bergkuppe vor (H in unserer Karte). Nordwestlich davon, mit A und

Es ein gleichseitiges Dreieck bildend, setzt sich als wellenförmiger Krater (in meiner Karte ohne Namen als Hügel mit einem Zentral-krater bezeichnet). Der Bergzug ist im SW. am höchsten, denn dort setzt sich im Innern der höchste Schuttkeil. (So ist der Hügel C in meiner Karte). Südlich sehen ihn wie der Hügelkreis von einer Höhe durchbrochen, die in einem weichen Hügel gegen den SO.-Wall des Alphonsus steht. Es scheint mir, als wenn er durchschiebe, denn es erscheint in ihrer Verlängerung im Wall eine Einsenkung. (Diese Höhe fehlt in der Zeichnung Pickering's). Südlich sehen dem Zentral-berge erheben 2 Hügel (der Zeichnung nach in südlicher Richtung stehend, die südliche, welche südlich neben dem Zentralberge verläuft, ist am höchsten ihrem Schuttkeil nach). Der Hügel g (welche bei Pickering die Fläche c und d, heißt) erscheint als höckeriger Streich und mitten aus dem Schuttkeil des Westwalles blüht ein weisser Punkt [Nach meiner Zeichnung schaute derselbe von Orte des Fleckens f in der Darstellung des Alphonsus bei Pickering heraus. Der Fleck b (Pickering's) ist matt und kugelförmig (die Verlängerung nach N.). Süd-östlich von ihm liegt ein Krater. Der dreieckige Fleck a ist da, aber matt und schlicht begrenzt, sein Startpunkt ist der Berg A auf dem niedrigen Hauptwall. Von andern Flecken ist nichts zu sehen.

1863 Sept. 18. 12 $\frac{1}{2}$ °—13 $\frac{1}{2}$ °. Lichtgrenze des abnehmenden Mondes mitten durch Petrus. An dem dreieckigen Fleck (c) fehlt beide die südliche Spitze im Zentrum schimmert ein helles Fünfeckchen. Der kleine runde Fleck zwischen ihm und dem Zentralberge ist zu sehen [Pickering's c].

1863 Dec. 7. 21 $\frac{1}{2}$ °. Lichtgrenze gerade über die lange Wand bei Thetis und südlich von Plato. Die zentrale Höhe im Alphonsus ist heute gut zu sehen. Der Fleck b schimmert schwach grün.

1864 August 6. 8°. Nahe Vollmond. Alphonsus zeigt seine 3 Flecke (a, b, c) und nur diese.

1864 Nov. 6. 17 $\frac{1}{2}$ °—18°. Lichtgrenze des abnehmenden Mondes westlich von dem Krater A, B im N. Cervantes und über Julius Caesar. Heute sind die Flecke im A. fast so wie am Lehmann's Sept. VIII sichtbar, der Fleck im SO. des Zentralberges ist der mittlere. Der dreieckige Fleck ist zusammengezeichnet und nicht dreieckig, er liegt westlich von einem kleinen, hellen Hügel (Lehmann's südlich über dem Caesar's).

1865 Januar 26. 47 $\frac{1}{2}$ °—7°. Lichtgrenze über den Westwall des Goericks und den Ostwall des Stadium. Südlich von dem dreieckigen Fleck liegt ein Krater (dieser ist in meiner Skizze ziemlich gross gezeichnet, und daher auffällig, dass ich ihn früher nie sah, nach Pickering hat ihn nicht gesehen).

Ich habe verschied. mal Speisigen Aufzeichnungen angestellt, in denen etwas Besondere über die Flecke des Alphonsus angegeben wurde. Die meisten Notizen in meinem Beobachtungsjournal sind mit Skizzen versehen, was denen später mehr oder weniger gründliche Karte des dreieckigen Flecke zusammengestellt werden ist. Meine Folgerungen aus diesen und allen früheren Wahrnehmungen habe ich im Jahre 1862, S. 201—204, sowie in meinem Buche „Theorie von Sternschnuppen“ S. 220—226 ausgesprochen. Mit der Ansicht des Hrn. Prof. Pickering,

dass die dunklen Flecke als Beweise für die Kampfschicht von Fackelkäfern zu betrachten seien, kann ich nicht unversucht erklären. Dieser Ansicht nach handelt es sich um Erzeugnisse der aus neuer jüngerer Zeit, um Echten, die von Natur aus weiß dunkler als der Hondboden in der Umgebung sind. Bei sehr starker Belichtung tritt diese größere Dunkelheit nicht sehr hervor, sondern erst bei höherer, daher dunkelt die Fläche ab in dem Masse als die Sonne höher steht und werden vor Sonnenaufgang wieder bleicher. Schon geringe Unterschiede im Beleuchtungswinkel, können je nach Richtung der Schichten, welche die Oberfläche der dunklen Flecke bilden im Absehen denselben von der Erde aus, erhebliche Veränderungen veranlassen. Deshalb sind auch diese Veränderungen bei Flecken, die gegen den Nordrand liegen und deren schwarze Lage durch die Längsform stark hervortritt, am bedeutendsten.

Das Verzeichniss der dunklen Flecke, welches Hr. Prof. Pickering gibt, ist sehr unvollständig, es wam mir schon vollständig anzugeben, dass selbe zu ergänzen, da eine systematische Nachforschung nach solchen Flecken auch zunächst Erforderniss machte ist, dass ich bereits im „Sieve“ 1880, S. 121—125 eine grössere von Zeichnungen begleitete Abhandlung über die dunklen Flecke in der Nähe des Hygins veröffentlicht und das Ergebnis meiner beschriebenen Beobachtungen später im „Führer am Sternhimmel“ S. 330 u. f. mittheilte. Dem Prof. Pickering hat hiervon offenbar keine Kenntnis ertheilt, daher erwähnt von diesen dunklen Flecken nur diejenigen Fälle von den Vorläufern des Arripes, die ich nur b. beobachtet habe. In meiner oben erwähnten Abhandlung habe ich von den periodischen Veränderungen dieser und der übrigen Flecke bei Hygins eine Übersicht gegeben, auch angeführt was die früheren Beobachter darüber aussagen oder davon wissen.

Der dunkle Fleck Nr. 10 im Verzeichniss von Prof. Pickering bezieht seinen nennenswerthen Theil nach dem von Grönländern oft beobachteten und erwähnten Fleck beim Promastotum Arctis, nämlich vom Yitru geigen. Ich habe die Beobachtungen Grönländers nach Lage der Längsform gedeutet und gebe daher die folgende Übersicht. Wie mehrere Charakteristiken des Aussehens angegeben sind, bezieht sich jede auf eine bestimmte Beobachtung bei der gleichen Längsform.

Lage der Längsform (Haupt)	veränderliche Form	L-Abgr. d. d. Fleckes in Grönländ. d. Haupt	
—(5)	"	1 ^o	krone Spitz.
—(5)	"	2 ^o	nicht dunkel, hat weissen Grund, steigt die Spitze heraus und ist das südliche Ende vierkantig.
—17	"	13 ^o	benachb. ganz, die Spitze sehrig hervortretend.
—11	"	19 ^o	schwarzer Fleck, die Spitze sehrig hervortretend.
— 8	"	24 ^o	steigt, dunkel, scheint sich mehr gegen die Spitze zu richten.

Lage der Eckspitze Mercury.	entsprechender Mond.	Länge Zeit, z. Proj. etc. in Stunden & Minuten	
- 5	"	30 ^h	hell und dunkelgrün.
+ 0	"	30 ^h	der dunkelste Fleck.
+ 7	"	31 ^h	kaumrot dunkel.
+ 13	"	31 ^h	schwarz.
+ 18	"	32 ^h	schwarzer Fleck.
+ 23	"	32 ^h	sehr dunkel und begrenzt.
+ 28	"	32 ^h	rechts abfallend dunkel schwarzgrün.
+ 33	"	32 ^h	kaumrot dunkel.
+ 37	"	32 ^h	die schwärzesten Stellen.
+ 42	"	32 ^h	im höchsten Grad.
+ 48	"	32 ^h	Schwärze nimmt zu.
+ 53	"	32 ^h	dunkler.
+ 58	"	33 ^h	fast schwarzgrün.
	entsprechender Mond.	welt von % A.	
- 25	"	40 ^h	schwarzgrün, gut begrenzt, ebenso schwarzgrün wie die nördliche Fläche des Grimaldi.
- 30	"	40 ^h	nach schwarz, doch auf ungern Kaum begrenzt.
- 35	"	39 ^h	nach dunkel. Fängt an Dunkel zu verlieren; weniger dunkel als die Vollmond.
- 40	"	39 ^h	nach immer dunkler als der Mars. verliert schon die Farbe.
- 45	"	39 ^h	nach dunkelgrün; bläulich als fast hellgrün, schon merklich abge- bläut.
- 50	"	39 ^h	fängt an abzuweichen; nur sehr wenig dunkel.
- 55	"	39 ^h	ganz abgebläut.
- 60	"	39 ^h	verschwinden.

Man erwarte aus dieser Zusammenstellung, dass die größte Dunkelheit des Flecks mit dem höchsten Sonnenstande darüber zusammenfällt, und bei Sonnenauf- und Untergang keine Spur derselben zu sehen ist. (Sobieski folgt) Dr. Klein

Die Aethiops-Erde.

Zwischen den Ringebenen Aethiops und Aethiops steht sich eine von Jove und Minder mit δ , von Nevea mit α beschränkte, lokal merkwürdige Erde hin, welche die beiden Krugwalle tangential berührt. Am 30. Mai d. J. beobachtete ich denselben von δ — δ^2 Abende mit einem δ^2_1 Objektiv und von δ^2 δ^2 — δ^2 δ^2 mit einem 3-fachen Refraktor bei einem Neondatum von δ^2 δ^2_1 — δ^2_1 δ^2 , während welcher Zeit die Licht-

große im Mittel von Mädelan D bis zur Mitte von Härd reichte. Luft schwebt 7, später etwas waldend, aber noch gut $\frac{3}{4}$. Vergl. den 27-Zähler 72 und 144, den 5-Zähler 260. Das Libration kann, als für die vorliegende Beobachtung unbedeutend, außer Betracht bleiben.

Die Hülle ist mit Vergl. 72 wegen ihrer starken Helligkeit schwer im Gesicht. Sie beginnt bei einem kleinen Krater am Südostwalle des Abfalls (etwas weiter östlich als bei Neison angegeben) und läuft in fast schrägerader Linie von SO nach SW bis in die Nähe des Kraters c am Nordwestwalle des Almannen, den wir nicht ganz erreichen. An verschiedenen Stellen steigt der Rand gewisse Unebenheiten, die mit Vergl. 144 Kratergerath entsprechen. Sie führt in ihrer Verlangung über die Krater am Almannenwalle auf eine etwa doppelt so breite, erheblich dunklere Thal, die im höchsten, nach Süden konvexer Krümmung auf eine Kratergruppe südöstlich von Tacina mündet und an mehreren Stellen endet. Währendem Mädelan und nach ihm Neison hier 2 Krater verzeichnen, sind schon mit Vergl. 72 deutlich 4 derselben von ziemlich gleicher Größe sichtbar. Das Thal fehlt bei Neison ganz, während es bei Mädelan vorzukommen scheint, aber so schmal, und halb so lang und nicht ganz in der angegebenen Richtung gerichtet ist.

Mit dem 5-Koller erschien abdrucken, zum Theil sehr feines Detail. Die Kratergruppen der Hülle schien sich als kleine Krater, deren Wälle von der Hülle leicht durchbrochen sind. Die Zahl ist sehr schwierig festzustellen wegen der fast völlig gleichen Helligkeit von Hülle und Kratern. Amerswändlich interessant war der Lauf der Hülle bei dem ersten Krater am Nordwalle des Almannen. In dem besten Momenten schien die Hülle denselben nicht zu durchdringen, sondern westlich an dem westwärtsgehenden, doch etwas auf die Hälfte der Breite zusammengedrückten, der Bildung schon zu fehlen und der kleine Krater mit seinem Nordwalle dessen Stelle einzunehmen. Am zweiten Krater löste sie ganz auf, war also ganz, wie Mädelan sagt, bis zum dritten, Almannen c zu verfolgen. Über dieses und den vierten, nur ließ sie genauso wie a, der schon von Walle Almannen's getrennt liegt, nur sehr in gerader Verlangung der Hülle ein breiter, etwas hellerer Streif weg, unmerklich jenseits des vierten Kraters beginnt ein ziemlich breites Thal, wie oben erwähnt, so dem als weiteres Detail nur die starke Terrassenheit der Mädelan und der stellenweise scharfe Abfall derselben hervortrat. Auch endigte dasselbe, wie mit dem kleineren Instrumente beobachtet, am Walle des höchsten der 4 Krater südöstlich von Tacina, so dass aber als die westliche nach ein sehr kleiner, aber viel hellerer Krater hervortrat. Betrachtet man diese 4 Objekte in ihrer Reihenfolge von Ost nach West mit Tacina a, b, c, d, e, so endigt also das Thal am Westwalle von a. Dieser erscheint am grössten, als kleiner Eingeklingel, dessen Ostwall sehr niedrig ist oder vielleicht ganz fehlt, b um ca. γ , im Durchmesser kleiner, c und d beide gleich gross, aber weiter etwas kleiner als b und mit dieser in einander stehenden Wällen, e ganz klein, aber von allen am hellsten.

Es muss sehr auffallen, dass Mädelan mit seinem $\frac{3}{4}$ -Koller nur 1 Krater zeichnet, während der $\frac{3}{4}$ -Zähler deren 4 zeigte — der b kann als sehr klein leicht übersehen sein und nicht außer Betracht — so-

mal der sonstige Verlauf der Röhre vorzüglich und mit reichlich mehr Detail dargestellt ist in der Mappe Selenographica, als das kleinere Instrument zeigte. Auch ist dieser Fall in keiner Weise zu vergleichen mit den zahlreichen, in vielen Teilen des Himmels an sehr kräftigen Fernrohren beobachteten, von Mädler oder auch Schmidt beobachteten leuchteten oder relativ kleinen Kometen. Hier haben wir an einer von Mädler gut beobachteten Stelle δ an nahe zusammen gelegene Objekte, dass der erste Blick durch das allerdings vorzügliche $2\frac{1}{2}$ -Zöllner alle als gleich oder fast gleich gut sichtbar zeigte, also für den Beobachter sehr auffällige Objekte und in einer Gegend und unter solchen Verhältnissen belagte, dass ein Übersehen wenigstens jetzt ausgeschlossen erscheint.

Dr. Seifrig.

Die Parallaxe von γ Cassiopejas.

In der Zeit von 1870 Juli 30 bis 1878 Decbr. 21 hat Betherford 57 Negative der Sterne um γ Cassiopejas aufgenommen. Hermann S. Davis hat diese Aufnahmen untersucht¹⁾ und vermessen zum Zwecke dieses jährlichen Familienz von γ Cassiopejas übersehen. Die Aufnahmen wurden auf die Epoche 1875.0 reduziert unter Annahme der von Newcomb gegebenen Eigenbewegung von jährlich $+0.1348''$ in Rechtsaufsteigen und $-0.485''$ in Declination. Der Ort von γ Cassiopejas am 1875.0 betrachte:

Rechtsaufsteigen $Q^{\circ} 49^{\circ} 23.859$, Decl. $+57^{\circ} 5' 10.50''$.

Es wurde zur Ermittlung der parallaxenmäßigen Verschiebung 6 Sternpaare verglichen, von denen jedoch nur 3 eine solche Lage besitzen, dass der Wert der Parallaxe eine erheblich größere Sicherheit gewinnt. Aus diesen 3 Sternpaaren folgt als wahrscheinlichste Parallaxe von γ Cassiopejas $\pi = 0.445'' \pm 0.045''$. Werden die Messungen sämtlicher 6 Paare vereinigt, so ergibt sich als Parallaxe: $\pi = 0.44'' \pm 0.044''$. Hr. S. Davis stimmt diesem Wert als definitiven an.

Früher hat Otto Struve als Parallaxe von γ Cassiopejas $\pi = 0.154'' \pm 0.043''$ gefunden, Schwabe und Schöaff fanden $\pi = 0.253'' \pm 0.066''$, doch tragen diese älteren Messungen nur geringe Gewicht Überwindung.

Photographische Aufnahmen eines Teils der Milchstrasse.

(S. 110 Tafel 6.)

Hr. E. E. Barnard veröffentlicht im Astrophysical Journal Bd. II Nr. 1 zwei Aufnahmen von Regionen des Himmels, welche die Milchstrasse durchkreuzt. Die eine zeigt die Umgebung des Sterns θ im Skorpions, die andere die Umgebung von α im Schwanz der. Die ersten ist auf Tafel 7 im Lichtdruck reproduziert. Die Aufnahme geschah auf der Lick Sternwarte 1884 Febr. 1 mit einer 6-zölligen Periscop-Linse und

¹⁾ *Cat. des Obj. de l'Observatoire de Columbia College Observatory, New-York, No. 4.*

3-stündiger Exposition. Die Darstellung zeigt, dass der Stern 15 im Hühner von einer Scheibe umgeben war, was schon bekannt war, aber zeigt, dass diese Scheibe sich nordwärts 2° bis 3° weit ausdehnt. Etwa 2° bis 3° westlich von dem Stern 15 im Hühner zeigt sich ein unregelmäßig elliptischer Nebel, der mehrere andere kleine Sterne umschliesst. Dieser letztere Nebel wurde schon 1888 von E. Barnard mit dem 17zölligen Refraktor entdeckt. Die Photographie zeigt verschiedene Details in ihm, welche der Beobachter nicht erkennen kann, denn dieses ganze Objekt ist für jeden Fernrohr sehr schwierig. Sein Ort im Nr 1880,0: Rektasc. $6^{\circ} 29' 37''$ Decl. $+ 10^{\circ} 7'$. Im südlichen Teile des Bildes zeigt sich ein Gemisch von Sternen und Nebeln, welches 1857 von Swift als Nebel entdeckt wurde und der im neuen General-Katalog unter No. 2547 aufgeführt wird. Sein Ort am Himmel ist Nr 1880,0: Rektasc. $6^{\circ} 29' 29''$ Decl. $+ 10^{\circ} 21'$. Betrachtet man das Bild genauer, so erkennt man besser den grossen dunklen, gewundenen Kanal rechts oberhalb der M 73a noch vielerlei sternenreicher oder sternarme Flecke und es fällt augenblicklich hervor, dass wir von dem wahren Wesen der Milchstrasse noch so gut als nichts wissen.

Vermischte Nachrichten.

Der grosse Sonnenfleck, über den ich bereits berichtet habe, ist inzwischen wiederzuerkennbar. Erst am 24. Mai gestaltete das Wetter eine Beobachtung, und bot die Sonne einen interessanten Anblick. Auf der Nordhälfte befand sich besagter grosser Fleck, unregelmässig gefaltet von vielen kleinen. Dem voraus geht eine kleine Gruppe Korrespondenz steht auf der Südhemisphäre ein sehr grosser Fleck, dem ebenfalls eine Gruppe kleiner Flecken vorausgeht. Zwischen beiden ist noch ein mittelgrosser, sowie sieht am Ost-Westrande sind einige kleine Flecken.

Interessant sind die Vorgänge in dem grossen Flecken. Selbiger zeigt am 24. eine etwa birnenförmige Gestalt, und es umbricht sich aus dem Kern ein blasser milchschwarzer Arm durch die ganze Peripherie bis an den Rand nach Osten zu. Unmittelbar südlich neben dieser schwarzen Linie befindet sich ein etwas kleinerer, wenigglänzender Streifen, der sich schief von der Peripherie abhebt. Am 25. ging noch ein zweiter, vielfach verzweigter, schwarzer Arm vom Kern aus nach Osten zu, und in dem Winkel ragte eine spitze Lichtung hervor. Dem unmittelbar dem grossen Flecken folgenden kleinen waren mit ihnen Peripherie unzusammenhängenden und bildeten zwei kleinere, etwa kakelbrennige Flecken.

Tags darauf, dem 26., zeigte der grosse Fleck von dem schwarzen Anhaltspunkt nichts mehr, nur liess der Kern noch eine Ausbuchtung nach der Betreffenden Seite. In dem kakelbrennigen Flecken, der so ziemlich seine Gestalt bewahrt hat, bildeten sich ein 10 klüppel Kern.

Messungen am Regniakrometer ergaben für den Durchmesser des ganzen Komplexes 8000 km. Daraus entfallen auf den westlichen

grossen Fleck 1100 km. Für die Position des letzteren sind ich Mai zu $\delta^{\circ} 45'$ $\lambda + 21\frac{1}{2}^{\circ}$ l. (Mitter dem 17) 20 $\frac{1}{2}$ $\frac{1}{2}$.

Durch zeigt der Fleck gegen die Messung vom 25. April eine Lagerbewegung von δ° in h. Ferner ergibt sich der tägliche Rotationswinkel zu $14^{\circ} 28$, während nach der Papp'schen Formel:

$$P = 14^{\circ} 28' - P, 10. \text{ etc. } \%$$

für die mittlere $h = 22\frac{1}{2}$: $P = 12^{\circ} 50'$ beträgt.

Der Fleck hat also eine relativ grosse Rotationsgeschwindigkeit.

Der nahe korrespondierende Fleck auf der Südhemisphäre hat nach einer Messung am 21. Mai eine Breite von $-24\frac{1}{2}$ und steht $22\frac{1}{2}$ $\frac{1}{2}$ östlicher.

Bremen, 30 Mai 1865.

Hans Guter.

Ultraviolette Strahlung der Sonnenkorona während der totalen Sonnenfinsternis am 16 April 1869. Über die Beobachtungen der ultravioletten Strahlung der Sonnenkorona während der totalen Sonnenfinsternis im April 1869, zu deren Studium Herr DeLalande nach dem befragt geschickt worden war, antwortet er (Rapport des Fauteur Académia ausführliches Bericht.

Scheinbar konnte die Korona der Sonnenatmosphäre bis jetzt nur bei Sonnenfinsternissen während der sehr kurzen Zeit der Totalität beobachtet werden; nach dem glänzenden Erfolge der Spektroskopie bei der Sonnenfinsternis vom Jahre 1868 ist daher bei jeder Wiederkehr dieses Phänomens das Spektroskop zur Untersuchung der Koronastoffen verwendet worden. Man hatte so gefunden, dass die Korona durch das Überwuchern von drei verschiedenen Lichtarten gebildet werde, nämlich 1) von einem Lichte mit verhältnissmässig intensivem kontinuierlichen Spektrum, das von gelblichen Strahlen herrührt, 2) einem Lichte mit breiten, hellen Linien, welche die Gase der Sonnenatmosphäre angeben, 3) einem Lichte mit dunklen Linien, das schwach ist und von der Diffusion des Lichtes der Sonnenstrahlung herrührt. Die breiten, hellen Linien beten wegen der Menge, die sie über die in der Sonnenatmosphäre enthaltenen Gase besitzen, ein ganz besonderes Interesse. Anfangs musste sich die Beobachtung auf den nördlichen Teil des breiten Spektrums beschränken, erst seit 1861 wurde mit Hilfe der Photographie ein weiterer Abschnitt des Spektrums vermittelt, doch reicht dieser nur bis zur Wellenlänge $\lambda 340$, weil hier die Absorption der atmosphärischen Gase dem Spektrum ein Ende macht. Man weiss aber, dass das Sonnenspektrum noch bis $\lambda 285$ reicht, Herr DeLalande stellte sich daher die spezielle Aufgabe bei der Sonnenfinsternis vom 18.5, das Spektrum der Korona besonders in diesem dritten Abschnitte, jenseits der Wellenlänge $\lambda 300$, zu untersuchen.

Zu diesem Zwecke bediente er sich eines Apparates, in welchem die Linien und Flächen aus kalteschmelzendem Kalkspath und Quarz, die für ultraviolettes Licht sehr durchlässig sind, hergestellt waren; das Spektroskop mit einem Prisma von 60° brechenden Winkel war so

einem grossen Silberstein angebracht, der, durch einen Kugulator in Bewegung versetzt, der Bewegung des Himmels folgte. Der rotirte Spalt schied ein Stück der Korona in der Nähe des Äquators aus. Der Apparat blieb während der ganzen Dauer der Trieffzeit, vier Wochen lang, suspendirt, und kurz darauf liess man zwei elektrisches Gasofenchen auf den Spalt fallen, um auf der Photographie die Erscheinung als Massstab für die Koronastärke zu haben.

Das so photographirte Spektrum ist kopienunfähig und zeigt kleine, helle Linien, aber keine dunklen. Durch Vergleichung mit dem Eisenpektrum überzeugt man sich, dass das Koronapektrum bis zur Wellenlänge λ 300 reicht. Die Strahlung der Korona ist daher im Ultraviolet ebenso weit erstreckt, wie die der Sonnenoberfläche, aber die im vertikalen Strahl sehr schwach, das kopienunfähige Spektrum, das im Binn noch intensiver ist und eine Höhe besitzt gleich $\frac{1}{2}$ des Sonnendurchmessers, wird im Ultraviolet immer schwächer und schwächer, so dass es bei λ 200 nur noch eine Linie bildet; zum Teil mag diese Abschwächung herrühren von der starken Absorption des koronaweißen Lichtes in der Erdatmosphäre.

Vierzig helle Linien konnten zwischen den Wellenlängen 200,00 und ∞ 300 gemessen werden; die Linien der schon früher photographirten Partie des Koronapektrums, welche neben ultraviolette Wasserstofflinien erschienen, sind in der Liste des Herrn Donchadon nicht mit aufgeführt. Hervorgehoben wird eine Linie λ 317,00, welche in grösserer Höhe der Sonnenatmosphäre sichtbar war, und drei andere, die Koronastärke herabsetzt (315,40; 318,00 und 303,21), die übrigens können sowohl der Chromosphäre, wie der Korona angehören, doch ist letzteres wahrscheinlicher. Die meisten konnten auf bekannte Elemente nicht bezogen werden; sie repräsentieren die Gase der Sonnenatmosphäre und haben wahrscheinlich ein sehr geringes Atomgewicht ⁷⁾.

Beziehung zwischen den Barometerabweichungen und dem Stande des Mondes. Herr F. Garrigon-Lagrange hat kürzlich über diesen Gegenstand vor der Société météorol. de France einen Vortrag gehalten, aus welchem wir, nach einer Notiz in den „Comptes Rendus Bd CXX (1895), S. 342, das Folgende hier wiedergeben:

Herr F. Garrigon-Lagrange hat in weiterer Verfolgung seiner früheren Studien speziell das Jahr 1893/94 verwendet, um nach den Karten des Signal offic in Washington nach einer Beziehung zwischen der Deklination des Mondes und des Luftdruckverlaufsungen auf der Erde zu suchen. Für jeden der 13 tropischen Umläufe dieses Jahres und für jeden der Parallellkreise 10°, 20°, 30° und 30° Nord-Breite wurde der mittlere Druck bei nördlicher und südlicher Stellung des Mondes ermittelt.

Was nun den Druck auf diesem einzelnen Parallelkreise anlangt, so ergab sich für den mittleren Druck im Parallel 10° der Wert 756,00 mm, so allen Jahreszeiten war aber bei nördlicher Deklination des Mondes der mittlere Druck kleiner als bei südlicher Deklination. Im Jahresmittel betrug dieser Unterschied 0,40 mm nördliche Deklination

⁷⁾ Astronomische Jahrbücher. 1895.

10.39 mm). Umgekehrt verhält es sich über dem 30. Parallelkreis. Der mittlere Druck betrug hier 762.48 mm, bei nördlicher Stellung des Mondes 762.64, bei südlicher Stellung 761.32, der Druck war also bei südlicher Stellung um 1.32 mm höher als bei nördlicher.

Wasser verhält sich der Druck auf dem 30. Parallelkreise. Bei nordl. Stellung des Mondes betrug derselbe 763.39 mm, d. h. um 0.91 mm mehr als bei südlicher Stellung 762.48 mm, wähl. Delftstation 763.39 mm). Das Mittel betrug für diesen Parallel 761.96 mm.

Das Mittel für den 30. Parallel war 766.44, bei nördlicher Stellung 769.89, bei südlicher Stellung 757.69, die Differenz somit 1.20 mm.

Entsprechend dieser Druckverteilung verhalten sich auch die Gradfesten oberhalb des 30. Parallelkreises mit der Gradfest bei südlicher Deklination des Mondes größer als bei nördlicher Stellung, oberhalb des 30. Parallel verhält es sich umgekehrt. Es ist nämlich der Gradfest oberhalb des äquatorialen Breitkreises der folgende:

Gradfest	Jahren	Stellung des Mondes		Differ.
		nördlich	südlich	
30°—30°	2.58 mm	4.33	2.40	1.93
30°—60°	0.52 mm	6.41	6.64	—0.23
60°—90°	2.65 mm	3.65	4.20	—0.55

Je nach der Stellung des Mondes wird hierauf unsere Atmosphäre (wenigstens auf der Nordhemisphäre) eine schwebende Bewegung zeigen, derart, dass der Druck bei nördlicher Deklination des Mondes niedriger werde als bei südlicher Deklination in den niedrigen Breiten, umgekehrt dagegen in den höheren Breiten, oberhalb des 30. Parallel.

Die Differenzen werden um so größer, je mehr man sich dem Pol (oder wenigstens dem 30. Parallel) nähert.

Neils über die Plejaden-Nebel § Professor Barnard hat in den amr. Nachrichten Nr. 2554 eine Beschreibung der Nebelmasse gegeben, welche die Plejaden in größerem Abstand begleitet. Ich habe diese Nebelgattung nach Herrn photographirt, *) und es wird die Leser vielleicht interessieren auch von einer interessanten Eigenschaft dieser Nebel zu hören, die sich bei Hagen's Beobachtung, als von Prof. Barnard veröffentlicht, darthut. Nach Prof. Barnard's Angabe könnte man glauben, dass die Nebel von den Plejaden als Systeme der Strahlung ausgehend sich nach den verschiedenen Seiten hin in den Raum vertheilen. Das wäre aber eine sehr seltsame Anschauung. Denn die Plejaden liegen vielmehr in einer relativ sehr kleinen Gruppe. Sie liegen mitten in einer ausgedehnt gestirnten sehr kleinen Hölle, welche sich in einem sehr weiten ausgedehnten Nebelnetz befindet. Das Nebelnetz auf der Zeichnung in A. N. 2554 sind nur Nebeln, die von den eigentlichen Plejaden selbst durch das Rohrlein der ersten „Gasse“ nach dem umgebenden grossen Nebelmasse herüberführen. Der Rand der Hölle sind wegen der vorletzten Gestirne nach der südlichen Übergangsse schwer aus-

*) Astr. Nachr. Bd. 333

*) Nicht ohne Mühselig über diese ausgebreiteten Nebel habe, nach: Stern 1881 No. 2

gehen, doch werden sie weitgehend erst durch die folgenden Punkte definiert sein:

$\frac{h}{m}$	$\frac{h}{m}$
a = 3 43	d = + 25 0
3 32	+ 24 8
3 24	+ 24 5
3 23	+ 23 0
3 20	+ 22 1
3 11	+ 21 2
3 48	+ 21 2
3 50	+ 21 2
3 57	+ 21 8

Die von Prof. Barnard überlieferten Nebelbilder habe ich alle im Wesentlichen auf meinen Platten bestätigen können. Ich hoffe sehr bald an anderer Stelle einen Lichtdruck dieser interessanten Gegend zu veröffentlichen.
Max Wolf.

Nummerierung der kleinen Planeten 1894 BD bis 1896 BV. Nach einer Mitteilung der Direktion des Beobachtatoriums der Kgl. Sternwarte in Berlin ist die Nummerierung der neuen Planeten folgendermaßen festgesetzt worden:

Planet	entdeckt	Entdecker	Nr.
1894 BE	Nov. 1	Wolf	(272)
BF	" 4	Wolf	(273)
BD	" 4	Wolf	(274)
BE	" 18	Bowell	(275)
BF	" 20	Charles	(276)
BE	Dec. 1	Charles	(277)
BF	" 19	Charles	(278)
BE	" 25	Charles	(279)
1895 BF	Febr. 23	Wolf	(280)
BU	März 15	Charles	(281)
BF	" 18	Wolf	(282)

Die Planeten 1894 BD (Wolf Nov. 1), 1894 BE (Robert April 9) und 1895 BE (Wolf Febr. 23) sind als nicht gestörte von der Nummerierung ausgeschlossen. Die Planeten 1894 B, 1895 BE, BE und BF sind mit ihrem älteren Planeten identisch. *)

*) Astr. Nachr. Nr. 2389

Mehrere grössere und kleinere

Refraktoren

sind sehr preiswürdig zu verkaufen. Reflektoren wollen sich wegen ihrer Mängelungen an mich wenden.

Dr. Hermann J. Klein in Köln.

Erleuchtung der Jupiterseite. Die folgenden Angaben über die Erleuchtungen der Jupiterseite sind aus dem Werkel *Almanach astronomique*, nach der angegebenen Seite zu entnehmen von Greenwich. Die Tabellen sind der Reihenfolge ihrer Abstände vom Jupiter nach III bis IV benannt. Folgende bezeichnen:

- Ko K des Vorderendes eines Teleskops im Scheitel des Objektivs
- Ko K des Ansatzes des Teleskops am dem Scheitel des Objektivs
- Oo O des Vorderendes des Teleskops hinter der Jupitersehlinse
- Oo O des Vorderendes, nämlich neben der Jupitersehlinse.
- To T des Ansatzes des Teleskops vor die Jupitersehlinse.
- To T des Ansatzes des Teleskops am der Jupitersehlinse.
- Uo U des Ansatzes des Teleskops-Seitenes auf die Jupitersehlinse
- Uo U des Ansatzes des Teleskops-Seitenes am der Jupitersehlinse.

Es sind aus demselben Werkelungen der Jupiterseite aufgeführt, welche sich ergeben, wenn Jupiter an Greenwich über und der Sonne unter dem Horizont steht. Die verschiedenen die Reihenfolge dieser Erleuchtungen, für jeden solchen Ort, zu finden. Man kann nur festsetz, die Längenzunahme gegen Greenwich entsprechend zu sein, so den entsprechenden Komponenten zu addieren, wenn die Ort westlich von Greenwich liegt und zu subtrahieren, wenn der Ort östlich von Greenwich liegt.

Oktober 8. IV Ko K 1^h 30^m 12^s Oktober 8. I Ko K 1^h 19^m 00^s Oktober 8. III Ko K 1^h 02^m 40^s To T 1^h 54^m 1^s 14^s 10^s I Ko K 1^h 04^m 20^s III Ko K 1^h 04^m 20^s II To T 1^h 02^m 21^s II Ko K 1^h 15^m 1^s III Ko K 1^h 15^m 00^s Oktober 9. I Ko K 1^h 10^m 00^s I To T 1^h 02^m 00^s I Ko K 1^h 02^m 30^s Oktober 9. I Ko K 1^h 10^m 00^s II To T 1^h 02^m 00^s Oktober 10. IV Ko K 1^h 02^m 20^s Oktober 10. III Ko K 1^h 02^m 20^s Oktober 10. I Ko K 1^h 02^m 20^s I To T 1^h 02^m 20^s I Ko K 1^h 02^m 20^s I To T 1^h 02^m 20^s Oktober 11. I Ko K 1^h 11^m 30^s II Ko K 1^h 11^m 30^s I Ko K 1^h 02^m 20^s III Ko K 1^h 02^m 20^s Oktober 12. I To T 1^h 02^m 20^s Oktober 12. I Ko K 1^h 02^m 20^s Oktober 12. I Ko K 1^h 02^m 20^s I To T 1^h 02^m 20^s Oktober 13. I To T 1^h 02^m 20^s Oktober 13. I To T 1^h 02^m 20^s Oktober 13. I To T 1^h 02^m 20^s I To T 1^h 02^m 20^s Oktober 14. I To T 1^h 02^m 20^s Oktober 14. I To T 1^h 02^m 20^s Oktober 14. I To T 1^h 02^m 20^s I To T 1^h 02^m 20^s Oktober 15. I To T 1^h 02^m 20^s Oktober 15. I To T 1^h 02^m 20^s Oktober 15. I To T 1^h 02^m 20^s I To T 1^h 02^m 20^s Oktober 16. I To T 1^h 02^m 20^s Oktober 16. I To T 1^h 02^m 20^s Oktober 16. I To T 1^h 02^m 20^s I To T 1^h 02^m 20^s Oktober 17. I To T 1^h 02^m 20^s Oktober 17. I To T 1^h 02^m 20^s Oktober 17. I To T 1^h 02^m 20^s I To T 1^h 02^m 20^s Oktober 18. I To T 1^h 02^m 20^s Oktober 18. I To T 1^h 02^m 20^s Oktober 18. I To T 1^h 02^m 20^s I To T 1^h 02^m 20^s Oktober 19. I To T 1^h 02^m 20^s Oktober 19. I To T 1^h 02^m 20^s Oktober 19. I To T 1^h 02^m 20^s I To T 1^h 02^m 20^s Oktober 20. I To T 1^h 02^m 20^s Oktober 20. I To T 1^h 02^m 20^s Oktober 20. I To T 1^h 02^m 20^s I To T 1^h 02^m 20^s Oktober 21. I To T 1^h 02^m 20^s Oktober 21. I To T 1^h 02^m 20^s Oktober 21. I To T 1^h 02^m 20^s I To T 1^h 02^m 20^s Oktober 22. I To T 1^h 02^m 20^s Oktober 22. I To T 1^h 02^m 20^s Oktober 22. I To T 1^h 02^m 20^s I To T 1^h 02^m 20^s Oktober 23. I To T 1^h 02^m 20^s Oktober 23. I To T 1^h 02^m 20^s Oktober 23. I To T 1^h 02^m 20^s I To T 1^h 02^m 20^s Oktober 24. I To T 1^h 02^m 20^s Oktober 24. I To T 1^h 02^m 20^s Oktober 24. I To T 1^h 02^m 20^s I To T 1^h 02^m 20^s Oktober 25. I To T 1^h 02^m 20^s Oktober 25. I To T 1^h 02^m 20^s Oktober 25. I To T 1^h 02^m 20^s I To T 1^h 02^m 20^s Oktober 26. I To T 1^h 02^m 20^s Oktober 26. I To T 1^h 02^m 20^s Oktober 26. I To T 1^h 02^m 20^s I To T 1^h 02^m 20^s Oktober 27. I To T 1^h 02^m 20^s Oktober 27. I To T 1^h 02^m 20^s Oktober 27. I To T 1^h 02^m 20^s I To T 1^h 02^m 20^s Oktober 28. I To T 1^h 02^m 20^s Oktober 28. I To T 1^h 02^m 20^s Oktober 28. I To T 1^h 02^m 20^s I To T 1^h 02^m 20^s Oktober 29. I To T 1^h 02^m 20^s Oktober 29. I To T 1^h 02^m 20^s Oktober 29. I To T 1^h 02^m 20^s I To T 1^h 02^m 20^s Oktober 30. I To T 1^h 02^m 20^s Oktober 30. I To T 1^h 02^m 20^s Oktober 30. I To T 1^h 02^m 20^s I To T 1^h 02^m 20^s Oktober 31. I To T 1^h 02^m 20^s Oktober 31. I To T 1^h 02^m 20^s Oktober 31. I To T 1^h 02^m 20^s I To T 1^h 02^m 20^s

Rechenbeispiele 1890. Oktober 1 12^h Merkur im größten Teil Erleuchtet 12^h 40^m. Oktober 8 22^h. Venus im größten Teil beleuchteter Seite. Oktober 20 22^h. Mars im Konjunktions mit der Sonne. Oktober 21 11^h Merkur in seiner Konjunktions mit der Sonne. Oktober 21 22^h. Merkur im aufsteigenden Äquator. Oktober 22 12^h. Venus im größten Flecken. Oktober 22 22^h. Jupiter im Quadratur mit der Sonne.





Wiederbeobachtungen durch den Mond für Berlin 1890.

Zeit	Ort	Orbit	Wahrn. mittlerer Zeit	
			h. m.	s.
Ok. 3	1. Flecken	40	11	12 1/2
— 4	2. Flecken	14	10	27 1/2
— 7	11. Stern	41	7	24
— 7	10	50	7	25 1/2
— 7	1	50	6	19 1/2
— 11	2. Flecken	14	7	20 1/2

Legt und 8.11.1890 der Sternzeit (nach Hansen)

Ok. 22. Venus Anien der Sternzeit 22^h 17^m. Merkur Anien 11^h 22^m. Beobachtungswinkel der Erde über der Äquator 15^h 30^m südlich.

Stellung der Jupitermonde im Oktober 1905.

I. d 	III. d i 
II. d 	IV. d i 

Stellungen von IO für den Aspekt im astrologischen Perioden

Tag	West.		Ost.
1		○	3 5 6
2		○	1 5
3		○	2
4	2	○	
5	7	○	1 2
6	12	○	
7	17	○	2
8	22	○	1
9	27	○	1 2
10	32	○	1
11	1	○	
12	6	○	2 3
13	11	○	1 2
14	16	○	2 3 4
15	21	○	1 2 3 4
16	26	○	1 2 3 4
17	31	○	2 3 4
18	5	○	1 2 3 4
19	10	○	1 2 3 4
20	15	○	1 2 3 4
21	20	○	1 2 3 4
22	25	○	1 2 3 4
23	30	○	1 2 3 4
24	5	○	1 2 3 4
25	10	○	1 2 3 4
26	15	○	1 2 3 4
27	20	○	1 2 3 4
28	25	○	1 2 3 4
29	30	○	1 2 3 4
30	5	○	1 2 3 4
31	10	○	1 2 3 4

Finanzstellung im October 1895.

Mittlere Berliner Börse					Mittlere Berliner Börse					
Kurs- tag.	Kursnotiz für 1000.			Veränderung	Kursnotiz für 1000.	Kurs- tag.	Kursnotiz für 1000.			Veränderung
	h.	q.	sch.				h.	q.	sch.	
1895.										
September.										
Ok.	5	34	35	9 1/2	-18 50	21 1/4	1	28		
10	34	37	3 7/8	38	3 5/8	2	1 1/2			
15	34	38	3 7/8	18	1 1/2	39 7/8	0 5/8			
20	34	37	3 7/8	18	38	41 1/4	0 3/4			
25	34	3	3 7/8	18	35	31 1/2	30	6 1/2		
30	33	41	3 7/8	-	3 5/8	30 7/8	30	8		
Oktober.										
Ok.	5	31	7	42 1/4	-1	18	33 1/4	32	2 1/2	
10	31	7	42 1/4	0	4	33 1/2	30	3 1/2		
15	31	10	44 1/2	+0	64	33 1/2	30	3 1/2		
20	31	17	45 1/2	1	35	33	30	3 1/2		
25	31	20	46 1/2	1	32	34 1/2	30	3 1/2		
30	31	28	48 1/2	+0	34	35 1/2	30	3 1/2		
November.										
Ok.	5	32	50	1 1/2	-	3 5/8	34 1/2	34	1 1/2	
10	32	4	50 1/2	4	32	35 1/2	32	4 1/2		
15	32	10	48 1/2	7	30	34 1/2	30	4 1/2		
20	32	15	47 1/2	5	47	34	30	4 1/2		
25	32	41	45 1/2	10	3	33 1/2	30	4 1/2		
30	32	58	43 1/2	-11	30	34 1/2	30	4 1/2		
December.										
Ok.	5	3	38	30 1/2	+13	30	43 1/2	30	13	
10	3	37	38 1/2	15	35	38 1/2	30	4 1/2		
20	3	41	37 1/2	+18	30	40 1/2	30	10		
1896.										
Januar.										
Ok.	5	34	28	3 1/2	-18	30	31 1/2	3	1 1/2	
10	34	28	3 1/2	12	15	40 1/2	0	3 1/2		
20	34	31	3 1/2	-12	30	39 1/2	0	1 1/2		
Februar.										
Ok.	5	35	3	14 1/2	-18	34	37 1/2	3	1 1/2	
10	35	3	14 1/2	12	7	46 1/2	3	1 1/2		
20	35	3	14 1/2	-17	17	45 1/2	0	3 1/2		
März.										
Ok.	5	3	3	14 1/2	+0	38	45 1/2	30	3 1/2	
10	3	3	14 1/2	12	7	45 1/2	30	3 1/2		
20	3	3	14 1/2	-14	34	45 1/2	30	3 1/2		
April.										
Ok.	5	3	3	14 1/2	+13	30	43 1/2	30	13	
10	3	3	14 1/2	15	35	38 1/2	30	4 1/2		
20	3	4	37 1/2	+18	30	40 1/2	30	10		

Wochenkurs 1895			
	h.	q.	sch.
Ok.	1	12	42 1/2
"	21	3	37 1/2
"	18	3	—
"	27	15	3 1/2
"	24	20	45 1/2
"	30	3	—

Folgendes:
 Letztes Viertel.
 Monat in Kollisions-
 Notwendig.
 Erstes Viertel.
 Monat in Kollisions-

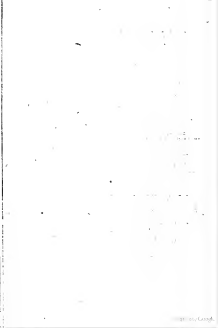
Mont.

Mittlere Berliner Börse				Mittlere Berliner Börse				
Kurs- tag.	Kursnotiz für 1000.		Veränderung	Kurs- tag.	Kursnotiz für 1000.		Veränderung	
	h.	q.			h.	q.		
1	30	43	47 1/2	—	7 1/2	47 1/2	30	36 1/2
2	30	34	47 1/2	—	0	36 1/2	31	36
3	3	37	50 1/2	+ 3	37	50 1/2	31	36 1/2
4	3	35	49 1/2	- 2	34	49 1/2	30	36 1/2
5	3	41	49 1/2	6	44	49 1/2	30	36 1/2
6	3	38	49 1/2	18	33 1/2	49 1/2	30	36 1/2
7	3	39	49 1/2	10	37	49 1/2	34	36 1/2
8	4	14	4 1/2	34	39	43 1/2	35	33 1/2
9	3	11	43 1/2	38	30	43 1/2	35	33 1/2
10	3	11	43 1/2	38	30	43 1/2	37	33 1/2
11	3	11	43 1/2	38	30	43 1/2	37	33 1/2
12	3	11	43 1/2	38	30	43 1/2	37	33 1/2
13	3	8	40 1/2	38	30	43 1/2	37	33 1/2
14	30	3	3 1/2	38	30	43 1/2	37	33 1/2
15	30	32	30 1/2	+ 8	32	30 1/2	37	33 1/2
16	31	30	3 1/2	- 8	37	30 1/2	37	33 1/2

Kursnotizen für 1000. Reichsmark mit 100 Pfennig.



Photographie der Mi
in der Umgebung des Stens





**Photographie der Milchstrasse
in der Umgebung des Sterns β Monoceros**

von H. K. Eberhard



SIRIUS

Zeitschrift für populäre Astronomie

Herausgegeben unter Mitwirkung
von
L. J. Lorenz und astronomischer Schriftsteller
in Leipzig Dr. Hermann J. Klotz u. A.

Band VIII der neu. Folge von

9. Heft.



Leipzig 1895
Karl Schöfler.

SIRIUS.

Zeitschrift für populäre Astronomie.

Schriften für alle Freunde und Förderer der Himmelskunde.

Herausgegeben unter Mitwirkung

hervorragender Fachkünstler und astronomischer Schriftsteller

von Dr. HERMANN J. KLEIN in Köln a. Rhod.

Verlagsgesellschaft: KUNDE.

Wegen der Entfernung sind die Preise nach der
Fernsendung der Monatshefte

inhalts: Die Himmelsbeobachtungen auf der Sternwarte des Harvard-College in Cambridge S. A. (Schluss) S. 102 — Der Mondschleier (Beobachtungen) S. 103 — Der Mond über der Venuskranz S. 104 — Die Pleiaden und der Nebel von 1898 S. 105. — Beobachtungen über die Spindel der hellen Sterne nach den photographischen Aufnahmen auf dem photographischen Observatorium in Potsdam S. 106. — Neue Sterne (Neubildung) Jupiter und Saturn in zwei Monaten, 1904 S. 107. — Die Spindel der Lirispinne und die "Vierjahreszeiten" S. 108. — Die neue Bestimmung der Merkurabstände S. 109. — Beobachtungsberichte über Venus und Rückstrahlung der Planeten S. 110. — Die die merkwürdige (schöne) Nebel in Messiers Stern S. 111. Pleiaden (Folgen) S. 112. — Beobachtungen der Pleiaden S. 113. — Pleiadenbeobachtungen d. J. 1904. — Beobachtungen durch den Spiegel der Sonne d. J. 1904. — Lage und Natur der Sonnenflecke S. 114. — Stellung der Sonne zu den "Nebeln" d. J. 1904. — Pleiadenbeobachtungen d. J. 1904. — (Schluss) S. 115.

Die Mondbeobachtungen auf der Sternwarte des Harvard-College in Cambridge S. A.

(Schluss.)

Prof Pickering berichtet sich auch über die photographischen Aufnahmen des Mondes und gibt auf 2 Tafeln Froben seiner eigenen Aufnahmen in Argentea und auf H. Wilsons als Instrument hierzu der 13 zöllige Refraktor, dessen Öffnung bei der Aufnahme 1477 engl Zoll und dessen Brennweite 1141,5 Zoll betrug. Die Original-Negative sind mit einer Ausweitung nämlich im Maximum von 10" auf ein Millimeter und ein positives Okular chemie aus Original-Vergrößerung. Die Kopierflächenweite variierte zwischen 4 und 15 Sekunden.

Von den mitgetheilten Photographien haben wirer Ansicht nach indessen nur die Darstellung des Copernicus und seiner Umgebung und die der Apollonien Welt, die übrigen sind zu weit oder zu wenig detaillirt.

Die ersten Mondphotographien an der Haverdornstrasse auf Trostenglätzen wurden 1886 erhalten und gegenwärtig sind dort bereits so viele vorhanden, dass wohl kaum ein Teil der Mondoberfläche abgedeckt, der nicht bei verschiedenen Beobachtungsanlässen und verschiedenen Lagenen aufgenommen wäre. Die angewandte Methode besteht darin, das im Focus des Fernrohrs entstandene Bild zu vergrössern, als es auf die photographische Platte fällt. Wenn die Vergrösserung 3 mal nicht übersteigt, so wurde stets ein 2-zölliges positives Objektiv mit bestem Erfolge angewandt, zu starker Vergrösserung diente das Objektiv eines Mikroskops von $\frac{1}{2}$ Zoll Brennweite mit grossen Gesichtsfeld. Für die Planeten Merkur, Mars, Jupiter und Saturn wurde ein Okular von $3''$, für Uranus und Neptun von $3''$, für den Mond von $10''$ auf den Millimeter angewandt. Da der Mond äusserlich so viel heller ist, so erscheint es zunächst befremdlich, dass bei ihm eine stärkere Vergrösserung nicht viel Vortheil auszuweisen ist. Die Erklärung ist die, dass zwar die Oberfläche des Vollmonds sehr hell ist, so der Leuchtdichte dagegen d & h in den Regionen, die man vorzugsweise scharf zu photographiren wünscht, die Helligkeit sehr erheblich vermindert ist. Dann kommt noch rasche und ungleichförmige Bewegung. Gegenüber dem in neuerer Zeit von verschiedenen und zum Teil derselben nicht geringfügig unrichtiger Weise aufgestellten Behauptungen, dass die Mondphotographien mehr Detail erkennen lassen als die direkte Mondbeobachtung am Fernrohr, hebt Prof. Pickering ausdrücklich hervor, dass die besten Mondphotographien nicht so viel Detail zeigen als man mit einem 4-zölligen und vielleicht selbst mit einem 6-zölligen Refraktor direkt zu sehen im Stande ist schon lange vorher habe ich auf Grund sehr sorgfältiger Prüfung der besten Mondphotographien und stündlicher eigener Mondbeobachtung am Fernrohr die gleiche Behauptung aufgestellt und in der That wird jeder, der häufiglich auf diesem Gebiet arbeitet, schwerlich an einem anderen Ergebnisse kommen können. Auch die früheren Ausführungen Prof. Pickering's stimmen mit demjenigen, welche ich bereits vorher veröffentlicht habe, völlig überein. In Bezug auf die allgemeinen Formen und das grössere Detail, für schärfste Vergleiche im Aussehen desselben, ist die Photographie des Mondes ohne Zweifel, aber in Bezug auf die was hinsichtlich des interessantesten beim Monde ist, das feinere, schwer wahrzunehmende Detail, gibt die Photographie nicht die kleinste Andeutung. Der Fall liegt hier durchaus nicht so wie beim Photographiren von Nebelbänken und feinen Blüten, wo das Auge seine Inertheit lediglich dem Mangel an Licht verdankt. Beim Monde fehlt es dagegen durchaus nicht an Licht und es vermag deshalb hier seine Überlegenheit in der Definition über die Photographie nicht zu erweisen. Ungeachtet dessen ist eine weitere Vervollkommenung der heutigen Mondphotographie zu erwarten, welche letztere in Wirklichkeit nur wenig Besseres liefert als schon vor 50 Jahren erhalten wurde. Die Inferiorität der Photographie gegenüber dem direkten Sehen bei Mondbeobachtungen entspringt nach Prof. Pickering hauptsächlich aus folgenden vier Ursachen:

1. Atmosphärische Wellungen Sie erzeugen unbehilfliches Bewegungen des Details und verwischen das Bild während der Exposition.

3. Ungeübende Korrektur und Adjustierung des Objectivs für die photographischen Strahlen.

3. Uebersichtsbilder im Gange des Umrisses.

4. Festigkeit der Hand beim Nachziehen.

Die erste Ursache kann zum Theil gehoben werden dadurch, dass man das Instrument an geeigneten Orten aufstellt, wo die atmosphärischen Verhältnisse gut sind. Natürlich wird das Auge beim direkten Sehen später dieses Uebelthun noch größeren Vortheil gewinnen. Die zweite Ursache der Unschärfe würde durch Besetzung eines grossen Reflektors gehoben werden, doch wird außerdem ein solcher Reflektor durch ungünstige atmosphärische Verhältnisse mehr schaden als ein Reflektor von derselben Grösse. Es krähe vieles was überhaupt noch nicht was mit einem grossen Reflektor versucht werden kann, der unter wirklich guten atmosphärischen Verhältnissen arbeitet. Die unter 3 und 4 genannten Ursachen der Unvollkommenheit des photographischen Bildes sind wohl die wichtigsten von allen. In dem von Prof. Pickering benutzten 13-zölligen Reflektor entspricht eine Bewegung des Objectivs von $\frac{1}{1000}$ Zoll schon dem Bogenmaass von 1", was selbst für die heutigen Photographien unzulässig ist. Einen Fortschritt in Bezug auf Vermeidung der aus Nummer 4 entspringenden Unvollkommenheit der Bilder sieht Prof. Pickering in der Anwendung von Teleskopen mit langen Brennweiten. Er glaubt, dass ein vortheilhaftes Teleskop von 200 bis 400 Fuss Brennweite und 12 bis 15 Zoll Öffnung die besten Resultate geben werde. In diesem Falle wärde der Spiegel während der Exposition unbeweglich bleiben, während dagegen der photographische Platte durch ein Uhrwerk die entsprechende gleichmässige Bewegung angeteilt würde.

Um schliesslich noch mehr auf die Pickering'schen Mondphotographien zurückzukommen, wolle ich dem erwähnten Bande beizugehen und, so weit mich meiner Ansicht die Darstellung des Copernicus und Umgebung eine vortheilhafte Gelegenheit zur Kenntnissung des neuesten Stadiums, welches die direkte Beobachtung an einem wichtigen Fernrohr zeigt. Besonders das allgemeine Bild des Walfes von Copernicus und der auffassung davon nach einem hinreichenden Begriffe erscheint kennzeichnend klar, um als Grundlage genauer Zeichnungen zu dienen. Von dem vorerwähnten Flächen, welche die Copernicus-Veränderung der vergrösserten Mondphotographien der Lick-Observatoriums zeigt und die dort als wirkliche Eigenheitenkarten der Mondoberfläche angegeben werden, folgt natürlich jede Spur.

Dr. Klein.

Die Hundlandschaft Herschel I. bei untergehender Sonne.

(Sternbild U.)

Wenn die Lage der Leuchtgrenze des an sehr abnehmenden Monden in die Nähe der Formstein Herschel I. an liegen kommt, dann tritt eine in diesen meist spitzgeklüftete Insektische nicht nur keine Konturobjekte, sondern auch scharfkantige Erhebungen auf. Diese letzteren haben eine nordwestliche Richtung und zeichnen sich durch äusserst geringe Erhebung über den Nachbarnheit aus.

Am 21. September vorigen Jahres 11 Uhr abends N. E. Z. ver-
malen ich diese Kruggebirge darzustellen. Die Luft war an diesem Tage
nicht ruhig, und es konnte kaum eine 170-malige Okularvergrößerung
mit Vorteil zur Anwendung gebracht werden. Die erhaltenen Zeichnung
ist auf beifolgender Tafel reproduziert und giebt die in der Formation
Herschel I. wahrgenommene Krater- und Kollingsgebirge wieder. Gegen
Stübchen sitzen Kratergruben, die wohl von jeher inaktivitäten, aber
durch die Ursache der Luft sofort wieder verschwand, wozu bei der
Detailzeichnung unberücksichtigt bleiben. Ich werde sie aber später
eintragen.

Das Kruggebirge Herschel, von dem die Zeichnung — links oben —
noch einen Teil darstellt, zeigt auf der Spitze seines Ostendes ein
schönes Kraterobjekt. Nicht weit von demselben entfernt beginnt ein
rückenförmiges Gebirge von eigenartigen Aussehen, das an dem südwest-
lichen Ende der Innerebene von Herschel I. anhebt. Auf der west-
lichen Flanke dieser Ebene liegen zwei Hügel, die einander gegenüber.
Eine derselben kommt in ihrem Laufe von Osten her und ist nicht weiter
abwärts; sie macht an dem südlichen Ende eines Kraters — der
45 Kilometer Durchmesser hat und auf den Mondphotographien der
Lick-Stationen noch deutlich als solcher zu erkennen ist, Halt. Kurz
vorher wendet sie aber eine Abzweigung nach einer Kruggebirge, die
an dem südlichen und nördlichen Ende des vorher erwähnten Kraters
sitzt. Dieser letzte Hügelzug amüß der Kratergrube war auch am
2. Mai dieses Jahres abends 8 Uhr zur Zeit des ersten Mondfrontals
sichtbar.¹⁾

Die andere Höhe ist neu und teilweise sehr neu, sie beginnt an
der südwestlichen Ecke eines Waldgebirge, durchkreuzt hernach die
weitere angrenzende Höhe und kreuzt sich, bevor sie den zweiten Rand
einer tellerförmigen Einsenkung durchschneidet, gekrümmung aus.

Diese Mondformationen enthält Zeichnung hoher unbekannter Krater-
objekte, die in der Mondformation Herschel I. und ihrer Umgestaltung an-
streifend überliegen.

Die Ruhe und Reinheit der Luft an diesem herbergen Beobachtungs-
orte Gern Hess sehr im günstigen Sinne. Nachdem ich von Ende Sep-
tember vorigen Jahres volle fünf Monate hindurch keine Beobachtung
unter besten Verhältnissen erhalten konnte, habe ich mich entschlossen,
mein Observatorium von Gern nach dem Süden zu verlegen.

Tübingen, Juni 1884.

Joh. Nep. Krieger

Zur Frage über die Venus-Stationen.²⁾

I.

Zur Entscheidung der Frage, ob der Planet Venus in 24 Stunden
an seine Ägpe repiert oder nicht, wenn es von der höchsten Wahrschkeit
zu wissen, ob zwei auffallende Flecken nahe seinem Nordpol auch an
anderen Meridianen gesehen werden und zu welcher Zeit. Diese beiden

¹⁾ An diesem Tage hatte ich Gelegenheit mehrere Partien der Mondoberfläche
durch die Dreifache Okularvergrößerung des Gerns Observatoriums zu beobachten.
²⁾ Nach Nachrichten Dr. Klein

Flücken, ein heller und ein dunkler, wurdte hier am 17. und 21. April dieses Jahres mit ganz unzweifelhafter Sicherheit gesehen als die augenfälligsten Objekte, die bisher auf der Venus-Oberfläche wahrgenommen worden konnten. Auch am 22. und 25. April, 26., 28. und 30. Mai, 2., 4., 7. und 9. Juni sah ich diese oder ähnliche Flücken ungefähr an derselben Stelle mit grösserer oder geringerer Sicherheit. Ich hätte daher als Sternwarten, welche dieselben Flücken gesehen und beobachtet haben, am gefälligen Nachlassung der durchsichtigen Wahrnehmungen mit grosser Zusage (H. S. G.) und möglichst auch Skizze.

Marsden-Sternwart, Longwood, Orion, 1859 Juni 11

Lea Heugens.

II.

Seit 10 Wochen habe ich jeden schönen Tag benutzt, um von Vormittag bis zum Abend die Venus zu beobachten, in der Absicht die Dauer ihrer Rotation eventuell zu reproductiv. Nachlassung war hierbei die vorläufige ungewöhnlich schlechte Wetter, sowie der Umstand, dass auch an keinem Vormittag die Bilder so ruhig waren, wie in den späteren Stunden. Das Gesamtresultat meiner Beobachtungen werde ich zwar erst später veröffentlichen, doch lasse ich es für notwendig, schon heute daraus etwas mitzuteilen, was, falls ich von anderen Beobachtern, wie ich hoffe, Unterstützung finde, zur genaueren Bestimmung der Rotationszeit der Venus dienen kann.

Ungleich ich bisher 107 Beobachtungen der Venus zu verzeichnen habe, konnte ich doch erst 22 Zeichnungen anfertigen, weil die wahrgenommenen Flücken gewöhnlich so schwach und unbestimmt sind, dass ein gewöhnlicher Beobachter keinenfalls hätte ihre Wiederholung zu versuchen, weil er glauben muss entweder ein Opfer von Selbsttäuschung zu werden oder die Ausdehnung der Flücke nicht richtig aufzunehmen. Deshalb habe ich auch die Beschreibung der Rotation aus Flücken die unbestimmt sind, für ganz und gar unmöglich. Anders verhält es sich aber mit Zeichnungen, welche so deutlich sind, dass sie me Tage liegen und über deren Wirklichkeit nicht die geringste Zweifel bestehen kann. Solche Zeichnungen habe ich aber mehrere wahrgenommen.

Was die erste betrifft, zwei augenfällige Flücken nahe dem Nordpol, so habe ich oben darüber bereits Mitteilung gemacht. Viel wichtiger ist aber eine andere Wahrnehmung.

Am 4. Juni¹⁾ um 20^h M. E. Z. fiel mir zum ersten Mal eine Einbeugung der Luftgrenze auf, welche ich etwa 1^h nördlich des Südpols wahrnahm (der schwebende Durchmesser des Planeten betrug damals 16^h 50^m), die aber vermutlich identisch ist mit einer ganz gleiches Einbeugung, welche ich später wiederholt sah, aber nicht andersherum wahrnahm, d. h. dass der weisse Ort auf 1^h nördlich des Südpols gezeichnet werden kann, wenn der schwebende Durchmesser des Planeten 16^h beträgt.

Wichtig sah ich auch dieses Merkmal durch eine streifenförmigen Fleck, welcher mehr oder minder parallel zum Rande des Planeten

¹⁾ Bemerkenswert ist, dass ich auch, von diesem Tage anfangend, fast täglich im grossen Süden des beobachteten Teil des Planeten sah, auf einer Strecke von vier bis sechs Stunden Länge ungefähr, gewöhnlich dann, wenn die Einbeugung wahrbar ist.

bei guten Wittern zu verlagern, manchmal aber konnte ich nur diesen Fleck ablesen, teils bis zur Leuchtgrenze reichend, teils von derselben getrennt. Daraus könnte man fast schließen, dass dieser Fleck zu ungelöster tarbe und brauner Thallus wird, welches, wenn die Leuchtgrenze pastorend, als Raschheit einleitet sei, sonst aber als länglicher schmaler Strifen. Da zweifelslos nach einer solchen Ausdehnung zu schreien mag, so steht es doch mit der Thatsache in Einklang, dass gegen Mittag gewöhnlich Fleck und Einbuchtung sichtbar sind, nach mittags der Fleck ohne Einbuchtung und abends weder Fleck noch Einbuchtung. Das würde ungefähr auf ungefähr 24-stündige Rotationsperioden hindeuten.¹⁾

Indem es sehr wichtig ist festzustellen, zu welchen Stunden M. E. Z. Einbuchtung und streifenförmiger Fleck sichtbar sind und zu welchen sie unsichtbar waren, stelle ich hiermit folgende Tabelle zusammen:

Tage	Der Einbuchtung war		Der Fleck war	
	sichtbar	unsichtbar	sichtbar	unsichtbar
Jan 4	21-22 ^h p	—	—	21-22 ^h p
" 7	22 ^h p-1 ^h , 2-3 ^h p	2 ^h p-3 ^h p, 2 ^h p-7 ^h p	2 ^h p-3 ^h p	2 ^h p-1 ^h , 2 ^h p-7 ^h p
" 8	21 ^h p-2 ^h p	2 ^h p-3 ^h p	2 ^h p-3 ^h p	2 ^h p-3 ^h p
" 11	2 ^h p-3 ^h p	4-5 ^h p, 2 ^h p-3 ^h p, 2 ^h p-3 ^h p	4-5 ^h p	2 ^h p-3 ^h p, 2 ^h p-3 ^h p
" 12	2 ^h p-3 ^h p	—	2 ^h p-3 ^h p	—
" 14	21-22 ^h p	2-3 ^h p, 2-3 ^h p	—	2-3 ^h p, 2-3 ^h p
" 15	21-22 ^h p	2-3 ^h p, 2 ^h p-3 ^h p	—	2-3 ^h p, 2-3 ^h p
" 16	21 ^h p-2 ^h p	2-3 ^h p, 2 ^h p-3 ^h p	2 ^h p-3 ^h p	2 ^h p-3 ^h p, 2 ^h p-3 ^h p
" 17	22 ^h p, 22 ^h p-3 ^h p	2 ^h p-3 ^h p, 2-3 ^h p	21-22 ^h p	2 ^h p-3 ^h p, 2-3 ^h p
" 18	21-22 ^h p	2-3 ^h p, 2-3 ^h p	—	2 ^h p-3 ^h p, 2-3 ^h p
" 19	2-3 ^h p	2 ^h p-3 ^h p, 2-3 ^h p	2-3 ^h p	2 ^h p-3 ^h p, 2-3 ^h p
" 20	2-3 ^h p	2 ^h p-3 ^h p, 2-3 ^h p	—	2-3 ^h p, 2-3 ^h p
" 21	21 ^h p-22 ^h p	2 ^h p-3 ^h p	—	2 ^h p-3 ^h p, 2 ^h p-3 ^h p
" 22	2-3 ^h p	2 ^h p-3 ^h p	—	2 ^h p-3 ^h p, 2 ^h p-3 ^h p
" 23	2-3 ^h p	2 ^h p-3 ^h p	—	2 ^h p-3 ^h p, 2 ^h p-3 ^h p
" 24	2-3 ^h p, 2 ^h p-3 ^h p, 2 ^h p-3 ^h p	2 ^h p-3 ^h p	2-3 ^h p, 2 ^h p-3 ^h p, 2 ^h p-3 ^h p	2 ^h p-3 ^h p
" 25	2-3 ^h p, 2 ^h p-3 ^h p, 2 ^h p-3 ^h p	2 ^h p-3 ^h p, 2 ^h p-3 ^h p	2-3 ^h p, 2 ^h p-3 ^h p, 2 ^h p-3 ^h p	2 ^h p-3 ^h p
" 26	21-22 ^h p, 2 ^h p-3 ^h p	—	21-22 ^h p	2 ^h p-3 ^h p
" 27	2-3 ^h p, 2 ^h p-3 ^h p, 2 ^h p-3 ^h p	2 ^h p-3 ^h p, 2 ^h p-3 ^h p	2-3 ^h p, 2 ^h p-3 ^h p, 2 ^h p-3 ^h p	2 ^h p-3 ^h p, 2 ^h p-3 ^h p
" 28	21-22 ^h p, 2 ^h p-3 ^h p	—	21-22 ^h p	2 ^h p-3 ^h p
" 29	2-3 ^h p, 2 ^h p-3 ^h p, 2 ^h p-3 ^h p	2 ^h p-3 ^h p, 2 ^h p-3 ^h p	2-3 ^h p, 2 ^h p-3 ^h p, 2 ^h p-3 ^h p	2 ^h p-3 ^h p, 2 ^h p-3 ^h p
" 30	2 ^h p-3 ^h p	2-3 ^h p, 2 ^h p-3 ^h p, 2 ^h p-3 ^h p	2 ^h p-3 ^h p	2-3 ^h p, 2 ^h p-3 ^h p, 2 ^h p-3 ^h p
Jan 1	21-22 ^h p, 2 ^h p-3 ^h p, 2 ^h p-3 ^h p	2 ^h p-3 ^h p	2-3 ^h p	2 ^h p-3 ^h p, 2 ^h p-3 ^h p

Aus diesen Angaben geht hervor, dass die Einbuchtung gewöhnlich zwischen 2^h und 3^h p, der Fleck aber häufig gesehen wurde, abgesehen

¹⁾ Reproduktionen aller meine Versuchsbeobachtungen mit kurzen erklärenden Text veröffentlicht „English Scientist“.

die Zeiten zwischen 24° und $24\frac{1}{2}$ (nicht zwischen 24°) keine 24° und 24° schwanken. Es fragt sich nun, ob andere Beobachter, namentlich solche in Indien und Amerika, diese beiden Objekte ebenfalls wahrgenommen haben und zu welchen Zeiten. Ich hat Herr Prof. E. Wehn dieselbe bezüglich nach Indien und Amerika an telegraphisches, weil dies jedenfalls für solche kostspielige Telegramme ein Budget mit Verfügung steht, was bei mir nicht der Fall ist.) Aber Sie sehen, wenn auch begreuer, hätte ich es, diese meine Wahrnehmungen durch die Astr. Nachr. sämtlichen Beobachtern bekannt zu geben und diejenigen, welche es irgendwie zu ergäuzen vermögen, zu bitten, dies baldigst zu thun, damit vielleicht dadurch eine genauere Bestimmung der Neigungseiß ermöglicht werde.

Zum Schluss erlaube ich mir noch die höchst merkwürdige Mitteilung zu machen, dass ich am 10. Juni von Herrn Stanley Williams in Brighton ein vom 10. Juni datirtes Schreiben erhielt, in welchem er schriftlich erklärt: „In 1864 I managed to secure about 100 sketches of the markings on Venus. These mostly formed a regular period of about 24° : but there was one strongly marked indentation near the south horn which remained visible continuously for about a month. It was prolonged on the day by a narrow and unusually dark and definite streak (for Venus).“ Man stelle sich mein Erstaunen vor, als ich in der dem Hrn. Williams beiliegenden Skizze eine vollständig genaue Kopie der Zeichnung fand, welche ich selbst zwei Tage vor der Ankunft dieses Briefes angefertigt hatte, und die (mit Ausnahme der Verschiedenheit der Phase) ungleich mehr einem 24° entspricht. Soll das vielleicht beweisen, dass es sich um diese der Oberfläche des Planeten angehörende Objekte handelt?
Marsen-Steinwarte, Landspiccola, Island, 1866 Juli 1.

Leo Brenner.

Die Polhöhe und ihre Schwankungen.

Beobachtet auf der Steinwarte des k. u. k. geographischen
Institutes in Wien.

Von Othmar Lehner von Starneck *)

Nach der Theorie von Euler beschreibt die Rotationsachse der Erde, wenn sie mit jener Hauptträgheitsachse, für welche die Summe der Trägheitsmomente im Maximum ist, (wie wir jetzt die Hauptachse genannt) nicht zusammenfällt, um diese Hauptachse eine Kegelschibe. Die Periode dieser Bewegung beträgt unter der Annahme einer konstanten konstanten Abweichung der beiden Achsen sechs Monate. Eine Konstatierung dieser Bewegung versuchte zuerst 1820 Bessel in Königsberg. Doch gelang es einem ebenso ablehnigen als unglücklichen Beobachtergenossen ebensowenig, diese Bewegung nachzuweisen, als es dem Hauptgenossen Peters, Gylden und Syrius in Pulkowa, Maxwell in

*) Die Bewegung von Telegraphen dieser Art liegt der Centralstelle in Kiel ob, welche dieselben nach Kopenhagen weiter befördert.

*) Beobachtungen des k. u. k. geographischen Institutes. Jahrbuch. XIII. Band. Wien 1874.

Grenzwinkel und Senkrechte in Washington gezogen wolle. Innerhalb hatte aber Syde Änderungen einer ähnlichen Formänderung der Erde bemerkt. Bei der großen Wichtigkeit der Frage empfahl dies im Herbst 1855 in Rom tagende Generalversammlung der europäischen Gelehrten auf Fouquier's Antrag Beobachtungen zur Entscheidung dieser Frage.

William Thomson (Lord Kelvin) machte zuerst (1870) darauf aufmerksam, dass die Annahme einer konstanten Abweichung der Rotationsachse von der Hauptachse ebenso zutreffend sei, wie die daraus gefolgerte ebensolche Formde, und hob hervor, dass in Folge der wechselnden Verteilung von Luft und Wasser auf der Erde, sowie der Massentransporte im dem Wasser, in fester und flüssiger Form bewirkt, nicht nur merkliche Veränderungen in der Lage der Hauptachsen eintreten, sondern dass in Folge dessen sich in noch höherem Grade Leptiländerungen der äquatorialen Wölbung machen müssten.

Nach Bestätigung dieser theoretischen Erwägungen fand Klotzer in Berlin, als er beließ genauer Bestimmung der Aberrationskonstante Messungen der Differenzen der Zenithabstände von Siriusarten mit konstanter Dichtestärke verschieben und Abweichungen von der Strass'schen Konstante fand, die sich am augenscheinlichsten durch eine Veränderung in der Polhöhe erklären ließen. Auf Grundlage dieser Beobachtungen wurde über Direktor Fürstens Antrag auf der Versammlung der perennirenden Kommission der internationalen Erdmessung in Salzburg (1888) Fouquier's Gedanke in modifizierter Form wieder aufgenommen und ein Zusammenwirken der Sternwarten von Berlin, Potsdam, Prag und Wienabzug zur Beobachtung der Veränderlichkeit der Polhöhen angesetzt. Die Messungen an diesen Sternwarten liefen bis zum Frühjahr 18 9 0 schon gezeigt, dass an den genannten Orten Veränderungen der Polhöhen im Betrage von 0.4"—0.2" nachweisbar waren. Zur vollständigen Untersuchung darüber, ob die Polhöhen durch Bewegungen des Erdpoles um seine Mittellinie hervorgerufen würden, war auf der Versammlung der perennirenden Kommission der internationalen Erdmessung zu Freiburg im Breisgau 1890 eine Expedition nach Honolulu vorgeschlagen worden.

Was obige Untersuchungen betriff, so mussten sich auf der westlichen Halbkugel die Beobachtungen der Polhöhe in demselben Betrage, aber in entgegengesetztem Sinne zeigen. Dies wurde in der That durch die Beobachtungen der von Dr. Malmgren geleiteten Expedition (1. Juni 1890 bis 10. Mai 1891) überzeugend erwiesen.

In demselben Jahre (1891) begannen am 1. u. 2. nördlichen polnischen Institute in Wien vom 1. November an regelmäßige Beobachtungen der Polhöhen, welche in 100 Beobachtungszeiten durch vierzehn Monate (bis zum 31. Dezember 1891) von dem Herrn Oberst Robert von Staniček und Hauptmann G. Kröll abwechselnd und im gleichen Takte durchgeführt wurden. Die Beobachtungen lieferten bei günstiger Witterung die ganze Nacht durch (mit Einschluß der Dämmerung), um noch eine eventuelle tägliche Variation der Polhöhe nachweisen zu können.

Die Sternwarte befindet sich auf einem Hüftrakt des Innstadts gebildet, ist also einigermaßen vor den Erschütterungen durch den Straßenverkehr geschützt. Der Hüftrakt, aus Quadersteinen aufge-

höhe, 24 m hohe Hauptpfeiler trägt zwei, je 1 m hohe Instrumentenpfeiler aus Stahl, nämlich einer für das Passagerniveau und einen zweiten für das Observator-Instrument (von Lohde und Kammeyer in Wien). Die Meridianweite ist 50 cm breit und ist am vorderen Ende des Instrumenten-Instrumentes angesetzt. Die Temperatur im Observatorium war während der Beobachtungen stets nur wenig von jener der äußeren Umgebung verschieden. Im Winter um einen bis zwei Grade höher; im Sommer etwas gleich.

Die Beobachtungen wurden nach jener Methode durchgeführt, die der dänische Astronom Borchert im vorigen Jahrhundert erdacht hatte und deren dann Talbot bei der Kationmessung in den Vereinigten Staaten bei der Breitenbestimmung sich bediente, weil sie seine Messungen von den Fehlern der Teilung der Kreise unabhängig machte. Sie beruht auf der schiefen Messung des Differenzes von Zenithabständen mittelst und mittel von Zenith kulminierende Sterne. Sie verbindet den höchsten Grad der Genauigkeit mit einem Vermeidung von Beobachtungsanstrengung. Sie gestattet die Bestimmung der Polhöhe frei von den Fehlern in der Teilung des Kreises, von Fehlern der Neigung des Fernrohrs, des Fehlers der Uhr, des Anspielens der Refraktion und von den periodischen Störungen. Die Unsicherheit in der Bestimmung der Deklination geht hingegen in vollem Betrage in das Resultat ein und es dürfen daher nur Sterne gewählt werden, deren Deklination genau bekannt sind. Es wurden deshalb vom Gipssternstock an seinen Beobachtungen ausschließlich Fundamentalkörper des Berliner Jahrbuches verwendet.

Bezüglich der Untersuchungen des Beobachtungs-Instrumente sowie der Art und Weise der Beobachtungen muss auf das Original verwiesen werden.

Aus den Beobachtungen ergeben sich natürlich Abweichungen der gemessenen Mittelwerte der Sterne bis zu 10". Hieraus ist zu schließen, dass die Deklinationen der Fundamentalkörper, wie solche im Berliner Jahrbuch mitgeteilt werden, mit erheblichen Fehlern behaftet sind. Es mussten demnach aus den Beobachtungen selbst zunächst die Verbesserungen dieser Deklinationen abgeleitet werden. Erst nachdem dies geschehen, konnten die von den Deklinationen herrührenden Mängel mittel der Polhöhe abgeleitet werden. Die nachstehende Tabelle enthält dieselben:

1872	November	4 ^h	12'	40.00"
	Dezember	4 ^h	12'	40.12"
1881	Jänner	4 ^h	12'	40.11"
	Februar	4 ^h	12'	40.12"
	März	4 ^h	12'	40.19"
	April	4 ^h	12'	40.26"
	Mai	4 ^h	12'	40.34"
	Juni	4 ^h	12'	40.42"
	Juli	4 ^h	12'	40.51"
	August	4 ^h	12'	40.60"
	September	4 ^h	12'	40.69"
	Oktober	4 ^h	12'	40.78"
	November	4 ^h	12'	40.87"
	Dezember	4 ^h	12'	40.96"

Um die Gesetzmäßigkeit dieser Veränderungen zu erkennen, wurden verschiedene Beobachtungen und eine graphische Darstellung derselben gemacht. Es ergab sich für die Polhöhe-Schwankung eine Amplitude von $0^{\circ}17'$ am 4. Januar im Maximum und am 10. Juli im Minimum bei einer Periodendauer von 277 Tagen. Doch zeigte sich, dass vom August 1893 angefangen die beobachteten Werte zu klein ausfallen. Es wurde daher unter Zugrundelegung einer Periodendauer von 1 Jahr eine neue Ableitung der Schwankungen auf empirischem Wege ausgeführt und diese als Kurve gezeichnet. Es ergab sich nämlich, dass die Beobachtungsergebnisse sich symmetrisch um diese Kurve gruppieren, so dass die Verhältnisspunkte derselben die Kurve weitestgehend belegen. Diese Verhältnisspunkte hat eine sechsmonatliche Periode und eine Amplitude von nur $0^{\circ}05'$. Später wurde noch nach einer Untersuchung über das Verhalten dieser täglichen Variation der Polhöhe ausgeführt. Die Beobachtungen wurden in Gruppen geteilt, deren mittlere Beobachtungsergebnisse auf 3, 9, 15, 21 und 26 Uhr mittlere Zeit fallen und es wird eine Zusammenstellung der für diese Tageszeiten beobachteten Polhöhen gegeben. Die Polhöhe zeigt eine tägliche Schwankung von $0^{\circ}17'$ mit einem Minimum um 9 Uhr abends und einem Maximum um Mitternacht — eine Erscheinung, die sich durch lokale Verhältnisse kaum erklären lassen dürfte. ²⁾

Untersuchungen über die Spektren der hellern Sterne nach den photographischen Aufnahmen auf dem astrophysikalischen Observatorium zu Potsdam.

Das in den Jahren 1888 bis 1891 mit dem Spektrographen am 12 Zolligen Refraktor des Potsdamer Observatoriums ausgeführt und Ermittelung der Geschwindigkeitskomponenten in der Richtung der Gesichtslinie gemachten Aufnahmen hellere Fixsterne sind von Herrn Prof. Scheiner nach höchst Verwertung der Resultate der Sternspektren überhaupt unterrichtet worden. Von diesen Untersuchungen hat derselbe bereits mehrere veröffentlicht, doch haben seine Ergebnisse, als sich im Laufe der Untersuchungen besondere und andere Methoden zur Ermittlung der Wellenlängen ergaben, teilweise Modifikationen erfahren, weshalb er nunmehr die vollständigen Ergebnisse derselben in einer besonderen, grossen Arbeit veröffentlicht, ¹⁾ auf welche es hier nicht näher eingegangen werden soll.

Diese Spektrenaufnahmen sind zunächst nur zu dem Zwecke, die ersten Geschwindigkeitskomponenten der untersuchten Sterne zu ermitteln, angefertigt worden. Dieser Zweck hat zur Folge gehabt, dass ähnliche Aufnahmen nur bei der Justirung des Apparates auf die 12 Zoll Länge hergestellt werden sind, während es im vorliegenden Falle höchstens von Nutzen gewesen wäre, wenn von jedem Stern mindestens

¹⁾ *Ber. d. k. S. astron. Ges. zu Wien* 1891, S. 266 f.

²⁾ *Publ. du observ. astron. de Potsdam* VII, 56, II. 1. et Potsdam 1895.

zwei Spektre mit verschiedener Ausbreitung aufgenommen worden wären, da eine Mal mit besonderer Berücksichtigung der mittleren Theile, das andere Mal bei möglichst starker Schwärze der äusseren Partien. Doch bei einem der Aufnahmen tritt dieses unglückliche Umstand einmal bei, daher von anderer Seite auch nicht unwillkürlich erregtes Interesse.

Der Spektrograph gestattet die Abbildung der Spektre, wenn die H₂-Linie zu der Mitte gelangt ist, von F bis Dist. von H, bei einer linearen Ausdehnung von 1 Centimeter. Indessen streichen von verschiedenen Graden, die Prof. Scheiner einzeln aufstellt, nur die wichtigsten Aufnahmen diese Grenzen einwärts und es ist daher der zur Untersuchung gelangte Theil der Spektre hinsichtlich ihrer, doch war in allen Fällen selbst diese geringe Ausdehnung so einer sehr präzisen Charakterisierung der Spektre ausreichend. Um den Resultaten einen höheren Grad von Sicherheit zu geben, wurden, wenn irgend möglich, von jedem Sterne zwei Aufnahmen benützt und beide mittelst des heraus ausgewählter, die Auswertung der beiden Aufnahmen fast gleich unabhängig von einander statt. Bei den himmelsnahen Spektren der I. spektralklasse, bei welchen die Auswertung nicht einen so beträchtlichen Arbeitsaufwand erforderte, wie bei denen des II. Typus, wurden alle ganz aufeinander genommen, es war dies auch meistens geschehen, da bei diesen Spektren die Genauigkeit der Messungen, resp. der Resultate, hinsichtlich ihrer derjenigen der himmelsnahen Spektre gleichen ist.

Es wurden Aufnahmen der folgenden Sterne genommen: α Andromedae, α Aurigae, β Orionis, α Tauri, α Arctis, β Orionis, α Cygni, α Lyrae, α Ursae min., β Persei, α Persei, β Tauri, γ Orionis, α Orionis, α Cassiopei, α Petaei, γ Andromedae, γ Gemmarum, α Gemmarum, ζ Orionis, α Orionis, β Gemmarum, β Cassiopei, α Leonis, γ Leonis, α Bootis, α Virginis, β Leonis, α Ursae maj., α Corvinae, β Ursa maj., α Ursa maj., α Ursa min., β Lyrae, β Serpente, β Andromedae, α Cassiopei, ζ Ursa maj., β Aurigae, β Ursa.

Die Art und Weise der Ausmessung und Beklebung der Aufnahmen wird von Prof. Scheiner ausführlich dargestellt. Hier, wo es sich nur um die Ergebnisse handelt, kann ich mich näher darauf einzugehen verheissen, nur einiges möge hervorgehoben werden. Prof. Scheiner bemerkt: „Die Spektre einiger Sterne, z. B. diejenige von α Aurigae, zeigen mit dem Sonnenspektrum eine derartige Uebereinstimmung in die kleinsten erkennbaren Einzelheiten, dass eine sorgfältige Vergleichung beider unter dem Mikroskope zu dem Schluss führt, dass dieselben absolut identisch sind, auch in Bezug auf die relative Stärke der Linien, und weiset mit sehr an Genauigkeit gemessener Wellenlängenlehre in Bezug auf die entsprechenden Linien, nicht mehr einzeln an erkennbaren Linien. Mit diesem Resultate hat eigentlich die vollständigste Charakterisierung des Spektrums von α Aurigae gegeben, besser als es die wirkliche Ausmessung, die ich ja nur auf Zweck Erkennbares bezücht, geben kann; ich habe auch längere Zeit geschweigt, ob es nicht vorzuziehen sei, die sehr zeitraubende Ausmessung bei den Sternen des zweiten Typus zu sparen und nur nur auf Vergleichung bestehende Charakteristik der Spektre zu geben, wobei Übergangsreihen

des anderen Typen bis ebenfalls durch allgemeine Bemerkungen hätte machen werden können. Es ergibt sich jedoch leicht, dass die beträchtlich prägnanter Ansehenbarkeit, mit welcher beim Messen jede Einzelheit des Spektrums betrachtet und mit dem Sonnenspektrum verglichen werden muss, zur Erkennung einer Menge kleinerer und sofort verlassender Abweichungen führt, die bei einfacher Vergleichung leicht übersehen werden. Der Hauptwert der vorliegenden Untersuchung sollte aber der sein, eine möglichst genaue und sichere Darstellung des Sonnenspektrums zur gegenwärtigen Zeit zu geben, damit bei einer nach einem längeren Stillstande vorzunehmenden Wiederholung der Arbeit eine weitere Konstatierung etwaiger Änderungen im Sonnenspektrum getroffen werden kann. Selbst dem jetzigen Stand unserer Kenntnisse ist anzunehmen, dass solche Änderungen im Sonnenspektrum, wenn die Beobachtung in abschließendem Zustande vollzogen, nur sehr gering sein können, dass also die Aufzeichnung auch der kleinsten Abweichungen vom Sonnenspektrum wesentlich ist. Selbst z. B. späterhin eine mit dem gleichen Hilfsmittel angeführte Untersuchung des Spektrums von α Centauri zu irgend einer Stelle eine kleine Abweichung vom Sonnenspektrum ergeben, selbst z. B. der Intensitätsunterschied zwei benachbarter Linien der ungeklärten sein, so würde diese allgemeine Bemerkung in meiner Untersuchung über die absolute Überzeichnung des beiden Spektren nicht zur Konstatierung einer irgendwelchen abweichenden Änderung genügen, es würde viel wahrscheinlicher sein, ein Überschreiten dieses Überschreitendes somewhere anzunehmen. Ganz andere liegt die Sache, wenn in der grundlegenden Untersuchung die beiden Linsen mit ihrem, mit der Sonne überein- bzw. umgekehrt intensitätsmäßig kalibriert sind, es ist dann, besonders wenn die Konstanten beider Aufnahmen dieselben sind, kaum ein Zweifel an einer wirklichen Änderung des Spektrums möglich."

Diese Erwägungen sind Hr. Prof. beherrschend ausgehend gewesen, nicht nur die vollständige Sonnenspektrum des zweiten Typen vollständig auszustatten, sondern auch das mit dem Spektrographen selbstgenommene Sonnenspektrum in gleicher Weise zu behandeln, um für die Zukunft eine sichere Kontrolle für die Leistungsfähigkeit des Spektrographen zu haben, da ja etwaige kleine Änderungen im Sonnenspektrum unverzüglich konstatiert werden würden.

Die zweite Aufgabe der vorliegenden Untersuchung, nämlich die Stelle zu ermitteln, dass die in dem Sonnenspektrum gemessenen Linien entsprechen, hat Prof. beherrschend nur sehr unvollkommen zu tun können, da erst von einer geringen Anzahl der chemischen Elemente die Spektren mit genügender Genauigkeit bekannt sind. Bei den früheren Wellenlängenbestimmungen der Metalllinien durch Angström, Kirchhoff, Huggins, Thoms, Lockyer, Löwen und Debye, Chappin & Co. hat man sich mit einer Genauigkeit begnügt, welche im allgemeinen das Spektrum der je nach unrichtiger Natur, und deshalb nicht bei einer Vergleichung mit dem Sonnenspektrum eine sichere Identifizierung ermöglichten.

An genügend genaue Bestimmungen liegen z. B. nur folgende vor:

Das Spektrum des Kalium von Thoms, ferner von folgenden Metallen durch die bereits publizierten Messungen von Kayser und Bang: Lithium, Natrium, Kalium, Natrium, Calcium, Magnesium,

Selen, Zink, Strontium, Cäsium, Barium und Quecksilber. Auf eine Anfrage des hohen Hrn. Herron Kayser und Ruge Herr Prof. Schöner hat sich spezialisiertes Sachverständigen der Linien folgender Metalle zur Verfügung gestellt: Natrium, Zinn, Antimon, Mangan, Beryllium, Tellurium, Fluor, Nickel, Chrom, Wismut und Quecksilber.

Die Spektre von Mangan, Nickel, Chrom und Wismut sind aber noch unvollständig, da es mir nicht mit Sicherheit anzuempfehlen, dass die schwächeren Linien dieser Spektre auch wirklich dem betreffenden Metalle angehören.

Eine Anfrage des Hrn. Reichardt ist ebenfalls beantwortet geblieben, und Prof. Schöner hat die Art und Weise der Messungen desselben nur die im II. Bande der Zeitschrift *Astronomie und Astrophysik* enthaltenen Anweisung von Metalllinien kreuzigen können.

„Die Frage“, sagt Prof. Schöner, „ob Metalllinien, welche mit Linien des Sonnenspektrums zusammenzufallen, auch wirklich mit denselben identisch sind, welche Metalle man hieraus als wirklich auf der Sonne vorhandenen annehmen soll, ist sehr schwer zu beantworten. Die Herren Kayser und Ruge haben z. B. eine Identität nur dann angenommen, wenn sich die relativen Intensitäten der betreffenden Linien im Sonnen- und Metallspektrum übereinstimmen; sie haben das Vorhandensein gewisser Metalle auf der Sonne verneint, auch wenn einzelne Linien ihrer Position nach übereinstimmten. Dessen Vortheile hat nur dann seine Berechtigung, wenn man weiß, dass die beiden zu vergleichenden Spektre bei denselben Temperaturen entstehen und, ich bin aber gerade im Laufe der nachstehenden Untersuchungen in der Überzeugung gekommen, dass man weniger Wert auf die relative Intensitäten legen sollte. Ich würde Gelegenheit haben, darauf hinzuweisen, wie wie verschiedenen relativen Intensitäten z. B. der Eisenlinien in den einzelnen Sternspektren auftreten, wie häufig der Fall vorkommt, dass starke der stärksten Eisenlinien in Manaspektren fehlen, die schwächere schwächere Linien des Eisens enthalten. Ferner würde ich zeigen, dass der Wechsel der relativen Intensitäten im Manaspektren bei verschiedenen Temperaturen ein Mittel gewährt, die Temperatur auf dem Stern zu bestimmen, und ich bin von diesem Gedanken zu der Überzeugung gelangt, dass, so lange nicht besondere Untersuchungen über die Faktoren der einzelnen Metallspektren bei verschiedenen, stark variirten Temperaturen vorliegen, man besser thut, bei ähnlichen Identifizierungen die relativen Intensitäten der Linien ganz außer Acht zu lassen. Man soll sich allerdings hierbei der Gefahr sein, eine große Menge unrichtiger Identifizierungen vorzunehmen, da die Linien im Sonnenspektrum so gedrängt stehen, dass bei Kalzium ein gewisses Spektrenmetalle heute die jede Metalllinie einer Entsprechung im Sonnenspektrum aufzufinden ist. Sobald man sich aber dieses Feldes bewusst ist, thut er gewöhnlich auf, ein Fehler zu sein, man thut eben ein unzureichendes Verzeichniß nach Möglichkeit aus, während man im anderen Falle einen gewissen Teil derselben auf Grund einer nicht berechtigten Strengung verweilt. Ich habe die Überzeugung gewonnen, dass nach, wenn irgend die Linien starker bekannter Elemente aus voller Sicherheit genommen sein werden, auch eine beträchtliche Unsicherheit über die

Verhandlungen oder Nichtverhandlungen eines bestimmten Elements in der Sonne bestehen bleiben wird.“

Die stänflichsten Lücken der oben erwähnten Metalle, sowie derjenigen des Rowland'schen Verteilungsschemas hat Prof. Schuster aus mit dem Sonnenspektrum verglichen und aus Vergleichung geschlossen, wenn diese Metalllinien innerhalb der Grenzen von $\pm 0.02\%$ zu mit Sonnenflecken zusammenfallen, und daraus einen Katalog von Metalllinien im Sonnenspektrum zusammengestellt.

Prof. Schuster geht nun über zur Charakterisierung der einzelnen Spektre. Zunächst bespricht er die Spektre der Spektralklasse Ia. Dieser Typus ist charakterisiert durch das spektrale Überwiegen des Wasserstoffs, dessen Linien breit und stark verwaschen erscheinen und fast ohne Ausnahme von keiner Linie eines anderen Elementes an Intensität erreicht werden. Man hat sich bisher mit dieser allgemeinen Kolossalität begnügen müssen, indem durch die direkten Beobachtungen nur in ganz extremen Fällen über die verpöndliche Breite der Wasserstofflinien ein Urteil zu gewinnen war. Die Aufnahmen mit dem Potsdamer Spektrographen lassen dagegen nicht nur Unterschiede in Bezug auf die Breite der Linien erkennen, sondern auch in Betreff ihrer Intensität, resp. der Intensitätsabnahme von der Mitte aus, allerdings nur bei der H γ -Linie, da in den wenigen Fällen, wo überhaupt die H β oder die H δ -Linie sichtbar ist, die Breite des Spektrums zu weiteren Untersuchungen nicht mehr genügt.

Bei der Beurteilung der Breite der Linien ist es oft schwierig, von Schweben zu entscheiden, ob das Unterschied wirklich real oder nur durch die verschiedenen Stürke der Aufnahmen bedingt wird. Da alle breiten Linien annähernd stark verwaschen sind — es folgt dies schon ohne weiteres aus dem Verhalte, welche die Abhängigkeit der Breite der Spektrallinien von Dicke oder Dichte der absorbierenden Schicht angeben —, also nur ein allmählicher Übergang von der Intensität des kontinuierlichen Spektrums bis zum Minimum der Helligkeit in der Mitte der Linie stattfindet, so ist es klar, dass bei grösserer Stärke der Aufnahmen (höhere Expositionszeit, drehrichtiger Luft etc.) die Linien schwächer immer schwächer werden müssen. Wenn man daher nicht viele verschiedenartige Aufnahmen von demselben Sonnenspektrum besitzt, so ist die Beurteilung der wahren Breite eine sehr unsichere.“

Was wichtiger in dieser Beziehung sind die hier zum ersten Male zur Untersuchung gelangenden Untersuchungsstelle, welche in der Intensitätsverteilung des Lichtes innerhalb der verstreuten Linien bei den verschiedenen Klassen bestehen. Zur Darlegung seiner Ansicht darüber geht Prof. Schuster auf dem Gegenstand näher ein.

„Ich nehme an“, sagt er, „dass der physikalische Begriff eines Sternes vom Unterschied gegen einen Nebel erst dann begründet, wenn das Spektrum ein wesentlich kontinuierliches ist, wenn sich also ein solches Verdichtungscentrum gebildet hat, dass eine gewisse Schicht desselben die Eigenschaften unserer Sonnenphotosphäre hat, welche Licht von allen Strahlungsrichtungen ausstrahlt. Selbst man sich nun aber auf das Kirchhoff'sche Gesetz, ohne andere Betrachtungen hinzuweisen, so hängt der Umstand, ob man helle oder dunkle Linien hat, nur davon ab, ob die oberhalb der Photosphäre befindlichen Que-

schließen eine höhere oder niedrigere Temperatur als die Photosphäre besitzen. Bei gleicher Temperatur würden keine Linien sichtbar sein. Je länger man nicht Anhänger der Lockyer'schen Meteortheorie ist, je länger aber die oben gegebene Erklärung für die beiden Linien in dem roten Baryspektrum nicht gestützt, da es unseren ganzen physikalischen Anschauungen widerspricht, Körper auszuheizen, bei denen darunter oder im allgemeinen die inneren Schichten eine höhere Temperatur als die äußeren besitzen.

Ein kontinuierliches und ununterbrochenes Hin- und-Herströmen von Materie in die oberen Schichten der Atmosphäre könnte die letzteren zwar wohl auf einem höheren Temperaturgrad bringen, als die Photosphäre besitzt; es könnten aber dann im Spektrum nicht mehr wesentlich nur die Wasserstofflinien hell erscheinen, vielmehr müßten auch die Linien der in dem Meteoriten enthaltenen Metalle aus hervorragende Stelle spielen. Auch ein anderer Zustand, der das Vorhandensein einer äußeren heissein Schicht erklären könnte, scheint sehr wenig plausibel, nämlich das fortwährende Hervorbrechen heisserer Gase aus dem Innern, die abwärts streifend einen größeren Teil der oberen Atmosphäre abheizen stark erhitzen könnten. Die Gase würden aber durch die Photosphäre durchbrechen und würden also die Temperatur derselben ebenfalls erhöhen, so dass nicht recht anzunehmen ist, weshalb ein wesentlicher Ueberschuss der Temperatur oberhalb der Photosphäre bestehen sollte.

Es ist anzugeben, wie wir oben sah, sehr einfache Erklärung der beiden Linien ist auf das Ansehen der Linien basirt. Die Breite und Veränderlichkeit der Wasserstofflinien deutet an, dass die Materie aus I. Typus aus einer sehr dichten Wasserstoffatmosphäre besteht, und es besteht hier Zusammenhang zu werden, dass die Höhe dieser Atmosphäre von der-ebenen Ordnung ist wie der Durchmesser des von der Photosphäre begrenzten Kernes. Es gehen dann diejenigen Teile der Atmosphäre, welche über die oberste Schicht der Kerns hinausragen, die Wasserstoffspektrum mit beiden Linien, während die vor der Schicht befindlichen dunkle Absorptionen geben. Von dem geschilderten Effect des Sternes, wie wir es wegen der grossen Entfernung nur darstellen können, erhält man demnach beide Spektren optisch klar abeinander gelagert, die beiden Linien erscheinen auf den dunklen, und je nach der Himmelslage, also je nach dem Verhältnis der Höhe der Atmosphäre zum Durchmesser des Kernes, überwiegen die eine oder die andere Linie.

Für die Intensitätskurve der Wasserstofflinien bei dem Stern der I. Klasse lassen sich nun folgende Typen aufstellen:

1) Die Höhe der Atmosphäre ist gering, es sind nur die Absorptionen merklich. Die Intensität derselben nimmt kontinuierlich bis zur Mitte ab.

2) Die Höhe der Atmosphäre ist so beträchtlich, dass auch die Wasserstofflinien merklich sind. Die Intensität nimmt also nicht bis zur Mitte der Linien kontinuierlich ab, sondern es hier im allgemeinen ein schwaches Maximum oder mindestens eine gleichförmige Intensität.

3) Die Ausdehnung der Atmosphäre ist so stark, das die Komponenten des Wasserstoffs heller werden als das kontinuierliche Spektrum.

Die Absorptionsschicht kann an beiden Seiten der kalten Linse auch merklich sein, sie kann aber auch vollständig überdeckt werden.“

Prof. Scheiner giebt für jedes Stern das Verhalten der H_γ Linie im Bezug auf die Aufhellung und hat dieselbe auch einer Kurvenauswertung unterworfen. Es ist nun zu bemerken, dass, wenn man sich die Photographie selbst so ermöglicht hat, diese Unterschiede in den Linsen erörtern zu lassen, ein andererseits auch wegen des verhältnissmäßig geringen Unterschiedes zwischen der oberen und der unteren Hauptdrehgeschwindigkeit der Platten auch diese Erkenntnis wieder erschwert. Je nach der Kraft der Aufhellung liegt das Minimum der Intensität der Absorptionsschicht unterhalb oder oberhalb der unteren Hauptdrehgeschwindigkeit der Platte; im ersten Falle erscheint die Mitte der Linse in einer grösseren Ausdehnung vollständig ohne Silberkern, und es ist dann nicht zu entscheiden, ob Aufhellung vorhanden oder nicht. Im zweiten Falle ist die Charakterisierung a) zweifelsfrei hergestellt.

Tatsächlich sind ungefähr alle hier untersuchten Arten von Interferenzkurven bei den untersuchten Sternspektren vertreten. Die Ursache, der gewisse sehr zu Gunsten der von Prof. Scheiner vertretenen Hypothese spricht gegenüber dergleichen der zuletzt benannten Atmosphäre.

Die Spektren vom ersten Typus zeigen auch im Bezug auf das Verhalten der anderen Linien ganz charakteristische Unterstände. Es scheint selten vorzukommen, dass in einem Spektren der 1. Klasse verwaschene und feine Metalllinien gleichzeitig auftreten, vielmehr sind im allgemeinen entweder alle Linien breit und verwaschen, ähnlich wie die Wasserstofflinien, oder alle sind scharf. Bei den Spektren mit breiten Linien zeigt sich ein wesentlicher Unterschied darin, dass in einem Falle nur einzelne, ganz isolierte Linien vorhanden sind, deren Verbreiterung hauptsächlich durch die grössere Dichte oder die höhere Temperatur der betreffenden Gase verursacht ist, während im anderen die breiten Linien ebenfalls nur Liniengruppen sind, aus den Linien überhaupt nur durch direkte Zusammenstösse merklich werden.

(Fortsetzung folgt.)

Verlässliche Nachrichten.

Argon und Helium in einem Meteoriten. Aus dem Meteoriten von Augusta County, Virginia, welcher nach einer 1871 ausgeführten Analyse 88,4 Pct. Fe, 10,2 Ni, 0,4 Co, 0,2 P, 0,2 C und ausserdem Cu, Sn, Mn, Cl, S und SO₂ enthält, hat Herr Halloway ¹⁾ aus einem Guss extrahiert, aus dem beim Vergleichen mit Wasserstoff einige Schwefel (S) verschwand; der Rest ergab beim Durchschlagen silberfarbene Punkte in Gegenwart von kohlensaurem Natrium wie auch eine gelbige Zersetzung. Der Rückstand wurde getrocknet und erwies sich bei der spektroskopischen Untersuchung als Argon, dessen charakteristische Eigenschaften er zeigte. Man bemerkt zuerst im Spektrum die gelbe Heliumlinie und durch Vergleichung mit einer Probe reiner Helium wurde die Identität desselben festgestellt. mit der H-Linie des Kurlana war keine Übereinstimmung vorhanden. Wir sehen also,

dass das Argon auch in diesem unerschöpflichen Körper vorkommt, obwohl es in der Sonne nicht aufgetrieben worden ist. Ausser dem Lichte des Argon und des Helium fand man in dem vom Wasserstoff befreiten Gas des Meteoritens keine weiteren Lichter. — Herr Ramsay bemerkt bei dieser Gelegenheit, dass er das Helium in der Nebelwolke der Messelien mit seinem Erden gefunden, es ist dabei um so auffällender, dass man dies nicht schon früher beobachtet hat.⁵⁾

Die Spektren des Chloritgrases und der Sonnenatmosphäre.⁶⁾ Die Entdeckung des Helium vor in der Sonne bekannten Helium in vielfachen Mineralien durch Ramsay muss außerordentlich das Interesse der Astronomen in demselben Grade erregt wie das der Chemiker. Anfänglich wurde erriethen, dass aus dem Chlorite dargestellten Gase und der Sonnenatmosphäre nur die nächste Beziehung gefunden, dass beide die Linie D₁ (Helium Linie) sehr intensiv ausstrahlten, später hat man geglaubt, auch andere gemeinschaftliche Linien wahrzunehmen, so dass eine direktere Vergleichung dieser beiden Lichter in möglichst grosser Ausdehnung des Spektrens sehr wünschenswert schien.

Herr Deslandres besaßte ein kapilläres Spektroskop, das mit Quarzplatten versehenes war und die von einem kleinen Clevit-Kristall erzeugten Gase aufschonem Kronglas der Kristall wurde zuerst erhitzt und dann mit reiner, ungeschwefelter Schwefelsäure des Haasch in Berührung gebracht. Die Spektren der Gase wurden beobachtet vor dem Kolben, nach demselben und nach der Einwirkung der Schwefelsäure. Vor dem Erhitzen zeigte die Spektroskope, in welcher der Druck etwa $\frac{1}{10}$ mm Quecksilber betrug, einige von den Linien, die man dem Argon zuschreiben, dass, als man auf etwa 300^o erhitzt hatte, entwickelte sich reichlich eine Wasserstoffverbindung des Kohlenstoffes, wahrscheinlich das Produkt einer Inversion, denn beim fortgesetzten Erhitzen nahm der Druck im Inneren zu und beim Abkühlen nahm er ab. Erst wenn die Schwefelsäure mit dem Clevit in Berührung kam, erschienen die gelbe Linie D₁ und gleichzeitig andere starke Linien im sichtbaren und im ultravioletten Theile des Spektrums. Herr Deslandres gibt seine Resultate in einer Tabelle wieder, welche unter der Wellenlänge und Intensität der 20 von ihm selbst zwischen λ 282,8 und 294,10 gemessenen Linien, die sechs von Diers gemessenen Linien der Chloritgrase enthält, und stellt dieses Werte die entsprechenden Wellenlänge der Chloritgrase-Linie gegenüber, im sichtbaren Theile sich den Messungen von Young, im ultravioletten Theile nach eigenen Bestimmungen, unter Beifügung der Intensitäten und der Helligkeit dieser Linien, λ h der Zahl von Malen, die sie bei 100 Beobachtungen gesehen wurden, so dass die Linien wie die Zahl 300 immer gesehen wurden und permanente genannt werden. Diese permanenten Linien sind wenig zahlreich, wie folgt nur H im ultravioletten Spektrum, von Linie D dass Wasserstoff und β dem Calcium angehören, während λ ,

⁵⁾ Compt. rend. 1868, t. CXX, p. 189.

⁶⁾ Compt. rend. 1868, t. CXX, p. 218.

zusammen die Linie D_2 , wobei an hellem bekanntem Element in Beziehung stehen.

Die Tabelle zeigt nun, dass das Gas des Glases namentlich der Linie D_2 mehrere andere starke Linien der Chromosphäre ausstrahlt, besonders die Linie 447,18, die gleichfalls eine permanente ist, so dass die Zahl der auf der Erde nicht gefundenen permanenten Sonnenlinien sich auf 2 erhöht.

Andere starke Linien des Glases, so die grüne λ 501,60 und die ultraviolette λ 398,5, haben in der Sonnenatmosphäre weder die Intensität noch die Häufigkeit von D_2 , so dass man an ein Gemisch von Gasen oder an eine Verbindung denken muss. Hierfür spricht auch, dass D_2 im kapillaren Teil der Spektralanalyse auf dem positiven Pol erscheint und am negativen Pol fehlt, während die grüne Linie 501 hier sehr hell ist.⁴

Eine neue Bestimmung des Nordhalbmessers von S in den Jahren 1848 bis 1870 beobachteten Beobachtungen der Plejadensterns bei J. Peters ausgeführt⁵). Prof. Kästner hat bereits früher 5 Plejadenbeobachtungen aus demselben Zeitraum zur Bestimmung des Nordhalbmessers verwendet. Das nach Ausschuss dieser schon betrachteten Beobachtungen verbleibende Material war in dem vorstehenden Zweite zwar mangelhaft weil in den meisten Fällen nur Beobachtungen von einem Nordrande, also nur Elongation oder Ansticht vorlagen, doch war die Berechnung nach demselben Verfahren, weil sich gute Nordquadranten daraus ableiten lassen. Herr Peters hat den von ihm für den Nordrand erhaltenen Wert mit Rücksicht auf das Gewicht der Bestimmungen, so wie dem von Kästner erhaltenen berechnet und gibt in folgender Tabelle als die besten verfügbaren Bestimmungen des Nordhalbmessers r an: Sternbeobachtungen:

- $r = 10'$ 32' 50" (aus 542 Plejadenbeobachtungen vorwiegend an dunklen Rand während 14 Durchgängen, berechnet von Kästner und Peters)
- $r = 10'$ 32' 40" (aus 468 Plejadenbeobachtungen von beiden Rändern bei 7 Durchgängen, berechnet von Kästner)
- $r = 10'$ 32' 45" (aus 487 Sternbeobachtungen während einer totalen Mondfinsternis, berechnet von H. Struve)
- $r = 10'$ 32' 58" (aus 113 Sternbeobachtungen zum Teil an dunklen Rand, berechnet von Besselmann)

Im Mittel aus diesen 4 Bestimmungen bildet Herr Peters den Wert des Nordhalbmessers zu $10'$ 32' 50" ab. Hiermit und mit der mittleren Hansen'schen Nordquadranten ($10'$ 307") ergibt sich der mittlere Nordradius in Teilen des Äquatorialhalbmessers der Erde zu 0,07338. Dieser speziell aus Sternbeobachtungen folgende Wert stimmt mit dem schon sehr lange verwendeten Werte von 0,07350 innerhalb der nach verbleibenden Ungenauheit, die auf \pm 0,0002 zu bezuschlagen ist vollständig überein.

⁴) Astronomische Nachrichten Band 189. Seite 124.

⁵) Ann. Chem. Phys. Bd. 224—25.

Spektraluntersuchungen über Rotation und Bahnbewegung der Planeten. Wenn für eine Punkt des Jupiterquadranten die Sonne angesehen, so würde man dort bei der Beobachtung des Sonnenspektrums die Fraunhofer'schen Linien nach Rot verschoben sehen, denn jener Punkt entfernt sich von der Sonne. Von dem am jenem Jupiterort vertheilten Sonnenstrahlen auf den nach Rot verschobenen Spektrallinien gelangt die Beobacht. zu uns. Nehmen wir an, der Jupiter stehe gerade in Opposition zur Sonne, dann wird auch für uns jener Jupiterort in Folge der Rotation des Jupiter von Planetenrande verschoben, er entfernt sich auch von uns, also rücken die Spektrallinien auch nach Rot verschoben. Die resultierende Linienverschiebung ist daher das Doppelte derjenigen, welche der Rotationsgeschwindigkeit des Jupiter entsprechen würde. Am entgegengesetzten Jupiterende findet das Umgekehrte statt, die Linien sind nach Violett verschoben. Die Verschiebung entgegengesetzter Jupiterender gibt somit die verdoppelte Linienverschiebung. Die hierzu nöthige Geschwindigkeit des Jupiter beträgt am Äquator 12,4 km in einer Sekunde. Misst man nun die Verschiebung der Spektrallinien am Ost- und Westende des Jupiter, so müßte deren Betrag eine Geschwindigkeit von 49,6 km ergeben.

Herr Dechardens und Herr Millosevic haben durch ihre Beobachtungen diese Folgerungen bestätigt, die erzielten auf verschiedenen Wegen Zahlen, die zwischen 45,3 und 50,2 km liegen. Ist also ein Körper dieser Art betrachtet, so strömt sein Licht nicht bloss in Bezug auf den Beobachter eine Verschiebung, sondern auch in Bezug auf die Lichtquelle.

Ein optischer Punkt irgend einer Planeten ändert seine Entfernung von dem Beobachter auf der Erde ausser in Folge der Rotation, auch noch in Folge der Bahnbewegungen des Planeten um der Erde. Diese Änderung des geometrischen Planetenabstandes wirkt nur bei ständiger Beträge auf die Linienverschiebung ein. Dagegen ist die Entfernung, welchen bei elliptischen Bahnen die Änderung der Entfernung eines Planeten von der Sonne vor dem Perihel und nach demselben ausbleibt, wieder in doppelter Weise in den Linienverschiebungen ausgedrückt.

Die größten Geschwindigkeiten, mit denen die verschiedenen Planeten der Sonne sich nähern oder wieder von ihr sich entfernen, betragen sich beim Merkur auf 7,81, bei der Venus auf 3,25, bei der Erde auf 0,93, beim Mars auf 2,24 und beim Jupiter auf 0,80 km.

Herr Dechardens weist nun darauf hin, dass die Messungen der Linienverschiebungen in Planetenspektren in Zukunft, wenn hinreichend hocharbeitende Apparate angewendet werden, jene Planeten Geschwindigkeiten ermitteln noch in verkleinertem gestaffelt würden. Dies würde auf eine genauere Bestimmung der Sonnenparallaxe hinauswirken, da die relativen Entfernungen und Bewegungen im Sonnensystem ja sehr genau bekannt sind, der Mangel, durch den wir die in Kilometern ausdrücklichen, aber von der Sonnenparallaxe abhängt. Rowland's seine Bestimmungen der Wellenlängen im Sonnenspektrum geben diese mit einer Genauigkeit von 1:5000000 dem Wertes. Diese entspricht einer Genauigkeit der Geschwindigkeitsbestimmung von 30 m. Unter gleichen Bedingungen

1) Comptes rendus 1890, T. CXX, p. 411.

mittels von die Sonnenparallelen mittels des Spektroms der Venus auf 1. 200, und mittels des Merkur-spektrums auf 1. 800 genau finden.

Letztes war auch für unsere heutigen Instrumente das Vorkommen in solchen Untersuchungen zu schwach, so müsste es durch entsprechende, um die Neutonen der Venus erkennen zu lassen, wenn diese der Erdtrichter ähnlich (s. S. 344) im Innern die Dichtung der Venus um Wm. Aus Kombination mit ihrer Bahnbewegung müsste relative Geschwindigkeiten der Venusstrahlen erlangen, welche von 0 bis 2 km folgen können.

Selbst beim Beobachtungs, weiß er wenig Distorsion gegen die Sonne auszuweisen oder nach Bedarf (mit Geschwindigkeiten von + 150 km, eine Lichtverbreitung zu beobachten sein, da seine große Helligkeit starke Dispersion im Spektroskopie liefert ?)

Der für veränderlich gehaltene Nebel im Sternbild Tauus wurde ebenfalls wieder von Bernard beobachtet. Und kam der Nebel am 11. Oktober 1862 als ein in kleinen Fernrohren leicht sichtbares Objekt entdeckt. Später wurde es von d'Arrest, Struve, Lassell u. a. wieder gesehen. Am 3. Oktober 1863 war es für mittlere Instrumente verschwand, blieb aber in den großen Fernrohren Struve's und Lassell's noch wahrnehmbar bis 1868, wo es auch im großen Polkammer Refraktor unzufindbar war. Struve fand nun beim Suchen Lassell's ebenfalls diesen Nebel, während d'Arrest, der diesen Sternstrahlen Nebel auch beobachtet, als er behauptete, dass derselbe früher an dieser Stelle nicht existierte. Im Jahre 1877 sah Teagard den Sternstrahlen Nebel am 9. November, am 13. Dezember stand er an diesem Ort zwei kleine Strahlen, von denen das nördliche am 8. November im Nebel sichtbar gewesen sei. Im Jahre 1890 bemerkte Barstow am den veränderlichen Stern T Tauus, der nicht weit von der erwähnten Stelle steht, einen zeitigen Schwimmer, und Bernard bezeugte diese Wahrnehmung, und konnte bei dieser Gelegenheit auch Hind's Nebel sehen, der aber damals schwach war. Hindlich hat auch Keeler 1890 nach dem Nebel am T Tauus erkannt.

Kunze hat Prof. Bernard am 25. Februar 1895 die ganz Gegend gründlich untersucht und gefunden, dass Hind's Nebel, das obwohl es nicht wie 1860, ein leicht sichtbares Objekt war, dass aber von T Tauus keine Spur von Nebel existierte. Höchstens sehen sie werden die matter Schwimmer aufzuweisen. Der aber keine Ähnlichkeit mit dem Aussehen von Jahre 1860 hatte. Wie Struve einen Nebel gesehen habe, stand nicht. Am 20. Februar 1895 wurde die Richtung von Hind's Nebel, am 24. März war dieser wieder fast unzufindbar geworden, dagegen war T Tauus deutlich sichtbar und auch Struve's Nebel wurde weitgehend sparsam entdeckt. Die Veränderlichkeit dieser Nebel ist also ziemlich wahrscheinlich geworden, wenn auch nicht immer sehr gelauert werden darf, dass die Sichtbarkeit von Nebel durch den Luftzustand stark beeinflusst wird ?)

*) Astronomische Nachrichten (Königsberg) 1860, Nr. 20.
*) Astronomische Nachrichten (Königsberg) 1860, Nr. 20.

Friedrich Tietjen, Am 28. Juni ward auf dem stillen Friedhofe in Westend (am Oldenburgerthor) ein hervorragender Gelehrter mit letzten Ruhe beizusetzt. Der verlebte Astronom Dr. Friedrich Tietjen, ordentlicher Professor an der Universität zu Berlin und Direktor des Rechen-Instituts der königlichen Sternwarte. Schon und wesentlich war der Lebenslauf des Dichtungsgelehrten. Insbesondere diese nicht unbedeutendes Landopfer, hatte er sich bis zum 20. Lebensjahre hauptsächlich nur mit heiligen Arbeiten beschäftigt, und wenn er lebhaft die Bedürfnisse, die Kenntnisse, welche ihm die Volksschule gegeben, zu erweitern, zu bereichern das nur geschrieben, ohne dass irgend jemand eine Ahnung davon hatte: etwa in der Nacht bei Leuchterglühfen, die er sich heimlich zu verschaffen wusste. Als sein Vater endlich den Himmeln weichen und ihn nach Oldenburg in die damalige hochschule höhere Lehranstalt mit selbstbeglücktem Kuss schickte, hatte er wesentlich nur die sprachliche Seite der Bildung zu erlangen, in der Mathematik waren die Kenntnisse, die er sich angeeignet, für die höchste Klasse mehr als genügend. In einem Jahr absolvierte er die Astronomie und gleichzeitlich dann ungewöhnlich rasch alle western Studien. Auf dem Kuzobren in Franzosenlag, wobei er sich zunächst legte, wurde schon im ersten Vierteljahr seine Lösung einer Prüfungsaufgabe als die beste gefanden. In Wittenberg und Berlin, wo er seine Studien fortsetzte, erkannten seine Lehrer Lagnon-Dirichlet, Weber, Stern, Lotze, Eula, Kummer, Walbrunn, Trendelenburg sehr bald die glänzende Begabung des jungen Studenten. Eulke hat vollrecht das meiste Recht auf ihn gehabt; das erwiderte er auch seine Inaugural Dissertation „De methodis ad orbium conformationem determinandam utilisissimis“, und dieser bereit auch das noch jüngere Studenten im Jahre 1850 nach zweiter Assistenten an der Sternwarte. Im Jahre 1850 habilitierte sich Tietjen als Privatdozent an der Universität Berlin, wurde dann außerordentlicher und 1863 ordentlicher Professor. Der Akademie der Wissenschaften gehörte er als ordentliches Mitglied an; was er für diese geleistet, haben seine Fachgenossen selbst gewürdigt. Von seinem berühmten Landsmann, dem Historiker Schöner in Hirschberg, sagte man, dass er bei in sein hohen Geistesalter in seinem ganzen Auftreten dem „Jüngling“ habe erkennen lassen, so verlegte Tietjen in seinem ganzen Habitus nicht des gewöhnlichen heidern „Ammerländer“ mit erhabener, bescheidener Haltung, klarem, hellem Kopf und warmem, goldenem Herzen. Als solcher wird er leblich in der Erinnerung aller daran, die mit ihm in Berührung kamen, namentlich aber in der seiner vielen Verehrer und Freunde.

Mehrere größere und kleinere

Refraktoren

sind sehr preiswürdig zu verkaufen. Refraktoren wollen sich wegen älterer Mitteilungen an mich wenden.

Dr. Hermann J. Klein in Wien.

Verbindungen der Luftmasse: Die folgenden Angaben über die Freileistungen der Luftmasse sind aus dem National Almanac entnommen und der angegebenen Kultur einschließlich der Gebirgsgebe. Die Temperaturen sind der höchsten Lufttemperatur am Tage nach und nach mit 1 Uhr 17 Minuten. Weitere Details.

- Mo D des Verzeichnisses einer Tabelle im Schatten des Jupiter
- Mo R des Ansatzes des Trogbeuges von dem Schatten des Jupiter
- Mo D des Verzeichnisses des Trogbeuges unter der Jupiterhülle
- Mo R des Wechselverkehrs mittels jeder der Jupiterhülle
- Tr J des Eintritts des Trogbeuges von der Jupiterhülle
- Tr R des Austritts des Trogbeuges von der Jupiterhülle
- Mo J des Eintritts des Trogbeuges von der Jupiterhülle
- Mo R des Austritts des Trogbeuges von der Jupiterhülle

Es sind nur diejenigen Verbindungen der Luftmasse aufgeführt, welche sich ereignen, wenn Jupiter an Greenwich über und der Sonne unter dem Horizont steht. Um zu wissen, ob die Temperatur einer Verbindung für jeden anderen Ort zu finden, hat man nur nötig, die Längendifferenz gegen Greenwich (entsprechend zu Zeit zu dem angegebenen Zeitpunkt zu addieren, wenn der Ort östlich von Greenwich liegt und Subtrahieren, wenn der Ort westlich von Greenwich liegt.

November 1. 1 7h 10m 30s		November 2. 11 0h 10m 40s		November 3. 11 0h 10m 40s	
Mo D	11 35 30	Mo D	11 35 30	Mo D	11 35 30
Tr J	1 10 11	Tr J	1 10 11	Tr J	1 10 11
Tr R	1 10 11	Tr R	1 10 11	Tr R	1 10 11
Mo D	11 35 30	Mo D	11 35 30	Mo D	11 35 30
Tr J	1 10 11	Tr J	1 10 11	Tr J	1 10 11
Tr R	1 10 11	Tr R	1 10 11	Tr R	1 10 11
Mo D	11 35 30	Mo D	11 35 30	Mo D	11 35 30
Tr J	1 10 11	Tr J	1 10 11	Tr J	1 10 11
Tr R	1 10 11	Tr R	1 10 11	Tr R	1 10 11
Mo D	11 35 30	Mo D	11 35 30	Mo D	11 35 30
Tr J	1 10 11	Tr J	1 10 11	Tr J	1 10 11
Tr R	1 10 11	Tr R	1 10 11	Tr R	1 10 11
Mo D	11 35 30	Mo D	11 35 30	Mo D	11 35 30
Tr J	1 10 11	Tr J	1 10 11	Tr J	1 10 11
Tr R	1 10 11	Tr R	1 10 11	Tr R	1 10 11
Mo D	11 35 30	Mo D	11 35 30	Mo D	11 35 30
Tr J	1 10 11	Tr J	1 10 11	Tr J	1 10 11
Tr R	1 10 11	Tr R	1 10 11	Tr R	1 10 11
Mo D	11 35 30	Mo D	11 35 30	Mo D	11 35 30
Tr J	1 10 11	Tr J	1 10 11	Tr J	1 10 11
Tr R	1 10 11	Tr R	1 10 11	Tr R	1 10 11
Mo D	11 35 30	Mo D	11 35 30	Mo D	11 35 30

Freileistungen 1884: November 1. 10^h 10^m 40^s Mitte in der sonnigen November 2. 10^h 10^m 40^s Mitte in der sonnigen November 3. 10^h 10^m 40^s Mitte in der sonnigen November 4. 10^h 10^m 40^s Mitte in der sonnigen November 5. 10^h 10^m 40^s Mitte in der sonnigen November 6. 10^h 10^m 40^s Mitte in der sonnigen November 7. 10^h 10^m 40^s Mitte in der sonnigen November 8. 10^h 10^m 40^s Mitte in der sonnigen November 9. 10^h 10^m 40^s Mitte in der sonnigen November 10. 10^h 10^m 40^s Mitte in der sonnigen November 11. 10^h 10^m 40^s Mitte in der sonnigen November 12. 10^h 10^m 40^s Mitte in der sonnigen November 13. 10^h 10^m 40^s Mitte in der sonnigen November 14. 10^h 10^m 40^s Mitte in der sonnigen November 15. 10^h 10^m 40^s Mitte in der sonnigen November 16. 10^h 10^m 40^s Mitte in der sonnigen November 17. 10^h 10^m 40^s Mitte in der sonnigen November 18. 10^h 10^m 40^s Mitte in der sonnigen November 19. 10^h 10^m 40^s Mitte in der sonnigen November 20. 10^h 10^m 40^s Mitte in der sonnigen November 21. 10^h 10^m 40^s Mitte in der sonnigen November 22. 10^h 10^m 40^s Mitte in der sonnigen November 23. 10^h 10^m 40^s Mitte in der sonnigen November 24. 10^h 10^m 40^s Mitte in der sonnigen November 25. 10^h 10^m 40^s Mitte in der sonnigen November 26. 10^h 10^m 40^s Mitte in der sonnigen November 27. 10^h 10^m 40^s Mitte in der sonnigen November 28. 10^h 10^m 40^s Mitte in der sonnigen November 29. 10^h 10^m 40^s Mitte in der sonnigen November 30. 10^h 10^m 40^s Mitte in der sonnigen November 31. 10^h 10^m 40^s Mitte in der sonnigen

Verbindungen durch den Mond für Berlin 1884

Monat	Tag	Größe	Abstand in Par. Sec.	Zeit in Min. Sec.
Nov	1	Wachend	49	14 00
"	2	"	50	14 02
"	3	"	50	14 05
"	4	"	50	14 08
"	5	"	50	14 11
"	6	"	50	14 14
"	7	"	50	14 17

Legg und Größe der Verbindungen (nach Haas 1)
 Nov 25. Durch Ann der Regelgößen 1884; kleine Ann 1884
 Erkenntnis über die Größe der Verbindungen 22 bis 25.

Stellung der Jupitermonde im November 1856.

<p>I. </p>	<p>III. </p>
<p>II. </p>	<p>IV. </p>

Stellungen um 10^h 30^m für den Abdruck im vorerwähnten Almanach.

Tag	Wann		Wann
1		1	1
2		1	1
3		1	1
4		1	1
5		1	1
6		1	1
7		1	1
8		1	1
9		1	1
10		1	1
11		1	1
12		1	1
13		1	1
14		1	1
15		1	1
16		1	1
17		1	1
18		1	1
19		1	1
20		1	1
21		1	1
22		1	1
23		1	1
24		1	1
25		1	1
26		1	1
27		1	1
28		1	1
29		1	1
30		1	1

Flanzenschiebung im November 1935.

Mittlere Barometer-Messung					Mittlere Barometer-Messung										
Station No.	November 1934			Tollboden Ablesung			Mittlere Barometer- Messung	Station No.	November 1935			Tollboden Ablesung	Mittlere Barometer- Messung		
	h.	m.	mm.	h.	m.	mm.			h.	m.	mm.				
1934															
Barometer															
Nov. 5	10	50	30-00	- 5	0	10-0	27.40	Nov. 10	10	50	30-00	10	50	30-00	27.40
10	13	50	30-00	0	0	30-0	27.54	15	14	40	32-40	14	50	30-11	27.57
15	14	10	30-14	13	0	30-0	27.50	20	14	45	32-40	15	50	30-11	27.57
20	14	00	4-50	15	40	30-0	27.42	25	14	45	32-40	15	50	30-11	27.57
30	17	0	30-37	17	30	30-4	27.58								
31	15	00	7-07	-15	00	37-1	27.5								
Thermometer															
Nov. 5	12	55	47-21	+0	5	30-0	20.51	Nov. 10	12	55	47-21	-0	5	30-0	20.51
10	12	50	30-11	-0	5	30-0	20.51	15	12	50	30-11	-0	5	30-0	20.51
20	12	50	30-11	0	5	30-0	20.51	25	12	50	30-11	-0	5	30-0	20.51
30	12	44	30-07	0	11	7-0	20.49	30	12	50	30-11	-0	5	30-0	20.51
31	12	0	41-11	0	17	30-0	21.40								
31	15	11	30-15	-0	0	4-0	20.40								
Wetter															
Nov. 5	14	0	30-07	-10	40	10-0	24.27	Nov. 10	14	0	30-07	-10	40	10-0	24.27
10	14	0	4-00	10	50	4-0	24.4	15	14	0	30-07	-10	40	10-0	24.27
20	14	0	30-11	10	0	30-0	24.26	25	14	0	30-07	-10	40	10-0	24.27
30	14	10	37-40	14	4	30-0	22.55	31	14	0	30-07	-10	40	10-0	24.27
31	15	0	40-10	10	4	40-0	22.47								
31	15	10	40-00	-10	0	30-0	20.41								
Luftfeuchte															
Nov. 5	0	0	30-00	+10	31	30-1	27.30	Nov. 10	0	0	30-00	+10	31	30-1	27.30
10	0	0	30-19	10	37	3-0	26.55	15	0	0	30-00	+10	31	30-1	27.30
20	0	0	30-00	+10	31	30-0	26.18	25	0	0	30-00	+10	31	30-1	27.30

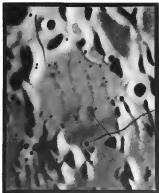
Windgeschwindigkeit 1935				
Station No.	h.	m.	mm.	Tollboden, Lufttemperatur, Wind in Richtung Windrose Station Wetter- Messung in Richtung
Nov. 5	0	0	0-0	10-0
10	0	0	0-0	10-0
15	0	0	0-0	10-0
20	0	0	0-0	10-0
25	0	0	0-0	10-0
30	0	0	0-0	10-0
31	0	0	0-0	10-0

Wind

Mittlere Barometer-Messung					Mittlere Barometer-Messung					
Station No.	November 1934			Wind in Richtung	Station No.	November 1935			Wind in Richtung	
	h.	m.	mm.			h.	m.	mm.		
1	7	50	49-00	+10	2	14	0	30-00	10-0	
2	7	15	50-10	10	4	20	7	11	50	0
3	8	0	30-04	20	20	20	0	22	40	7
4	4	0	34-30	30	4	10	0	27	30	0
5	4	30	7-10	37	40	0	2	14	34	1
6	5	50	30-03	30	18	30	0	15	30	0
7	4	5	14-07	37	1	30	0	10	30	0
8	7	50	31-30	34	10	4	4	11	30	0
9	5	50	11-04	30	0	20	4	10	30	1
10	5	50	30-10	34	44	40	0	10	30	0
11	30	40	40-00	30	10	10	0	17	30	4
12	11	30	40-00	+ 14	10	1	0	10	30	0
13	10	00	24-00	- 4	0	0	0	11	30	0
14	15	15	0-00	21	30	2	0	10	30	0
15	14	0	10-00	-17	10	30	0	10	30	0
16	15	4	10-00	20	10	30	0	10	30	0

Tollboden-Messungen sind nach dem Stand der Messung

Stern-Jahrb. 1892, S. 14



Die Waldlandschaft Hercules F

von A. N. Krüger.

An die verehrten Abonnenten des „Sirius“!

Das das Abnehmen des Preises auch die letzten Jahrgänge des „Sirius“ mit allgemein beliebten Zusätzen leicht möglich zu machen, ist sich nach demselben die Park-Bearbeitung des I. bis VII. Jahrgang (1873—1880) zu belassen zu erlangen. Preis bereits zu oftener.

Band I, II, III, IV, V, VI (Jahrgang 1873—79) wenn zusammen genommen nur **20 Mark.**

Extrakt-Bände 4 Mark

Band VII, VIII, IX, X (Jahrgang 1879—82) wenn zusammen genommen nur **20 Mark.**

Extrakt-Bände 6 Mark

Band XI, XII, XIII, XIV (Jahrgang 1883—86) wenn zusammen genommen nur **20 Mark.**

Extrakt-Bände 6 Mark

Band XV, XVI, XVII, XVIII (Jahrgang 1893—96) wenn zusammen genommen nur **20 Mark.**

Extrakt-Bände 6 Mark

Band XIX/XXIII (1891—97) à 12 Mark.

Einband-Decke dazu kosten pro Band nur 75 Pfg.

Nach demselben kann man sich verhältnismäßig kleinerer Kosten abgeben, wenn man sich nur einzelne Jahrgänge belassen zu wollen. Auch Einzelbände sind erlangbar. (Auch die alle Jahrgänge werden zu Kauf.)

Man bestimme sich auf das genaue, verbundenem demselben, wenn man I. XI. der neuen Folge des „Sirius“ zusammen stellen für jeden Jahrgang ein Band I. XI. des V. F. anfertigen etc.

Jede Park- und Buchhandlung werden folgende anzeigen:

Leipzig, Januar 1897

Verkehrung 1/1
Die Verlagshandlung
Herrl. Schöller.

Der Leser, welcher bestell. bei der Park- und Buchhandlung: a)

- 1) 1/1 Sirius, New Folge, Band I, II, III, IV, V, VI (Jahrgang 1873—79) wenn zusammen genommen nur 20 Mark. Ein die Band 1 Mark
1) 1/1 Sirius, New Folge, Band VII, VIII, IX, X (Jahrgang 1879—82) wenn zusammen genommen nur 20 Mark. Ein die Band 1 Mark
1) 1/1 Sirius, New Folge, Band XI, XII, XIII, XIV (Jahrgang 1883—86) wenn zusammen genommen nur 20 Mark. Ein die Band 1 Mark
1) 1/1 Sirius, New Folge, Band XV, XVI, XVII, XVIII (Jahrgang 1893—96) wenn zusammen genommen nur 20 Mark. Ein die Band 1 Mark
1) 1/1 Sirius, New Folge, Band XIX, XXIII (Jahrgang 1891—97) à 12 Mark
1) 1/1 Einband-Decke zu jedem Band I—XXIII à 75 Pfg.
1) 1/1 General-Register zu Band I—XI des neuen Folge à 1 Mark

Bei Stern und Tag

Verlag Leipzig



SIRIUS

Zeitschrift für populäre Astronomie

Herausgegeben unter Leitung von
Karl Scheller

Verlag von Carl Neumann, Neudamm
in Verbindung mit dem Verlag von
Karl Neumann, Neudamm

1890

10. Heft.



Leipzig 1890
Karl Scheller.



SIRIUS.

Zeitschrift für populäre Astronomie.

Zeitschrift für alle Freunde und Förderer der Himmelskunde.

Herausgegeben unter Mithilfe von

herrennagender Fachmännern und astronomischer Schriftsteller:

von Dr. HERMANN J. KLEIN in Köln a. Rhien.

Oktober 1918.

**„Wissen und Erleben“ und die Freunde und die
Herausgeber der „Sirius“.**

Im Inhalt: Die Verneinung der Schmittschen Sonnentheorie gegen Egon v. Oppolzer. S. 109. — Bedeutung der die Bildung des Sonnensystems. S. 121. — Untersuchungen über die Systeme der hellen Sterne. VIII. Die physikalischen Beziehungen auf dem astronomischen Grenzgebiet zu Fernstudien. Fortsetzung. S. 125. — Das Gravitationsfeld der Milchstraßenbahn. S. 127. — Der Pulsar (Neutronenstern) der Cassiopeja Gruppe im Sternsystem Mizar. S. 132. — Veränderliche Sterne. VIII. Die Variable δ im Sternsystem der Cassiopeja. S. 134. — Eine Spektralanalyse der Veränderlichen δ im Sternsystem Mizar. S. 135. — Photographische Aufnahmen der ganzen Milchstraßen mit der Messen. S. 137. — Die Beobachtungen von 1917. S. 137. — Über die neuen astronomischen Spektralanalyse. S. 137. — Literatur: Bild- und Informationsblätter, des Deutschen und Englischen. S. 139. — Antwort. S. 139. — Buchbesprechungen des Jahres 1917. S. 141. — Pflanzenbauwissenschaften. S. 141. — Buchbesprechungen über das Werk des Herrn Opp. S. 141. — Lage und Nutzen des Sonnensystems. S. 141. — Stellung der Astronomie in Deutschland. S. 141. — Pflanzenbauwissenschaften im November. S. 141. — Werk S. 141.

Zur Verteidigung der Schmittschen Sonnentheorie gegen Egon v. Oppolzer. 1)

Von A. Schmidt in Leipzig.

Die Bezeichnung „Schmittsche Sonnentheorie“ rührt von Dr. G. Knopf her, dessen Publikationsvermerk¹⁾ vom Jahr 1909 sich des Ausdrucks würdevoll bedient. Ob der Ausdruck gerechtfertigt ist, hängt von zwei Bedingungen ab, nämlich davon, ob das in Betrachtung stehende Theorem bei d. h. eine aus einem Grundprinzip abgeleitete Vorstellungswelt über das Wesen der an der Sonne beobachteten Erscheinungen, welche andere Vorstellungswelten über den Gegenstand als Berechtigung oder als Kr-

1) Vergl. Vierteljahrshefte der astron. Gesellschaft, Jahrg. 36, Heft. 1 u. 2, 1909.

2) Dr. G. Knopf, die Schmittsche Sonnentheorie und die Anwendung auf die Methode der spektralanalytischen Bestimmung der Rotationsdauer der Sonne. Jena 1909.

gleichung gegeben, fernere davon, ob die Theorie in der That den jetzigen zum vorangehenden Gegenstande hat, welchem der Ausdruck ein zuebrochen.

Was die erste Bedingung betrifft, so scheint kein Zweifel darüber zu bestehen, dass es sich um eine besondere Theorie handelt. Die Erklärung des sichtbaren Sonnensandes als Wirkung der Strahlenbrechung in einer gleichförmig von innen nach aussen an Dichte abnehmenden Gasmitte ohne jede physikalische Unmöglichkeit tritt als neue Hypothese des bisherigen Hypothesen über das Wesen der sogenannten Photosphäre entgegen. Diese suchen die Ursache des Sonnensandes in irgend einer Art von unstilligem Wechsel der physikalischen Beschaffenheit der äusseren Theile des Sonnenkörpers. Auch die Begründung der Theorie beruht auf einigen charakteristischen Eigenschaften und Sätzen, welche selbst soweit sie der Physik entlehnt sind, doch in dieser Theorie zum erstenmal auf die Sonne angewendet werden.

Als charakteristisch für die fragliche Sonnentheorie dürfen wohl folgende Hauptpunkte hervorgehoben sein: 1. Die Anwendung des Refraktionsgesetzes auf die Sonnenmitte, welcher ein mathematisches Lösungsverfahren angeschlossen wird. Dieses Gesetz wird nicht in der Form des Brechens, wie es und besonders in Form der Gleichung $\mu = n/r$, verwendet, wiewol r der Krümmungsradius eines Lichtstrahls, n die dem durchstrahlten Mittel charakteristische Lichtgeschwindigkeit in beliebiger Funktion des Mittels und n' das Mass der Veränderlichkeit der Rauminheiten n in Richtung des Normenvektors des Strahls bezeichnet. 2. Die Anwendung des aus dem Refraktionsgesetz abgeleiteten Satzes von der Sphärenvergrößerung auf die Sonne, also des Satzes $x = n \cdot r$, wiewol r den Radius eines von einer Atmosphäre umgebenen kugligen Himmelskörpers, n den mittleren Wert von n , den Brechungsindex der Atmosphäre an der Oberfläche der Kugel, x den scheinbaren Radius des von aussen gesehenen Himmelskörpers bezeichnet. 3. Die Unterscheidung von Himmelskörpern erster und zweiter Art, d. h. solcher, deren Atmosphären bei der Teilung in konzentrische Schichten um eine solche Schichten aufweisen, innerhalb deren horizontale Lichtstrahlen eine schwächeren Krümmung besitzen, als die betreffenden Atmosphärenschichten, und in solche, innerhalb welcher die horizontalen Strahlen der äusseren Atmosphärenschichten einer Beschleunigung des Seiten γ eine stärkere Krümmung besitzen, als die Schichten selbst. 4. Die Auffassung der Sonne als Himmelskörper zweiter Art, wiewol die in nahe einer mehr oder weniger hohen Schicht ihrer Atmosphäre vorhanden ist, welche im Bild des Sonnensandes vorzukommen. Dass 4 Punkte sind wohl die wesentlichen Bestandteile der Theorie, so sie sollen sich einige mehr oder weniger problematische Nebenbestandteile, nämlich 2., die Erklärung der Freibestehen, der Chromosphäre, der Fackeln, der Granulation und vielleicht der Sonnenflecke als Wirkungen der Refraktion zufolge geheimer Schichtenanordnung.

Wie weit ist es uns gerechtfertigt, die hiermit oder aus ähnlichen Theorien die Schmelze im nennen? Punkt 1., die Anwendung des Brechungsgesetzes auf die Sonnenmitte, findet sich schon bei verschiedenen Autoren, insbesondere hat sich Spörer eingehend damit befasst. Der Satz über die Strahlenkrümmung wurde zwar von Schmidt gefunden

und in besondrer elementarer Form und eigentlicher Form abgeleitet, aber, wie G. Wiesner ¹⁾ nachgewiesen hat, war er längst vor Schmidt auch von andern gefunden und bewiesen, von Grassert 1847 und von Seidel 1855. Sondern im der Satz für die Theorie nicht geschichtlich, denn Seeliger ²⁾ kommt nach ihm das Satz aus, indem er das populäre Gesetz der Totalreflexion zur selbstständigen Erklärung des Sonnenrandes verwendet. Für den Satz in Punkt 2 beansprucht Prof. Seeliger die Priorität, er sagt in einer Festschrift ³⁾ im Jahre 1891, als er von Schmidt nach nicht wusste „Die im vorigen ausgeführten höchst elementaren Überlegungen begründen die Ansichten, welche ich über diese Frage seit Jahren in meinen Vorlesungen auszusprechen pflege“, er geht im Jahre 1891 ⁴⁾ dann die genauere Erklärung, dass er erst dem Winter 1887—88 darauf hingewiesen habe, dass die in verschiedenen Teilen des Spektrums gemessenen Sonnenrandbreiten verschiedenen gross sein müssten, falls die Sonne von einer der Erdatmosphäre in Bezug auf Brechung ähnlichen Atmosphäre umgeben sei, dass die Messungen von Wolfmann, der eine anomale Dispersion der Sonnenstrahlung gefunden zu haben vermuthet, und von Arwers, der keine merkliche Dispersion fand, beständig Voraussetzung nicht benutzten „Zwischen“, so führt Herr Seeliger fort, „hätte ich die einfache Formel, welche hier in Betracht gezogen werden muss, aufgestellt und das Wesentliche der ganzen Frage in derjenigen Form, welche in dem genannten Aufsatze ankommt, in einer im Frühjahr 1891 an der hiesigen Universität gehaltenen Vorlesung behandelt. Demnach Sachverhalt in Kürze hervorzuheben, habe ich für angemessen, da sich meine Bemerkungen in mancher Beziehung mit dem Inhalt einer im Spätherbst 1891 erschienenen Schrift von Herrn Aug. Schmidt ⁵⁾ verhalten.“ Dem entsprechend enthält auch Herr v. Oppolzer in seiner Kritik der Schmidt'schen Sonnentheorie für die Aufleitung des Satzes von der Lichtbreitungsveränderung die Priorität Herrn Seeliger, der „die überhaupt einfache Formel“ „schon gefunden“ hatte. Für Punkt 3, die Unterbreitung der vertikalen Himmelskörper kommt nach Schmidt's eigener Bemerkung ⁶⁾ die Priorität dem Artikel Kammann ⁷⁾ vom Jahr 1866 zu, Punkt 4 fällt nach dem Anspruch Herrn Seeliger's in die Prioritätsangelegenheit von Punkt 2, insbesondere hat nach schon Herr Dr. Richter in der Zeitschrift Himmel und Erde ⁸⁾ behandelt die Erklärung des Mangels der Dispersion am Sonnenrande abgeprochen, ohne selbst privatim irgendwelchen Irrtum zu verbessern.

So stehen die Sachverhalte von Punkt 1) klar zu stehen, der mehr problematische Teil der Theorie, so erscheint entschieden geschichtlicher, die Theorie nach Seeliger zu kennen.

¹⁾ G. Wiesner, „Zur Ableitung geirradieter Lichtstrahlen“, Wien. Anz. 48 Seite 106. 1862

²⁾ Seeliger, „Satz über die Lichtbrechung in der Atmosphäre“ und „über die Einwirkung des Lichts in der Atmosphäre“ „Satz über + math. phys. Kl. d. k. h. Akad. d. W. zu München LXX. Seite 101 und Seite VII. 1891.

³⁾ Festschr. Seite 26.

⁴⁾ Seeliger, „Bemerkung über Seeliger'sche Vorlesungen“, Ann. Naturh. Mus. N. 111.

⁵⁾ Die Festschriftbeilage auf der Seite des „Mädler" 1891.

⁶⁾ Festschr. Seite 6.

⁷⁾ Sitzber. der Acad. d. Wiss. 1866.

⁸⁾ Monatschrift Himmel und Erde, Jahrg. IV. 1902. S. 117. Festschr.

Der Auffassung Herrn Seeligers verleihe ich mir nun, meine eigene gegenüberzustellen. Meine erste Aeußerung in Sachen der neuen Sonnen-
theorie erfuhr in einem Vortrage vom 12. Februar 1891, gehalten im
Festsaal der vaterländische Naturkunde in Würzburg, der Abdruck
des Vortrage in den Jahresheften des Vereins¹⁾ erfuhr Anfang
Mai 1891. Von dem von mir verbreiteten Sonderabzuge sticht auch
die Redaktion des Blattes ein Exemplar und diese erfuhr auch durch
desseu Abdruck²⁾ in dem vollkommener populär gehaltenen Vortrage
keine ich keine mathematische Formel benutzte, ich behrte aber (§. LXXXIII)
genug, dass sich die Sonne an derjenigen Himmelskürpere stelle, an
deren Oberfläche bestimmte Stellen stärker gebräunt seien, als die
Übrige sei, ich behrte aber dort den schätzbaren Sachverhalt der Erde
berühret, das sie vom Rand oder der Mitte aus zu bräunen scheint,
hervorhebend, dass eine gleiche Berücksichtigung der Strahlenbrechung
auf der Sonne schwere Konsequenzen, eine Ueberlegung in meinen Vor-
stellungen von der Sonne nach sich ziehen müsse, ich behrte dort die
Vergleichen Intensitätsmessungen des Lichts der Sonnenoberfläche, die je
nach der Wellenlänge dieses Lichts eine regelmäßige Abnahme der
Intensitätsmessungen von der Mitte nach dem Scheitelpunkte ergeben,
als Beweis für ein starkes Schichtenanordnen der Sonnenatmosphäre
empfiehlt und mir die vollste Ausführung meines Gedankens „für eine
andere Gelegenheit vorbehalten.“ Mit dieser letzten Auffassung habe
ich nicht geäußert. Für den 19. Mai 1891, des Pfingstsonntags, stand
nach Hartmann in Stuttgart eine Kreislehrerversammlung bevor, für
welche ich einen Vortrag über die Strahlenbrechung auf der Sonne an-
meldete. Auf Wunsch des betreffenden Schullehrers, Herrn Rektor
Dr. Böhlen von Reutlingen, legte ich diesem zum Zweck seiner voran-
gehenden Orientierung über die Sache mein vollständig ausgearbeitetes
druckfertiges Manuskript vor in der Hoffnung, der Aufsatz werde später
in den „wissenschaftlich naturwissenschaftlichen Mitteilungen von G. Böhlen“
aufnahme finden. Diese Vorlesung erfolgte Ende April oder Anfang
Mai 1891. Das Ausprobieren der Versammlung verfuhrte mich aber
bis zum 10. Juni, an welchem Tage als Termin für die Kreislehrer-
versammlung abweichend von der früheren Capitulartag der 29. Juni
bestimmt wurde. Während eines 6 Wochen war ich außer Reichs
meines Manuskriptes. Ein vermehrt kleiner Kreis wissenschaftlicher Kollegen
in Reutlingen hat damals vom Inhalte des Manuskriptes einige Kenntnisse
bekommen. Am Versammlungstage fand der Vortrag statt, ein Antrag
aus dem Manuskript, über welchen einige kürzere Referate in den
Tagesheften³⁾ erschienen. Die Nummer 150 des Monatshefters für
Würzburg vom 2. Juli gibt den Wortlaut der 2 Thesen wieder
mit dem Schluss meiner späteren Abhandlung. In eine Einleitung zur
Veröffentlichung in den math-naturw. Mitteilungen an mich nicht er-

¹⁾ V. A. Seeliger, „Was folgt aus den neuesten Beobachtungen der Apselation der Sonne?“ Jahreshefte des Vereins für vaterl. Naturk. in Würz. 61. Jahrg. 1891. Seite LXXVII

²⁾ Seite 58, Seite 129—179, 1891.

³⁾ Der Bericht im Correspondenzblatt für die Gelehrten und Kunstschüler in Würzburg, 48. S. 412, 1891, dass die Grundzüge meiner Theorie unvollständig erschienen.

folgte, so beschloss ich die schätzbare Herausgabe der Arbeit, die Ende Oktober erschien und damit noch einem Vortrag von einer Woche vor der am 7. November erfolgten Sitzung der k. b. Akademie in München hatte, so wieder die Mitteilung der hochgeachteten Akademie stattfand. Von diesem Anstöße erhob ich zum erstenmal im Sommer 1860 durch die oben erwähnte Besprechung Dr. Hartmann, ich konnte noch einige Zeit darauf warten, bis der betreffende Band der Sitzungsberichte auf der Stuttgarter Staatsbibliothek antraf.

Da, wie ich durch briefliche Mitteilung des Herrn v. Oppolzer erfuhr, — ich schickte dem Herrn nicht den illustrierten Vorwurf inkonsequenter Verhältnisse machen —, Herr Prof. Seeliger seinen Schülern die Formel von der biquadrantenapproximation wahrscheinlich Anfang Juni 1861 zum erstenmale vortrug, so liegt Maria eine Priorität der Veröffentlichung dieser Formel gegenüber meiner im Oktober erschienenen Schrift. Da aber Herr Professor Seeliger vorzugsweise dieses reinlichlichen Verhältnisses zu der Vortragsschrift der astronomischen Gesellschaft die Mitverantwortlichkeit der Darstellungswesen seines Schülers anführt und da Herr Seeliger die von O. Wiener im Wiedemanns Annalen 1863 gegebene Zusammenstellung meiner Refraktionsstellen wohl bekannt war, so muss ich mit Rücksicht auf meinen Vortrag vom 12. Februar 1860 gegen den Ausdruck „ohne gefunden“ protestieren. Dieser Vortrag (gleichzeitig der Refrakte über meinen Vortrag vom 23. Juni) enthält zwar nicht den Beweis des Satzes, aber den Beweis für den Heilth des Satzes „auch gefunden“, wäre der nachkommende Ausdruck gewesen für den Gedanken, dass Herr Seeliger ohne Kenntnis von meiner ersten Veröffentlichung oder gar von mir selbst nur einem oder einigen wenigen Herren bekanntes Manuskript auf seinem Wege die Formel gefunden hat. Ich bin mir wohl bewusst, für dieses besondere Weg die Priorität zu Anspruch zu machen, nämlich für die Bezugnahme auf die Wellmann'schen und Annalen'schen Messungen der Sonnenstrahlbrechungen mit Helligkeitsveränderungen Farbe. Diese Messungen würden mir erst etwa im Monat September bekannt, als ich nach den auf mein Thema Bezug habenden Artikeln der Sitzungsberichte der astronomischen Nachrichten nach ansah. —

Das ist meine Auffassung der Sache, welche ich dingehend darzulegen genötigt war, wenn ich der Gerechtigkeit hegehoren wollte, dass in kurzen die Herleitung „Schmidt'sche Sonnentheorie“ als unzutreffend durch die Herleitung „Seeliger'sche Sonnentheorie“ ersetzt werde. Was würde wohl der wahre Grund für ein Urteil fallen, wenn Herr Seeliger und ich als Mütter desselben Kindes vor ihn traten und ich dem Könige für von Oppolzer'sche Kritik vorlegte, gegen welche ich mich nun endlich zu wenden habe, eine Kritik, die nichts anderes ist, als ein Versuch, das sträfliche Kind in der Krippe des Herrn Seeliger, unter dessen Aufsicht, abzuschneiden? Ich will diesem Verfahren nicht willig anstehen.

Indessen ist es wohl meine Absicht, die Erwiedungen der Oppolzer'schen Kritik Punkt für Punkt zu widerlegen. Dieser Kritik lag bei ihrer Abfassung meine Abhandlung vom Mai 1870-3 noch

*) Erklärung der Sonnenstrahlbrechungen als Wellenphänomene in einer kontinuierlichen Atmosphäre der Sonne, Berlin, Neue Folge der Abhandl. d. Berl. A. d. W.

nicht vor, da hätte zuerst auf mehrere vor dieser Abhandlung nicht ganz unberechtigte Einwände verweisen müssen. Die Nichtberücksichtigung einiger anderer Einwände ist zu offenkundig, als dass sie umgehend widerlegt werden müssten. Wenn z. B. das Bedürfnis einer neuen Erklärung der Protuberanzen prägnant wird mit den Worten (S. 34): „Es genügt wohl eine unbefangene Betrachtung der Protuberanzen, die sagt, dass diese röhre, von der Sonne herabstehende Gebilde sind, es hätte auch sonst nie der Vergleich mit Springbrunnen oder aufsteigenden Strahlen entstehen können“, so bräube ich dem vor das Lindl einen der kühnsten Protuberanzforscher, des Direktors der Sternwarte zu Kolozsvar in Ungarn, J. Fényi, gegenüberzustellen.¹⁾ Derselbe sagt, ohne Erwähnung zu seiner Sonnentheorie, folgenden Satzes aus einer bestimmten Beobachtungserföhrung: „Die Gestaltänderungen selbständiger Protuberanzen.“ Auch diese negative Erkenntnis hat seine Bedeutung. Wie finden darin eines Beweise, dass es unstatthaft sei, die Protuberanzen einfach als vom Sonnenkörper ausgehende Massen zu betrachten, die, um es durch diese Art Explosion oder auch durch den Ausfluss aus ungeheuren Tiefen des Sonnenkörpers gewisse Geschwindigkeiten erreicht haben, sodass von der Oberfläche der Sonne aus so lange nachfolgend, bis durch die Schwerkraft der Sonne ihre lebendige Kraft erschöpft ist.“ Ebenso unstatthaft wäre auch die Angabe elektrischer Abstoerung. Derselbe müsste eine nach aufwärts beschleunigte Bewegung hervorbringen; auch diese ist in einiger Maaßgröße nicht ungesprochen. Ähnliche Schwierigkeiten enthalten jene Erleuterungsversuche, die sich auf das Ausströmen der heissen Gasen stützen.²⁾ Solche Urtheile eines der erfahrensten Beobachter, der noch im Abwägen der Hypothesen zur Erklärung begriffen ist, sind viel höher anzuschlagen, als sowohl meine theoretischen Folgerungen, sowohl auch auf dem Boden des strengsten physikalischen Gesetzes stehen, als auch die Ausführungen von Oppolzer's, der schon frühzeitig für eine bestimmte Sonnentheorie Partei genommen, hauptsächlich seine eigene Theorie³⁾ gebildet hat. Dieser Theorie würde beiläufig er die Kritik der heutigen mit den Säuren. „Es fehlt der Schmidt'schen Hypothese die Grundbedingung, die man an jede benachbarte Hypothese stellen darf, die Thatsachen auf die einfachste Weise zu erklären. Es kann auch nie vor als eine der fortwährenden Thatsachen der Sternphysik angesehen werden, dass der Sonnenrand (die Photosphäre) von einer Wolkenhülle gebildet wird, die in den höheren Regionen der Sonnenatmosphäre wehrt — als solche haben wir die von nachgehobenen Schichten der Sonnenatmosphäre aufzufassen — und diesen Umlauf, das aus tieferen Schichten entstammend, vollständig abzuschneiden. Von diesem Gesichtspunkt aus ergeben sich keine prinzipiellen Schwierigkeiten bei der Erklärung der Kometenwege.“

Der Hauptmangel, welchen der Herr Kritiker gegen die Schmidt'sche Sonnentheorie erhebt und mit welchem er gegen Herrn O. Knopf des Vorwurfs verfährt, dass derselbe mit der Logikstar der Sonnenphysik nicht genügend vertraut zu sein scheint, ist der die Schmidt'sche

¹⁾ Publikation des Magyar-Astronomischen 71. Heft S. 16. 1892.

²⁾ Vgl. Oppolzer's „Die Theorien der Sonnenstrahlen“ München Wien. Abth. 20. 21., Abth. 22. S. 211. 1872.

Theorie erfordert eine Dichte der Gase am Sonnenrande, die hier 25-mal so groß ist als die von unserem Sonnenphysiker angenommen. Der Verfasser stellt dabei eine Berechnung dieser von der Schwindlichen Theorie erforderten Dichte an, er findet unter Voraussetzung einer Temperatur von Wasserstoff 1000° und unter der Annahme von Wasserstoffgas, dass diese Dichte etwa $1\frac{1}{2}$ mal so groß sein müsse, als diejenige des Wasserstoffs von 0° bei 1 Atmosphäre Druck. Die Berechnung stimmt vollkommen mit dem Resultate, welches ich selbst S. 23 unserer Schrift berechnet und zu etwa dem 3. Teil der Dichte unserer Luft angegeben habe. Trotz dieser Übereinstimmung übersteigt aus oben Herr v. Oppolzer einen wesentlichen Unterschied. Mir war es darum zu thun, die Gasdichte im Gebiete der kritischen Sphäre zu finden, dem die Gasdichte am Orte des Sonnenrandes zu ertheilen. Nun ist die kritische Sphäre selbst auch noch einer kleinen Sphärenvergrößerung unterworfen und infolge davon fällt ihr aus dem Bild des Sonnenrandes etwas höher, als diese Sphäre in Wirklichkeit sich befindet. Es ist dies von Herrn v. Oppolzer übersehen. Eigenständigkeit der Schwindlichen Sonnenlehre, dass als für den Ort des sichtbaren Sonnenrandes, — gleichgültig, welche Temperatur und welches Gas man annehmen mag — genau die Gasdichte Null ergibt, so lange man ihr das kleine Gebiet zwischen der kritischen Sphäre und dem Ort ihres Bildes die erste Derivirte r' der Function r konstant setzt. Erst die Einführung eines negativen Wertes der zweiten Derivirten lässt ihr jenen Ort noch irgend eine Gasdichte als möglich erscheinen.

Sehen wir an, ob sich für die Wellenhypothese die gleiche günstige Resultat ergibt.

Eines der ersten Probleme, das einem Jünger der Meteorologie begegnet, ist in der Frage enthalten: Warum fallen die Wolken nicht vom Himmel?

Was ist es denn, das die Wolken den Herrn Duktus trägt, wodurch werden bei der grossen Beschleunigung der Schwere an der Sonnenoberfläche die Tropfen, welche doch wohl ein Mittel bestehen, im Falle gekannt, aus welchen gewöhnlichen Wasserdämpfen entstehen sie sich ständig? Herr v. Oppolzer verlangt eine 1000 mal geringere Gasdichte an der oberen Grenze der Wellenhecke, als der 3. Teil der Dichte unserer Luft an der Erdoberfläche beträgt. Nehmen wir auf seine Verantwortung die Möglichkeit an, dass diese noch Niederwellige schwächen. Er versuche nun aber auch den Barometertypus derjenige Dichte zu berechnen, welche sich nach dem dempferfähigen Gasdichte an derjenigen oberen Stelle befinde, wofür seine Theorie den Ort der kritischen Sphäre verlangt. Seine Theorie wird notwendig für jenen Ort eine viel höhere Dichte ergehen, als die meiste, die zu der Ansicht sagt, dass ein specifisch viel leichteres Gas als Wasserstoff von nicht geringen specifischen Erweichungspunkten kritischen Gebiete der Hauptreihe spiele und dass Wasserstoff und Metalle vor ausschliesslich geringe Bestandtheile dieses Hauptbestandtheils bilden.

Insbesondere aber wird diese Berechnung zeigen, dass in sehr geringer Tiefe unterhalb der angenommenen Wellengrenze sich notwendig die Hebelstütze einer kritischen Sphäre befindet, durch welche aus dem Bild des Sonnenrandes an derselben Stelle entstehen müsste,

wo es durch die Metallwolken schon entstanden ist. Diese Wolken sind also der rechte Locus, welches andere als der Ausdruck einer unentwickelten Veranschaulichung des unentwickelten Erlebensgeistes.

Ganz dieselbe Veranschaulichung der Hypothese treffen die Anhänger der Wolkenhypothese mit der Grenzlinie und mit den Fackeln. Es ist doch unmöglich, sich vorzustellen, die durchsichtige Umhüllung des Sonnenkorns sei im ungestörten Gleichgewicht der Dichte und des Brechungsvermögens. Einmal Teile dieser durchsichtigen Hülle werden stärker gedrängt, andere dünner gedrängte Strahlen zu unserem Auge senden, die einen in mehr paralleler oder konvergenter, andere mehr in divergenter Richtung. Daraus entstehen Unterschiede der Helligkeit der Sonnenfläche, welche uns das Bild der am Schichtenwechsel veränderlichen Grenzlinien erzeugen können, auch wenn diese Schichten aus relativem durchsichtigem Gas ohne jede Niederschläge bestehen. Stärker brechende gelbweisse Gebiete langherer Erstreckung können für jede Gruppe parallel in sie von unten her einströmender Strahlen über sich eine Art Brannlinie ausgeben. Solche Brannlinienüberbel, zusammengetragen aus den Beobachtungen der verschiedensten Beobachtungen geben uns das Bild beschleunigender Lichtstrahlen, der Fackeln. Wir können nicht verstehen, dass mindestens am Teil derjenigen Erscheinungen, die man mit dem Namen Grenzlinien und Fackeln bezeichnet, Wirkungen der Brechung sind. Warum wollen wir aber Not für den Rest dieser Erscheinungen aus anderer Erklärung suchen? Warum ich glaube, dass für die Sonnenoberfläche die Erklärung durch Refraktion unannehmbar ist, habe ich Seite 25 meiner „Strahlbrechung auf der Sonne“ behauptet. Aber eine gewisse Rolle im Bilde der Flächen spielt die Refraktion jedenfalls nicht.

Und zum drittenmal treffe man solche Hypothesenveranschaulichung, wenn man den Ursprung des Lichtes der Protuberanzen dahin verlegt, wo das uns ercheinende. Wenn es jenseit Orten wirklich Gase auftritt, die in der Dagebung jenseit Orten nicht sind, so sind ja dadurch Wechsel der Funktion = befragt, welche mindestens in einem Teil der Fälle Chromosphärenlicht durch Refraktion zu unserem Auge senden können. Meine Abhandlung im Maßstab des Strahls lässt das zweifelhafte ercheinende auch bei sehr kleinem Beträgen der Funktion =. Also ist das Protuberanzenlicht wenigstens teilweise gasoptisches Chromosphärenlicht. Wenn für den anderen Teil des Protuberanzenlichtes eine neue Hypothese, solange dieselbe Erklärung auch für den Rest genügt? Dass es Fälle geben werde, wo die Erklärung nicht genügt, beweise ich nicht. Die grosse Mehrheit der Erscheinungen aber wird erklärlich durch den Anschluss an eine nicht von mir und nicht zum Zweck der Erklärung der Protuberanzen entstandene Hypothese, die Hypothese einer gasförmigen Beschaffenheit der Sonnenkorne.

Trotz dieser drei Verweise gegen die bekannte Definition des Begriffs Wissenschaft als (Kernsatz des Denkens sagt Herr v. Oppolzer: „Es fehlt der Schmidt'schen Hypothese die Grundbedingung, die man an jede berechnigte Hypothese stellen darf, die Tatsachen auf die einfachste Weise zu erklären.“

Die Bestätigung meiner Theorie gegenüber andern Theorien fand ich nur als die sicherste bessere ersehenen. Den positiven Beweis ihrer Richtigkeit sehe ich vor allem in der Thatsache des Sonnenrandes, in der kausalfreie Grenzfläche zwischen zwei verschiedenen Lichtgebieten. Wäre die Sonne ein Himmelskörper erster Art, so müßte die Chromosphäre wenigstens in ihrem obersten Schichten von unangeflogenen weissen Protuberanzen erfüllt sein, der scharfe Rand der weissen Scheibe wäre vermehrt. Das Fehlen dieser weissen Protuberanzen beweist, dass jede kleine Erhöhung des normalen Brechungsvermögens in jener Gegend nur Schillern erzeugt, deren gross¹⁾ Reflexion das total reflektirte Licht nicht nach aussen, sondern nach dem Innern der Sonne ablenkt. Jeua Schillern an der Basis der Chromosphäre zeigen uns das weisse Sonnenlicht nur, soweit sie es unter kleiner Reflexion durchlassen und tragen in ständiger Weise zur Schärfe des Sonnenrandes bei, wie eine ferne Himmelslinie die Grenze zwischen Himmel und Erde scharfer erscheinen lässt, als eine nachlässige Ebene. Das Verhalten dieser Schillern beweist, dass der Sonnenrand der ist, auf welchen nach seiner Steigung Schillern folgen, in welchen normaler Weiss, ohne Selbstreflexion, horizontale Strahlen stärker gestreut wird, als die Atmosphärenschichten. Der scharfe Rand der weissen Scheibe beweist, dass die Sonne ein Himmelskörper zweiter Art ist.

Auf dieser sicheren Grundlage sind nun aber noch viele mannigfaltige andere Annahmen möglich. Wie wichtig ist die Beobachtung, welche sich in der Randbeobachtung verbirgt? Ich habe mir beispielsweise nach einer sehr weit vorgeschrittenen Analogie des Sonnenkörpers eine innere Hölle gleich derjenigen der ihm nächsten Planeten gedacht, ich habe gedacht, nicht von einem Gestein, sondern von einer „Kugel“ über die Höhe der Protuberanzen, über diese Zusammenhang dieser Höhe mit der Tiefe des Ursprungs ihres Lichtes eine klare Durchsichtigkeit des inneren Sonnenkörpers bis zu sehr beträchtlichen Graden angenommen. Ich habe damit hervorst ein gewisses Extrem unserer möglichen Vorstellungen gezeichnet. Die „Kugel“ handelt nicht streng. Schon die Marische Kugel über die Höhe der Luftausfaltungen voll sehr bedeutende Überschreitungen erfahren. Meine Kugel hat die horizontale Lagerung der Schilfern zur Voraussetzung. Ein der Schwere zum entgegenes Gas, wie die Schichten der Korona, ist von der Kugel in sehr bedeutendem Masse unempfangt, räumlich und die metallischen Protuberanzen im allgemeinen bedeutend höher, als die Wasserstoffprotuberanzen. Aber als stark verzerre aufrichte Hügel von Aussehen der Chromosphäre zeigen andere das Licht der tiefsten Schichten in ihren unteren Theilen. Das steht im Widerspruch mit der Kugel und deutet auf die Durchsicht durch Schillern, welche die Voraussetzung der Kugel nicht entsprechen. Je weniger die Analogie und die zweifelhafte Kugel finden, um so grösser ist der Spielraum der Annahmen. Die Fortschritte der Beobachtung, die bessere physikalische Einsicht in den Zusammenhang der Absorption und Emission mit dem chemisch-physikalischen Zustande der Gase werden wohl in der Zukunft den Spielraum beschränken. War will heute zwischen den Hölle

¹⁾ Vergl. Satz 2 auf Seite 261 von Stern, Bd. 1183.

Schichten, welche das weiße Sonnenlicht ausstrahlen, und das höhere, welche die Absorption erzeugen, die Mächtigkeit der Zwischenschicht bestimmen, in welcher Entfernung und Absorption annehmend sich das Gleichgewicht halten? Mag sich also jeder eine seiner wissenschaftlichen Ansichten entsprechende Kurve der x zeichnen, die von der Figur 5 meiner Schrift mehr oder weniger abweicht. Mag jeder die Grenze der Durchdringbarkeit in der ihm passende Tiefe unter der kritischen Spitze verlegen, der Schärfe des Randes that das (ausgesagt der Ansicht Herr v. Oppolzer auf Seite 33) keinen Eintrag. Die vor-
Sätze Hypothese von einer die Sonne begrenzenden Wolkenhülle hat das Vortheil, das Wesentliche der Schmitt'schen Sonnentheorie, die optische Erklärung des Sonnensandes in noch einfacherer Hinsichtlichkeit erschließen zu lassen.

Bemerkung über die Rotation des Saturnringes.

(Ann. Chem. Nr. 1852.)

Vor kurzem ist es einem der ausgezeichnetsten Spektroskopiker Herrn J. E. Kœcher gelungen¹⁾, auf spektroskopischem Wege nicht nur die durch die Rotation des Saturnringes entstehenden Verschiebungen der Spektrallinien zu konstatieren, sondern auchhin mit welcher Genauigkeit zu messen, dass mit unerschütterlicher Sicherheit die Verschiebung in der Rotationsgeschwindigkeit der äther oder weiter vom Saturnzentrum stehenden Teile des Ringes konstatirt werden konnte. Es ergibt sich ferner, dass die Messungen vollkommen der Annahme entsprechen, nach welcher die Winkelgeschwindigkeit jedes Ringtheilchens ebenso gross ist, wie die eines in gleicher Entfernung im Kreisstromer (denn insbesondere Saturn) wäre. Das ist unter allen Umständen ein interessantes Resultat, das gleichwohl Zeugnis ablegt ebenso für die Fruchtbarkeit der spektroskopischen Methode, wie für die unermessliche Geschicklichkeit des Beobachters. Indessen wird man die Bedeutung der Kœcher'schen Beobachtung für die Erkennung der Konstitution des Saturnringes doch etwas eingeschränkt wissen und wenn Herr Kœcher den gewöhnlichen Aufsatz als „proof of the meteoric constitution of Saturn's rings“ bezeichnet und weiterhin die Behauptung auspricht, „it is the first direct proof of the correctness of the accepted (Maxwell's) hypothesis“, so kann ich dem nicht zustimmen. Das Resultat der spektroskopischen Beobachtung sagt uns aus, dass der Saturnring nicht aus irgend kompakter Masse sein kann und auch nicht als eine einzige Gleichgewichtslager flüssiger Masse betrachtet werden darf. Was nun auch über Frage der direkten Bestätigung dieser Thatsache sehr wertvoll ist, so kann insbesondere doch hervorgehoben werden, dass hinsichtlich der die Unrichtigkeit einer Ansicht bezeugt wird, die wohl kaum jemand ernstlich vertreten hat, nachdem die Cassini'sche und Kecke'sche Trennungstheorie verfallen und nachdem die verschiedenen bis auf Lagrange zurückreichenden Untersuchungen über die mechanische Unmöglichkeit solcher Systeme ausgeführt worden sind. Das von Herrn Kœcher angeführten Messungen lassen sich auch, ebenso gut wie mit der Maxwell-Herz'schen Hypothese, mit der Annahme mehrerer konzentrischer Saturnringe verknüpfen, von denen jeder nach dem erwähnten Gesetze rotirt. Bei dem Lagerwürdig er-

¹⁾ Astrophys. Journal 4, pag. 416 ff.

reicheren oder wenigstens unrichtigen Grad der Genauigkeit der Messungen, bracht die Anzahl dieser Ringe nicht einmal sehr gross zu sein. Dass diese Ringe nicht bestimmten Klößen, vielmehr zu unendlichen Mannigfaltigkeit aufsteigen sind, darüber gibt die angestellte Messung keine Auskunft und kann in dieser Hinsicht auch gar nichts aussagen. Schon Laplace¹⁾ hat angenommen, der Saturnring bestehe aus einer grossen Anzahl konzentrischer Ringe. Er glaubte, nach seiner Meinung mit Vortheil, jedenfalls ohne den Beweis hierfür zu erfordern, die erforderliche Bestimmt eines solchen Systems in dem Umfange zu finden, dass diese einzelnen festen Gebilde sehr zahlreich waren. Diese Laplace'sche, längst verlassen, Annahme würde aber den Kepler'schen Beobachtungen ebenfalls vollkommen entsprechen. Desgleichen würden sich diese in jeder Hinsicht mit der ebenfalls von Laplace und nach ihm von vielen andern Seiten weiter verfolgte Annahme vereinigen lassen, dass der Saturnring aus vielen Ringen starrer Materie bestehe, welche sich als ungestaltete aber in diesem Falle jedenfalls unzerstörte Gesteinsstückchen darstellen, dass diese Ringe müssten, wie Laplace gemeint hat, dasselbe Rotationsgeschwindigkeit aufweisen, wie von der Beobachtungen an denen. Später hat Hurst²⁾ die Festigkeit eines solchen zusammengesetzten Saturnrings untersucht und ist zu dem Resultate gelangt, dass eine solche Konstitution voraussetzen aus zulässig ist, wenn man eine größere Anzahl konzentrischer und von einander getrennter Ringe annimmt. Eine Entscheidung über die Richtigkeit einer oder keiner dieser verschiedenen Hypothesen kann die Beobachtung des Herrn Keeler ebensowenig bringen, wie über die Wahrheit der Maxwell-Hirschel'schen Annahme. Über den Stand der zum Teil sehr schwierigen und daher in stufenförmiger Weise nicht darweg besatzbaren Frage über die Beschaffenheit der verschiedenen zusammengesetzten Systeme habe ich mich ausführlich in zwei Abhandlungen ausgesprochen³⁾, auf welche ich hier wohl verweisen darf. Was die direkten Beobachtungen betrifft, welche mit grosser, um nicht zu sagen mit übermüht, Beobachtung im Geiste der Maxwell-Hirschel'schen Hypothesen sprechen und welche durch eine andere Hypothese kaum zu erklären sein dürften, so habe ich das Hauptstückchen in der zuerst genannten Abhandlung und in einer (früheren⁴⁾) ausführlich auseinandergesetzt. Die damals ausgesprochene Meinung, die von Herrn G. Müller in Potsdam beobachteten und von mir theilweise erklärt und auch graphisch dargestellten sehr bedeutenden Variationen in der Helligkeit des Saturnrings, seien der erste und sehr gut begründete direkte Beweis für die Richtigkeit der Maxwell-Hirschel'schen Annahme, dürfe auch durch die an sich gewisse Linsen der westlichen und orientalischen Beobachtungen des Herrn Keeler nicht blutig geworden sein.

München, 1868, Mai 17.

H. Seeligen.

¹⁾ Méé. p. l'Acad. III, Chap. VI.

²⁾ Memoirs sur les variations d'éclat etc. Paris 1845.

³⁾ Theorie der Beleuchtung zusammengesetzter Systeme. Abhandlungen der Münchener Akademie. Band XVI, 1866 — Maxwell's und Hurst's Beobachtungen über die Konstitution des Saturnrings. Mittheilungen der Münchener Akademie. 1867.

⁴⁾ Zur Theorie der Beleuchtung der grossen Planeten, insbesondere des Saturn. Abhandlungen der Münchener Akademie, Band XVI, 1867.

Untersuchungen über die Spektre der hellen Sterne nach den photographischen Aufnahmen auf dem astrophysikalischen Observatorium zu Potsdam.

(Fortsetzung.)

Prof Scheiner giebt von einer genau Besprechung der Spektre der einzelnen Merker gekörnten Sterne. Aus derselben möge folgendes hier hervorgehoben werden:

• *Ursae majoris*. Das Spektrum zeigt eine sehr kräftige und verschiedene Linie der Wellenlänge 441,073. Sie ist identisch mit der in allen Orionsternen auftretenden und wird deshalb kurz als Orionlinie bezeichnet.

• *Loculi*. Bei Wellenlänge 426,0 ist eine Linie, die den Eindruck einer kalten Linie macht, die in dieser dunkler ausfällt. Eine genauere Verfolgung des Spektrums mit möglichst kräftigen Hilfsmitteln ist angezeigt.

• *Agulæ*. Das Spektrum zeigt den Eindruck einer stark abgemilderten Sonnenspektrens. Prof. Scheiner bemerkt dazu: „Eine Erklärung für dieses eigenartige Spektrum kann in zweierlei Richtung gegeben werden. Einzel kann man sich vorstellen, dass infolge starker Abkühlung und Verdichtung in der Konzentration des Sternens bereits stumps Ähnlichkeit mit der Sonne eingetreten ist, und zwar so, dass nicht allmählich einzelne besondere hervorragende Metalllinien auftreten sind, sondern dass die absorbierende Atmosphäre auch gleich in ihrer Zusammensetzung Ähnlichkeit mit derjenigen auf der Sonne hat. Es besteht hierbei noch eine sehr mächtige Wasserstoffatmosphäre, die auch noch große Mengen von Magnesiumdampf enthält.“ • *Agulæ* würde dann einen vorübergehenden Beweis für den allmählichen Übergang der ersten Spektralklasse in die zweite bilden, und somit würde eine sehr wichtige Stütze für die physikalische Bedeutung der Klasseneinteilung gewonnen sein.

Eine zweite Erklärung des Spektrums von • *Agulæ* würde die sein, das Spektrum als aus zwei übereinander gelagerten Komponenten besteht zu betrachten, als eine optische Superposition eines Spektrums der ersten Klasse durch ein solches der zweiten. Vor einigen Jahren würde eine derartige Erklärung kaum machbar gewesen sein, heute, nachdem bereits mehrere sehr gute Doppelsternsysteme bekannt sind, liegt kein Bedenken vor, • *Agulæ* als einen Doppelstern zu betrachten, dessen eine Komponente ein Stern der ersten, dessen andere Komponente ein Stern der zweiten Spektralklasse ist. Ein Umstand macht nur diese Erklärung sogar noch wahrscheinlicher als die andere, nämlich das Vorhandensein der breiten Mg-Linie bei λ 448 μ . Es ist nicht sehr wahrscheinlich, dass die Mg-Linie so sehr stark pigmentirt das andere Linien in einem Spektrum der zweiten Klasse hervorhebt, weswegen erstere bei weiterer Vergrößerung doppelt so stark als letztere plausibel sein, die starke Mg-Linie in das Spektrum der ersten Klasse der einen Komponente zu versetzen, wo ihr Fehlen auffälliger als ihr Vorhandensein sein würde.

Dieses ist in Bezug auf die Linienverschiebung sehr gut übereinstimmendes Aufnehmen von α Aquilae geben keinen Stützpunkt für die Hypothese einer Doppelsternnatur, doch dürfte es nach Umständen, das Stern in dieser Beziehung nicht aus dem Auge zu verlieren.²⁾

γ Cassiopejae. Die Ähnlichkeit mit α Aquilae erstreckt sich auch auf das Auftreten der Mg-Linie, und es wird deshalb für γ Cassiopejae dieselben Betrachtungen massgebend wie bei α Aquilae. Auch hier ist eine weitere Verfolgung des Spektrums zur Ermittelung strenger Veränderung der Linienverschiebung angezeigt.

α Canis majoris. Das Spektrum enthält eine grosse Anzahl scharfer, meist schwacher Linien, von denen Schuster 50 nennen konnte. Unter diesen sind 14 mit Kugelfisken zu identifizieren, was auch die direkten Aufnahmen des Sternspektrums mit dem Sonnenspektrum bestätigen. Von den übrigen Metallen treten wieder Magnesium und Barium durch die Stärke ihrer Linien hervor. Die Abweichungen der Intensitäten der Eisenlinien gegen diejenigen in der Sonne sind sehr auffallend.

α Canis minoris. „Das Spektrum ist ein Übergang zwischen Ia und IIa. Die Wasserstofflinien sind etwas heller und vermehrter als im Sonnenspektrum, erscheinen jedoch nicht so stark als bei α Canis in irgend einem anderen Sterne des Typus Ia. Im übrigen trägt das Spektrum eine ganz ausserordentliche Ähnlichkeit mit dem Sonnenspektrum, nur sind alle Linien viel schwächer als in letzterem, so dass bei kräftig exponierten Aufnahmen nur die stärksten Linien sichtbar bleiben. Besondere Abweichungen vom Sonnenspektrum können nur wenig vor. Man erhält den Eindruck des Procyonenspektrums zusammen, wenn man im Sonnenspektrum durch eine angelegentlich Glimmplatte betrachtet. Mit Sicherheit kräftiger als in der Sonne erscheint die Mg-Linie bei λ 4481 $\mu\mu$, und auch dies sagt an, dass der Stern noch Anklang an die Klasse Ia hat.“ Nach dem ganzen Charakter des Spektrums schenkt Prof. Schuster die Möglichkeit einer Erklärung (Fickertag) des Spektrums wie bei α Aquilae durch die Superposition zweier Spektren von ersten und zweiten Typus gützlich ausgedrückt, vor allem nämlich dass die Mg-Linie, wenn auch stark aufgehellt, so doch viel breiter erscheinen. α Canis minoris ist übrigens schon sehr merklich gelb gefärbt und bildet auch in dieser Beziehung einen Übergang zu IIa.

Die Spektralklasse IIa ist nach Ansicht der Potsdamer Aufnahmen im charakteristischen, als Spektrum enthalten, in denen die Wasserstofflinien und die wenigen Metalllinien alle von nahezu gleicher Breite und Begrenzung erscheinen. In Bezug auf ihre Breite stehen die Linien etwa in der Mitte zwischen denen der Klasse Ia und IIa. Die Begrenzung der Linien ist im Aufwachen ihrer Breite eine ganz auffallend scharfe, dabei ist aber ihre Intensität sehr verschieden, manche sind nur schwach mark und kaum erkennbar, andere sehr kräftig und dunkel. Eine Erklärung der scharfen Begrenzung trotz ungleicher Breite wird von Prof. Schuster ähnlich wie für die Typen der Wasserstofflinien der Klasse Ia gegeben.

Von den Spektren heller gelblicher Sterne ist zu erwähnen α Cygni, bei dem die Ca-Linien fehlen und welches eines der interessantesten Spektren ist, da es Potassium untersucht worden. γ Cassio-

gehen. In dem Spektrum ist außer der heißen Hy-Linie nichts anderes zu erkennen. Dasselbe erscheint in dem sehr schwachen Spektrum als charakteristischer Resten von unvollständiger Heße, jedoch nicht ganz so breit, wie die dunklen Linien der Klasse Ia. Auf beiden Aufnahmen ist sehr deutlich zu erkennen, dass die heiße Linie nicht in gleichmäßigem Abstieg vom kontinuierlichen Spektrum aus beginnt, sondern dass die Intensität des letzteren an den Rändern der Linie zuerst nachläßt. Daraus ist anzunehmen, dass die Wasserstoffatmosphäre von γ Cassiopejae eine sehr beträchtliche Ausdehnung gegenüber derjenigen der eigentlichen Kerne besitzt; dass die Breite der heißen Linien geringer ist als diejenige der Absorptionen, rührt daher, dass die Dichtigkeit der äußeren Teile der Atmosphäre, welche die weitestgehende Fläche bilden, viel geringer ist, als diejenige der inneren Teile von geringerer Fläche.

Auch bei γ Cassiopejae könnte man die Verhinderung eines Doppelspektrums vermuten, herrührend von zwei eng zusammenstehenden Sternen, wovon einer der Klasse Ia angehöre würde, während der andere heiße Linien zeigte, ähnlich wie dies bei β Lyrae der Fall zu sein scheint. Für die eine Komponente des Systems, deren Spektrum die heiße Linie enthält, bliebe aber doch immer wieder die Notwendigkeit einer Erklärung übrig, wenn man nicht annehmen will, dass das Spektrum dieser Komponente nicht kontinuierlich ist, sondern aus zwei heißen Linien besteht, dass also diese Komponente überhaupt keine Stern ist. Es mag sich zur Zeit nichts Bestimmtes über diesen Punkt ergeben, vorläufig scheint die ursprüngliche Hypothese noch zureichend zu sein.

Die Spektren der Klasse IIa—IIIa. In dem Spiel der Wasserstoff noch immer eine Hauptrolle, aber nicht mehr eine so überwiegende wie in Ia. „Die Wasserstofflinie“, sagt Prof. Schuster, „gehört noch zu den kräftigsten Linien des ganzen Spektrums, aber die Linien der anderen Metalle, speziell diejenigen von Eisen, Calcium, Magnesium und Natrium, sind von gleicher Stärke und gleichem Aussehen schärf, nur wenig verwachsen und von grosser Schärfe. Von einer Aufhellung der Linien wie bei Klasse Ia kann keine Rede mehr sein, da die Atmosphäre schon viel zu wenig ausgedehnt und, wie das Beispiel unserer Sonne zeigt, das Sonnenspektrum selbst zeigt, dass die Hauptverweilorte im Innern der Linien auf ihrer Basis beruhen, also von der Art der betreffenden Moleküle abhängen, welche das von der Photosphäre herkommende Licht in der Atmosphäre der Sonne trifft. Weniger scheint der Unterschied in der wirklichen Intensität hervorzutreten, der nur auf verschiedenen Temperatur der betreffenden Stoffe zurückgeführt werden könnte. Ich möchte glauben, dass die vorhandenen Temperaturunterschiede — was spricht ja z. B. von ganz schwachen Linien im Sonnenspektrum — nur sehr geringe sind. Die schwachen, resp. mittleren Linien sind so ununterbrochenlich fort, dass für sie der Spalt schon viel zu weit, das Spektrum schon viel zu zerlegt ist, als dass sie in voller Schärfe erhebeten könnten. Es scheint mir das deshalb wahrscheinlich, weil auf der Sonne die sogenannte „absorbierende Schicht“, d. h. der obere Teil der Photosphäre, viel zu wenig ausgedehnt ist, als dass innerhalb derselben wesentliche Temperaturunterschiede bestehen könnten.“

In die Spektralklasse IIa gehört unsere Sonne.

• **Arcturus.** Das Spektrum ist völlig mit dem der Sonne identisch, genommen wurden 100 Linien.

• **Bethelgeuze,** zeigt auch eine unveränderliche Ähnlichkeit mit dem Sonnenspektrum, genommen wurden 807 Linien.

• **β Centauri.** „Das Spektrum ist Typus IIa und entspricht fast absolut dem Sonnenspektrum, ist jedoch wohl schon etwas weiter nach IIIa verschoben. Die Linienbildung ist nur wenig entwickelter als im Sonnenspektrum, dagegen schließt das Violet, von der G-Gruppe an, etwas häufiger abwärts an, so wie auch in einer Hinsichtung dieses Umstandes abwärts durch die Mithrid der Aufnahmen. Eine irgend merkliche Abweichung vom Sonnenspektrum konnte sonst nicht konstatiert werden.“

• **Tauri.** „Das Spektrum ist Typus IIa mit deutlichen Übergängen zu IIIa bis. Die Linien sind im allgemeinen breiter und verwaschener als im Sonnenspektrum und verengen sich mehr als in diesem zu Bändern, die schon mehrfach im charakteristischer Weise eine classifige Verwaschenheit zeigen. Während im grossen und ganzen auch in Bezug auf die relative Intensitäten eine grosse Übereinstimmung mit dem Sonnenspektrum herrscht, finden doch schon einzelne auffällige Abweichungen statt, die im folgenden besonders hervorgehoben sind. Die Lichtschwäche des Spektrums von der G-Gruppe an nach dem Violet hin ist gegenüber dem Sonnenspektrum auffallend.“

• **Ursae majest.** „Das Spektrum ist Typus IIa mit sehr merklichem Übergange nach IIIa hin. Das Zusammenfließen der Linien zu verwaschenen Bändern ist sehr ausgesprochen, auch ist das allgemeine Aussehen von dem des Sonnenspektrums verschieden. Der pittoreske Lichteffekt beim Beginn der G-Gruppe ist sehr auffallend.“

• **Ferns.** „Das Spektrum ist Typus IIa mit nur geringen Anzeichen des Überganges nach IIIa und steht in dieser Beziehung mehrfach noch vor dem der Sonne. Dagegen zeigt das Spektrum eine auffällige Anzahl von sehr starken Abweichungen gegen den allgemeinen Typus. Manche Linien des Sonnenspektrums sind stärker, manche schwächer, mehrfach fehlen stärkere Linien und sogar ganze Bänder des Sonnenspektrums, dafür sind deutliche Linien an Stellen, wo im Sonnenspektrum mit Sicherheit keine Linie zu erkennen sind.“

(Schluss folgt.)

Das Grundgesetz in der Himmelsmechanik.

Professor Dirichletler sprach hierher in der Naturhistorischen Gesellschaft für Natur- und Heilkunde. Die Gültigkeit des in der Geometrie euklidischen Gesetze über die Art der Abhängigkeit geometrischer Gebilde ist eine universelle, wie die zu ihrer Ableitung angewandten analytischen Operationen einwandelbar darstellen. In der Mechanik aber werden die Bewegungsgleichungen der Körperwelt als Funktionen der veränderlichen Zahlencomplexe einer

Orbitale dargestellt, die Äquator räumlichen Repräsentanten hat, nämlich der von einem beliebigen Nullpunkt an produzierten Zeit. Die Säme der Mechanik können daher gewisse Gültigkeit nur haben, wenn es gelingt, in der Zeit diejenigen Eigenschaften richtig nachzuweisen, die in ihrer Beziehung zur Mechanik vorausgesetzt werden: gleichförmiger Verlauf und Konstanz. In der besten Darstellung der schiefen Himmelsbewegung von Leverrier wurden jene Eigenschaften der Zeit durch den Hinweis auf die wiederholte Beobachtung schiefer Phänomene begründet. Man kann aber hierüber nur die die klassischen Phänomene einschließend schiefen Bewegungen, je nach der Art der Phänomene, bis zu gewissen Maass als gleichförmig verlaufend darthun, insbesondere aber eine streng gleichförmig verlaufende Zeit nachweisen. Man kann daher auch keine Beziehungen der Bewegung der Himmelskörper zur Zeit, sondern nur solche zu einer Vergleichsbewegung, der Rotation der Erde, aufstellen, von welcher Leverrier sagt, dass die konstant sei in allen Epochen. Der Beweis für die letztere Behauptung ist aber noch nicht erbracht. Da die Erde sich in einem viel kälteren Räume bewegt, als sie selbst ist, verliert sie fortwährend Wärme an den Weltraum, wodurch die Oberflächentheilchen sich der Rotation mehr nähern und ihre bisherige Rotationsgeschwindigkeit sich beschleunigt. Wenn nun die Wärmezufuhr von der Sonne jenen Verlust nur soweit ersetzt, dass eine Temperaturabnahme des Erdkörpers von $\frac{1}{10}$ Grad Celsius übrig bleibt, so muss sich der mittlere Radius schon um ein Meter und die Tageslänge um $\frac{1}{10}$ Sekundensparten verlängern. Außerdem ist durch das Wandern der von Sonne und Mond hervorgerufenen Flutwelle der Ozeane und ihr Anschlagen an die Küsten der Kontinente eine Verlangsamung der Erdrotation um 21 Sekunden im Jahrtausend planthel, und ebenso wirkt der fortwährende Stördruck kosmischer Materie auf den Erdkörper, wie er aus durch Meteore und Sternschnuppen in die Erdatmosphäre tritt, weniger auf die Erdrotation. Es fällt also der Himmelsmechanik die zweite Hauptaufgabe zu, aus den Bewegungserscheinungen der Gestirne nachzuweisen, in welcher Weise jene die Erdrotation insbesondere Ursachen ableiten, oder insofern sie sich ausgleichen. Vortragender sagte, dass die Darstellung der seit 1750 angestellten 900 Meridianbeobachtungen der Sonne, welche Leverrier seiner Sonnentheorie zugrunde gelegt hat, keineswegs die Konstanz der Erdrotation nachweist, dass sie vielmehr für Änderungen dieser Größe einen ziemlich weiten Spielraum offen lässt. Die beste Darstellung der Meridianbewegung von Hansen-Neowach deutet auf ein Zerstückeltes umher zur Zeit von 1875 bis 1775 um 48 Sekundensparten und auf die Variation um 28 Sekunden von 1775 bis 1875. Indessen sind die Ergebnisse eines einzigen Himmelskörpers wegen der Unstetigkeit der Störungen in dem Beobachtungsresultate, hier der Konstruktivität der Meridianbahn durch die Flutwasserströmungen, nicht erwählbar. Ebenso haben vereinzelte Vergleichen von Marsbeobachtungen und Newcombs von Finsternissen der Jupitertrabanten in keinem Ergebnis geführt. Vortragender weist nun darauf hin, dass die Erforschung des Gesetzes der Erdrotation nur durch eine systematische Beobachtung der Himmelsbewegungen der umgebung Planeten möglich sein dürfte. Bei dem wahrscheinlich nicht beweglichen Erdmerra werden Massenveränderungen in Bezug auf die Rotationsmasse

und damit Änderungen der Rotationsgeschwindigkeit in kurzen Perioden auftreten. Alle jene änderbaren und diese periodischen Änderungen müssen sich nun in den zweizig Satellitenbahnen in demselben Sinne und bei den verschiedenen Stellen im umgekehrten Verhältnisse der Bahnlänge widerspiegeln. Wenn sich es aber möglich, diese Unstetigkeit von andern Ungleichheiten der Umlaufbewegung zu trennen. Zur Schaffung der auf Mikrometermessungen so beschränkenden Beobachtungsapparate reichte die an den meisten nördlichen Sternwarten vorhandenen Refraktoren kaum für die Hilfe der Flourensstraße aus, es musste eine vollständige Neuerung der wichtigsten astronomischen Teilsätze erstrebt werden.

Das Yerkes-Observatorium der Universität Chicago an Lake Geneva, Wisconsin.

Die Tafel 10 gibt nach der photographischen Reproduktion einer Agassiz-Zeichnung im *Astrophysical Journal* eine Ansicht des Yerkes-Observatoriums, wie es in seiner demnächstigen Vollendung aussehen wird. Der Bau ist bereits vollendet, dass spätestens im Oktober der große 40-zöllige Refraktor an den Beobachtungen bereit stehen kann.

Das Gebäude selbst hat im Grundriss die Gestalt eines runden Kreises mit 3 Kuppeln und einem Meridianraum an der äusseren Enden. Der grosse Ark liegt in nördlicher Richtung und hat ein westliches Ende die vorgebaute Kuppel für den Hesse-Refraktor. Sie ist von der Firma Warner & Swasey angeführt und misst 40 Fuss im Durchmesser. Im das Rohr des grossen Refraktors 30 Fuss lang ist, es bleibt noch 10-zöllig Raum genug für ein 9 Fuss langes Sonnenmikroskop und andere Apparate. Die Beobachtungspalte in der Kuppel misst 12 Fuss in der Breite und es sind Vorrichtungen getroffen den Refraktor vor Leuchtstrahlen durch den Wind zu schützen. Der freie Boden der Kuppel hat 70 Fuss Durchmesser und kann vertikal bis zu 22 Fuss hoch geladen werden. Die Bewegung desselben, ebenso die Drehung der Kuppel erfolgt durch elektrische Motoren. Der südliche kleinere Kuppel umschließt den 22-zölligen Refraktor, der sich zur Zeit im Keweenaw-Observatorium befindet, während die andere eines 18-zölligen Refraktors erhalten wird. Zwischen beiden Kuppeln befindet sich der Raum für den Heliosstat, 200 Fuss lang und 12 Fuss breit. Der Heliosstat wird auf einem Stützpfiler aus Nordende dieses Raumes Platz finden über einem eisernen Kolben, welcher abwärts geschoben werden kann. Eine eine grosse Dunkelkammer für photographische Zwecke vorhanden ist, ferner besondere Räume für alle Apparate und die Spektroskop, welche bei den photographischen Arbeiten dienen, sowie ein besonderes physikalisches Laboratorium, ein Raum mit konstanter Temperatur $t = 0^{\circ}$, ein selbstvervollständigt. Das Observatorium erhebt sich inmitten einer ausgedehnten freien Ebene am Ufer des Lake Geneva in Wisconsin etwa 12 engl. Meilen von Chicago, in einer Höhe von 180 Fuss über dem See. Seine Erbauer ist der Architekt Henry Drex Cobb in Chicago.

Dieses wird die herrliche Sternwarte, welche das jetzt mächtigste Feuerwerk der Welt beherrscht, eine Scene werden, von der wichtige Entdeckungen ausgehen.

Vermischte Nachrichten.

Die Linie D₂ des Spektrums der Chromosphäre. In dem sehr seltenen Mineral Clerest (welches im Jahre 1878 durch Nordenskjöld bekannt geworden ist) hat Hülstrand 1890 ein Gas entdeckt, welches er für Stickstoff hielt, das aber nach den Untersuchungen von Runge ein Spektrum gibt, welches mit dem Spektrum des Argon größtentheils zusammenfällt. Es unterscheidet sich Indessen vom atmosphärischen Argon dadurch, dass es eine hell gelbe Linie im Spektrum zeigt, die wie W. Cramb gefunden, mit der Linie übereinstimmt, welche man in der Chromosphäre der Sonne kennt und die man einem, bisher auf der Erde nicht bekannten Stoff zuschreibt, welcher den Namen Helium erhalten hat. Diese Übereinstimmung wurde von Langlet bestätigt und öfters gezeigt, dass das von dem genannten Mineral durch Schmelzen erhaltene Gas, in welchem er kaltes Argonlinien Salz, reines Helium mit C. Runge hat dann gefunden, dass die gelbe Linie des Clerest-Gases eine Doppellinie ist und es war daher für die Identifizierung derselben mit der D₂-Linie des Sonnenspektrums von besonderer Wichtigkeit, es insbesondere, ob letztere auch doppelt erscheint. Diese Untersuchung ist hauptsächlich von George E. Hale und von W. Huggins ausgeführt worden¹⁾ und beide haben gefunden, dass die D₂-Linie des Sonnenspektrums in der That auch doppelt ist. Huggins bemerkt, dass die beiden Komponenten der Linie in der Chromosphäre am Sonnenrande weiter sind und deshalb ihre Trennung dort leicht beobachtet werden kann, höher hinauf werden sie aber dünner und zeigen sich als ein paar zusammen fließende Linien, von welchen die weniger hoch liegende die feiner ist. George E. Hale sah die feine begleitende Linie an der weniger hoch liegenden Stelle von D₂ zuerst am 30. Juni 1895 in einer hohen Profibrenne, ebenso am folgenden Tage in einer andern Profibrenne. Die Wellenlänge der Linie D₂ wurde an beiden Tagen bestimmt mit im Mittel zu 8478.998 μ gefunden, was ungefähr dem Mittel der Bestimmungen von Rowland und Runge-Paschen entspricht. Der Abstand der schwachen von der Hauptlinie ist 0.007 μ . Schon Kopetskiy hat D₂ doppelt gesehen, ähnlich er glaubte die Doppelheit dadurch entstanden, dass eine feine (dunkle) heliochrome Linie sich auf die helle D₂-Linie projicire und dieses ist nach George Hale auch theoretisch bewiesen der Fall. Die wahre Hauptlinie von D₂ hat Kopetskiy nicht gesehen. Es kann keinem kaltem Zweifel unterliegen, dass das Gas, welches der Clerest ausmacht, wirklich mit dem Helium in der Sonnen-Chromosphäre identisch ist. Nach den Bestimmungen von Cramb ist es 1.002 mal so schwer als Wasserstoff, besitzt also eine sehr geringe Dichte. Das stimmt damit überein, dass es nicht in der Chromosphäre der Sonne vorhanden ist.

Eine Spektraluntersuchung der Saturnringe nach derselben Methode, wie wir bei der Spektraluntersuchung der Jupiterwolken

¹⁾ Ann. Chem. Nr. 1202.

angewendet worden, hat Herr Deslandres im Maß ausgeführt, um die Krümmung der Ringe durch direkten Versuch festzustellen. Er begab sich hierzu mit einer Unternehmung des Herrn Keeler, der bereits im April eine Spektralanalyse der Saturnringe ausgeführt und veröffentlicht hat. Im wesentlichen bestätigten die Ergebnisse der letztlichen Astronomie die des Herrn Keeler, auch er fand die Geschwindigkeit des inneren Ringes größer, als die des Äußeren, und zwar ergaben die Messungen an den photographischen Platten des Sonnenspektrums, das eine Stunde lang exponiert worden war, und dem in der Mitte der Exposition des Spektrums des Wasserstoffs als Maassstab angewiesen war, nachstehende Werte:

	Abstand		Geschwindigkeit	
	von Centrum	gemessen	berechnet	
Äußere Scheibe	1	5,38 km	16,30	km
Innere Ring	1,5	21,10 "	21,00	"
Äußerer Ring	1,5	15,90 "	17,10	"

Das Verfahren, welche der amerikanische Astronom, in Uebereinstimmung mit den bisherigen theoretischen Anschauungen, aus seinen Messungen abgeleitet, dass nämlich die geringere Geschwindigkeit des inneren Randes des Saturnrings für die Zusammensetzung desselben im äusseren Koppertheil spreche, glaubt Herr Deslandres nicht folgen zu sollen, vielmehr müssen nach seiner Meinung noch weitere Beobachtungen mit grösseren Instrumenten gemacht und Messungen an grösseren Hüllern ausgeführt werden. (1)

Neuer Komet. Am 20 August hat Swift in Boston einen Kometen entdeckt, als ziemlich schwach und kleine Nebelmasse. Das Geseze ist bereits auf verschiedenen Sternwarten beobachtet worden und schon liegt eine Bahnberechnung darüber vor, nach welcher er vermutlich periodisch ist, von kurzer Umlaufzeit. Die Helligkeit des Kometen wird der Rechnung gemäss bis Ende September nur wenig zunehmen, sodass das Geseze nur an starkem Perigäum gesehen werden kann. Seine Sonnennähe erreichte der Komet in den Nachmittagsstunden des 2. September.

Photographische Aufnahmen des grossen Orion-Nebels und des Mittelens beim Stern 42 Orions sind wiederholt auf der Sternwarte in Capota von den Herren A. Hout und A. Haevert gemacht worden, die erste bereits im März 1893 mit einem noch unvollkommenen Instrumente, denn nur im Jahre 1894 hat weitere neun mit einem neuen Instrumente, welches eine Exposition von 4 Stunden und 5 Minuten gestattete. Von dem erhaltenen Negativen sind vergrösserte Positive im Verhältnis von 1 : 2 hergestellt worden, und zwar von den Objekten, welche 10 Min., 20 Min., 30 Min., 40 Min. und 245 Min. lang exponiert gewesen. Die Photographien des grossen Nebels zeigen nun unzweifelhaft, dass mit der Zunahme der Expositionzeit von einigen Minuten bis zu einigen Stunden das Bild, welches zuerst nur aus dem mittleren und helleren Theile des Nebels besteht, allmählich sich ausdehnt auf die

(1) Compt. rend. 1891, T. CXX, p. 1116 und Saturnwissenschaftliche Gesellschaft 1891, Nr. 50.

Kameran, nicht hellen Teile, wo neue Massen und neue Bearbeitungen vorkommen, gleichzeitig bemerkt man, dass bei den kurzen Expositionen die Sterne im Nebel und andere Eigenstärkelichen derselben ziemlich deutlich erscheinen, bei den längeren Expositionen hingegen der centrale Teil gleichmäßig wird ohne Abstufungen der Intensität und ohne Unterschattung der Tiefe. Von der Photographie mit 2 Sek. 8 Mm. Expositioen wurde noch eine stärkere Vergrößerung im Verhältnis von 1:3,4 hergestellt. Im Vergleichung mit anderen Photographien desselben Objektes ergibt, dass die Photographie von Götzen schärfer und vollständiger ist als die mit vorzeitlicher Exposition auf der vertikalen Seite gemacht, und wesentlich nicht geringwertiger als die von Roberts mit einer Exposition von 2 Sek. 20 Mm. und fast doppelter Lichtmenge. — Der komplizierte und sehr interessante Nebel um α^2 Oriens beginnt auf der Photographie zu erscheinen, welche 2^{1/2} Sek. 1 Sek. exponiert sind, und ist vollkommen bei einer Exposition von etwa 2^{1/2} Sek., bei Expositionen von 4^{1/2} Sek. ist er sehr schön und ausgebreitet. Er besteht aus drei bis vier leuchtenden Massen von verschiedener Form, die durch einen dunklen, in Gestalt eines T verzwigten Kanal getrennt sind; im Süden beobachtet man eine dunkle Mischung, die wunderbar mit heller Fäden verbindet die Nebelmassen mit den benachbarten Massen. Im Bezug auf diesen Nebel übereinstimmend die Bilder des Herrn Riess alle Örtlichen. — Herr Riess vergleicht seine Photographien mit den besten Zeichnungen des Orion Nebels und gibt die Gründe an, welche die Verschiedenheiten zwischen photographisch aufgenommenen und gezeichneten Bildern auslegend erklären. Dass ähnliche Veränderungen des Nebels nicht vorliegen, ergibt sich aus dem Umstande, dass eine Photographie Drapers aus dem Jahre 1860 identisch ist mit der Riesss von 1860, und die von Roberts aus dem Jahre 1867 identisch sind mit der von 1865. Unter allen Zeichnungen erklärt Herr Riess die von Lord Ross als die getreueste. *)

Der Foucault'sche Pendelversuch wurde am 17. und 20. Juli dieses Jahres von Theodor Koch öffentlich im Rathhause Doms, auser von Kopenhagen, angestellt. Das Pendel hatte eine Länge von 20 Fuss und ein Gewicht von mehr als 50 Pfund. Die scharfe Spitze des Niveaufadens ging bei jeder Schwingung zweimal durch den Äquator, so dass die scheinbare Drehung des Standortes in Beziehung zur Sternoberflächenebene des Pendels sehr deutlich erschien. Gerade unter der Pendelspitze befand sich auch ein auf Papier gezeichnetes Kreuz in Gleichmässigkeit, und die Abweichung wolle der Bewegung genau ein Grad in je fünf Minuten betragen. Das Versuche liefen sehr gut aus. Nach Verlauf von einer Stunde hatte das Pendel gerade den 12. Grad des Kreises passiert, wenn der Versuch eingestellt wurde.

Über die neuen astronomischen Spektroskopien. Die Besprechung meiner neuen Messkarten verleiht mich, an diesem Orte zu wiederholen, was ich nur im I. Hefte meiner Publikationen und in

*) Nordhöggs B. Astronomisk Afhandling 1860. Sam. 5, Vol. IV 24, p. 230 und Nordhöggs Afhandling om Kometen 1860. Nr. 29.

A. N. 3877 und 3886 stärker hervorgehoben habe. Die Grundlage dieser Karten war nicht Schmidt's Mondkarte, die in dem neuesten Follen mit zu den Feinheiten genommen wurde, weil sich kein Detail als zu unklar erweise, sondern jedesmal eine Skizze der Konturen eines größeren Objektes und der Positionen selbständiger kleinerer Objekte, entstanden von photographischen Vergrößerungen nach Lichtplatten. Diese habe ich mir selbst hergestellt, zur Zeit konnte ich auch mit grossem Vergnügen die neuen Hilder von Prof. Pirn nach Loh- und Lowy'schen Platten, sowie solche nach Aufnahmen von Henry. Auf diesem Wege wird eine sehr hohe Genauigkeit der Karten erreicht. Eine Reduktion auf mittlere Breiten erfolgte nicht, weil die Teile nur zusammenhängende Gebiete darstellen und auch bei stark abweichender Lagezeit leicht mit der Wirklichkeit zu vergleichen sind. — Die Empfehlung meiner Arbeiten an alle ernsthaften Beobachter „als Grundlagen zu weiteren Messungen“ ist ganz aus meinem Munde gesprochen, denn das beweist deren Veröffentlichung. Sie enthalten nur, was ich selbst sicher gesehen habe, daher Hüllen mit höchster Dünge weg, weil ich sie bei den wenig zahlreichen Gelegenheiten, die auf eine Karte entfielen, eben noch nicht gesehen hatte, so die Ringe zwischen den Ringern, die Turanfirrille, überhaupt mehrere andere Hübe, die Waldschicht bei Kamelen etc. Der Hülfsring bei Merkur (wohl zuerst 24. I. 91 deutsch gesehen, schon öfter), der Centralkegel im Halbes und andere Beobachtungen. Die „Hülfsringe“ im Systeme glückte ich zuerst 16. II. 91 zu sehen, später öfter, zuletzt 2. II. 92. Gleichwohl kam mir die Situation meiner Ermittlung vor, dass der selbst begreife. Bei Morgenbeobachtung durch die Wetter abfallende Lichtstrahl mag hier eine lokale Täuschung vorzuliegen. Da aber die Hülfsringe existieren sollen, habe ich sie durch punktierte Linien angedeutet, sage aber zu der Ansicht, dass ich sie nicht gesehen habe.

Landstahl, Jun 1890. Pa. Faust

Literatur.

Erd- und Himmelskugeln, ihre Geschichte und Konstruktion. Nach dem Holländischen Manuscriptum des bearbeitet von Hermann Götzher. Mit 7 Illustrationen. Leipzig 1891. Druck und Verlag von B. G. Teubner.

Die deutsche Übersetzung der Abhandlung Fourniers durch Prof. Götzher ist eine recht vornehmliche Arbeit. Nicht nur ist das Original hier mit seinen wesentlichen Veränderungen wiedergegeben, sondern der deutsche Bearbeiter hat auch die historischen Teile in den Vordergrund gestellt und durch eine dankenswerthe Vervollständigung des ursprünglichen Werkes bereichert.

Ein vorzügliches 4" Fernrohr

stark und ganz modern, ist sehr billig zu haben bei

**Th. Andersberg, Kastellstr. 6,
Kopenhagen K.**

Verzeichnisse der Jagdwunden. Die folgenden Angaben über die Entscheidungen der Jagdwunden sind aus dem Monthly Account entnommen und die angegebenen Daten vollständig von Greenwick. Die Treibarten sind der Schicksalstage des Jahres nach dem Jagdtag nach 1 bis 12 benannt. Ferner bedeutet:

- Ko D die Verurteilung eines Treibarten im Monat des Jagdtags,
- Co H das Ansehen des Treibarten aus dem Schützen des Jagdtags,
- Co D die Verurteilung des Treibarten im Monat des Jagdtags,
- Co K die Verurteilungen bezüglich eines Jagdwunden.
- Tr J das Konzept der Treibarten vor die Jagdwunden,
- Tr K das Ansehen des Treibarten aus der Jagdwunden,
- Tr J das Konzept der Treibarten-Schichten auf die Jagdwunden,
- Tr K das Ansehen der Treibarten-Schichten auf die Jagdwunden.

Es sind nur diejenigen Entscheidungen der Jagdwunden aufgeführt, welche sich an-
 zeigen, wenn Jagd im Greenwick war und die Kunde unter dem Namen steht.
 Um unvollständig die Schicksalstage dieser Entscheidungen für jeden anderen Ort zu machen,
 hat man nur fest, das Jagdwundenrecht gegen Greenwick (ausgeführt im Monat
 an dem angegebenen Schicksalstage zu erklären, wenn der Ort nicht von Greenwick
 liegt und davon zu erklären, wenn der Ort vollständig von Greenwick liegt.)

Dezember 1. 1 Ko D 10 ¹ 10 ² 1 Tr J 10 ¹ 10 ² 10 ³ 10 ⁴ 10 ⁵ 10 ⁶ 10 ⁷ 10 ⁸ 10 ⁹ 10 ¹⁰ 10 ¹¹ 10 ¹²
10 ¹ 10 ² 10 ³ 10 ⁴ 10 ⁵ 10 ⁶ 10 ⁷ 10 ⁸ 10 ⁹ 10 ¹⁰ 10 ¹¹ 10 ¹² 10 ¹³ 10 ¹⁴ 10 ¹⁵ 10 ¹⁶ 10 ¹⁷ 10 ¹⁸ 10 ¹⁹ 10 ²⁰
10 ²¹ 10 ²² 10 ²³ 10 ²⁴ 10 ²⁵ 10 ²⁶ 10 ²⁷ 10 ²⁸ 10 ²⁹ 10 ³⁰ 10 ³¹ 10 ³² 10 ³³ 10 ³⁴ 10 ³⁵ 10 ³⁶ 10 ³⁷ 10 ³⁸ 10 ³⁹ 10 ⁴⁰
10 ⁴¹ 10 ⁴² 10 ⁴³ 10 ⁴⁴ 10 ⁴⁵ 10 ⁴⁶ 10 ⁴⁷ 10 ⁴⁸ 10 ⁴⁹ 10 ⁵⁰ 10 ⁵¹ 10 ⁵² 10 ⁵³ 10 ⁵⁴ 10 ⁵⁵ 10 ⁵⁶ 10 ⁵⁷ 10 ⁵⁸ 10 ⁵⁹ 10 ⁶⁰
10 ⁶¹ 10 ⁶² 10 ⁶³ 10 ⁶⁴ 10 ⁶⁵ 10 ⁶⁶ 10 ⁶⁷ 10 ⁶⁸ 10 ⁶⁹ 10 ⁷⁰ 10 ⁷¹ 10 ⁷² 10 ⁷³ 10 ⁷⁴ 10 ⁷⁵ 10 ⁷⁶ 10 ⁷⁷ 10 ⁷⁸ 10 ⁷⁹ 10 ⁸⁰
10 ⁸¹ 10 ⁸² 10 ⁸³ 10 ⁸⁴ 10 ⁸⁵ 10 ⁸⁶ 10 ⁸⁷ 10 ⁸⁸ 10 ⁸⁹ 10 ⁹⁰ 10 ⁹¹ 10 ⁹² 10 ⁹³ 10 ⁹⁴ 10 ⁹⁵ 10 ⁹⁶ 10 ⁹⁷ 10 ⁹⁸ 10 ⁹⁹ 10 ¹⁰⁰
10 ¹⁰¹ 10 ¹⁰² 10 ¹⁰³ 10 ¹⁰⁴ 10 ¹⁰⁵ 10 ¹⁰⁶ 10 ¹⁰⁷ 10 ¹⁰⁸ 10 ¹⁰⁹ 10 ¹¹⁰ 10 ¹¹¹ 10 ¹¹² 10 ¹¹³ 10 ¹¹⁴ 10 ¹¹⁵ 10 ¹¹⁶ 10 ¹¹⁷ 10 ¹¹⁸ 10 ¹¹⁹ 10 ¹²⁰
10 ¹²¹ 10 ¹²² 10 ¹²³ 10 ¹²⁴ 10 ¹²⁵ 10 ¹²⁶ 10 ¹²⁷ 10 ¹²⁸ 10 ¹²⁹ 10 ¹³⁰ 10 ¹³¹ 10 ¹³² 10 ¹³³ 10 ¹³⁴ 10 ¹³⁵ 10 ¹³⁶ 10 ¹³⁷ 10 ¹³⁸ 10 ¹³⁹ 10 ¹⁴⁰
10 ¹⁴¹ 10 ¹⁴² 10 ¹⁴³ 10 ¹⁴⁴ 10 ¹⁴⁵ 10 ¹⁴⁶ 10 ¹⁴⁷ 10 ¹⁴⁸ 10 ¹⁴⁹ 10 ¹⁵⁰ 10 ¹⁵¹ 10 ¹⁵² 10 ¹⁵³ 10 ¹⁵⁴ 10 ¹⁵⁵ 10 ¹⁵⁶ 10 ¹⁵⁷ 10 ¹⁵⁸ 10 ¹⁵⁹ 10 ¹⁶⁰
10 ¹⁶¹ 10 ¹⁶² 10 ¹⁶³ 10 ¹⁶⁴ 10 ¹⁶⁵ 10 ¹⁶⁶ 10 ¹⁶⁷ 10 ¹⁶⁸ 10 ¹⁶⁹ 10 ¹⁷⁰ 10 ¹⁷¹ 10 ¹⁷² 10 ¹⁷³ 10 ¹⁷⁴ 10 ¹⁷⁵ 10 ¹⁷⁶ 10 ¹⁷⁷ 10 ¹⁷⁸ 10 ¹⁷⁹ 10 ¹⁸⁰
10 ¹⁸¹ 10 ¹⁸² 10 ¹⁸³ 10 ¹⁸⁴ 10 ¹⁸⁵ 10 ¹⁸⁶ 10 ¹⁸⁷ 10 ¹⁸⁸ 10 ¹⁸⁹ 10 ¹⁹⁰ 10 ¹⁹¹ 10 ¹⁹² 10 ¹⁹³ 10 ¹⁹⁴ 10 ¹⁹⁵ 10 ¹⁹⁶ 10 ¹⁹⁷ 10 ¹⁹⁸ 10 ¹⁹⁹ 10 ²⁰⁰
10 ²⁰¹ 10 ²⁰² 10 ²⁰³ 10 ²⁰⁴ 10 ²⁰⁵ 10 ²⁰⁶ 10 ²⁰⁷ 10 ²⁰⁸ 10 ²⁰⁹ 10 ²¹⁰ 10 ²¹¹ 10 ²¹² 10 ²¹³ 10 ²¹⁴ 10 ²¹⁵ 10 ²¹⁶ 10 ²¹⁷ 10 ²¹⁸ 10 ²¹⁹ 10 ²²⁰
10 ²²¹ 10 ²²² 10 ²²³ 10 ²²⁴ 10 ²²⁵ 10 ²²⁶ 10 ²²⁷ 10 ²²⁸ 10 ²²⁹ 10 ²³⁰ 10 ²³¹ 10 ²³² 10 ²³³ 10 ²³⁴ 10 ²³⁵ 10 ²³⁶ 10 ²³⁷ 10 ²³⁸ 10 ²³⁹ 10 ²⁴⁰
10 ²⁴¹ 10 ²⁴² 10 ²⁴³ 10 ²⁴⁴ 10 ²⁴⁵ 10 ²⁴⁶ 10 ²⁴⁷ 10 ²⁴⁸ 10 ²⁴⁹ 10 ²⁵⁰ 10 ²⁵¹ 10 ²⁵² 10 ²⁵³ 10 ²⁵⁴ 10 ²⁵⁵ 10 ²⁵⁶ 10 ²⁵⁷ 10 ²⁵⁸ 10 ²⁵⁹ 10 ²⁶⁰
10 ²⁶¹ 10 ²⁶² 10 ²⁶³ 10 ²⁶⁴ 10 ²⁶⁵ 10 ²⁶⁶ 10 ²⁶⁷ 10 ²⁶⁸ 10 ²⁶⁹ 10 ²⁷⁰ 10 ²⁷¹ 10 ²⁷² 10 ²⁷³ 10 ²⁷⁴ 10 ²⁷⁵ 10 ²⁷⁶ 10 ²⁷⁷ 10 ²⁷⁸ 10 ²⁷⁹ 10 ²⁸⁰
10 ²⁸¹ 10 ²⁸² 10 ²⁸³ 10 ²⁸⁴ 10 ²⁸⁵ 10 ²⁸⁶ 10 ²⁸⁷ 10 ²⁸⁸ 10 ²⁸⁹ 10 ²⁹⁰ 10 ²⁹¹ 10 ²⁹² 10 ²⁹³ 10 ²⁹⁴ 10 ²⁹⁵ 10 ²⁹⁶ 10 ²⁹⁷ 10 ²⁹⁸ 10 ²⁹⁹ 10 ³⁰⁰





Verurteilungen der Jagdwunden. Dezember 1. 20. Markte im nächstfolgenden Monat.
 Dezember 2. 10. Markte im nächsten Monat mit der Kunde. Dezember 3. 1. 1. Markte im
 das nächste Monat. Dezember 4. 1. 1. Markte im nächsten Monat. Dezember 5. 20.
 Markte im nächsten Monat. Dezember 6. 1. 1. Markte im nächsten Monat. Dezember 7. 1. 1. Markte im nächsten Monat.
 Dezember 8. 1. 1. Markte im nächsten Monat. Dezember 9. 1. 1. Markte im nächsten Monat.
 Dezember 10. 1. 1. Markte im nächsten Monat. Dezember 11. 1. 1. Markte im nächsten Monat.
 Dezember 12. 1. 1. Markte im nächsten Monat. Dezember 13. 1. 1. Markte im nächsten Monat.
 Dezember 14. 1. 1. Markte im nächsten Monat. Dezember 15. 1. 1. Markte im nächsten Monat.
 Dezember 16. 1. 1. Markte im nächsten Monat. Dezember 17. 1. 1. Markte im nächsten Monat.
 Dezember 18. 1. 1. Markte im nächsten Monat. Dezember 19. 1. 1. Markte im nächsten Monat.
 Dezember 20. 1. 1. Markte im nächsten Monat. Dezember 21. 1. 1. Markte im nächsten Monat.
 Dezember 22. 1. 1. Markte im nächsten Monat. Dezember 23. 1. 1. Markte im nächsten Monat.
 Dezember 24. 1. 1. Markte im nächsten Monat. Dezember 25. 1. 1. Markte im nächsten Monat.
 Dezember 26. 1. 1. Markte im nächsten Monat. Dezember 27. 1. 1. Markte im nächsten Monat.
 Dezember 28. 1. 1. Markte im nächsten Monat. Dezember 29. 1. 1. Markte im nächsten Monat.
 Dezember 30. 1. 1. Markte im nächsten Monat. Dezember 31. 1. 1. Markte im nächsten Monat.

Verurteilungen durch den Mond für Verles 1888

Mond	Tage	Tage	Anzahl während Zeit		Anzahl während Zeit	
			k	w	k	w
Dez 1	= Lüne	170	80	90	20	100
" 2	" Silber	170	80	90	20	100
" 3	" "	170	80	90	20	100
" 4	" "	170	80	90	20	100

[Das ist die Seite des Jahrbuchs 1888.]
 Das ist die Seite des Jahrbuchs 1888. [Das ist die Seite des Jahrbuchs 1888.]
 Erhöhenwert der Erde über der Meeresoberfl. 100 12' 10"

Stellung der Jupitermonde im Dezember 1893

I. $\frac{d}{h}$ 	III. $\frac{d}{h}$ 
II. $\frac{d}{h}$ 	IV. $\frac{d}{h}$ $\frac{l}{k}$ 

Beobachtet am 12^{ten} für den Anblick im astronomischen Fernrohr.

Tag	West		Ost
1	2	1	3
2	3	2	4
3	4	3	5
4	5	4	6
5	6	5	7
6	7	6	8
7	8	7	9
8	9	8	10
9	10	9	11
10	11	10	12
11	12	11	13
12	13	12	14
13	14	13	15
14	15	14	16
15	16	15	17
16	17	16	18
17	18	17	19
18	19	18	20
19	20	19	21
20	21	20	22
21	22	21	23
22	23	22	24
23	24	23	25
24	25	24	26
25	26	25	27
26	27	26	28
27	28	27	29
28	29	28	30
29	30	29	31
30	31	30	
31		31	

Plantensteltung im December 1895.

Nördlicher Deutscher Meeres-Bezirk				Nördlicher Deutscher Meeres-Bezirk				
Wochen-Tag	Wetterbeobachtung			Windrichtung	Wetterbeobachtung	Wetterbeobachtung		
	h	m	z			h	m	z
1895.								
Wetterbeob.								
Dec. 1	10	21	1.20	-0.1	z	21.5		
2	14	43	0.93	0.7	z	47.9		
3	12	17	79.68	2.6	z	105.5		
4	12	10	72.68	2.6	z	111.9		
5	14	37	95.54	0.1	z	63.7		
6	15	9	62.14	-2.4	z	55.0		
Wetterbeob.								
Dec. 7	13	41	55.93	- 0	z	43.3		
8	14	2	1.24	0.4	z	17.3		
9	14	33	4.84	1.1	z	54.4		
10	14	44	45.46	0.5	z	54.3		
11	15	4	0.20	-1.4	z	14.9		
12	15	29	17.53	-1.2	z	25.9		
Wetterbeob.								
Dec. 13	15	21	44.72	-1.9	z	28.3		
14	15	40	24.93	0.9	z	37.4		
15	16	3	0.75	0.4	z	37.4		
16	16	25	47.74	1.3	z	37.4		
17	16	36	41.34	-0.9	z	14.4		
18	16	36	9.63	-0.9	z	14.4		
Wetterbeob.								
Dec. 19	9	45	57.73	+1.3	z	37.4		
20	9	43	47.53	0.4	z	53.9		
21	9	38	3.53	+1.9	z	17.4		

Wetterbeob. 1895.				
Wochen-Tag	h	m	z	
				Dec. 1
2	16	30	2.7	Leucht-Weiser.
3	16	2	—	Mond in Richtung.
4	16	19	25.4	Vorabend
5	16	21	—	Mond in Richtung.
6	16	24	24.9	Leucht-Weiser
7	16	26	34.3	Folgendes

Mond.

Nördlicher Deutscher Meeres-Bezirk				Nördlicher Deutscher Meeres-Bezirk			
Tag	Mond. in Nordsee.			Tag	Mond. in Nordsee.		
	W	h	m		W	h	m
1	8	47	47.16	17	14	33	39.66
2	4	40	52.93	18	17	47	44.72
3	2	41	1.80	19	20	54	5.33
4	2	42	22.78	20	21	51.00	17.2
5	7	43	5.97	21	7	51.35	15.4
6	5	41	14.93	22	20	52.36	14.4
7	3	36	15.71	23	14	52.12	12.7
8	14	30	21.91	24	4	54.23	11.4
9	12	27	9.49	25	4	54	15.46
10	12	26	20.88	26	1	53	2.44
11	12	27	30.55	27	2	52	12.44
12	13	33	44.71	28	5	51	24.74
13	14	40	57.42	29	11	49.74	37.57
14	15	41	57.73	30	17	47.74	50.17
15	16	44	51.25	31	23	45.74	62.17
16	17	44	34.71	32	30	43.74	73.17
17	17	44	14.71	33	37	41.74	83.17
18	17	44	0.71	34	43	39.74	92.17
19	17	44	-4.71	35	49	37.74	100.17
20	17	44	-10.71	36	55	35.74	107.17
21	17	44	-16.71	37	61	33.74	114.17
22	17	44	-22.71	38	67	31.74	121.17
23	17	44	-28.71	39	73	29.74	128.17
24	17	44	-34.71	40	79	27.74	135.17
25	17	44	-40.71	41	85	25.74	142.17
26	17	44	-46.71	42	91	23.74	149.17
27	17	44	-52.71	43	97	21.74	156.17
28	17	44	-58.71	44	103	19.74	163.17
29	17	44	-64.71	45	109	17.74	170.17
30	17	44	-70.71	46	115	15.74	177.17
31	17	44	-76.71	47	121	13.74	184.17

Continued on next page. (Small text, partially illegible)

Brief-Tafel 1899, 16.



DAS FERNE-ORIENTALISCHES INSTITUT ZU LEIPZIG.

Leipsig, Druck-Verlag.



An die verehrl. Abonnenten des „Sinus“!

Um den Theilhabern des „Sinus“ sich die vollständige Lieferung des interessanten und allgemein beliebten Jahrbuchs leicht zu verschaffen zu machen, beschließen wir, die einzelnen Bände einzeln zu verkaufen. Die Preise sind folgende: 1911—1912 20 Pf. und 1913—1914 25 Pf. (einschl. Porto).

Band I, II, III, IV, V, VI (Lieferung 1911) 70 Bogen zusammen zusammen
nur 20 Mark.

===== Einzelne Bände 4 Mark =====

Band VII, VIII, IX, X (Lieferung 1912) 70 Bogen zusammen zusammen
nur 20 Mark.

===== Einzelne Bände 5 Mark =====

Band XI, XII, XIII, XIV (Lieferung 1913) 80 Bogen zusammen zusammen
nur 25 Mark.

===== Einzelne Bände 5 Mark =====

Band XV, XVI, XVII, XVIII (Lieferung 1914) 80 Bogen zusammen zusammen
nur 25 Mark.

===== Einzelne Bände 5 Mark =====

Band XIX, XX, XXI (1914) 90 B. 12 Mark

Daher **Bestellen** diese Kosten pro Band nur 75 Pfg.

Sich kann denn, dass mit der vollständigen Ausgabe dieses Jahrbuchs abgerufen werden kann, kann auch durch die Interessenten selbst bestellt werden. Nach Verkauf dieses Jahrbuchs ist das Band, dessen die Lieferung wieder zu lesen.

Das Jahrbuch wird auf die gleiche Weise, wie auch die Bände I bis Band I, XV der neuen Jahrbuch der „Sinus“ herausgegeben werden. Die Jahre 1915 bis Band I, XX bis V. I. sind ebenfalls.

Der Preis und Anzahl der Bände sind folgende:

Leipzig, im Jahre 1914

Die Verlagshandlung
Karl Schöner.

Die Preise sind folgende: 1911—1912 20 Pf. und 1913—1914 25 Pf.

1911 Bände I, II, III, IV, V, VI (Lieferung 1911) 70 Bogen zusammen zusammen
nur 20 Mark.

1912 Bände VII, VIII, IX, X (Lieferung 1912) 70 Bogen zusammen zusammen
nur 20 Mark.

1913 Bände XI, XII, XIII, XIV (Lieferung 1913) 80 Bogen zusammen zusammen
nur 25 Mark.

1914 Bände XV, XVI, XVII, XVIII (Lieferung 1914) 80 Bogen zusammen zusammen
nur 25 Mark.

1915 Bände XIX, XX, XXI (1914) 90 B. 12 Mark

1916 Bände XXII, XXIII, XXIV (1915) 90 B. 12 Mark

1917 Bände XXV, XXVI

1918 Bände XXVII, XXVIII



SIRIUS

ZEITSCHRIFT FÜR ANTHROPOLOGIE

Herausgegeben unter Mitwirkung
von
Fachlehrern und anderen namhaften Sachverständigen,
Bekanntlich Hr. Hermann J. Kuhn in Köln
Das XVII. oder von Folge Band XVIII
II. Heft.



Leipzig 1885
Karl Schöitz.



SIRIUS.

Zeitschrift für populäre Astronomie.

Beitrag für alle Freunde und Förderer der Einzelstudien.

Herausgegeben unter Mitwirkung

hervorragender Fachkünstler und astronomischer Schriftsteller

von **DR. HERMANN J. KLEIN** in Köln a. Rhod.

Verlagsanstalt: J. B. Metzger.

„Wissen soll allgemein und die Freude soll die
Bewehrung der Menschheit.“

Inhalt: Der Magnetismus der Planeten S. 101 — Die Merkurtransits von 1875 und 1883 S. 103 — Die Mars- und Venusbeobachtungen des Jahres 1883 S. 105 — Beobachtungen über die Spektra der hellen Sterne nach der photographischen Methode mit dem astrophotischen Objektiv von Pickers (Abhandl. S. 107) — Neue photographische Beobachtungen von Herkules in Herkules (Sitzb. S. 108) — Die Kometen 1883, 1884 S. 110 — Über die Bildung der Jupiterwolken S. 111 — Versuche zur Photographie der Sonnenkorona S. 112 — Anzeigen S. 113 — Korrekturen der Jahressumme S. 114 — Planetenbeobachtungen 1883 S. 114 — Sonderbelegungen durch den Druck des Bandes 1883 S. 114 — Lage und Größe des Universums S. 114 — Inhalt der Jahressumme für 1883 S. 115 — Planetenbelegungen im Jahre 1883 S. 115 — Nord-S. 115.

Der Magnetismus der Planeten.

E. Leyst hat eine grosse Arbeit veröffentlicht,¹⁾ in welcher er den Einfluss der 5 Hauptplaneten auf den Erdmagnetismus für die Hauptepochen der synodischen Umlaufzeit, nämlich für die oberen und unteren Konjunktionen, für die Hauptoppositionen und Oppositionen, für die äussersten elongationen und die Quadranten untersucht. Als Maximaldistanz über die vorgelegte bearbeiteten Registrierungen des Magnetographen in St. Petersburg und in Pawlowsk für die Jahre 1870 bis 1880, dabei hat er sich zunächst auf die Beobachtung der Deklination beschränkt. Alle Daten über Instrumente, Bearbeitungs-Methoden, und über die Genauigkeit der absoluten Bestimmungen sind der Verifikation Beobachtungen folgt (aus) in den einzelnen Jahrgängen der Annalen des physikalischen Central-Observatoriums für die Jahre 1870 bis 1880. Leyst beschränkte sich auf die St. Petersburg Pawlowsker Beobachtungsreihe nach Kupf-

¹⁾ Vgl. Report. f. Meteorologie, XVII, S. 1.

nichtlich deshalb, weil die anderen magnetischen Observatorien des In- und Auslandes, weder eine genügend lange Reihe von Jahren ihre Beobachtungen oder fortlaufende tägliche Beobachtungen bearbeitet und in Ordnung gehalten, noch genügend Daten über die Beschaffenheit der Beobachtungen veröffentlicht haben, aus denen man ein sicheres Urtheil über die Zuverlässigkeit der einzelnen Angaben, die Konstanten der Instrumente und dergleichen sich bilden könnte.

Zunächst betrachte ich die sieben Planeten Merkur, Venus, Mars, Jupiter, Saturn, Uranus und Neptun die Mittelwerte der wahren Tagesmittel der westlichen Deklination für die mittlere äquatoriale westliche und mittlere äquatoriale östliche Elongation, und für die mittlere oben und mittlere unten Konjunktion der beiden inneren Planeten, und ebenso für die mittlere westliche und mittlere östliche Quadratur, für die mittlere Konjunktion und für die mittlere Opposition der fünf äusseren Planeten, in den Jahren 1873 bis 1899, nach den photographischen Registrierungen des Universal-Magnetographen Arife in St. Petersburg (1873 bis 1877) und in Pawlowk (1877 bis 1899), wie die in den Annalen des physikalischen Central-Observatoriums, herausgegeben von H. Wild, publiziert sind. Die in St. Petersburg registrierten Deklinationen wurden mit Hilfe der von Wild auch den Beobachtungen in St. Petersburg und in Pawlowk ermittelten irdischen Differenz

St. Petersburg — Pawlowk = + 5,86 auf Pawlowk reduziert.

Da die Anzahl der Tage der obengenannten vier Hauptmomente der synodischen Umläufe in 17 Jahren verhältnissmässig gering ist und daher another Mittel fehlt, so nahm Loyal zu den Tagen der Hauptmomente noch die ersten und zweiten Tage vor und nach denselben hinzu. Auf diese Weise erhielt er nicht nur die Mittelwerte der irdischen Deklination für den Tag der vier Hauptmomente der synodischen Umläufe der einzelnen Planeten, sondern auch die Mittelwerte aus drei und fünf Tagen zur Zeit dieser Hauptmomente.

Die grösste Anzahl der synodischen Perioden in dem gegebenen Zeitraum von 17 Jahren entfällt auf den Merkur, nämlich über 50. Loyal begnügte sich mit dem letzten 30 synodischen Umläufen der Jahre 1874 bis 1899. Der Venus hat in 17 Jahren nur 10 synodische Umläufe, und der Mars sogar nur 3 und daher sind die Resultate für diese beiden der Erde unähnlich stehenden Planeten, besonders die täglichen Mittelwerte, nicht so sicher, wie die Mittelwerte für Merkur. In demselben Zeitraum hatten die vier äusseren Planeten 10 bis 17 synodische Umläufe.

In den obengenannten Fällen, wo die photographische Registrierung der Deklinations Zeit, wurde das Mittel der drei Termen δ^a u. m., δ^p p. m. und δ^e p. m. als wahres Tagesmittel in Rechnung gebracht. Von allen 5000 in Rechnung gebrachten Tagesmitteln sind nur 5, nämlich zwei bei der östlichen Quadratur des Mars und drei bei der westlichen Quadratur des Saturn, aus den drei Termen nach direkten Ablesungen berechnet, während die übrigen nahezu aus 24 Stundenwerten abgeleitete Tagesmittel repräsentieren.

Die Mittelwerte der wahren Tagesmittel der irdischen Deklination in Pawlowk, mit Einschluss der auf Pawlowk reduzierten St. Petersburg'schen Tagesmittel aus den Jahren 1873 bis 1877, haben für

die einzelnen Tage zur Zeit der vier Hauptmomente der synodischen Umlaufzeit die in den nachstehenden Tabellen enthaltenen Werte.

2^a = zwei Tage vor der Konjunktion. 1^a = die Tag vor der Konjunktion. 1^b = die Tag nach der Konjunktion. 2^b = zwei Tage nach der Konjunktion. *g* = Tag der Konjunktion. *q* = Tag der Opposition. □ = Tag der Quadratur. Gr. Elong. = Größte Elongation. E = Ostlich. W. = Westlich.

		Obere Konjunktion				
		2 ^a	1 ^a	Obere <i>g</i>	1 ^b	2 ^b
Merkur	0°48',00	47',00	50',18	50',04	49',00	
Venus	54,64	53,51	53,78	53,73	54,08	
		Größte östliche Elongation.				
		2 ^a	1 ^a	Gr. E. Elong.	1 ^b	2 ^b
Merkur	0°52',18	51',08	51',04	50',30	51',04	
Venus	51,29	51,54	51,36	50,96	51,21	
		Untere Konjunktion.				
		2 ^a	1 ^a	Untere <i>g</i>	1 ^b	2 ^b
Merkur	0°47',64	50',60	50',46	50',54	50',70	
Venus	48,88	50,24	51,41	50,51	50,10	
		Größte westliche Elongation.				
		2 ^a	1 ^a	Gr. W. Elong.	1 ^b	2 ^b
Merkur	0°50',30	50',54	50',42	50',28	50',22	
Venus	48,37	49,35	49',21	48,04	48,40	

Um die beiden Quadraturen der oberen Planeten zusammen zu fassen, nennt Verf. die eine derselben, nach Analogie der Elongationen, die Ostliche, die andere die westliche. Kommt bei die Ostliche Quadratur diejenige, in welcher der Planet seine obere Konjunktion um 9^h astronomischer Zeit hat und die westliche diejenige, in welcher diese Konjunktion um 18^h erfolgt.

		Konjunktion				
		2 ^a	1 ^a	<i>g</i>	1 ^b	2 ^b
Mars	0°51',28	51',77	52',18	51',41	51',11	
Jupiter	54,82	54,73	55,04	54,15	54,07	
Saturn	53,84	51,65	54,38	51,73	51,24	
Uranus	53,04	52,90	54,24	52,57	52,68	
Neptun	54,50	54,48	54,41	54,37	54,48	
		Ostliche Quadratur				
		2 ^a	1 ^a	E □	1 ^b	2 ^b
Mars	0°51',79	50',47	50',36	50',07	50',51	
Jupiter	50,59	50,40	50,66	50,22	50',22	
Saturn	52,83	52,00	53,02	52,08	51,54	
Uranus	54,14	53,96	54,30	54,28	54,26	
Neptun	55,03	55,13	55,02	54,93	55,00	
		Opposition.				
		2 ^a	1 ^a	<i>p</i>	1 ^b	2 ^b
Mars	0°50',08	50',79	51',02	50',20	50',35	
Jupiter	54,82	54,75	54,37	51,28	51,50	
Saturn	54,54	54,18	54,72	54,74	54,33	
Uranus	55,23	55,08	54,69	55,00	55,11	
Neptun	54,87	54,48	54,49	54,12	54,57	

Westliche Quadranten.

	24.	14.	W □	14.	24.
Mars	07,97,28	07,18	07,50	07,50	07,40
Jupiter	22,24	22,79	24,13	24,09	24,25
Saturn	50,11	50,28	50,24	50,44	50,22
Uranus	57,11	58,14	58,14	58,22	58,50
Neptun	58,45	58,67	58,64	58,10	58,50

Lepst berechnet ausser den Mittelwerten für den Tag der Konjunktion noch Mittelwerte für drei, resp. fünf Tage vor Zeit derselben, wobei jedem einzelnen Tage ein und dasselbe Gewicht beigemitt ist. Bei einer hinsichtlich grossen Anzahl von Tagen (wie im vorliegenden Fall bei den Merkur-Konjunktionen) zeigen die für den Tag der Konjunktion geltenden Mittelwerte am deutlichsten die Eigenständigkeit des Einflusses der entsprechenden Konjunktion auf die astronomische Deklination, während die dreitägigen, und noch mehr die fünfägigen Mittelwerte sich den normalen Werten nähern, insbesondere bei Planeten mit kurzer synodischer Umlaufzeit. Ausser den Mittelwerten aus dem Tagesmittels berechnet er noch Mittelwerte aus demjenigen Monatsmittels, auf welche die einzelnen Konjunktionen fallen.

Aus diesen Rechnungen ergibt sich, dass jeder Planet einen mehr oder weniger ausgeprägten Einfluss auf die astronomische Deklination hat. Die ein- und dreitägigen Mittelwerte weichen stärker von den Monatsmitteln ab, als die fünfägigen, und das zeigt sich selbst bei den Planeten Venus und Mars, obgleich die zutreffenden Mittel für diese beiden Planeten nur aus 10 resp. 3 Tagesmitteln und die dreitägigen aus 10 resp. 21 Tagesmitteln berechnet sind.

Wie Lepst durch weitere zahlreiche Tabellen nachweist, ergibt sich, dass fastgängig in den Konjunktionen der Planeten, mit Ausnahme des Merkurs, die astronomische Deklination weniger wechelt, als in den Oppositionen. Die Erlebnis der Planeten beruht also ein Anwachsen der westlichen Deklination und die grössere Entfernung der Planeten von der Erde, zur Zeit der Konjunktion der äusseren Planeten und der oberen Konjunktion der Venus beruht eine Abnahme der westlichen Deklination. Diese Differenzen können nicht mit unbilliger Gruppierung weniger Tage verbunden werden, denn dieselben verhalten sich, wenn man statt Mittel aus den Tagen der Konjunktion, Mittel aus drei oder fünf Tagen oder Mittel der entsprechenden Monate bildet. Wenn man die Tabellen zur Hilfe nimmt, so sieht man, wie sogar die stunden Tage die entsprechenden Änderungen zeigen. Zur Zeit der oberen Konjunktion des Merkurs steigt die westliche astronomische Deklination vom zweiten Tage vor der oberen Konjunktion bis zum Tage derselben um 0,28, und gleich nach der Konjunktion fällt die Deklination fast um denselben Betrag, nämlich um 0,23 in zwei Tagen. Der untere Konjunktion Merkur im gleicher Weise vor der Konjunktion die Deklination um 0,17 in zwei Tagen sinkt und danach um 0,24 in derselben Zeit steigt. Dasselbe lässt sich von den Tagesmitteln von Venus, Mars, Jupiter und Neptun, nur im umgekehrten Sinn sagen, wobei noch hervorzuheben ist, dass die Extreme ebenfalls nach auf den vorangehenden oder nachfolgenden Tag fallen.

In höherm Grade bemerkenswert aber das positive Vorzeichen der Differenz des Merkurs dieser Planet ist in seiner negativen Wirkung auf die mittlere Deklination mit dem andern der diesen Planeten nicht gleichartig. Vorl. möchte darauf hinweisen, dass die mittlere Dichte von Venus im Saturn übersteigt und von Saturn im Neptun wieder umkehrt, in gleicher Weise verhalten sich auch die Deklination-Abweichungen. Der stauige Planet, dessen Dichte geringer ist, als die der Erde, ist Merkur, und für diesen Planet ergibt die Tabelle eine positive Differenz.

In den Quadranten und Elongationen sind die Differenzen nicht klein und die Deklinationenwerte selbst normal; auffallend sind die Werte für Mars in der südlichen Quadranten. Im Ganzen ist die Deklination zur Zeit der südlichen Quadranten geringer, als zur Zeit der nördlichen, nur bei Jupiter und Neptun tauscht man das entgegengesetzte Verhalten.

Im Vorhergehenden wurde der Einfluss der Planeten einzeln darauf angesetzt, als ob die Planeten Planeten in den Mittelwerten eines Planeten weiter keinen Einfluss haben. Diese Voraussetzung lässt sich nur dann halten, wenn die synodische Umlaufzeit klein genug ist, um bei kurzen Beobachtungsperioden alle Konstellationen des Planeten nach und nach in ähnlichen Konstellationen aller übrigen Planeten in Verbindung bringen und so den Einfluss der übrigen Planeten zu beseitigen. Mit dieser gewissen Annäherung ist das bei Merkur im vorliegenden Fall erreicht worden, während die übrigen Planeten, insbesonders die unserer Erde am nächsten stehenden, eine derartige Elimination durch langfristige Beobachtungen noch nicht gestatten. (Schluss folgt.)

Neue Mikrometernmessungen des Saturn und seiner Ringe.

Herr E. E. Barnard hat die Opposition von 1894 benützt, um an dem grossen Refraktor der Lick-Observatory eine neue möglichst genaue Bestimmung der Dimensionen des Saturn und seiner Ringe anzustellen. Die Messungen begannen im Februar und wurden bis zum Juli fortgesetzt, sie wurden mit der grössten Sorgfalt ausgeführt und berücksichtigen wohl das höchst Erreichbare in dieser Richtung an dem grossen Fernrohr. Die Beobachtungen bestätigen die früheren Messungen, besonders sind sie in guter Übereinstimmung mit den Bestimmungen, an welchen Prof. Hall in den Jahren 1864—67 am 36zölligen Refraktor in Washington gelangt ist. Sie zeigen ferner, dass die Fehler von mehreren Astronomen gemessene Messung, das Ringensystem des Saturn verengten sich, irrig ist. Ferner wurde durch genaue Messungen festgestellt, dass während der Opposition von 1894 Saturn genau im Zentrum seines Ringensystem sich befindet, also nicht excentrisch zu denselben, wie frühere Beobachter gefunden haben. Dagegen ergibt sich, dass die Cassinische Trennung excentrisch in der Saturnkugel steht, indem diese letztere $0.35''$ der vorangehenden Seite der Trennungsspalte näher steht. Demgegenüber müsste eine diese Trennungsspalte in dem Ringensystem selbst excentrisch gegen dessen letztere Begrenzung liegen, eine Thatsache, die schwer zu erklären ist. Herr Barnard ist deshalb auch noch nicht gewiss, diese excentrische Stellung der Ringenspalte als thetisch nachgewiesen zu betrachten, sondern behält sich bessere Untersuchungen darüber vor.

Das physiche Aussehen des Saturn während der Zeit der Messungen hat nichts Ungewöhnliches dar. Die zu mehreren kleinen Teleskopen jüngst gezeichneten dunklen und hellen Flecke sind von Bernard nicht wahrgenommen worden, obgleich, wie er sich ausdrücklich ausdrückt, jenseits der Kraft des 26 Zollers sowohl als des 18-Zollers bei guten und schlechten Luftverhältnissen. Nur ein schmaler dunkler Streifen war auf der Saturnkugel zu sehen, welcher ungefähr die Mitte der letzten hellen Äquatorialzone bezeichnet. Derselbe hellen Zone wurde im Norden von einer dunkeln diffusen Zone begrenzt, die sich bis zum Nordende des Planeten ausdehnte, doch war die nördliche Polarzone wieder etwas heller. Ein oder zwei mal wurde ein sehr kleiner und sehr dunkler Fleck am Nordpol des Saturn gesehen. Um dieselbe Zeit hat auch Herr Stanley Williams den Saturn mit einem Reflektor von verhältnismäßig kleinem Durchmesser beobachtet¹⁾ und auf der nördlichen Hemisphäre des Saturn nicht weniger als 11 dunkle Flecke wahrgenommen, aus denen er sogar die Rotationsdauer des Saturn ableitete, außerdem hat er helle Äquatorialflecke wahrgenommen und zwar in den verschiedensten Zeiten in den Monaten Februar bis Juni. Auch diese lehrten ihn Werte für die Rotationsdauer der Saturnkugel. Ähnliche Flecke hat Herr Williams 1841, 52 und 53 gesehen und daraus Erfahrungen über die Eigenbewegung derselben abgeleitet. Nach den bestimmten Aussagen von Bernard kann es kaum einem Zweifel unterliegen, dass die Wahrnehmungen von Stanley Williams Täuschungen sind, wie denn auch überhaupt keine früheren Beobachter des Saturn von solchen zahlreichen hellen und dunklen Flecken berichtet. — Der Crisping erscheint am 26 Zollers gleichmäßig, selbst im Schatten der Ringebene, von stablischer Farbe und mit dem Himmelsgrunde nicht sehr kontrastierend. Komma's markirte Stelle kann man in ihm wahr genommen werden, ebensowenig eine tiefer an Klüftung hervorstechende unregelmäßige Ausbuchtung an seinem inneren Rande. Endlich zeigt der große Reflektor noch mehr die letzten Spur einer Teilung der Ringebene zwischen dem Crisping und dem inneren hellen Ringe, wie man solche nur selten auf Zeichnungen sieht. Dass solche Trennungslinien wirklich nicht existirt, ist schon durch die Beobachtung der Verunstaltung des Jupiter, welche Herr Bernard am 1. Mai 1837 angestellt, erwiesen worden. Auch ist keine bestimmt erkennbare Verbindungslinie des hellen und des Crispings zu bemerken, vielmehr gehen beide unmerklich in einander über. Bei Untersuchung des Aussehens des Crispings, da wo er sich auf der Kugel projiziert, ergab sich, dass derselbe am inneren Rande sehr dünn sein muss und dass er gegen den hellen Ring im inneren flacher wird. Diese zunehmende Dichtigkeit ist ebenfalls schon durch die Beobachtung der Verunstaltung des Jupiter im Jahre 1837 erwiesen worden. Bei den in Rede stehenden Beobachtungen konnte die Kugel des Saturn durch einen kleinen Teil der Projektion des Crispings hindurch gesehen werden, aber nicht durch den ganzen Ring hindurch. Der innere Teil des hellen Ringes ist genau von derselben Helligkeit wie der äussere Ring, aber etwa in $\frac{1}{2}$ seiner Breite vom äusseren Rande an der äusseren Trennung, ist er sehr hell und zwar heller als irgend ein anderer Teil des Ringensystems oder der

¹⁾ Monthly Notices R. Astr. Soc. 1844, Vol. IV, No. 7, S. 334.

Starrkörper. Wegen des stählernen Standes der Platten waren mehrere Kugeln zerfallen, die früher wahrgenommen worden, nicht vollkommen zu sehen. Die von Herrn Koller 1890 gemachte Trennung des Saturnen Ringes war nicht möglich, obgleich Herr Bernard im 1887 auch gesehen hat. Ebenso war die sogenannte Kecke'sche Trennung diesmal unsichtbar, obgleich Herr Bernard sie ebenfalls in früheren Jahren sah. Der Beobachter glaubt, dass sie keine wirkliche Trennungsspalte ist, wie die Cassini'sche Trennung, die zwischen ihm später mehr als eine dunkle Linie auf dem Ring, obgleich sie allerdings, so viel bekannt, oben auf beiden Seiten des Ringes wahrgenommen worden ist. Herr Bernard glaubt, sie sei vielleicht so zu deuten, dass an ihrer Stelle die Fortsetzungen, aus welchen der Ring besteht, weniger dicht gebildet sind, während sie an Stelle der Cassini'schen Trennung völlig fehlen und eine breite Lücke lassen. Sie wären also dort vielleicht ähnlich verteilt wie im Umriss.

Herr Bernard hat eine sorgfältige Zeichnung des Saturns angefertigt, so wie sich derselbe in dem grossen Refraktor zeigte. Diese Zeichnung ist weniger detaillirt als andere, die früher an kleineren Teleskopen erhalten wurden, allein sie entspricht genau dem, was der Beobachter damals wirklich sah.

Bei verschiedenen Gelegenheiten wurde Saturn kurz nach Sonnenaufgang oder vor Sonnenuntergang beobachtet und es ergab sich, dass einleuchtend, bei ruhiger Luft, das Detail besser zu sehen war als bei völliger Dunkelheit. Dasselbe war der Fall, wenn das Okular mit einer Kappe versehen wurde, in der sich eine kleine Öffnung von 1/16 bis 1/8 Zoll befand. Bei hellen Objekten wird dadurch, dass die Lichtmenge vermindert wird, die Helligkeit der Bilder und damit die Scharfheit des Sehens stets vergrößert. Dieses Verfahren empfiehlt Herr Bernard auch bei Messung von sehr engen Doppelsternen an starben Vergrößerungen. Man könnte meinen, es helfe dasselbe auf das Nützlichste können, wie eine Abblendung der Objektivlinse; indessen ist dies nicht der Fall, denn bei Abblendung des Objectives wird nicht nur die Helligkeit vermindert, sondern auch die schärfende Kraft derselben, welche vom Durchmesser des Objectives abhängt. Erfahrung hat sich bei seinen Doppelsternbeobachtungen stets solcher Okularkappen mit bestem Erfolge bedient. Bernard bemerkt, dass er den Saturn oft mit dem 12zölligen Refraktor untersucht habe, aber bei guter Luft war der Anblick des Planeten im 28-Zöller stets viel schöner und die Details kamen in diesem besser zum Vorschein. Der Beobachter hat sowohl auch den 18-Zöller auf 1 Zoll abgeblendet, wodurch die Bilder an Helligkeit gewannen, doch wurde nichts sichtbar, was nicht auch von der vollen Öffnung gesehen wurde. Bei guter Luft war die Cassini'sche Trennung mit Leichtigkeit um den ganzen Ring herum zu verfolgen und scheinbar vollkommen schwarz und gleichförmig ohne Knoten oder Verbiegungen. Der Anblick der Saturnkugel auf dem Ring war in seiner Begrenzung völlig gleichförmig und zeigte nirgendwo Spalten, dass die Kugelfläche wirklich eben sei. In einer von Truvelot gemachten Zeichnung des Saturn sieht man den Schatten der Saturnkugel auf der Ringfläche so dargestellt, als lägen die beiden Ringe, welche durch die Cassini'sche Spalte getrennt wurden, in sehr verschiedenen Ebenen. Bernard hält dass Wahr-

nehmung für das Trübsich, hervorgehoben durch die stärker brechbaren des hellen Teils des inneren Ringes. Eine auf der Lukenstrasse befindliche Partikelzeichnung des Saturn von Traverset stellt nahezu dieselbe Phase des Ringes dar, wie diejenige die er 1804 zeigte. Auf derselben ist der Ring noch ein wenig und schwach im Scheitel des Saturn erbrochen. Der große Refractor zeigt aber den Scheitel des Saturn auf dem Ring vollkommen schwach und fast nichts von dem Ring kann erkennen, ebenso stellt sich derselbe in den älteren Instrumente des Observatoriums dar.

Herr Harvard bemerkt noch, dass eine der besten Zeichnungen des Saturn von Prof. DeLaware 1800 März 3. in einem Clark'schen Refractor von 6 1/2" Öffnung erhalten wurde. Derselbe zeigt alles, was an der wichtigsten Teleskopen gesehen werden kann, doch ist es bis jetzt nicht publiziert worden. Diese Thatsache beweist, dass auch mit sehr kleinen Refraktoren gute Beobachtungen des Saturn angestellt werden können, überhaupt zeigt die Abbildung des Saturn, die Harvard gegeben, nichts was nicht auch in einem Refractor von 5 bis 6 Zoll Öffnung bei besser Luft gesehen werden kann und gesehen worden ist.

Auf den Detail der Mikroskopzeichnungen des Saturnsystems, welche Herr Harvard in der ersten Hälfte des Jahres 1870 angefertigt, brauche hier nicht eingegangen zu werden, es genügt die Endergebnisse derselben anzuführen. Derselben sind, reduziert auf die mittlere Entfernung des Saturn von der Sonne, folgende:

Aequatorial-Durchmesser des Saturn . . .	17,561"
Polar	14,371"
Aussenr Durchmesser des inneren Ringes	40,560"
Innenr	34,888"
Breite der Cassini'schen Trennung . . .	34,900"
Aussenr Durchmesser des äusseren Ringes	133,460"
Innenr	96,277"
Innenr Cresp-Ringes . . .	35,000"
Breite der Cassini'schen Trennung . . .	0,500"
Ablattung des Saturn	1:11,14

In englischen Maßen ausgedrückt sind diese Verhältnisse folgende:

Aequatorial-Durchmesser des Saturn . . .	=	70,124 engl. Meilen
Polar	=	58,190 "
Aussenr Durchmesser des Ringesystems . .	=	162,130 "
Innenr äusseren Ringes . . .	=	141,650 "
Aussenr Innenr	=	141,870 "
Innenr Cresp-Ringes . . .	=	140,500 "
Breite der Cassini'schen Trennung . . .	=	1,380 "

Bei den Messungen wurde noch die Okular mit 200facher Vergrößerung angewandt, die Bilder waren bei 100facher Vergrößerung doppelt heller, aber niemals völlig gel. Die besten Resultate geben Vergrößerungen von 500- bis 700fach, hiermit war der Abbild im 200facher Vergrößerung am besten.

Herr Harvard hat auch Versuche gemacht, den Durchmesser des Saturnischen Titan zu messen, indem er die Schritte desselben schon so deutlich erkennen, dass wirklich beschriebene Bewegungen vor sich

werden konnten. Es wurde dann eine ähnliche Vergrößerung angewandt. Das Resultat von 5 Messungen ergab einen schätzbaren Durchmesser des Titan von $0,078''$, das von einem von $0,074''$ ergibt. Differenz entspricht.

Am Morgen des 1. April 1866 war die Luft außerordentlich ruhig und klar und der große Refraktor konnte seine ganze optische Kraft entfalten. Herr Bernard beobachtete bei dieser Gelegenheit den Saturn, konnte aber auch unter diesen Umständen keine weiteren Besonderheiten auf dessen Oberfläche erkennen, als diejenigen, deren oben gedacht wurde. Nur am Nordpol erschien eine dunkle Kante, ebenso dunkel wie der Ring-Ring, aber scharf abgegrenzt. Auf beiden Ringhälften war jetzt die Kapselartige Trennung schwach sichtbar, am deutlichsten auf dem südlichen Ringhälften. Sie erschien fast so breit wie die Cassinische Trennung. Der Umfang erschien gleich und die Kapsel des Saturn, konnte durch die Kapselheit bei an dem hohen Ring leicht gesehen werden. Von dem Himmelsgrunde hob sich der Ring-Ring mit scharfer Begrenzung ab und seine Farbe war dunkler.

Die Masse und die Beschaffenheit des Saturnringes.

In der Sitzung der niederbairischen Gesellschaft für Natur und Heilkunde zu Regensburg am 23. Mai sprach Herr Professor Besseflier über die Masse und Beschaffenheit der Ringe des Saturn, nach einem Überblick über die Geschichte und die Entdeckungen des Naturforschers bespricht er die bisherigen Versuche die Masse des planetarischen Ringes zu bestimmen und leitet dann einen neuen Wert für die Ringmasse ab.

Die erste Massenbestimmung hat Bessel (1811) unter Benutzung seiner Lichtenhauer Beobachtungen (1800—1808) über die Apollonbewegung des Titan angefertigt, er fand die Ringmasse zu $\frac{1}{212}$ der Saturnmasse.

Nachdem Bessel 1830 mit dem neuen Helikoneter eine bis heute unübertroffene Beobachtungsgenauigkeit desselben Trabanten geschaffen hatte, leitete er unter Zugrundelegung dieser einen neuen Wert für die Ringmasse:

$\frac{1}{118}$ ab. Dieser Wert ist bis in die neueste Zeit in Anwendung geblieben

wurden, obwohl es nicht zweifelhaft sein konnte, dass — abgesehen von der in der That geringfügigen Wirkung der Wägung Merkur — ein grosser Teil der die Periodeaberration des Titan hervorstechenden Masse in dem äussersten Winkel der äquatorialen Planetenringe stecken liesse, so dass der alte Besselsche Wert für die Ringmasse der Wahrheit sehr viel näher kommen musste, als der letztere. Der Lösung der Aufgabe, die Wirkung der Abplattung von demjenigen der Ringmasse auf die Apollonbewegung zu trennen ist erst Theodor in Ende der 40er Jahre näher getreten. Im ersten Bande der Theodor Annalen hat er unter Zugrundelegung der (18) Besselschen Messungen über die Dimensionen der Saturnkugel die jährlichen Bewegungen des Planetenringes für Titan und die auf seinen Satelliten berechnete, wie die von der Abplattung allein bewirkt werden, und kreuzt die Bedingungen

Sie die Änderung dieser Bewegungsgesetze durch die Ringmasse angegeben. Der Versuch, einen genäherten Wert für die letztere zu erhalten, gelang aber nicht, da die vorliegenden Beobachtungen über die Apollonbewegung von Minus (Lamont, Jacob) einander widersprechen, und sogar auf eine kleinere Apollonbewegung dieses Satelliten hindeuten, als die Ableitung allein verlangt.

Es erschien nun auch für die Folge unthunlich auf diesem Wege zur Kenntnis eines genäherten Wertes für die Ringmasse zu gelangen, da Prof. Hall im Jahre 1849 auf Grund der mit dem stählernen Reflektor in Washington erhaltenen Beobachtungen die Bahnen der inneren Satelliten für kreisförmig erklärte und damit die Lage einer Apollonlinie und die Ringmasse bestimmt; dieselben waren:

Seit 1851 hatte nun aber Herr H. Struve nachher um 1855igen Reflektor der Palisaden Sternwarte die Beobachtung der Saturnsatelliten aufgenommen, und die Beobachtung der schwächeren dass am 2. April 1855 Reflektor fortgesetzt. Die vorliegenden vorläufigen Resultate für die Apollonbewegungen der inneren Trabanten haben nun im Falle Minus einen günstigen Erfolg ergeben, so dass man zur Ableitung eines ersten elementaren Näherungswertes der Ringmasse schreiten konnte. Unter der Annahme der jählichen Periastronbewegung von Minus im 1855.0 von Titan = 0° 50' nach H. Struve und der Elementen und Rotationsdauer des Planeten, haben großes Achaer der Täuschung und der Unrichtigkeit dieses Trabanten nach Thomson's Annahmen, wurde zuerst eine Verbesserung der aus dem Beobachtungen folgenden Ableitungskonstante abgeleitet, und es ergab sich dem die Ringmasse im Verhältnis zur Saturnmasse:

$$\frac{1}{2075}$$

Die Unsicherheit, welche diesem Werte noch anhaftet, ist in der nur noch geringen Unsicherheit in der Kenntnis der Ableitung und des Apollonabstandes des Planeten sowie in der Vernachlässigung der Trabantenstörungen begründet.

Bei der Schwierigkeit die direkt gemessenen Achsenabstände der Planetenbahnen von dem Einfluss der äquatorialen Fehler des Äquars, besonders des Äquarstrahmens, zu befreien, war eine zuverlässige Bestimmung dieser Größe nur aus einer vollkommenen Theorie der inneren Trabanten abzuleiten. Bei dem gegenwärtigen Stande dieser letzteren haben wir Aussicht kein genau so schärfer Wert für die Ableitung zu erhalten, wie er durch die direkten Beobachtungen gemacht zu werden wäre. Inzwischen bietet die suchte aus der Verbindung von Titan und Minus einen abgeleitete Verbesserung eines bereits so genäherten Wertes für die Ringmasse dar, dass die bei der Deutung von Ringbeobachtungen gelegentlich noch herangezogenen Werte von der Ordnung der Beobachter und des vorletzten H. Struve'schen (vergl. Ann. Beob. 1874) als vollständig ausgeschlossen erachtet werden können.

In dem vorerwähnten Stadium seiner Untersuchungen über die Saturnsatelliten hat Herr H. Struve auch Werte für die Ringmasse abgeleitet. In seiner ersten Abhandlung (1856) findet er unter Zugrundelegung der Beobachteten Werte für die Dimensionen der Saturnkugel die

Masse = $\frac{1}{1000}$, zeigt aber, dass unter Voraussetzung der übrigen vorliegenden Bestimmungen jener Größen noch eine obere Grenze für die Ringmasse = $\frac{1}{514}$ mit den Beobachtungen vereinbar wäre. In der zweiten Abhandlung (1899) werden in Untersuchungen in den beobachteten und berechneten Kometenbewegungen ebenfalls nicht unabweisend, dass eine obere Grenze der Ringmasse von $\frac{1}{500}$ richtig erscheint. In der dritten Abhandlung „Verlässige Resultate“ (1900), erscheint, wenn auch die noch verkehrungsfähige Kometenbewegung von Tebbys mit der von Mäzass verglichen wird, eine obere Grenze für die Ringmasse = $\frac{1}{10000}$ ebenfalls ausgeschlossen; es bleibt aber noch, wenn man auch auf die schwierige Bestimmung der Masse von Eros verzichtet, erst eine vorläufige Bestimmung der Masse, der Perihelium- und Kometenbewegung von Enckeloid, sowie der Kometenbewegung von Dine abzuwarten, ehe man zur Ableitung eines definitiven Wertes für die Ableitung und die Ringmasse schreiten kann.

Bleiben wir daher für jetzt bei dem oben abgeleiteten Werte (wahrscheinlich Maximalwert) für die Ringmasse stehen, so ergibt sich unter der Annahme gleicher Dichte mit der Saturnringe und gleicher Massenverteilung innerhalb des Ringes in der mittleren Entfernung des Planeten von der Sonne die

$$\text{Dicke des Ringes} = \frac{1}{2000} \text{ Ringenbreite oder} = 1 \text{ Kilometer.}$$

Die Voraussetzung gleicher Massenverteilung im Ring ist von sich dem Zeugnis der neueren Beobachtungen nicht untrübsal, indem der dunkle Ring transparent erscheint, während der hellere konzentrische nicht durchdringbar ist. Aber es wird die Möglichkeit ausgeschlossen sein, dass der äußere Ring die hundertfache Dicke von der des inneren hat, so dass der Ring beim Durchgange der Erde durch die Ringebene auch für die mächtigsten Fernrohre der Erde vollständig unsichtbar werden muss — In der That ist bei dem jüngsten Durchgange der Erde durch die Ringebene, Ende October 1891, mit dem größten aller bisher bekannten Refraktoren auf der Südhemisphäre das vollständige Verschwinden des Saturnringes von Herrn Barnard beobachtet worden.

Auf die Uebersicht der wahrscheinlichen Beschaffenheit des Saturnringes abgesehen übte Veragander aus, dass die Annahme eines festen, kontinuierlichen Ringes, der Gehalts sich aus sehr vielen dünnen, konzentrischen Ringen bestehend dachte, und die ebenfalls aus festen Komponenten der Ringe bestehende Teile der Maxwell'schen und Huxley'schen Untersuchungen durch die Arbeiten von Tisserand und Seiffert als widerlegt zu betrachten sind.

Aus den Untersuchungen in Tisserand's Monographie sticht und die von Seiffert diskutierte Huxley'sche Behandlung der Frage über die Möglichkeit eines flüssigen oder gasförmigen Zustandes des Saturnringes, wie die besonders die Amerikaner W. Bond und Pierce in neuerer Zeit

verteidigen, geht hervor, dass die Mechanik die Stoffität eines derartigen Gebilde außerordentlich wahrscheinlich macht.

Eine geschicktere Einwand gegen diese Hypothese glückt aber Vortrefflicher durch die Berücksichtigung der physikalischen Verhältnisse des Saturnringes und der neuesten Forschungen über die Bedingungen des Aggregatzustandes beibringen zu können. Wenn irgend ein Körper des Sonnensystems von geringerer oder höherer Dichte durch die überlegende Wärmeabgabe an den kalten Weltraum schließlich in den festen Aggregatzustand übergeführt werden soll, so müsste diese Umwandlung im früheren bei demjenigen Gebilde eintreten, das bei der geringsten Dichte die geringste Wärmeabgabe von der Sonne erhält. Schätzte man nur wenige Kilometer Dichte, deren Wärmeabgabe von der Sonne nur $\frac{1}{200}$ von jener beträgt, welche die Erde empfangt,

und dabei die atmosphärischen Wärmemenge gänzlich entbehren, und aber, wenn man von den meisten Saturnsatelliten absieht, aus dem ganzen Sonnensystem dem Saturnring nicht an die Seite zu stellen. Nach den neuesten Untersuchungen, namentlich jener von Weickmann, und E. Oberwolf (vgl. Wiedemann's Annalen), erscheint der Beweis erbracht, dass der Aggregatzustand einer Substanz nur eine Funktion der Temperatur und des Druckes ist. Schlang es dessen schon früher durch Berücksichtigung sehr tiefer Temperaturen die meisten Flüssigkeiten in festen Zustand überzuführen, so ist es namentlich dem letzteren allerdings geringen, Temperaturfalle (-255° Cel.) herzustellen, durch welche selbst eine Reihe sogen. permanenter Gase in den flüssigen Zustand übergeführt wurden.

Etwas darf die Hypothese des flüssigen Zustandes eines flüssigen Ringes in der Erklärung des Saturns von der Sonne als ausgeschlossen betrachtet werden. Denn bei aller die neue Argument gewonnen für die einseitige Berücksichtigung der Hamerell-Hamerschen Hypothese einer strahligen Struktur des Saturnringes, welche durch die gründlichen Arbeiten Seeley's in ihrer erschöpfenden Feinheit für die besonders durch Prof. Miller am Saturn beobachteten photometrischen Erscheinungen, und die von ihm vinnakare Bearbeitung der Hamerell'schen Beobachtung der Japansverfärbung durch Herrn Buchholz zu einer festbegründeten Theorie erhoben ist.

Eine weitere Beförderung in der vorliegenden Frage bieten auch die neuesten spektralanalysen dar, welche Herr Keeler mit dem grossen Refraktor der Licksternwarte vom Saturnring erhalten hat. Von dem starken Absorptionsband ($\lambda = 688$), das die Planetenkugel aufweist, war im Ringespektrum auch nicht die geringste Spur wahrzunehmen. Auch war, soweit das schwache Spektrum des dunklen Ringes herüberkräftig erscheint, keinerlei Unterscheid zwischen dem Spektrum des hellen und des Ovale rings vorhanden. Im Uebrigen waren nur die hauptsächlichsten Fraunhofer'schen Linien, aber keinerlei helle Linien wahrzunehmen. Der Hinweis, dass es für diese geringen Linien, sehr schwache helle Linien, die sich der direkten Beobachtung entziehen, und die vielleicht nur intermittierend auftreten, durch die photographische Methode nachzuweisen, sei bei dem notwendig sehr komplizierten Bewegungszustande im Saturnring durch besondere Beachtung nach.

Zum Schlußes beharrte Vortragender die Annahme von Herrn W. Meyer aufgestellte Hypothese, wonach der Saturnring aus Aufkantungspindeln der Saturnatmosphäre gebildet wäre, welche durch die Überwiegende Anziehung des Saturns von dem inneren Wandel abgelenkt werden. Die Hypothese hat deshalb eine geringe Wahrscheinlichkeit für sich, weil die beiden von abweichenden Planeten, Jupiter und Mars, obwohl sie dieser Hypothese günstigere Bedingungen darbieten, als Saturn, keine Spur einer Ringbildung aufweisen. Der Wechsel zwischen Sonnenbestrahlung und der ausstrahlenden Kälte des Weltromans verläuft bei Mars in viel größerem Maße ungleichmäßig, als bei Saturn, und wesentlich mehr als der 2,1-mal mächtigere Jupiter viel größere Massen von einem inneren Wandel zu einem Ring veranlassen, als der Saturn imstande wäre.

Übrigens scheint die Existenz des Saturnrings auch in seiner jetzt erkennten Beschaffenheit keine weitere entwicklungsgeschichtlichen Schwierigkeiten darzustellen. Denn nach der herrschenden kosmischen Anschauung sind die Bedingungen für die Bildung eines Planetensystems gerade bei Saturn im ganzen Planetensystem die günstigsten. Die geringste im Planetensystem vorkommende Dichte, die verschiedenen Dichte und die verschiedenen inneren Geschwindigkeiten der einzelnen Ringteile bedingen ein allseitiges eine Veranlassung, für die einzelnen Ringteile aber verschiedene Verhältnisse und Erdarung, so dass es auch entwicklungsgeschichtlich plausibel erscheint, dass der Saturnring aus direkten Materiestücken besteht; die Folgerung, dass diese Materiestücke dann von ganz verschiedener Größe sein werden, wird durch die besten photographischen Beobachtungen über die Lichtverhältnisse am Saturnring im besten Maße wahrscheinlich gemacht.

Untersuchungen über die Spektren der hellsten Sterne nach den photographischen Aufnahmen auf dem astrophysikalischen Observatorium zu Potsdam.

(Schluss.)



Die gesamte Untersuchung, welche Prof. Scheiner anstellt, ergibt, dass beinahe die Hälfte aller Linien, welche in dem Spektrum von α Persei Abweichungen gegen das Sonnenspektrum zeigen, in dem Spektrum von α Cygni ebenfalls wesentlich hervortreten und dessen Eigenständigkeit bedingt. Nun gehört α Cygni der Klasse Ib an, α Persei der Klasse IIa, und es erscheint dem daher der Schluss durchaus plausibel, dass α Persei früher ein ähnliches Spektrum wie α Cygni gehabt hat, dass also hierdurch der bisher noch fehlende Übergang von Ib nach IIa gegeben ist.

Von speziellen Untersuchungen, welche Prof. Scheiner im letzten Teile seiner gesamten Abhandlung gibt, weist hier noch diejenigen über die Orszulana (N. L. 447 175 22) gedenkt werden. Diese Linie wurde von ihm zuerst bei den Orszularen der Klasse I gefunden, bei welchen sie ohne Ausnahme auftritt, später fand sie sich auch in den Spektren von β Pomei, α Virgata, β Teori und γ Ursae majoris. An

ihren Stelle findet sich im Sonnenspektrum keine Linie: „Auch in den grossen ausgewaschenen Metallspektren ist keine Linie zu finden, welche mit der Orindlinie identisch sein könnte. In Young's Verzeichniss der Chromosphärenlinien ist als immer im Chromosphärenspektrum sichtbare Linie unter No. 232 die Linie λ 447.12 $\mu\mu$ angegeben, die bei Reduktion auf das Potsdamer System der Wellenlängen mit der schwachen Linie λ 447.236 $\mu\mu$ im Sonnenspektrum zusammenfällt. Es ist sehr leicht möglich, ähnt Prof. Schaller fort, dass die Chromosphärenlinie und die Orindlinie identisch sind, äusserte ich mich für unwahrscheinlich, dass sie dem Gering angehört, wie Young nach Thalen und Kirchhoff angenommen hat. Der Stoff, von welchem die Linie herrührt, scheint sehr viel Verwandtschaft mit dem Wasserstoff zu besitzen, da in allen Spektren, in denen die Orindlinie auftritt, sie in ihrer Breite und Verwaschenheit genau der Wasserstofflinie H γ entspricht. Der Umstand, dass die Linie immer sehr stark aufgehellt erscheint, mehr als die Wasserstofflinie, spricht dafür, dass das betreffende Gas ein noch geringeres Atomgewicht als Wasserstoff besitzt. Es ist aus vorläufigem Interesse, dass auch an dieser Stelle eine Linie im Spektrum des Orindmetalls befindet, die von Capeland entdeckt worden ist, und nach dessen etwas unglücklicher Nomenclatur die W. L. 447.6 $\mu\mu$ hat. Nach Messungen von Keeler¹⁾ kommt dieser Linie die Wellenlänge 447.53 $\mu\mu$ zu, Campbell findet 447.3 $\mu\mu$, so dass an der Identität derselben mit der Orindlinie kein Zweifel mehr bestehen kann. Der durch das geringere Auftreten dieser Linie in den Mischen der I Klasse nur selten vorkommenden Linie dokumentierte physikalische Zusammenhang zwischen der Orindstrahlung ist hiermit auch auf den Orindmetall anzuwenden, die Zusammenhang, der in neuerer Zeit auch durch andere Untersuchungen wahrscheinlich gemacht worden ist.²⁾

Zum Schluss fasst Prof. Schaller die Ergebnisse seiner Untersuchungen zusammen und folgt nachstehend das Wesentliche dieser Schlussfolgerungen. Er sagt: „Es kann nicht anstehen, dass der gegen früher bestehend erweiterte Einblick, den das Studium der stark dispergirten photographischen Sonnenspektren in die spektralen Verhältnisse der Fixsterne gewährt hat, nach Veranschaulichung an allgemeinen Bemerkungen über die Konstitution dieser Himmelskörper führt, dass es vor allem eine Prüfung bedürftig ist, ob die bisherige Ansicht herrscht, die der grösstestheil der Astrophysiker gehabt, noch beibehalten werden kann, oder ob neuerdings aufgetauchte Theorien einer bessern Übereinstimmung mit den neuen Beobachtungen geben. Ich glaube, im Laufe der Untersuchungen häufig genug Gelegenheit genommen zu haben, mich deutlich zu erklären zu lassen, dass mir die durch die Vorgefährte Klassifikation gegebenen Interrelations-Verhältnisse der Fixsterne und ihre damit zusammenhängende Konstitution zur Erklärung der neuen Beobachtungsergebnisse durchaus unzureichend erschienen. In Betreff einer der neuen Theorien, nämlich derjenigen von Loewyer, habe ich bereits in meiner „Spektralanalyse der Gestirne“ pag. 336 meinen (schliesslichen) Standpunkt gegenüber demselben sehr deutlich ausgesprochen, so dass es hier nur einer Verweisung darauf bedarf, andern aber verbleibt

¹⁾ Astroph. and Astrophys. 1896. Jan.

er sich mit der von Schmidt entwickelten Refraktions-theorie der gasförmigen Himmelskörper, besonders nach deren sorgfältig durchgeführter Anwendung auf die Erscheinungen, welche unsere Sonne bietet, durch Kampf. Es kann kein Zweifel darüber bestehen, dass die allgemeinen Grundzüge dieser Theorie richtig sind, und dass die Möglichkeit der Existenz von Himmelskörpern, welche die Schmelzförmigen Erscheinungen erfüllen, verneint, so fragt sich nur, ob diese Existenz auch wahrscheinlich ist, und ob speziell unsere Sonne und damit alle ihr ähnlichen Körper in diese Theorie einzuordnen ist oder nicht. Ich muss bekennen, dass mir dies höchst ungewiss erscheint und zwar aus mehreren Gründen. Zunächst würde ein solcher Naturzustand, wie ihn die Schmelzförmige Theorie voraussetzt, bei einem rotierenden, sehr kleinen und in ständiger Abkühlung begriffenen Gestirn absolut ausgeschlossen sein; alle Erfahrungen lehren, dass im Weltall nirgends Kugel, sondern unregelmäßige Bewegung herrscht. Wenn man auch mit Schmidt darin übereinstimmt, die Gase, in denen sich die uns sichtbaren Vorgänge auf der Sonne abspielen, als ausserordentlich dünn zu betrachten, so hält es doch schwer, sich eine so enorme Lichtdurchlässigkeit derselben vorzustellen, wie sie nach Schmidt erforderlich ist. Schließlich erschließen mir alle Erfahrungen von Komalarbestimmungen auf der Sonne, besonders von demjenigen spektroskopischen Natur, sehr viel geringerer und komplizierter nach Schmidt's Theorie als nach der Helmholtz's; ich sehe keinen Grund ein, die letzteren Erfahrungen zu verlassen, so lange nichts Einfacheres dafür gefunden wird.

Ich muss an dieser Stelle auch kurz meine Standpunkte zum Kirchhoff'schen Satze angeben, da dessen Folgerungen für die weitere Solution massgebend sind. Die meisten Untersuchungen haben zwischen Physikern an der Uebersetzung gefehlet, dass beim Gehen der Gase nicht so gewisses Verhältniss stattfindet, wie die Kirchhoff angenommen hat. Die Verbindungen, welche die Spektra glühender Gase zeigen, je nach der Art und Weise, wie die Gase hervorgebracht wird, sollen weniger von der Temperatur, als von der Schwingungszahl abhängen, als vielmehr von komplexeren chemischen oder elektrischen Prozessen, über deren Natur man allerdings ja noch vollständig im Unklaren ist. Während man also früher die Kirchhoff'sche Funktion als allein abhängig von Wellenlänge und Temperatur betrachtete und falls, wo dies experimentell nicht zutrifft, wie z. B. bei der Phosphoreszenz, als nicht unter der Kirchhoff'schen Gesetz stehend angesehen hat, würde man jetzt vor der Wahl stehen, entweder alle Fälle auszuscheiden, die die Kirchhoff'sche Satz als nicht mehr gültig zu betrachten, oder ihn durch zu ledern, dass an Stelle der Temperatur ein anderer, selber zu definirender Begriff, der mit der Art der Lichtbewegung zusammenhängt, zu setzen wäre. Das erstere geschieht schon von vielen scharfsinnigen Physikern, wie mir scheint, sehr mit Unrecht, so lange derselbe nicht bewiesen ist die Stelle zu setzen haben, die letztere würde einer Erweiterung des Kirchhoff'schen Satzes gleich kommen, die mit nur Forderungen im begriffen wäre. So lange aber ein solcher Begriff noch nicht gefunden ist, ja besonders so lange überhaupt ein definitives Beweis dafür, dass die Temperatur allein stets massgebend ist, noch nicht geführt ist, so lange will man einen Er-

schien bei Untersuchungen wie der vorliegenden die alte Form der Erweichlichen Säure beizubehalten, immer mit dem Bewusstsein, dass möglicherweise sowohl der Temperatur als weiterer Begriff zuzufügen ist. Wenn ich beispielsweise sage, dass die Temperatur an der Oberfläche der Sterne des Typus I öftersingen bei stark gespanntem Pechen entsprechen, so ist hier erstens zu setzen: der Glühzustand des H₂-Dampfes an der Oberfläche der Sterne des I. Typus entspricht demjenigen an stark gespanntem Pechen.

Diese Andeutungen werden genügen, meines Standpunkts in Bezug auf die Frage nach der Konstitution der Weißköpfer darzustellen, von welchem aus ich zum Verständnis überleite, auf Grund der durch die photographischen Spektroskopie gewonnenen Resultate in möglicher Kürze auf einige Gesichtspunkte näher einzugehen.

Die wesentliche Unterscheidung zwischen Stern- und Nebelspektren liegt im Vorhandensein eines kräftigen kontinuierlichen Spektrums. Dieses kontinuierliche Spektrum kann auf zweiweiße Weise gedeutet werden:

1) Die glühenden Gase befinden sich in einer gewissen Tiefe innerhalb der Atmosphäre unter einem solchen Drucke, dass ihr Linienspektrum durch Verbreiterung der Linien in ein kontinuierliches übergegangen ist. In diesem Falle müssten diejenigen Gase, welche sich in diesem Zustande befinden und daher gleichzeitig auch oberhalb dieser Schicht vorhanden sind, Absorptionslinien von ganz anderer Breite und Verschiebung zeigen, da ja alle Übergänge vom stärksten Drucke bis zu dem geringsten vorhanden sind. Ein solches Aussehen der Linien ist bisher bei keinem stoffigen Sterne beobachtet worden, im Besonderen nicht bei der vorliegenden Untersuchung. Sind dagegen die absorbierenden Gase nicht in dem unteren, unter starkem Drucke befindlichen Gase enthalten, so könnten allerdings die weniger heißen Linien, wie die theoretisch aus vorherigen, entstehen. Es müsste dann vor allem aber angenommen werden, dass der Wasserstoff in dieser Tiefe nicht mehr vorhanden ist, und dies erscheint sehr unwahrscheinlich.

2) Die Photosphäre besteht im wesentlichen aus Kondensationsprodukten, besteht aus Wasserdampftröpfchen in unserer Atmosphäre. Sie röhre also von einem Stoffe oder von mehreren Stoffen her. Sie welche in einer gewissen Höhe der Wasserstoffatmosphäre eine Überwiegung erfindet, in ganz ähnlicher Weise, wie durch die in aufsteigenden Strömen mitgeführten Wasserdämpfe in einer gewissen Schicht die Wolken entstehen. Auf diese Weise lässt sich die äußere Leuchtkraft der Photosphäre sehr viel leichter erklären, da glühende feste oder flüssige Partikelchen ein viel größeres Emittanzvermögen besitzen als glühende Gase, auch wenn sich letztere unter starkem Drucke befinden. Entgegenwärtig dem sonst meist verbreiteten Ansichten haben wir uns aber vorzustellen, dass sich innerhalb der oberen Schichten der Photosphäre die Gase in einem unterirdischen diesem Zustande befinden, der aus vergleichbar ist mit der Dichtigkeit der Gase in möglichst erdarmten Gneisstrüben Böden. Die Dichtigkeit der Kondensationsprodukte ist daher mindestens derjenigen unserer Wolken vergleichbar, sondern höchstens den allerersten Schmelzbedingungen in den höheren Schichten unserer Atmosphäre.

Ich verbleibe von meiner Annahme von Z einem Erklärungsversuch dafür zuzufügen, dass mit zunehmender Abkühlung eines Sterns die Wasserstofflinien allmählich zu Grunde verlieren, während die Linien der Weigen Metalle stärker hervortreten.

Einen Fixstern der Klasse Ia haben wir uns nach dem Vergleichlichen vorzustellen als einen Gasball, bei welchem sich über seiner Photosphäre eine noch sehr beträchtliche Atmosphäre wesentlich von Wasserstoff befindet. Die Temperatur dicht über der obersten Schichten der Photosphäre ist vergleichbar mit derjenigen stark gespannter elektrischer Funken. Alle anderen Metalle sind unter dem Wasserstoff befinden sich noch so weit innerhalb der Photosphäre, dass die infolge der noch immer stattfindenden Temperaturabnahme stattfindenden Absorptionen noch nicht merklich werden.

Infolge der Wärmestrahlung an den Raum hinein findet ein Zusammenziehen der des Stern umschließenden Gase statt, wodurch der Temperaturverlauf besonders im Innern des Körpers noch ausgeglichener wird, aber der Temperaturabfall von der Photosphäre bis zur äussersten Grenze der Atmosphäre wird bei dem Abkühlen des letzteren ein immer schnellerer, so dass endlich die Temperaturunterschiede der obersten Schichten der Photosphäre, welche auch Metalle enthalten, gegen die letztere so beträchtlich werden, dass die Absorptionen sich bemerkbar machen. In erster Linie treten auf die Dämpfe von Magnesium, Natrium (nach Anzeichen der Okularbeobachtungen) und wenige unbekannter Stoffe, so dass es in einzelnen Sternen derartige zu erkennen ist, der die Ursache erzeugt.

Dieser Prozess des Zusammenziehens schreitet immer mehr vor, die Wasserstoffatmosphäre oberhalb der Photosphäre rückt durch die Aufblähen der oberen Gasse der letzteren immer mehr an Mächtigkeit — wohl auch durch direkten Verlust nach unten hin — ab, die Temperaturdifferenzen der oberen Schichten der Photosphäre werden immer beträchtlicher, und damit wächst auch die Absorption. Es wird endlich der Zustand der Klasse IIa erreicht, dem wir uns gegenwärtig erkundigen können. Ob die Photosphäre der Sterne dieser Klasse schon merklich kühler ist als die der Sterne Ia, möchte ich nicht entscheiden, das wesentlichste meiner Anschauung ist nur, dass infolge der Zusammenziehung der Temperaturabfall oberhalb der Photosphäre ein sehr viel stärkerer wird. Wenn der Zeitpunkt kommt, wo die Zusammenziehung nicht mehr genügt, die durch Ausstrahlung abströmende Temperaturabnahme der Photosphäre — und auf diese kommt es wesentlich an, da sie ja den bei weitem grössten Beitrag zum Wärmeverlust liefert — noch auszugleichen, ist natürlich nicht ausgemacht, weil keine Entscheidung zu treffen ist, ob die Intensitätsabnahme des leuchtendsten Teiles des Spektrums, die bei Klasse IIa und besonders bei IIIa sich merklich macht, von einer realen Abnahme der Strahlungsintensität herrührt oder nur von einer vermehrten Absorption in der über der Photosphäre gelegenen Schicht.

Die Temperatur der obersten Schichten ist bei den Sternen der II bis III Klasse vollständig so weit herabgegrungen, dass sie vergleichbar geworden ist mit derjenigen des elektrischen Lichtbogens,

es ist demnach durchaus plausibel, dass allmählich chemische Veränderungen sich statt erhalten können und damit die charakteristischen Emissionenlinien der III. Spektralklasse auftreten.“

Vermischte Nachrichten.

Photographische Aufnahmen des Sternhaufens im Berkeles (B₂)
 hat Herr Isaac Roberts im Mai und Juni dieses Jahres angefertigt. Tafel XI gibt eine Lichtdruck-Vergrößerung seiner Aufnahmen am 28. Mai 1895. Die Expositionsdauer betrug 60 Minuten und es wurde der 10-fache Belichtungsgrad angewandt. Der mittlere Teil des grossen Sternhaufens ist in einer dritten Vergrößerung geteilt, so dass im Lichtdruck die einzelnen Sterne des mittleren Teiles verschwimmen, während sie auf dem Originalnegativ deutlich sichtbar sind. Auch auf einem Lichtdruck nach einer Aufnahme von 1/2 Minuten Expositionsdauer am 15. Juni 1895 sind die Sterne im mittleren Teil des Haufens erkennbar. Herr Isaac Roberts hat dieses Sternhaufen seit 1882 Mai 22 nicht weniger als neunmal photographisch aufgenommen und bemerkt, dass dies genau, verlässliche Untersuchung dieser Aufnahmen. Aufschluss darüber geben könnte ob innerhalb jener Zeit geringe Stellungveränderungen des einen oder andern Sterns des Haufens stattgefunden haben. Solche Veränderungen, die 2" im Bogen oder darüber betragen, konnten auf der Photographie noch erkannt werden. Herr Roberts hofft, dass eine solche Untersuchung von kompetenter Seite ausgeführt werden möge. Es scheint ihm unbekannt zu sein, dass Herr Professor Scheiner von Astrophysikalischen Observatorium zu Potsdam diesen Sternhaufen zum Gegenstand einer eingehenden Untersuchung gemacht hat und eine auf photographischer Aufnahme beruhende Darstellung desselben gibt, die als Ausgangspunkt für spätere Vergleichenungen allen Ansprüchen genügt. Über diese Abhandlung auf im Stern 1891 Seite 14—17 nachträglich berichtet worden, auch die Scheiner'sche Karte des Sternhaufens auf Tafel II jenes Jahrganges reproduziert.

Der Komet 1895, Swift, hat sich als ein periodischer von kurzer Periode dauer erwiesen. Seine Umlaufzeit beträgt nahezu 7 Jahre und das Perihelium trat er am 21. August. Die Helligkeit blieb stets sehr gering und nur Ende Oktober, der Beobachtung genötigt etwa 1/2 von derjenigen zur Zeit der Entdeckung.

Über die Helligkeit des I. Jupitermondes. Als ich am 21. März um 10^h 15^m M. E. Z. den Jupiter ansah, fand ich, dass der II. Mond sich oben angedockt hinter dem Planeten zu verschwinden, während der I. und III. bald in sehr scharfe Contouren traten. Ich wandte also meine ganze Aufmerksamkeit diesen drei Erscheinungen zu. Um 10^h 20^m verschwand Satalit II hinter der Scheibe, um 10^h 25^m hinter Satalit I deren Ostwand, um 10^h 45^m stand er vollständig auf der Scheibe, um 10^h 55^m 25^m schien es mir bereits, als hätte Satalit III den Scheiterhaufen, doch fand ich bald, dass noch ein kleiner Zweiterhaufen sichtbar war, so dass erst um 10^h 57^m die völlige Berührung erfolgte. Um 10^h 10^m 20^m verschwand der letzte Rest der Zweiterhaufen, und der Mond stand somit vollständig auf der Scheibe. Es sei bei dieser Gelegenheit gleich

erwähnt, dass der Luftzustand am besten war und das heutzutage Okular ein sehrseitiges Kreuzfaden-Infrarot 28fache Vergrößerung gab. Die Bilder waren so schön, dass die Hände der Beobachter (sowohl des Planeten wie auch seiner Satelliten) sich vom Himmel oben so schwarz und deutlich abhoben, wie sie auf Papier gestrichelter Erde. Dessen Umstände ist es wohl gesehehen, dass ich bei dem Eintritt beim Versuchsaufbau der drei Satelliten weiter im Westen saß, doch am Rand des Planeten auch nur die geringste Deformation oder Trübungbildung, noch sonst etwas jenseitig Phänomene zu bemerken vermochte, von denen manche Beobachter zu berichten wissen.

Der III. Satellit war solange glänzend geblieben, aber bald dunkler geworden, so dass er um 7^h 52^m bereits „dunkel“, 7^h 59^m 50^m „sehr dunkel“ und 7^h 42^m „schwarz“ erschien; doch als der Beobachter des I. Mondes, welcher um 7^h 40^m 30^m seinen Eintritt begonnen hatte, um 7^h 50^m vollständig auf der Scheibe stand, sah ich, dass nur diesem allein die Bezeichnung „schwarz“ gebühre, weil im Vergleich zu dem der III. Mond doch nur „dunkelgrün“ genannt werden konnte. Um 8^h 8^m war er am dunkelsten — „schwarzlich“ — doch wurde er später wieder dunkelgrün und begann um 8^h 50^m schwächer zu werden, bis er um 9^h 30^m 10^m unsichtbar wurde. Um 7^h 40^m 40^m verließ er sich wieder durch ein kleines Phänomen, welches aus dem Westrande der Planetenscheibe hervorsprang und erst oben hinter der Scheibe verschwindende Satelliten hinsichtlich Ähnlich sah. Um 7^h 50^m war er vollständig unsichtbar.

Von dem I. Satelliten betrifft, so war er nach seinem Eintritt ebenfalls erst glänzend gewesen und dann immer blässer geworden, bis er um 7^h 9^m nicht mehr erkennbar war. Allein um 7^h 10^m 40^m und um 7^h 20^m verließ er sich als glänzender Fleck auf der weißen Faltung des Südquatoralgürtels, auf welcher er also stand. Auch um 7^h 30^m glänzte ich ihn wieder zu erkennen und um 7^h 50^m sah ich ihn bestimmt als glänzenden Fleck, aber um 8^h 8^m war er nicht so bestimmt sichtbar. Um 8^h 10^m verließ ich das Pericentrum und als ich um 7^h 42^m an dasselbe zurückkehrte, kam ich eben zur rechten Zeit, den Eintritt des I. Satelliten zu beobachten, welcher um 8^h 40^m vollständig erfolgt war. Um 8^h, als ich seinen Scheitel ins Auge faßte, welcher Befehlskreis nahezu im Mittelpunkt des Südquatoralgürtels stand, fand ich zu meinem Erstaunen, dass derselbe nicht wie im Süden stand, sondern häufiger erschien und zwar parallel dem Äquator des Planeten. Ich sah mit mir auch den bereits im Blick vom Rande entferntes Satellit I selbst genau so und fand zu meiner Überraschung genau dasselbe häufigste Gestalt in derselben Richtung. Ich erwartete mich an die Beobachtungen des Herrn Wilhelm Fickering und deren Sichtbestätigung durch Herrn Harvard, aber auch an eine eigene frühere Beobachtung. Bei letzterer hatte es mir nämlich auch geschienen, als seien die Satelliten nicht ganz rund, doch war dies nur eine Verackung der Thaumkappe zu verdanken, weil nach deren Entfernung die Satelliten sofort rund erschienen waren. In der That, obwohl es eine ähnliche Ursache vorhanden, nahm ich die Thaumkappe ab, fand jedoch sowohl den I. Satelliten wie auch seinen Scheitel ebenso häufig wie oben. Ich vermehrte um Okular von 40x, 60x, 87x und 100facher Vergrößerung, doch statt

taigte sich mit einer Beständigkeit, welche auch den geringsten Zweifel ausschloß, dass der Körper elliptisch war, mit seiner grossen Achse parallel zum Äquator des Jupiter und zwar im Verhältnis von ungefähr 5 : 6 oder 6 : 7. Ein Irrtum bezüglich der Tatsache dieser Elliptizität ist daher vollständig ausgeschlossen. Das Okular von dem Dynamometer gemeinsamer sphärischer Vergrößerung ist ein wahres Meisterwerk von Heriberto J. Hertal. Obgleich nur von $\frac{1}{2}$ Lige Brennweite (die Augenlinse hat kaum 1 mm im Durchmesser), gibt es Bilder von entzückender Schärfe und Grösse, so dass ich es sogar bereits auf dem Mars zur Auflebung der Schwebeliche und des Mond verwendet konnte, auf weicht letzterem es mir zur Entdeckung von einem Betrand der schönsten Rillen verhalf. Die Schärfe der Jupitermole und also in diesem Okular so scharf, als man es überhaupt nur wünschen kann und dabei ganz genau um ihre Durchmesser mit der grössten Genauigkeit messen zu können dürfte mir ein gutes Fadenmikrometer zur Verfügung (jedes hat sich wohl kein Mäus gefanden, der unsere Sternweite zu einem solchen erhalten hätte), so wäre es mir ganz leichtgemacht gewesen, das Verhältnis der grossen Achse des Ceterfianer zu kleinen genau zu bestimmen. Denn die oben angegebenen Proportionen beruht nur auf Schätzung. Bemerket es noch, dass der III. Mond später (S. 6 von 10^h) vollkommen rund erschien, während der I. noch immer seine Elliptizität zeigte. ⁷

Los Barraco.

Versuche zur Wiederbelebung der Stereoptik. Der Haupt begründe Aberglaube, der eine Zusammenhang zu haben den Stellung s der Sterne und den Geschicken der Menschen anzuhin und dem durch die unsterblichen Entdeckungen eines Copernicus, Kepler und Newton aufhört der Boden entzogen wurden, wird nunmehr von sogenannten „Theosophen“ wieder hervorgeholt, ja, in Berlin soll demnächst eine Gesellschaft zur Wiederbelebung der Astrologie gegründet werden. Im England treten G. Wilde und J. Dubois öffentlich als „Astrologen“ auf, und ein gewisser Pfarrer H. Holtz wird als Astrologe öffentlich genannt. Der geistliche Arm Dr. Franz Hartmann landete nach dem Lütkerker Entdecken die Aussagen der Sternkundigen über die wahrscheinlichsten Ursachen desselben als Phantasiegebilde und sagt demgegen: „Von der Astrologie, die ihnen aus über die Ursachen der Erdbeben Auskunft geben kann, wenn die moderne Katholikereidenschaft weichte. . . Es wird behauptet, dass am letzten Karfreitag die Stellung der Planeten mit 1890 Jahren zum ersten Male gerade wieder dieselbe gewesen sei wie vor 5000, in der das „Ereignis in Palästina stattgefunden haben soll. Auch damals soll die Fede gehört und die Felsen sich gespalten haben und der Vorhang im Tempel von oben bis unten herunter gesunken sein.“ Welchen Thee mag diese Behauptung, die Dr. Hartmann unbeschwerd als wahr annimmt, um eben weiteres Schisma darauf zu bauen, wohl auf gestellt haben? Christus wurde gerade der Ueberführung am 14. Nisan des jüdischen Jahres gekreuzigt, und dieser Tag hatte Vollmond, am letzten Karfreitag aber war kein Vollmond, was allem schon be weist, dass die behauptete Wiederkehr der gleichen Planetenstellung nicht stattgefunden hat. Ebenso wenig schliesslich wird die Behauptung,

⁷ Ann. Fichte Nr. 100.

denn K. A. Hager für die Astrologie gesteht: „Die Menschheit“, sagt er, „hat wirklich bemerkt, dass bei der oder der Sonnen- oder Mondstörung Donnerwetter, starke Regen, Epidemien, Krieg u. s. w. auftreten, Erscheinungen, die mit physikalischen Hypothesen nur sehr schwer erklären werden könnten, die aber nur auf dem Gebiete der Biologie und Soziologie hervortreten und unsere Völker direkt treffen. Und über ein Volk von Riesenhäupten gesteht er, so dass die Volksherrschung eine Schicksalsregierung sei, und jedes einzelne Glied kommt, wenn ein die Allgemeinheit umfassendes Ereignis eintritt, z. B. Völkerverstümmelungen, Epidemien, dieselbe momentane Gestirnsstellung zu. Umgekehrt kann man bei der Geburt sagen: der Stern stand schon jetzt so, während also gewisse Völker Laute nach so und so viel Jahren so und so starben, die Erfahrung lehrt, dass dann ein bestimmtes Ereignis eintritt — nicht nicht direkte Folge, sondern als Parallel-Erscheinung. Deshalb ist es klar, dass Figuren, die an der Spitze gewisser Bewegungen stehen, ein ganz primes Bestehen göttlich werden kann.“ Jedermann wird beim geringsten Nachdenken einsehen, dass man den Vorlesungen grade der umgekehrte Schluss gezogen werden muss, dass wenn sehr zahlreiche Individuen, bei deren Geburt die verschiedensten Konstellationen statt finden, später dem gleichen Geschick verfallen, so folgt daraus offenbar, dass man zuerst bestimmten Konstellationen nicht auf das bestmögliche Schicksal des Einzelnen geschlossen werden kann. Und umgekehrt, wenn die Konstellation bei der Geburt des Lebenslauf entscheidet, so müsste die nur selten Zeit Geborenen das gleiche Schicksal erleben; wie kommt es denn nun, dass wir nicht ein paar Hundert Diktatoren in Deutschland haben? Man hätte glauben sollen, dass nach dem Fiasco Kriegerwethers, der vor einigen Jahren, streng nach den Regeln der alten Astrologie, am Horn-Kop Kaiser Wilhelm II. beschleunigt, der astrologische Aberglaube sich nicht sobald mehr an die Odontologie wagen würde. Statt dessen verheißt mir von Dr. Göring, dass demnächst ein gebührendes Werk über Astrologie erscheinen wird, verfasst von einem „angesehnen Kaiser“, und Dr. Göring wünscht „dem einzigen Deutschen Glück zur Vollendung seiner Arbeit, die lange in Deutschland gestiftet hat.“ Welche nur die scheinbare Zufälligkeit aller Doppeldeutigkeiten im Lebenslauf des Einzelnen als Gegenwort an das streng wissenschaftliche, durch die Nachschau vorherbestimmbareren Bestehen der Bewegungen der Himmelskörper normiert die Astrologie im Reich der Träume, sondern besonders der Umstand, dass für die angeblichen Regeln der Astrologie schicksalstragend nach dem bloßen Erfahrungsstatistischem angelehrt werden können.

Refraktor

von 216 mm Öffnung mit 14 Okularen, montiert mit Porzellanfaden Uhrwerk, für 2000 Mark zu verkaufen. Nähere Ankauf erteilt

E. Willeroy in Wallerfangen bei Saarbrücken.

Mehrere größere und kleinere

Refraktoren

sind sehr preiswürdig zu verkaufen. Einstrahlungen wollen sich wegen seltener Strahlungen so nicht werden.

Dr. Hermann J. Klein in Köln.

Ergebnisse der Jagden. Die folgenden Angaben über die Ergebnissen der Jagden sind aus dem Meißner Almanach entnommen und die angegebenen Zahlen sind 1877 von Gersbach. Die Treibarten sind der Reihenfolge ihrer Abnahme vom Januar nach mit I bis IV geordnet. Ferner bedeutet:

- Ka D das Vorkommen eines Treibens im Meißner im Januar
- Ka E das Vorkommen des Treibens aus dem Meißner im Januar
- Ca D das Vorkommen des Treibens hinter der Appenzeller
- Ca E das Vorkommen des Treibens selbst hinter der Appenzeller.
- Ta I das Vorkommen des Treibens vor der Appenzeller.
- Ta E das Vorkommen des Treibens aus der Appenzeller.
- Ma I das Vorkommen des Treibens-Schusses auf die Appenzeller.
- Ma E das Vorkommen des Treibens-Schusses aus der Appenzeller.

Es sind nur diejenigen Ergebnissen der Jagden angegeben, welche auch angegeben, wenn Jagden im Gange sind und die Anzahl solcher der Meißner ist. Die Anzahl der Treibarten dieser Ergebnissen für jeden andern Ort zu finden, hat man nur nötig, die Höhenverhältnisse gegen Gersbach entsprechend in Zahlen zu vergrößern beziehungsweise zu verkleinern, wenn der Ort westlich von Gersbach liegt und kleiner zu verkleinern, wenn der Ort westlich von Gersbach liegt.

Januar 1. 1881. I Ka D 10 20 30. I Ca E 10 20 30. I Ta E 10 20 30. I Ma E 10 20 30.	Januar 2. I Ka E 10 20 30. I Ta E 10 20 30. I Ma E 10 20 30.	Januar 3. I Ka D 10 20 30. I Ca E 10 20 30. I Ta E 10 20 30. I Ma E 10 20 30.	Januar 4. I Ka D 10 20 30. I Ca E 10 20 30. I Ta E 10 20 30. I Ma E 10 20 30.	Januar 5. I Ka D 10 20 30. I Ca E 10 20 30. I Ta E 10 20 30. I Ma E 10 20 30.	Januar 6. I Ka D 10 20 30. I Ca E 10 20 30. I Ta E 10 20 30. I Ma E 10 20 30.	Januar 7. I Ka D 10 20 30. I Ca E 10 20 30. I Ta E 10 20 30. I Ma E 10 20 30.	Januar 8. I Ka D 10 20 30. I Ca E 10 20 30. I Ta E 10 20 30. I Ma E 10 20 30.	Januar 9. I Ka D 10 20 30. I Ca E 10 20 30. I Ta E 10 20 30. I Ma E 10 20 30.	Januar 10. I Ka D 10 20 30. I Ca E 10 20 30. I Ta E 10 20 30. I Ma E 10 20 30.	Januar 11. I Ka D 10 20 30. I Ca E 10 20 30. I Ta E 10 20 30. I Ma E 10 20 30.	Januar 12. I Ka D 10 20 30. I Ca E 10 20 30. I Ta E 10 20 30. I Ma E 10 20 30.	Januar 13. I Ka D 10 20 30. I Ca E 10 20 30. I Ta E 10 20 30. I Ma E 10 20 30.	Januar 14. I Ka D 10 20 30. I Ca E 10 20 30. I Ta E 10 20 30. I Ma E 10 20 30.	Januar 15. I Ka D 10 20 30. I Ca E 10 20 30. I Ta E 10 20 30. I Ma E 10 20 30.	Januar 16. I Ka D 10 20 30. I Ca E 10 20 30. I Ta E 10 20 30. I Ma E 10 20 30.	Januar 17. I Ka D 10 20 30. I Ca E 10 20 30. I Ta E 10 20 30. I Ma E 10 20 30.	Januar 18. I Ka D 10 20 30. I Ca E 10 20 30. I Ta E 10 20 30. I Ma E 10 20 30.	Januar 19. I Ka D 10 20 30. I Ca E 10 20 30. I Ta E 10 20 30. I Ma E 10 20 30.	Januar 20. I Ka D 10 20 30. I Ca E 10 20 30. I Ta E 10 20 30. I Ma E 10 20 30.	Januar 21. I Ka D 10 20 30. I Ca E 10 20 30. I Ta E 10 20 30. I Ma E 10 20 30.	Januar 22. I Ka D 10 20 30. I Ca E 10 20 30. I Ta E 10 20 30. I Ma E 10 20 30.	Januar 23. I Ka D 10 20 30. I Ca E 10 20 30. I Ta E 10 20 30. I Ma E 10 20 30.	Januar 24. I Ka D 10 20 30. I Ca E 10 20 30. I Ta E 10 20 30. I Ma E 10 20 30.	Januar 25. I Ka D 10 20 30. I Ca E 10 20 30. I Ta E 10 20 30. I Ma E 10 20 30.	Januar 26. I Ka D 10 20 30. I Ca E 10 20 30. I Ta E 10 20 30. I Ma E 10 20 30.	Januar 27. I Ka D 10 20 30. I Ca E 10 20 30. I Ta E 10 20 30. I Ma E 10 20 30.	Januar 28. I Ka D 10 20 30. I Ca E 10 20 30. I Ta E 10 20 30. I Ma E 10 20 30.	Januar 29. I Ka D 10 20 30. I Ca E 10 20 30. I Ta E 10 20 30. I Ma E 10 20 30.	Januar 30. I Ka D 10 20 30. I Ca E 10 20 30. I Ta E 10 20 30. I Ma E 10 20 30.
---	--	---	---	---	---	---	---	---	--	--	--	--	--	--	--	--	--	--	--	--	--	--	--	--	--	--	--	--	--

Flusswasserstände 1881. Januar 1. 1881 Höhe in der Erlücke. Januar 1. 2. Höhe in großer nach Schneewasserhöhe. Januar 1. 2. Höhe in großer nach Schneewasserhöhe. Januar 1. 2. Höhe in großer nach Schneewasserhöhe. Januar 1. 2. Höhe in großer nach Schneewasserhöhe.

Wasserbedeckung durch den Meißner für Berlin 1881

Wochentag	Wasser	Höhe	Wasserstand nach 1. u. 2.	Wasserstand nach 1. u. 2.
Jan 1.	1. 2. 3.	1.2	10 20 30	10 20

Lage und Höhe der Schneekette nach Meißner. Von 1. Uebersehen der Schneekette. 1881. Höhe über 1000'. Richtungsverhältnisse der Erde über der Schneekette. 1881. 1881.

Stellung der Jupitermonde im Januar 1894.

I.



III.



II.



IV.



Stellungen von Jupiter und den Jupitermonden im westdeutschen Kalender.

Tag	West.	West.	West.	West.	West.
1	4	1	1	1	1
2	4	1	1	1	1
3	4	1	1	1	1
4	4	1	1	1	1
5	4	1	1	1	1
6	4	1	1	1	1
7	4	1	1	1	1
8	4	1	1	1	1
9	4	1	1	1	1
10	4	1	1	1	1
11	4	1	1	1	1
12	4	1	1	1	1
13	4	1	1	1	1
14	4	1	1	1	1
15	4	1	1	1	1
16	4	1	1	1	1
17	4	1	1	1	1
18	4	1	1	1	1
19	4	1	1	1	1
20	4	1	1	1	1
21	4	1	1	1	1
22	4	1	1	1	1
23	4	1	1	1	1
24	4	1	1	1	1
25	4	1	1	1	1
26	4	1	1	1	1
27	4	1	1	1	1
28	4	1	1	1	1
29	4	1	1	1	1
30	4	1	1	1	1
31	4	1	1	1	1

Flottenverfallung im Januar 1893.

Mittlere Barken-Mittag						Mittlere Barken-Mittag							
Monat	Einbrüche			Ausbrüche			Monat	Einbrüche			Ausbrüche		
	a	b	m	a	b	m		a	b	m	a	b	m
1892.													
W a s s e r.													
Jan	5	25	45	33	37	-13	20	23	7	0	47	2	2
Feb	13	30	50	19	27	-13	25	25	0	1	2	1	2
März	15	20	25	12	0	0	2	0	0	1	0	1	0
Apr	20	23	20	11	0	0	1	0	0	0	0	0	0
Mai	21	42	54	28	27	7	0	0	0	0	0	0	0
Juni	22	50	57	20	11	0	0	0	0	0	0	0	0
W e n n e r.													
Jan	5	15	25	4	8	-17	12	20	4	21	0	0	0
Feb	10	18	22	12	20	1	0	0	0	0	0	0	0
März	18	20	10	13	0	0	0	0	0	0	0	0	0
Apr	12	12	10	10	0	0	0	0	0	0	0	0	0
Mai	17	17	10	10	0	0	0	0	0	0	0	0	0
Juni	20	22	10	10	0	0	0	0	0	0	0	0	0
W e r t.													
Jan	5	17	4	14	8	-33	4	4	17	0	0	0	0
Feb	10	12	20	10	20	10	20	24	7	0	0	0	0
März	12	12	20	20	20	15	20	24	7	0	0	0	0
Apr	17	10	10	10	10	20	20	20	20	0	0	0	0
Mai	17	17	10	10	10	21	20	24	8	0	0	0	0
Juni	20	20	10	10	10	20	24	20	8	0	0	0	0
W e r t e.													
Jan	5	15	4	14	8	-33	4	4	17	0	0	0	0
Feb	10	12	20	10	20	10	20	24	7	0	0	0	0
März	12	12	20	20	20	15	20	24	7	0	0	0	0
Apr	17	10	10	10	10	20	20	20	20	0	0	0	0
Mai	17	17	10	10	10	21	20	24	8	0	0	0	0
Juni	20	20	10	10	10	20	24	20	8	0	0	0	0
W e r t e.													
Jan	5	15	4	14	8	-33	4	4	17	0	0	0	0
Feb	10	12	20	10	20	10	20	24	7	0	0	0	0
März	12	12	20	20	20	15	20	24	7	0	0	0	0
Apr	17	10	10	10	10	20	20	20	20	0	0	0	0
Mai	17	17	10	10	10	21	20	24	8	0	0	0	0
Juni	20	20	10	10	10	20	24	20	8	0	0	0	0
W e r t e.													
Jan	5	15	4	14	8	-33	4	4	17	0	0	0	0
Feb	10	12	20	10	20	10	20	24	7	0	0	0	0
März	12	12	20	20	20	15	20	24	7	0	0	0	0
Apr	17	10	10	10	10	20	20	20	20	0	0	0	0
Mai	17	17	10	10	10	21	20	24	8	0	0	0	0
Juni	20	20	10	10	10	20	24	20	8	0	0	0	0
W e r t e.													
Jan	5	15	4	14	8	-33	4	4	17	0	0	0	0
Feb	10	12	20	10	20	10	20	24	7	0	0	0	0
März	12	12	20	20	20	15	20	24	7	0	0	0	0
Apr	17	10	10	10	10	20	20	20	20	0	0	0	0
Mai	17	17	10	10	10	21	20	24	8	0	0	0	0
Juni	20	20	10	10	10	20	24	20	8	0	0	0	0
W e r t e.													
Jan	5	15	4	14	8	-33	4	4	17	0	0	0	0
Feb	10	12	20	10	20	10	20	24	7	0	0	0	0
März	12	12	20	20	20	15	20	24	7	0	0	0	0
Apr	17	10	10	10	10	20	20	20	20	0	0	0	0
Mai	17	17	10	10	10	21	20	24	8	0	0	0	0
Juni	20	20	10	10	10	20	24	20	8	0	0	0	0
W e r t e.													
Jan	5	15	4	14	8	-33	4	4	17	0	0	0	0
Feb	10	12	20	10	20	10	20	24	7	0	0	0	0
März	12	12	20	20	20	15	20	24	7	0	0	0	0
Apr	17	10	10	10	10	20	20	20	20	0	0	0	0
Mai	17	17	10	10	10	21	20	24	8	0	0	0	0
Juni	20	20	10	10	10	20	24	20	8	0	0	0	0

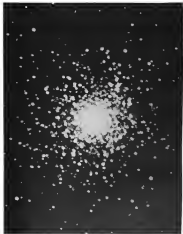
W e r t e.

Jan	Feb	März	Apr	Mai	Juni
1	2	3	4	5	6
7	8	9	10	11	12
13	14	15	16	17	18
19	20	21	22	23	24
25	26	27	28	29	30
31					

W e r t e.

Mittlere Barken-Mittag						Mittlere Barken-Mittag							
Monat	Einbrüche			Ausbrüche			Monat	Einbrüche			Ausbrüche		
	a	b	m	a	b	m		a	b	m	a	b	m
1	7	20	30	19	28	33	0	0	0	0	0	0	
2	8	22	32	21	30	35	0	0	0	0	0	0	
3	9	24	34	23	32	37	0	0	0	0	0	0	
4	10	26	36	25	34	39	0	0	0	0	0	0	
5	11	28	38	27	36	41	0	0	0	0	0	0	
6	12	30	40	29	38	43	0	0	0	0	0	0	
7	13	32	42	31	40	45	0	0	0	0	0	0	
8	14	34	44	33	42	47	0	0	0	0	0	0	
9	15	36	46	35	44	49	0	0	0	0	0	0	
10	16	38	48	37	46	51	0	0	0	0	0	0	
11	17	40	50	39	48	53	0	0	0	0	0	0	
12	18	42	52	41	50	55	0	0	0	0	0	0	
13	19	44	54	43	52	57	0	0	0	0	0	0	
14	20	46	56	45	54	59	0	0	0	0	0	0	
15	21	48	58	47	56	61	0	0	0	0	0	0	
16	22	50	60	49	58	63	0	0	0	0	0	0	
17	23	52	62	51	60	65	0	0	0	0	0	0	
18	24	54	64	53	62	67	0	0	0	0	0	0	
19	25	56	66	55	64	69	0	0	0	0	0	0	
20	26	58	68	57	66	71	0	0	0	0	0	0	
21	27	60	70	59	68	73	0	0	0	0	0	0	
22	28	62	72	61	70	75	0	0	0	0	0	0	
23	29	64	74	63	72	77	0	0	0	0	0	0	
24	30	66	76	65	74	79	0	0	0	0	0	0	
25	31	68	78	67	76	81	0	0	0	0	0	0	
26	32	70	80	69	78	83	0	0	0	0	0	0	
27	33	72	82	71	80	85	0	0	0	0	0	0	
28	34	74	84	73	82	87	0	0	0	0	0	0	
29	35	76	86	75	84	89	0	0	0	0	0	0	
30	36	78	88	77	86	91	0	0	0	0	0	0	
31	37	80	90	79	88	93	0	0	0	0	0	0	

Brought to you by | Google



Der Sternhaufen im Herkules (M. 13),

aufgenommen von Isaac Roberts

1866 Mai 28 mit 60 Minuten Exposition.







An die verehrl. Abonnenten des „Sirius“!

Um den Abonnenten des „Sirius“ nach die früheren Verlegungen der *Internationalen* und *allgemeinen* *Wissenschaftlichen* *Zeitschrift* nicht unangenehm zu machen, habe ich mich entschlossen, eine *Fortsetzung* des I. bis XIV. Bandes (Jahrgang 1878—1892) zu veröffentlichen. *Wichtige* *Artikel* *bleiben* *in* *offener* *Form*.

Band I, II, III, IV, V, VI (Jahrgang 1878—79) waren zusammen *gebunden* *zu* *12* *Mark*.

===== Einzelne Bände *à* 2 Mark. =====

Band VII, VIII, IX, X (Jahrgang 1879—82) waren zusammen *gebunden* *zu* *12* *Mark*.

===== Einzelne Bände *à* 2 Mark. =====

Band XI, XII, XIII, XIV (Jahrgang 1882—85) waren zusammen *gebunden* *zu* *12* *Mark*.

===== Einzelne Bände *à* 2 Mark. =====

Band XV, XVI, XVII, XVIII (Jahrgang 1887—90) waren zusammen *gebunden* *zu* *12* *Mark*.

===== Einzelne Bände *à* 2 Mark. =====

Band XIX/XXII (1891—92) *à* 12 Mark

Einband-Druck *derer* *Kosten* *pro* *Band* *nur* *75* *Pfg.*

Noch bemerke ich, daß die *verbleibenden* *Alten* *Teile* *abgegeben* *werden* *können*. *Ich* *bin* *verpflichtet* *Interessenten* *billigst* *besorgen* *zu* *werden*. *Der* *Verkauf* *solcher* *verbleibender* *Bände* *teilt* *der* *alte* *Vertrag* *weder* *in* *Kraft*.

Was *insbesondere* *wird* *auf* *den* *Markt* *zurückgekauft* *General-Experte* *in* *1893* *1—27* *der* *neuen* *Zeitschrift* *des* *„Sirius“* *angehören*, *welcher* *für* *jeden* *Abnehmer* *des* *Bands* *1—27* *des* *„S.“* *unentgeltlich* *ist*.

Jede *Bestel-* *lung* *und* *Kostenrechnung* *über* *Aufträge* *erfolgt*.

Leipzig, Januar 1893

Verlagsanstalt
Die Verlagsbuchhandlung
Hart Schöner.

Der *Interessenten* *bestellt* *bei* *der* *Bestel-* *lung* *und* *Kostenrechnung* *von*

Exp. *Sirius*. *Neu* *Zeitschrift* *Band* *I, II, III, IV, V, VI* (Jahrgang 1878—79) *zu* *12* *Mark*.

Exp. *Sirius*. *Neu* *Zeitschrift* *Band* *VII, VIII, IX, X* (Jahrgang 1879—82) *zu* *12* *Mark*.

Exp. *Sirius*. *Neu* *Zeitschrift* *Band* *XI, XII, XIII, XIV* (Jahrgang 1882—85) *zu* *12* *Mark*.

Exp. *Sirius*. *Neu* *Zeitschrift* *Band* *XV, XVI, XVII, XVIII* (Jahrgang 1887—90) *zu* *12* *Mark*.

Exp. *Sirius*. *Neu* *Zeitschrift* *Band* *XIX, XXII* (Jahrgang 1891—92) *à* *12* *Mark*.

Exp. *Einband-Druck* *derer* *Kosten* *pro* *Band* *75* *Pfg.*

Exp. *General-Experte* *in* *Band* *1—27* *der* *neuen* *Zeitschrift* *à* *2* *Mark*.

Get. *druckt* *und* *Verl.*

Verl. *und* *Verl.*



SIRIUS

ZEITSCHRIFT FÜR POPULÄRE ASTRONOMIE

Herausgegeben unter Redaktion
Leitung durch

Fachmänner und astronomischer Schriftsteller.

Herausgeber Dr. Hermann J. Klotz in Köln

Erste Jahrgangsstufe des Monats März 1905

12. Heft.



Leipzig 1905.
Karl Schönböck.



SIRIUS.

Zeitschrift für populäre Astronomie.

Deutschorgan für alle Freunde und Förderer der Himmelskunde.

Herausgegeben unter Mitwirkung

Einband-Decken

1895

Sirius 1895

ersch. als Einband für nur 75 Pf.

Jede Buchhandlung nimmt Aufträge entgegen.

Karl Scholtze,
Leipzig.

Abend 1895, 10. September 1895, wird eine neue Ausgabe herausgegeben, die im April und Mai vorher und nachher, als diese drei deutschen Hefen



SIRIUS.

Zeitschrift für populäre Astronomie.

Beiträge für alle Freunde und Förderer der Himmelskunde.

Herausgegeben unter Mitwirkung

hervorragender Fachmänner und astronomischer Schriftsteller

von Dr. **HERMANN I. KLEIN** in Köln a. Rh.,

Erstausgabe: 1874/75.

„Wissen und Erheben sind die Frucht der
Kultur.“

Inhalt: Die Magnetismen der Planeten S. 117 (Schluss) — Periodische Messungen von
nach der Sonnenzeit von 1874 bis 1875 S. 117 — Die Entfernung zu Saturn der Jahre 1874 —
1875 von Merkur S. 117 — Die Fläche der Venus S. 117 — Bestimmung der Halbwertungzeit des
Jupiters der Jahre 1874 — Durchschnitte Messungen von Uranusmerkmal S. 117 — Die Be-
wegung des Sonnensystems durch die Milchstraße und die Erörterung der Ursachen der ungleichen
Messergebnisse S. 117 — Die zeitliche Entwicklung der Planeten von S. 117 — Probleme der Zeit
nach Newtons Gesetz S. 117 — Venus der Milchstraße — Die Wanderung der Sonne und
Erde und die Planeten S. 117 — Neue Planeten S. 117 — Messung von neuen Planeten
S. 117 — Die neuen Planeten in Uranus S. 117 — Die der Erde der Planeten von
1. Februar S. 117 — Große Planeten von 1874 bis 1875 S. 117 — Saturn S. 117 — Ju-
piter S. 117 — Bestimmung der Jupiterzeit S. 117 — Planetenentfernung der S. 117 —
Bestimmung der Zeit der Erde der Jahre S. 117 — Tage und Jahre der Sonnensystem S.
117 — Stellung der Planeten der Jahre S. 117 — Planetenentfernung in Jahren der S.
117 — Mars S. 117.

Der Magnetismus der Planeten.

(Schluss.)

Wir sehen nun zu ermitteln, in welcher Weise die Eccentritäten
unserer Planeten, wenn sie nahe bei einander stehen, auf die ertägungsmässige
Declination wirken. Die Einzelheiten dieser statistischen Fortsetzung können
hier übergangen werden, es genügt das Ergebnis, wozu es mehrere
Mal anzudehen, dass nicht alle die beiden inneren Planeten, Merkur und
Venus, sondern auch einige der äusseren Planeten in verschiedenen Zeiten
auf den Erdmagnetismus wirken. „Wäre der Fall der Änderungen bei
allen inneren Planeten der- selbe, und unabhangig sich ihrer Wirkungen
auf die ertägungsmässige Declination im gleichen Sinne, so hatzen wir im
November 1881 und 1882, wo kurz nacheinander Jupiter, Saturn und
Neptun in Opposition standen und auch der Mars noch zum Schluss des
Jahres 1881 in Opposition kam, eine sehr starke Anomalie gefunkt, die
im April und Mai vorher und nachher, wo diese drei inneren Planeten

nahem gleichzeitig in Konjunktion standen, im Gegenteil überproportional wir. Die Beobachtungen zeigen nicht so starke Anomalien, wie man sie erwarten sollte, wenn man ihren Einfluss annimmt. Wie Sibirskaja kann man aber behaupten, das jeder der sieben Planeten eines, durch mehrere St. Petersburg—Pawlowsker Beobachtungen nachweisbaren, wenn auch geringen Einfluss auf die mittlere ertismagnetische Deklination in den Jahren 1823 bis 1869 gehabt hat und dass dieser Einfluss mindestens bei Merkur und Venus als entgegengezeichnet war.²

Die astronomische Deklination der Planeten Merkur, Venus und Mars verhielt sich in jedem Jahr in dem Orizont von SP und noch mehr. Die Konstellationen, die in veränderlichen Jahren, aber in einem und demselben Datum denselben Monats eintraten, lielen sich nahezu bei denselben astronomischen Deklinationen statt. Für eine ausgedehnte Zusammenstellung kann man daher die Konstellationen nach den Jahreszeiten wählen, welche gleichzeitig die etwaigen Zusammenstellungen der astronomischen Deklination der Sonne und der Planeten Berücksichtigung findet. Verf. erhielt auf diese Weise:

Für die Venus.

	Oberer Konjunktion.	Untere Konjunktion.	Differenz.
Winter	— 0,30	+ 0,10	— 0,20
Frühling	— 0,14	+ 0,25	— 0,39
Sommer	+ 0,15	+ 0,24	+ 0,14
Herbst	— 0,40	+ 0,20	— 0,60

Für den Mars.

	Konjunktion	Opposition	Differenz
Winter	0,30	+ 0,67	+ 0,37
Frühling	+ 0,26	+ 0,28	— 0,02
Sommer	— 0,15	— 0,28	+ 0,13
Herbst	— 0,07	— 0,21	+ 0,14

Für den Merkur.

	Oberer Konjunktion.	Untere Konjunktion.	Differenz
Winter	+ 0,10	— 0,28	+ 0,38
Frühling	+ 0,20	— 0,25	+ 0,45
Sommer	+ 0,21	+ 0,05	+ 0,14
Herbst	+ 0,21	— 0,28	+ 0,49

„Diese Zusammenstellungen zeigen, dass die astronomischen Deklinationen der Planeten Merkur, Venus und Mars die ertismagnetische Deklination sogar stärker beeinflussen, als die Konstellationen.“³

Im dritten Teile seiner Untersuchungen prüft Leyer die Tagesamplituden der ertismagnetischen Deklination und zwar versucht er unter „Tagesamplitude“ der Differenz zwischen dem Tages-Maximum und Tages-Minimum der Deklination. Die Tabellen zeigen, dass die Abhängigkeit der Planeten von Erde und Sonne einen Einfluss auf die Sommer der periodischen und nicht periodischen täglichen Schwankungen besitzen und zwar ist die Tagesamplitude zur Zeit der oberen Konjunktionen der Venus und der Konjunktionen des Jupiters, Uranus und Neptun erhöht, als zur Zeit der Oppositionen, resp. unteren Konjunktionen.

Der Einfluss der Planeten Konstellationen beschränkt sich somit nicht allein auf eine kürzere oder längere Zeit hindurch abhaltende

konstante Ablenkung des irdischen Magnetismus, sondern äußert auch die Größe der täglichen Schwankungen. Dieser Einfluss ist jedoch bei allen Planeten nicht in demselben Sinne, sondern verschieden, wozumal folgen würde, dass die magnetischen Achsen der Planeten nicht alle gleichgerichtet sind.

Es zeigt sich ferner, dass die Planeten ihren Einfluss auch auf die Tagesamplitude üben, wenn andere Planeten zur Zeit der Beobachtung in der Nähe standen. Bezüglich des täglichen Ganges der magnetischen Deklination zeigt Verbeur, dass Merkur und Venus einen Einfluss auf die irdischen die Deklination haben, der eben sowohl qualitativ, als auch quantitativ bei den beiden Planeten bemerkbar ist. Der kleinste Abstand des Merkurs von unserer Erde vermindert die westliche Deklination, den periodischen Teil der Tages-Amplitude (die primäre Amplitude), und das Zeitintervall zwischen den primären Extremen, und vergrößert den nachperiodischen Teil der Tages-Amplitude, die sekundäre Amplitude, die Tages-Amplitude und das Zeitintervall zwischen den sekundären Extremen. Ganz im Gegentheil: Der Venus vergrößert bei ihrem geringsten Abstand von unserer Erde die westliche Deklination, den periodischen Teil der Tages-Amplitude (die primäre Amplitude) und das Zeitintervall zwischen den primären Extremen, und vermindert den nachperiodischen Teil der Tages-Amplitude, die sekundäre Amplitude, die Tages-Amplitude und das Zeitintervall zwischen den sekundären Extremen.

Es ist sehr wahrscheinlich, dass die primären Extrema im täglichen Gange unserer schwingenden Deklination durch den Einfluss des Sonnenmagnetismus (oder der Sonne) entstehen, so könnte man den Einfluss des Merkur- und Venus-Magnetismus auf den irdischen Einfluss in folgender Weise ausdrücken: Der Merkur vermindert und die Venus vergrößert den Einfluss der Sonne auf die irdischen die Deklination, wenn diese Planeten in der geringsten Entfernung von der Erde stehen. Man könnte daraus consequenz ziehen, dass die magnetischen Achsen des Merkur und der Sonne, entgegengesetzt, die der Venus und der Sonne dagegen gleich gerichtet sind.

Ferner ergeben die Zusammenstellungen, dass die Planeten, in der Reihenfolge Merkur und Venus, Mars, Jupiter, Saturn, Uranus und Neptun, abwechselnd im entgegengesetzten Sinne die irdischen die Deklination im täglichen Gange beeinflussen und zwar in folgender Weise: In der, die Erde umschließenden Ebene der Planeten, also in der äußeren Kongruenz der Merkur und der Venus und in der Opposition der inneren Planeten

beeinflussen die irdischen die Deklination und vergrößern die Amplituden

vermindern die irdischen die Deklination und vergrößern die Amplituden

	Merkur
Venus	Mars
Jupiter	Saturn
Uranus	Neptun

Nach Schluss fast Leyet die Ergebnisse seiner Untersuchungen dahin zusammen, „dass der Magnetismus der Planeten so stark ist, dass sein Einfluss auf den Erdmagnetismus durch unsere Lagerströmungen des Magnetographen nachweisbar ist. Dabei zeigte es sich, dass der Planeten-Magnetismus im höheren Grade des Nördlichen Gangs, als dem absoluten Mittelwert der erdmagnetischen Deklination beitrugste. Der Einfluss auf den täglichen Gang kann je ein ganz anderer sein, als der Einfluss auf die Mittelwerte und daher sehen wir auch, dass alle Resultate in Bezug auf die primäre, sekundäre und Tages-Amplitude unter sich befriedigend übereinstimmen, mit den Resultaten der mittleren Deklination aber weniger harmonischen. Doch in einer Beziehung stimmen die, für die absolute mittlere Deklination gefundenen Resultate mit denen des täglichen Ganges überein und diese ist der gleiche Sinn des Einflusses der Planeten auf die absolute mittlere Deklination und auf die primäre Amplitude. Die Tabelle zeigt uns, dass alle Planeten in der Opposition und die Venus in der unteren Konjunktion, oder die Planeten in ihrem geringsten Abstände von der Erde, die primäre Amplitude, oder den regulären Teil der Tages-Amplitude, gegen den normalen Wert der primären Amplitude vergrößern, nur mit einer Ausnahme, nämlich mit Ausnahme des Merkurs. Die Nähe irgend eines Planeten, wieder mit derselben Ausnahme, nämlich mit Ausnahme des Merkurs, vergrößert die absolute mittlere wäsende Deklination. Hier mag es sich, dass die absolute wäsende Deklination in denselben Weite, vielmehr in demselben Sinne beeinflusst wird, wie der reguläre Teil des täglichen Ganges. Wir können demnach sagen, dass die Nähe aller Planeten, mit Ausnahme des Merkurs, sowohl die absolute mittlere Deklination, als auch den periodischen Teil des täglichen Ganges vergrößern.“

Da für Merkur Beobachtungen während 10 synodischen Umläufenperioden vorliegen, so hat Leyet selbst für diesen Planeten auch den Einfluss auf die übrigen erdmagnetischen Elemente berechnet. Er findet folgendes: Der Einfluss des Merkurs auf die absolute Werte der Richtungskomponenten und der Intensität ist sowohl quantitativer als auch qualitativ mit befriedigender Sicherheit nachweisbar. Der Einfluss des Merkurs auf die primäre Amplitude der Richtungskomponenten ist sichtbar grösser, als der Einfluss auf die sekundäre Amplitude, während umgekehrt die primäre Amplitude der ganzen Intensität nicht so sehr als beobachtet erwiesen ist, dagegen zeigt die sekundäre Amplitude einen sicher ersichtlichen Einfluss. Wir könnten daraus entnehmen, dass der Einfluss auf die Intensität so gering ist, dass er in der grösseren primären Amplitude nur umsober $\frac{1}{20,000}$ in der kleineren sekundären Amplitude auszuern vom Vorzeichen kommt.“

Die Ergebnisse, zu denen Leyet bezüglich des Einflusses der Planeten auf den Erdmagnetismus gelangt, sind nicht überraschend, man könnte sogar verblüffend niemand hätte dergleichen voraus geseht. Eben deshalb werden die gewonnenen Resultate, auch zunächst noch vielfach mit Misstrauen betrachtet werden und zwar so lange bis sie von anderer Seite Bestätigung erhalten.

Pyrheliometrische Messungen während der Sonnenfinsternis vom 16. April 1893.¹⁾

Bisher sind bei Sonnenfinsternissen noch keine genaue Messungen der Sonnenwärme gemacht worden, die Wärmebestimmungen bei derartigen Vorfällen beruhen hauptsächlich auf Ablesungen geschwinder und gewöhnlicher Thermometer, welche an der freien Luft der Sonne exponiert waren, oder bestanden in einer Glocke, die erkaltekt war (sogenannte Arago'sches Aktinometer), ohne dass auf die Strömung Rücksicht genommen wurde, welche die Thermometer beeinflussen. A. Haack, E. Brönnel und G. Haack veröffentlichten daher die Ergebnisse von Messungen, welche nach streng wissenschaftlicher Methode während der Sonnenfinsternis vom 16. April 1893 ausgeführt worden sind, die wurde sie durch Messungen der Sonnenstrahlung seit 1886 gepflegt verbreitet waren.

An zwei Stellen waren die Apparate am Morgen des 16. April aufgestellt, in Paris auf dem Turm des Observatoriums und in Catania auf der Terrasse der Villa Zappalä. Leider offerte unglückliches Wetter die Beobachtungen in Paris, während in Catania ein vollkommen heiterer Himmel eine kontinuierliche Reihe pyrheliometrischer Messungen vom Anfang bis zum Untergang der Sonne gestattete. Die Instrumente waren ein Fraunhofer-Pyrheliometer (Kalometer) mit Thermometer in $\frac{1}{100}^{\circ}$ geteilt, ein Theodolit zur Bestimmung der Sonnenhöhe, ein reguläres Chronometer, ein Psychrometer und ein Barometer, ein Arago'sches und ein Voigt'sches Aktinometer. Die Messungen wurden von Herrn Haack ausgeführt, die meteorologischen Beobachtungen von seinem Assistenten geführt, das Verhöltnis der verfinsterten Sonne zu der ganzen Sonnenscheibe ist von Herrn Voigt bestimmt.

Die beiden vollkommenen Messungsapparate vom Morgen bis Mittag und vom Mittag bis Abend sind mit einander vergleichbar, da der Himmel während des ganzen Tages sehr heiter blieb, der Wind sehr schwach war und die Spannung des Wasserdampfes ganz konstant blieb. Die Dauer einer jeden Exposition betrug zwei Minuten, 16 Messungen am Vormittage von der Sonnenhöhe $10^{\circ} 42'$ bis zur Höhe von $7^{\circ} 8'$ und 16 Messungen am Nachmittage von der Sonnenhöhe $10^{\circ} 5'$ bis zu $10^{\circ} 40' 30''$ waren mit einander zu vergleichen. Die Sonnenstrahlung betrug von $4^{\circ} 30' 30''$ erreicht die Maxime von $2^{\circ} 15' 18''$ und sankte von $2^{\circ} 1^{\circ} 30''$ Ostwärts, die Richtung der Beobachtung betrug $2,250$.

Die ausführlich mitgetheilten einzelnen Messungen sind nach der verschiedenen Methode berechnet und in sechs verschiedenen Tabellen zusammengestellt. Sie führen zu folgenden Ergebnissen:

1. Die Sonnenstrahlung bleibt normal bis zu dem Augenblicke, in dem die Verfinsternung beginnt, und von diesem Momente an nimmt sie regelmäßig ab mit der Zunahme der verfinsterten Theile, es macht sich keine merkliche Abnahme der Sonnenstrahlung bemerkbar vor dem Beginn der Verfinsternung, was beweist, dass die Strahlung des die Sonne umgebenden Raumes unwesentlich ist.

¹⁾ Il nuovo Glorioso, 1893, Ser. 4, Tom. 1, p. 75

2. Während der Dauer der Verfestigung bleibt die Gestalt der Strahlung nicht proportional der Fläche des Licht verfestigten Teiles der Sonnenkugel, vielmehr tragen die verschiedenen Teile der Sonne selbst nicht gleichmäßig zur Strahlung bei die größte Strahlung geht von den Rändern der Sonne beobachtbaren Teiles aus.

Dieses letzte Ergebnis, welches von grosser Wichtigkeit sein würde, bedarf noch der Nachprüfung durch andere physikalische Beobachtungen, die bei Sonnenhöhenmessungen angestellt wurden; die letztere Annahme der physikalischen Angaben könnte nämlich durch Abnahme der thermischen Durchsichtigkeit des Atmosphären angestrichen werden, da während der Finsternis eingetreten, obwohl es schien, dass der Himmel, wie rings um die Sonne, den ganzen Tag des 16. April 1859 vollkommen klar geblieben.¹⁾

Der Lichtschein im Innern des Plats.

Von J. S. Krüger.

Am 18. August des Jahres 1785 wurde zum erstenmal und zwar von Buschius auf der benachbarten Inselhöhe des Ringelsteines Plats ein heller Lichtschein wahrgenommen, welcher sich vom Ostende in westlicher Richtung hin ausbreitete. Diese Beobachtungsercheinung trat nur selten auf, da Lichtstrahlen der aufgehenden Sonne nur bei einer gewissen Libration des Mondes in Breite durch eine im Ostend befindliche Schärze verengt in das nach in Nacht gebliebte Innere dieses Ringelsteines einzuströmen vermögen. Die Erscheinung ist im Jahre 1811 von Th. G. Nager, am 6. September 1856 von Valderama (Madrid) und am 1. Februar 1857 von Dr. Krüger beobachtet worden.²⁾ Am 2. Mai 1890 wiederholte sich dieselbe. An diesem Abend stellte Herr Henner (Direktor der Meteorologischen Anstaltspanien) das T-söfliche Schiefer mit bewirksamkeit zur Verfügung. Um 7^h 45^m M. E. S., als ich den Mond abendete, sah man unter Effect auf das an der Lichtgrenze liegende Ringelsteine Plats, dessen Inneres nach in Nacht begraben lag und das in seinem grossen Kratere von einem glänzenden Lichtbunde durchzogen war. Die Lichtgrenze des zunehmenden Mondes lag bei dem 10^{ten} hundert Länge und die Libration desselben in Breite betrug — 3^o 15,7.

Weder Herr Henner noch ich hatten die nötigen Zeichnungsmittel in Bereitschaft und die diese hochbegabte Erscheinung um 7^h 52^m nach dem dem Ende wahr, versuchte ich kurz danach die Menschen des Plats mit dem Lichtbunde durch den Entwurf verschiedener Strahlen, die in halbkreisförmiger Tafel XII reproduziert sind und das Aussehen dieses Ringelsteines um 7^h 45^m und 7^h 52^m darstellen sollen. Die ganze Erscheinung wirkte sich genau so ab, wie sie von Dr. Krüger im „Bericht 1857

¹⁾ Naturhistorische Nachrichten. 1859. Nr. 11.

²⁾ Die Libration des Mondes in Breite betrug:

1811 September 4. — 4^o 27.

1857 Februar 1. — 3^o 15.

pag. 94 beschrieben wurde. Die Form des Leithenens war nicht die eines Leithkugels, sondern die eines Leithandes, dessen westliche Ende — wie in den beiden Skizzen dargestellt — abgerundet erschien.

Dies von Herrn Bremer am 14. Mai 1884 erzielende Effortell, welches aus nördlicher Richtung kommend den Nordwest-Wall des Flats durchbricht, stellte sich als die sehr leicht wahrnehmbare Objekt dar und ist in meinen Skizzen eingetragen.

Leute folgten sich als es in die Augen springendes Kraterobjekt.

Von der außerordentlichen Leistungsfähigkeit dieses Meßkretzes (von Kemmler und Bertel, der allerdings in der westlichlich durchschlagenen und ruhigen Atmosphäre von Leistungswerte aufgestellt ist, war ich ganz betroffen. Selbst auf der Höhe des Archimedes konnte mit demselben eine Umstange von Densität wahrgenommen werden (dieser nicht weniger als sechs Kraterchen, von denen drei deutlichen Nebelstangen nach der inneren Maßseite zeigen).

Trient, Grotta 284.

Neues vom Monte.

Dienachstehenden Beobachtungen wurden nach der Transferierung neuen Observatoriums von Kaiserthronen nach Landstuhl angefertigt. Die neue Warte liegt $22^{\circ} 10' 1/2$ west Berlin, $+ 67^{\circ} 28' 42''$.

Schon jetzt erlaubt es sich als sehr wertvoll, dass der Beobachtungsturm 165 m über der nördlichen Thalbene liegt und ganz von Wald umgeben ist. Die absolute Höhe ist 585 m, nur um 54 m erhöht sich, wichtiger Kilometer entfernt, eine kleine Böschung noch 50 m höher. Ich konnte also eine Lage aussuchen, fast wie ein neuer Hochwarte eignet, und verspreche mir von solchen ferneren Beobachtungen am astronomischen Spezialitäten deshalb den besten Erfolg. Über die neuesten Resultate folgendes:

1. Im NO von Bismarck, etwa in der Mitte zwischen demselben Wall und A nicht ganz von mir abendungs, wie früher hier, geschene Höhe in wellenförmigem Zuge, Richtung SO—SW, Charakter einer Kraterkette, in der Mitte ein größerer Krater, das W Ende verläuft dicht am W-Wall von A.

2. Ostlich von Bismarck liegt neben der grossen Kette der Krater G, südlich von diesem op fast gleich großer Krater, E. — Zwischen beiden Bergen A-Billa, die wenigstens zum Teil Kraterfalten sehr zeigen. Im N von F entspringt eine Kette bei einem Kraterchen und zieht nach SO im W und S von G gegen A kurze Kraterfalten. Alle 6 Objekte sind neu. Die bekannteste gegen, starke Billa dieser Gegend endet im S an einem Kraterchen, die im O zwischen F und G ist mehr nach SO gerichtet als bei Schmidt.

3. Der von (Karte IX) getrennte Krater im Nördlichen wurde am 23.8. wieder gesehen.

4. Bei Aßwarch 4 wurden im N die 4 Rillen wiedergesehen, die sehr schwer sein sollen.

5. Eigenes Bild ganz durch das Alpenthal wurde wiederholt gesehen und genau gemessen.

6. Brenner „Rille“, eigentlich genau dieselb, im NW-Jannernald Flats wiederholt gesehen.

7. Weinsche neuer Krater bei Brenner existiert schon auf Lehmanns kleinerer Mondkarte, die auch am Orte von Weinsche sehr im NNO neben einer Krater angeht. Bekanntlich gibt es aber dort nur eine mehrstufige Hügelgruppe.

8. Weinsche optisch entdeckter neuer Krater bei Ljuban G — oder 2 Krater? — scheint in der Form, wie die Zeichnung vom B.G. 90 angeht, überhaupt nicht zu existieren. Eine Anzahl kleiner Objekte der Umgebung konnten gesichert werden.

9. Nach einer Reihe von Beobachtungen mit Instrumenten von 6—10" von verschiedenen Beobachtern anzunehmen auch die beiden Nachbarkraterchen (nach Weinsch-Gaullhorn) von d. Hülfsen („A. N.“ S. 113) nicht; es war auch keine Spur zu erkennen! Es wird jedoch weiter beobachtet.

10. Der Halbkrug am Jannern O-Wall des Ost. Meiner ist auch auf einer Zeichnung von A. Nees (1841. 84) zu sehen.

11. Im S und W von Sidly A liegen mehrere Rillen, fast alle NW—SO mehrnd.

12. Eine Beobachtung des Andromedenebels am 6. Seiler, Tage 15, will ich anführen, weil ich — ohne die Abbildung zur Hand zu haben — sofort die beiden Kanäle gekannte, die von Bond 1848 entdeckt wurden; eine spätere Vergleichung am Fernrohr mit der Photographie von Hübner ergab die Richtigkeit des Geschehen. Stärfche Ström der Photographie zeigt auch der 6-Seiler.

Landerfeld, im Oktober 1875.

Fr. Fauth.

Die Flecke auf der Venus.

Auf der Privatsternwarte Turone bei St. V. Cerulli im Juli und August des Planeten Venus beobachtet und beschrieben auf dessen Oberfläche gesehen, aus deren Veränderlichkeit er auf eine sehr inauspazte Rotation dieses Planeten schloß, ebenso wie Prof. Schiaparelli. Hr. Leo Brenner in Lissabon teilt jedoch diesen Behauptungen entgegen und schreibt in Nr. 3163 der Zeit Nachrichten:

„Herr Cerulli stellt sich auf den Standpunkt des Herrn Professore Schiaparelli, indem er aus seinen Beobachtungen auf die Unveränderlichkeit der Venusflecke schloß und daraus eine Rotation von 224 2/3 Tagen folgert. Wenn dem so, so müssen die Flecke beständig dieselbe Lage zur Lichtrichtung annehmen. Gleichwohl Venus nun bei gleicher Beleuchtung nach unserer die gleichen Flecke zeigen. Das ist nun aber bekanntlich nicht der Fall. Nicht einmal Schiaparelli's Zeichnungen gleichen sich in dieser Hinsicht und noch viel weniger jene der übrigen Beobachter. Ich habe selber die Venus 130 mal beobachtet und dabei mit vielfält-

loser Höhepunkt gefunden, dass die Fläche der Venus sich mit einer Schnelligkeit von 127000 in der Sekunde weiter bewegen, was einer Umdrehungszeit von 227 1/2^{1/2} Tagen entspricht. Auf Grund dieser Kenntniss und der zu 14° gefundenen Neigung der Achse habe ich diese eine Karte der Venusoberfläche konstruirt, die in Nr 1501 des „English Mechanic“ erscheint und ihr durch Rechtigkeit der Umstadt gewidmet, dass Zeichnungen aus den Jahren 1854, 1855, 1856, 1857, 1858 und 1859 von Stanley Williams, Sturmyart, Weston, Antonelli, Koberer, Max Kruze, Macho und einem Hamburger Beobachter, dessen Namen ich wohl bald werde veröffentlicht können, so gut mit meiner Karte übereinstimmen, als man nur vermuthen kann. Das wäre wunderbar, wenn meine Resultate falsch wären, denn zwischen den ersten und den letzten Zeichnungen liegen mehr als 5000 Revolutionen und die Zeichnungen selbst wurden in sechs verschiedenen Jahren, von zwei verschiedenen Beobachtern, in fünf verschiedenen Ländern gemacht und sowohl vor der unteren, als auch vor der oberen Konjunktion. Überdies habe ich an mehreren Tagen die Fläche unter meinem Auge weiter rücken sehen.

Was Corioli's Zeichnung betrifft, so möge man mit derselben meine im „English Mechanic“ erschienenen 15 Zeichnungen vergleichen und man wird finden, dass die unvorstelllich gut mit meinen Zeichnungen von 20 und 22. Feb. 2, 3, 4 und 5 August übereinstimmen. Am interessantesten ist GB (in Nr 1500 des E. M.) vom 5. August 1858. Ferner dient dies, dass wir beide zu gleicher Zeit dasselbe gesehen haben, so beweist es auch, dass die von mir gezeichneten „Schatten“ keine Trugbilder, sondern wirkliche Flächen der Oberfläche waren, was ich denn überhaupt aus meinen Beobachtungen die bestimmte Überzeugung erhielt, dass alle dunklen Flecke der Venus ihrer ganzen Oberfläche angehören und nicht einer vorliegenden Atmosphäre.

Aber auch eine Thatsache kann ich beibringen. Aus meiner Karte geht hervor, dass zwischen 227° und 227° sechs Meilen in beständiger Richtung Nord-Süd die Mitte der Schiffe einnehmen, während nahe dem höchsten Breiten je zwei Meilen in der Richtung Ost-West folgen. Daraus folgt, dass ein Beobachter, der nicht gleich Tag für Tag vom Morgen bis Abend die Venus im Auge behält, sondern nur ab und an einen Blick auf dieselbe wirft, durch die Ähnlichkeit der Fläche getäuscht wird und meint, dass es derselbe sind, die er früher sah, und deshalb vornehmlich, dass die Fläche sich nicht weiter bewegen! Denn kommt noch, dass es nur wenige Feuerfleck gibt die für die Venus geeignet sind (gerade die grössten zeigen sie am wenigsten scharf); auch dürfen die Augen mancher Beobachter im Aufsteigen oberflächigen Flarenschleife nicht genügend geübt sein.¹⁾

¹⁾ Dasser Irrtum ist es auch, welcher Herr Corioli in der Meinung verleitete, dass die Venusoberfläche in verschiedenen Jahren einer Zeichnung würdig. Diese aber wirklich sind Zeichnungen, die gewonnen der sorgfältigen wissenschaftlich gesehen, haben die Längen 2274, 2275, 2276, 2277, 2278, 2279 und 2280. Sie stellen wohl kein sehr Ähnlich gross verschiedenen Meere dar.

Bestimmung der Abplattung und des Äquators des Mars

Die Lage des Marsäquators und die Abplattung des Mars können bekanntlich durch direkte Messungen ermittelt werden. Jezt aus der Beobachtung der Polarpunkte, welche die Lage der Achse des Mars bestimmen lassen, kann durch Messung der Polendurchmesser und des größten darauf senkrechten Durchmessers unter Berücksichtigung der Phase und der Richtung der Marsachse, diese direkten Messungen bis jetzt jedoch nur in recht von einander abweichenden Worten geführt. Aus bereits Beobachtungen berechnete Prof. Gudemann, bezogen auf den Erdäquator, die Neigung J des Marsäquator (Im 1869 zu $30^{\circ} 28'$, die Länge des Knotens S zu $47^{\circ} 55'$). Die Beobachtungen, welche 1877 beobachtet wurden, lieferten (ebenfalls Im 1880) die Werte: J zu $30^{\circ} 22'$, S zu $48^{\circ} 18'$, welche von dem vorhergehenden sehr bedeutend abweichen. Mit der Abplattung des Mars ist es ähnlich. W. Herschel fand die aus direkten Messungen 1784 zu $\frac{1}{11}$, und Arago erhielt später ein ähnliches Resultat. Die neuesten Messungen Bessel's zeigten dagegen, dass die Abplattung des Mars für unsere Instrumente merklich ist und die richtige folgt aus den spätern Messungen von Winkler und Kautz.

Unter diesen Umständen hat Prof. H. Struve einen andern Weg zur Bestimmung dieser Elemente eingeschlagen. *) Er löst sich nämlich die Abplattung und die Lage des Äquators einer Planeten aus Beobachtungen seiner Trabanten mit grosser Genauigkeit ab, wenn die Beobachtungen eines hinreichend langen Zeitraums umfassen, um die Bewegung der Knoten und Äquatorlinien mit genügender Sicherheit zu erkennen. Auf diesem Wege sind jene Größen, welche für jeden Planeten von fundamentaler Bedeutung sind, zuerst für Jupiter genauer bestimmt worden. In letzter Zeit haben ferner die neuesten Beobachtungen der Saturnenringe es ermöglicht, auch für Saturn die Abplattung und die Lage des Äquators ziemlich sehr genau zu ermitteln. In Bezug auf Mars stehen zwar nur einige wenig grössere Beobachtungsergebnisse der Satelliten, die durch längere Intervalle von einander getrennt sind, zu Gebote. Der Umstand jedoch, dass der innere Marsstrahl ein sicher nachweisbares Excentricität der Bahn besitzt und beide Trabanten merkliche Neigungen gegen den Marsäquator haben, bedingt die Bestimmung der Äquator- und Knotenbewegungen, aus welchen die Abplattung, wegen der geringen Entfernungen der Trabanten vom Planeten, mit grosser Genauigkeit hervorgeht. Die Größe der Abplattung und die Schiefeität, mit welcher es folgt derselben die Bestimmung der Trabanten erdichtet, macht es ferner möglich, schon aus dem über 17 Jahre sich erstreckenden Beobachtungsraum nicht gestörte Werte für die Koordinaten des Marsäquators abzuleiten.

Dies hat nun Prof. H. Struve ausgeführt und in der eben genannten Abhandlung einen vorläufigen Bericht seiner Untersuchungen gegeben. Als Ausgangspunkt diente eine Beobachtungsreihe der beiden Mars-

*) Astronom. Nachr. Nr. 3508

Striffen in das Glasrohr mit Genaachel gemacht und mit einem Pol eines Quadrantenelektrometers verbunden, dessen anderer Pol mit einem in die Glasröhre eingesprochenen Platindrath verbunden ist, so erhält man eine photoelektrische Zelle, in welcher das Licht des Solens positiv und das Genaachel negativ ladet, und zwar erzeugt gewöhnliches diffuses Licht eine Potentialdifferenz von $\frac{1}{2}$ bis $\frac{1}{3}$ Volt.

Mit solchen Zellen wurden die ersten Messungen des Sternlichtes im Januar 1894 ausgeführt. Da jedoch die Zellen sehr sehr inkonstant erwiesen, so wurden sie verbessert und dazu in anderer Form gegeben.

Anstatt des Aluminiumstriffens wurde als Grundlage für die Schicht des Ende eines Aluminiumdrathes von etwa 1 mm Durchmesser benutzt. Dieser Drath war in eine Glasröhre eingeschlossen, in welche er dicht eingewickelt, indem ein Ende des Drahtes mit einem Ende der Röhre zusammengepreßt war. An diesem Ende war die Schicht in oben angegebener Weise aufgetragen. Das andere Ende des Aluminiumdrathes war innerhalb der Glasröhre mit einem feinen Platindrath verbunden, der aus dem zweiten Ende der Röhre herausragte und der das Schenkel der photoelektrischen Zelle bildete. Die Röhre wickelt man dicht an ein Quarzfenster, welches gegenüber dem Kork an die Zelle gefittet ist. Das Sternlicht fällt auf dieses Fenster und gelangt auf die Schicht, an dieser davor befindlichen Ende der Röhre. Ein Platindrath ist am Boden der Glasröhre eingeschlossen, und leitet die Ladung der Plättchen an dem einen Pol des Elektrometers, während ein anderer Drath der Ladung des Solens dem anderen Pol des Elektrometers zuführt. Ein geschlossener Stopfen am Kapsel der Zelle, wo die Plättchen zusammengepreßt sind, schließt genau. Die Zelle wird an einem Halter befestigt, der an einem Fernrohr an die Stelle des Okulars angebracht werden kann, so dass man das Ende der Schicht hinter dem Quarzfenster an die Stelle des Sternbildes bringen kann.

Mit einer solchen photoelektrischen Zelle hat G. M. Minchin gemeinsam mit Fingert und W. E. Wilson die elektromotorischen Kräfte des Lichtes von Júpiter, Saturn, Antares, Regulus, Procyon und einigen anderen Sternen im April 1895 gemessen. Das besetzte Fernrohr war ein zweifacher Reflektor.

Eine Vorstudie von der Empfindlichkeit der Zelle gegen Licht gibt die Thatsache, dass eine gewöhnliche Parabolkappe in der Entfernung von 9 Fuss vom Quarzfenster eine elektromotorische Kraft von etwa 0,01 V. gibt. Das Licht von Wega, das in dem zweifachen Parabol konzentriert war, gab eine etwas grössere Ablenkung des Elektrometers als das (nicht konzentrierte) Licht der Kerne, man hat es hier also offenbar mit leicht messbaren Grössen zu thun.

Die Zelle ist gegen alle Strahlen des Spektrums empfindlich, aber die stärkste Wirkung wird im Gelb hervorgebracht. Sie ist empfindlich gegen Strahlen untermal der sichtbaren Rot und jenseits des Blau.

Das Licht des Antares gab 0,01 der elektromotorischen Kraft, welche von der Kerne in 9 Fuss Entfernung erzeugt wurde; das Licht von Saturn 0,005 ebenso gross war auch eines der Weir des Lichtes von Regulus gemessen. Lecker standen weiter hinaus auch Capella, auch

ignori die Stern im Orion, oder Green's Stern für die Neugierigen gläubig.

Auf Einzelheiten der Beobachtungen geht Michie nicht ein, doch hebt er hervor, „dass die ganz empfindliche Oberfläche in der Zelle vom Lichte des Sterns bedeckt sein muss. Es ist notwendig für den Wert der erzeugten elektromotorischen Kraft, wie weit hinter dem Fokalefeld des Sterns die empfindliche Fläche angebracht ist — vorausgesetzt, dass das Bild des Sterns die Oberfläche des Kontaktes der Zelle überdeckt. Dies ist bei allen photoelektrischen Zellen wesentlich und auch bei den Thermozellen, und das Veranschaulichen dieser Bedingung mag teilweise den Misserfolg der Versuche erklären, von den Sternen und Planeten thermoelektrische Angaben zu erhalten, obwohl keine Erfolge zu erwarten sind von Methoden, welche darauf ausgehen, nur einen sehr beschränkten Teil der Strahlung zu messen (genau die Wärme oder das Infrarot). Die photoelektrische Zelle verwandelt die ganze Energie der Strahlung auf der empfindlichen Fläche, und das Quadrat der beobachteten elektromotorischen Kraft ist das Mass dieser einfallenden Energie.“

Michie verfährt sodass die photoelektrischen Messungen mit den üblichen Größenmessungen für Astronomen, und findet für Arcturus, Regulus und Procyon gute Übereinstimmung. Bei typischerartigen Sternen hingegen ist eine solche Übereinstimmung zwischen den photoelektrischen und photometrischen Verhältnissen unserer Sterne nicht zu erwarten. Auch eine Fortsetzung der von Arcturus ausgehenden Energie mit der von einer Kerne ausgehenden, wie sie sich aus den photoelektrischen Messungen und aus optischen Bestimmungen von Doppelsternen, zeigt eine sehr gute Übereinstimmung.¹⁾

Die Bewegung des Sonnensystems durch den Weltstrom und ihr Einfluss auf die Verteilung der nachweisbaren Meteorbahnen.

Es ist eine bekannte Tatsache, dass die schönsten Radiations- oder Ausstrahlungspunkte der Sternschnuppen mit demselben Maße der Elongationswinkel zahlreicher vorkommen, in deren Nähe der Punkt liegt, auf welchem die Erde sich bei ihrem Umlauf um die Sonne bewegt. Dieser Punkt, der sogenannte Apex der Erdbewegung, liegt am Himmel durchschnittlich 90° westlich vom Orte der Sonne, auf der Ekliptik. Die obige Tatsache beweist, dass die Meteore nicht in der Atmosphäre der Erde ihren Ursprung haben können, sondern dass sie mindestens aus dem letzten planetarischen Kometen des Sonnensystems in ihrem niedrigen, Andererseits haben einzelne ältere Untersuchungen, besonders aber die neuen Arbeiten von Professor Ö. von Nörlin in Erlang bleich wahrscheinlich gemacht, dass zahlreiche Meteore ursprünglich nicht einmal dem Sonnensystem angehört haben können, sondern erst aus dem Weltstrom in unsere Gegend gelangt sind und zwar wird dies durch den

1) Astronomische Zeitschrift München 1905 Nr. 28

hypothetischen Charakter der von Ihnen beschriebenen Bahnen wahrscheinlich. Speziell ist es Prof. von Strahl im Laufe einer Reihe von Jahren nicht ohne geringen nachtheiligen Nebenbelag für das Verhältniß ausgeprägt hypothetischer Bahnen zu erörtern, sondern er hat auch wiederholt darauf hingewiesen, dass eigenständige Forschungen, welche zwischen anderen Radiationspunkten zu herrschen scheinen, mit Ausnahme des Verhältnisses angegebener Meteorströme im Weltraum überein.

In dem letzten Jahre hat man eine allerdings vorhandene, aber vielfach missverständliche Analogie zu dem früher erwähnten Verhalten der meteorischen Radianten gegen den Erdapex gemacht, welche aus der Vertheilung derselben einen nachstehend gewichtigen Einwurf gegen die angeführte Annahme von der wirksamen Abkühlung vieler Meteore zu folgern. Man hat geschlossen: Weil die Welterbewegung der Erde eine Abweichung der Radiationspunkte in der Gegend des Erdapex mit sich bringt, so müsste, wenn die Meteore von aussen her in das Sonnensystem kämen, auch eine analoge Vertheilung der Strahlungsunkte um denselben Punkt stattfinden, gegen welchen das Sonnensystem im Weltraum sich bewegt, also um den Apex der Sonnenbewegung. Eine solche Annahme aber nicht nachgewiesen.

„Solche und ähnliche Schlussfolgerungen,“ sagt Prof. v. Strahl, „beruhen jedoch auf einer unvollständigen Erläuterung und mit ungenauer Analyse des Problems. Ich will zunächst ganz davon absehen, dass die Analogie schon deshalb nicht völlig zureichend ist, weil wir bezüglich der Erde die jeweilige Richtung und Urtasse der Bewegung ganz genau kennen, während dies hinsichtlich der Sonne noch durchaus nicht so sehr der Fall ist. Dagegen kann schon hier die Bemerkerung nicht übergangen werden, dass die Richtung, in welcher der Körper in das Sonnensystem gelangen (bestimmt durch die kosmischen Ausgangspunkte) und die Richtung, in welcher sie gegen die Erde kommen (sichtbare Radianten) keineswegs ganz verschiedene Begriffe sind. Was von den Einen ausgesendet werden kann, gilt nicht immer von den Andern. Die Radiationspunkte befinden sich im Allgemeinen weit von den Ausgangspunkten.

Es lässt sich ganz im Gegentheil von oben erwähnten astronomischen Meinung, klagendes mit voller Bestimmtheit aussprechen: Wenn alle Meteore aus dem Weltraum der Sonne direkt entgegen kommen würden, also alle kosmischen Ausgangspunkte am Apex der Sonne verengt wären, so kämen sich an diesem Punkte des Himmels gar keine Radianten befinden. Derselben wären vertheilt — unter jeder meteorischen Annahme für die Geschwindigkeit — stets in unwechselnder Entfernung vom Sonnenapex, und zwar für jede besondere Geschwindigkeit an einem anderen, von der Lage der Erde in ihrer Bahn abhängigen, also nach einer jährlichen Periode veränderlichen Orte zusammen.

Gibt man von diesem Grenzfall zu Voraussetzungen über, welche dem wirklichen Verhältnisse näher liegen, indem man annimmt, dass die Erden nach irgend einem, mit der Entfernung vom Apex des Sonnensystemnahen Gebietes vertheilt sind, so auseinander erst die besondere Form dieser Vertheilungsfunktion, ob der für das ganze Jahr

resultierende Zustand von Variationen der Radianten in der Gegend der Sonnenpolen gegeben kann oder nicht.

Es geht schon aus diesen wenigen Bemerkungen hervor, dass Schlüsse, welche nur auf heftiges Vordringen von dem Zusammenhange der in Frage kommenden Faktoren beruhen, hier ganz besonders leicht zu Irrthümern führen können. Aber selbst die sorgfältigste Analyse der Umstände, durch welche die Dichtheitsverhältnisse der Bahnen an den Grenzen des Sonnensystems bedingt sind, wäre auch unvollständig, ohne Berücksichtigung der Wahrscheinlichkeit des Vorkommens solcher Bahnen, deren Periheldistanz nicht größer ist, als die Entfernung der Erde von der Sonne. Denn für alle andern ist die Möglichkeit des Zusammentreffens mit der Erde offenbar ausgeschlossen. Diese Wahrscheinlichkeit wird aber erheblich größer, je kleiner die relative oder heliozentrische Geschwindigkeit ist. Da nun, unter sonst gleichen Umständen in Bezug auf die absoluten, räumlichen Geschwindigkeiten, die jüngeren Körper, welche in ihrem ursprünglichen Bahnen der Sonne entgegen kommen, allmährentwischlich eine größere heliozentrische Geschwindigkeit erlangen müssen, als die in gleicher Richtung mit ihr sich bewegen, so ist im allgemeinen die Wahrscheinlichkeit, dass andere in unsere Beobachtungssphäre gelangen, geringer als für die letzteren.

Wenn also auch in sehr großer Entfernung von der Sonne die Materieformen wirklich wesentlich dichter angeordnet sind nach jener Richtung, gegen welche das Sonnensystem sich bewegt, was hingegen nicht zutrifft in der Natur der Sonne liegt, so sind in der Entfernung der Erde von der Sonne diese Verhältnisse, wenigstens zum Grade nach, doch nicht mehr die gleichen. Es geht daher auch aus diesem Grunde nicht an, aus der Verdichtung der Ausstrahlungspunkte Grund auf die Verdichtung der Radiationspunkte zu schließen.

Wollte man trotz der Unvollständigkeit der vorliegenden Beobachtungsmaterialien — welches aus z. B. über die stoffliche Beschaffenheit nur sehr dürftige Aufschlüsse liefert — den Versuch wagen, aus der Verdichtung der Radiationspunkte Schlüsse allgemeiner Art auf die Beschaffenheit der die Materieformung erzeugenden Körper zu ziehen, so hat man der Reihe nach auch mit folgenden Untersuchungen zu beginnen:

1. Unter verschiedenen Voraussetzungen über die ursprüngliche Bewegung ist die Verteilung der heliozentrischen Bahnen für sehr große Entfernung von der Sonne darzustellen und dabei auf die Wahrscheinlichkeit der obigen kleinen Periheldistanzen Rücksicht zu nehmen.

2. Hinsichtlich der Verteilung der schwebenden Radianten für verschiedene Hypothesen über die grossen Achsen zu untersuchen.

3. Erst mit diesen Hinweisen können die Ergebnisse der Erklärung zu vergleichen. Dabei dürfen aber nicht unterlassen werden, die zahlreicheren jüngeren Umstände in Betracht zu ziehen, durch welche die Verdichtung der Ausstrahlungspunkte bedingt wird.²⁾

Diese Untersuchungen hat nun Hr. Prof. v. Neise ausgeführt und enthält die Ergebnisse, welche dem ersten Theil der Aufgaben betreffen, veröffentlicht.³⁾ Die beiden anderen Untersuchungen lassen sich, wie

²⁾ Deutsches Institut der mathematisch-physikalischen Klasse der Kaiserl. Akademie der Wissenschaften in Wien Bd. LXXX S. 1-22 u. d.

es bemerkt, vorerst nur in grossen Körper durchzuführen. Soweit dies möglich ist, sind sie ebenfalls bereits abgeschlossen und ihr Ergebnis trägt er vollständig mit einigen Worten an.

Diese Betrachtungen gelangen kurz gefasst zu dem Resultate, dass der Nachweis einer Verdichtung der Meteoritenmassen gegen den Apex der Sonnenbewegung allerdings als nicht leicht an herbeizuführendes Argument für den stehenden — also unerschütterlichen — Ursprung der betreffenden Körper darstellt, dass jedoch aus dem Gegentheil darthun nichts im negativen Sinne gefolgert werden könnte. Sowohl aus dem vorhandenen Beobachtungsmaterial Schlüsse gezogen, lässt es sich kaum bezweifeln, dass die Zahl der kosmischen Ausgangespunkte grösser ist auf jener Hemisphäre, deren Pol im Bereiche der verschiedenen Annahmen über den Sonnenapex liegt, als auf der entgegengesetzten.

Auf die Einzelheiten der mit grossem Scharfsinne durchgeführten mathematischen Untersuchungen kann hier nicht eingegangen werden; die Ergebnisse derselben formuliert Prof. von Neuf in wissenschaftlich mit folgenden Worten:

„Gelangen in die Attraktionsphäre der Sonne Welkörper von verhältnissmässig kleiner Masse, deren ursprüngliche Bewegungsrichtungen entweder gleichmässig zufällig verteilt oder nach einem Gesetze angeordnet waren, welche in Beziehung zur Bewegungsrichtung des Sonnensystems steht, so erweisen die dabei herangezogenen halbempirischen Rechnungen (bestimmend durch die Ausgangespunkte), für jene Bahnen, welche die Körper in unsere Beobachtungssphäre bringen können, denselben Vorteil, dass im allgemeinen die Häufigkeits-Maxima in irgend einem dem Apex der Sonnenbewegung entsprechenden Parallellkreise tritt.“

Im Fallegleicher Wahrscheinlichkeit der ursprünglichen, absoluten Bewegungsrichtungen kann der Parallellkreis grösser Verdichtung bei 90° oder nicht darüber, vom Apex entfernt sein.

Bei einer solchen Anordnung der ursprünglichen Richtungen, in welcher die gleichzeitige Bewegung mit der Sonne möglich vorstellbar wäre als die entgegengesetzte, kann die grösste Verdichtung in jedem Abstände vom Apex der Sonne von 0 bis 180° liegen, und es sind dann auch zwei Maxima möglich.

In dem Apex selbst könnte das Maximum nur in zwei von einander wesentlich verschiedene Fällen stehen. Der eine Fall deckt sich mit der Annahme, dass die mittlere Geschwindigkeit dieser Körper im Vergleich mit der Geschwindigkeit der Sonne über so gross ausfällt bliebe, als irgend eine andere sein könnte. Es ist nicht wahrscheinlich. Der andere Fall tritt ein, wenn angenommen wird, dass selbst die geringsten räumlichen Geschwindigkeiten erheblich grösser — z. B. etwa doppelt so gross — als jene des Sonnensystems sind. Gegen die Wahrscheinlichkeit das-eben kann weiter a priori noch aus der Erläuterung des Gottesguts abgeleitet werden. Allein dieses Maximum hat quantitative gänzlich unbestimmte und durch Beobachtungen kaum nachweisbar.

Das Häufigkeits Maximum würde desto grösser im den grössten Kreis, welcher 90° vom Apex und Antipex absteht, je mehr die unsere Grenze der Geschwindigkeiten mit der Geschwindigkeit der Sonne

Merkeinsphären wäre. Es entstehen dann zwei Maxima, von welchen eines in den Apex, das andere in dem Außapex fällt. Ersteres ist ein wenig größer als letzteres, weshalb die Dichte in der Apex-Hemisphäre auch etwas größer als in der entgegengesetzten ausfällt.

Da die verschiedenen Arten der Verteilung, unter derselben mehrschichtigen Annahme, möglich sind, könnte die Erfahrung, dass irgend ein besonderer Zustand durch Beobachtungsergebnisse nicht nachweisbar wäre, auch nicht das Geringste gegen die Voraussetzung des stilleren Umpolungsbeweiens beweisen. Insbesondere ist es gütlich anzunehmen, dass die Bewegung der Sonne ausreichte, genügt ist, keine merkliche Anklüftung von Ausgangspunkten (nicht Kollisionsen) zu bemerken wäre, irgend einem Zweifel hinsichtlich der stilleren Abkunft dieser Körper abzuwehren, weil die erwähnte Erscheinung mit dieser Voraussetzung nicht im notwendigen kausalen Zusammenhang steht.

Die wahrscheinlichsten Annahmen über die ursprüngliche Verteilung der Halbtage und Geschwindigkeiten führen allerdings zu dem Resultate, dass die durchschnittliche Dichte in der Umgebung der Ausgangspunkte auf der Hemisphäre des Apex etwas größer ausfallen müsste, als auf der entgegengesetzten. Von welchem Umfange es dabei sein möge, ist, ob dieser Unterschied gross genug ist, um in dem gegenwärtig verfügbaren Beobachtungsmaterial zum Ausdruck zu gelangen, ja, ob er durch derartige Beobachtungen überhaupt sicherzustellen wäre.

In der besprochenen Frage kann daher in letzter Linie nur ein positives, keineswegs aber ein negatives Ergebnis entsprechender Untersuchungen entscheidend sein.¹⁾

Die partielle Sonnenfinsternis 1896 Februar 28.²⁾

Elemente der Finsternis nach anderen Beob. Zeit.

Opposition in A. L.	Febr. 28	$\frac{h}{5}$ $\frac{m}{5}$ $\frac{s}{18,5}$	
Rektascension des Mondes		10 45 20,14	
Deklination des Mondes		+ 7 16 10,7	
Deklination der Sonne		- 3 54 21,0	
Der Mondes scheinb. Bew. in Rektascension		54 2,2	
Der Sonne		2 50,7	
Der Mondes " " Deklination		- 17 20,7	
Der Sonne		+ 56,7	
Der Mondes Äquatorial-Horizontal-Parallaxe		61 15,0	
Der Sonne		8,9	
Mond-Halbmesser		16 45,1	
Sonnen Halbmesser		16 9,2	
Anfang der Finsternis	Febr. 28.	$\frac{h}{7}$ $\frac{m}{55}$ mit Berl. St.	
Mitte der Finsternis		8 50,3	
Ende der Finsternis		10 9,1	

¹⁾ Nach dem Berliner Jahrbuch für 1896.

Um diese Zeiten liegen auf der Geradenlinie vom Erdmittelpunkte aus Nord die Orte der Erde, deren geographische Lage bezüglich ist:

°	'	"	°	'	"
68	8	00	Länge von Greenwich	7	54
69	39	00	"	7	38
44	00	00	"	7	2

Polwinkel des Eintritts des Erdstrahls in die Sphärische vom Nordpunkt gemittelt = 30°

Polwinkel des Austritts vom Nordpunkt gemittelt = 130°

Größe der Verflechtung in Teilen des Handbuchs = 6374.

Die Finsternis wird demnach in der westlichen Hälfte des grossen Ozeans, in Australien, Asien, Europa, Afrika, im südlichen Brasilien und in der östlichen Hälfte des atlantischen Ozeans zu sehen sein.

Professor Dr. Friedrich Wilhelm Gustav Spörer.

Am 28. Oktober 1828 in Berlin geboren, besuchte Spörer das Friedrich-Wilhelms-Gymnasium und widmete sich in den Jahren 1840—1843 auf der Berliner Universität hauptsächlich mathematischen und astronomischen Studien. Am 14. December 1843 promovierte er mit einer seiner Lehrers Kecke und Dore angelegenen Arbeit über den Kometa von Jahr 1729. In den folgenden Jahren beschäftigte er sich auf der Berliner Sternwarte unter der Leitung Kecke's mit astronomischen Beobachtungen und ging im Jahre 1846, nach Aushuldung des Staatsdienstes, als Lehrer der Mathematik und Naturwissenschaften an das Gymnasium zu Bromberg, von dem im Jahre 1847 nach Potsdam, und im Jahre 1849 nach Auklan, woselbst er 25 Jahre lang als Lehrer, zuletzt als Prorektor des dortigen Gymnasiums tätig war. Seine Vorliebe für Astronomie veranlaßte ihn dazu, sich seit dem Jahre 1860 in seinen Mußestunden mit Beobachtungen der Sonnenflecken zu beschäftigen. Dass es ihm gelang, mit ganz unvollkommenen instrumentellen Hilfsmitteln, mit einem kleinen mit Regenmesser versehenen Fernrohr, brauchbare Untersuchungen über die Sonnenfleckenstatistik anzustellen, die seinen Namen bald in der wissenschaftlichen Welt bekannt machten, sagt von selbstem Fleiss und grosser Ausdauer. Prof. Schellbach, der Lehrer des damaligen Königl. Preuss. Friedrich Wilhelms, nachmaligen Kaisers Friedrich, machte seine hohen Schüler auf Spörer aufmerksam, und der Kaiser ernannte im Jahre 1868 Spörer's Beziehungen durch die Überweisung eines patentirten Instrumentes, mit Ueberwerk versehenen Refraktors von 8 Zoll Öffnung, mit welchem dieselbe ausser seine Beobachtungen nach der bekannten Projektionsmethode in grösserer Umfang fortsetzen konnte. Die Ergebnisse seiner in Auklan angestellten Untersuchungen sind in zahlreichem Articulo in den Astronomischen Nachrichten veröffentlicht worden, sowie in zwei grösseren Abhandlungen, die in den Jahren 1864 und 1876 als Publikationen der Astronomischen Gesellschaft erschienen sind. Der Hauptwert dieser Arbeiten liegt in der sorgfältigen Bestimmung der Rotationsperiode der Sonne, sowie in der genaueren Feststellung des schon von Carrington ausdrücklich gefundenen Gesetzes, welches die Abnahme der Rotations-

geschwindigkeit der Sonnenflecken von Äquator nach den Polen an steigt.

Im Jahre 1868 nahm Spörer mit Prof. Tieszen und Dr. Engelmann an der astronomischen Expedition teil, welche von Danneberg zur Beobachtung der totalen Sonnenfinsternis nach Ostindien geschickt wurde.

Im Jahre 1834 erhielt Spörer einen Ruf als Observator an das in Potsdam damals geplante Astrophysikalische Observatorium. Er siedelte im demselben Jahre nach Potsdam über und setzte bis zur Fertigstellung des Observatoriums die Sonnenfleckenbeobachtungen mit seinem auf dem Turm des Militärwachenhauses in Potsdam aufgestellten Instrument fort.

Seine Thätigkeit blieb auch in dem früheren Wilhelmsparken, der sich ihm auf dem Observatorium in Potsdam eröffnete, im wesentlichen auf das Gebiet der Sonnenfleckenstatistik beschränkt, dem er sich mit unermüdetlicher Pflanzensorg und mit demselben Eifer wie im Anstrome widmete. Die von ihm verfaßten vier umfangreichen Abhandlungen, welche in den Publikationen des Astrophysikalischen Observatoriums in den Jahren 1870 bis 1886 zum Abdruck gelangten, erhalten ein reiches Beobachtungsmaterial, welches für das Studium der Eigenbewegung der Sonnenflecken einen höchst wichtigen Wert beihalten wird.

Im Jahre 1882 erhielt Spörer die Stelle eines ersten Observators. Diese Stellung bekleidete er bis zum 1. Oktober 1894, wo er aus Rücksicht auf sein vorgeschrittenes Alter den erbetenen Abschied erhielt und in den wohlverdienten Ruhestand trat, den er genossen ihm leider nicht lange verbleiben konnte ist.

Spörer's Leben war reich an Glück und nennenswerten Erfolgen, und Dank seiner kräftigen Gesundheit ist er bis zu seinem Tode (am 7. Juli) fast von den Beschwerden des Alters geblieben. Auf einer Be-
suchsreise zu seinen Kindern ist er durch die geringsten vorherigen Anzeichen irgend welcher Krankheit auch und schließlich erkrankte.⁷⁾

Verzeichnete Nachrichten.

Die Hochwasser des Rheins und Uruguay und die Sonnenflecke. G. Carrasco in Buenos Ayres hat die Angaben über Hochwasserereignisse der Flüsse, welche ihr Wasser als in Flut in den Atlantischen Ocean führen, gesammelt und diktiert.⁸⁾ Er kommt zu dem Ergebnisse, dass die Hochwasser vorzugsweise an die Zeit eines Sonnenflecken-Sturms ansetzen. Folgendes ist die von ihm gegebene Zusammenstellung:

Jahr	Sonnenflecke	Hochwasser.
1728	Minimum	1730 außerordentliches.
1804	Maximum	—
1810	Minimum	1815 sehr gross.
1816	Maximum	—
1823	Minimum	1826 „ „
1850	Maximum	—

⁷⁾ Ann. Naturh. Nr. 509.

⁸⁾ Viscont. Les travaux géogr. Carras d'Amérique et de Mélanésie 1856. Nr. 10 p. 57.

wieder auf. Auch er kommt zu dem Ergebnisse, dass bei einer weiteren Herkunft der Kometen, diese sehr ausgezeichnete hyperbolische Bahnen beschreiben müssen und dass das Publicum solcher unbedingt dafür spricht, dass die Kometen unserm Sonnensystem angehören. Auch in der Verteilung der einzelnen Elemente der Kometenbahnen findet er keine Spur der Einwirkung der Eigenbewegung der Sonne, welche nach Möruph die Kometen als ständige Umläufel unseres Systems zu betrachten sind. Die nicht hyperbolischen Bahnen einiger Kometen sind nach Fabry nur durch planetarische Störungen hervorgebracht.

Grosser Nebelfleck nahe bei Antares. Schon vor mehreren Jahren hat Dr. Hamard eine ausgezeichnete aber nicht vorzunehmende Nebelflecke in der Gegend des Antares gefunden. In dem grossen Gesichtsfeld eines gewöhnlichen Teleskops zeigte sich dieser ganze Himmelsbogen mit einer schwachen Nebelflecke erfüllt, von der jedoch keine bestimmten Grenzen anzugeben waren. Am 30 März und 18 April hat Hamard von diesem Himmels photographisch aufgenommen und die Platten zeigten einen ausgezeichneten, sehr grossen Nebel, dessen hellster Teil um die Sterne γ Ophiuchi, β Ophiuchi und δ kleine Sterne, die bei $\alpha = 16^{\circ} 30'$ und $\delta = 24^{\circ} 30'$ stehen, sichtbar ist. Dieser grosse Nebel füllt eine ausgedehnte, vorläufige Gegend und ist von sehr bausamer Form. Durch einen schiefen Arm steht er in Verbindung mit α Ophiuchi.

Literatur.

Observations astronomiques faites par H. d'Agulhard.
2. Partie. Dresden 1855.

In diesem Bande teilt Herr Baron von Agulhard wiederum eine grosse Anzahl von Beobachtungen mit, welche er im Verfolge seiner astronomischen Thätigkeit auf seiner Privatwarte zu Dresden angestellt hat. Das Hauptinstrument des Observatoriums ist bekanntlich ein vorzüglicher 12-zölliger Refraktor, der sich vor allem durch grosse Lichtstärke auszeichnet. Es sind deshalb auch hauptsächlich televisive Objekte, welche vermessen wurden, vor allem hochschwache Nebelkerne, neue Sternbursten. Ausserdem sind nicht wenige Doppelsterne mit ausgezeichneten Eigenbewegungen vermessen worden, besonders solche, die sonst selten beobachtet wurden. Ferner enthält der vorliegende Band die neuen Mikromessungen solcher Draufgehender Sterne, welche von anderer Seite nicht beobachtet worden sind, sowie Mikromessungen mehrerer Saturnscomen, Orbitalmessungen einer Anzahl von Kometen usw. Der prinzipiell angeordnete Band bezieht auf die, welche erfolgreiche Thätigkeit Herr Baron von Agulhard auf astronomischem Gebiete erhalten hat.

Ein 5-zölliger Refraktor

von J. Fern. Demarethe selbst Kocher von Bensfelder und Bredt mit 2 neuen Drehvervielfacher und 1 Kometenocher Umläufel, Die grossen 1" und Polarisations-Beobachtung mit 1 astronomischen Objektiv ist die Nr. 1800 in vorhanden.

Und Anlagen unter dem Namen „K. R.“ in der Verlagsbuchhandlung von Karl Beckhagen in Leipzig zu erhalten.

Erhebungen der Lufttemperatur. Die folgenden Angaben über die Erhebungen der Lufttemperatur sind aus dem National Almanac entnommen, und die angegebenen Zeiten sind in 1/2 Stunden von Greenwich. Die Temperaturen sind die Mittelwerte eines Abstands von Jupiter nach den 17 Stunden. Ferner bezeichnen:

- K die Temperatur des Trabantens im Schatten des Jupiter
- Ko die Temperatur des Trabantens aus dem Schatten des Jupiter
- Co die Temperatur des Trabantens außer der Jupiterstrahlung
- U die Windgeschwindigkeiten, welche neben der Jupiterstrahlung
- T die Richtung des Trabantens vor die Jupiterstrahlung
- To die Richtung des Trabantens aus der Jupiterstrahlung
- U die Richtung des Trabantens-Schattens mit der Jupiterstrahlung
- To die Richtung des Trabantens-Schattens aus der Jupiterstrahlung

Es sind nur diejenigen Erhebungen der Lufttemperatur aufgeführt, welche sich anzeigten, wenn Jupiter im Oppositionsstand war und die Sonne unter dem Horizont stand. Die Temperatur der Atmosphäre dieser Beobachtungen für jeden Abend (bis zu Nacht) hat man nur selten, den Längensunterschied gegen Greenwich (angebracht in Grad) zu den angegebenen Temperaturen zu addieren, wenn der Ort wirklich von Greenwich liegt und nicht von Antiochia, wenn der Ort westlich von Greenwich liegt.

Februar 1.	1 Tr 1 25 215.	1 Ko 1 27 525.	1 To 1 28 505.	1 Ua 1 29 545.
11 Tr 1 31 245.	11 Ko 1 32 125.	11 To 1 33 105.	11 Ua 1 34 145.	
12 Tr 1 32 285.	12 Ko 1 33 365.	12 To 1 34 345.	12 Ua 1 35 385.	
13 Tr 1 33 325.	13 Ko 1 34 605.	13 To 1 35 585.	13 Ua 1 36 625.	
14 Tr 1 34 365.	14 Ko 1 35 845.	14 To 1 36 825.	14 Ua 1 37 865.	
15 Tr 1 35 405.	15 Ko 1 36 1085.	15 To 1 37 1065.	15 Ua 1 38 1105.	
16 Tr 1 36 445.	16 Ko 1 37 1325.	16 To 1 38 1305.	16 Ua 1 39 1345.	
17 Tr 1 37 485.	17 Ko 1 38 1565.	17 To 1 39 1545.	17 Ua 1 40 1585.	
18 Tr 1 38 525.	18 Ko 1 39 1805.	18 To 1 40 1785.	18 Ua 1 41 1825.	
19 Tr 1 39 565.	19 Ko 1 40 2045.	19 To 1 41 2025.	19 Ua 1 42 2065.	
20 Tr 1 40 605.	20 Ko 1 41 2285.	20 To 1 42 2265.	20 Ua 1 43 2305.	
21 Tr 1 41 645.	21 Ko 1 42 2525.	21 To 1 43 2505.	21 Ua 1 44 2545.	
22 Tr 1 42 685.	22 Ko 1 43 2765.	22 To 1 44 2745.	22 Ua 1 45 2785.	
23 Tr 1 43 725.	23 Ko 1 44 3005.	23 To 1 45 2985.	23 Ua 1 46 3025.	
24 Tr 1 44 765.	24 Ko 1 45 3245.	24 To 1 46 3225.	24 Ua 1 47 3265.	
25 Tr 1 45 805.	25 Ko 1 46 3485.	25 To 1 47 3465.	25 Ua 1 48 3505.	
26 Tr 1 46 845.	26 Ko 1 47 3725.	26 To 1 48 3705.	26 Ua 1 49 3745.	
27 Tr 1 47 885.	27 Ko 1 48 3965.	27 To 1 49 3945.	27 Ua 1 50 3985.	
28 Tr 1 48 925.	28 Ko 1 49 4205.	28 To 1 50 4185.	28 Ua 1 51 4225.	
29 Tr 1 49 965.	29 Ko 1 50 4445.	29 To 1 51 4425.	29 Ua 1 52 4465.	
30 Tr 1 50 1005.	30 Ko 1 51 4685.	30 To 1 52 4665.	30 Ua 1 53 4705.	

Mercurienbeobachtungen 1868. Februar 1. 12^h. Mercur in Quadratur mit der Sonne. Februar 8. 12^h Mercur in scheinbarer Konjunktur mit der Sonne. Februar 18. Mercur in Opposition. Februar 19. 9^h. Mercur in Opposition mit der Sonne. Februar 21. 12^h. Mercur in scheinbarer Konjunktur. Februar 26. Mercur in Opposition.

Nachbeobachtungen durch den Mond für Paris 1868

Zeit	Mond	Merkur	Merkur		Merkur	
			Winkel	Winkel	Winkel	Winkel
Jan 2	1 25' 20"	1 25'	115°	115°	115°	115°

Winkel und Größe des Merkurs (nach Gauss) |
 Febr 3, Grösse des Merkurs 27.56", Winkel des Merkurs 21.10" |
 Erhebungszeit der Erde über der Höhe der Sonne 77° 51' 20".

Stellung der Jupitermonde im Februar 1906

I.



III.



II.



IV.



Stellungen um 23° für den Aethiops im astronomischen Perseus

Tag	W. u. L.	III.	IV.
1	4	2	1
2	5	3	2
3	6	4	3
4	7	5	4
5	8	6	5
6	9	7	6
7	10	8	7
8	11	9	8
9	12	10	9
10	13	11	10
11	14	12	11
12	15	13	12
13	16	14	13
14	17	15	14
15	18	16	15
16	19	17	16
17	20	18	17
18	21	19	18
19	22	20	19
20	23	21	20
21	24	22	21
22	25	23	22
23	26	24	23
24	27	25	24
25	28	26	25
26	29	27	26
27	30	28	27
28	31	29	28
29		30	29
30		31	30



Das Ringebirge Plate mit dem Lichtschein

von J. N. Krüger.







An die verehr. Abonnenten des „Sirius“!

Um dem Abnehmer des „Sirius“ nach des letzteren Jahrgange die entsprechende und allgemein beliebteste Fortsetzung leicht zugänglich zu machen, habe ich mich entschlossen, die Parke-Komplexe des I bis XIV Bandes (Jahrgang 1875—1896) zu bedeutend ermäßigtem Preise bereits zu offeriren:

Band I, II, III, IV, V, VI (Jahrgang 1875—76) wenn zusammen genommen nur 50 Mark.

===== Einzelne Bände à Mark =====

Band VII, VIII, IX, X. (Jahrgang 1876—82) wenn zusammen genommen nur 50 Mark.

===== Einzelne Bände à Mark =====

Band XI, XII, XIII, XIV (Jahrgang 1881—86) wenn zusammen genommen nur 50 Mark.

===== Einzelne Bände à Mark =====

Band XV, XVI, XVII, XVIII (Jahrgang 1887—90) wenn zusammen genommen nur 50 Mark.

===== Einzelne Bände à Mark =====

Band XIX/XXII (1891—96) à 12 Mark

Einzelne Bände dazu kosten pro Band nur 75 Pf.

Nach Ansehen, dass mir ein verlässiger Mann Vorst. anzeigen sollte, dass ich verschiedene Abonnenten häufig beschreiben zu wollen. Nach Vorlauf eines entsprechenden Bades wird für die Leihpreis wieder in Kauf.

Dies bedeutet wohl auf die Jagd nach dem General-Besitzer zu Band I—XV der neuen Folge des „Sirius“ hingewiesen, welche für jeden Abonnent des Bades I—XV der N. F. vorzuziehen ist.

Jede Best. und Kaufleistung sofort befristet entgegen.

Leipzig, Januar 1896

Verlags-Handlung
Die Verlags-Handlung
Karl Schöler.

Der Unterschiedler besteht bei der Best. und Kaufleistung von

Exp. Sirus. Neue Folge: Band I, II, III, IV, V, VI (Jahrgang 1875—76) wenn zusammen genommen für nur 50 Mark. Einzelne Bände à Mark.

Exp. Sirus. Neue Folge: Band VII, VIII, IX, X. (Jahrgang 1876—82) wenn zusammen genommen nur 50 Mark. Einzelne Bände à Mark.

Exp. Sirus. Neue Folge: Band XI, XII, XIII, XIV (Jahrgang 1881—86) wenn zusammen genommen nur 50 Mark. Einzelne Bände à Mark.

Exp. Sirus. Neue Folge: Band XV, XVI, XVII, XVIII (Jahrgang 1887—90) wenn zusammen genommen nur 50 Mark. Einzelne Bände à Mark.

Exp. Sirus. Neue Folge: Band XIX—XXII (Jahrgang 1891—96) à 12 Mark.

Exp. Einzelne Bände zu 75 Pf. Band I—XXII à 75 Pf. 12 Pf.

Exp. General-Besitzer zu Band I—XV der neuen Folge à 50 Mark.

Gen. Vorst. und Exp.

Best. und Kauf.

Das nicht gewünschte bitte zu durchstreichen.

3 2044 077 066 874





3 2044 077 086 074



3 2044 077 085 874





3 2044 077 086 874





9 2044 077 086 074